



Proyecto Arqueológico
L A C O R O N A

INFORME FINAL
Temporada 2011



Tomás Barrientos Q.
Marcello A. Canuto
Jocelyne Ponce

Guatemala, Abril de 2012

Edición General: Tomás Barrientos, Marcello Canuto y Jocelyne Ponce
Traducciones: Tomás Barrientos y Jocelyne Ponce
Para ver el informe en versión electrónica visitar la página:
<http://www.tulane.edu/~mari/PRALC/index.html>

CONTENIDO

| | |
|---|-----|
| Capítulo I | |
| Proyecto Regional Arqueológico La Corona: Antecedentes y objetivos de la Temporada 2011 | |
| <i>Tomás Barrientos y Marcello Canuto</i> | 1 |
| Capítulo II | |
| Sub-Proyecto de Reconocimiento Arqueológico Regional: Temporada 2011 | |
| <i>Carlos Roberto Chiriboga Holzheu</i> | 29 |
| Capítulo III | |
| Investigación arqueológica en El Achiotal: Continuación de las excavaciones en la Estructura 5C-01 | |
| <i>Mary Jane Acuña</i> | 59 |
| Capítulo IV | |
| Reconocimiento arqueológico y mapeo en El Jobillo | |
| <i>Melvin Rodrigo Guzmán</i> | 109 |
| Capítulo V | |
| Reconocimiento arqueológico y mapeo en La Corona: Temporada 2011 | |
| <i>Melvin Rodrigo Guzmán</i> | 123 |
| Capítulo VI | |
| Operación CR20: Excavaciones en el Palacio de La Corona, Temporada 2011 | |
| <i>Liliana Padilla y Alejandra Roche</i> | 145 |
| Capítulo VII | |
| Operación CR32: Excavaciones realizadas en la Estructura 13Q-2, Temporada 2011 | |
| <i>Ana Cristina Guirola y Christopher Martínez</i> | 173 |
| Capítulo VIII | |
| Operación CR33: Excavación del Entierro 3, Estructuras 13Q-3 | |
| <i>Yann Desailly-Chanson</i> | 201 |
| Capítulo IX | |
| Operaciones CR14, CR15 y CR17: Excavaciones en el Grupo Coronitas, Estructuras 13R-2, 13R-3, 13R-4 y 13R-5 | |
| <i>Joanne Baron</i> | 231 |
| Capítulo X | |
| Operación 11B: Excavaciones en la Estructura 13R-9, Temporada 2011 | |
| <i>María Antonieta Cajas</i> | 265 |
| Capítulo XI | |
| Operación CR16: Excavaciones en la Estructura 13R-10, Temporada 2011 | |
| <i>Jocelyne Ponce y Camilo Nájera</i> | 279 |

| | |
|---|-----|
| Capítulo XII | |
| Operaciones CR18 Y CR19: Excavaciones en el Patio Norte del Grupo 13R-II | |
| <i>Erin Patterson, Elisandro Garza y Leticia Miguel</i> | 319 |
| Capítulo XIII | |
| Investigación del Grupo 14S-1 “El Caballito” | |
| <i>Jorge Pontaza</i> | 335 |
| Capítulo XIV | |
| Operación CR51: Excavaciones en el Grupo 13P-5 (posible Juego de Pelota) | |
| <i>Melvin Rodrigo Guzmán Piedrasanta</i> | 347 |
| Capítulo XV | |
| Operación CR48: Investigación de chultunes en La Corona | |
| <i>Clarissa Cagnato</i> | 357 |
| Capítulo XVI | |
| Análisis de restos esqueléticos: Temporada 2011 | |
| <i>Erin Patterson</i> | 373 |
| Capítulo XVII | |
| Proyecto Regional Arqueológico La Corona: Concepciones y Componente Social | |
| <i>Andrea Aguilar</i> | 389 |
| Capítulo XVIII | |
| Resultados Generales y Conclusiones de la Temporada de Campo 2011 | |
| <i>Marcello Canuto y Tomás Barrientos</i> | 407 |
| Bibliografía | 439 |

Índice de Figuras

No. Página

Capítulo I

| | |
|--|----|
| Figura 1.1 Sitios hallados en la zona de estudio PRALC hasta 2010..... | 7 |
| Figura 1.2 Áreas de altura relativa en la zona de estudio PRALC | 7 |
| Figura 1.3. Plano de El Achiotal | 8 |
| Figura 1.4 Arquitectura de mampostería temprana en El Achiotal | 9 |
| Figura 1.5 Estructura 4C-11, El Achiotal..... | 10 |
| Figura 1.6 Mapa tridimensional de La Corona, 2010..... | 12 |
| Figura 1.7 La Corona, Plaza principal (izquierda) y Grupo Coronitas (derecha) | 12 |
| Figura 1.8 Perfil de la fachada de la Estructura 13R-4..... | 15 |
| Figura 1.9 Planta de la tumba encontrada en la Estructura 13R-4 | 16 |
| Figura 1.10 Perfil Sur de la escalinata de la Sub-estructura encontrada bajo 13Q-4a | 17 |
| Figura 1.11 Algunas ofrendas de los entierros de las Estructuras 13Q-3 y 13Q-5..... | 18 |
| Figura 1.12. Fragmento de Altar 4, La Corona | 20 |
| Figura 1.13 Zona de Estudio con límites aproximados | 23 |
| Figura 1.14 Delimitación del sitio La Corona y ubicación del Campamento del PRALC | 25 |
| Figura 1.15 Sendero en el campamento del PRALC..... | 25 |

Capítulo II

| | |
|---|----|
| Figura 2.1 Localización del área de estudio en el occidente de la RBM | 29 |
| Figura 2.2 Modelo preliminar de áreas propensas para ocupación humana..... | 30 |
| Figura 2.3 Sitios identificados hasta la temporada 2011 | 31 |
| Figura 2.4 Sitio PRALC-012 Los Perros - Nuevos grupos | 33 |
| Figura 2.5 Sitio PRALC-020 – Montículo | 35 |
| Figura 2.6 Sitio PRALC-021 Chile Melache– Mapa del sitio..... | 35 |
| Figura 2.7 Sitio PRALC-023 Paxban – Mapa del sitio | 37 |
| Figura 2.8 Sitio PRALC-025 – Plataforma cortada por camino | 38 |
| Figura 2.9 Unidad PRALC-008-101 – Perfil Norte y Este..... | 41 |
| Figura 2.10 Unidad PRALC-008-101 – Planta | 42 |
| Figura 2.11 Unidad PRALC-008-101 – Perfil Norte | 43 |
| Figura 2.12 Unidad PRALC-008-101 – Perfil Este..... | 43 |
| Figura 2.13 Unidad PRALC-009-101 – Perfil Norte y Este..... | 44 |
| Figura 2.14 Unidad PRALC-009-101 – Planta | 45 |
| Figura 2.15 Unidad PRALC-009-101 – Perfil Norte | 45 |
| Figura 2.16 Unidad PRALC-009-101 – Perfil Este..... | 45 |
| Figura 2.17 Unidad PRALC-009-102 – Perfil Norte y Este..... | 47 |
| Figura 2.18 Unidad PRALC-009-102 – Planta | 47 |
| Figura 2.19 Unidad PRALC-009-102 – Perfil Norte | 48 |
| Figura 2.20 Unidad PRALC-009-102 – Perfil Este..... | 48 |
| Figura 2.21 Unidad PRALC-012-101 – Perfil Norte y Este..... | 49 |
| Figura 2.22 Unidad PRALC-012-101 – Planta | 49 |
| Figura 2.23 Unidad PRALC-012-101 – Perfil Norte | 50 |
| Figura 2.24 Unidad PRALC-012-101 – Perfil Este..... | 50 |
| Figura 2.25 Unidad PRALC-012-102 – Perfil Norte y Este..... | 51 |
| Figura 2.26 Unidad PRALC-012-102 – Planta | 51 |
| Figura 2.27 Unidad PRALC-012-102 – Perfil Norte | 52 |

| | |
|---|----|
| Figura 2.28 Unidad PRALC-012-102 – Perfil Este..... | 52 |
| Figura 2.29 Unidad PRALC-014-101 – Perfil Oeste y Norte | 53 |
| Figura 2.30 Unidad PRALC-014-101 – Perfil Oeste | 54 |
| Figura 2.31 Unidad PRALC-014-101 – Perfil Norte | 54 |
| Figura 2.32 Unidad PRALC-014-101 – Foto entierro Lote 2 | 54 |
| Figura 2.33 Unidad PRALC-016-101 – Perfil Norte y Este..... | 55 |
| Figura 2.34 Unidad PRALC-016-101 – Perfil Norte | 55 |
| Figura 2.35 Unidad PRALC-016-101 – Perfil Este..... | 55 |
| Figura 2.36 Unidad PRALC-023-101 – Perfil Norte y Este..... | 56 |
| Figura 2.37 Unidad PRALC-023-101 – Perfil Norte | 57 |
| Figura 2.38 Unidad PRALC-023-101 – Perfil Este..... | 57 |

Capítulo III

| | |
|---|-----|
| Figura 3.1 Ubicación de la Estructura 5C-01 de El Achiotal | 60 |
| Figura 3.2 Ubicación de túneles en relación a la Subestructura Jonon | 63 |
| Figura 3.3 Perfil Este del Túnel 8, Estructura 5C-01, El Achiotal | 64 |
| Figura 3.4 Perfil Este del Túnel 8 y Unidad ACH-1B-1, Estructura 5C-01, El Achiotal..... | 64 |
| Figura 3.5 Elevación Sur de la escalinata de la Subestructura Jonon..... | 66 |
| Figura 3.6 Perfiles Este y Oeste del Túnel 9, Subestructura Jonon..... | 68 |
| Figura 3.7 Perfil Norte del Túnel 10, Subestructura Jonon | 70 |
| Figura 3.8 Perfiles Este y Oeste del Túnel 10, Escalinata Subestructura Jonon | 71 |
| Figura 3.9 Perfil Norte del Túnel 10, Subestructura Jonon | 72 |
| Figura 3.10 Fogón 3, Subestructura Jonon | 73 |
| Figura 3.11 Cortes transversales del Túnel 11, Subestructura Jonón..... | 74 |
| Figura 3.12 Perfil Sur del Túnel 11, Fachada de plataforma basal, Subestructura Jonón..... | 75 |
| Figura 3.13 Perfil Norte del Túnel 11 y Unidad ACH 1B-2, Subestructura Jonón..... | 76 |
| Figura 3.14a Perfiles Norte y Sur del Túnel 12, Subestructura Chen | 78 |
| Figura 3.14b Escalinata de la Subestructura Chen | 79 |
| Figura 3.15 Escalinata de la Subestructura Chen | 80 |
| Figura 3.16 Muro posterior de la Subestructura Jonon y Mural 8..... | 82 |
| Figura 3.17 Perfiles y planta de los pisos Beleb y Wuqub, Subestructura Jonon | 83 |
| Figura 3.18 Foto de la excavación de las unidades ACH-1F-1 y ACH-1F-3..... | 88 |
| Figura 3.19 Perfil Oeste de las unidades ACH-1F-1 y ACH-1F-3..... | 88 |
| Figura 3.20 Alineación encontrada en ACH-1F-1-2, con fragmento de metate..... | 90 |
| Figura 3.21 Perfil Oeste y planta de las unidades ACH-1F-2 y ACH-1F-4..... | 91 |
| Figura 3.23 Perfil Sur de la unidad ACH-1E-1 | 93 |
| Figura 3.24 Muro del basamento de la Estructura 5C-01, unidades ACH-1E-1 y ACH-1E- 2 | 94 |
| Figura 3.25 Muro del basamento de la Estructura 5C-01, unidades ACH-1E-1 a ACH-1E-7..... | 96 |
| Figura 3.26 Perfil Sur de la Trinchera de Saqueo S1 y la unidad ACH-1C-6..... | 100 |
| Figura 3.27 Mascarón 2, Estructura 5C-01, El Achiotal | 101 |
| Figura 3.28 Mascarón 3, Estructura 5C-01, El Achiotal | 105 |

Capítulo IV

| | |
|---|-----|
| Figura 4.1 Relación espacial de los planos de La Corona y El Jobillo..... | 110 |
| Figura 4.2 Plano del sitio arqueológico El Jobillo..... | 111 |
| Figura 4.3 Grupo 01 del sitio arqueológico El Jobillo | 113 |
| Figura 4.4 Grupo 02 del sitio arqueológico El Jobillo | 113 |
| Figura 4.5 Grupo 03 del sitio arqueológico El Jobillo | 114 |
| Figura 4.6 Grupo 04 del sitio arqueológico El Jobillo | 115 |
| Figura 4.7 Grupo 05 del sitio arqueológico El Jobillo | 116 |
| Figura 4.8 Grupo 06 del sitio arqueológico El Jobillo | 116 |
| Figura 4.9 Saqueo 01 en el Grupo 01 de El Jobillo..... | 117 |
| Figura 4.10. Plato y tiestos hallados en el Saqueo 01 en el Grupo 01 de El Jobillo | 118 |
| Figura 4.11 Saqueo 02 en el Grupo 02 de El Jobillo..... | 118 |
| Figura 4.12 Plato policromo hallado en el Saqueo 02 del Grupo 02 en El Jobillo..... | 119 |
| Figura 4.13 Texto tipo Secuencia Primaria Standard pintado en el exterior del cuenco hallado en el Saqueo 01 del Grupo 02..... | 119 |
| Figura 4.14. Saqueo 03 en el Grupo 02 de El Jobillo..... | 120 |
| Figura 4.15 Saqueo 03 en el Grupo 02 de El Jobillo..... | 120 |
| Figura 4.16 Saqueo 03 en el Grupo 02 de El Jobillo..... | 121 |

Capítulo V

| | |
|---|-----|
| Figura 5.1 Plano tridimensional del sitio mostrando los distintos grupos localizados hasta 2011 | 125 |
| Figura 5.2 Mapa de ubicación de los grupos y sitios periféricos a La Corona..... | 126 |
| Figura 5.3 Bordes de cerámica hallados durante la recolección de superficie del montículo 13R-28..... | 128 |
| Figura 5.4 Plano de curvas de nivel y grupos arquitectónicos del sitio arqueológico La Corona, actualizado durante la Temporada de Campo 2011..... | 129 |
| Figura 5.5 Segmento del plano que muestra las actividades de mapeo realizadas al sur del sibal El Colmoyote..... | 130 |
| Figura 5.6 Actividades de mapeo realizadas al este del sibal El Colmoyote y sur del campamento. La línea negra muestra la brecha madre..... | 131 |
| Figura 5.7 Segmento del plano que muestra las actividades de mapeo realizadas al sur del grupo 13Q-1 o Plaza Central | 132 |
| Figura 5.8 Plano del sitio arqueológico La Corona con la distribución de grupos de estructuras, cuadrantes arbitrarios y cuerpos de agua | 133 |
| Figura 5.9 Segmento del plano que muestra los rasgos culturales y topográficos hallados dentro del cuadrante 13P | 134 |
| Figura 5.10 Plano volumétrico que muestra la forma de los Grupos 13P-4 y 13P-5 | 135 |
| Figura 5.11 Segmento del plano que muestra los rasgos culturales y topográficos hallados dentro del cuadrante 13R..... | 136 |
| Figura 5.12 Rasgos culturales y topográficos hallados dentro del cuadrante 14Q..... | 137 |
| Figura 5.13 Rasgos culturales y topográficos hallados dentro del cuadrante 14R..... | 138 |
| Figura 5.14 Rasgos culturales y topográficos hallados dentro del cuadrante 14S | 139 |
| Figura 5.15 Rasgos culturales y topográficos hallados dentro del cuadrante 15R..... | 140 |
| Figura 5.16 Plano del sitio arqueológico La Corona en dónde se muestra la ubicación de las operaciones de excavación | 141 |

Capítulo VI

| | |
|--|-----|
| Figura 6.1 Plano del Palacio de La Corona (Estructura 13Q-4) y superestructuras..... | 145 |
| Figura 6.2 Plano del Palacio de La Corona indicando las excavaciones realizadas en 2011 | 146 |
| Figura 6.3 Perfiles norte (arriba) y sur (abajo) de la trinchera exploratoria en la fachada este del basamento del palacio (Suboperación CR21A)..... | 149 |
| Figura 6.4 Perfil norte de la unidad CR21A-6..... | 150 |
| Figura 6.5 Perfil norte y sur de la unidad CR21A-8..... | 151 |
| Figura 6.6 Planta de las excavaciones de la Suboperación CR21A | 152 |
| Figura 6.7 Perfil Norte, unidad CR20A-13 | 156 |
| Figura 6.8 Planta de excavaciones de la unidad CR20A-13 y extensiones..... | 157 |
| Figura 6.9 Excavaciones de la unidad CR20A-13 y extensiones | 158 |
| Figura 6.10 Perfil Este y planta de la unidad CR20A-14 | 159 |
| Figura 6.11 Perfil Norte del Túnel Principal, unidad CR20E-1 | 161 |
| Figura 6.12 Planta del Túnel Principal y sus anexos Norte y Sur, unidad CR20E-1 | 163 |
| Figura 6.13 Perfil Oeste, unidad CR20E-1, Esquina Noreste de la Estructura 13Q-4E-Sub | 164 |
| Figura 6.14 Perfiles norte, este y oeste del Túnel Norte, unidad CR20E-1. Esquina Noreste de la Estructura 13Q-4E-Sub | 164 |
| Figura 6.15 Excavaciones del Túnel CR20E-1 | 165 |
| Figura 6.16 Perfil norte, unidad CR20E-2..... | 168 |
| Figura 6.17 Perfil oeste y planta de la unidad CR20E-2 | 169 |

Capítulo VII

| | |
|--|-----|
| Figura 7.1 Excavaciones realizadas por Stanley Guenter en 2008 y 2009..... | 174 |
| Figura 7.2 Excavaciones realizadas en la Temporada 2010 por Ana Cristina Guirola..... | 175 |
| Figura 7.3 Excavaciones realizadas en la Temporada 2010 por Antolín Velásquez..... | 175 |
| Figura 7.4 Ubicación de excavaciones realizadas en la Temporada 2011 | 176 |
| Figura 7.5 Incensario encontrado en lote 3 de la unidad CR32D-26 | 177 |
| Figura 7.6 Incensario parcialmente reconstruido, fechado para el Postclásico Tardío ... | 177 |
| Figura 7.7 Último lote de excavación realizado en la unidad CR32D-26..... | 178 |
| Figura 7.8 Unidad CR32D-28 finalizada, sin indicios del piso de plaza..... | 178 |
| Figura 7.9 Unidad CR32D-29 finalizada. Se puede apreciar el piso de plaza, el cual está estucado. Al este se puede apreciar escombros, probablemente de la Estructura 13Q-2 | 179 |
| Figura 7.10 Unidad CR32D-30 concluida con una profundidad máxima de 1.23 m. En esta unidad tampoco se pudo encontrar algún indicio del piso de plaza o alguna plataforma o estructura frente a la Estructura 13Q-2 | 180 |
| Figura 7.11 Unidad CR32D-27 terminada. Aquí se puede apreciar un piso estucado bien conservado | 181 |
| Figura 7.12 Unidad CR32D-27 y CR32D-31. El piso que se encuentra en la unidad CR32D-31 está al mismo nivel que el piso de plaza de la unidad CR32D-29..... | 181 |
| Figura 7.13 Detalle de las unidades CR32H-1, CR32H-2 y CR32H-3 | 182 |
| Figura 7.14 Unidad CR32H-6, detalle de la banqueta superior (izquierda) y escalinata (derecha) | 183 |
| Figura 7.15 Unidad CR32H-6 al concluir la temporada..... | 184 |

| | |
|---|-----|
| Figura 7.16 CR32H-7, detalle de las excavaciones | 185 |
| Figura 7.17 Perfil Norte, CR32H-1, CR32H-3 y CR32H-7 | 186 |
| Figura 7.18 Unidad CR32H-7A. Excavación del relleno que se encuentra próximo a la escalinata..... | 186 |
| Figura 7.19 CR32H-8, detalle de las excavaciones | 187 |
| Figura 7.20 Perfil Sur de las unidades CR32H-7 y CR32H-8, incluyendo detalle de cortes en perfil | 187 |
| Figura 7.21 Planta de las operaciones detalladas, de CR32H-1 a CR32H-8..... | 188 |
| Figura 7.22 Unidad CR32H-9 excavada hasta ese punto, pero se espera que se pueda continuar bajando en el futuro, para explicar la interrupción de la escalinata de la penúltima fase constructiva de la estructura | 189 |
| Figura 7.23 Vista de las unidades CR32H-10 y CR32D-27..... | 189 |
| Figura 7.24 Vista de las unidades CR32H-10, CR32D-27 y parte de CR32D-31. Se puede observar las gradas que bajan hasta el nivel de plaza, y las plataformas que fueron agregadas en la penúltima fase constructiva de la Estructura 13Q- 2..... | 190 |
| Figura 7.25 Túnel pequeño entre las dos plataformas o altares de la estructura | 191 |
| Figura 7.26 Detalle de las esquinas suroeste y sureste de una plataforma | 191 |
| Figura 7.27 Unidad CR32H-11 | 192 |
| Figura 7.28 Gradas de la última fase constructiva de la Estructura 13Q-2 | 192 |
| Figura 7.29 Imagen del primer lote donde se descubrieron más indicios de la escalinata de la última fase constructiva de la Estructura 13Q-2 | 193 |
| Figura 7.30 Dibujo de perfil sur de las gradas encontradas en la unidad CR32H-13 | 193 |
| Figura 7.31 Unidades CR32H-10 y CR32H-13, con plataformas pequeñas que pudieron ser altares | 194 |
| Figura 7.32 Unidad CR32H-14, con restos del piso estucado de un cuerpo de la estructura | 195 |
| Figura 7.33 Elevación, planta y perfil sur de la unidad CR32H-14 | 195 |
| Figura 7.34 Perfil norte de las distintas unidades que conforman la trinchera de la escalinata | 196 |
| Figura 7.35 Perfil sur de las distintas unidades que conforman la trinchera de la escalinata | 197 |
| Figura 7.36 Fotografía de la trinchera de excavación que se hizo en la escalinata para descubrir su última y penúltima fase constructiva..... | 199 |

Capítulo VIII

| | |
|---|-----|
| Figura 8.1 Ubicación de excavaciones en la Operación 33A, Estructura 13Q-3 | 206 |
| Figura 8.2 Planta de excavación mostrando ubicación de unidades y rasgos de la Suboperación 33A | 207 |
| Figura 8.3 Vasija No.1, Entierro 3 | 209 |
| Figura 8.4 Vasija No.2..... | 210 |
| Figura 8.5 Vasijas no.1 y no.2 <i>in situ</i> y perfil sur mostrando intrusión | 211 |
| Figura 8.6 Planta Entierro No.3..... | 213 |
| Figura 8.7 Perfiles sur y este de la Unidad CR-33A-20 y perfil sur de la Unidad CR-33A-6 | 214 |
| Figura 8.8 Cuentas de jade y fragmento de posible orejera de concha | 215 |
| Figura 8.9 Cuentas de jade | 217 |
| Figura 8.10 Cuentas de concha <i>Spondylus</i> | 218 |
| Figura 8.11 Cuentas de concha <i>Spondylus</i> | 218 |

| | |
|---|-----|
| Figura 8.12 Cuentas de conchas marinas y conchas <i>Spondylus</i> | 219 |
| Figura 8.13 Cuentas de conchas marinas y conchas <i>Spondylus</i> | 219 |
| Figura 8.14 Cuentas de madreperla y perlas en forma de gota..... | 220 |
| Figura 8.15 <i>Spondylus</i> completa..... | 221 |
| Figura 8.16 Bloque de piedra caliza con glifo tallado..... | 222 |
| Figura 8.17 Artefactos del Entierro No.3 encontrados en 2011 | 224 |
| Figura 8.18 Panel del Kimbell Art Museum, 783-785 d.C..... | 227 |

Capítulo IX

| | |
|---|-----|
| Figura 9.1 Ubicación de Excavaciones en las Sub-operaciones 14A, 14B, 15A y 17B. Estructuras 13R-2, 13R-3, 13R-4 y 13R-5 | 232 |
| Figura 9.2 Trinchera de saqueo mostrando derrumbe sobre piso de estuco en unidad CR15A-1..... | 234 |
| Figura 9.3 Gradas de la penúltima fase en Unidad CR15A-1 | 235 |
| Figura 9.4 Muros constructivos en final del lote 15, unidad CR15A-1 | 236 |
| Figura 9.5 Planta del Entierro 6 y Unidades 15A-1 y 15A-1a | 238 |
| Figura 9.6 Banqueta con mancha orgánica donde hubiera descansado el dintel..... | 239 |
| Figura 9.7 Parte este del techo de la tumba mostrando impresión de petate..... | 241 |
| Figura 9.8 Relleno amarillo con lascas de pedernal y obsidiana..... | 241 |
| Figura 9.9 Perfil norte Entierro 6 | 241 |
| Figura 9.10 Planta de Entierro 6..... | 242 |
| Figura 9.11 Planta Entierro 6..... | 243 |
| Figura 9.12 Fases constructivas de la Estructura 13R-2 y ubicación de Entierro 6 | 244 |
| Figura 9.13 Fragmentos de concha marina encontrados en el Entierro 6..... | 247 |
| Figura 9.14 Vasijas cerámicas recuperadas en el Entierro 6 | 247 |
| Figura 9.15 Reconstrucción del Entierro 6..... | 248 |
| Figura 9.16 Muro cortado en Unidad CR14A-1a..... | 252 |
| Figura 9.17 Planta de unidades de Operaciones 14B y 17B | 253 |
| Figura 9.18 Terraza inclinada hecha con piedras burdas en Unidad CR14B-12..... | 254 |
| Figura 9.19 Muro de fachada en unidades CR14B-20 y CR14B-22..... | 255 |
| Figura 9.20 Perfil norte de terrazas de las Estructuras 13R-3 y 13R-4. Unidades CR14B-16 y CR4B-18 | 257 |
| Figura 9.21 Perfil sur de plataforma y superestructura de Estructura 13R-5 | 258 |
| Figura 9.22 Planta de Terrazas de Estructuras 13R-4 y 13R-5 | 261 |

Capítulo X

| | |
|--|-----|
| Figura 10.1 Ubicación de la Estructura 13R-9 | 265 |
| Figura 10.2 Croquis con la ubicación de las unidades de excavación..... | 267 |
| Figura 10.3 Perfil oeste de las unidades 11B-18 y 11B-17, mostrando el Muro Oeste de la Estructura 13R-10 | 269 |
| Figura 10.4 Croquis de la fachada principal en la base de la Estructura 13R-9..... | 270 |
| Figura 10.5 Registro (11B-18a) debajo del piso del nicho..... | 271 |
| Figura 10.6 Muro sur de la Superestructura 13R-9 | 272 |
| Figura 10.7 Panel en la superficie de la unidad 11B-20a y fragmento de piedra de Moler | 273 |
| Figura 10.8 Unidades 11B-23 y 16-C5, en el corredor que separa los muros de las Estructuras 13R-9 y 13R-10 y fragmentos de figurillas recuperados en la Suboperación 11B | 273 |
| Figura 10.9 Planta de la Suboperación 11B, Estructura 13R-9..... | 274 |
| Figura 10.10 Perfil oeste de la Suboperación 11B, Estructura 13R-9..... | 275 |

Capítulo XI

| | |
|--|-----|
| Figura 11.1 Mapa de los grupos 13R-1 y 13R-II..... | 279 |
| Figura 11.2 Ubicación de excavaciones de la Operación CR16..... | 282 |
| Figura 11.3 Planta de excavación mostrando rasgos descubiertos..... | 283 |
| Figura 11.4 Planta de excavación mostrando perfiles dibujados..... | 284 |
| Figura 11.5 Planta de excavación mostrando ubicación de unidades..... | 285 |
| Figura 11.6 Esquema de rasgos descubiertos en la parte superior de la estructura..... | 286 |
| Figura 11.7 Elevación sur del Muro norte (Perfil F)..... | 287 |
| Figura 11.8 Fragmentos de bajareque encontrados en las unidades CR16C-6 y CR16C-7..... | 288 |
| Figura 11.9 Fragmento estucado sobre Muro central en las unidades CR16C-3a y CR16C-11a..... | 289 |
| Figura 11.10 Elevación norte de Muro central mostrando perfil norte de pozo de Sondeo CR16A-11a (Perfil E)..... | 290 |
| Figura 11.11 Perfil oeste de la Banqueta 1..... | 291 |
| Figura 11.12 Perfiles de la unidad CR16C-3b..... | 291 |
| Figura 11.13 Elevación norte de muro sur mostrando piso de estuco del Cuarto 3 (Perfil C)..... | 292 |
| Figura 11.14 Área de almacenaje..... | 293 |
| Figura 11.15 Vista desde el lado este del Cuarto 1..... | 295 |
| Figura 11.16 Piedra tallada encontrada en la unidad CR16A-3a..... | 295 |
| Figura 11.17 Punta de pedernal encontrada en la unidad CR16C-3..... | 296 |
| Figura 11.18 Distribución de artefactos encontrados en el nivel 2 del Cuarto 1..... | 296 |
| Figura 11.19 Vista desde el oeste del Cuarto 2..... | 297 |
| Figura 11.20 Fragmento de mano de moler encontrado en la unidad CR16C-6..... | 298 |
| Figura 11.21 Distribución de artefactos encontrados en el nivel 2 del Cuarto 2..... | 298 |
| Figura 11.22 Fragmentos de vasijas Encanto Estriado y Cambio sin Engobe encontrados en CR16A-14..... | 300 |
| Figura 11.23 Vista del Cuarto 3 desde el lado este..... | 300 |
| Figura 11.24 Distribución de artefactos encontrados en el nivel 2 del Cuarto 3..... | 301 |
| Figura 11.25 Banqueta 2..... | 301 |
| Figura 11.26 Perfil Este Estructura 13R-10 (Perfil A)..... | 302 |
| Figura 11.27 Comales de ofrenda en unidades CR16B-3a y CR16B-3b..... | 304 |
| Figura 11.28 Comales restaurados..... | 304 |
| Figura 11.29 Perfil sur CR16B-3a..... | 305 |
| Figura 11.30 Piedras de subestructura en unidades CR16B-3a y CR16B-3b..... | 305 |
| Figura 11.31 Distribución de artefactos encontrados en el nivel 2 de la Plataforma basal..... | 306 |
| Figura 11.32 Vista desde el oeste de los rasgos encontrados en la parte superior de la estructura..... | 306 |
| Figura 11.33 Esquema de distribución de artefactos encontrados en el nivel 2 en la parte superior de la estructura..... | 307 |
| Figura 11.34 Perfil sur de los cuerpos del basamento de la fachada sur de la Estructura. Unidades CR16A-19, CR16A-21, CR16A-22, CR16A-23 y CR16A-26..... | 308 |
| Figura 11.35 Perfil oeste de muro oeste y cuerpos de fachada sur (Perfil J)..... | 309 |
| Figura 11.36 Fragmento de concha tallada con forma de rostro humano encontrado en la unidad CR16A-23..... | 311 |
| Figura 11.37 Muros del segundo y tercer cuerpo de la fachada sur..... | 312 |
| Figura 11.38 Dibujos de Bloques 9 y 10 de la Escalinata Glífica 3..... | 313 |

Capítulo XII

| | |
|---|-----|
| Figura 12.1 Ubicación de unidades de las Operaciones CR18 y CR19 | 320 |
| Figura 12.2 Muro de la parte posterior de la Estructura 13R-11 y piso de estuco del Patio norte. Unidad CR18B-1 | 322 |
| Figura 12.3 Cráneo humano localizado en la parte posterior de la Estructura 13R-11. Unidad CR18B-1 | 322 |
| Figura 12.4 Perfil norte de las unidades de la Operación CR18B..... | 323 |
| Figura 12.5 Planta de las unidades de la Operación CR18B..... | 324 |
| Figura 12.6 Entierro 5 antes de removerse el metate (La flecha apunta hacia el radio y cúbito del individuo) | 325 |
| Figura 12.7 Entierro 5 después de removerse el metate (La flecha apunta hacia el radio y cúbito del individuo)..... | 326 |
| Figura 12.8 Metate fragmentado asociado a Entierro 5..... | 326 |
| Figura 12.9 Piedras de derrumbe del Muro sur encontradas en la Unidad CR19-1 | 327 |
| Figura 12.10 Perfiles y plantas de los niveles 1 y 2 de la unidad CR19-1 | 328 |
| Figura 12.11 Perfiles y planta del nivel 7 de la Unidad CR19-1a..... | 329 |
| Figura 12.12 Perfiles y planta del nivel 4 de la Unidad CR19-2..... | 330 |

Capítulo XIII

| | |
|--|-----|
| Figura 13.1 Croquis del Grupo “El Caballito” 14SI..... | 335 |
| Figura 13.2 Ubicación de las excavaciones en el Grupo 14S-I..... | 336 |
| Figura 13.3 Cuenta de Cerámica CR50-2..... | 337 |
| Figura 13.4 Perfil y planta CR50-3 y 3a..... | 338 |
| Figura 13.5 Detalle piso plaza CR50-5 | 340 |
| Figura 13.6 Detalle descanso escalinata CR50-7 | 340 |
| Figura 13.7 Escalinata sur Estr. 14SI-1 | 342 |

Capítulo XIV

| | |
|---|-----|
| Figura 14.1 Planta del Grupo 13P-5 y ubicación de las unidades de excavación | 348 |
| Figura 14.2 Planta general de las unidades de excavación..... | 349 |
| Figura 14.3 Figurilla de una posible deidad con rostro antropomorfo y tocado zoomorfo (venado), hallada en el lote CR51-1-2 | 350 |
| Figura 14.4 Perfiles de la unidad CR51-1 | 351 |
| Figura 14.5 Pozo CR51-1 en donde se evidencia la aparición de suelo estéril..... | 352 |
| Figura 14.6 Perfiles de la unidad CR51-2 | 354 |
| Figura 14.7 Pozo CR51-2 en donde se evidencia la aparición de un empedrado mezclado con barro compacto | 354 |

Capítulo XV

| | |
|--|-----|
| Figura 15.1. Localización de los Grupos 12R-3 y 14S-1 de La Corona | 358 |
| Figura 15.2. Depresiones excavadas al noroeste de la Estructura 1 del Grupo 12R-3..... | 359 |
| Figura 15.3 Perfil norte de la Unidad CR48A-1..... | 361 |
| Figura 15.4 Perfil norte de la Unidad CR48B-1..... | 363 |
| Figura 15.5 Perfil oeste de las Unidades CR48B-1 y CR48B-2..... | 364 |
| Figura 15.6 Fragmento de figurilla de CR48B-2..... | 364 |
| Figura 15.7 Perfiles norte y este CR48C-1..... | 366 |
| Figura 15.8 Disco cerámico recuperado en el lote 4 de la Unidad CR48C-1..... | 366 |
| Figura 15.9 Fragmentos de cerámica encontrados en el lote 7 de la Unidad | |

| | |
|---|-----|
| CR48C-1 | 367 |
| Figura 15.10 Fotografía de planta del chultún después de ser excavado | |
| Unidad CR48D-1 | 368 |
| Figura 15.11 Tapadera de piedra del chultún CR48D-1 | 369 |
| Figura 15.12 Perfiles oeste y norte del chultún CR-48D-1 | 370 |
| | |
| Capítulo XVI | |
| Figura 16.1. Artritis en el proceso olecranon del cúbito derecho, Entierro 6..... | 377 |
| Figura 16.2 Entierro 5..... | 377 |
| Figura 16.3. Incisivos superiores y caninos, Entierro 5..... | 378 |
| Figura 16.4 Vértebras sacras, Entierro 3 | 378 |
| | |
| Capítulo XVII | |
| Figura 17.1. Entrevistas con los arqueólogos | 377 |
| Figura 17.2 Personal de cocina..... | 377 |
| Figura 17.3. Taller de arqueología con los trabajadores | 378 |
| | |
| Capítulo XVIII | |
| Figura 18.1 Modelo tridimensional de la Meseta Cárstica Central | 409 |
| Figura 18.2 Ubicación de La Corona al oeste de la Meseta Cárstica Central | 409 |
| Figura 18.3 La Corona y otros sitios al oeste de la Meseta Cárstica Central | 410 |
| Figura 18.4 Mapa tridimensional de La Corona, Temporada 2011..... | 411 |
| Figura 18.5 El Achiotal y otros sitios Preclásicos de la Meseta Cárstica Central..... | 412 |
| Figura 18.6 Posible primer plaza ceremonial en El Achiotal, Estructura 5C-01..... | 413 |
| Figura 18.7 Mural 1 y Mascarón 1, Subestructura Jonón, Estructura 5C-01, El Achiotal..... | 414 |
| Figura 18.8 Mascarón 2, Subestructura Chen, Estructura 5C-01, E Achiotal..... | 415 |
| Figura 18.9 Posible ruta de intercambio en el Clásico Temprano..... | 417 |
| Figura 18.10 Panel 6 de La Corona (Altar de Dallas) | 418 |
| Figura 18.11 Entierro 6 de La Corona: ubicación en la Estructura 13R-2 y ofrendas | 420 |
| Figura 18.12 Mapa de la ruta o “Camino Real” que unió Calakmul con varias ciudades al sur | 422 |
| Figura 18.13 Tabla cronológica de los gobernantes de La Corona durante la “Era Dorada” | 423 |
| Figura 18.14 Reconstrucción hipotética de las tres pirámides centrales del Grupo Coronitas..... | 424 |
| Figura 18.15 Estructura 13R-10 durante su excavación en 2011 | 425 |
| Figura 18.16 Vasija, navajas de obsidiana, bifacial de pedernal y objetos marinos provenientes del escondite encontrado en la Estructura 13R-9..... | 425 |
| Figura 18.17 Bloques IX y X de la Escalinata Glífica 3, descubiertos en 2011..... | 426 |
| Figura 18.18 Reconstrucción hipotética de las Plaza Principal: Estructura 13Q-4 (Palacio) en primer plano y estructuras 13Q-1 y 13Q-2 al fondo | 427 |
| Figura 18.19 Ofrendas del Entierro 3, descubierto en la Estructura 13Q-3 | 427 |
| Figura 18.20 Piso estucado de la Estructura 13Q-4A y escalinata de subestructura..... | 428 |

Listado de Tablas

No. Página

| | |
|--|-----|
| Tabla 5.1 Operaciones realizadas durante la Temporada de campo 2011..... | 142 |
| Tabla 8.1 Estructura 13Q-3 – Entierro 3: Artefactos recuperados en 2010 y 2011 | 229 |
| Tabla 8.2 Resultados de los análisis de radio carbón, Beta Analytics | 230 |
| Tabla 11.1 Tabla de Materiales, Estructura 13R-10..... | 316 |
| Tabla 12.1 Inventario de materiales recuperados en la Operación CR18B..... | 332 |
| Tabla 12.2 Inventario de materiales asociados al Entierro 5..... | 333 |
| Tabla 12. 3 Inventario de materiales recuperados en la Operación CR19 | 333 |
| Tabla 13.1 Listado de Materiales, Operación CR50 | 343 |
| Tabla 14.1 Inventario de materiales de la unidad CR51-1 | 352 |
| Tabla 14.2 Inventario de materiales de la unidad CR51-2 | 355 |
| Tabla 16.1 Inventario de Restos Esqueléticos (El Jobillo)..... | 379 |
| Tabla 16.2 Inventario de Restos Esqueléticos (CR15A) | 379 |
| Tabla 16.3 Inventario de restos esqueléticos (CR18B) | 384 |
| Tabla 16.4 Inventario de restos esqueléticos (CR33A)..... | 387 |

CAPÍTULO I

PROYECTO REGIONAL ARQUEOLÓGICO LA CORONA: ANTECEDENTES Y OBJETIVOS DE LA TEMPORADA 2011

Tomás Barrientos y Marcello A. Canuto

Después de cinco temporadas de campo entre 2005 y 2010, se ha establecido que el sitio arqueológico La Corona constituye uno de los centros más importantes de la región noroccidental de Petén, tanto por su papel histórico, como por la diversidad de riesgos que amenazan su protección y conservación. Por lo tanto, el Proyecto Regional Arqueológico La Corona (PRALC) continuó con las investigaciones en el sitio y toda su región circundante, no solamente para recuperar más información arqueológica, sino también para colaborar con los esfuerzos para proteger y rescatar el patrimonio cultural y natural de esta zona. PRALC constituye un esfuerzo conjunto de varias personas e instituciones, especialmente la Universidad de Tulane y la Universidad del Valle de Guatemala, representadas por sus directores, el doctor Marcello A. Canuto y el Magíster Tomás Barrientos, respectivamente.

Empezando en 2010, se inició una etapa de investigación cuyas metas, a grandes rasgos, se esperan obtener en el año 2012. Estas metas principales son: 1) realizar excavaciones intensivas en La Corona y El Achiotal, incluyendo la estabilización, estudio y conservación de la arquitectura monumental; 2) llevar a cabo levantamiento topográfico, mapeo, uso de sensores remotos y excavación de los asentamientos alrededor de La Corona; 3) llevar a cabo una exploración de la región entre el La Corona y la frontera entre Guatemala y México; y 4) efectuar estudios paleo-climatológicos y ecológicos.

I. MODALIDAD DE LA INVESTIGACIÓN

Las investigaciones propuestas en este documento se circunscriben dentro de los incisos “a”, “e”, “f” y “g” del Artículo 6, Capítulo I del Reglamento para Desarrollar Proyectos de Investigación Arqueológica de la Dirección General del Patrimonio Cultural y Natural del Ministerio de Cultura y Deportes (2009:3), los cuales literalmente dicen:

- a) *Reconocimientos programáticos y sistemáticos de superficie o sub-acuáticos, con o sin recolección de materiales arqueológicos, que involucren o no pozos de sondeo.*
- e) *Investigaciones integrales a largo plazo e interdisciplinarias sobre las sociedades desaparecidas, las que requieren de excavaciones de sitios, así como de la protección, conservación y restauración de bienes muebles e inmuebles que lo ameriten.*
- f) *Investigaciones que no impliquen excavación, que conlleven el estudio de las evidencias expuestas, como son los análisis sobre arquitectura, pintura mural, epigrafía, iconografía y otros, actividades que requieren fotografía especial, dibujos, copias y otras técnicas documentales.*
- g) *Estudio de gabinete sobre bienes muebles arqueológicos depositados en museos, laboratorios, bodegas y colecciones en general.*

II. JUSTIFICACIÓN DEL PROYECTO

El estudio del sitio La Corona y la región noroccidental de Petén representa una oportunidad para mejorar nuestro entendimiento de las relaciones políticas de la cultura Maya en el período Clásico y la variabilidad de manifestaciones durante el Preclásico. A simple vista La Corona parece ser un sitio de tamaño modesto y de importancia limitada, pero sus numerosos y detallados monumentos jeroglíficos desmienten esta simple caracterización. A pesar de tener un aspecto común para un sitio del período Clásico, La Corona representa una de las fuentes más importantes de información sobre el sitio colosal de Calakmul, y los datos históricos indican que funcionó como centro secundario durante la expansión de este último. Asimismo, las investigaciones en La Corona han servido de ejemplo de cómo la colaboración científica puede reducir la depredación y saqueo desenfrenado de la zona. Además, la zona en la cual está ubicado La Corona es una de las menos investigadas de Petén, especialmente los casi 40 Km. entre este sitio y la frontera norte de Guatemala. La ubicación de varios sitios importantes en una zona desconocida justifica entonces el interés en la investigación de La Corona y sus alrededores. Generalmente la historia de las antiguas ciudades mayas se reconstruye luego de su descubrimiento e investigación. En el caso de La Corona su importancia fue reconocida mucho antes de su propio descubrimiento, debido a la interpretación de sus monumentos saqueados.

III. PLANTEAMIENTO TEÓRICO

El alcance del proyecto plantea un estudio amplio de varios temas básicos y fundamentales en los estudios arqueológicos de la cultura Maya. El estudio de la región ofrece la oportunidad única para:

- 1) Entender la organización política y social de los Mayas del período Clásico (250-900 DC) a través de la relación entre capitales regionales y sitios secundarios.
- 2) Estudiar como el desarrollo y decline socio-político Maya se relacionan con su adaptación al ambiente de las Tierras Bajas Centrales.
- 3) Investigar la extensión de la civilización Maya del periodo Preclásico hacia el oeste y su relación y/o comunicación con las civilizaciones mesoamericanas contemporáneas en la región del istmo y Golfo de México.
- 4) Apoyar los esfuerzos para el rescate, protección y conservación del patrimonio cultural y natural en el Noroccidente de Petén.

IV. OBJETIVOS

De acuerdo a los planteamientos teóricos expuestos, a continuación se presentan los objetivos generales del proyecto, así como los objetivos específicos de la temporada de campo 2011:

Objetivos Generales

- 1) Investigar los sitios arqueológicos del noroeste de Petén, con énfasis en el sitio La Corona y sus alrededores.
- 2) Formular modelos políticos, económicos y culturales que expliquen el paisaje político antiguo de los reinos Mayas asociados al Reino de Calakmul entre los siglos VI y VIII d.C., así como sus relaciones con otros sitios de las Tierras Bajas Mayas durante el Período Clásico.
- 3) Generar interés y estimular el desarrollo de las investigaciones arqueológicas, programas de conservación cultural y natural en el Parque Nacional Laguna del Tigre y sus alrededores.
- 4) Fortalecer las acciones de protección y conservación de la antigua ciudad de La Corona y los bienes culturales y naturales de la región de estudio.

Objetivos Específicos

- 1) Reconstruir la historia de La Corona mediante secuencias cerámicas y arquitectónicas, así como el análisis de otros artefactos.
- 2) Investigar y conservar la arquitectura monumental de La Corona
- 3) Conducir investigaciones de reconocimiento, levantamiento topográfico, mapeo y excavación del asentamiento de los alrededores de La Corona.
- 4) Explorar la región entre el La Corona y la frontera entre Guatemala y México en base a recorridos sistemáticos y la aplicación de sensores remotos.
- 5) Definir una ruta terrestre que comunicaba La Corona y Calakmul, así como otros sitios importantes a lo largo de la misma.
- 6) Ampliar la historia de Calakmul y sus aliados mediante el análisis de las inscripciones de La Corona.
- 7) Investigar la extensión occidental de la civilización Maya durante el periodo Preclásico, especialmente a través de las investigaciones en el sitio El Achiotal.
- 8) Efectuar estudios paleo-climatológicos y paleo-ecológicos en La Corona.
- 9) Realizar análisis de artefactos cerámicos, líticos y óseos provenientes de la región de La Corona, para establecer secuencias cronológicas, estudios funcionales y relaciones interregionales. El análisis se llevará a cabo mayormente en 2012, por lo que en este informe no se presentan resultados de dichos análisis.

Para explicar de mejor forma la singularidad de La Corona se ofrece una exposición de la forma en que se ha desarrollado el estudio del sitio en las últimas décadas.

V. ANTECEDENTES

Las investigaciones previas en la zona de La Corona han sido pocas, aunque el sitio conocido como “Sitio Q” ha sido relevante desde hace casi cuarenta años en las discusiones referentes a la investigación del sistema político de los mayas clásicos. No se incluye la historia detallada de las investigaciones en el sitio desde el principio de la década de 1960 ya que esto ha sido incluido en informes previos (Barrientos y Canuto 2009, 2010). Sin embargo, es importante destacar que durante los cuarenta años previos al inicio del presente proyecto, han existido contribuciones de una multitud de investigadores que han permitido la existencia del Proyecto Regional Arqueológico La Corona.

Investigaciones Previas

El proyecto PRALC empezó investigaciones en La Corona en 2008, después de dos expediciones al sitio de La Corona en 2005 y 2006, organizadas por parte del Proyecto El Perú-Waka', dirigido por David Freidel y Héctor Escobedo (Canuto, *et. al.* 2006; Canuto 2007, Acuña 2007, Marken y Guenter 2007). Las expediciones tenían como propósito investigar la correlación entre La Corona y el *Sitio Q* propuesta por Stuart (2001), lo que finalmente fue comprobado mediante el descubrimiento de un panel, ahora nombrado Panel 1. Empezando en 2008, se constituyó el Proyecto Regional Arqueológico La Corona (PRALC), dirigido por Marcello A. Canuto y Tomás Barrientos (Canuto y Barrientos 2009, Barrientos y Canuto 2010, Barrientos, Canuto y Acuña 2011), que hasta la fecha ha llevado a cabo cuatro temporadas de campo. En 2011 se continuaron las exploraciones generales en la arquitectura del sitio y su región circundante, por lo que se presenta un resumen de los datos e interpretaciones correspondientes a las investigaciones previas en La Corona y su región asociada hasta 2010.

Asentamiento al occidente de la Reserva de la Biósfera Maya

Por tratarse de una zona desconocida arqueológicamente, los estudios llevados a cabo en la región de La Corona han aportado una gran cantidad de datos que desde ya son claves para la interpretación del sitio y toda la zona. Poco a poco, lo que era un área en blanco en los mapas arqueológicos de Petén, se está llenando a medida que se registran nuevos sitios y asentamientos. Las entrevistas con antiguos chicleros y la población local de San Andrés, han permitido elaborar un panorama de la densidad de sitios alrededor de La Corona y hacia la frontera mexicana.

La temporada 2010 tuvo como objetivo llevar a cabo un reconocimiento preliminar del área, con el resultado del registro de nuevo nuevos sitios (Figura 1.1), enfocándose en hacer un recorrido de la región para recopilar datos relacionados con la facilidad de transporte, las necesidad logísticas y el refinamiento de la metodología necesaria para llevar a cabo un proyecto de esta magnitud. Paralelamente a esto se aprovechó para llevar a cabo reconocimientos iniciales en áreas de interés así como visita a sitios reportados anteriormente.

A pesar del aparente éxito en el uso de imágenes satelitales de alta resolución para identificar sitios en otras áreas de la RBM, la técnica de identificar sitios por medio de su

incidencia directa sobre la vegetación actual no ha generado resultados positivos en la zona de estudio de PRALC. En respuesta, nos enfocamos en una clasificación morfológica de la región, concentrándonos en factores de drenaje de suelos con la esperanza que este sea otro factor que explique la predilección de un área prominente sobre otra. La topografía de la región es sumamente quebrada, dominada por topografía cárstica variada en el este y una topografía bastante plana al oeste. La pendiente va de este a oeste, formando un sistema de drenaje único.

Usando el Índice de Posición Topográfica (Topographic Position Index o TPI) de la Geomorfometría se logró definir las áreas relativamente bajas de la región, las cuales tienden a estar inundadas durante gran parte del año. Mediante la identificación de estas áreas, equivalente a 1270 km² del área de estudio, se pudo eliminar una gran parte del área que se tendría que reconocer en persona. Esto definió un área de 302 km² los cuales se mantienen arriba de los niveles normales de inundaciones temporales. De hecho, todos los once sitios (Figura 1.2) identificados dentro del área de estudio se localizan en estas área de prominencia topográfica elevada. O sea, se hallaron factores topográficos que inciden directamente en la viabilidad de asentamiento humano.

De los 9 sitios identificados en 2010, únicamente uno no presentó material cerámico del periodo Preclásico. Esto sugiere una importante ocupación preclásica en la región de la RBM occidental con características distintas a las encontradas en la meseta central al este y posiblemente compartiendo muchas similitudes con las ocupaciones preclásicas del suroccidente de Petén.

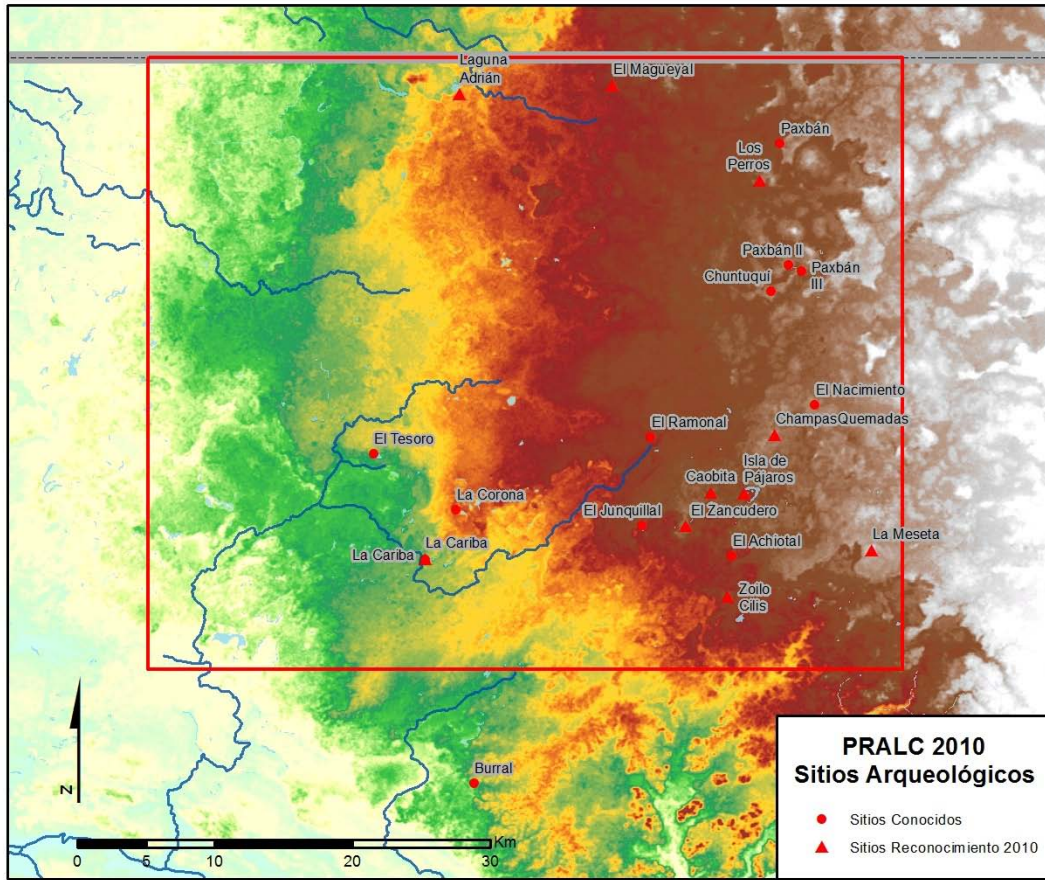


Figura 1.1 Sitios hallados en la zona de estudio PRALC hasta 2010 (Mapa por C. Chiriboga)

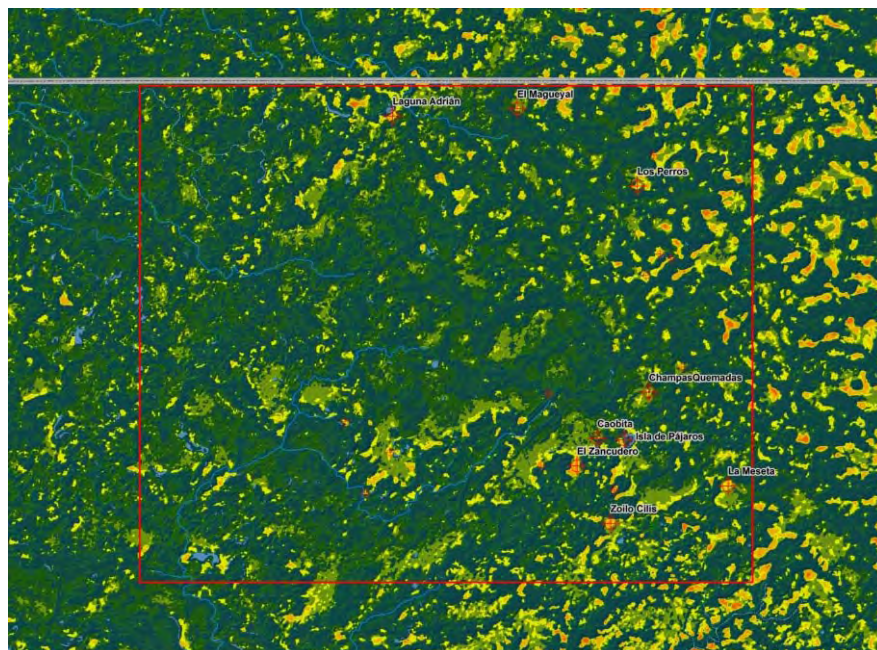


Figura 1.2 Áreas de altura relativa en la zona de estudio PRALC (Mapa por C. Chiriboga)

Investigaciones en El Achiotal

Las investigaciones demostraron que El Achiotal presenta diferencias notables en cuanto a su patrón de asentamiento e iconografía que lo distingue de otros sitios contemporáneos al este (Figura 1.3). La evidencia cerámica recopilada hasta la fecha indica que el sitio estuvo ocupado desde al menos la faceta temprana del periodo Preclásico Tardío. Desde el Preclásico, este sitio tuvo un linaje real, aludiendo a su importancia durante el periodo crítico del establecimiento y fortalecimiento de la organización política de los mayas.

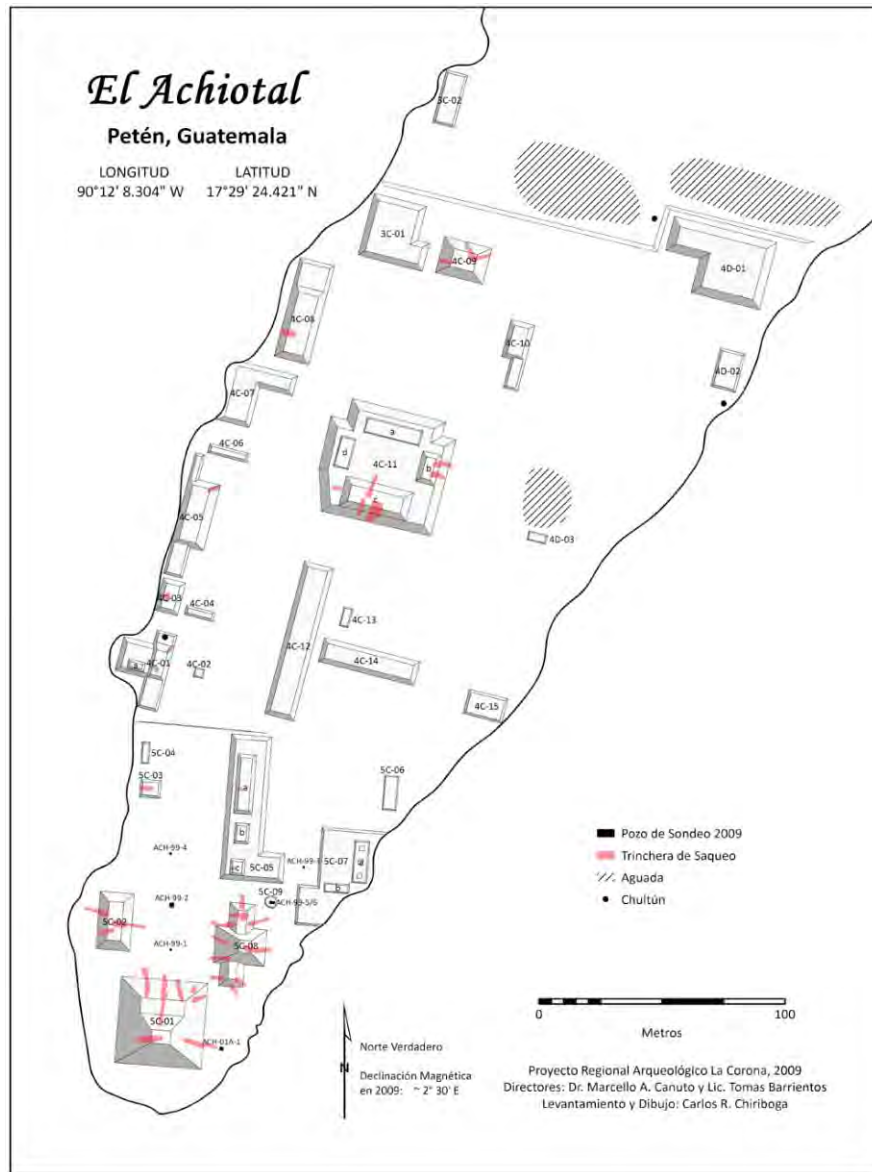


Figura 1.3. Plano de El Achiotal (Mapa por C. Chiriboga)

La Estructura 5C-01, ubicada en el límite sur es la más grande del sitio y la que hasta ahora indica ser la más importante ceremonial y políticamente. Las investigaciones sugieren que esta estructura cuenta con una larga secuencia arquitectónica que inicia posiblemente desde el Preclásico Medio. Hasta el momento se han identificado siete etapas constructivas fechadas al Preclásico Tardío hasta la última en el Clásico Temprano. Aun no se tienen datos concretos de la secuencia más temprana. No obstante, esta larga secuencia permite monitorear los cambios en la organización política del sitio, incluyendo los inicios de un linaje. Las construcciones de mampostería más tempranas en la Estructura 5C-01, Chub, Sank y Sip, formaban un patio (Figura 1.4). La Estructura Chub tuvo al menos tres cuerpos mientras que la Estructura Sank fue una gran plataforma de un solo cuerpo. La Estructura Sip limitó al norte este patio dando acceso directo a la plaza del Grupo Sur, de manera que la estructura tenía dos puertas, una al norte y una al sur. Aunque sencilla, la estructura estuvo decorada con diseños pintados en rojo sobre las paredes y en las jambas. Esta es la evidencia más temprana de un edificio pintado y es una indicación de la importancia que fue adquiriendo el sitio. La Estructura Sip posteriormente fue remodelada y se convirtió en la Estructura Jonon, un edificio más grande que cancela parcialmente el grupo de patio más temprano decorado por varios murales que representan máscaras que portan distintos símbolos, que incluyen una diadema real (Acuña *et al.* 2010).

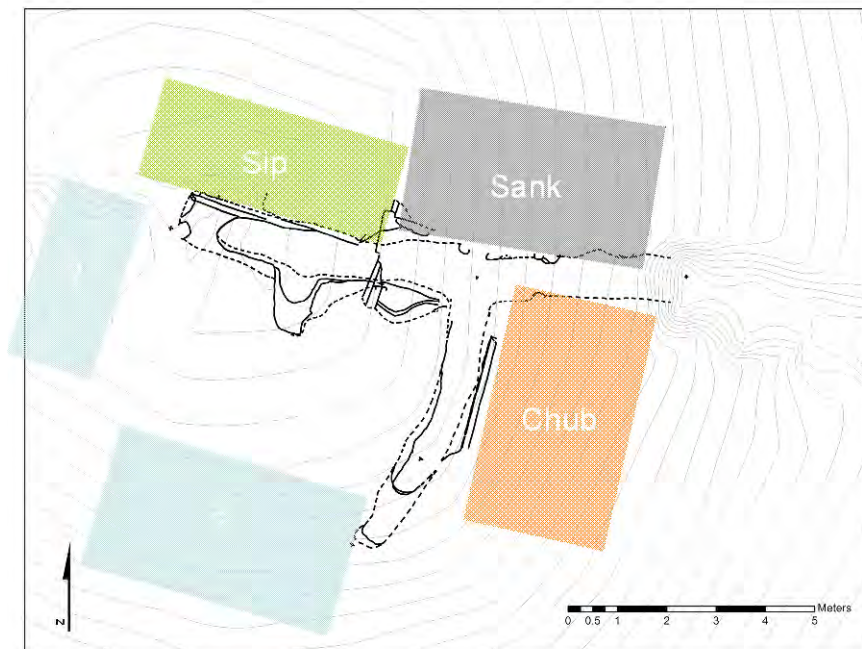


Figura 1.4 Arquitectura de mampostería temprana en El Achiotal (Mapa por M.J. Acuña)

Excavaciones en la plaza central del Grupo Norte y en la plataforma del Grupo 4C-11 (Figura 1.5) apoyan las interpretaciones de la importancia del sitio durante el periodo Preclásico Tardío que viene del parte sur del sitio. También, revelan una fase adicional de ocupación que no aparece en el Grupo Sur. El Grupo 4C-11 es la construcción más grande del Grupo Norte y consiste en una gran plataforma de 5 metros de altura con cuatro estructuras ubicadas a manera de grupo de patio en su cima. Un pozo de prueba excavado al centro de la plataforma identificó un gran evento de construcción que abarca la mayoría de la altura de la plataforma que probablemente fue construida durante el periodo Preclásico Medio. Una de las principales características de esta plataforma es su construcción utilizando únicamente tierra proveniente de los bajos que rodean el sitio. La adición de tres pisos sobre la plataforma durante los periodos Preclásico Tardío y Preclásico Terminal-Clásico Temprano sugiere una ocupación ininterrumpida y modificaciones continuas hasta el periodo Clásico Temprano.

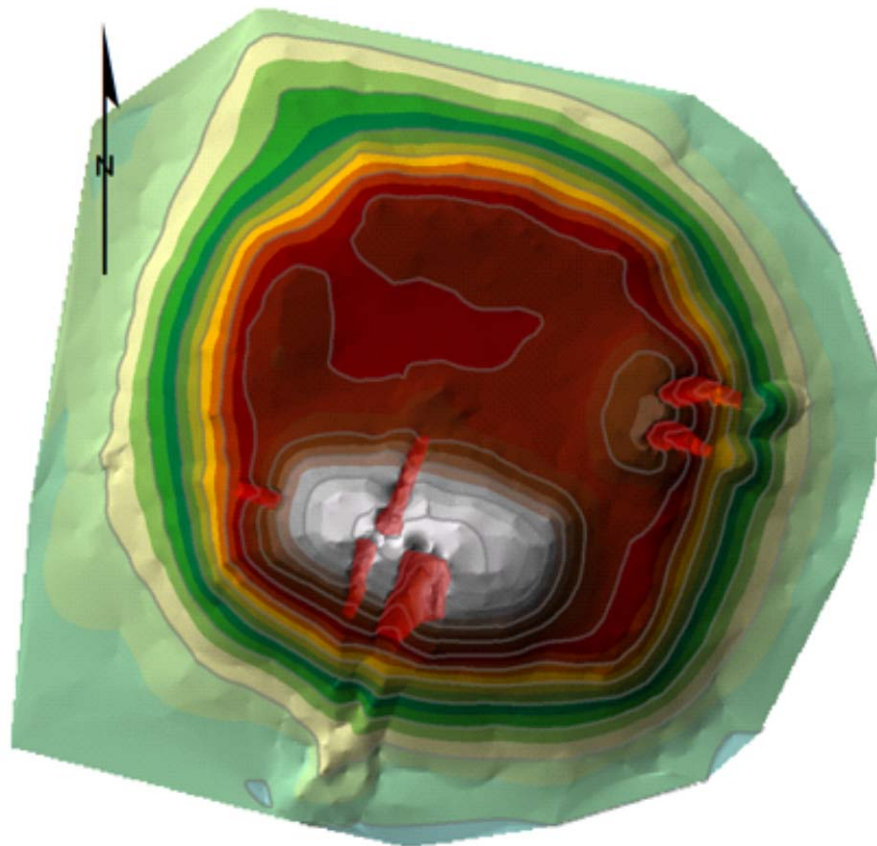


Figura 1.5 Estructura 4C-11, El Achiotal (Mapa por C. Chiriboga)

Generalidades del patrón de asentamiento de La Corona

La antigua ciudad de *Sak Nikte'*, ahora conocida como La Corona, se asentó en un terreno rodeado por varios sibales o lagunetas estacionales, que proporcionan un paisaje particular. Aunque no se sabe todavía cuál fue razón principal para elegir este sitio, se puede especular que además de contar con un suministro considerable de agua, brindó ventajas en cuanto a la presencia de una zona pantanosa con suelos fértiles y que pudo proveer aspectos defensivos.

El epicentro de La Corona está dominado por dos plazas o grupos arquitectónicos principales ubicados en un eje este-oeste (Figura 1.6). Estos grupos, denominados Plaza Principal y Grupo Coronitas, exhiben un patrón formal de arreglo de sus edificios, tomando como base alineaciones a los puntos cardinales. Entre ambos existe otra plaza abierta, la cual contiene varias estructuras sin un arreglo espacial formal, pero que parece incluir algunos templos piramidales de función ritual o funeraria.

Por la presencia de los sibales, el resto de estructuras que conforman el sitio fueron asentadas de acuerdo a la presencia irregular de partes elevadas, por lo que las zonas residenciales se encuentran dispersas por un área bastante extensa. Por consiguiente, el mapa del sitio refleja una densidad muy baja de estructuras residenciales, las cuales serán mapeadas a medida que se extienda el mapa hacia fuera del epicentro. En 2009 el mapa se extendió hacia el oeste y en 2010, el trabajo de Rodrigo Guzmán continuó el mapa hacia el sur del sitio, donde se ubicaron algunos grupos y estructuras de regular tamaño en los alrededores del sibal "Colmoyote". Cabe destacar que al suroeste se detectó la presencia de varios siguanes o hundimientos cársticos que asemejan cenotes.

La Corona tiene un patrón dual que conforman las dos principales plazas del sitio. La Plaza Principal, ubicada al oeste, presenta aspectos que son bastante comunes a la mayoría de ciudades mayas, como lo es la presencia de las estructuras alargadas 13Q-3 y 13Q-5, que delimitan la plaza al norte y sur. La estructura piramidal 13Q-1 posiblemente sea de tipo funerario y la Estructura 13Q-2 pudo también tener funciones administrativas, rituales y funerarias y su basamento fue extendido para crear un posible patio de Juego de Pelota. La estructura dominante en toda la plaza es el palacio 13Q-4, tipo Acrópolis. Estos edificios conforman una plaza cuadrangular nivelada, que sirvió para colocar estelas y altares frente a las estructuras ya mencionadas. En el extremo suroeste se encuentra una aguada artificial que sirvió de reservorio para quienes residían en este conjunto (Figura 1.7).

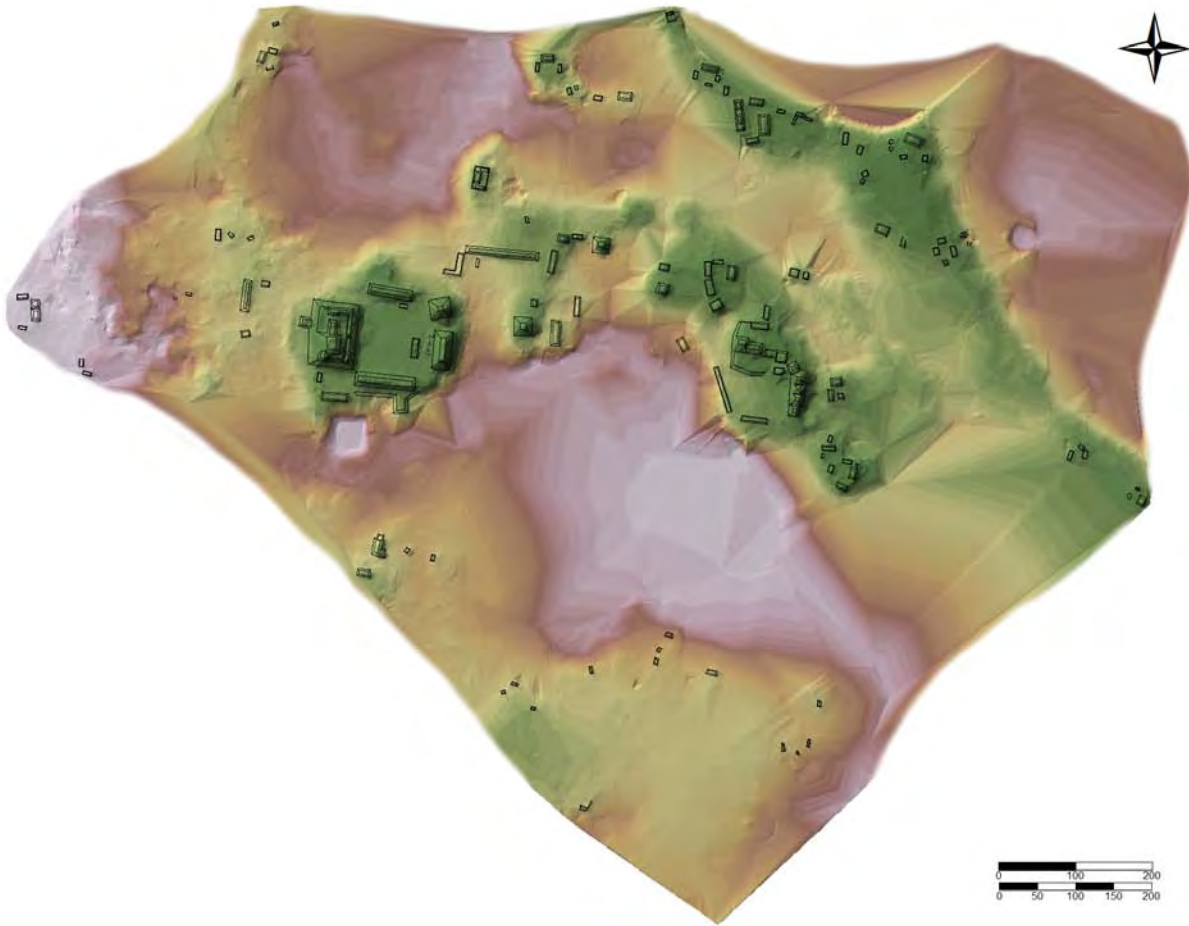


Figura 1.6 Mapa tridimensional de La Corona, 2010 (Mapa por R. Guzmán y M. Canuto)

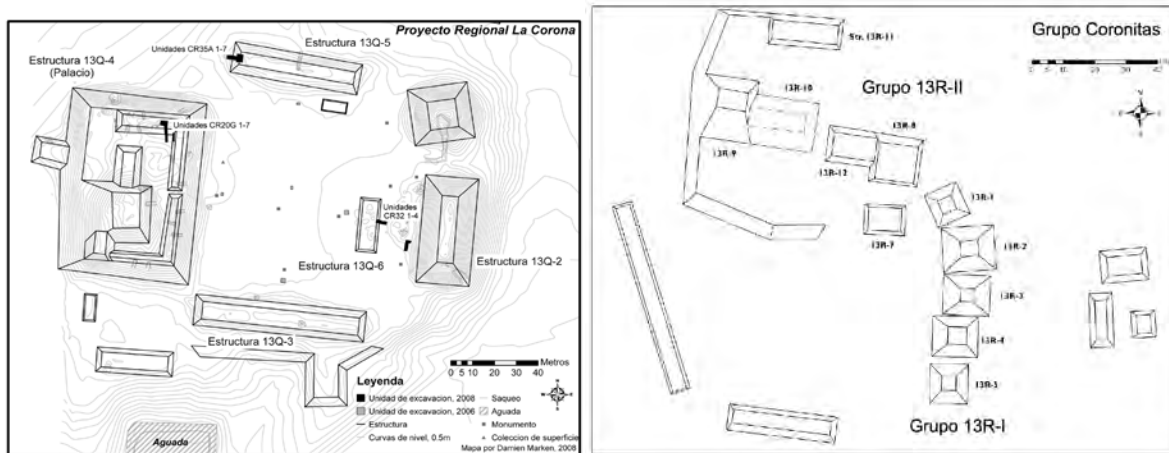


Figura 1.7 La Corona, Plaza principal (izquierda) y Grupo Coronitas (derecha)
(Mapas realizados por D. Marken)

Por su parte, el Grupo Coronitas presenta características menos convencionales, donde destaca el conjunto de cinco pequeños templos alineados en eje norte-sur (Grupo 13R-I) y un grupo de templo y palacio en el límite norte del grupo (Grupo 13R-II). Hacia el sur y este, la plaza es casi abierta, ya que solamente presenta dos estructuras bajas y alargadas (Figura 1.7).

Al comparar ambas plazas, surge la interrogante en cuanto a su función y significado dentro del sitio, y si fueron construidas en la misma época o si corresponden a momentos cronológicos distintos. A este respecto se puede considerar que la Plaza Principal fue el escenario para actividades rituales y políticas de carácter público, ya que es allí donde se ha documentado la mayoría de monumentos con inscripciones. Actualmente hay una estela y cuatro altares, y se han identificado los restos de por lo menos 2 ó 3 escalinatas glíficas. También es posible que la mayoría de paneles saqueados pudieran ubicarse originalmente en las estructuras de esta plaza. Como estas inscripciones contienen información relacionada a los gobernantes de La Corona y Calakmul, las actividades rituales llevadas a cabo en la plaza se enfocaron en celebrar la Corte Real de La Corona y sus nexos con el reino de Calakmul.

Por otro lado, en el Grupo Coronitas solamente se han recuperado inscripciones en dos paneles, uno muy erosionado (Panel 7) y el texto del Panel 1. No obstante, no se puede descartar que de este grupo provengan algunos de los monumentos saqueados, como es el caso de la escalinata de la Estructura 13R-10, que al ser limpiada presentó un alto grado de saqueo.

Entonces, las diferencias en diseño arquitectónico y presencia de monumentos con inscripciones en ambos grupos pueden sugerir funciones distintas. Inicialmente se ha considerado la idea que la Plaza Principal tuvo un carácter más dinástico, relacionado con la conmemoración de eventos políticos, mientras que el Grupo Coronitas pudo haber sido concebido de manera distinta, posiblemente asociado a las deidades patronas o tutelares del sitio, lo que también pudo significar un énfasis más colectivo que dinástico. Esta hipótesis parte principalmente del contenido del texto del Panel 1, encontrado en la Estructura 13R-5, que incluye pasajes de carácter ritual y mitológico, especialmente la descripción de la fundación del templo como santuario para la efigie de un dios patrón. Se supone entonces que cada uno de los cinco templos de este conjunto pudo haber sido dedicado a deidades específicas y que fueron particulares al sitio de *Sak Nikte'*. Además de este evento, el Panel 1 incluye otros relatos muy antiguos de la historia del sitio, que incluye la llegada de un personaje en el año 314 d.C.

Por lo descrito anteriormente, los estudios arquitectónicos en estas dos plazas son de suma importancia, además que constituyen la principal fuente para reconstruir la cronología ocupacional del sitio. Ha sido entonces muy importante buscar evidencia de actividades rituales en el Grupo Coronitas, con el objeto de definir la naturaleza de este conjunto arquitectónico y las diferencias y similitudes con los contextos encontrados en la Plaza Principal.

En 2010 también se iniciaron las excavaciones en sectores residenciales y se obtuvieron muestras cerámicas de algunos basureros, así como algunos datos arquitectónicos de cuatro grupos habitacionales del sitio (13R-2, 12Q-1, 13P-1, 13S-2), los cuales están en proceso de análisis.

Estudios arquitectónicos: Grupo Coronitas

Las investigaciones de Joanne Baron en el conjunto de cinco templos del Grupo Coronitas han incluido excavaciones extensivas en los tres templos centrales 13R-2, 13R-3 y 13R-4. Anteriormente, Marcello Canuto ya había realizado excavaciones en el templo 13R-5, ubicado en el extremo sur, en cuyo interior fue encontrado el Panel 1 y la cista vacía de una posible tumba, la cual fue saqueada.

Hasta el momento, la Estructura 13R-4 es la que ha proporcionado mejor información con respecto a la historia constructiva de este grupo. Las excavaciones de Baron en 2009 ya habían definido que los tres templos centrales se asentaron sobre un basamento único de unos 5 m de altura (Baron 2010), el cual fue explorado de manera más intensiva en 2010. La mayor parte de la información cronológica se obtuvo mediante la limpieza y profundización de dos grandes excavaciones de saqueo que destruyeron casi totalmente las superestructuras de 13R-2 y 13R-4, pero que al mismo tiempo facilitaron la profundización dentro del relleno del basamento de los tres templos. La excavación en 13R-4 tuvo una profundidad total de 9 m desde la cima del templo, donde se llegó hasta la roca madre y se expuso el perfil completo de todo el basamento (Figura 1.8).

En la base del mismo se descubrió una tumba cortada en la roca madre y que presentó también muros en sus laterales. No obstante, el contenido de la cámara no fue lo que se esperaba, ya que incluyó solamente pocos huesos humanos fragmentados, una navaja prismática de obsidiana y un cuenco con engobe rojo-naranja.

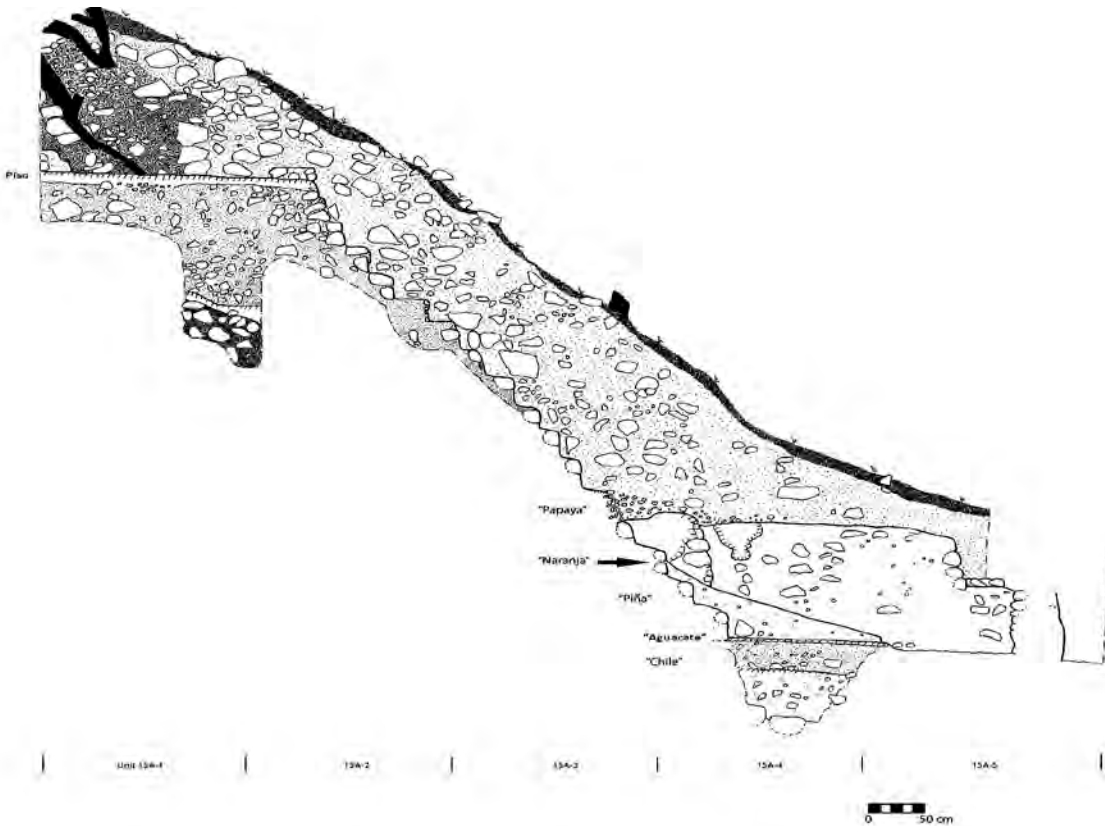


Figura 1.8 Perfil de la fachada de la Estructura 13R-4 (Dibujo por J. Baron)

Se encontraron algunos fragmentos de cráneo que estuvieron pintados con cinabrio, sugiriendo entonces que se trata de un entierro secundario o que hubo un evento de re-entrada a la tumba (Figura 1.9). Durante la excavación se recuperaron varios palos de madera bien conservados, lo que hizo dudar del contexto, por lo que se sometieron a fechas de radiocarbono. Finalmente, se demostró que los palos son recientes, indicando así que la tumba fue saqueada. Ahora bien, tanto el estilo de la tumba, como la vasija encontrada en su interior, indican una fecha del Clásico Temprano, posiblemente entre los siglos V y VI d.C. Este pareciera ser hasta ahora el contexto arquitectónico más antiguo fechado en La Corona y apunta hacia un evento de fundación para el Grupo Coronitas, cuando se construyó la primera versión del basamento y los tres templos centrales.

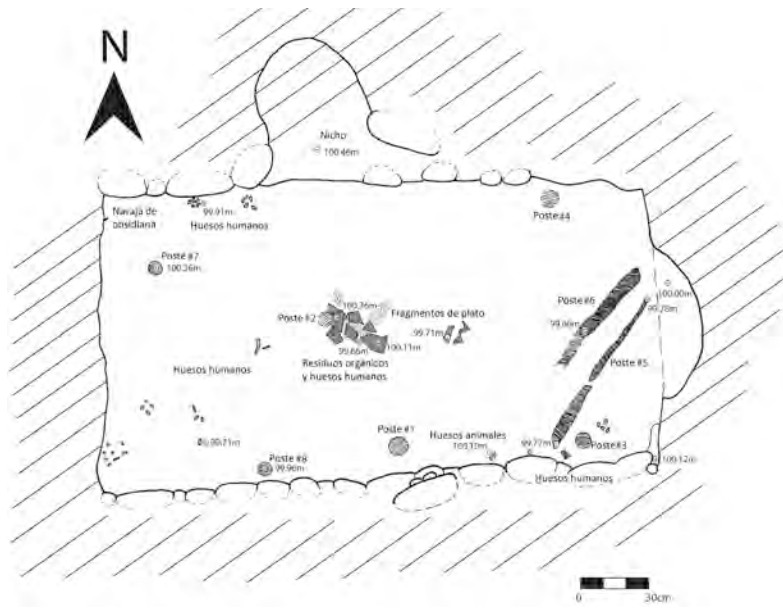


Figura 1.9 Planta de la tumba encontrada en la Estructura 13R-4 (Dibujo por J. Baron)

En la temporada 2010 se iniciaron las exploraciones en la Estructura 13R-10, que es un pequeño palacio adosado a la pirámide 13R-9, con una limpieza de la parte frontal, cuya escalinata fue totalmente destruida por saqueadores, posiblemente por la presencia de bloques glíficos. A pesar de esta gran perturbación de contexto, se pudieron definir algunos rasgos arquitectónicos de sus terrazas y escalinata. Las excavaciones también incluyeron la parte posterior, donde se descubrió un enorme basurero colocado dentro de un *chultun*. El material depositado en este agujero dentro de la roca madre incluyó una gran cantidad de tiestos de vasijas utilitarias, especialmente cántaros estriados, así como cerámica policromada, figurillas, huesos de animales, agujas, malacates y otros materiales propios de desechos domésticos.

Al comparar los contextos arqueológicos dentro del Grupo Coronitas, parece evidente que las dos estructuras al norte fueron usadas para rituales que involucraron grandes celebraciones, dada la gran cantidad de vasijas policromas de servicio, instrumentos musicales y otros objetos de elite. Además, también hay evidencia que indica una actividad residencial, seguramente para nobles o sacerdotes asociados a las actividades realizadas en honor a las imágenes de deidades ubicadas en los cinco templos. Al contrario, los contextos en y alrededor de los cinco templos son muy modestos, indicando que éstos se mantenían limpios y que posiblemente tuvieron un uso y acceso restringido.

Estudios arquitectónicos: Plaza Principal

Se han encontrado contextos tempranos en el Grupo Principal, por lo que se puede afirmar que para el Clásico Temprano ya existía una primera versión de la Plaza Principal, la cual mantuvo su plan original a lo largo de toda su historia. Estos contextos tempranos fueron documentados en 2008 (Desailly-Chanson 2009) por medio de muros expuestos por actividades de saqueo en la Estructura 13Q-5, que es una estructura alargada que delimita la plaza en su lado norte. Durante las excavaciones en 2010, se encontraron varios pisos estucados que corresponden a la versión inicial del edificio.

De igual forma, las excavaciones de Liliana Padilla en el Palacio 13Q-4, han evidenciado que esta acrópolis también contiene una versión inicial del Clásico Temprano, que se encuentra bajo una serie de pisos del Clásico Tardío. En la temporada 2010 se descubrió una escalinata y una subestructura muy bien preservada, recubierta de estuco (Figura 1.10). Este edificio se encontró directamente debajo de la Estructura 13Q-4A, con la misma orientación norte-sur que su versión posterior.

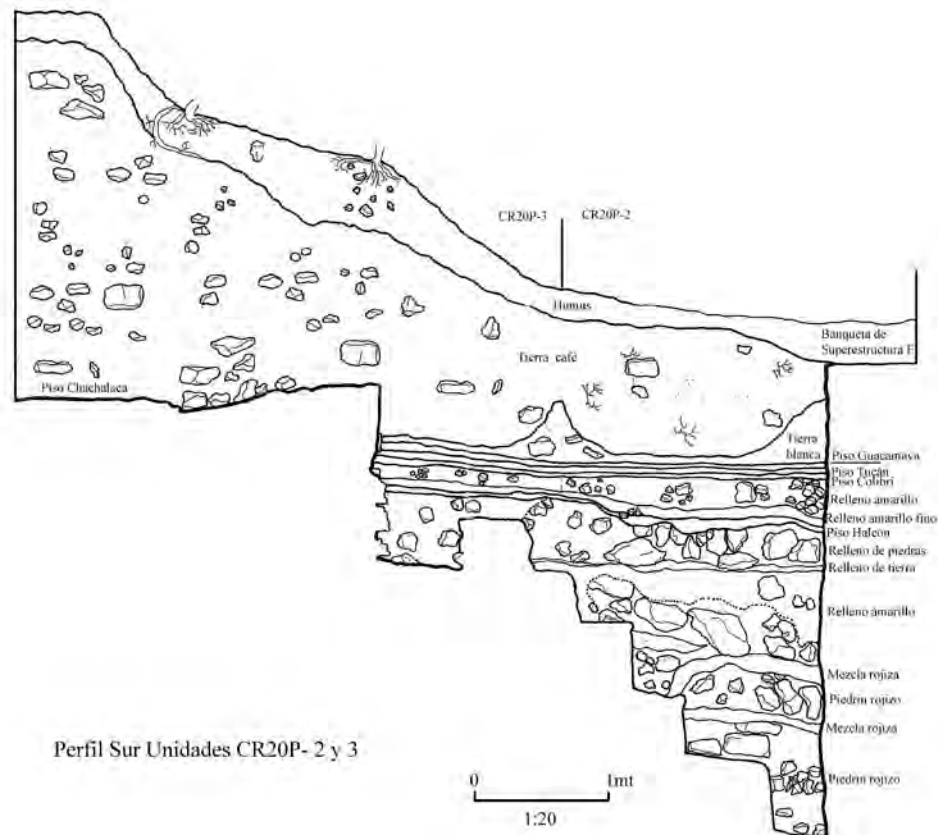


Figura 1.10 Perfil Sur de la escalinata de la Sub-estructura encontrada bajo 13Q-4a (Dibujo por L. Padilla)

Ya en el Clásico Tardío, la decoración de las fachadas del Palacio fue modificada, ya que se recuperaron grandes fragmentos de estuco modelado que originalmente decoraron la cornisa de la Estructura 13Q-4A. Destaca un fragmento de torso humano que está ricamente ataviado con un collar y del cual cuelga una cabeza trofeo.

La Estructura 13Q-2 continuó siendo explorada en la temporada 2010, exponiendo el centro y límite norte de una larga cámara única que formaba la superestructura. La escalinata frontal se encontraba en muy mal estado, pero bajo ésta pudo ser documentada una escalinata de mucho mejor calidad constructiva.

En cuanto a las estructuras alargadas 13Q-3 y 13Q-5, ambos edificios son muy similares, presentando escalinatas de gradas anchas en su parte frontal, y muros bajos en su parte superior que sostuvieron superestructuras prececeras. Las superestructuras presentan evidencias de bancas, lo que sugiere un posible uso de presentación durante actividades de tipo público y político. Los artefactos recuperados en la superficie de ambas estructuras incluyen objetos de materiales valiosos, como concha, jade y otros minerales, sugiriendo que sus ocupantes fueron de alto estatus (Figura 1.11). Destaca la presencia de una placa lisa de piedra verde muy oscura, con un agujero en su extremo, lo que indica que fue usado como ornamento de un cinturón, posiblemente como parte del atuendo de un gobernante. En el eje central de cada una de estas estructuras se colocó un entierro de un personaje noble, dada la calidad de sus ofrendas funerarias.



Figura 1.11 Algunas ofrendas de los entierros de las Estructuras 13Q-3 y 13Q-5 (Fotos por Y. Desailly-Chanson)

Aunque estos entierros no pudieron excavarse por completo en la temporada 2010, las ofrendas recuperadas incluyen cuentas de jade, adornos de concha y un collar de dientes de felino proveniente del entierro de la Estructura 13Q-5. En cuanto al entierro de la Estructura 13Q-3, éste fue depositado de manera intrusiva, tal como se aprecia en el Perfil Sur de la excavación, por lo que puede ser de una fase posterior.

La Estructura 13Q-3 sufrió modificaciones importantes en su escalinata de acceso, ya que se le agregaron bloques glíficos de un estilo muy singular, ya que es un glifo por bloque. Se registraron más de 60 bloques en 2009, aunque la mayoría habían sido movidos de su contexto original por los saqueadores. Se encontraron por lo menos 4 bloques *in situ* que confirmaron la existencia de la Escalinata Glífica 1. Aunque estos bloques se encontraron muy erosionados y pocos pueden ser legibles, si se pudo constatar que la temática de la escalinata se relaciona a la captura de prisioneros (Desailly-Chanson 2010). Esto es relevante porque en los períodos previos se carecía por completo de cualquier evidencia epigráfica de actividad bélica o militar y esto podría ser un indicio de que la región de La Corona experimentó un proceso de fragmentación política y rivalidad. Esto también lo sugiere la erección de uno o varios monumentos en el sitio cercano de La Cariba en el año 746 d.C..

Fragmento del Altar 4

Seguramente uno de los principales descubrimientos realizados en 2010 fue la definición de una última fase de ocupación en La Corona, la cual pudo comprobarse tanto en las inscripciones como en contextos arqueológicos. Este último período se relaciona directamente con la inscripción del Altar 4, que se localiza frente a la Estructura 13Q-3, en el lado sur de la Plaza Principal. Las lecturas iniciales de esta inscripción, registrada por David Stuart en 1997, hablan de la llegada de una cuarta mujer en la historia de La Corona en el año 791 d.C. Por las referencias anteriores, se supuso que esta mujer provenía de Calakmul, aún cuando esta ciudad ya no tenía ninguna presencia significativa en la región de Petén. En abril de 2010, mientras Bruce Love y Joanne Baron realizaban un nuevo registro de éste y otros monumentos de la plaza, encontraron un pequeño fragmento de este altar, el cual indicaba la identidad de este personaje. Al analizar el fragmento (Figura 1.12) se identificó con gran sorpresa el glifo emblema de Tikal acompañando al nombre de esta mujer, la cual también ostentaba el título de *kaloomte'*, indicando así que se trataba de una persona de alto rango.

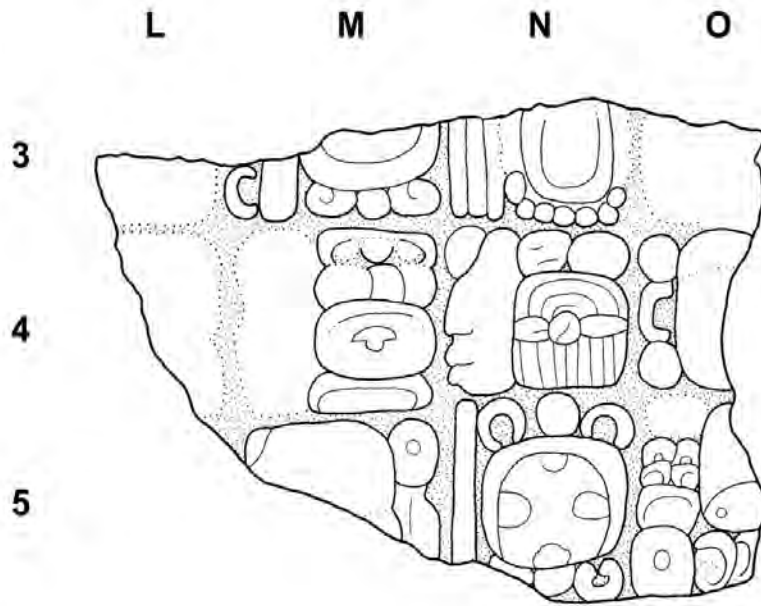


Figura 1.12. Fragmento de Altar 4, La Corona (Dibujo por Joane Baron)

Arqueológicamente, la última fase constructiva en La Corona esa representada por una serie de modificaciones menores en casi todos los edificios de ambas plazas, las cuales fueron realizadas con piedra caliza porosa de mala calidad. Tal parece entonces que esta alianza tardía con su antigua ciudad enemiga conllevó a cubrir rápidamente los indicios de la época de gloria del Reino Kan, talvez como forma de afirmar los cambios políticos que se estaban suscitando ante el resurgimiento de Tikal.

Otro contexto tardío identificado en las excavaciones en la temporada 2010 fue encontrado en la superficie del basamento frontal de la Estructura 13Q-2, el cual fue documentado como parte de las excavaciones de Cristina Guirola. Este constituyó un depósito cerámico que cubrió el piso y plataforma frente a la escalinata frontal, y que posiblemente corresponda al inicio del siglo IX d.C., pero habrá que esperar un análisis detallado de los tipos diagnósticos para corroborar esta idea.

Conclusiones preliminares: 2005-2010

Después de estas temporadas, se ha podido confirmar que la región de La Corona es una zona importante en el mundo Maya Clásico. Su ubicación al norte de *Waka'* y al este de Tikal lo identifica como un punto crítico y estratégico para el intercambio y comunicación entre Calakmul y el sur de Petén. Es muy probable que para Calakmul, la existencia de un fuerte aliado en La Corona fuera imprescindible para su abastecimiento continuo de mercancías como obsidiana y jade. Además, su ubicación cerca de varias fuentes de agua resultaría estratégica para el movimiento de grupos grandes entre Calakmul el resto de la zona maya al sur. Por el momento se pueden plantear las siguientes conclusiones:

- 1) El modelo de asentamiento predictivo para la RBM (lado oeste) en el cual se elaboró una buena base parece prometedor. Con este modelo, se pudo hallar varios sitios nuevos. Se planea elaborar el modelo con precisión más exacta en las áreas más de mayor interés, y se seguirá poniéndolo a prueba el año entrante.
- 2) La RBM occidental agrupa una cantidad de sitios de carácter secundario. Hasta ahora, la gran mayoría de sitios visitados y reportados permanecen en la zona más elevada (la franja este) de la región. Sin embargo, se han reportado varios sitios más al oeste, cerca de los ríos.
- 3) En el Clásico, se está hallando una red de sitios orientados a lo largo de una ruta norte-sur conectando El Perú-Waka' con Calakmul. En cuanto al Preclásico, los datos revelan una presencia contundente por toda la región que se ha investigado. Los datos son demasiado preliminares para ofrecer conclusiones ahora; sin embargo, se ha mostrado que la ocupación Preclásica parece ser extensa y masiva en la RBM occidental.
- 4) El Achiotal parece ser una cabecera de la ocupación preclásica. La arquitectura, los murales, las decoraciones arquitectónicas y la iconografía sugieren que éste era la sede de un linaje dinástico que probablemente controlaba el trueque y rutas de intercambio entre la zona central petenera y el sudoeste donde está ubicado Ceibal.
- 5) El origen de La Corona, que de acuerdo a los datos preliminares, parece relacionarse directamente con el abandono de El Achiotal, principal centro preclásico de la zona. Para ahondar más en el tema, será fundamental la búsqueda de otros contextos tempranos en el interior del basamento de los tres templos centrales del Grupo Coronitas, así como la

continuación de la exploración del Palacio temprano y cualquier contexto que se encuentre por debajo de las estructuras del Clásico Tardío.

- 6) Parece que en la última etapa de ocupación de La Corona, el patrocinio político del sitio y sus gobernantes estaba en manos de Tikal. Con los varios cambios arquitectónicos tardíos en la Plaza Principal, se supone que hubo un cambio notorio en el sitio durante la segunda parte del siglo octavo d.C.
- 7) La importancia estratégica de la zona para el manejo y conservación a largo plazo de la Reserva Biosfera Maya ha sido comprobada actualmente por el gran interés nacional e internacional en la RBM occidental. Este enfoque de hoy en día, resulta de la inherente importancia de esta zona durante toda la historia de asentamiento humano en el Petén.

V. ORGANIZACIÓN DEL PROYECTO

El PRALC propone un estudio regional de una zona de Petén poco estudiada, donde La Corona representa el sitio clásico Maya con arquitectura monumental más noroccidental de Guatemala. Aunque ya se han hecho algunos estudios de reconocimiento (Kaufman y Leal 1988; Leal y López 1993; Leal, López *et al.* 1988), no se han realizado investigaciones intensivas en esta zona. De hecho, al norte de La Corona hasta la frontera Guatemala-México, yacen más de 30 Km. de territorio inexplorado donde podrían estar ubicados varios sitios monumentales.

Zona de Estudio

El PRALC propone estudiar una zona que abarca la región entre Waka' y La Corona hasta la frontera norte de Guatemala, que incluye unos 50 km al oeste de la "Cuenca Mirador" (Figura 1.13). En total, la zona mediría casi 2,200 km². Aunque no se podrá realizar un estudio arqueológico exhaustivo de esta zona completa, se espera que el uso de sensores remotos permita explorar de manera "virtual" toda la región entre La Corona y la frontera norte. A continuación se describen los límites del área de estudio:

- 1) Límite occidental: nacimiento de los ríos Chocoo, Xan, y Candelaria. Los tres afluentes llevan hacia el oeste y probablemente representan rutas de comunicación entre el centro de Petén y el occidente. Se considera posible que existen sitios a lo largo de ellos.
- 2) Límite sur: entre Waka' y La Corona, justo donde nace el Río San Juan, que fluye al sur hacia el Río San Pedro Mártir.

3) Límite oriental: definido arbitrariamente, colindante con la región de El Mirador, aproximadamente a 6 km al oeste de Carmelita, cerca del nacimiento del Arroyo Sac Chich.

La zona de estudio, como polígono, tiene sus esquinas aproximadamente en las coordenadas N 17° 49' 04" W90° 35' 00" (punto noroeste); N 17° 49' 07" W90° 07' 00" (punto noreste); N 17° 25' 00" W90° 35' 00" (punto suroeste) y N 17° 25' 00" W90° 07' 00" (punto sureste). El área se encuentra en varias zonas distintas de la Reserva Biosfera Maya, que son: Parque Nacional Laguna del Tigre, Zona de Manejo Especial Laguna del Tigre y Corredor Biológico. En cuanto a concesiones, están Paxbán al noreste y San Andrés (AFISAP), Carmelita y La Colorada al sureste. La zona está en la jurisdicción del municipio de San Andrés, departamento de Petén y no incluye comunidades actuales, aparte asentamientos ilícitos.

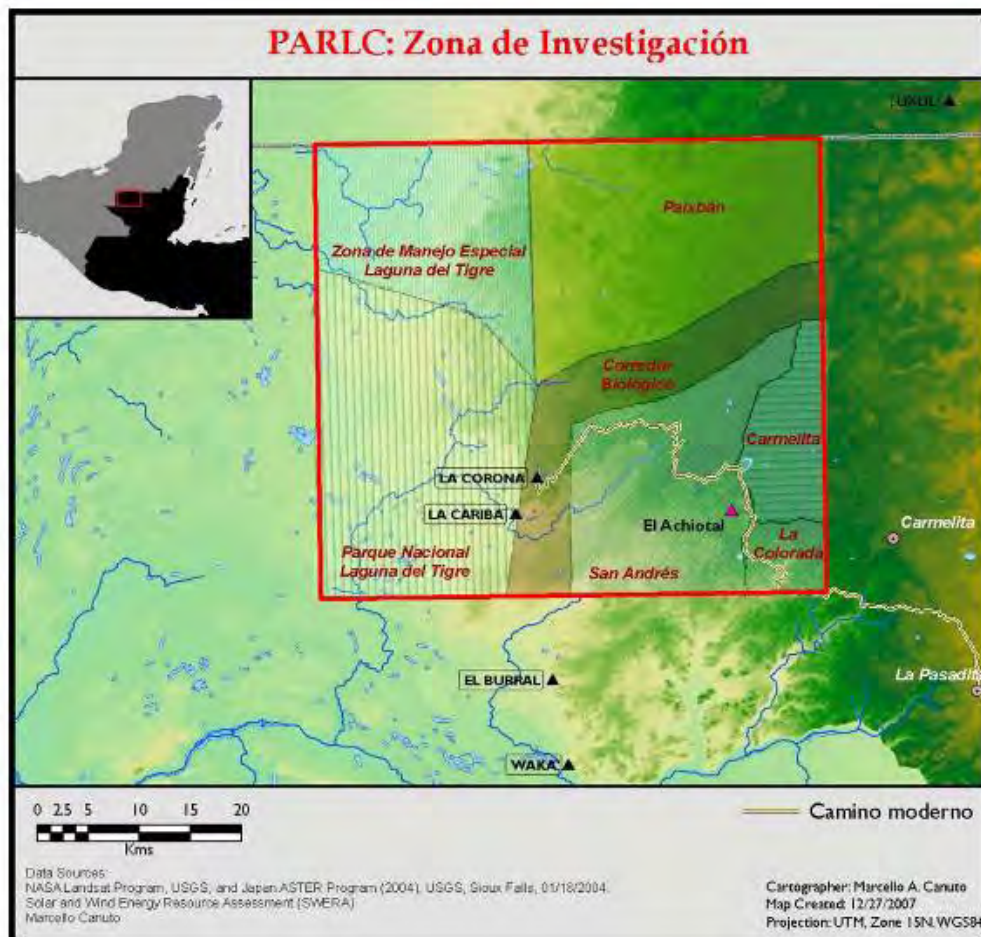


Figura 1.13 Zona de Estudio con límites aproximados (Mapa por M. Canuto)

Alianza para la Protección e Investigación del Corredor Biológico PNLDT-PNMR

En el 2008, se propuso una alianza llamada Escudo Jaguar, formada por varias ONGs (WCS, Pro-Petén, Asociación Balam), entes gubernamentales (IDAEH, CONAP, DIPRONA), comunidades locales (ACOFOP, AFISAP) y proyectos arqueológicos para la protección de esta área. Consecuentemente, el proyecto propuesto aquí haría parte de un esfuerzo multilateral necesario para la conservación de los bienes culturales y naturales de la región.

Campamento La Corona

A inicios de la temporada 2010 se terminó la construcción del campamento permanente para los investigadores y trabajadores del proyecto, para lo cual se cuenta con el aval del Ministerio de Ambiente y Recursos Naturales, después de realizarse una Evaluación Ambiental Inicial (EAI). El lugar fue escogido en 2006 cuando se hizo un reconocimiento rápido de los alrededores del sitio (Figura 1.14), ya que se encuentra cerca del camino y fuentes de agua suficientes. Este lugar está ubicado en la orilla del sibal nombrado Jabirú, que queda a menos de 500 m al este del Grupo Coronitas (cuadrante 12S).

El diseño del campamento es de bajo impacto ambiental, por lo que se han tomado medidas en cuanto al manejo de desechos, drenaje y la minimización de materiales que no son propios del lugar (lámina, malla, block, cemento). Este campamento puede servir como base para vigilantes del proyecto, así como personal del IDAEH, CONAP, Ejército de Guatemala y otras instituciones que operan en la zona. Adicionalmente, se utilizaron estaciones de CONAP en La Cariba, y de AFISAP en Buena Vista, para las investigaciones en El Achiotal y otros sitios ubicados en los alrededores de La Corona.

El campamento incluye tres estructuras principales: comedor-cocina, laboratorio-bodega de materiales y oficina-bodega de equipo y herramientas (Figura 1.15). Estas consisten de estructuras con techo de lámina, paredes de block y malla metálica con cedazo. Adicionalmente se construyeron sanitarios, duchas y un área de lavandería. En cuanto al área de dormitorio, se hicieron dos ranchos de guano para albergar 32 carpas (personal operativo). Para el personal técnico y profesional se cuenta con 10 ranchos individuales para carpas y un rancho grande para visitantes.

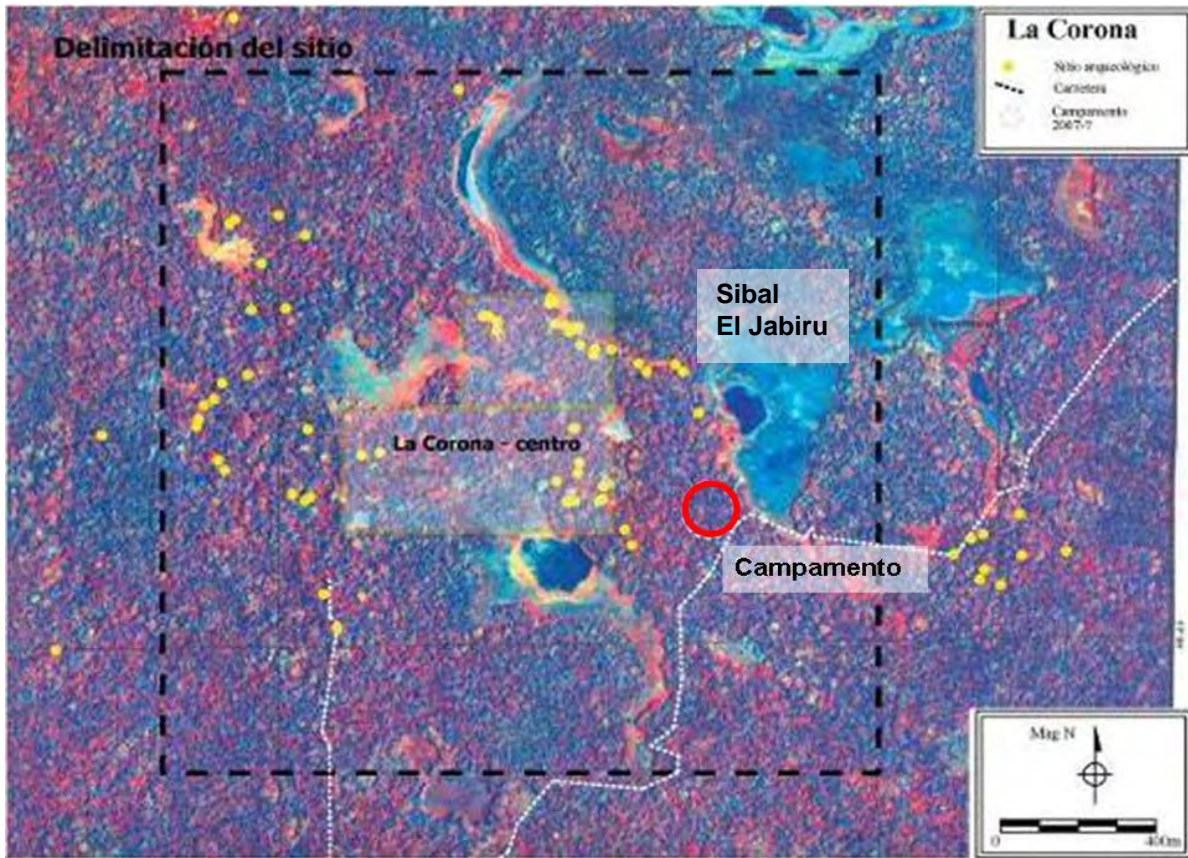


Figura 1.14 Delimitación del sitio La Corona y ubicación del Campamento del PRALC

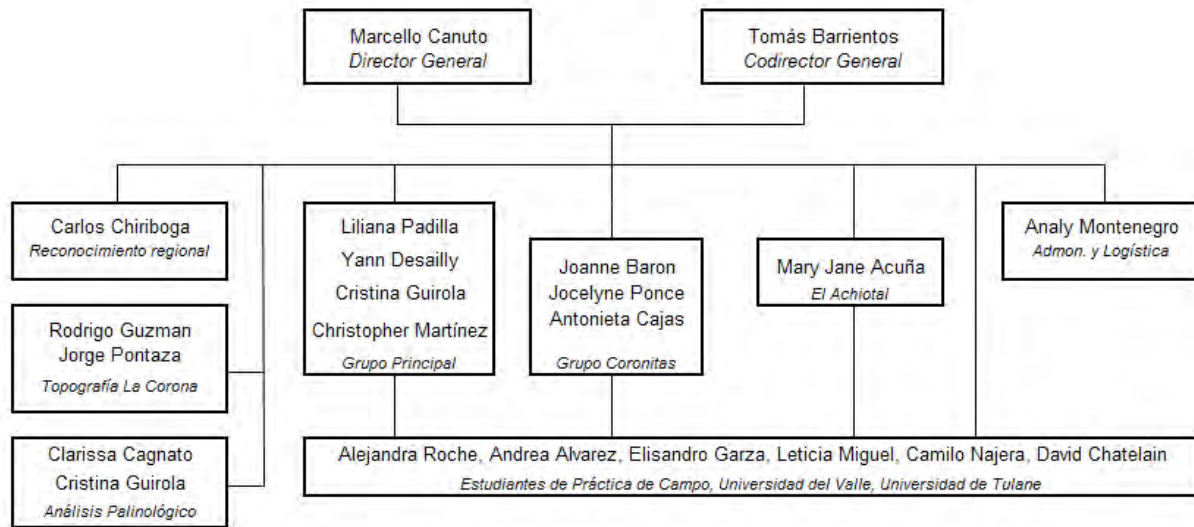


Figura 1.15 Sendero en el campamento del PRALC (Foto por T. Barrientos)

Personal Científico y Técnico, Temporada 2011

1. Dr. Marcello Canuto, *Director General del Proyecto*
2. Dr. *infieri* Tomás Barrientos, *Codirector General del Proyecto*
3. M.A. Mary Jane Acuña, *Directora del subproyecto en El Achiotal*
4. Dr. *infieri* Yann Desailly, *Arqueólogo, Grupo Principal (Estructuras 13Q-3 y 13Q-5)*
5. Lic. Liliana Padilla, *Arqueóloga, Grupo Principal (Estructura 13Q-4, Palacio)*
6. Lic. Christopher Martínez, *Arqueólogo, Grupo Principal (Estructura 13Q-2A)*
7. Lic. *infieri* Cristina Guirola, *Arqueóloga (Estructura 13Q-2A) y micro-análisis palinológico*
8. Dra. *infieri* Joanne Baron, *Epigrafista y Arqueóloga, Grupo Coronitas*
9. Licda. *infieri* Jocelyne Ponce, *Arqueóloga, Grupo Coronitas (Estructura 13R-10)*
10. Licda. *infieri* Antonieta Cajas, *Arqueóloga, Grupo Coronitas (Estructura 13R-9)*
11. Dr. *infieri* Carlos Chiriboga, *Arqueólogo, reconocimientos regionales*
12. Lic. *infieri* Rodrigo Guzmán, *Mapeo en La Corona*
13. Lic. *Infieri* Jorge Pontaza, *Arqueólogo, reconocimientos alrededor de La Corona*
14. Dra. *infieri* Clarissa Cagnato, *Arqueóloga encargada de macro-análisis palinológicos*
15. Dra. *infieri* Erin Patterson, *Arqueóloga, análisis de restos óseos y excavaciones residenciales*
16. Lic. Caroline Paris, *Arqueóloga de laboratorio, análisis cerámico*
17. Lic. Erlend Johnson, *Arqueólogo auxiliar, excavaciones en La Corona*
18. Lic. David Chatelain *Arqueólogo auxiliar, excavaciones en La Corona*
19. Alejandra Roche, *Estudiante de práctica de campo, Universidad del Valle*
20. Andrea Aguilar, *Estudiante de práctica de campo, Universidad del Valle*
21. Elisandro Garza, *Estudiante de práctica de campo, Universidad del Valle*
22. Leticia Miguel, *Estudiante de práctica de campo, Universidad del Valle*
23. Camilo Nájera, *Estudiante de práctica de campo, Universidad del Valle*

Organigrama



AGRADECIMIENTOS

Los directores y el personal del Proyecto Regional Arqueológico La Corona agradecen a todas las personas e instituciones que de una u otra manera colaboraron para el desarrollo de la Temporada de Campo 2011. Entre las instituciones merecen mención el Middle American Research Institute (MARI), Universidad del Valle de Guatemala (UVG), Fundación Patrimonio Cultural y Natural Maya (PACUNAM), Fundación Pro Petén, así como IDAEH, CONAP, MARN, WCS, AFISAP, Asociación B'alam, etc. Reconocemos también la labor del personal técnico del proyecto, provenientes de las comunidades de San Andrés y Dolores, Petén. Agradecemos también a todas las personas que nos brindaron consejos académicos, en especial la parte epigráfica, por parte de David Stuart, Stanley Guenter y Marc Zender, así como el apoyo general a nuestro trabajo, por parte de David Freidel, Roan Balas, Bayron Castellanos, Claudia Rosales y Rosa María Chan. Reconocemos también a la ayuda de personas individuales que colaboraron con el manejo de la logística, como Gloria Argueta de Montenegro, Estuardo Montenegro, Gersson Tillit, Gamaliel Jiménez, Rolando Monzón y todos nuestros amigos en Flores. Dada la gran cantidad de colaboradores, nos disculpamos por omitir algún nombre, por lo que nuestro agradecimiento va de manera general a todos.

Capítulo II

SUBPROYECTO DE RECONOCIMIENTO ARQUEOLÓGICO REGIONAL: TEMPORADA 2011

Carlos Roberto Chiriboga Holzheu

Introducción

Como parte del componente regional del Proyecto Regional Arqueológico La Corona (PRALC), la Temporada de Campo 2011 vio la continuación del Subproyecto de Reconocimiento Arqueológico Regional iniciado en 2010. Este subproyecto nació con el propósito de identificar el patrón de asentamiento de la zona occidental de la Reserva de la Biosfera Maya (RBM), la cual ha recibido poca atención de parte de investigadores hasta el momento (Figura 2.1). Este programa de investigación tiene como meta principal la identificación de sitios en el área de estudio del PRALC con la finalidad de elaborar un modelo de asentamiento regional que, de manera generalizada, abarque los períodos de ocupación prehispánica en la región, y específicamente se enfoque en la identificación de asentamientos de los períodos Preclásico y Clásico Temprano.

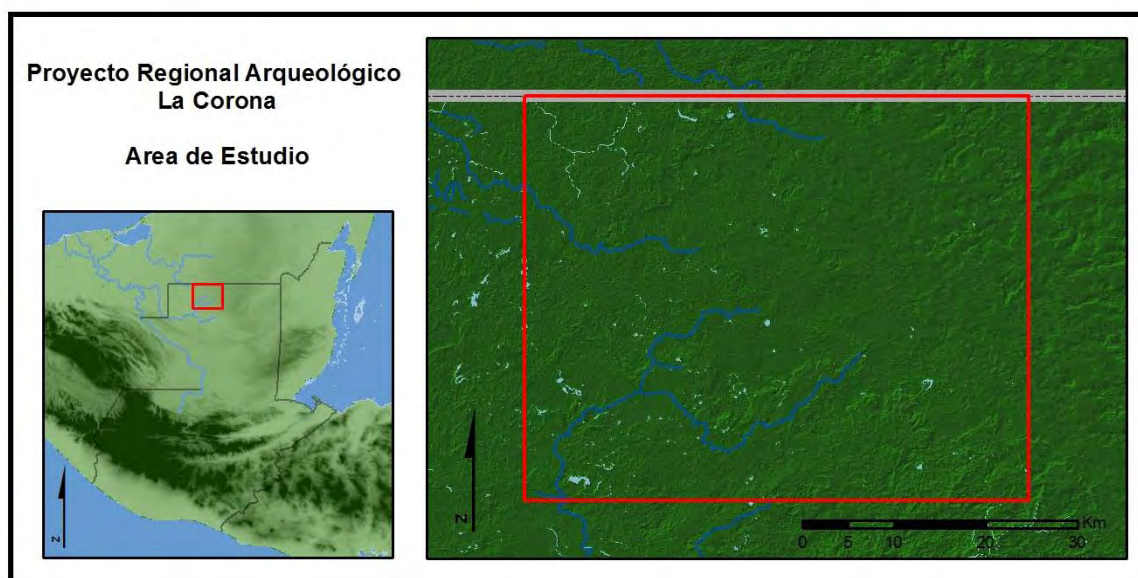


Figura 2.1 Localización del área de estudio en el occidente de la RBM (Mapa por C. Chiriboga)

Durante la Temporada 2011 se continuó con el reconocimiento regional utilizando la misma metodología descrita para la temporada 2010 (Chiriboga 2011). Debido al escaso relieve topográfico de la región, así como la presencia de extensas áreas de bajos inundados durante gran parte del año, la elaboración de un modelo de prominencia topográfica ha beneficiado el trabajo de reconocimiento arqueológico a lo largo de la región (Figura 2.2). En paralelo al programa de reconocimiento, durante la Temporada 2011 se dio inicio a un programa de sondeos arqueológicos mediante la excavación de pozos de sondeo en distintos sitios ubicados dentro del área de estudio. Estos sondeos tienen la finalidad de refinar la cronología del área de estudio aportando cerámica excavada bajo control estratigráfico.

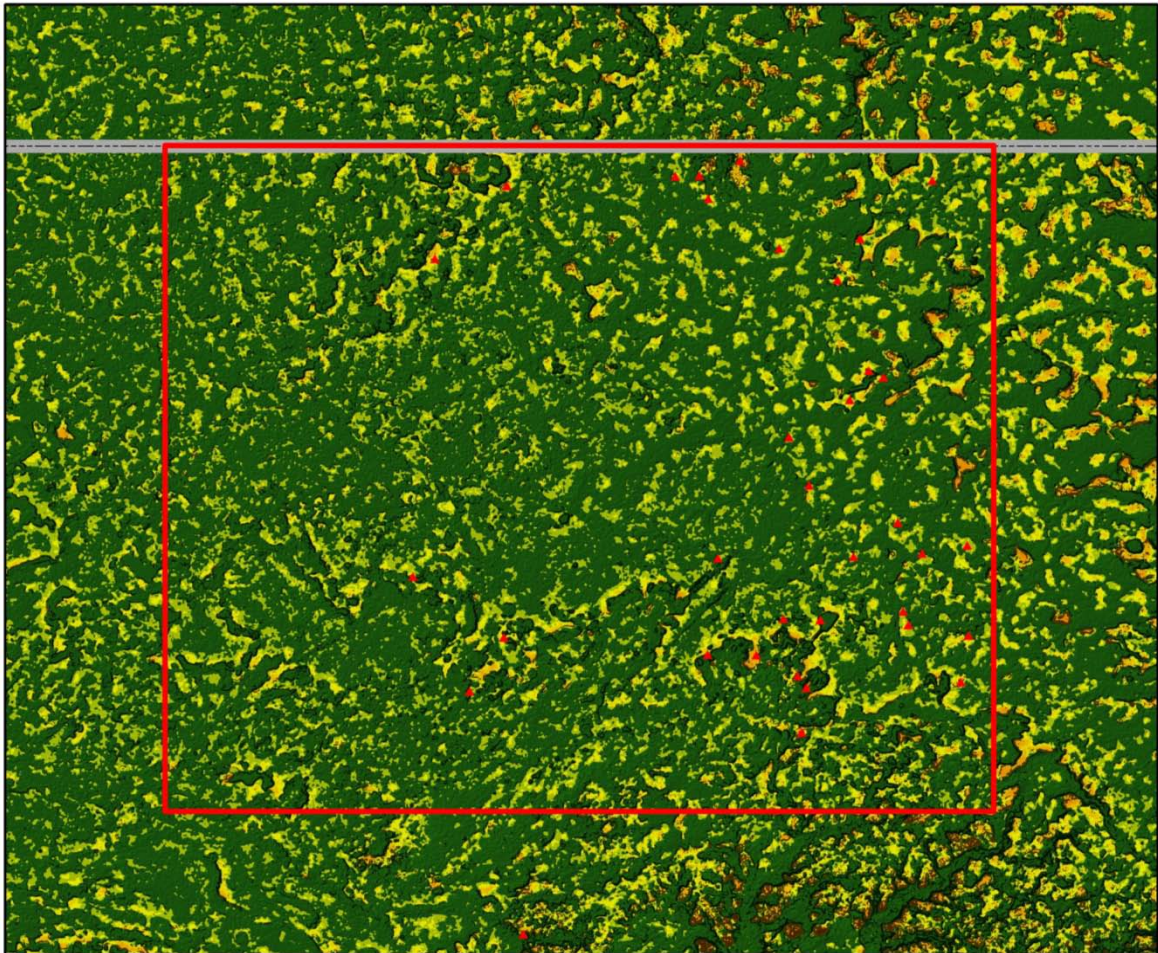


Figura 2.2 Modelo preliminar de áreas propensas para ocupación humana (Mapa por C. Chiriboga)

Resultados de la Temporada 2011

Como resultado de la continuación del Subproyecto de Reconocimiento Arqueológico Regional, la Temporada 2011 tuvo como resultado el registro de 13 nuevos sitios dentro del área de estudio (Figura 2.3). Entre los sitios registrados hasta el momento se pueden mencionar la diferenciación de estos por su aparente función. Se han identificado sitios de extracción de caliza (canteras), sitios residenciales pequeños (grupos residenciales de patio), así como algunos sitios de posibles funciones religioso-administrativas de mayor tamaño.

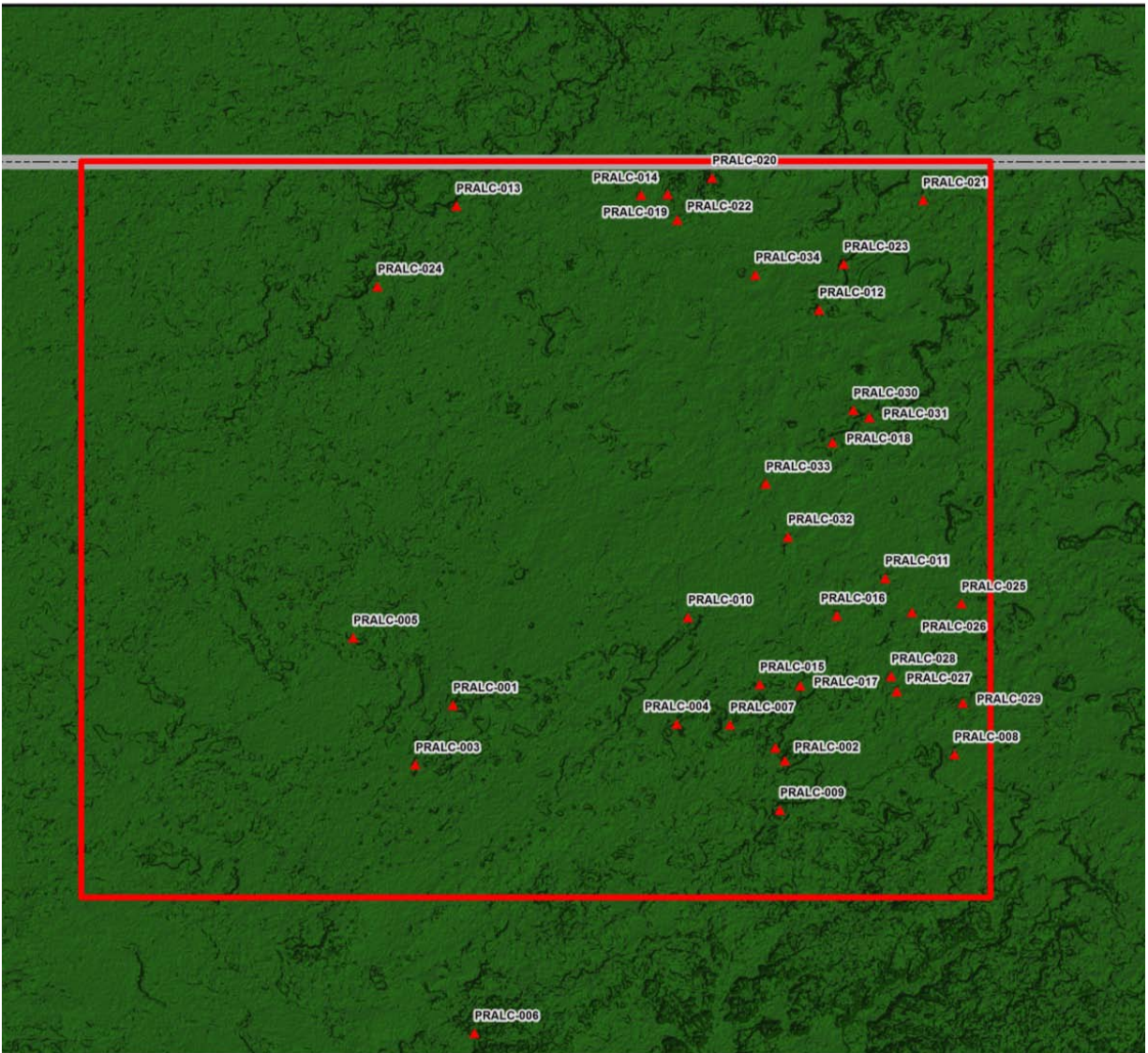


Figura 2.3 Sitios identificados hasta la Temporada 2011 (Mapa por C. Chiriboga)

De manera paralela al programa de reconocimiento arqueológico regional, durante la Temporada 2011 se inició un programa sistemático de excavaciones mediante pozos de sondeo. Se logró excavar un total de ocho pozos de sondeo en seis sitios ubicados a lo largo del área de estudio los cuales proporcionaron una muestra significativa de materiales culturales. Posteriormente, se llevó a cabo un análisis preliminar de la cerámica para los materiales de algunos de las excavaciones. El análisis fue llevado a cabo por Mary Jane Acuña con asistencia del autor para los materiales de la mayoría de los pozos de sondeo. Se espera concluir con un análisis detallado de los materiales para 2012 y 2013, fecha en que se podrá generar una cronología regional más refinada.

A continuación se presentan los resultados del reconocimiento y de las excavaciones de sondeo realizadas durante la temporada 2012.

Reconocimiento Regional

PRALC-012 (Figuras 2.3 y 2.4)

Nombre: Los Perros

Coordenadas: 15 N 798783 1963227 UTM – WGS84

Material Recolectado: Si

Fecha: Preclásico - Clásico

Durante 2011 se continuó el reconocimiento de las áreas alrededor de los dos grupos principales del sitio de Los Perros. Se logró identificar dos grupos arquitectónicos nuevos, ambos ubicados sobre promontorios cercanos al área central del sitio.

El primer grupo, ubicado a 780 m al este de la Grupo Este, consiste de una estructura de 13 x 7 m y de 3.5 m de altura. Esta estructura se encuentra sobre una nivelación artificial de aproximadamente 40 m N-S y 26 m E-O. Directamente al sur de la estructura se identificó un área colapsada de roca madre la cual aparentemente se socavó debido a la extracción de *sascab* mediante un túnel excavado dentro de una veta de este material inmediatamente debajo del área de plaza.

El segundo grupo registrado en 2011 se encuentra ubicado 50 m al sur del Grupo Oeste. Consiste en un pequeño grupo con 5 estructuras formando un patio cerrado (Figura 2.4).

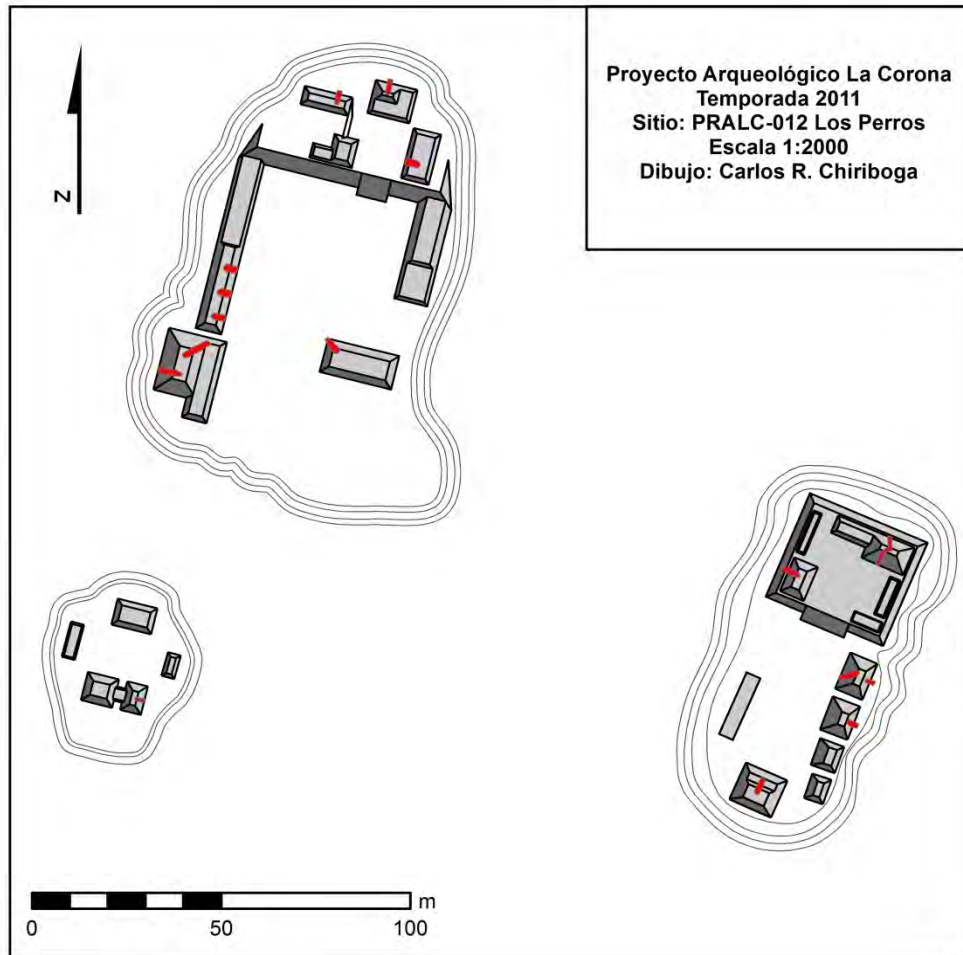


Figura 2.4 Sitio PRALC-012 Los Perros - Nuevos grupos (Mapa por C. Chiriboga)

PRALC-014 (Figura 2.3)

Nombre: El Magueyal
 Coordenadas: 15 N 788442 1969992 UTM – WGS84
 Material Recolectado: Si
 Fechamiento: Preclásico - Clásico

Durante la Temporada 2011 se continuó el reconocimiento del área circundante a los grupos principales de este sitio. Como resultado se lograron identificar varias pequeñas plataformas dispersas a lo largo del área elevada sobre la cual se ubican los grupos identificados en 2010. En total se identificaron un total de 5 plataformas de menos de 50 cm de altura, lo que sugiere que la totalidad del área elevada sobre la cual se encuentran las estructuras principales del sitio presentaba asentamiento residencial.

PRALC-019 (Figura 2.3)

Coordenadas: 15 N 789908 1970057 UTM – WGS84
Material Recolectado: Si
Fecha: Desconocido

Ubicado a 1.5 km al este del sitio El Magueyal, este sitio está compuesto por dos estructuras (019-01 y 019-02) ubicadas sobre un promontorio. Al pie de este promontorio, directamente al SO de las estructuras, se encontró un cenote que mantiene agua durante todo el año. Se recolectó material cerámico de superficie el cual aún no ha sido analizado.

PRALC-020 (Figuras 2.3 y 2.5)

Coordenadas: 15 N 792512 1971089 UTM – WGS84
Material Recolectado: Si
Fecha: Desconocido

Se identificaron dos montículos, uno de 1 m de alto y el otro de 1.8 m de altura, compuestos por rocas sueltas de piedra caliza. La piedra está colocada sin tierra de relleno. Debido a esto, así como por la presencia de áreas de extracción de piedra cercanas, se infiere que ésta era un área de preparación de cal, con los montículos posiblemente representando áreas de acumulación de piedra caliza para su eventual procesamiento. Se llevó a cabo recolección de material cerámico de la superficie el cual aún falta analizar.

PRALC-021 (Figura 2.3 y 2.6)

Nombre: Chile Melache
Coordenadas: 15 N 804662 1969934 UTM – WGS84
Material Recolectado: Si
Fecha: Desconocido

Este sitio se ubica sobre un área elevada a 2.3 km al sur de la frontera Guatemala/México, directamente al sur de la laguna Paxban o Paixban. El sitio consiste de seis estructuras de diversas dimensiones, variando de 0.5 a 3.8 metros de altura. La organización de las estructuras lleva a la delimitación de dos pequeñas plazas cerradas y una plaza abierta al este del sitio. A diferencia de la mayoría de los otros sitios identificados, este sitio no presenta ninguna evidencia de saqueo moderno. Se recolectó material de superficie el cual aún no ha sido analizado. Se tiene programado regresar a este sitio durante la Temporada 2012 para llevar a cabo un reconocimiento sistemático del área y efectuar excavaciones de sondeo.



Figura 2.5 Montículo en el sitio PRALC-020 (Foto por C. Chiriboga)

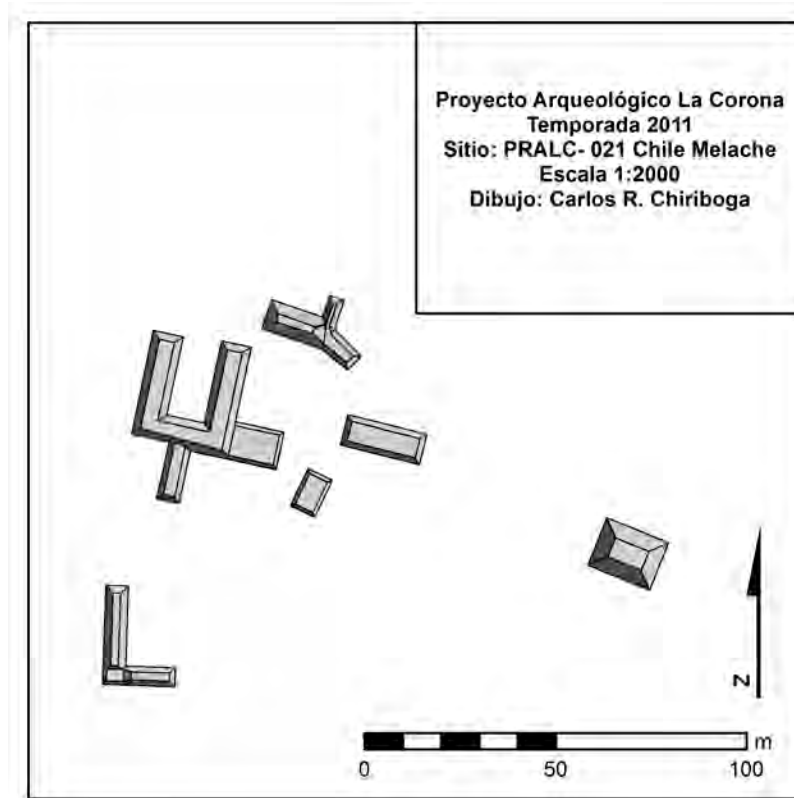


Figura 2.6 Sitio PRALC-021 Chile Melache (Mapa por C. Chiriboga)

PRALC-022 (Figura 2.3)

Coordenadas: 15 N 790527 1968517 UTM – WGS84

Material Recolectad: No

Fecha: ¿?

Ubicado sobre un pequeño promontorio de caliza, este sitio presenta áreas de extracción de piedra caliza (canteras) así como pequeños montículos de este material. Su cercanía al sitio PRALC-014 sugiere que esta área servía para la extracción y procesamiento de piedra caliza para la elaboración de cal. Se tiene programada una visita durante la Temporada 2012 para llevar a cabo un reconocimiento sistemático del área.

PRALC-023 (Figura 2.3 y 2.7)

Nombre Paxban

Coordenadas: 15 N 800143 1966012 UTM – WGS84

Material Recolectado: Si

Fecha: Clásico Temprano (¿?)

El sitio de Paxban se encuentra sobre un área elevada directamente al sur del arroyo del mismo nombre. El sitio consiste en 7 estructuras organizadas alrededor de dos plazas pequeñas. Las estructuras varían entre 0.3 a 2.5 m de altura y se identificaron tres trincheras de saqueo en dos estructuras. Se llevó a cabo una recolección de superficie la cual aún falta analizar, pero un análisis preliminar de la cerámica de una excavación de sondeo realizada durante 2011 sugiere una mayor ocupación del sitio durante el Clásico Temprano.

PRALC-024 (Figura 2.3)

Nombre: Las Guacamayas

Coordenadas: 15 N 773268 1964212 UTM – WGS84

Material Recolectado: No

Fecha: Desconocido

El sitio Las Guacamayas fue reportado por un equipo de patrullaje de técnicos de CONAP y el Ejército de Guatemala, mientras el equipo de reconocimiento se encontraba en el campamento La Reforma, ubicado dentro de la concesión forestal industrial Paxban. El patrullaje se realizó en la zona occidental de la concesión forestal y en la parte oriental de la Zona de Usos Múltiples. Los técnicos del CONAP y el oficial a cargo reportaron la presencia de al menos 3 estructuras de más de 15 m de altura en un área deforestada y quemada recientemente. El técnico del CONAP le proporcionó al autor las coordenadas del sitio las cuales grabó mediante un GPS.

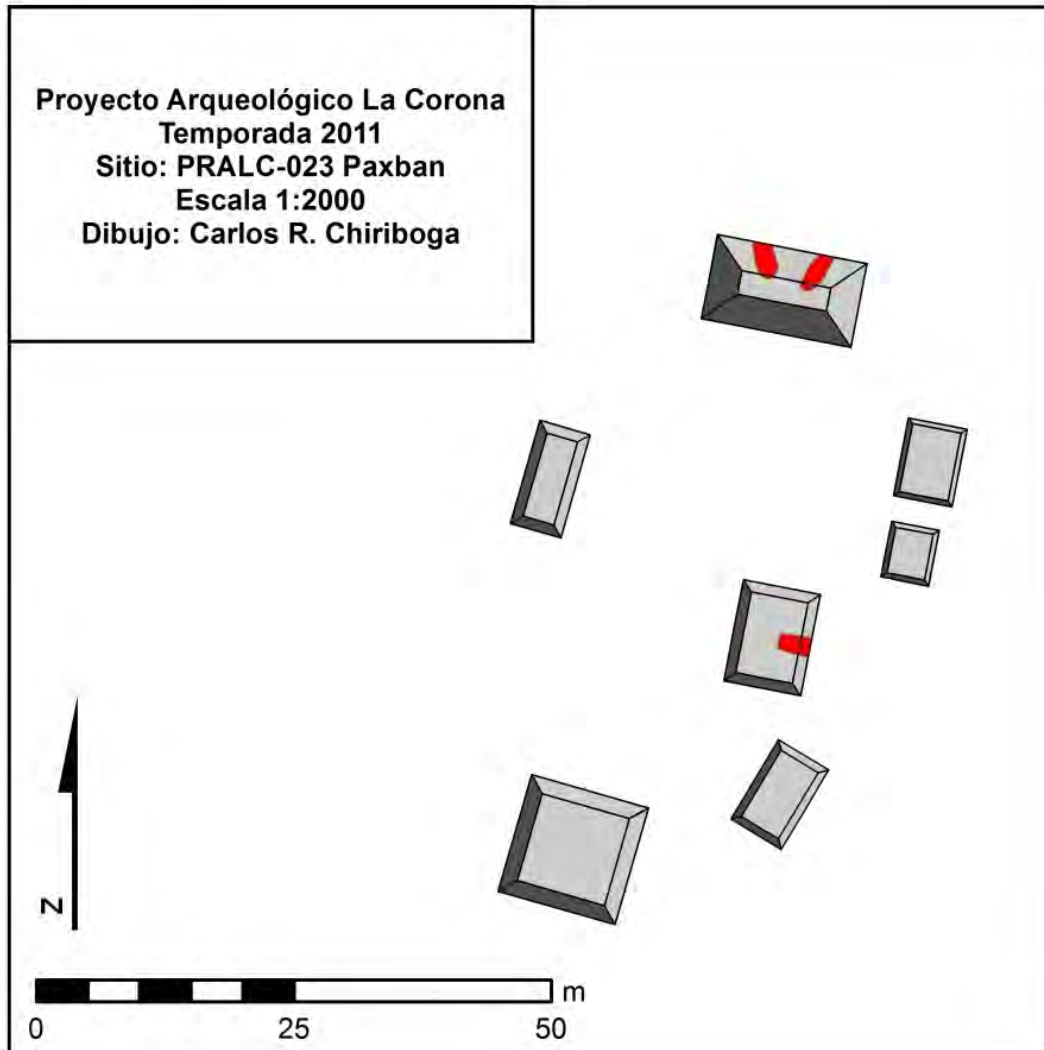


Figura 2.7 Sitio PRALC-023 Paxban (Mapa por C. Chiriboga)

PRALC-025 (Figuras 2.3 y 2.8)

Coordenadas: 15 N 807190 1945653 UTM – WGS84

Material Recolectado: Si

Fecha: Desconocido

Este sitio consiste en una plataforma, la cual fue cortada por un camino forestal (Figura 2.8), con dos pequeñas estructuras ubicadas sobre ella. Una de las estructuras presentaba una pequeña trinchera de saqueo. Se llevó a cabo una recolección de cerámica en superficie así como a lo largo del corte. Aún no se han analizado los materiales recolectados.



Figura 2.8 Sitio PRALC-025, Plataforma cortada por camino (Foto por C. Chiriboga)

PRALC-026 (Figura 2.3)

Coordenadas: 15 N 804375 1945061 UTM – WGS84

Material Recolectado: No

Fecha: Desconocido

Este sitio comprende al menos una pequeña plataforma que fue identificada desde el vehículo. Debido a limitantes de tiempo no se logró explorar el área durante la Temporada 2011, por lo que se tiene programada una visita al sitio para llevar a cabo reconocimiento del área durante la Temporada 2012.

PRALC-027 (Figura 2.3)

Coordenadas: 15 N 803613 1940319 UTM – WGS84

Material Recolectado: No

Fecha: Desconocido

Este sitio presenta dos estructuras sobre un área elevada a orillas de un bajo. Se tiene programado regresar a esta área para llevar a cabo un reconocimiento sistemático.

PRALC-028 (Figura 2.3)

Coordenadas: 15 N 803232 1941208 UTM – WGS84

Material Recolectado: No

Fecha: Desconocido

Este sitio presenta tres estructuras sobre un área elevada a orillas de un bajo. También se tiene programado regresar a esa área para llevar a cabo un reconocimiento sistemático en la Temporada 2012.

PRALC-029 (Figura 2.3)

Coordenadas: 15 N 807444 1939684 UTM – WGS84

Material Recolectado: No

Fecha: Desconocido

Consiste en una plataforma larga ubicada al pie de un promontorio a orillas de un área de bajo. Se tiene programado regresar en 2012 a esa área para llevar a cabo un reconocimiento sistemático.

PRALC-032 (Figura 2.3)

Coordenadas: 15 N 797168 1949567 UTM – WGS84

Material Recolectado: No

Fecha: Desconocido

Dos pequeñas plataformas ubicadas en un área alta inmediatamente al sur de un arroyo. Debido a limitante de tiempo no se logró explorar el área durante la Temporada 2011, por lo que se espera llevar a cabo reconocimiento durante la Temporada 2012.

PRALC-033 (Figura 2.3)

Coordenadas: 15 N 795850 1952694 UTM – WGS84

Material Recolectado: No

Fecha: Desconocido

Este sitio comprende de al menos una estructura la cual fue identificada desde el vehículo. Debido a limitante de tiempo no se logró explorar el área durante la Temporada 2011. Se tiene programada una visita al sitio para llevar a cabo reconocimiento del área durante la Temporada 2012.

PRALC-034 (Figura 2.3)

Coordenadas: 15 N 795069 1965294 UTM – WGS84

Material Recolectado: No

Fecha: Desconocido

Este sitio comprende de al menos una estructura la cual fue identificada desde el vehículo. Debido a limitante de tiempo no se logro explorar el área durante la Temporada 2011, por lo que se espera visitar nuevamente el sitio durante la Temporada 2012.

Excavaciones

Durante la Temporada 2011 se inicio un proyecto de excavación de pozos de prueba en conjunto con el trabajo de reconocimiento regional iniciado durante la Temporada 2010. El propósito de este programa de excavación es suplementar la información recabada por medio del reconocimiento y la recolección de colecciones de superficie en los sitios. La metodología de excavación consistió en la excavación de pozos de 2 x 1 m, orientados a norte magnético. Las excavaciones se realizaron siguiendo la estratigrafía natural, con la finalidad de profundizar hasta llegar a nivel estéril, lo cual debido a la geología del área es representada por roca madre caliza.

PRALC-008-101 (Figuras 2.9 a 2.12)

Medidas: 2 x 1 m

Coordenadas: 15 N 806949.182 1936602.020 UTM – WGS84

Niveles: 5

Profundidad máxima: 145 cm

Fechas de trabajo: 30/04/2011 – 03/05/2011

La Unidad PRALC-008-101 se ubico 7.6 m frente a la Estructura 008-01, al centro de ésta. Midió 2 x 1 m y se orientó longitudinalmente norte-sur. Se orientó a norte magnético (1.38° al oeste de norte verdadero). El Lote 1 (PRALC-008-101/1) correspondió a la superficie actual y la capa de materia orgánica (humus) compuesta por una capa de tierra de color café oscura con una alta densidad de materiales orgánicos (hojas, raíces, etc.). Este lote comprendió entre los 14 y 41 cm de profundidad medidos desde el *datum* en la esquina NE del pozo. A 41 cm de profundidad se topó con una nivelación de piedra pequeña la cual corresponde al inicio del Lote 2. La cerámica recolectada de este lote se presentaba sumamente erosionada lo cual impidió una identificación segura durante el análisis preliminar de la cerámica.

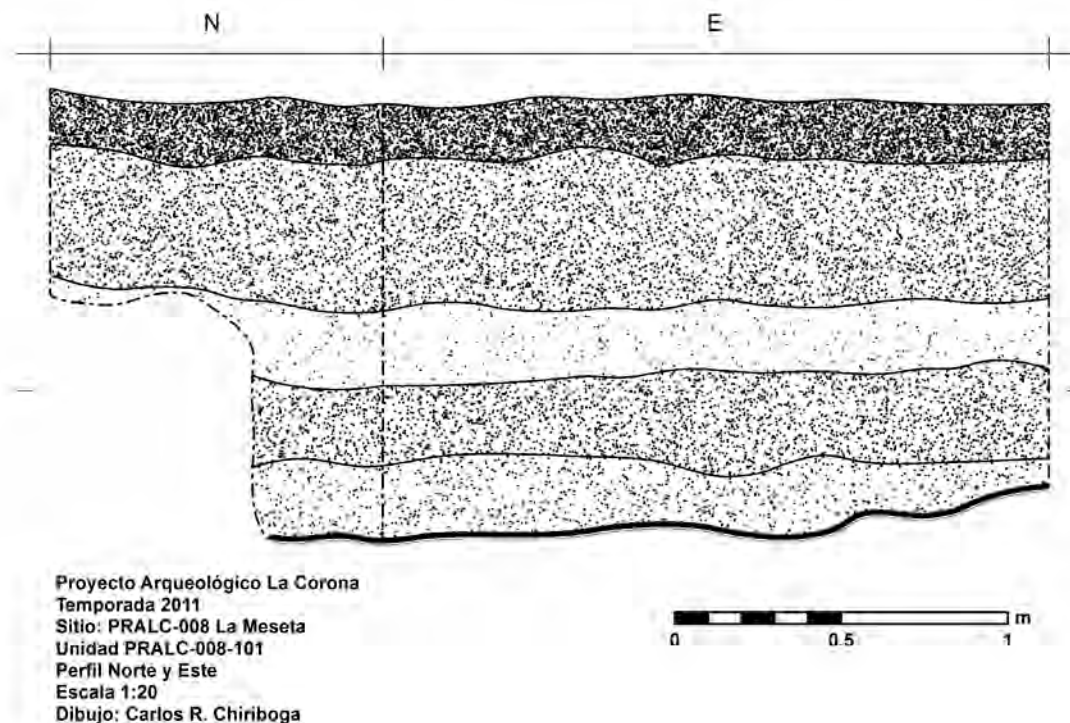


Figura 2.9 Perfil Norte y Este de la Unidad PRALC-008-101 (Dibujo por C. Chiriboga)

El Lote 2 (PRALC-008-101/2) corresponde a una nivelación de piedra pequeña (<10 cm) presentando como material de relleno tierra café clara. A los 72 cm de profundidad se encontró una alineación de piedras grandes (>20 cm) extendiéndose desde el Perfil Oeste del pozo (Figura 2.10). Este lote comprendió entre los 41-76 cm de profundidad medidos desde el datum en la esquina NE del pozo. Este lote presentó una mezcla de cerámica del Preclásico Tardío/Terminal y del Clásico Temprano.

El Lote 3 se dividió en Lote 3A (PRALC-008-101/3A), el cual se excavó en el área afuera de la alineación de piedra encontrada en el lado oeste del pozo; y Lote 3B (PRALC-008-101/3B), que corresponde a una pequeña excavación de aproximadamente 56 x 24 cm de extensión que se excavó en el interior de la alineación de piedras. Tanto el Lote 3A como el 3B consistían de un relleno de tierra café rojiza. Este lote comprendió entre los 76-100 cm de profundidad medidos desde el *datum* en la esquina NE del pozo. La cerámica recabada de este lote consistía en tipos diagnósticos del Preclásico Tardío con mezcla de cerámica del Clásico Temprano.

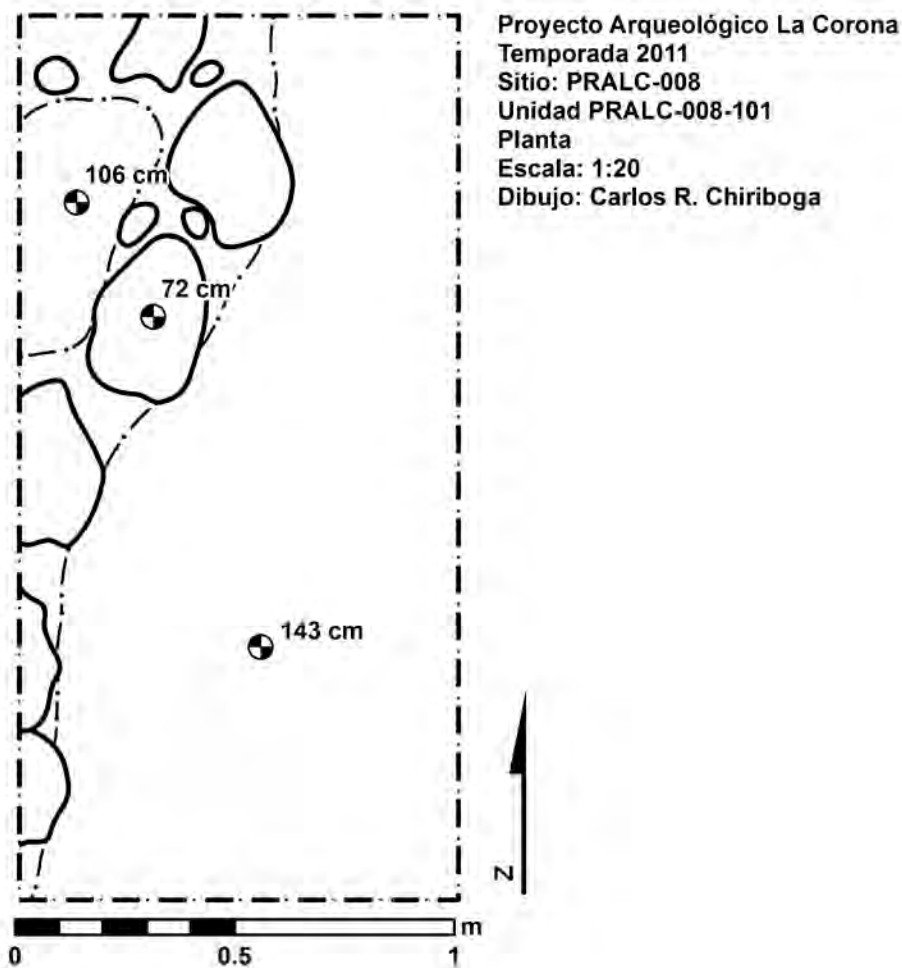


Figura 2.10 Alineamiento de piedras en la Unidad PRALC-008-101 (Dibujo por C. Chiriboga)

El Lote 4 (PRALC-008-101/4) corresponde a un relleno de tierra café sin piedra sobre el cual se encontraba la alineación de piedras del Lote 3. Este lote comprendió entre los 100-121 cm de profundidad medidos desde el *datum* en la esquina NE del pozo. La cerámica de este lote consiste en tipos característicos del Preclásico Tardío/Terminal.

El Lote 5 (PRALC-008-101/5) correspondió a un relleno de compuesto de piedra y material calizo sumamente duro el cual se encontraba directamente sobre la roca madre. Este lote comprendió entre los 121-144 cm de profundidad medidos desde el *datum* en la esquina NE del pozo. No se encontró ningún material cerámico durante su excavación.



Figuras 2.11 y 2.12 Fotos de los Perfiles Norte y Este de la Unidad PRALC-008-101 (Fotos por C. Chiriboga)

PRALC-009-101 (Figuras 2.13-2.16)

Medidas: 2 x 1 m

Coordenadas: 15 N 796961.905 1933105.936 UTM – WGS84

Niveles: 6

Profundidad máxima: 166 cm

Fechas de trabajo: 04/05/2011 – 06/05/2011

La Unidad PRALC-009-101 se ubicó 7 m frente a la Estructura 009-03. El Lote 1 (PRALC-009-101/1) correspondió a la superficie actual y el nivel de humus y comprendió entre los 20-36 cm de profundidad medidos desde el *datum* en la esquina NE del pozo. El Lote 2 (PRALC-009-101/2) abarcó entre los 36 y 54 cm de profundidad y correspondió a un nivel de tierra café/rojiza con presencia de piedras de pequeño tamaño (<10 cm). El material cerámico recolectado de los Lotes 1 y 2 constituye una mezcla de Clásico Temprano y Tardío, con cuencos como la forma más representada.

El Lote 3 (PRALC-009-101/3) consistió en un relleno de tierra café clara amarillenta, con presencia de pequeñas piedras. Este lote comprendió entre los 54-73 cm de profundidad medidos desde el *datum* en la esquina NE del pozo. El material cerámico consiste de tipos del Clásico Temprano, con engobes rojos característicos de este periodo siendo fácilmente identificables.

El Lote 4 (PRALC-009-101/4) abarcó de los 73 a los 93 cm de profundidad. Consistía de un relleno de tierra café clara con presencia de piedras. La muestra cerámica obtenida de este lote presentó una mezcla de material del Clásico Temprano con una menor cantidad de material característico del Preclásico Terminal.

El Lote 5 (PRALC-009-101/5) abarcó de los 93-120 cm de profundidad. El límite inferior de este lote corresponde a un piso deteriorado. Se identificó material cerámico mezclado del Preclásico Tardío y Terminal con una menor cantidad de material del Clásico Temprano.

El Lote 6 (PRALC-009-101/6) se excavó de los 120 a 166 cm de profundidad. Debido a la profundidad y la presencia de un piso deteriorado se decidió profundizar la excavación en la mitad oeste del pozo, reduciendo el área a 1 x 1 m. Debajo del nivel de piso deteriorado se encontró un nivel de tierra café clara apelmazada seguida por un relleno calizo extremadamente duro mezclado con piedrín, el cual se encontraba directamente sobre la roca madre. No se encontró ningún material cultural en este nivel.

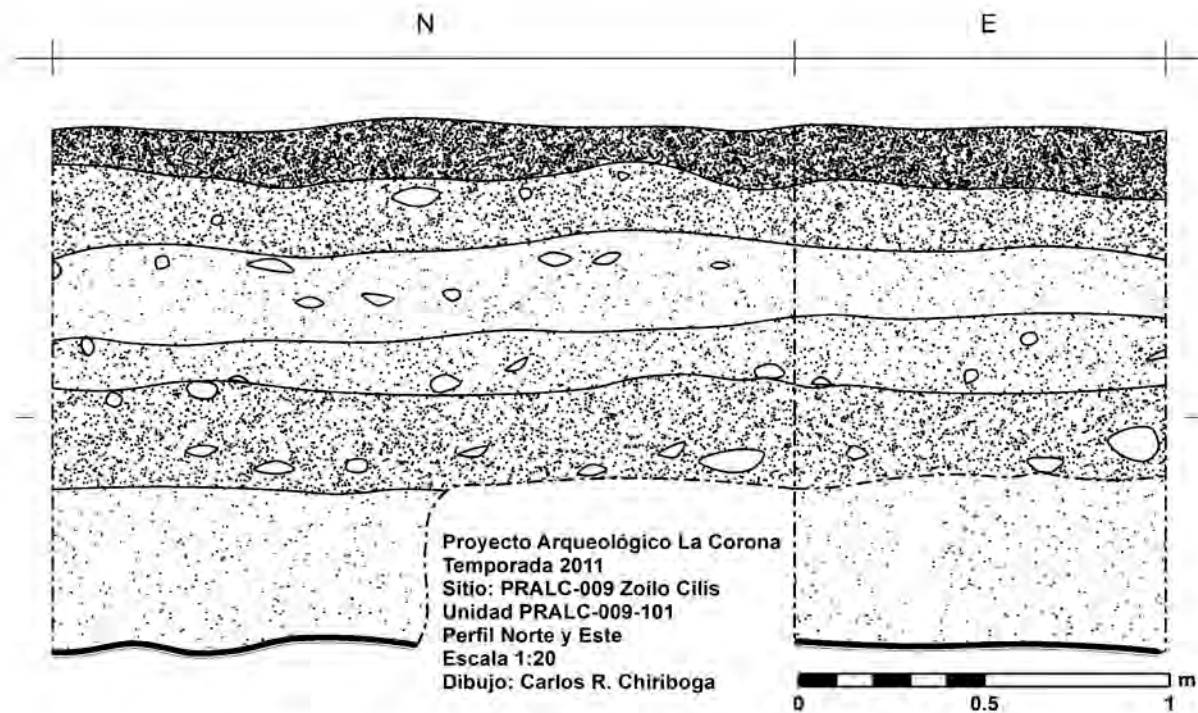


Figura 2.13 Perfiles Norte y Este de la Unidad PRALC-009-101 (Dibujo por C. Chiriboga)

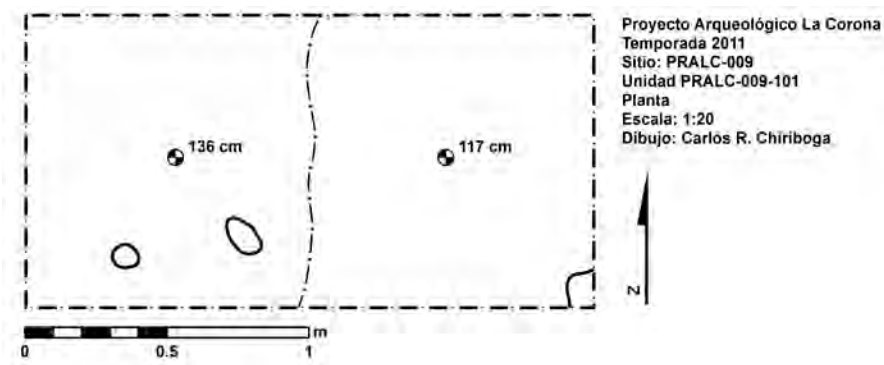


Figura 2.14 Planta de la Unidad PRALC-009-101 (Dibujo por C. Chiriboga)



Figuras 2.15 y 2.16 Perfiles Norte y Este de la Unidad PRALC-009-101 (Fotos por C. Chiriboga)

PRALC-009-102 (Figuras 2.17-2.20)

Medidas: 2 x 1 m
 Coordenadas: 15 N 796898.008 1933150.783 UTM – WGS84
 Niveles: 5
 Profundidad máxima: 241 cm
 Fechas de trabajo: 06/05/2011 – 11/05/2011

La Unidad PRALC-009-102 se ubicó 4 m frente a la Estructura 009-09, la de mayor tamaño en el sitio. El Lote 1 (PRALC-009-102/1) correspondió al nivel actual de superficie y la capa de humus, abarcando de 24 a 50 cm de profundidad. A los 50 cm de profundidad se identificó un empedrado compuesto por pequeñas piedras calizas el cual presentaba un corte de 1.3 m al centro. El material cerámico se encontró considerablemente erosionado, por lo cual no se pudo identificar ningún tipo diagnóstico.

La excavación del Lote 2 se dividió en dos. El Lote 2A (PRALC-009-102/2A) correspondió a tierra negra entre el corte del empedrado. El Lote 2B (PRALC-009-102/2B) correspondió al nivel del empedrado y el relleno de tierra negra inmediatamente debajo de éste. Ambos lotes se excavaron hasta los 72 cm de profundidad. Aunque sumamente erosionado, se lograron identificar algunas formas diagnósticas del Clásico Tardío entre la cerámica recolectada.

Al igual que el Lote 2, el Lote 3 se dividió en dos. El Lote 3A (PRALC-009-102/3A) se continuó en el área central de pozo (extensión de nivel 2A) y 3B (PRALC-009-102/3B) debajo del área empedrada del Lote 2. Ambos lotes presentaron un cambio a relleno color café rojizo oscuro con inclusiones blancas/amarillas de caliza. La cerámica consistió en una mezcla de tipos del Preclásico Tardío (Sierra Rojo y Polvero Negro) con formas del Clásico Temprano (bases anulares y pestañas basales).

El Lote 4 (PRALC-009-102/4) consistió de tierra café rojiza con inclusiones de caliza blanca/amarilla con presencia de pedrín. Este lote se extendió de 86 a 132 cm de profundidad, presentando una muestra más pura de materiales del Preclásico Tardo con algunas formas del Preclásico Terminal o Clásico Temprano.

El Lote 5 (PRALC-009-102/5) se definió por un cambio a un relleno de tierra café clara/amarilla apelmazada con presencia de inclusiones de caliza y carbón. Se identificó un empedrado de piedra caliza mediana (>20 cm) en el oeste del pozo. Debido a la profundidad se decidió reducir el pozo y solo se continuó excavando la mitad este del pozo (1 x 1 m). Este lote abarcó de 132 a 192 cm de profundidad, con material cerámico que presentó la misma mezcla observada en el Lote 4.

Finalmente, en el Lote 6 (PRALC-009-102/6), a 192 cm de profundidad, se identificó un nivel de piedra pequeña la cual se encontraba directamente sobre un relleno de tierra oscura arcillosa (café oscura) extremadamente compacta. Esta presentaba una concentración significativa de material orgánico y barro, sugiriendo que fue removida de los bajos cercanos al sitio. A los 241 cm de profundidad se llegó al nivel de roca madre. El material cerámico aparenta ser exclusivamente del Preclásico Tardío/Terminal

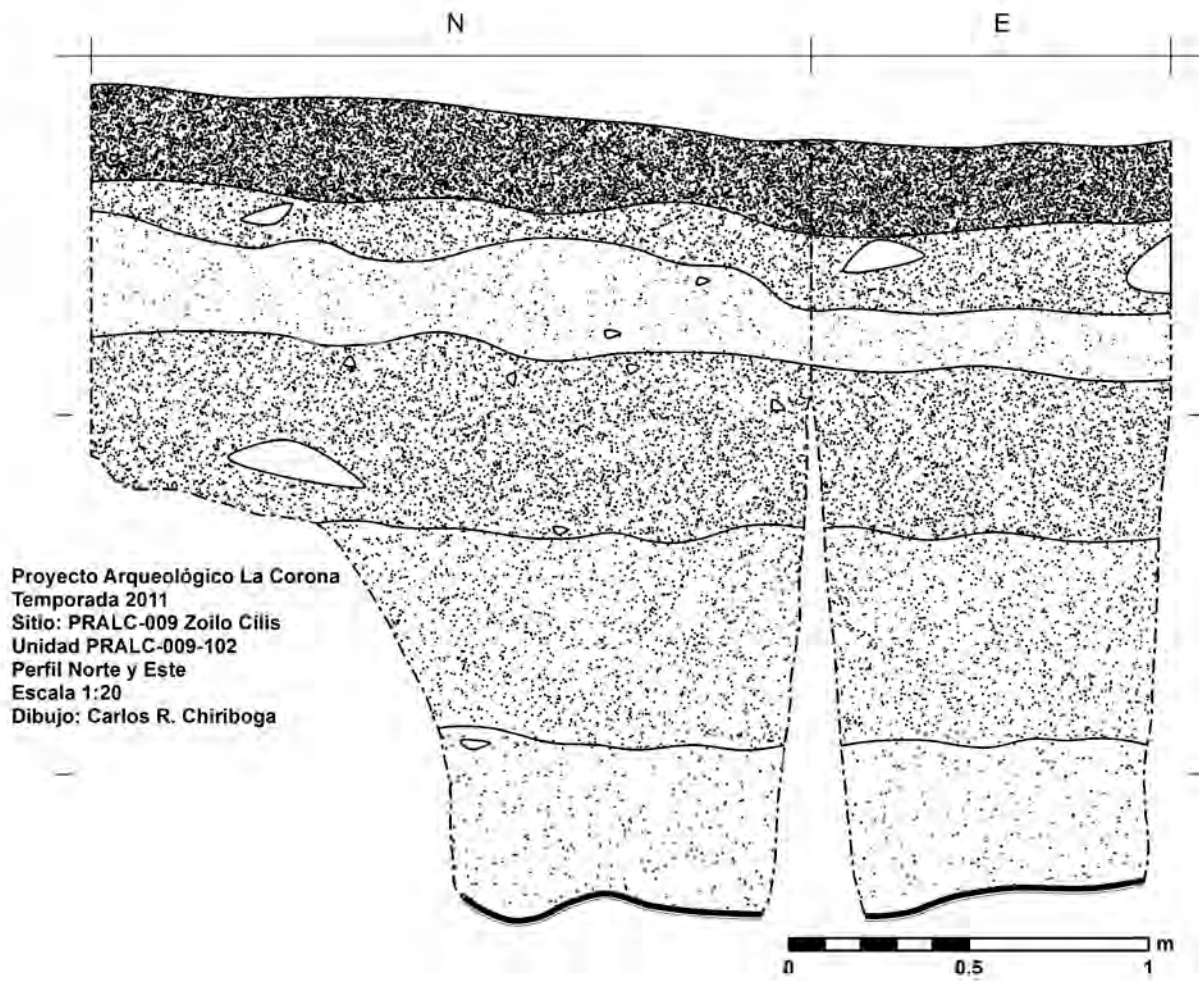


Figura 2.17 Perfiles Norte y Este de la Unidad PRALC-009-102 (Dibujo por C. Chiriboga)

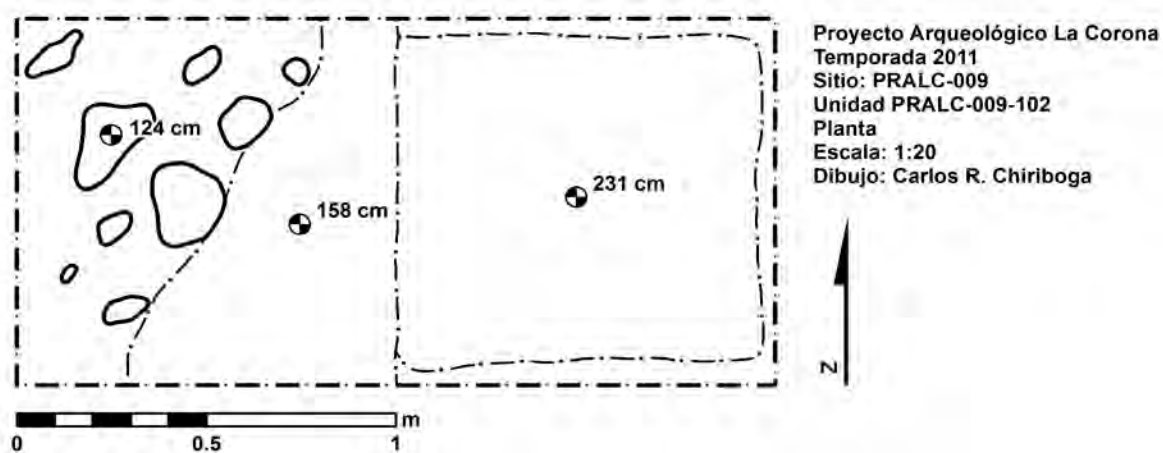


Figura 2.18 Planta de la Unidad PRALC-009-102 (Dibujo por C. Chiriboga)



Figuras 2.19 y 2.20 Unidad PRALC-009-102 (Fotos por C. Chiriboga)

PRALC-012-101 (Figuras 2.21-2.24)

Medidas: 2 x 1 m
 Coordenadas: 15 N 798826.918 1963128.024 UTM – WGS84
 Niveles: 2
 Profundidad máxima: 124 cm
 Fechas de trabajo: 11/04/2011 – 13/04/2011

La Unidad PRALC-012-101 se ubicó 7 m al norte de la Estructura 012-05. El Lote 1 (PRALC-012-101/1) correspondió a la superficie y la capa de humus, la cual cambio gradualmente a un relleno de tierra café rojiza con presencia piedra caliza grande (>20 cm). A los 72 cm de profundidad se identificó un nivel empedrado de piedra pequeña (<10 cm). El material cerámico presentó engobes y formas características del Clásico Tardío.

El Lote 2 (PRALC-012-101/1) consistió del empedrado de piedra caliza pequeña el cual se encontraba inmediatamente sobre un relleno de tierra café clara con presencia de mucha piedra caliza pequeña. En la sección sur del pozo se logró identificar pequeñas secciones de piso a 74 cm de profundidad el cual no se identificó en el resto de la excavación. Este relleno se encontraba directamente sobre la roca madre. Se identificó una proporción alta de cerámica del Clásico Temprano y con algunos tiosos que con características del Clásico Terminal.

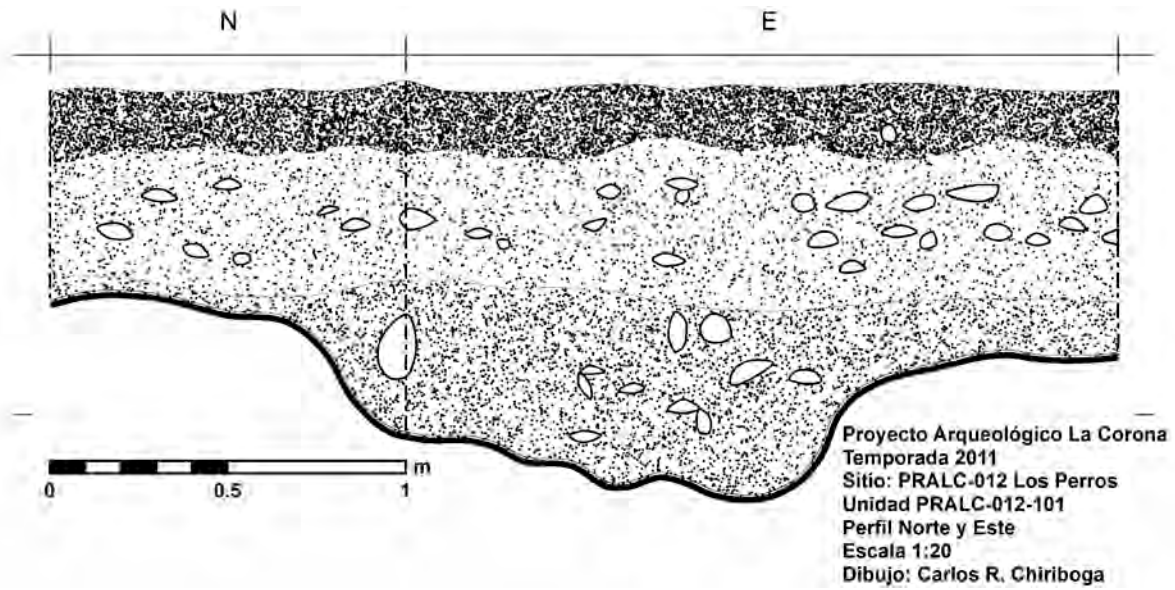


Figura 2.21 Perfil Norte y Este de la Unidad PRALC-012-101 (Dibujo por C. Chiriboga)

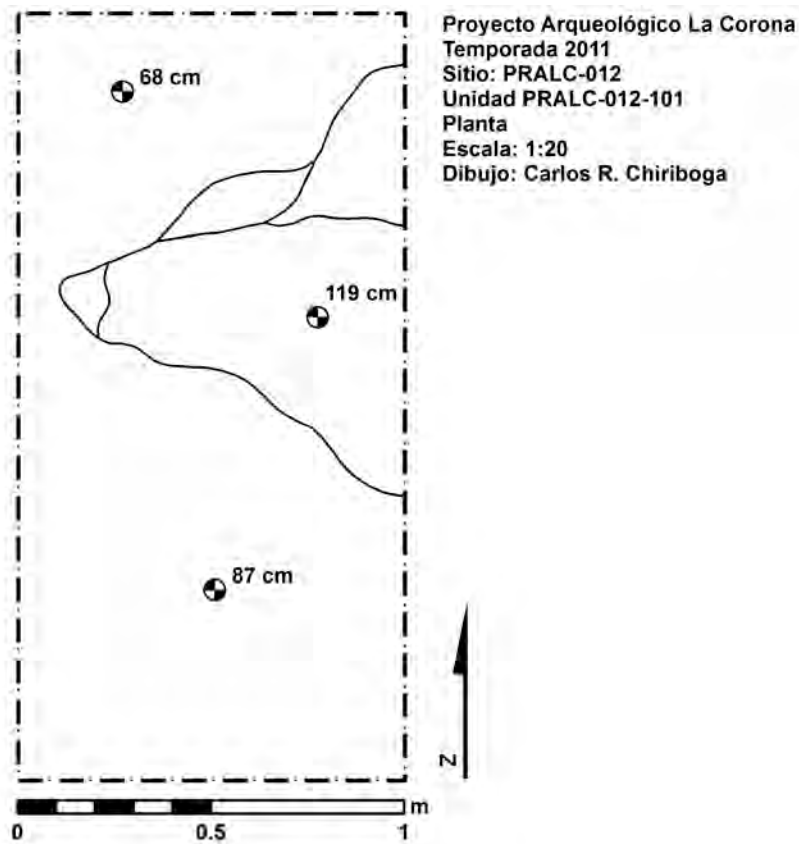


Figura 2.22 Planta de la Unidad PRALC-012-101 (Dibujo por C. Chiriboga)



Figuras 2.23 y 2.24 Unidad PRALC-012-101 (Fotos por C. Chiriboga)

PRALC-012-102 (Figuras 2.25-2.28)

Medidas: 2 x 1 m.

Coordenadas: 15 N 798710.765 1963250.350 UTM – WGS84

Niveles: 2

Profundidad máxima: 102 cm.

Fechas de trabajo: 14/04/2011 – 15/04/2011

La Unidad PRALC-012-102 se ubicó 7 m al sur de la Terraza 012-04, la cual delimita el norte de la Plaza Oeste del sitio. El Lote 1 (PRALC-012-102/1) correspondió al nivel actual de superficie y la capa de humus, el cual cambió a un relleno café claro con piedra pequeña (<15 cm) hasta llegar a un nivel de piso a 54 cm de profundidad desde el *datum*. La cerámica recolectada de este lote presenta una mezcla de material del Clásico Temprano (faceta temprana) junto con Preclásico Tardío/Terminal. El Lote 2 (PRALC-012-102/1) corresponde al Piso 1 y un relleno de tierra café clara/amarillenta con piedra pequeña (<10 cm) mezclada. Este nivel se encontraba inmediatamente sobre la roca madre. Se identificó un agujero de poste de alrededor de 24 cm de diámetro y de 19 cm de profundidad en la roca madre, a 67 cm al sur y 37 cm al este de la esquina NO del pozo. Se procedió a excavar dentro del hoyo pero se encontró que el material era idéntico al material del Lote 2. Para comprobar que se había llegado a la roca madre, se excavó una pequeña cala en la esquina SE. La muestra cerámica presenta claros tipos y formas representativas de los materiales del Preclásico Tardío/Terminal

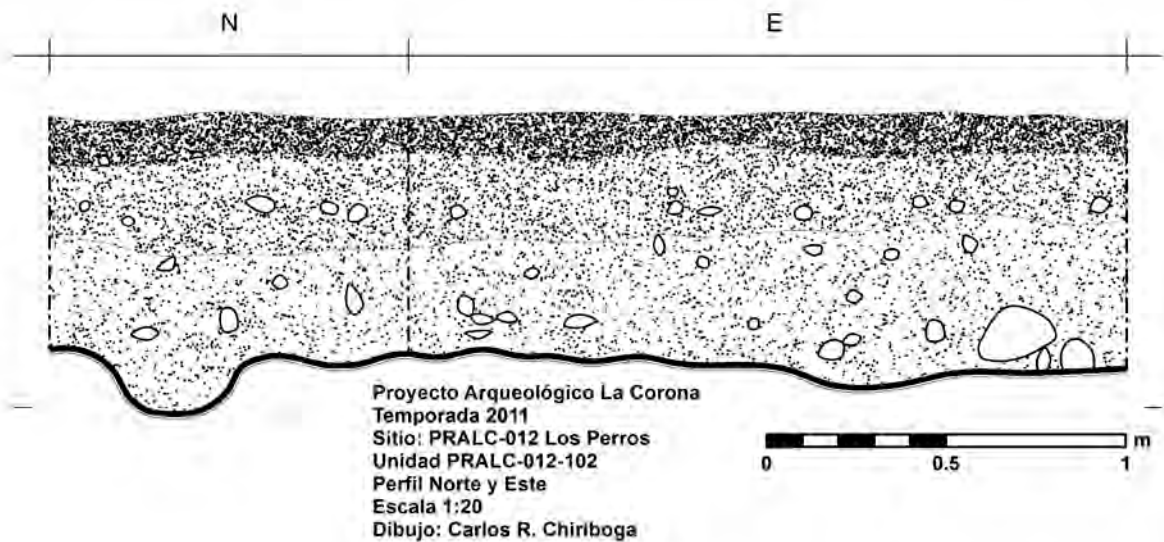


Figura 2.25 Perfil Norte y Este de la Unidad PRALC-012-102 (Dibujo por C. Chiriboga)

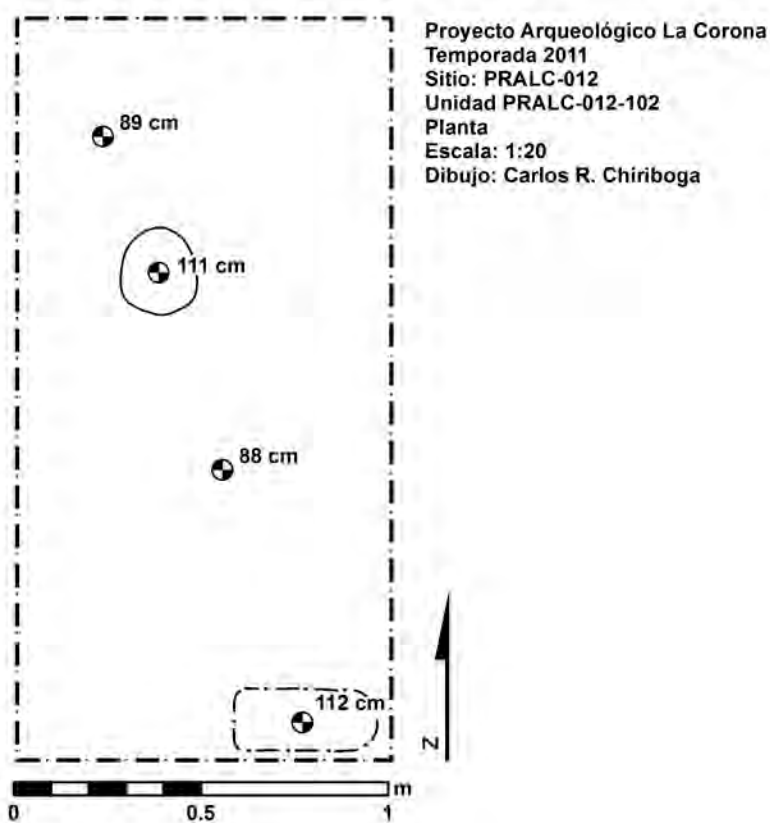


Figura 2.26 Planta de la Unidad PRALC-012-102 (Dibujo por C. Chiriboga)



Figuras 2.27 y 2.28 Unidad PRALC-012-102 (Fotos por C. Chiriboga)

PRALC-014-101 (Figuras 2.29-2.32)

Medidas: 2 x 1 m.
 Coordenadas: 15 N 788301.954 1970098.953 UTM – WGS84
 Niveles: 4
 Profundidad máxima: 182 cm.
 Fechas de trabajo: 02/04/2011 – 05/04/2011

La Unidad PRALC-014-101 se trazó 5.4 m al este de la Estructura 014-03, al nivel de plaza. El Lote 1 (PRALC-014-101/1) correspondió a la superficie actual y humus del nivel actual de la plaza, presentando tierra de color café oscuro. Debajo del humus el relleno cambió a un color café rojizo con presencia de piedra caliza pequeña. A 7 cm debajo de este relleno, y en el lado sur del pozo, se encontraron pequeñas áreas de un piso estucado fragmentado y sumamente deteriorado. La cerámica de este lote se encuentra sumamente erosionada pero se lograron identificar algunos engobes naranjas y formas características del Clásico Temprano.

Al profundizar el Lote 2 (PRALC-014-101/2) se decidió reducir el área de excavación, continuando con un área de 1 x 1 m correspondiente a la mitad oeste del pozo. El relleno continuó de tierra café oscura con piedra pequeña mezclada. A los 59 cm de profundidad, inmediatamente pegados al Perfil Sur del pozo, se identificaron restos humanos. Al limpiar el área se logró identificar un cráneo humano fragmentado, pero debido a limitantes de tiempo, se decidió discontinuar la excavación en esta área, reduciendo el área de excavación en 30 x 30 cm, para así preservar los restos óseos. Los huesos se volvieron a tapar cuidadosamente y se

prosiguió con la excavación del Lote 2 hasta llegar a los 102 cm de profundidad. La cerámica del Lote 2 consistió principalmente de materiales del Clásico Temprano con alguna mezcla de material del Preclásico Tardío/Terminal.

A 102 cm de profundidad se identificó un piso erosionado sobre un relleno calizo de color blanco/grisáceo, los cuales corresponden al Lote 3 (PRALC-014-101/3). Este relleno compacto tuvo un promedio de 25 cm de profundidad a lo largo del área excavada. Aunque contenía poca cerámica, el material recolectado parece del Clásico Temprano.

Inmediatamente debajo del nivel de relleno calizo se llegó al Lote 4 (PRALC-014-101/4), el cual marcaba un cambio a un relleno de tierra café oscura hasta llegar a roca madre a 173 cm de profundidad. El material de este lote consistió de formas diagnósticas del Clásico Temprano y engobes rojos característicos del Preclásico Tardío.

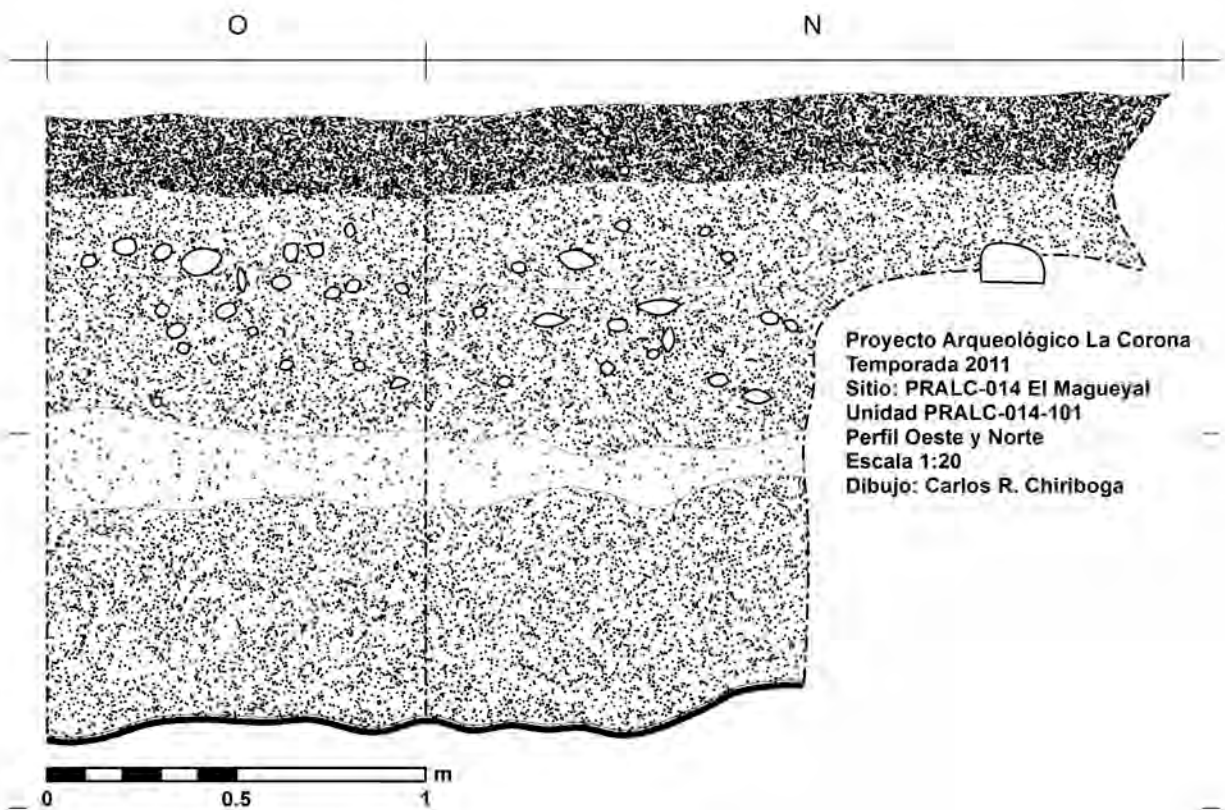


Figura 2.29 Unidad PRALC-014-101 – Perfil Oeste y Norte (Dibujo por C. Chiriboga)



Figuras 2.30 y 2.31 Unidad PRALC-014-101 (Fotos por Carlos R. Chiriboga)



Figura 2.32 Unidad PRALC-014-101, Entierro Lote 2 (Foto por C. Chiriboga)

PRALC-016-101 (Figuras 2.33-2.35)

Medidas: 2 x 1 m.
 Coordenadas: 15 N 800091 1944900 UTM – WGS84
 Niveles: 4
 Profundidad máxima: 181 cm.
 Fechas de trabajo: 26/04/2011 – 28/04/2011

La Unidad PRALC-016-101 se ubicó 5.3 m al oeste de la Estructura 016-07. El Lote 1 (PRALC-016-101/1) correspondió a la superficie actual y la capa de humus. A los 39 cm de profundidad se identificó un cambio a un relleno de tierra café rojiza con la presencia de piedras calizas de mediano tamaño (~20 cm). Este relleno, identificado como el Lote 2 (PRALC-016-101/2), se extendió de 39 a 82 cm de profundidad. A los 82 cm de profundidad se notó un

PRALC-023-101 (Figuras 2.36-2.38)

Medidas: 2 x 1 m.

Coordenadas: 15 N 800156 1966082 UTM – WGS84

Niveles: 2

Profundidad máxima: 91 cm.

Fechas de trabajo: 16/04/2011

La Unidad PRALC-023-101 se trazó 5 m al frente de la Estructura 023-01, alineada al centro de ésta. Midió 2 x 1 m y se orientó longitudinalmente norte-sur, con dirección al norte magnético (1.38° al oeste de norte verdadero). El Lote 1 (PRALC-023-101/1) consistió del nivel de superficie y humus actual de color café oscuro. A 32 cm de profundidad se llegó a un empedrado de piedra pequeña el cual ocupaba la extensión total del pozo. El Lote 2 (PRALC-023-101/2) incluyó el empedrado, el cual presentaba un relleno de tierra color café claro. Más abajo se presentó un relleno de piedras grandes (>10 cm) de caliza amarradas con esta misma tierra de color café claro. A una profundidad de 82 cm se topó con la roca madre. La cerámica recolectada de ambos lotes se encuentra en un estado deteriorado, pero se pueden identificar algunas formas y colores propios del Clásico Temprano.

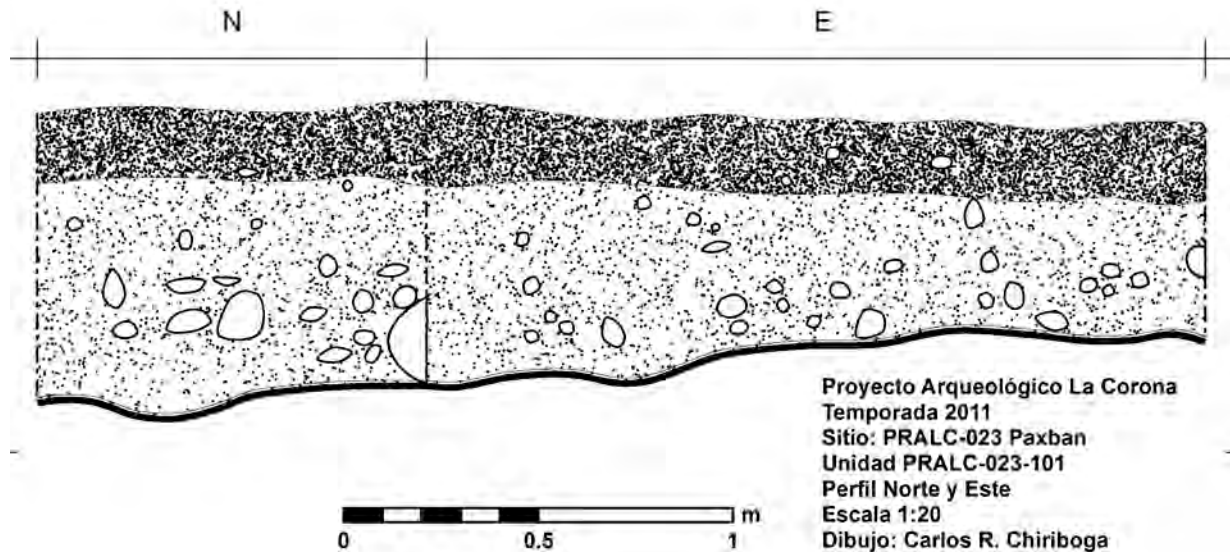


Figura 2.36 Perfiles Norte y Este de la Unidad PRALC-023-101 (Dibujo por C. Chiriboga)



Figuras 2.37 y 2.38 Unidad PRALC-023-101 (Fotos por C. Chiriboga)

Conclusiones

Los datos presentados comienzan a proporcionar una idea inicial sobre el patrón de asentamiento en la RBM occidental. Tras dos temporadas de reconocimiento regional en el noroeste de la RBM, el registro de sitios arqueológicos se ha incrementado a un total de 34, proporcionando una muestra cada día mejor para tratar de entender el desarrollo de las comunidades prehispánicas en la región.

En conjunto con los datos generados por medio de excavaciones extensivas en los sitios de La Corona y El Achiotal, el programa de sondeos arqueológicos iniciado durante la Temporada 2011 tiene el potencial de aportar importantes descubrimientos sobre la extensión y temporalidad de la ocupación Maya prehispánica en el noroeste de la RBM.

La continuación de este proyecto de reconocimiento arqueológico a lo largo de las siguientes temporadas de investigación promete identificar aún más sitios arqueológicos en esta región poco investigada hasta el momento. Se espera que la implementación de excavaciones limitadas de pozos de sondeo y el inicio del análisis cerámico de los materiales recolectados, tanto de la superficie así como de las excavaciones, proporcionará datos importantes sobre el patrón de asentamiento en la región y ayudará a complementar un registro arqueológico cada vez más completo de la historia prehispánica de las Tierras Bajas Centrales.

CAPÍTULO III

INVESTIGACIÓN ARQUEOLÓGICA EN EL ACHIOTAL: CONTINUACIÓN DE LAS EXCAVACIONES EN LA ESTRUCTURA 5C-01

Mary Jane Acuña

Introducción

La temporada 2011 en El Achiotal se llevó a cabo desde principios de Abril hasta mediados de Mayo. Durante este tiempo se continuó la exploración de la pirámide principal del sitio, la Estructura 5C-01, iniciada en la Temporada 2009 (Acuña 2011a; Acuña y Chiriboga 2010). El enfoque durante esta temporada fue de continuar la excavación de túneles en el interior del montículo para seguir definiendo la subestructura Jonon, identificada en previas temporadas, y de seguir elucidando la compleja secuencia arquitectónica. Desde el 2009 fue obvio que este montículo presenta una oportunidad especial para estudiar los cambios socio-políticos a través de su secuencia constructiva y correspondiente iconografía. Esto se debe a que, en primer lugar, estos edificios preclásicos no se encuentran enterrados bajo metros y metros de construcciones subsecuentes; y, en segundo lugar, porque la secuencia constructiva fue aparentemente frecuente.

En este informe se presentan los resultados de la excavación de los túneles 6, 8, 9, 10, 11 y 12 de la Suboperación B. Los túneles 6, y del 8 al 11 se realizaron para completar el estudio de la Subestructura Jonon, para definir su arquitectura y verificar la presencia de más elementos decorativos; particularmente, de mascarones flanqueando la escalinata. El Túnel 12 se ubicó al frente del montículo, en la Trinchera de Saqueo 2 (central) y buscó definir la arquitectura de la Subestructura Chen. Además, se realizaron varios pozos de sondeo en las suboperaciones E y F que corresponden a los lados oeste y sur del montículo, respectivamente (Figura 3.1). Se describen los resultados de la limpieza y registro de las trincheras de saqueo 1 y 3, que involucraron el hallazgo de los mascarones 2 y 3 de El Achiotal, ambos asociados con la Subestructura Chen. Al final, se presentan algunas conclusiones preliminares. El listado de materiales por unidad se presenta en la Tabla 3.1, al final del reporte.

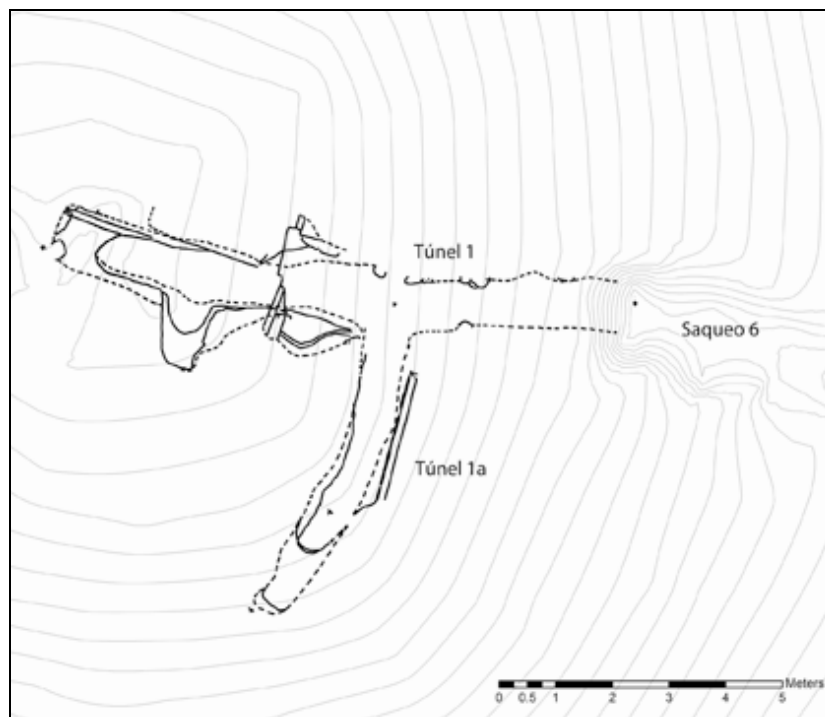


Figura 3.1 Ubicación la Estructura 5C-01 de El Achiotal y sus túneles de saqueo (Planos por C. Chiriboga)

Antecedentes

En la literatura arqueológica se hace mención del Achiotal desde principios de 1990 cuando Nikolai Grube visitó el sitio como parte de una expedición al noroeste de Petén (Grube, *et al.* 1990). El sitio fue nuevamente visitado a mediados de esa década por un grupo de aficionados participando en una expedición de *Maya Quest*, guiados por Don Carlos Catalán (Parrish 1997). Don Carlos fue miembro de la comunidad de Carmelita y durante su vida fue chiclero, cazador de jaguares y saqueador, pero en sus últimos años decidió pelear en contra del saqueo, razón por la cual fue asesinado por otro saqueador de la misma comunidad (Dorfman 1998; Hansen 1997). En el artículo publicado en *The Morning News* (Parrish 1997) se describe la visita al sitio de la expedición *Maya Quest* en donde describen su impresión al llegar a la pirámide, ahora identificada como la Estructura 5C-01. Mencionan que es una pirámide muy alta con siete trincheras de saqueo y que en el interior existen pinturas en rojo sobre crema. Más adelante, en 2001, Kathryn Reese-Taylor llegó al sitio cuando hizo una visita a La Corona y tomó algunas fotografías de los saqueos y del mural entonces expuesto. Finalmente, en 2008 miembros del Proyecto Regional Arqueológico La Corona conocen El Achiotal, incluyendo la autora, y surge el interés de investigarlo arqueológicamente.

El sitio fue saqueado fuertemente en la segunda mitad del siglo XX. Según un informante, al sitio llegaban cuadrillas de hasta 60 personas. Además, se sugiere que parte del saqueo fue el resultado de la presencia de un campamento petrolero que existía a 2.5 km del sitio, en donde ahora existe el campamento de CONAP/Ejército llamado El Achiotal.

La primera intervención arqueológica inició en 2009 con la participación de la autora y Carlos. R. Chiriboga (Acuña y Chiriboga 2010). Desde entonces, las investigaciones en El Achiotal permanecen bajo el convenio entre el Proyecto Regional Arqueológico La Corona, dirigido por Marcello Canuto y Tomás Barrientos, y el Instituto de Antropología e Historia. En 2009 el trabajo fue limitado únicamente a mapeo, documentación de saqueos en la pirámide principal del sitio, la Estructura 5C-01, y algunos pozos de sondeo en las plazas (Acuña y Chiriboga 2010). En 2010 se realizaron excavaciones más intensivas en las Estructuras 5C-01 (Acuña 2011a), 4C-11 (Paris 2011) y varios pozos de sondeo en las plazas (Cruz 2011). Los resultados de esta temporada proveyeron datos importantes sobre la ocupación del sitio, tanto en cuanto a su cronología como también sobre sus características políticas y potencialmente económicas.

Metodología

En 2011 se continuó con la metodología aplicada en la temporada de 2010 (ver Acuña 2011a:48). Se excavó un total de cinco túneles nuevos (8 a 12) y se dio continuidad a uno iniciado la temporada anterior (Tn6). Además, se excavaron 10 pozos en el exterior de la pirámide, seis localizados en el lado oeste para determinar rasgos arquitectónicos del basamento, y cuatro en la parte posterior y sur. Se hizo también la documentación de la Trinchera de saqueo 1 de la Estructura 5C-01, y un pequeño registro en el Saqueo 3.

Suboperación B: Excavación de Túneles

La Suboperación B comprende todas aquellas excavaciones llevadas a cabo en el interior del montículo 5C-01. Aunque principalmente túneles, en 2011 se excavaron también dos pozos. Se excavó un total de seis túneles, cinco de los cuales fueron completamente nuevos (T8, T9, T10, T11 y T12) y uno que fue iniciado en 2010 y finalizado esta temporada (T6) (Figura 3.2).

En general, el objetivo de los túneles fue de continuar la exploración de la secuencia constructiva de la pirámide 5C-01, con especial atención en definir por completo la Subestructura Jonon. Los dos pozos excavados en esta Suboperación tuvieron el objetivo de explorar la presencia o ausencia de depósitos asociados a rasgos específicos.

ACH-1B-T8

El Túnel 8 (T8) se inició directamente frente al Mascarón 1 encontrado en 2011 en el Túnel 7, el cual se ubica sobre la escalinata frontal de la Subestructura Jonon. Su orientación fue N-S, partiendo desde el frente del mascarón hacia el norte y descendiendo sobre la escalinata de acceso de Jonon. El T8 midió aproximadamente 1 m de ancho por 0.80-1 m de altura y su longitud final fue de 5.70 m (Figuras 3.3 y 3.4). La excavación del T8 contó con un solo lote, L13, del cual solamente se recuperaron 11 tiestos pequeños y fragmentados. El túnel no se separó en varios lotes ya que el relleno claramente fue un solo evento constructivo, a pesar de diferencias en consistencia y coloración. Sin embargo, la mayoría de los tiestos proceden del área por encima de la escalinata.

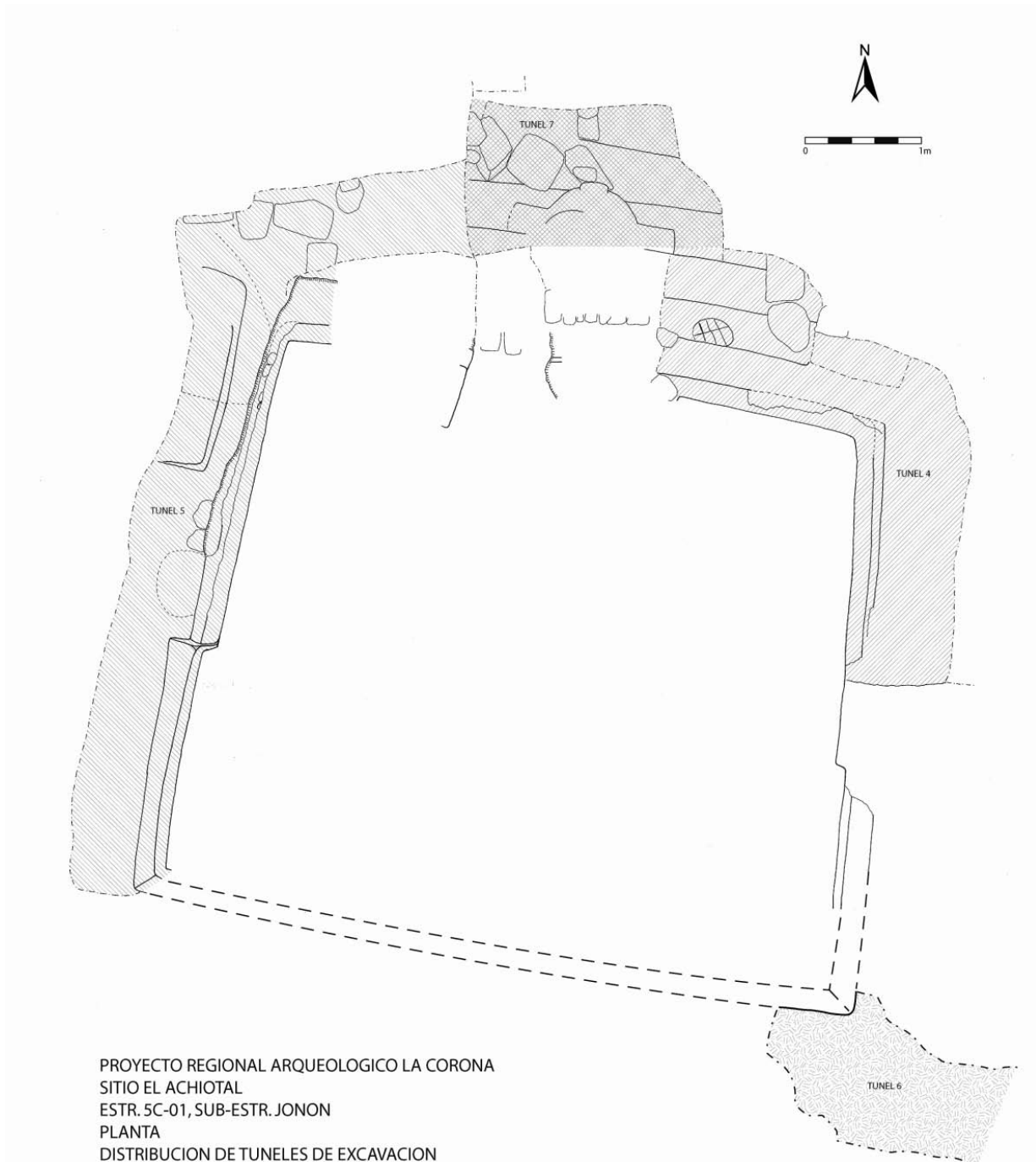


Figura 3.2 Ubicación de túneles en relación a la Subestructura Jonon (Plano por M.J. Acuña)

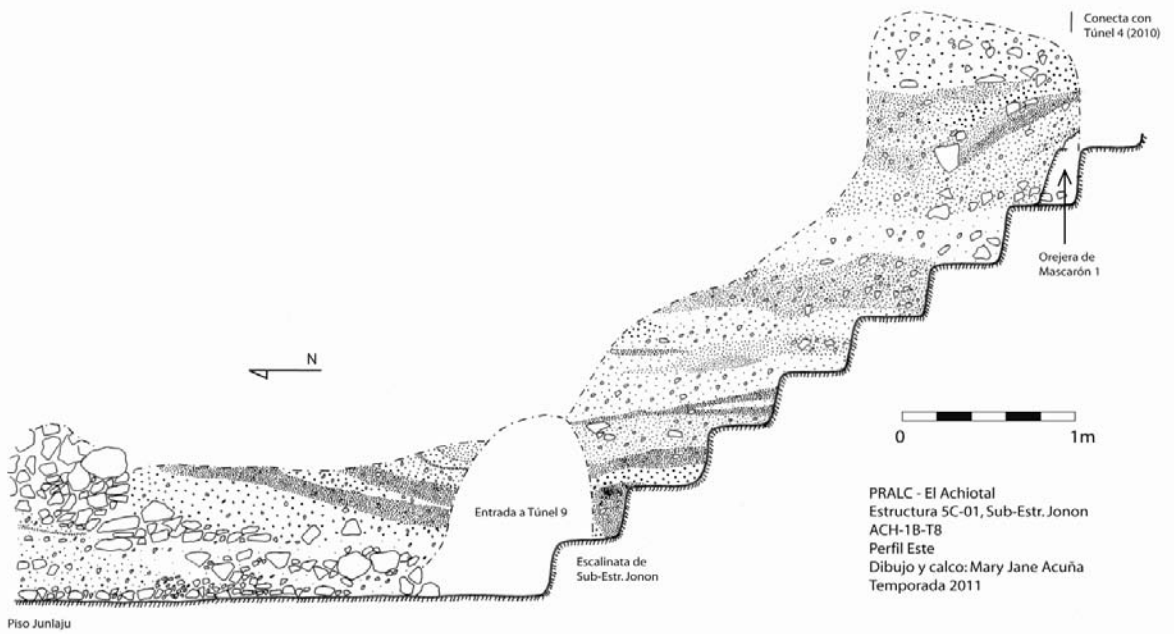


Figura 3.3 Perfil Este del Túnel 8, Estructura 5C-01, El Achiotal (Dibujo por M. Acuña)

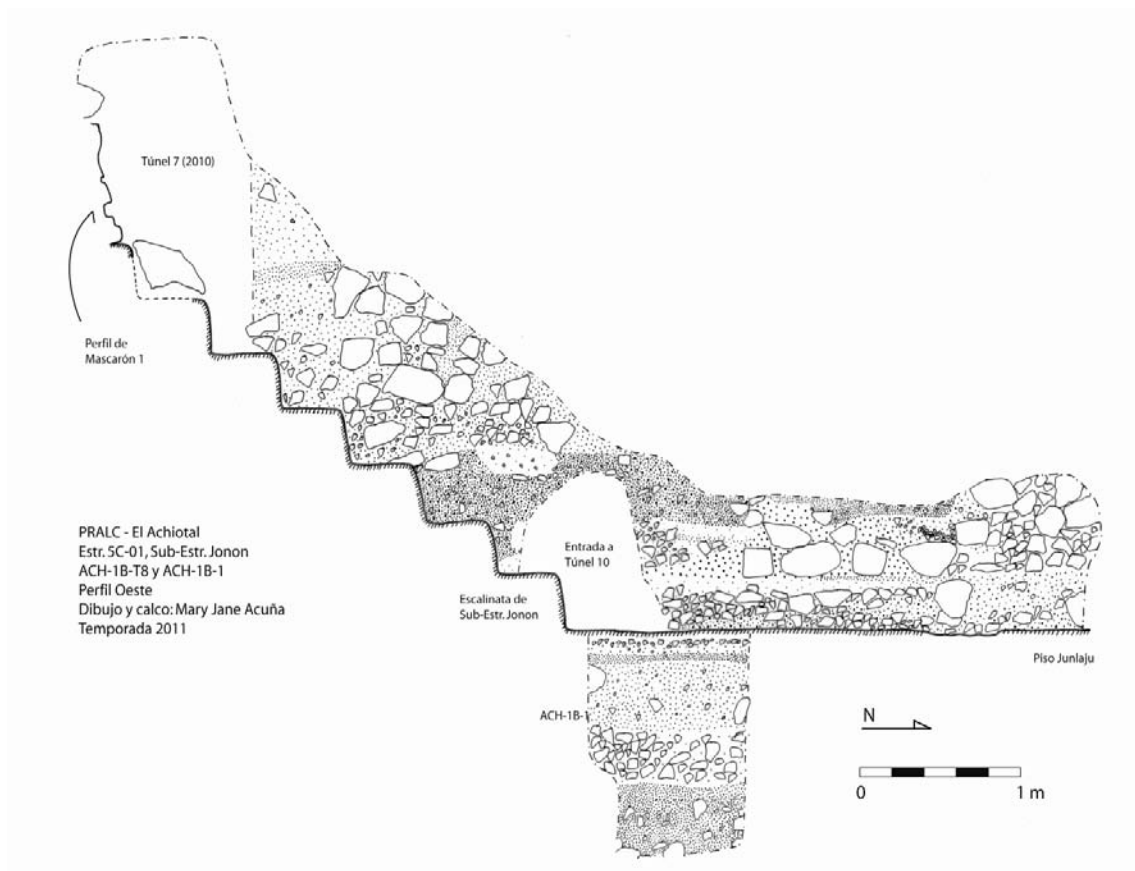


Figura 3.4 Perfil Este del Túnel 8 y Unidad ACH-1B-1, Estructura 5C-01, El Achiotal (Dibujo por M. Acuña)

Esta excavación descubrió la escalinata de la Subestructura Jonon, desde la grada donde asienta el Mascarón 1 hasta la terraza, revelando seis escalones más de la escalinata originalmente descubierta en los túneles 4 y 7 en 2010 (Acuña 2011a). Por lo tanto, la Subestructura Jonon tenía una escalinata de 10 escalones desde el piso Junlaju de la plataforma basal (denominada Hormiga), hasta la entrada a la cámara del templo, identificada en el T4 (Acuña 2011a:51-58). Desde la base de la escalinata, la excavación de T8 continuó 3.3 m más hacia el norte por encima de la Plataforma Hormiga (Piso Junlaju).

El túnel se excavó siguiendo el eje central del mascarón y por lo tanto de la estructura misma, y se trató de mantener la misma orientación a lo largo de ella. Curiosamente, desde la nariz del Mascarón 1 hasta el final del túnel había una división del relleno con un alineamiento vertical de piedras. Del lado oeste el relleno es compacto, de coloración café con piedras pequeñas y poco abundantes; mientras que el relleno del lado este es de color blanco-amarillento, más suelto y con piedras pequeñas a medianas. Estos rellenos se mantuvieron así por encima de la escalinata, cambiando levemente en la sección encima de la terraza (superficie de la Plataforma Hormiga). El relleno comenzó a cambiar notablemente en el extremo norte del túnel, una de las razones por las cuales se discontinuó la excavación. En la parte superior del túnel el relleno consistió en abundantes piedras medianas y sueltas sin tierra, comprometiendo la estabilidad y seguridad del túnel (ver Figuras 3.3 y 3.4).

El hallazgo más importante de este túnel fue el descubrimiento completo de la escalinata bien conservada y estucada que da acceso al templo de la Subestructura Jonon, en su lado norte, desde la superficie de la Plataforma Hormiga. La división del relleno por el alineamiento vertical de piedras dañó parte de los escalones; sin embargo, se considera que el estado general de conservación fue muy bueno. El ancho promedio de las huellas fue de 0.27-0.33 m y de las contrahuellas de 0.33-0.36 m. Las contrahuellas fueron pintadas de negro sobre el eje de la escalinata, cubriendo exactamente del ancho del Mascarón 1 (Figura 3.5). Es decir que visto desde la plaza hacia el templo, se vería una banda negra ascendiendo desde la terraza hasta la base del mascarón. El mascarón fue construido por encima de los escalones 6 a 9 (de abajo hacia arriba) y por lo tanto la pintura negra se encuentra sobre las contrahuellas de los escalones 1 a 6.

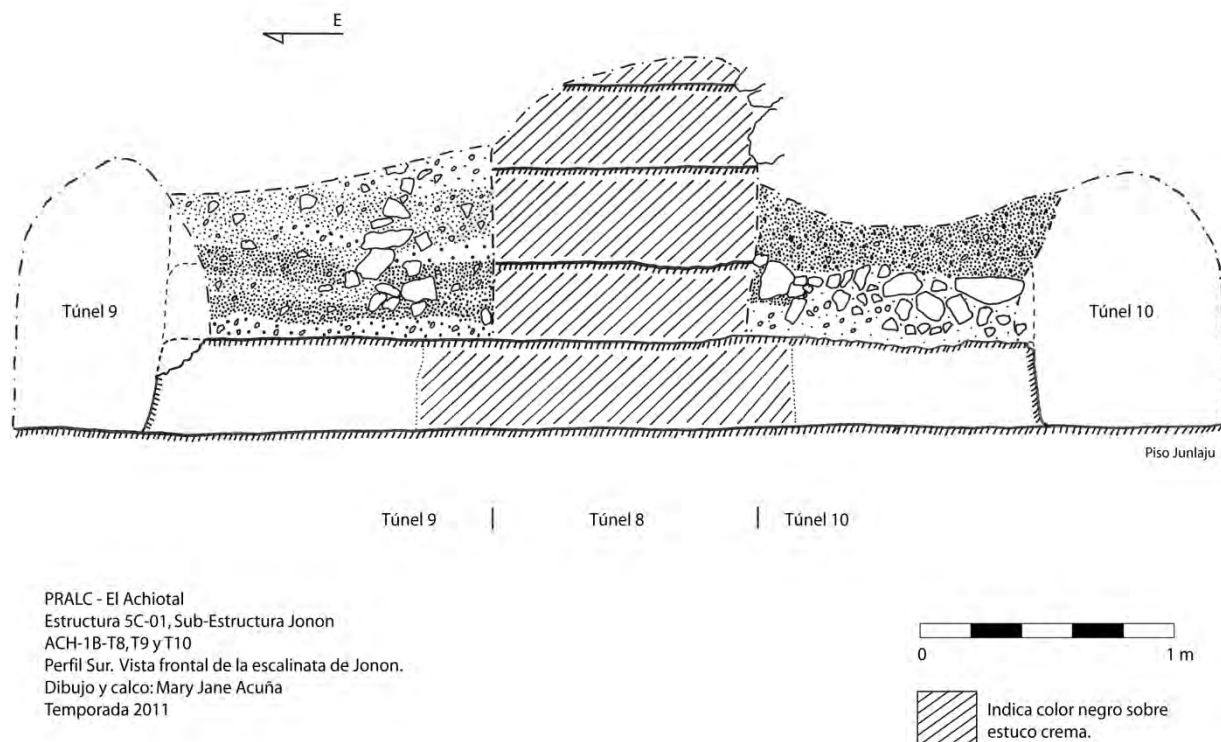


Figura 3.5 Elevación Sur de la escalinata de la Subestructura Jonon (Dibujo por M. Acuña)

El piso Junlaju, de la terraza ubicada al pie de la escalinata consiste en la superficie de la Plataforma Hormiga que sostiene a la Subestructura Jonon y demás estructuras del patio. Éste se encontró en muy buen estado de conservación y midió 0.06-0.08 m de grueso, según se observó en el pozo ACH-1B-1 (ver Figura 3.4). Este piso mantuvo la misma conservación a lo largo del túnel, con excepción de un área de unos 0.20 m de diámetro en la sección noroeste del túnel en donde fue dañado, al parecer por una roca grande de relleno.

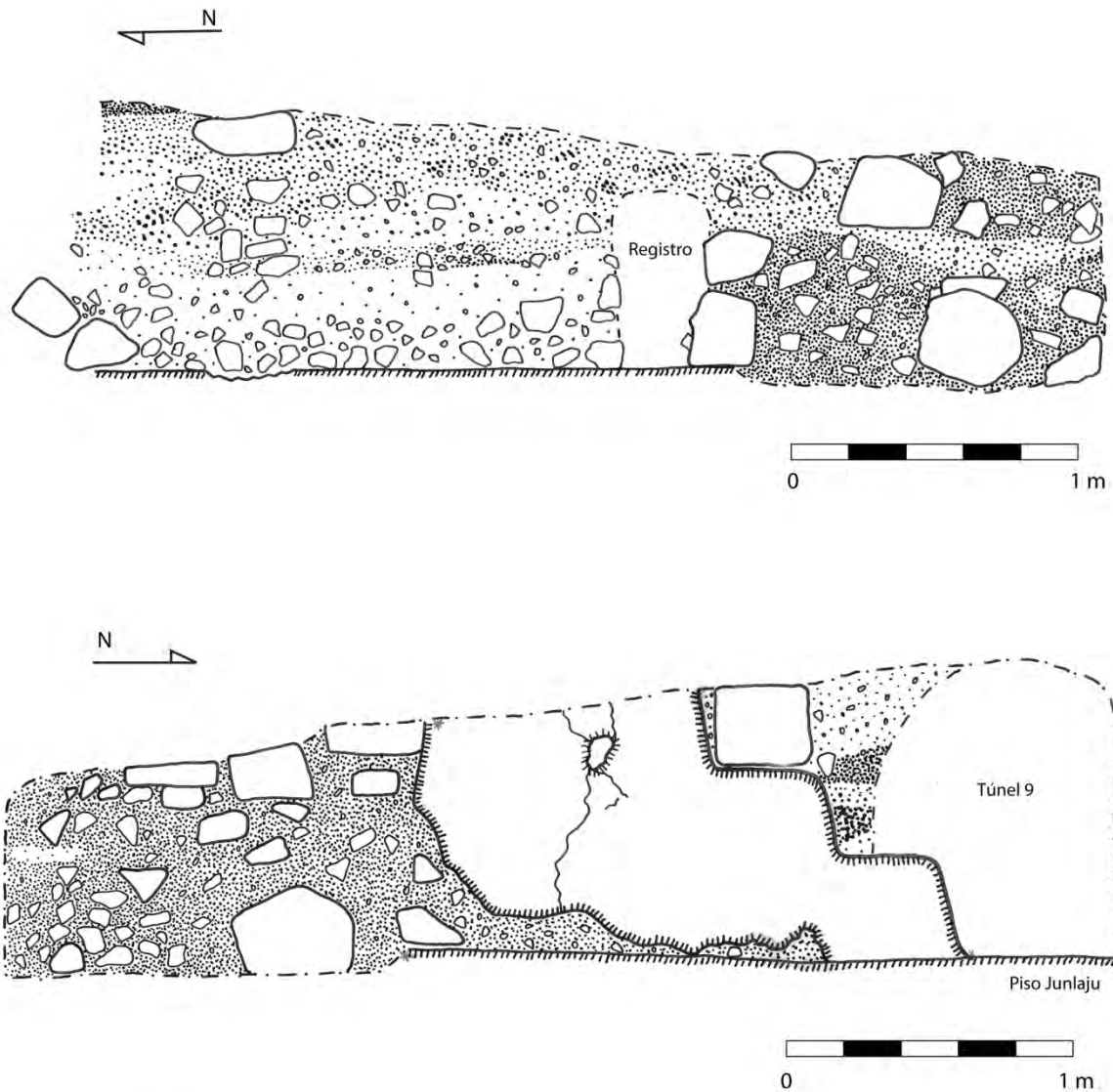
Entre el relleno se encontraron, además de los 11 tiestos cerámicos, algunos fragmentos pequeños de carbón. Estos no fueron recolectados por que pertenecieron al relleno y no a un rasgo constructivo u otro evento específico. Algunos fragmentos de carbón fueron encontrados en el relleno sobre el escalón, debajo y al frente del Mascarón 1, mientras que otros en diversas partes del relleno del túnel; pero todos los casos fueron aislados.

ACH-1B-T9

El Túnel 9 (T9) se ubicó de manera perpendicular a T8, partiendo desde la base de la escalinata de la Subestructura Jonon y sobre el piso Junlaju hacia el este (Figura 3.2). Su objetivo fue el de ubicar la esquina de la escalinata para eventualmente obtener su ancho, y voltear hacia el sur en busca de la fachada de la plataforma del templo Jonon. Con esto se buscó comprobar la presencia o ausencia de mascarones que flanquearan la escalinata, ya que esta práctica fue muy común en otros sitios preclásicos de las Tierras Bajas Mayas (Brown y Garber 2005; Freidel 2005; Hansen 1992; Valdés 1986, 1989).

El T9 se dividió en dos lotes, L14 y L22. En L14 se recuperó un total de 11 tiestos y un fragmento de hueso de fauna, y comprende el relleno desde el inicio del túnel hasta el lado este de la escalinata en donde terminó el repello de la misma. El relleno fue bastante compacto y contenía únicamente piedras pequeñas y piedrín. En partes, por lo general en forma de capas, consistió en un lodo denso y húmedo que no contenía piedras. El piso Junlaju continuó bien conservado. El T9 midió 1 m de alto máximo, 0.90 m de ancho máximo, 3.70 m de largo en la rama N-S y 1.70 m de largo en la rama E-O. La excavación de T9 expuso el escalón basal de la escalinata frontal de la Subestructura Jonon y el Muro Este de la misma, cuyo repello se encontró presente pero frágil, con muchas rajaduras y abultamientos (Figura 3.6). No se encontró evidencia de pintura en toda la parte expuesta.

El piso Junlaju y el muro repellido de la escalinata culminaron con el hallazgo de un relleno blanco amarillento muy compacto y burdo perpendicular al muro. En un principio se pensó en la posibilidad de que formaba parte del muro de la fachada frontal de la plataforma de Jonon. Sin embargo, la ausencia de repello y la pobre calidad de la talla de las piedras también aludían a otras posibilidades, como un encajonado o bien a una modificación posterior al edificio. Por lo tanto, se continuó la excavación hacia el sur. El relleno que se descubrió, que conforma el L22, fue notablemente distinto, conteniendo piedras pequeñas y con tierra compacta de coloración café.



PRALC - El Achiotal
 Estructura 5C-01, Sub-Estructura Jonon
 ACH-1B-T9
 Perfiles Este y Oeste del eje N-S del túnel
 Perfil Oeste: Escalinata de Jonon.
 Dibujo y calco: Mary Jane Acuña
 Temporada 2011

Figura 3.6 Perfiles Este y Oeste del Túnel 9, Subestructura Jonon (Dibujo por M. Acuña)

Una vez excavado el L22 fue notorio, tanto por el cambio en relleno como también por el corte vertical en el repello de la escalinata, que el rasgo antes descrito formó parte de un muro,

aunque muy mal conservado. Las piedras eran muy burdas y parecieran más ser un conglomerado de caliza. Sin embargo, el corte en el piso coincidió con el corte en el repello del muro de la escalinata y con un cambio notorio en el relleno. Toda la evidencia indica que se trató del muro frontal de la plataforma de la Subestructura Jonon. Para mayor verificación, se hizo un pequeño registro en el Perfil Este del túnel, paralelo a los restos del muro aun visibles (Figura 3.6). Se observó que continuaba el conglomerado muy burdo y mal conservado. Al frente y sobre el Piso Junlaju, se descubrieron restos de ceniza y carbón, indicando que probablemente se encontraría un fogón igual al #3 descubierto en T10/11 del otro lado de la escalinata. Es curioso que la superficie y el repello del muro frontal de la plataforma estuviera en tan mal estado, considerando que la escalinata y el templo están mejor conservados.

ACH-1B-T10

Directamente opuesto al T9, el Túnel 10 se inició desde el Perfil Oeste del T8 con dirección oeste, siguiendo la base de la Escalinata Norte de la Subestructura Jonon (Figura 3.2). El objetivo de esta excavación fue similar al del T9: seguir la base de la escalinata para encontrar su esquina y doblar hacia el sur, siguiendo el Muro Oeste de la escalinata hasta topar con la fachada de la plataforma basal de la Subestructura Jonon. Debido a que la identificación de dicho muro fue confusa en el T9, se esperaba que la evidencia de la fachada de la plataforma estuviera mejor conservada del lado oeste de la escalinata.

El T10 se dividió en cuatro lotes: L19, L16, L17 y L18. El Lote 19 comprende todo el relleno del túnel, mientras que los Lotes 16, 17 y 18 están asociados únicamente con el Fogón 3, parcialmente ubicado en el T10 (pero descrito en T11, más adelante). El T10 midió 0.77 m de altura en el centro de la sección E-O, 0.98 m de altura en la esquina y 1.24 m de altura máxima en la sección N-S; 0.75 m de ancho y 1.84 m de largo en la sección E-O y 2.54 m de largo máximo en la sección N-S (Figuras 3.7 y 3.8). El relleno del túnel fue bastante denso y compacto, conteniendo piedras pequeñas y medianas, pero a diferencia del T9 también contenía piedras de gran tamaño en algunas secciones. Solamente se recuperaron tres tiestos de la excavación del L19.

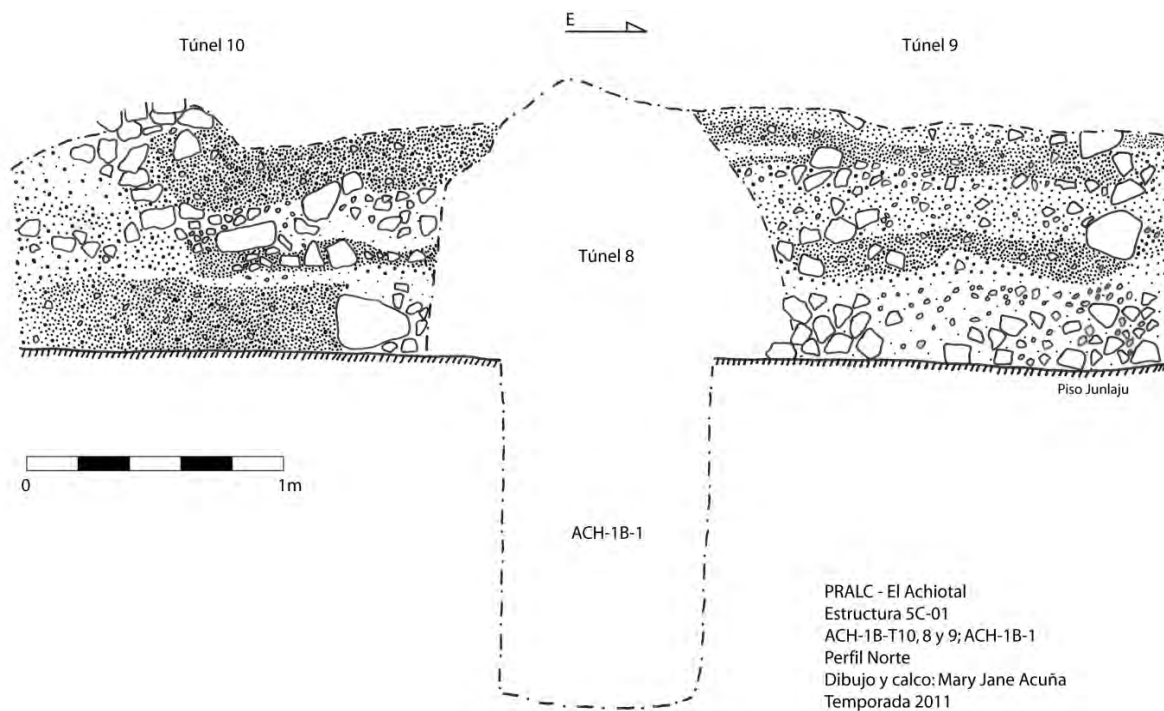
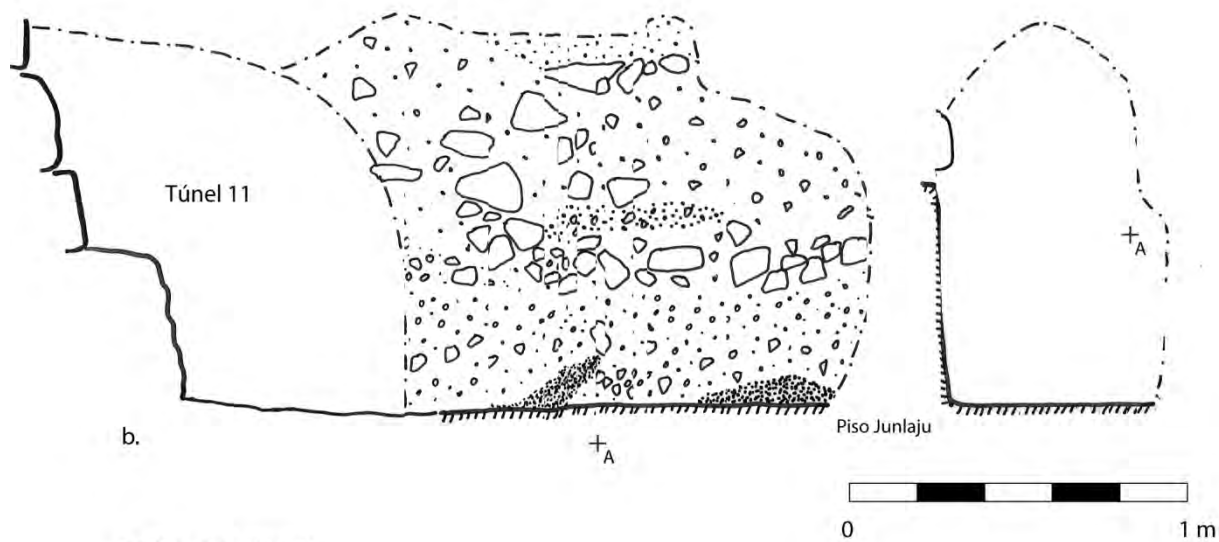
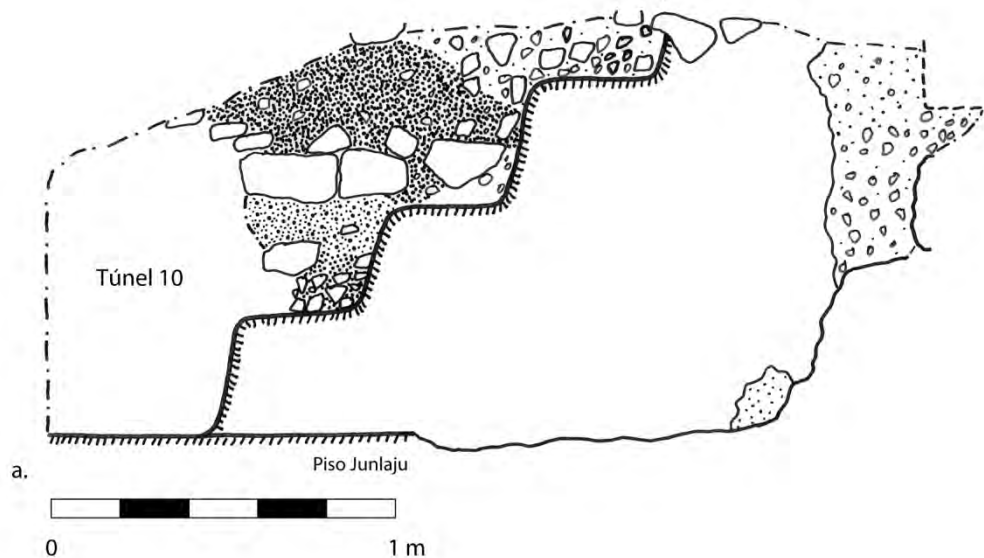


Figura 3.7 Perfil Norte del Túnel 10, Subestructura Jonon (Dibujo por M. Acuña)

La grada basal de la escalinata se encontró un poco dañada en el T10, particularmente en la esquina de la misma (ver Figura 3.5). Sin embargo, el Muro Oeste de la escalinata se encontró en mejores condiciones que el encontrado en el T9, presentando menos grietas y el repello parecía estar más estable (ver Figura 3.8a). Similar al lado este, el muro repellado consiste en una superficie ondulada. A 0.58 m de la esquina NO de la escalinata se encontró un corte en el piso Junlaju que corría de manera perpendicular al muro de ésta. Al mismo tiempo, aproximadamente a 0.65-0.70 m desde la esquina de la escalinata, se observó un cambio en la coloración del suelo y se comenzó a hallar carbón y ceniza, lo cual formó el Fogón 3 (los fogones 1 y 2 fueron encontrados en 2010 en el T5 asociados al Muro Oeste del templo de Jonon). La excavación continuó hacia el sur, dejando la capa de carbón y ceniza para su excavación posterior. El T10 culminó con el hallazgo del muro de la plataforma basal de la Subestructura Jonon, a 1.75 m de la esquina noroeste de la escalinata.



PRALC - El Achiotal
 Estructura 5C-01, Sub-Estructura Jonon
 ACH-1B-T10
 a. Perfil Este, muro de escalinata de Jonon
 b. Perfil Oeste y corte transversal. Entrada a T11 y perfil de muro de plataforma basal de Jonon.
 Dibujo y Calco: Mary Jane Acuña
 Temporada 2011

Figura 3.8 Perfiles Este y Oeste del Túnel 10, Escalinata Subestructura Jonon (Dibujo por M. Acuña)



Figura 3.9 Perfil Norte del Túnel 10, Subestructura Jonon (Foto por M. Acuña)

El muro de la plataforma fue construido con conglomerado de caliza en forma de bloques. Su superficie es burda, dispareja y su consistencia es dura. El muro presenta un leve talud y los bloques inferiores son más grandes. De hecho, el conglomerado de la base pareciera formar un solo bloque y por encima bloques rectangulares y cuadrados (Figura 3.9). Sin embargo, la conservación del muro de lado oeste fue superior a su contraparte al este de la escalinata. Además, el repello de la escalinata justamente termina en donde está el muro. Al parecer, la escalinata fue construida después de la plataforma, o bien fue adosada a ella ya que en ambos lados los muros parecieran correr por debajo de ella. El piso Junlaju corre debajo de la escalinata y de la plataforma, sugiriendo, por lo tanto, que el piso corresponde a una etapa anterior y más temprana, y que fue reutilizada hasta que el conjunto arquitectónico fue reemplazado por una sola pirámide con la construcción de la Subestructura Chen. Aunque la escalinata aún conservaba su estuco, el muro de la plataforma no. Por lo tanto el hecho que la escalinata y el templo tuvieran las superficies tan bien conservadas y los muros de la plataforma no, sugiere una destrucción intencional de esta última.

Los Lotes 16, 17 y 18 corresponden únicamente al fogón (Figura 3.10). El Fogón 3 fue lo último que se excavó dentro del T10 y se hizo en tres partes, o “raspadas”. El L16 corresponde, por lo tanto, a la primera raspada y se recuperó un total de 3 tiestos, todos fechados al Preclásico Tardío. El L17 conformó la segunda raspada y se encontraron siete fragmentos de cerámica. Finalmente, el L18 o tercera raspada, produjo un total de dos tiestos. Estos lotes también se extienden dentro del T11.



PRALC – El Achiotal
Estructura 5C-01, Sub-Estructura Jonon
ACH-1B-T10 y T11
Fogón 3, sobre piso Junlaju frente a la plataforma de la sub-Estructura Jonon.
Fotografía por Mary Jane Acuña
Temporada 2011

Figura 3.10 Fogón 3, Subestructura Jonon (Fotos por M. Acuña)

ACH-1B-T11

El Túnel 11 se inició a partir del Perfil Oeste del T10 con dirección oeste, es decir de manera perpendicular al T10, siguiendo el muro de la plataforma basal de la sub-Estr. Jonon que fue identificado al final del T10 (ver Figura 3.2). El objetivo principal del T11 fue descubrir los rasgos arquitectónicos de la fachada de la plataforma y verificar la presencia o ausencia de mascarones que flanqueaban la escalinata.

El túnel fue dividido en tres lotes, L15, L18 y L20. Los Lotes 15 y 18 corresponden al Fogón 3 y el L20 al relleno total extraído del T11. Al inicio del túnel, el muro presentó un arremetimiento de 0.30 m hacia el sur. Sin embargo, la sección basal siguió de manera continua con la sección identificada en el T10. Por lo tanto, forma lo que pareciera una banca (ancho máximo es de 0.56 m) (Figura 3.11). Los bloques del muro en la parte arremetida son medianos y cuadrados, pero siempre con la superficie burda (Figura 3.12). La parte basal, posiblemente una banca, es burda y pareciera ser un solo bloque de conglomerado o mezcla. Es posible que este espacio de la banca fuera utilizado para colocar incensarios. Sin embargo, debido a que la superficie no se conserva, fue imposible reconocer quemaduras en el muro o encontrar restos de ceniza y/o carbón.

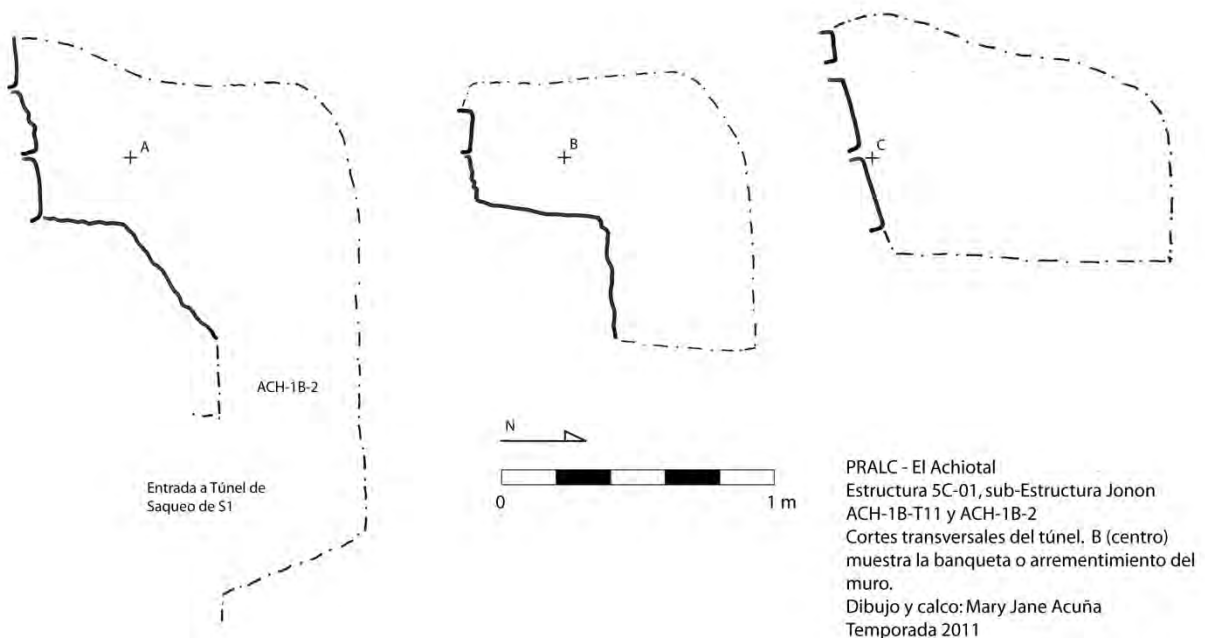


Figura 3.11 Cortes transversales del Túnel 11, Subestructura Jonón (Dibujos por M. Acuña)

El muro continuó así por 1.10 m, hasta que la parte arremetida terminó y el muro volvió a ser saliente. Sin embargo, conforme el túnel continuaba se descubrió que habían piedras alineadas en forma de talud que resaltaban del muro (ver Figura 3.11 – corte C). Se continuó el túnel y las piedras salientes fueron irregulares, algunas más salidas que otras y poco a poco fue posible reconocer que probablemente formaban una armazón para mascarón, pero el cual ya no tiene su recubrimiento de estuco (ver Figura 3.12).

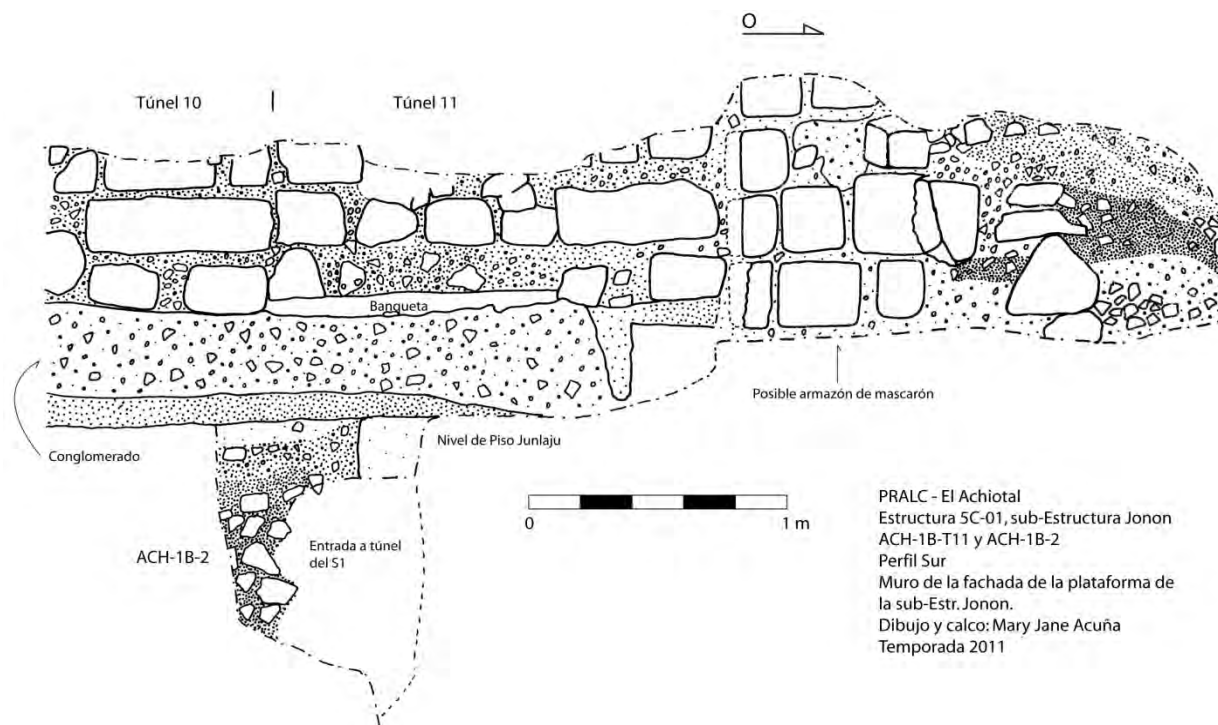


Figura 3.12 Perfil Sur del Túnel 11, Fachada de plataforma basal, Subestructura Jonón (Dibujos por M. Acuña)

Por lo tanto, es probable que la plataforma de la Subestructura Jonon tuvo mascarones flanqueando la escalinata; sin embargo, no se conserva nada de su forma final o decoración que permitan hacer inferencias sobre cualidades simbólicas y funcionales que le atribuyan significado al edificio.

El L20 conformó el relleno frente a la fachada a lo largo de todo el túnel (Figura 3.13). El túnel midió una altura máxima de 1 m, por 1.16 m de ancho máximo y 3.80 m de largo. Se recuperaron 12 tiestos, un fragmento de obsidiana y uno de lítica. El L15 correspondió a la excavación general del Fogón 3, de donde se recogieron solamente cuatro tiestos. Sin embargo, los Lotes 16, 17 y 18 son compartidos entre el T10 y el T11, ya que corresponden a la excavación del fogón por medio de etapas. Esos lotes ya fueron descritos en la sección correspondiente al T10, arriba. El Fogón 3 fue el más grande descubierto hasta el momento y contenía abundante carbón, ceniza y material orgánico quemado (ver Figura 3.10). Se tomaron varias muestras de carbón, la mayoría del L15, para ser analizadas por medio de Aceleración de

Espectrometría de Masas (AMS, por sus siglas en inglés), para obtener una fecha absoluta asociada con el fogón.

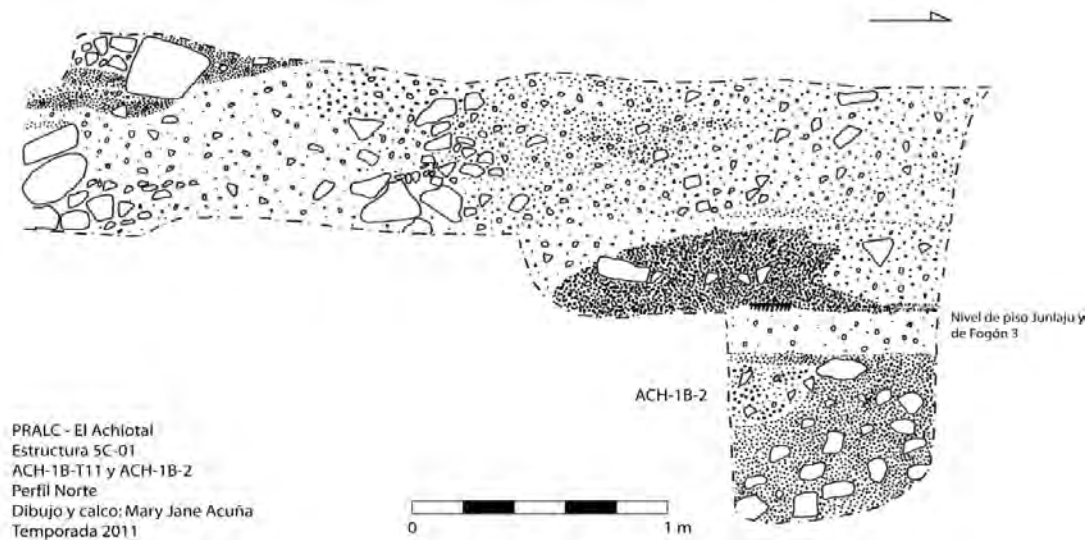


Figura 3.13 Perfil Norte del Túnel 11 y Unidad ACH 1B-2, Subestructura Jonón (Dibujos por M. Acuña)

ACH-1B-T12

Ubicado al frente del montículo, el Túnel 12 se excavó para conocer mejor una escalinata descubierta por los saqueadores en lo que se denominó Trinchera de Saqueo 2 (S2). El S2 es una de las trincheras más extensas y está ubicada directamente en el eje central del montículo, desde el nivel de plaza hasta casi la cima del templo. Además, existen tres túneles que parten de diferentes niveles de esta trinchera: 1) un túnel relativamente pequeño en la parte inferior, que rompe una escalinata estucada correspondiente a la Subestructura Chen; 2) otro arriba del anterior (T3), en la sección media del montículo y penetrando hasta su centro, uniéndose con el T1 que ingresa del lado este desde el S6; y 3) un túnel poco profundo dentro del templo en la parte superior y más alta de la trinchera (aún sin explorar).

Por lo tanto, el T12 partió de manera perpendicular a la trinchera ubicada a un costado del ingreso del túnel inferior en dirección este (Figura 3.1). Su objetivo fue seguir la escalinata expuesta por los saqueadores y definir mejor su contexto arquitectónico. Además, como será explicado más adelante, en el S1 se descubrió un mascarón de gran tamaño que corresponde a la fachada de la Subestructura Chen y que flanqueaba la escalinata anteriormente mencionada. El T12, por lo tanto, tenía el objetivo de continuar la escalinata hasta encontrar la pareja del

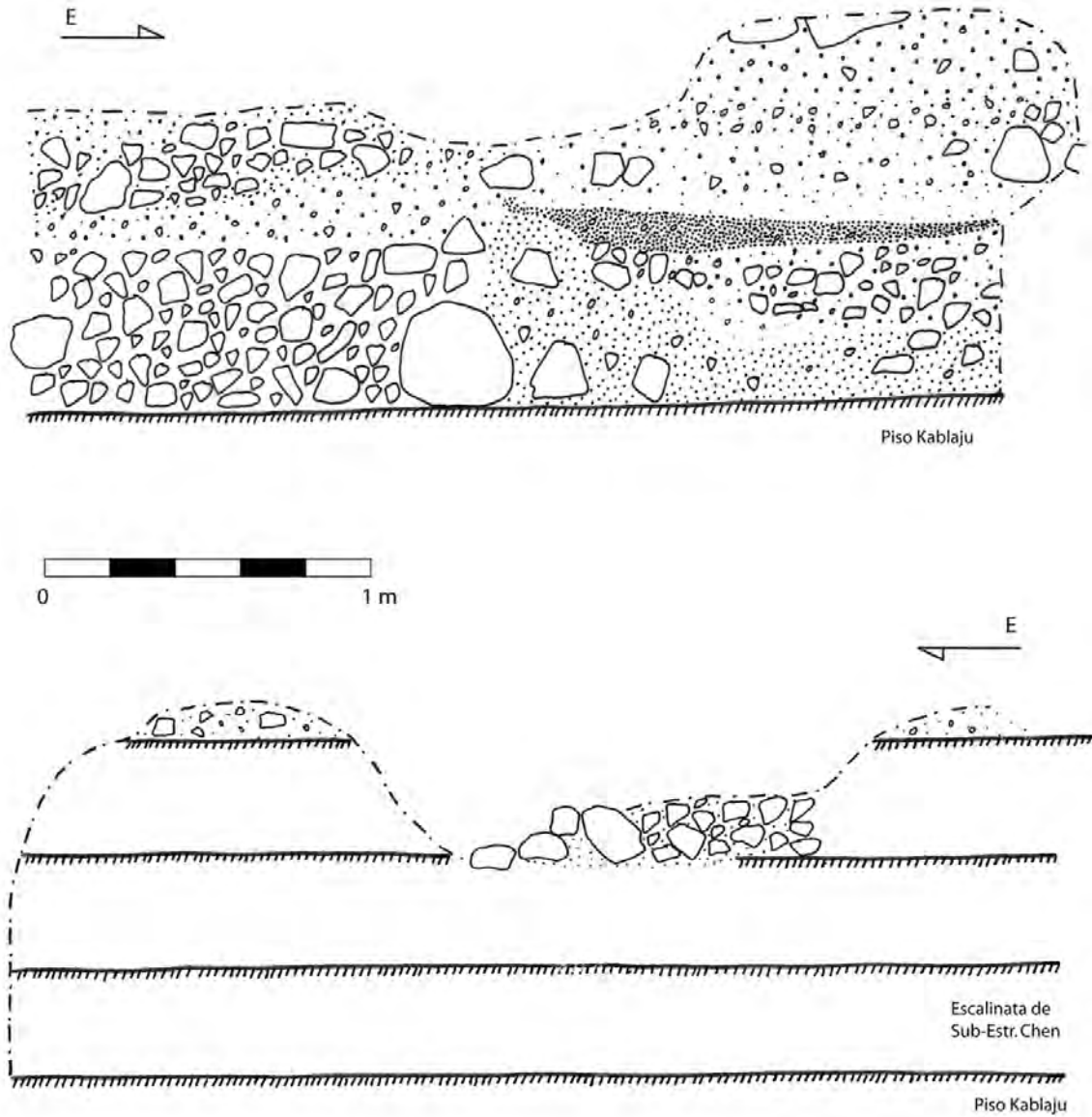
mascarón del lado este de la escalinata. Esto permitiría, a la vez, determinar el ancho de la escalinata y definir mejor los rasgos arquitectónicos de la fachada de la Subestructura Chen.

En el perfil del S2 se observó un piso que parece corresponder a un descanso, denominado Piso Kablaju. Es decir, la parte de la escalinata expuesta en la trinchera no continúa hasta el nivel de plaza, sino hasta un descanso que se extiende hacia el norte para descender a la plaza más al norte, pero que desafortunadamente se pierde en el perfil y probablemente fue destruido con la etapa constructiva subsecuente. No obstante, se optó por excavar el túnel por encima del piso Kablaju siguiendo la escalinata. El túnel expondría al menos la grada basal y la contrahuella de la segunda grada.

Por razones de estabilidad y seguridad debido a que el relleno demostró ser bastante inestable, el T12 fue más pequeño. Midió 1.14 m de altura máxima y 0.64 m de altura mínima, 0.88 m de ancho mínimo y 1.27 m de ancho máximo, y su largo fue de 2.76 m (Figura 3.14a y 3.14b). El T12 se dividió en tres lotes, L21, L23 y L24. El L21 correspondió a la primera sección del túnel, desde el Perfil Este del S2 hasta un muro rústico que se encontró asentado sobre la escalinata y de manera perpendicular a ella, aproximadamente a 1.15 m desde el inicio del túnel. Se recuperaron 16 tiestos de este lote. El muro fue construido con piedras amorfas que no parecen haber sido recubiertas de estuco, pero su alineamiento sugería que correspondían a un rasgo arquitectónico (Figura 15). Las piedras de este muro parecían solamente llegar hasta la altura de la huella de la segunda grada, justo en donde del otro lado del muro se aprecia un nivel blanco-amarillento que separa dos rellenos. No se sabe con certeza ahora si se trata de un piso delgado o bien de una nivelación. Sin embargo, fue esta capa la que dictó la separación de los lotes 23 y 24 del lado este del muro. Además, es probable que este nivel corresponda a un piso o nivelación al pie y frente al Mascarón 3 (fachada de Subestructura Chen, lado este). Esto se sugiere basado en la evidencia encontrada en las Trincheras de saqueo S1 y S2 y la identificación de un piso que parte de la base de cada mascarón.

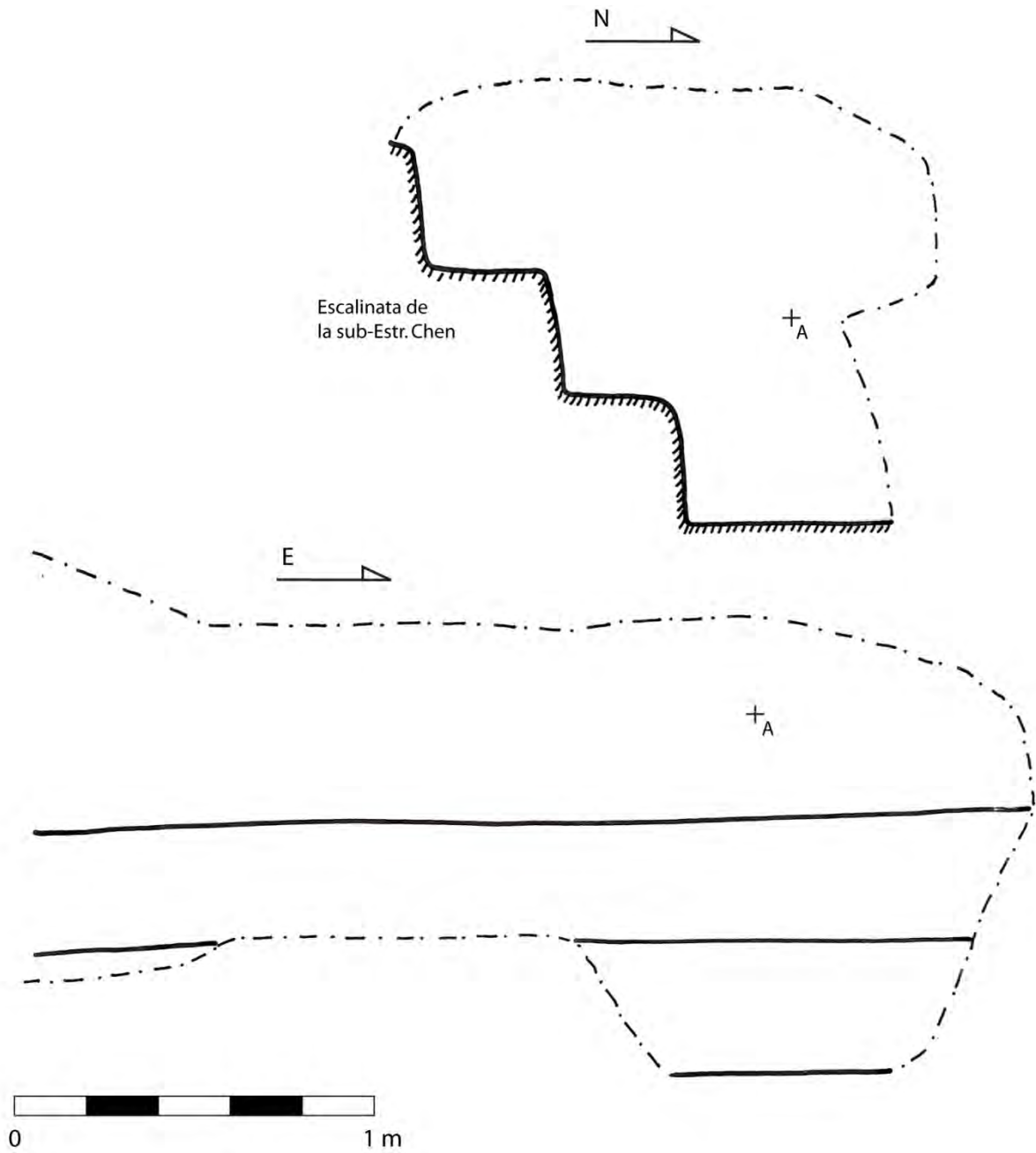
El relleno del L21 fue amarillento con piedras pequeñas y medianas de consistencia suelta; aunque especialmente sobre el piso Kablaju se encontraron bolsas de piedras sueltas sin tierra. Por su apariencia, la tierra amarilla fue mojada antes de ser mezclada con las piedras para

formar el relleno, pero no con la finalidad de crear un relleno compacto y sólido, sino más bien de crear volumen y estabilidad moderada rápidamente.



PRALC - El Achiotal
Estructura 5C-01, sub-Estr. Chen
ACH-1B-T12
Perfiles Norte (arriba) y Sur (abajo).
Escalinata de la sub-Estr. Chen
Dibujo y calco: Mary Jane Acuña
Temporada 2011

Figura 3.14a Perfiles Norte y Sur del Túnel 12, Subestructura Chen (Dibujos por M. Acuña)



PRALC - El Achiotal
 Estructura 5C-01, sub-Estr. Chen
 ACH-1B-T12
 Corte transversal y planta
 Escalinata de la sub-Estr. Chen
 Dibujo y calco: Mary Jane Acuña
 Temporada 2011

Figura 3.14b Escalinata de la Subestructura Chen (Dibujos por M. Acuña)

Detrás del muro y debajo del posible piso, el relleno del L23 fue de coloración café y contenía abundantes piedras pequeñas y medianas. Su consistencia fue más compacta que el L21. Por encima de éste, el L24 contenía un relleno más pálido con piedras de diversos tamaños y de consistencia moderada. No se encontraron artefactos en estos dos lotes.



Figura 3.15 Escalinata de la Subestructura Chen (Foto por M. Acuña)

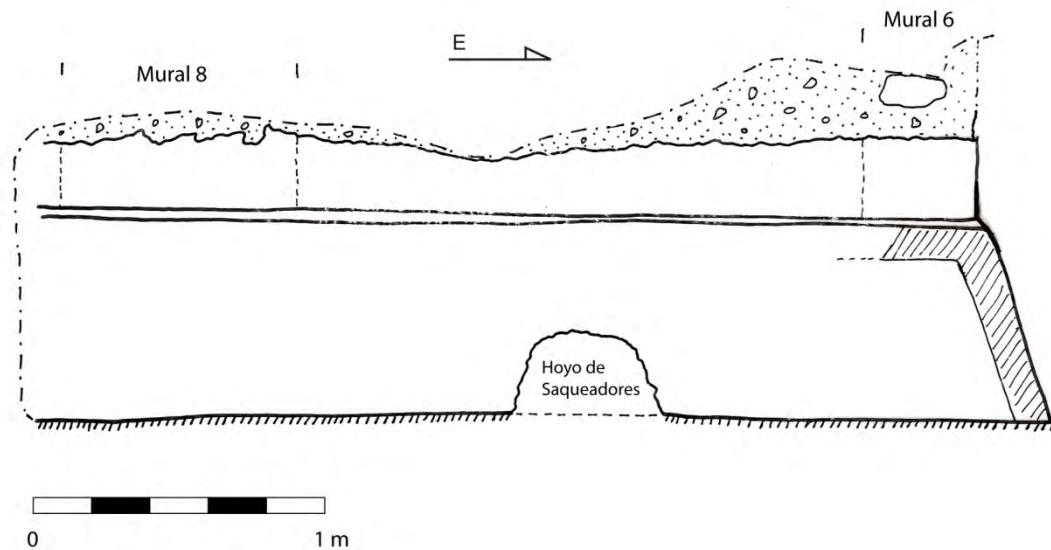
ACH-1B-T6

Este túnel se inició durante la temporada 2010 (Acuña 2011a:67, Figuras 3.4 y 3.23), partiendo desde el Perfil Oeste del T1b hacia el oeste. En 2010, su objetivo fue identificar la esquina sureste de la Subestructura Jonon, la cual se encontró aproximadamente a 1.40 m desde el inicio del túnel (Acuña 2011a:Fig. 3.23). En 2011, el objetivo fue continuar la excavación del T6 hacia el oeste, siguiendo el muro posterior de la Subestructura Jonon, para definir si éste tuvo acceso por el lado posterior (como la anterior etapa constructiva, la Subestructura Sip), o si bien estaba decorada también con un mural. Efectivamente, se realizó el hallazgo del Mural 8, ubicado directamente en el eje central del muro posterior de la Subestructura Jonon (Figura 3.16). Al igual que la mayoría de murales, solamente se conservó el registro inferior; es decir, 0.25 m. Además, directamente al frente del mural, se descubrió un corte circular en el piso Wuqub que sugirió la posibilidad de encontrar un escondite. Sin embargo no se encontró nada.

A partir de la esquina de la Subestructura Jonon se excavó por 3.6 m más hacia el oeste y el túnel midió alrededor de 0.60 m de ancho y 0.86 a 1 m de altura. La excavación del túnel comprendió el Lote 11. El relleno excavado en este lote fue bastante denso y compacto, y consistió de tierra café con algunas bolsas longitudinales de tierra amarillenta o negruzca (Figura 3.17). Por lo tanto, el L11 solamente incorporó el relleno entre los pisos Wuqub y Beleb. El piso Beleb comprende la parte superior del túnel, aunque el relleno por encima de este piso fue de piedras algo sueltas, por lo que algunas se desboronaron y expusieron dicho relleno en el perfil. Sin embargo, no se excavó formalmente y no se encontraron artefactos asociados por lo que no se creó un nuevo lote. La altura entre ambos pisos fue de 0.86 m. Se recuperó un total de 34 tiestos, un fragmento de hueso de fauna y un caracol.

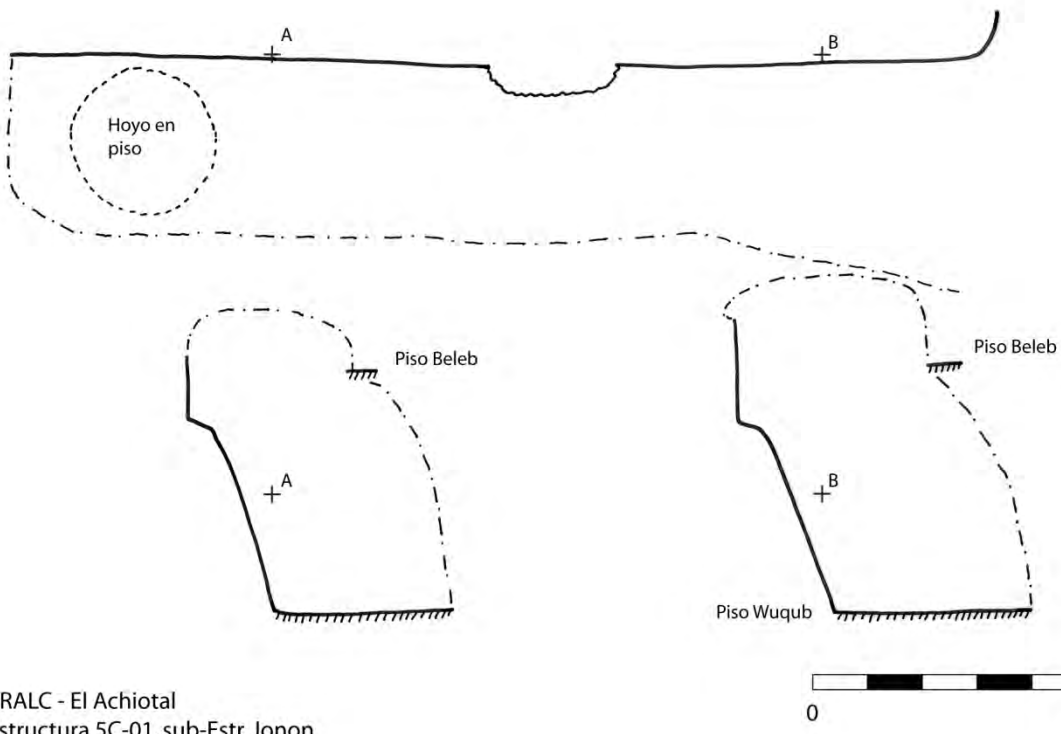
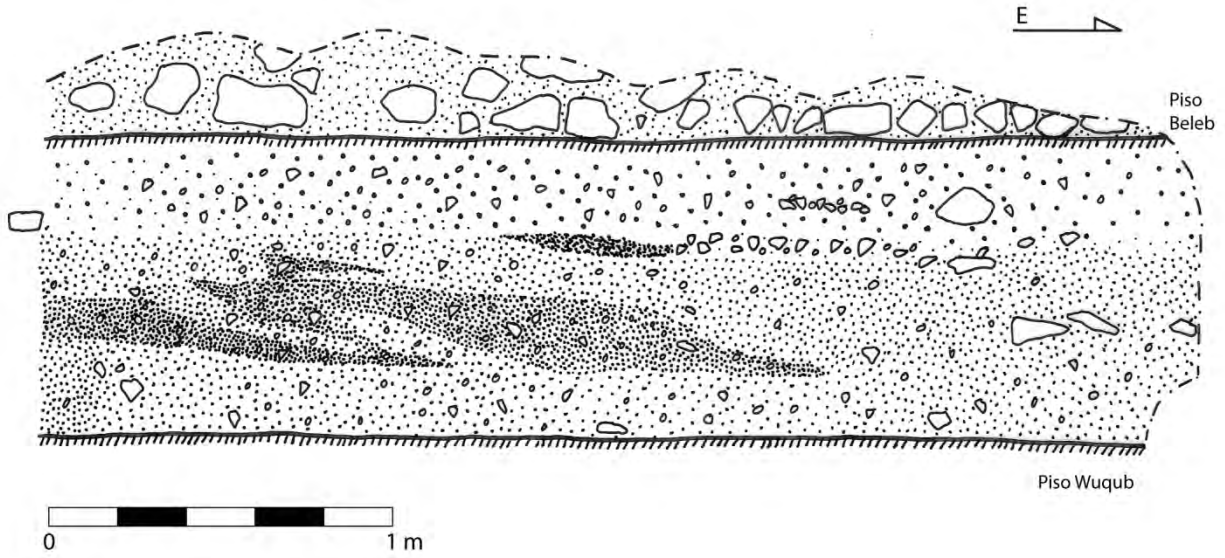
Al igual que en el T5, el piso Wuqub se encontró en buen estado de conservación, con superficie lisa y compacta, y de un grosor aproximado de 0.06 a 0.08 m. A 2.80 m desde la esquina SE inferior del talud de la subestructura hacia el oeste se encontró un corte circular en el piso Wuqub (la medida es hasta la orilla este del agujero) (ver Figura 3.17). El corte midió 0.52 m de diámetro y su orilla se separó del edificio únicamente por 0.04 m. Se descubrió al pie del Mural 8, aunque no exactamente en su eje central, sino un poco hacia el oeste de él. El agujero se excavó como el Lote 12 y llegó hasta el siguiente piso, Waquib, a 0.20 m de profundidad.

Dentro del corte se encontró un relleno bastante suelto de tierra café grisácea que a 0.10 m debajo del piso se mezcló y convirtió en piedras de fuego pequeñas, igual que se aprecia en el perfil del T1 (Acuña y Chiriboga 2010:223, Fig. 9.12). Además se encontraron dos tiestos, algunos fragmentos muy pequeños de carbón y algunas piedras curiosas, pero que no se consideraron como artefactos.



PRALC - El Achiotal
 Estructura 5C-01, sub-Estructura Jonon
 ACH-1B-T6
 Perfil S: muro posterior de Jonon y ubicación de murales
 Mural 8
 Dibujo y calco: Mary Jane Acuña
 Temporada 2011

Figura 3.16 Muro posterior de la Subestructura Jonon y Mural 8 (Dibujos y foto por M. Acuña)



PRALC - El Achiotal
 Estructura 5C-01, sub-Estr. Jonon
 ACH-1B-T6
 Perfil Sur, Planta y Cortes transversales
 Dibujo y calco: Mary Jane Acuña
 Temporada 2011

Figura 3.17 Perfiles y planta de los pisos Beleb y Wuqub, Subestructura Jonon (Dibujos por M. Acuña)

En el Perfil Norte del túnel se descubrió el talud posterior de la Subestructura Jonon y 0.25 a 0.30 m del muro vertical. Siguiendo el patrón en otros túneles, los rasgos arquitectónicos se encontraron en relativamente buen estado de conservación, probablemente debido al tipo de relleno que lo cubrió. Similarmente, el muro había sido cortado en la antigüedad un poco más arriba del nivel en donde lindaba el piso Beleb, como se definió en los túneles T4 y T5 (Acuña 2011a). El talud presentó un marco de pintura roja en toda su orilla, mejor conservada en el área de la esquina, de 0.10 a 0.15 m de grosor. Además, a 1.37 m desde la esquina (piso-talud) hacia el oeste, se encontró un corte en el talud, el cual midió 0.50 m de ancho a lo largo del piso por 0.30 m de altura en el centro. Este corte en el talud había sido identificado en el 2009 desde el T1, ya que fueron los saqueadores quienes hicieron una exploración desde ese túnel hacia el sur, atravesando el talud (ver Figuras 3.16 y 3.17). Desde el T1 solamente se reconoció que habían atravesado el muro y su repello (visibles en el perfil), exponiendo otro tipo de relleno del otro lado. Sin embargo, no se conocía su contexto.

Con la excavación del T6 se completó casi por completo el perímetro de la Subestructura Jonon. Se decidió finalizar su excavación y no continuar hasta llegar a la esquina SO, ya que ésta había sido identificada en el T5.

ACH-1B-1

Unidad de 1 x 0.80 m localizada dentro del T8 (ver Figura 3.4). Específicamente, la unidad se trazó al pie de la escalinata de la Subestructura Jonon sobre su eje central, a 0.15 m del inicio de la contrahuella de la primera grada. El pozo se dividió en tres niveles. El primer nivel consistió en la excavación del piso Junlaju y el relleno debajo de él. El estuco del piso tuvo un grosor de 0.06 m, fue muy compacto y duro y de color blanco amarillento. Justamente debajo del estuco se encontró una capa de pedrín que amarró el relleno con el estuco. Seguidamente se encontró un relleno de tierra café con pedrín y algunas piedras medianas. Su consistencia fue relativamente compacta y se finalizó su excavación a 0.60 m de profundidad desde la superficie del piso. Se encontró un total de 16 tiestos, un fragmento de lítica y uno de concha. La cerámica es fragmentaria y principalmente alisada (sin engobe), pero el conjunto incluye dos tiestos monocromos rojos. En general y después de una revisión muy rápida, se determinó que la cerámica pertenece al Preclásico Tardío, pero no se sabe aún a que etapa.

El Nivel 2 comprendió un relleno de 0.35 m de grosor, formado casi exclusivamente de piedras pequeñas y medianas. En la esquina noroeste, a 0.61 m de profundidad se encontró un fragmento de estuco que parecía corresponder a un piso, pero que obviamente había sido incluido dentro del relleno. Finalmente, el Nivel 3 comprendió un relleno muy compacto de tierra café oscura con algunas piedras medianas. Los niveles 2 y 3 no proporcionaron ningún tipo de artefacto. Sin embargo, basado en la profundidad de los niveles culturales visibles en otros túneles o trincheras de saqueo, se sabe que ambos rellenos son culturales pero que contienen muy poco a ningún artefacto. Se suspendió la excavación de este pozo por razones de tiempo.

ACH-1B-2

Pequeña unidad exploratoria que midió 0.80 x 0.50 m, localizada dentro del Túnel 11 y orientada aproximadamente E-O, de acuerdo al túnel, al pie y frente de la plataforma basal de la Subestructura Jonon (ver Figura 3.13). Se trazó en este lugar específico por el hallazgo del Fogón 3 y su objetivo principal fue explorar por debajo de ese rasgo para verificar la presencia o ausencia de un escondite, o algún otro depósito. Para ello se debió atravesar un nivel grueso, de 0.15 a 0.18 m, de tierra caliza blancuzca y muy compacta, particularmente en el sector suroeste del pozo. Se trata del piso Junlaju, aunque es mucho más grueso en esta parte en comparación con la sección observada en la Unidad ACH-1B-1. Su superficie estuvo dañada, probablemente como resultado de su uso. Su grosor pudo deberse también a que este espacio fue usado continuamente, requiriendo múltiples re-apisonamientos a través del tiempo. Esto se sugiere debido a que: a) el fogón fue grueso y amplio, y parecía ser una actividad recurrente en ese espacio; b) en el T10 se observó un corte en la superficie lisa del piso, dejando un espacio de aproximadamente 1 m del muro de la plataforma basal de la Subestructura Jonon, indicando que directamente al frente y pie de la plataforma ocurrió algo que dañó la superficie del piso continuamente; y/o, c) hubo algo que decoró la fachada (i.e. mascarón) que se extendía hasta el corte del piso, y el grosor se debe a que el piso fue modificado para soportar el peso de la plataforma y su decoración. Esta última postulación está tentativamente apoyada en el hecho que se ha descubierto que partes de la Subestructura Jonon fueron destruidas intencionalmente, lo cual no permite descartar la idea de que lo mismo ocurrió en este espacio y que el Fogón 3 resultó como evento asociado.

Este pozo contó solamente con un nivel que incluyó la excavación del piso y el relleno por debajo (ver Figuras 3.12 y 3.13). El relleno estuvo compuesto por tierra café oscura a muy oscura, con piedras pequeñas a medianas. Se encontró un total de seis tiestos fechados preliminarmente al Preclásico Tardío. Inmediatamente debajo del piso, en la esquina suroeste del pozo se encontró un hueco. Conforme se excavó el relleno fue evidente que se trataba de un enorme túnel de saqueo que corría de noroeste hacia el sureste, iniciando en la Trinchera de saqueo 1 (S1) y finalizando en el corazón del montículo. Se desconocía la existencia de dicho túnel ya que evidentemente su acceso había colapsado, sellándolo por completo. Al parecer, había permanecido sellado durante mucho tiempo y se especula que la entrada colapsó poco tiempo después de su excavación. Esto se sugiere basado en el hecho que el túnel se encontró muy limpio y aún se conservaba la ceniza y las mechas de los candiles usados por los saqueadores.

Debido a que el hallazgo de este túnel de saqueo, denominado Túnel 13 (T13), fue al final de la temporada, no se realizó ninguna documentación del mismo. Únicamente se puede decir que mide entre 1.50 y 2 m de altura, por 1.25 a 1.75 m de ancho y varios metros de largo. La excavación de la Unidad ACH-1B-2 finalizó aproximadamente a 0.90 m de profundidad, cuando el acceso al túnel fue lo suficientemente grande para poder ingresar a explorarlo. A pesar del hallazgo del túnel, no se encontró evidencia de ningún tipo de depósito debajo del fogón, al menos no en el espacio excavado. El fogón parece extenderse bajo el Perfil Norte del túnel, aunque según la evidencia del T10, no será por mucho.

Suboperación ACH-1F: Parte posterior de la Estructura 5C-01

La Suboperación F comprende el espacio posterior a la pirámide 5C-01 (Figura 3.1). En 2011 se realizaron cuatro pozos en la base del montículo con el objetivo general de explorar si había basureros u otro tipo de depósitos que proporcionaran diversos artefactos. Específicamente, se buscaba material cultural que incrementara la muestra de artefactos asociados con este montículo, los cuales proporcionarán claves sobre las actividades asociadas. También se buscó definir rasgos arquitectónicos en el lado posterior y sur de la pirámide. El orden de la descripción de las unidades está de acuerdo a su ubicación y no en base a la numeración.

ACH-1F-1

La Unidad ACH-1F-1 fue un pozo de 1.50 x 1 m, orientado N-S y ubicado en la parte posterior y sur de la pirámide 5C-01 (Figura 3.1). El terreno presentó un leve declive, que como parte del montículo, descendía casi hasta la orilla sur de la escarpa sobre la cual está asentado el sitio. Se esperaba encontrar rasgos constructivos, como un descanso o muros asociados a la pirámide, o basureros. Sin embargo, la evidencia encontrada en este pozo no fue clara, especialmente porque no hubo rasgos claramente arquitectónicos. La unidad se excavó en tres niveles (Figura 3.18). El Nivel 1 consistió en la capa de humus, que tuvo un grosor máximo de 0.16 m. Se recuperó solamente un tiesto de este nivel, más pequeño que una moneda de 0.25 centavos y bastante erosionado. El segundo nivel estuvo compuesto por escombros, principalmente tierra de color café mezclado con piedras pequeñas y algunas medianas. Se encontraron 60 tiestos en este nivel que pertenecen a los períodos Preclásico Tardío-Terminal y Clásico Temprano. Entre los grupos cerámicos reconocidos durante una revisión preliminar hay Sierra Rojo y Boxcay Café, mezclados con naranjas policromos muy erosionados y Águila Naranja. Este nivel finalizó a 1.04 m de profundidad desde la superficie en la esquina SO y 0.56 m en la esquina NO (la discrepancia se debe a la pendiente en el terreno). El Nivel 3 consistió en un relleno muy compacto de tierra amarillenta y piedras pequeñas y medianas. Se excavó hasta una profundidad máxima de 1.34 m en la esquina SO y 1.37 m en la esquina NO, en donde el nivel se convirtió aún más compacto y con piedras de mayor tamaño. Se considera un conglomerado de caliza, pero no se sabe con certeza si es antropogénico o natural (Figura 3.19). Aunque se encontraron dos tiestos en este nivel, uno de los cuales se extrajo de la parte más profunda, lo cual indicó la posibilidad de que no fuera parte de la roca. En el perfil se observa claramente el declive de este nivel, casi paralelo al de la superficie.

ACH-1F-3

Esta unidad se trazó adyacente a ACH-1F-1, en su lado norte (Figura 3.1). Fue una extensión de 1 x 1 m con el objetivo de verificar si el relleno del Nivel 3 de la primera unidad correspondía a algún rasgo arquitectónico. Se excavaron dos niveles: humus y escombros, hasta llegar a la superficie del tercer nivel, dando por finalizada la unidad a 0.56 m en la esquina SO y 0.99 en la esquina NO (ver Figura 3.19). No fue posible reconocer con esta extensión que fue lo que formó este relleno amarillento y compacto.

Sin embargo, la presencia de los tuestos en el relleno del Nivel 3 de la anterior unidad indica que se debe investigar con mayor detalle, probablemente abriendo más extensivamente el área. Los artefactos recuperados en esta unidad proceden todos del Nivel 2 e incluyen 28 tuestos (+ 25 desechados), un fragmento de obsidiana y uno de lítica. La cerámica parece estar mezclada ya que identifican grupos del Preclásico Tardío-Terminal y del Clásico Temprano.



Figura 3.18 Foto de la excavación de las Unidades ACH-1F-1 y ACH-1F-3 (Foto por M. Acuña)

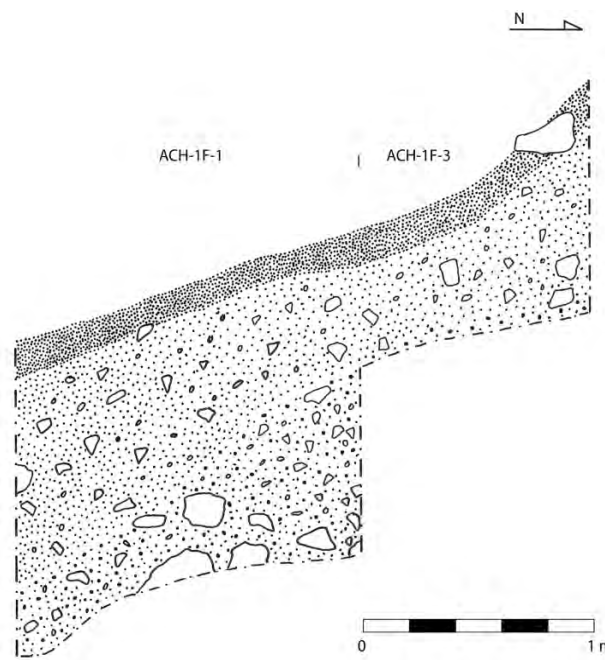


Figura 3.19 Perfil Oeste de las Unidades ACH-1F-1 y ACH-1F-3 (Dibujo por M. Acuña)

ACH-1F-2

Se trazó al oeste de la Unidad ACH-1F-1, también de 1.50 x 1 m y orientada N-S. A pesar de su cercanía a la otra unidad, la evidencia fue significativamente diferente ya que en general el terreno fue más plano. En este caso se excavaron cuatro niveles (Figura 3.21). El Nivel 1 consistió en la capa de humus de la cual se extrajeron 35 tiestos, la mayoría erosionados pero cuya revisión preliminar indica que corresponden al Preclásico Terminal y Clásico Temprano inicial. El grosor máximo de este nivel fue 0.15 m.

El segundo nivel correspondió a un relleno de color café claro con abundantes piedras pequeñas a medianas. Desde la superficie, este nivel finalizó a una profundidad de 0.70 m en la esquina NO y 0.52 en la esquina SO, con lo que parecía ser un empedrado irregular y mal definido, si se trata de un rasgo arquitectónico. En el lado norte de la unidad se encontraron dos alineaciones de piedras, paralelas y con eje E-O. Las piedras fueron muy irregulares y queda sin definir con certeza su función arquitectónica. Sin embargo, se considera probable que lo fueron por su disposición en el contexto. La piedra que se encontró en la esquina NE de este nivel y que formó parte de una de las alineaciones, es un fragmento de una piedra de moler (Figura 3.20). Se excavaron 35 tiestos y aunque erosionados es posible reconocer que corresponden principalmente al Preclásico Terminal y posiblemente a la fase muy inicial del Clásico Temprano. Además, se encontró un fragmento de obsidiana.

Debajo del posible empedrado se excavó el Nivel 3. Este consistió en un relleno de tierra café con piedras pequeñas y medianas, en menor cantidad que el Nivel 2. En el lado norte de la unidad se alcanzó una capa de lo que parecía ser un relleno extremadamente compacto – como concreto – que posiblemente era un conglomerado de color blanco-gris. Además, su superficie presentó una declinación hacia el sur. El Nivel 3 finalizó a 1.12 m en la esquina NO debido a que se encontró una gran densidad de cerámica (276), tres fragmentos de obsidiana, uno de lítica y uno de concha. Debido al cambio drástico en densidad de artefactos, se hizo un cambio arbitrario en el nivel, aunque culturalmente eran contemporáneos. Del Nivel 4 se excavaron 0.15 a 0.20 m, encontrándose un total de 357 tiestos. La unidad se finalizó al alcanzar la profundidad máxima de 1.30 cerca del Perfil Sur. Debido al conglomerado de piedra, el fondo de dicha unidad fue muy irregular.

El hallazgo de tal cantidad de material provocó la expansión de la unidad 1 m hacia el sur. Para mantener mejor control, se denominó con su propio número de pozo (ACH-1F-4).



Figura 3.20 Alineación encontrada en ACH-1F-1-2, con fragmento de metate (Foto por M. Acuña)

ACH-1F-4

Unidad de 1 x 1 m trazada al sur de la Unidad ACH-1F-2, como extensión de ésta (Figura 3.20). Los niveles fueron iguales a los de la unidad vecina. El Nivel 1 comprendió la remoción del humus, de donde se extrajo un total de 33 tiestos, un fragmento de obsidiana y tres de pedernal. El Nivel 2, de color café claro con piedras pequeñas y medianas finalizó a 0.36 m en la esquina SO. A diferencia de la unidad anterior, el empedrado que caracterizó el final del Nivel 2 ya no apareció en esta unidad, pero si hubo un cambio en el relleno. Se encontró un total de 48 tiestos, preliminarmente fechados al Preclásico Terminal y del Clásico Temprano. El Nivel 3 se excavó hasta alcanzar la misma profundidad en donde se hizo el cambio arbitrario al Nivel 4 en la Unidad ACH-1F-2. En el extremo sur de la unidad se encontró una gran piedra que salía del Perfil Oeste y que se dejó en su lugar. De este nivel se recuperaron 196 tiestos correspondientes al Preclásico Tardío-Terminal y Clásico Temprano, y un fragmento de pedernal.

El cuarto nivel produjo 436 tiestos, un fragmento de obsidiana y una vasija completa (aunque fragmentada – cuenco Naranja Policromo del Clásico Temprano). Además, se encontraron varios huesos largos, probablemente humanos, en asociación con la vasija. Los huesos se dejaron in situ hasta poder excavar adecuadamente el contexto. En el Perfil Este, hacia el sur de la unidad y muy cerca del cuenco se encontró un plato. La vasija se encontró de lado y el plato estaba invertido. Fue necesario dejar el plato *in situ* debido a que la mayor parte de él se encontraba aún en el perfil. Lo compacto del relleno y el hecho que se trataba del último día de la temporada dictó la decisión de dejar el contexto para ser excavado la próxima temporada.

La gran cantidad de material cerámico sugiere que se trata de algún depósito intencional, pero probablemente no de un basureo o entierro. El basurero no se considera probable debido a lo horizontal que parece el depósito. El entierro es posible, aunque por ahora se descarta por el hecho de tratarse solamente de huesos largos y por la concentración y densidad de tiestos asociados. Antes de hacer cualquier sugerencia sobre el tipo de depósito, se espera poder exponerlo más en la próxima temporada.

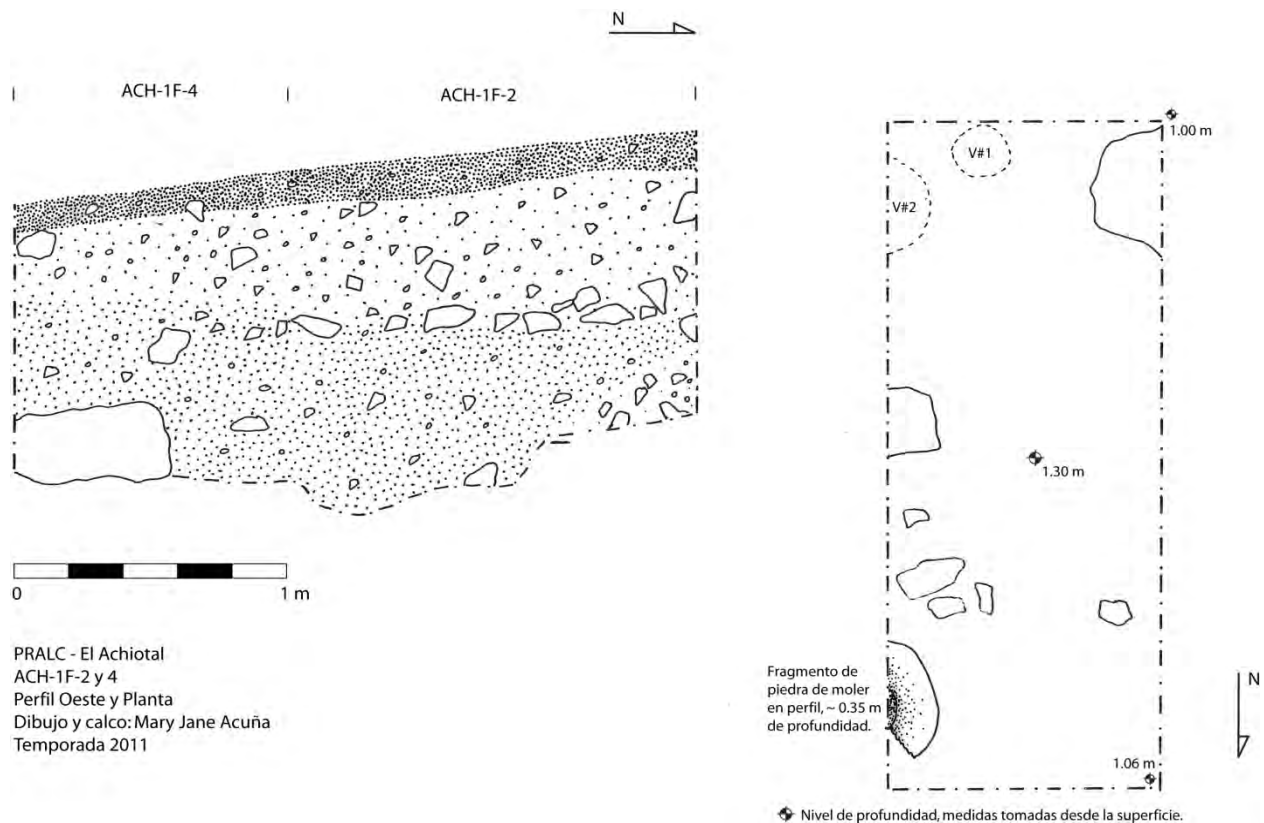


Figura 3.21 Perfil Oeste y planta de las Unidades ACH-1F-2 y ACH-1F-4 (Dibujos por M. Acuña)

Suboperación ACH-1E: Lado Oeste de la Estructura 5C-01

Esta suboperación comprende el lado este del montículo (Figura 3.22). Esta temporada se excavaron siete pozos contiguos con el objetivo de ubicar y definir la esquina noroeste del basamento. En un futuro se pretende ubicar más esquinas, pero por ahora la información recuperada de estos pozos nos permite establecer la orientación del basamento y desde acá se podrá proyectar para encontrar otras partes del mismo y las esquinas noreste y suroeste.

Debido a que se encontró el Muro Basal Oeste de la Estructura 5C-01 en todas las unidades, se harán descripciones sobre él muy breves en cada unidad. Al final se describirá por completo el muro.

ACH-1E-1

Unidad de 1 x 1.5 m orientada longitudinalmente de este a oeste, es decir, perpendicular a la orilla del montículo. Su objetivo fue excavar hasta el nivel del piso más tardío y luego avanzar hacia el montículo con otra unidad hasta hallar el muro basal. Sin embargo, dicho muro se encontró justamente en el Perfil Este de la unidad (Figuras 3.23, 3.24). Se excavaron solamente dos niveles en esta unidad.

El Nivel 1 comprendió la remoción del humus que consistió de tierra café muy oscura conteniendo abundante materia orgánica. El grosor máximo del humus fue 0.23 m en la esquina SE. Solamente se encontraron dos tiestos en este nivel, ambos muy erosionados. El Nivel 2 consistió en el escombros. Se alcanzó el piso más tardío a 0.60 m de profundidad en la esquina SO de la unidad, y a 1.10 m de profundidad hasta el punto de unión entre el piso y el muro. El muro se encontró en todo el Perfil Este del Nivel 2 y presentó una leve inclinación, la cual no se asegura ahora si fue intencional. Se descubrió 0.90 m de altura de muro, compuesto por una hilera basal bien definida y por encima piedras de diversos tamaños arregladas para formar el muro. Se encontraron 203 tiestos en el Nivel 2 y 3 fragmentos de obsidiana.

La cerámica parece estar mezclada con grupos pertenecientes al Preclásico Terminal y Clásico Temprano, éste último siendo el mayoritario luego de un análisis preliminar.

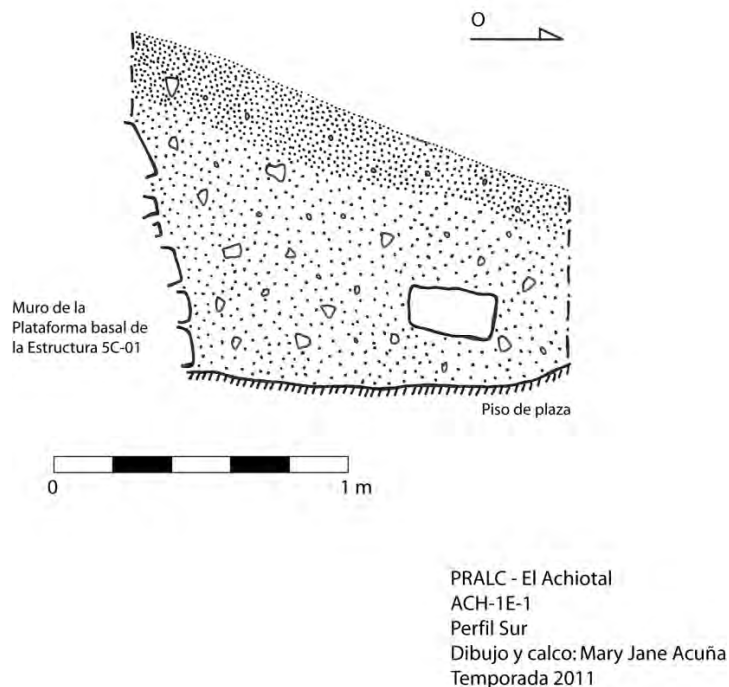


Figura 3.23 Perfil Sur de la Unidad ACH-1E-1 (Dibujos por M. Acuña)

ACH-1E-2

Esta unidad midió 1 x 1.50 m y su orientación longitudinal fue aproximadamente nortesur, trazada de manera contigua al norte de la Unidad ACH-1E-1. Se excavó con el objetivo de continuar descubriendo el muro identificado en la unidad anterior, por lo que su orientación se decidió en base al rasgo arquitectónico. El Nivel 1 consistió en la capa de humus de similar grosor que en la unidad al sur pero no contuvo ningún artefacto.

El Nivel 2 fue mucho más profundo en esta unidad debido a que se excavó más arriba en el montículo y comprendió la excavación del escombro. La tierra fue de coloración café con piedras pequeñas a medianas. La profundidad máxima fue de 1.20 m en la esquina NE. Se profundizó hasta el nivel del piso más tardío, ubicado en la unidad previa, observándose una leve pendiente en el piso, ascendiendo hacia el norte. El muro se encontró en similar estado en la sección de la unidad anterior, pero la orientación no fue la de la unidad, la cual tuvo una desviación más hacia el este que la del muro (Figura 3.24). Aún así, fue posible la exposición de toda la cara del muro (Figura 3.25). En el nivel se encontraron 102 tiestos, fechados preliminarmente al Preclásico Terminal y Clásico Temprano y 2 fragmentos de obsidiana.

ACH-1E-3

Trazada al norte de la Unidad ACH-1E-2, de manera contigua, con orientación longitudinal 1.5 x 1 m hacia el norte. Tuvo una desviación hacia el oeste en relación a la orientación de la Unidad ACH-1E-2 (Figura 3.22). Su objetivo fue el de continuar descubriendo el muro y posiblemente encontrar la esquina NO del cuerpo basal de la Estructura 5C-01.

El Nivel 1 consistió en la excavación del humus, de aproximadamente 0.20 m de grosor y sin artefactos. El segundo nivel fue la excavación del escombro y el descubrimiento del muro que continuaba hacia el norte. Las características del escombro fueron las mismas que en la unidad anterior. El muro se encontró asentado sobre el piso más tardío y su altura fue de 0.60 a 0.70 m. En este nivel se encontraron 77 tiestos, cuatro fragmentos de obsidiana y 2 de pedernal. Uno de los fragmentos de pedernal corresponde a parte de un excéntrico cuya forma completa se desconoce. La cerámica se fecha preliminarmente al Preclásico Terminal y Clásico Temprano.



Figura 3.24 Muro del basamento de la Estructura 5C-01, Unidades ACH-1E-1 y ACH-1E-2 (Foto por M. Acuña)

ACH-1E-4

Unidad de 1.5 x 1 m trazada de manera adyacente a la Unidad ACH-1E-4, del lado norte, por lo que su eje longitudinal tuvo una orientación general norte-sur. Esta unidad descubrió otra sección más del muro basal de la Estructura 5C-01. El Nivel 1 consistió en la excavación del humus, de tierra café muy oscura y con abundante materia orgánica. No se encontraron artefactos en el Nivel 2, el cual comprendió la excavación del escombros hasta el nivel del piso más tardío y la exposición de otro segmento más del muro. Fue en este nivel que comenzó a ser evidente que la esquina NO del basamento de la Estructura 5C-01 era curva, ya que el muro comenzó a girar con dirección este. Además, fue en esta unidad (junto con ACH-1E-5) que el muro está más destruido, conservándose únicamente dos hileras de piedras sobre el piso. Se recuperaron 78 tiestos y cuatro fragmentos de obsidiana. La cerámica parece pertenecer a los períodos Preclásico Terminal y Clásico Temprano.

ACH-1E-5

Debido a que el muro identificado en las unidades anteriormente descritas presentó una curvatura hacia el este, fue necesario reducir el tamaño de las unidades de excavación que lo seguirían. Esta unidad midió 1 x 1 m y se trazó adyacente a la Unidad ACH-1E-4 en su lado norte. La capa de humus, Nivel 1, tuvo un grosor de alrededor de 0.20 m y no contenía ningún artefacto. El segundo nivel fue la excavación del escombros de tierra café. Se encontraron 30 tiestos y 1 fragmento de obsidiana. Los tiestos corresponden al Preclásico Terminal y Clásico Temprano. Del muro solamente se encontraron dos hileras basales de piedras, pero fue clara la continuidad hacia ambos lados, norte y sur. Además, el piso presentó un hundimiento leve en esta unidad y el estuco no se encontró en muy buen estado de conservación.

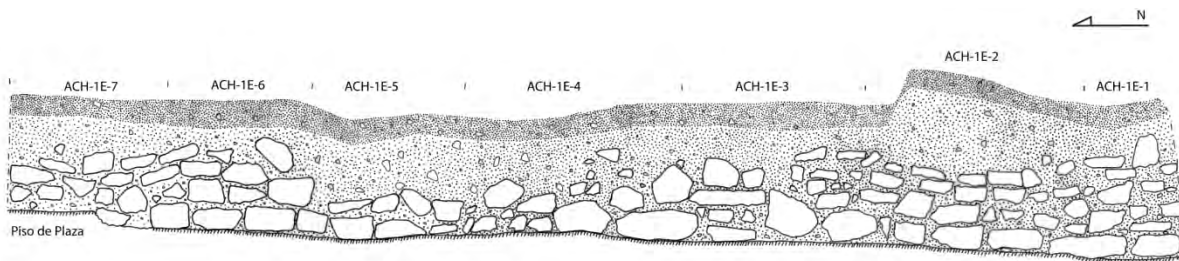
ACH-1E-6

También fue una unidad de 1 x 1 m, adyacente al norte de la Unidad ACH-1E-5. Su objetivo fue continuar el muro, que ya se definió tuvo una esquina curva. El Nivel 1 comprendió la capa de humus, de aproximadamente 0.20 m de grosor y estéril; es decir, no contenía artefactos. El segundo nivel consistió en la excavación del escombros, compuesto por tierra café y piedras pequeñas y medianas. El nivel finalizó al encontrar el piso, el cual estuvo mejor conservado acá que en la unidad anterior. Se recuperaron 77 tiestos, fechados preliminarmente

al Preclásico Terminal y Clásico Temprano. Se encontró 0.70 m (vertical) de muro, con piedras más uniformes que en otras unidades, con tres hileras visibles.

ACH-1E-7

Corresponde a la última unidad de esta suboperación en 2011 y de la serie de unidades que expusieron la esquina NO del Basamento de la Estructura 5C-01. Midió 1 x 1 m y se trazó al norte y adyacente de la Unidad ACH-1E-6. El humus se excavó en el Nivel 1, que midió 0.15 m a 0.20 m de grosor y sin artefactos. El Nivel 2 consistió en la capa de escombros entre el humus y el piso más tardío. La tierra fue de color café y tenía piedras pequeñas y medianas, conteniendo 46 tiestos fechados al Preclásico Tardío y Clásico Temprano. El muro continuó a lo largo de la unidad pero la altura del muro disminuyó. La razón es porque el piso se eleva 0.12 m a una superficie más plana y mejor conservada de estuco, pero también porque la parte superior del muro no parece estar tan bien conservada como otras secciones.



PRALC - El Achiotal
Estructura 5C-01, Sub-Operación E
ACH-1E-1 a 7
Perfiles Este y Sureste
Muro oeste de plataforma basal
Dibujo, calco y foto: Mary Jane Acuña
Temporada 2011



Figura 3.25 Muro del basamento de la Estructura 5C-01, Unidades ACH-1E-1 a ACH-1E-7 (Dibujo y foto por M. Acuña)

Descripción del Muro

En las siete unidades excavadas en las Suboperación ACH-1E se descubrió el Muro Oeste del cuerpo basal de la Estructura 5C-01 y su esquina noroeste. El muro fue construido con piedras irregulares desde muy pequeñas a relativamente grandes en tamaño. Esto causó que su fachada no fuera uniforme en cuanto a la posición de las piedras y no se reconocen hileras bien organizadas (Figura 3.25).

Las piedras utilizadas no fueron cortadas de caliza, sino fueron piedras que presentaban alguna de sus caras relativamente plana. Este muro probablemente fue cubierto de estuco, aunque en la sección expuesta no se conservaron rasgos de ello. El muro está inclinado al frente en las unidades 2 y 3, probablemente a causa de la presión del montículo. También presenta una curvatura abierta como esquina NO del gran basamento, lo cual es un rasgo curioso. Sin embargo, no se tiene la altura completa del muro ya que la parte superior parece haberse caído o se deterioró en el pasado.

La altura estimada de aproximadamente un metro y la esquina curva recuerdan la forma de las plataformas basales fechadas al Preclásico Tardío en otros sitios que sostenían grupos de estructuras. Estos eran grupos triádicos o bien patios cerrados con estructuras ceremoniales o rituales, como es el caso del Grupo H de Uaxactún y la Acrópolis Norte de Tikal (primeras etapas).

Suboperación ACH-1C: Frente de la Estructura 5C-01

En esta suboperación solo se realizó un pozo en 2011, el cual se trazó en la Trinchera de saqueo 1 (S1), localizada en el lado oeste de la fachada del montículo. Se hará la descripción en la sección correspondiente a la limpieza del saqueo más adelante.

Limpieza de Trincheras de Saqueo

En 2011 se exploraron dos trincheras de saqueo: S1 y S3, ambas localizadas al frente del montículo y al oeste y este, respectivamente. La trinchera del centro, denominada S2, fue registrada en 2010 (Acuña 2011b).

ACH-S1

Gran trinchera de saqueo que corre desde el pie del montículo hacia la terraza en el extremo oeste de la fachada (Figura 3.1). En un principio se pensó que esta trinchera no había profundizado la estructura tanto como las otras dos del frente. Por lo tanto, además de hacer un registro de los perfiles y asesorar el daño causado por los saqueadores, el objetivo de su limpieza fue verificar la presencia o ausencia de un mascarón. Aprovechando que no profundizaba tanto, se pensó que permitiría explorar y encontrar la contraparte de lo que se observaba en la Trinchera de saqueo 3.

Allí, los saqueadores rompieron la fachada, destruyendo lo que parecía ser decoración en estuco modelado, probablemente un mascarón. Por lo tanto, se consideró posible encontrar lo mismo del lado oeste, pero intacto.

Durante la limpieza fue obvio que la trinchera había penetrado mucho más de lo que se pensaba originalmente. Al finalizar la limpieza de los perfiles se continuó con el raspado de la superficie para eliminar la tierra de saqueo y llegar al contexto primario. Debido a que parecía profundizar más de lo esperado, se decidió trazar una unidad y restringir el espacio a limpiar, tanto por razones de tiempo como de estabilidad y acceso. Así, al extremo sur de la trinchera, se trazó una unidad de 1.50 x 1.50 m. Estas medidas variaron conforme avanzaba la excavación ya que el relleno estaba bastante suelto y los perfiles se derrumbaron en partes. La unidad se denominó ACH-1C-6. Se excavó en un solo nivel ya que el relleno correspondía a tierra de saqueo y se recuperaron 31 tiestos bastante erosionados, pero que preliminarmente se fechan al Preclásico Terminal y Clásico Temprano (Figura 3.26).

Se documentó detalladamente el Perfil Este de la trinchera. Con excepción de la sección más al sur, en dónde se profundizó con el pozo, el perfil no presentó cambios obvios. Además del nivel de humus, conformado por tierra café oscura y piedras de diversos tamaños pero no abundantes, el resto fue lo que parecía ser escombros de tierra café clara con piedras pequeñas a medianas. No se reconoció ningún rasgo arquitectónico obvio en esta parte. En el extremo sur del perfil se apreció un piso estucado, denominado Oxluju, de 0.10 m de grosor que corresponde a la superficie de la terraza y basamento del templo. El piso desaparece sin asociación a algún rasgo arquitectónico, cerca de la superficie inclinada del montículo.

A 2.65 m por debajo de este piso se encontró otro piso, denominado Hoblaju, de aproximadamente 0.10 a 0.15 m de grosor. El relleno entre estos dos pisos consistió de una tierra amarilla que, al parecer, fue mezclada con piedras medianas en un estado mojado. Inestable y con varios huecos dejados por la mezcla amarillenta, este relleno tuvo la apariencia de haber sido hecho rápidamente. Al excavar este relleno, o bien, el relleno de los saqueadores, fue descubierto el Mascarón 2 (Figura 3.27). Lo primero en descubrir fue la esquina de su nariz, por lo que fue inmediatamente notorio que la dimensión de este mascarón se asemejaba a aquellos del Preclásico Tardío de otros sitios (Brown y Garber 2005; Estrada-Belli 2006; Freidel 2005; Hansen 1992), y contrastando completamente con el Mascarón 1 descubierto sobre la escalinata de la Subestructura Jonon.

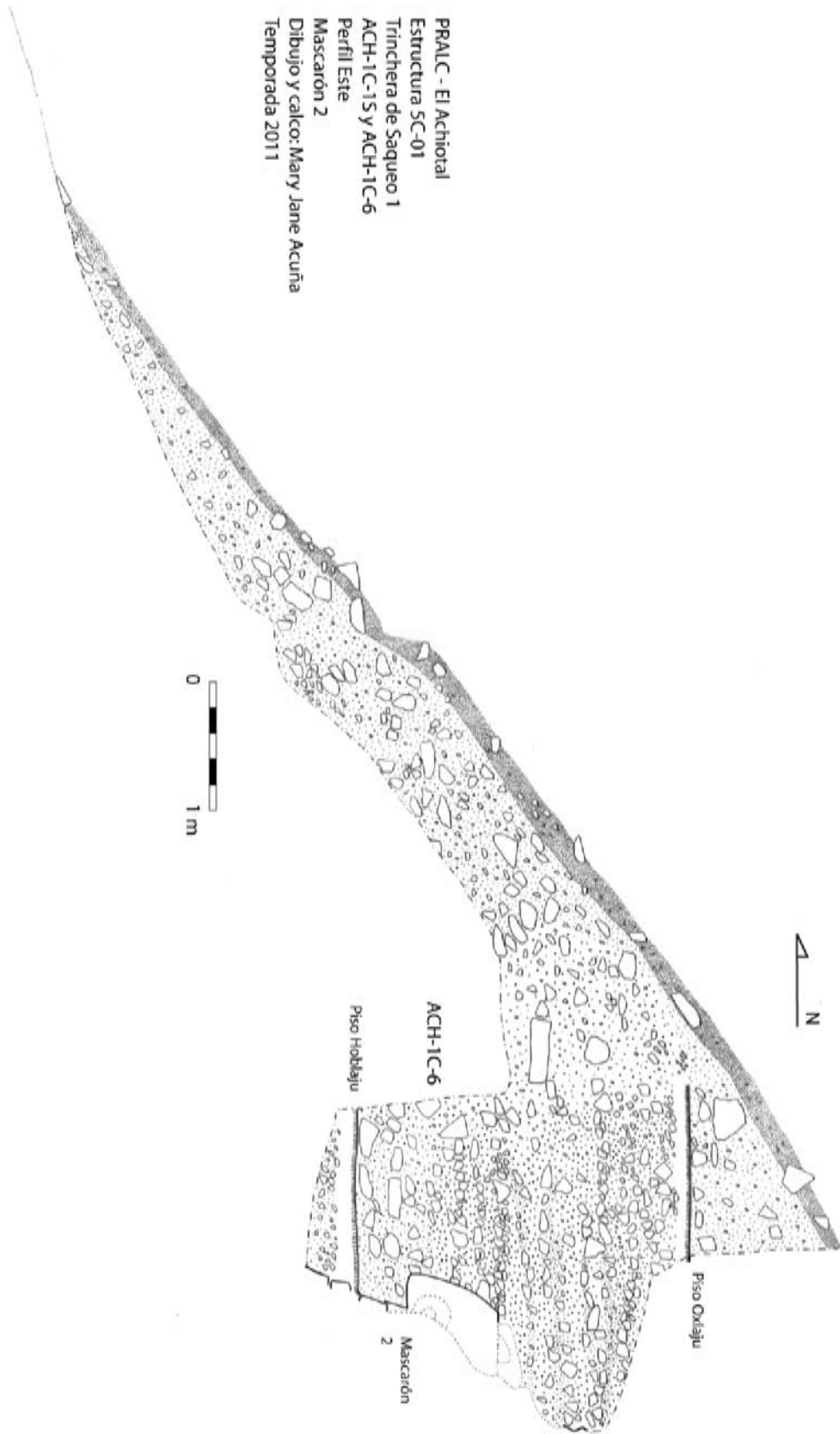


Figura 3.26 Perfil Sur de la Trincheras de Saqueo S1 y la Unidad ACH-1C-6 (Dibujo por M. Acuña)



PRALC - El Achiotal
Estructura 5C-01, sub-Estructura Chen
ACH-1C-15 y ACH-1C-6
Mascarón 2
Arriba: Mascarón 2, vista general
Abajo (izq.): detalle de orejera y medallón, y destrucción
de saqueadores.
Abajo (der.): detalle de pintura en nariz.

Figura 3.27 Mascarón 2, Estructura 5C-01, E Achiotal (Fotos por M. Acuña)

Este hallazgo y la inestabilidad del relleno provocaron que la unidad de excavación perdiera su forma original. Fue obvio también que el tamaño de la unidad no iba a revelar el mascarón completo. Se decidió ampliar la excavación lo más posible sin perder la estabilidad del relleno, aprovechando la presencia del piso estucado Oxlaju. Así no fue necesario excavar desde la superficie y destruir la etapa constructiva del piso Oxlaju. Con la ampliación hacia el sur se descubrió desde la frente del mascarón hasta más abajo del piso Hoblaju, en el eje vertical. Horizontalmente, se descubrió la mitad derecha (del observador) de la cara, incluyendo la nariz completa, el ojo y la orejera. Además de la orejera, la decoración en estuco modelado continuó hacia el oeste, sugiriendo que hay todo un programa iconográfico asociado con el mascarón. Lamentablemente, el relleno inestable, el tiempo y los recursos de esta temporada no permitieron la completa exploración del mascarón. Su estado de conservación también tuvo que ver en la decisión de dejar cubierto el resto, ya que se consideró más prudente excavarlo con la presencia de alguien especializado en conservación que estabilice el estuco y los pigmentos.

Descripción del Mascarón 2

Este mascarón está localizado sobre la Fachada Norte de la Subestructura Chen, del lado oeste de la escalinata. Por ahora, se sabe que el mascarón está ubicado sobre el cuerpo superior del basamento de Chen; sin embargo, no se tiene conocimiento exacto sobre los rasgos arquitectónicos de la subestructura y de su forma. El mascarón comparte elementos estilísticos con otros mascarones contemporáneos de Petén, tanto en su tamaño como su contenido iconográfico. Aunque no se descubrió por completo, se puede presentar aquí una descripción preliminar, ya que el análisis iconográfico más detallado está todavía en proceso.

El Mascarón 2 del Achiotal probablemente representa la deidad conocida como “Deidad del Pájaro Principal” (PBD, por sus siglas en inglés). Esta identificación preliminar se hace basado en algunas características, principalmente la nariz ganchuda. Además de esto, el mascarón tiene ojos rectangulares con “L” de costado y diademas en la frente, siendo la del centro compuesta por el elemento llamado voluta y corchete (*J-scroll and bracket* en inglés), que es comúnmente asociado con aspectos de realeza (también aparece en el Mural 1). La boca es igual a la del Mascarón 1 de la Subestructura Jonon y sus grandes orejeras contienen medallones y polimorfos en perfil. Las orejeras y los polimorfos se asemejan estilísticamente a los de los mascarones de la Estructura 5C-2 de Cerros (Freidel 2005).

Los saqueadores solamente expusieron la mitad oeste de la cara del mascarón y la orejera de ese mismo lado, así como parte del medallón localizado arriba de la orejera y solamente una pequeña parte de un polimorfo en perfil que continúa hacia el oeste de la orejera. No se distinguió la iconografía del medallón ya que el estuco fue dañado por el relleno y las raíces. La orejera también fue parcialmente dañada por los saqueadores cuando penetraron el montículo con un túnel por debajo de mascarón, rompiendo parte del mismo.

La nariz del mascarón tiene evidencia de pintura roja, sugiriendo que éste estuvo pintado en un estilo similar al de los murales, es decir, rojo oscuro sobre la superficie crema. No se puede reconocer en detalle lo que la pintura representó, pero los rastros sugieren que al menos la nariz y las mejillas estuvieron pintadas.

La Deidad del Pájaro Principal tiene aspecto mitológico y está asociado con el paso del tiempo y con los mitos de creación, ya que representa la cualidad de la comunicación cósmica de los gobernantes Mayas (Guernsey 2006). Según Taube (en Houston y Stuart 1989: n 7), el PBD es el “*way*” de Itzamnaaj, la deidad creadora en la mitología Maya. Por lo tanto, durante el Preclásico, la representación de esta deidad reforzaba la asociación de los gobernantes con características divinas y habilidades sobrenaturales para gobernar. Al mismo tiempo, simbolizaba la gobernabilidad misma y la presencia de una ideología política Maya.

ACH-S3

La Trinchera de saqueo 3, localizada del lado este de la fachada de la Estructura 5C-01, solamente tuvo un pequeño registro exploratorio en el Perfil Oeste, siguiendo los rasgos arquitectónicos de la Subestructura Chen. Desde 2010, cuando se realizó la exploración completa y documentación parcial de la trinchera, fue notorio que los saqueadores habían destruido alguna decoración de estuco modelado. Sin embargo en ese momento no se distinguía si se trataba de un mascarón o bien de alguna decoración esquinera. Esto último se consideró posible, ya que su cercanía a la esquina del montículo indicaba la improbabilidad de un mascarón. Sin embargo, la incertidumbre finalizó este año. Luego del hallazgo del Mascarón 2, fue obvio que la evidencia en el S3 correspondía a un mascarón, pero su posición cercana a la esquina aún no se explicaba.

El registro tuvo el objetivo, por lo tanto, de definir la posición del mascarón respecto a la arquitectura y el montículo, y de verificar su estado de conservación relativo al del Mascarón 2. Para ello, se colocó un puente de rollizos sostenidos por el piso Kablaju que atravesaran la trinchera (que justamente desciende en este punto, impidiendo el acceso al mascarón por la altura), y se decidió excavar por encima del piso que se extiende al norte y frente al mascarón. Este piso sería la contraparte del piso Hoblaju en el S1. La evidencia en el S2 indicó que este piso no se extiende a lo largo de la fachada, por estar interrumpido por la escalinata, y por lo tanto parece corresponder a plataformas directamente al frente de los mascarones. El piso en S3 aún no se le ha dado nombre ya que no se considera una excavación formal ni con suficientes datos para determinar su contexto, aunque de ser efectivamente la contraparte de Hoblaju, mantendrá probablemente el mismo nombre.

Como resultado, se determinó que la parte destruida por los saqueadores al excavar la trinchera corresponde a la nariz del Mascarón 3. El registro exploratorio descubrió la orejera oeste (derecha del observador) y parte de la iconografía asociada (Figura 3.28). Inmediatamente, se pudo apreciar que se encuentra un poco mejor conservado que el Mascarón 2. Un dato interesante es que al parecer, se cambió un poco el eje central de las estructuras con la etapa constructiva que cubrió a la Subestructura Chen y que enterró estos mascarones. Esto se propone debido a la posición del montículo actual en relación a la ubicación de los mascarones. Por lo tanto, considerando que los antiguos Mayas aplicaban la simetría en sus programas arquitectónicos, la Subestructura Chen y sus mascarones se encuentran muy hacia el este en relación con el montículo subsecuente. Es decir que el Mascarón 3 fue destruido en parte, junto con la esquina NE de la Subestructura Chen, para acomodar la nueva pirámide, cuyo eje se corrió unos metros hacia el oeste.

Conclusiones

La temporada 2011 en El Achiotal fue exitosa. Se cumplieron los objetivos predeterminados y se descubrió interesante evidencia sobre el Preclásico Tardío y Terminal en el sitio. Con los resultados de estas excavaciones y el análisis material e iconográfico se podrá proponer mejor el escenario político e ideológico durante esa época.



PRALC - El Achiotal
Estructura 5C-01, sub-Estructura Chen
Trinchera de Saqueo 3

Figura 3.28 Mascarón 3, Estructura 5C-01, E Achiotal (Fotos por M. Acuña)

Por ahora, mientras se está aún en la etapa preliminar del análisis, se harán algunos comentarios sobre los resultados de la Temporada de campo 2011.

Los túneles 6, y del 8 al 11 permitieron definir mejor los rasgos arquitectónicos de la Subestructura Jonon y contextualizarla dentro de la secuencia. Ahora se sabe que el templo fue construido sobre una plataforma basal, denominada Serr. Esta fue identificada en los túneles 9, 10 y 11, y por su disposición, parece haber sido construida en fechas más tempranas, ya que también soporta a la Subestructura Chub en la parte posterior y este. Por ahora, no se tienen los datos adecuados para fechar la construcción de la Plataforma Serr, pero según la secuencia constructiva que se aprecia, estuvo allí por mucho tiempo, aunque no se sabe si fue remodelada para acomodar los cambios que ocurrieron con la arquitectura encima de ella. La Subestructura Jonon fue la última modificación al conjunto de edificios encima de Serr, y es después de ella que se comienzan a observar cambios más drásticos en la composición del espacio.

Aunque no se sabe si fue la primera etapa, se propone que entre las construcciones más tempranas de mampostería, el conjunto fue un arreglo arquitectónico similar a otros del periodo Preclásico Tardío. Es decir, una plataforma basal sobre la cual hay tres o cuatro estructuras dispuestas alrededor de un patio. En algunas ocasiones, el acceso a dicho espacio está definido por una estructura con doble entrada. En este caso, la Subestructura Sip, anterior a Jonon, jugó dicho papel. Posteriormente, Sip fue reemplazada con la Subestructura Jonon, que solamente tuvo puerta del lado norte, con acceso directo desde la escalinata del basamento. La estratigrafía sugiere que parte de la Subestructura Chub siguió en uso y que hubo un espacio en la parte posterior de Jonon; sin embargo, no se conoce aún su función y completo arreglo. El T6 demostró que el muro posterior de Jonon también estuvo decorado con un mural al centro. Además, al pie de este mural, en el piso Wuqub se encontró un agujero circular que profundizó hasta el piso anterior, Waquib. Aunque vacío, el hoyo indica que el espacio posterior también fue utilizado para actividades rituales de índole desconocida. Es probable que el agujero fue hecho con la intención de colocar un escondite, pero que nunca fue completado.

La naturaleza de la iconografía pintada en los muros exteriores de Jonon sugiere que dicho edificio tuvo significancia en el establecimiento del poder de la realeza, que por medio de las referencias directas a la ancestral ideología Olmeca, caracterizaron al edificio como un espacio sagrado relacionado con la veneración ancestral (Acuña 2010; Acuña y Chiriboga 2010). Además, el pequeño Mascarón 1 ubicado en el eje central de la escalinata de Jonon tiene características similares a la boca de la tortuga pintada en el Muro Oeste del edificio Pinturas Sub-1A de San Bartolo (Taube, *et al.* 2010). La tortuga es protagonista en el mito de la creación Maya y es de su caparazón que el joven Dios del Maíz es resurrecto. Los primeros gobernantes Mayas recreaban dicho ritual para legitimar su poder y estatus divino, por lo que la posición del Mascarón 1 sobre el eje central y justamente debajo de la entrada al templo, sugieren la posibilidad de que esta estructura sea una efigie de la tortuga. Los gobernantes hubieran recreado el ritual de resurrección en el templo, personificando al Dios del Maíz.

La Subestructura Jonon fue enterrada en etapas. Primero, se cubrió el basamento y la escalinata con una plataforma rústica, denominada Tábano, que llegó hasta la orilla de la primera grada afuera de la puerta. Posteriormente, Tábano fue cubierta con otro relleno delgado y un piso rústico que llegó hasta el interior de la puerta de la Subestructura Jonon. Es curioso que el templo permaneciera en uso, o al menos visible, durante este proceso. Finalmente, el templo fue

parcialmente destruido y tapado con el relleno de la siguiente etapa constructiva. Lo destruyeron cortando sus muros a la misma altura en todo alrededor, con excepción del área en donde pintaron el Mural 1. No parece casualidad que se haya dejado este mural de forma más completa que los demás, ya que como fue explicado anteriormente (Acuña 2011a; Acuña y Chiriboga 2010), el Mural 1 está pintado con iconografía que simboliza el poder divino de los gobernantes y la veneración ancestral, utilizando la simbología Maya pero haciendo referencia a la ancestral ideología Olmeca.

La siguiente construcción identificada con certeza es la Subestructura Chen. Hay indicios que entre Jonon y Chen hubo alguna otra estructura, pero no se sabe si fue una versión primera de Chen que luego fue remodelada. Por ahora no se ha encontrado suficiente evidencia para aclararlo y solamente se observa parte de una escalinata en el perfil del Túnel 3. La Subestructura Chen cambió por completo el arreglo arquitectónico antes visto con Jonon, ya que canceló por completo el conjunto de estructuras al tratarse de una sola pirámide compuesta por una plataforma y un templo. La plataforma fue decorada con grandes mascarones que flanqueaban la escalinata central. Estilísticamente, a diferencia del Mascarón 1 (Jonon) los mascarones de la Subestructura Chen se asemejan más a la tradición Maya de Tierras Bajas del Preclásico Tardío. Fue notorio, también que con la Subestructura Chen se cambió ligeramente el eje central, posiblemente para acomodar la diferencia en diseño arquitectónico.

Los cambios observados entre los estilos y representaciones iconográficos entre las subestructuras Jonon y Chen pueden estar reflejando cambios en la organización socio-política y económica. La Subestructura Jonon refleja el uso tanto de la ideología Maya como la Olmeca en su arte, por lo que es probable que por su ubicación, el sitio tuviera conexiones con la región hacia el oeste del área Maya y que se beneficiaba por estar sobre una ruta comercial que conectaba el Río San Pedro Mártir con los grandes sitios de la Meseta Cárstica Central, como Tintal y El Mirador. Las fechas de radiocarbono procedentes de los fogones 1 y 2 asociados con el lado oeste del templo de Jonon (ver Acuña 2011a), proveyeron las fechas siguientes:

| PROCEDENCIA | MUESTRA No. | FECHA CAL. 2-SIGMA |
|------------------------|---------------------|--|
| ACH-1B-T5 (piso Lajeb) | ACH-9 / BETA-289421 | Cal 10 a.C. a 140 d.C. (Cal BP 1960 a 1810) |
| ACH-1B-T5 (piso Wuqub) | ACH-2 / BETA-289420 | Cal 50 a 230 d.C. (Cal BP 1900 a 1720) |

Es decir, si Jonon estuvo en uso al menos hasta el final del período Preclásico Tardío y Terminal, es muy probable que los rituales asociados a estos fogones ocurrieran muy cerca del final del uso de la estructura. Se especula incluso que fueron en honor al edificio mismo antes de, o bien durante, su parcial destrucción en preparación para ser enterrado bajo la siguiente construcción. Es plausible que la destrucción esté relacionada no solamente con los planes estructurales de la siguiente etapa constructiva, sino también con la intención de borrar la asociación ideológica que Jonon tuvo y que estuvo representado en sus murales y mascarones. Sin embargo, conservaron dos elementos decorativos que aún identifican a la estructura y a su simbolismo, el Mural 1 y el Mascarón 1.

La construcción de la Subestructura Chen y su decoración con mascarones grandes típicos del Preclásico Petenero sugiere que hubo un cambio en la organización política y su ideología, quizá como resultado de la caída del Mirador. Esta caída probablemente interrumpió la organización de las redes comerciales y por lo tanto también de la economía política regional. Si bien El Achiotal funcionó como un centro periférico que negociaba el comercio proveniente del oeste hacia la Meseta Cárstica Central en Petén, entonces la caída del Mirador afectó significativamente cómo este centro representaba su afiliación y quizá obligándolo a ser más inclusivo con la política regional Petenera. Así, se construyó un edificio que seguía los patrones regionales, como la Subestructura Chen.

RECONOCIMIENTO ARQUEOLÓGICO Y MAPEO EN EL JOBILLO

Melvin Rodrigo Guzmán Piedrasanta.

Introducción

El sitio arqueológico El Jobillo se encuentra a 3 kilómetros en línea recta de la Plaza Principal del sitio La Corona (Figura 4.1). Está conformado por 6 grupos hasta el momento conocidos y se asienta en una meseta que sobresale de bajos y riveras de ríos estacionales. Originalmente se pensó que se trataba de un grupo periférico del sitio La Corona. Sin embargo, debido a las dimensiones de sus estructuras y a la distancia se cree que se trata de un sitio distinto.

El Jobillo fue localizado por personal del proyecto durante la Temporada 2010 (Guzmán 2010) y durante la Temporada 2011 fue sondeado de una manera preliminar en preparación a una investigación más exhaustiva en el futuro. El sondeo del sitio estuvo a cargo del autor con la colaboración de Erlend Johnson y David Chatelain, quienes se encargaron de realizar mediciones en gran parte del sitio. Así mismo, fue importante el reconocimiento y recolección de superficie realizada por Marcello Canuto y Jorge Pontaza durante la primera visita del año.

Antecedentes

El área arqueológica investigada por el Proyecto Regional Arqueológico La Corona se encuentra en una región selvática propensa a incendios forestales. Esto se debe a las sequías estacionales y a la presencia de comunidades de invasores que incendian la selva intencionalmente para abrirse espacio dentro de ella. Como medida permanente de mitigación, se han abierto brechas de contención con las que se espera frenar el avance de posibles incendios. La denominada brecha corta fuegos se encuentra al oeste del sitio y cuenta con 12 metros de ancho. En una posición intermedia entre esta brecha mayor y el sitio se encuentra una segunda brecha de contención o brecha interna que serviría como seguridad en caso de que las llamas lograran pasar la primera.

Durante la temporada 2010 se recorrió parte de esta brecha para localizar rasgos arquitectónicos prehispánicos que fueran parte del sitio La Corona. Gracias al testimonio de un

antiguo guarda recursos, se logró localizar en este recorrido un montículo de grandes dimensiones cerca de un nido artificial de guacamayas. Debido a que el nido había dejado de ser ocupado, el monitoreo en el área había disminuido. Se observó que el montículo había sido saqueado recientemente, pues aún existían restos del campamento temporal utilizado por los saqueadores. Durante la visita, se le asignó al sitio el nombre de El Jobillo debido al tipo de árbol en donde se encontraba el nido que condujo la investigación hasta el sitio.

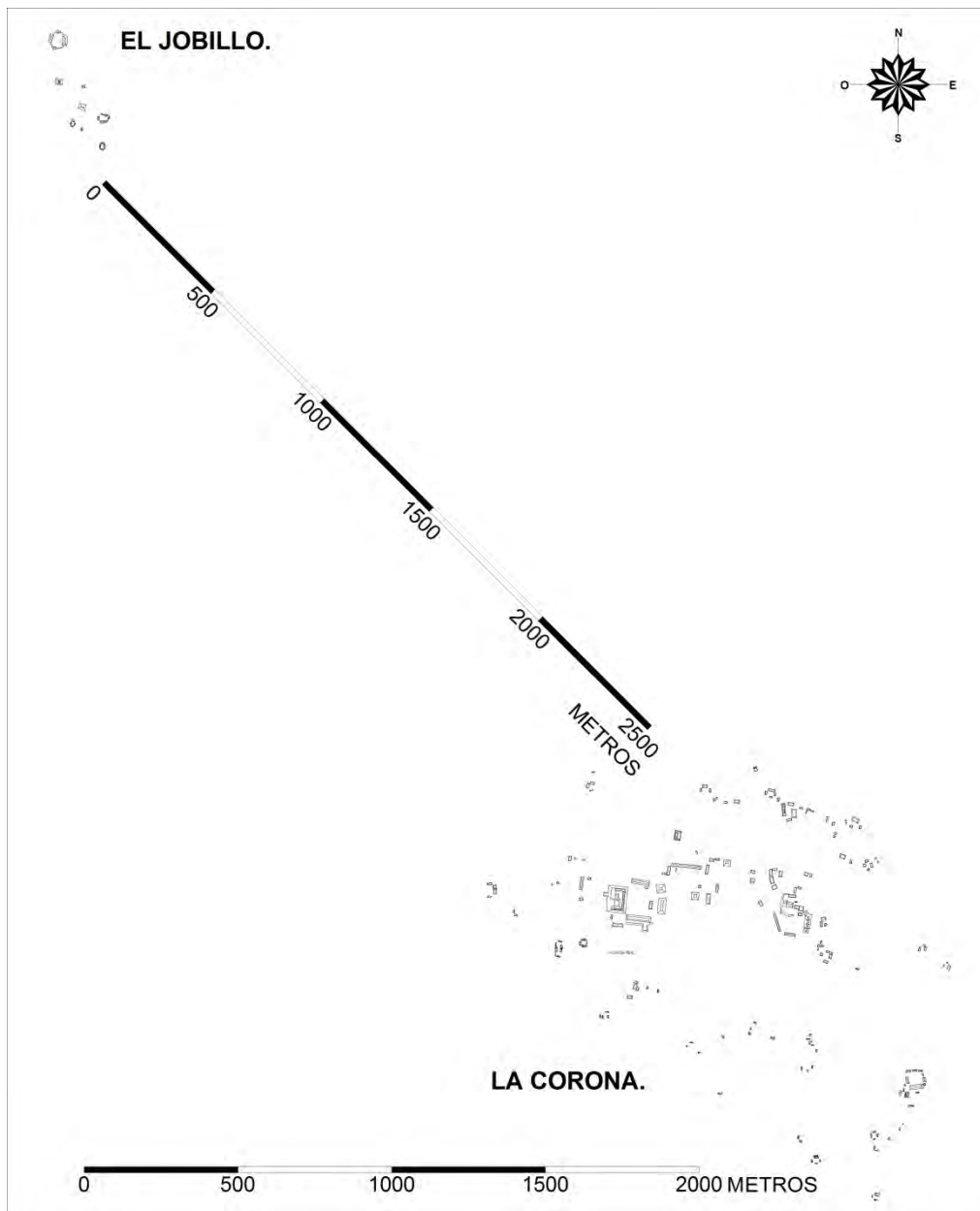


Figura 4.1 Relación espacial de los planos de La Corona y El Jobillo (Mapa por R. Guzmán)

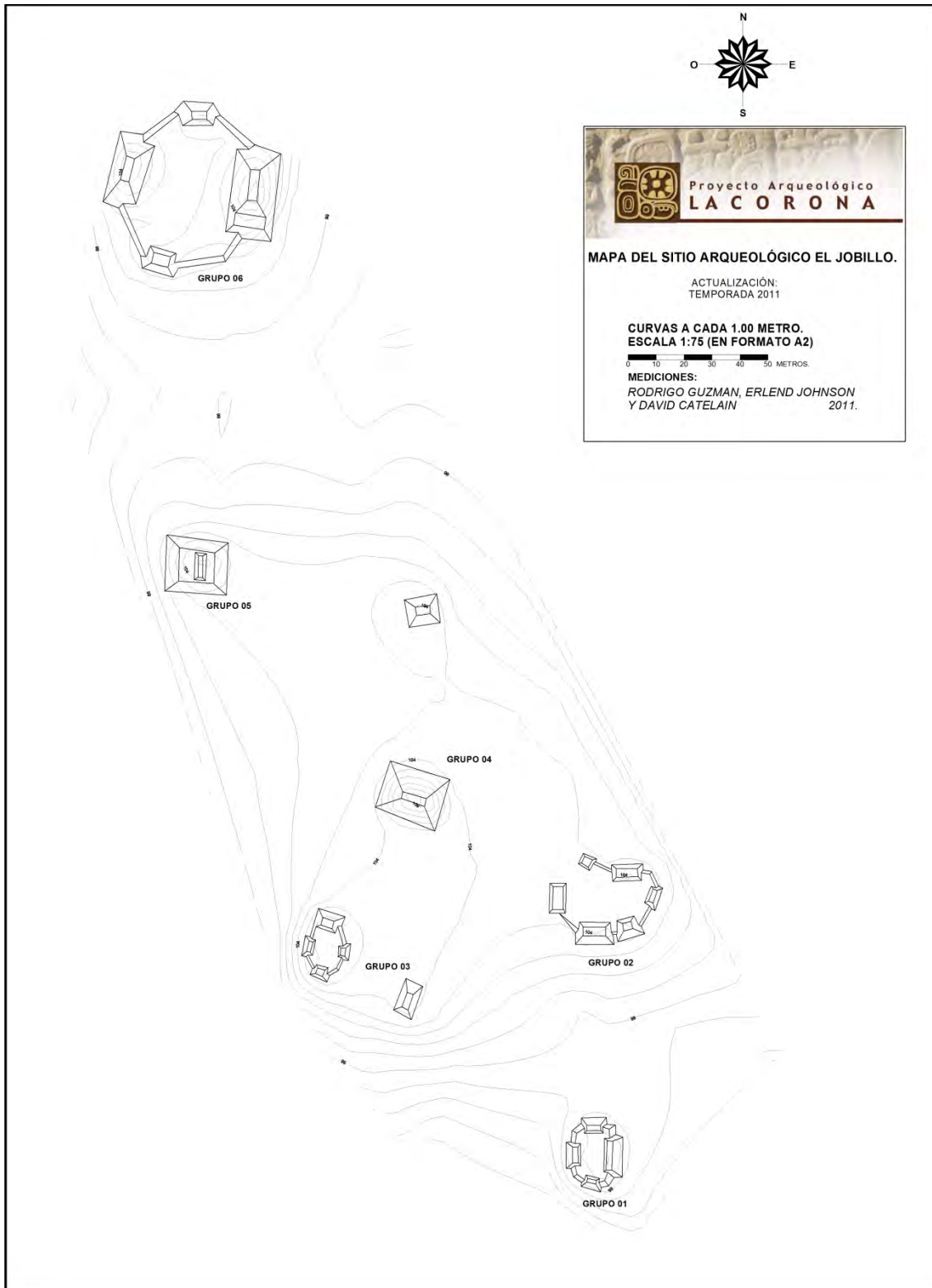


Figura 4.2 Plano del sitio arqueológico El Jobillo (Mapa por R. Guzmán)

Durante la presente temporada el sitio fue visitado nuevamente, debido a que los guarda recursos confirmaron la presencia de más montículos. Además, se observó que había existido una nueva depredación del sitio por parte de saqueadores, quienes habían abierto más trincheras de saqueo y habían dejado un pequeño campamento en el área. Durante la revisión de las trincheras de saqueo, se observó que los saqueadores habían abandonado material cerámico, el cual fue recolectado y documentado por Marcello Canuto y Jorge Pontaza. Dadas las características del sitio, se procedió a hacer una limpieza general de las estructuras y una demarcación del acceso al sitio desde la brecha interna. Esto permitirá tener un acceso más fácil al sitio y un monitoreo más constante. Seguidamente se realizaron mediciones en el sitio para conocer su forma y patrón de asentamiento, lo cual permitirá dirigir investigaciones en el futuro. Asimismo, se localizaron las trincheras de saqueo ya existentes para tener un control documentado de la presencia de saqueadores en el área.

Plano preliminar

Durante el reconocimiento original del sitio se abrieron senderos que conectan los grupos. Estos senderos fueron utilizados para conocer la forma general del sitio y posteriormente se abrieron brechas que permitieron la medición de los grupos, así como algunos rasgos topográficos generales en sus alrededores. Las brechas conectaron los grupos en línea recta, a diferencia de los senderos que poseían muchas curvas en su recorrido. Estas brechas permitieron trasladar la medida absoluta del sitio desde la primera estación hasta la última. Poseían un rango de visión bastante amplio a pesar de haber sido abiertas dentro de la selva con el menor ancho posible. Como resultado se obtuvo un plano del sitio con algunas características topográficas, incluyendo los rasgos encontrados durante el reconocimiento arqueológico y otros hallados durante el proceso de medición (Figura 4.2).

Grupo 01

Este grupo se encuentra en el extremo sur del área medida durante la Temporada 2011. Consiste en una plataforma elevada, sobre la cual se asientan cuatro estructuras de pequeña altura en los extremos norte, sur este y oeste. El espacio entre las estructuras constituye una plaza, la cual asocia entre sí a las cuatro estructuras (Figura 4.3).

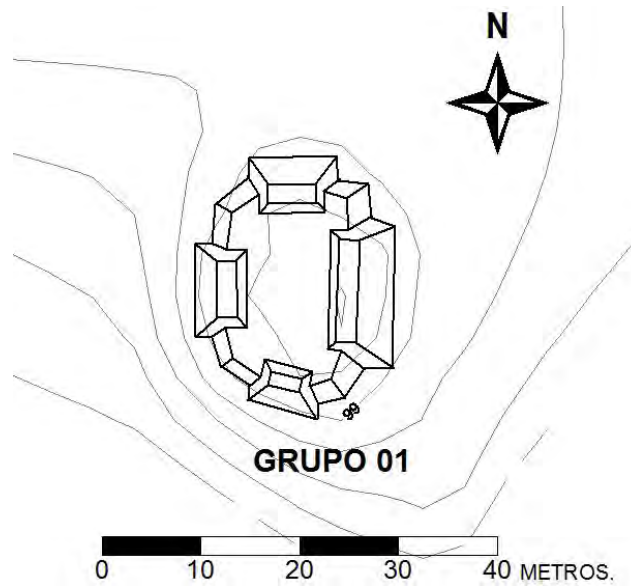


Figura 4.3 Grupo 01 del sitio arqueológico El Jobillo (Mapa por R. Guzmán)

Grupo 02

Se encuentra al norte del Grupo 01 y consiste en una plataforma alargada con orientación este-oeste, la cual se encuentra elevada en su extremo este y al nivel del suelo en su extremo oeste debido a la configuración natural del terreno. Está conformada por 6 estructuras organizadas en torno a su plaza, de las cuales las más altas son las dos asentadas en el extremo sur del grupo (Figura 4.4).

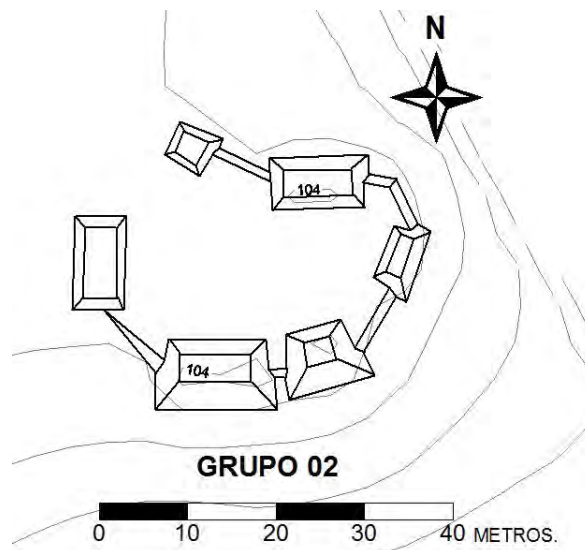


Figura 4.4 Grupo 02 del sitio arqueológico El Jobillo (Mapa por R. Guzmán)

Grupo 03

Este se encuentra al oeste del Grupo 02; está conformado por una plataforma elevada y un montículo aislado. La plataforma se asienta en el extremo oeste de la meseta, por lo que este extremo del grupo presenta una ladera de gran inclinación y elevación. El pequeño grupo organizado en una plataforma con tendencia rectangular está conformado por cuatro estructuras alineadas hacia el norte, sur, este y oeste (Figura 4.5). Debido a las dimensiones y organización de los montículos, parecen estar organizados en un Plan de Plaza II. Por su parte, la estructura aislada se encuentra en el extremo sureste de la meseta en donde se asienta el grupo y tiene 1.50 metros de altura. La meseta en donde se asienta este grupo se extiende hasta el área en donde se asienta el grupo 04, por lo que puede tratarse del mismo conjunto arquitectónico.

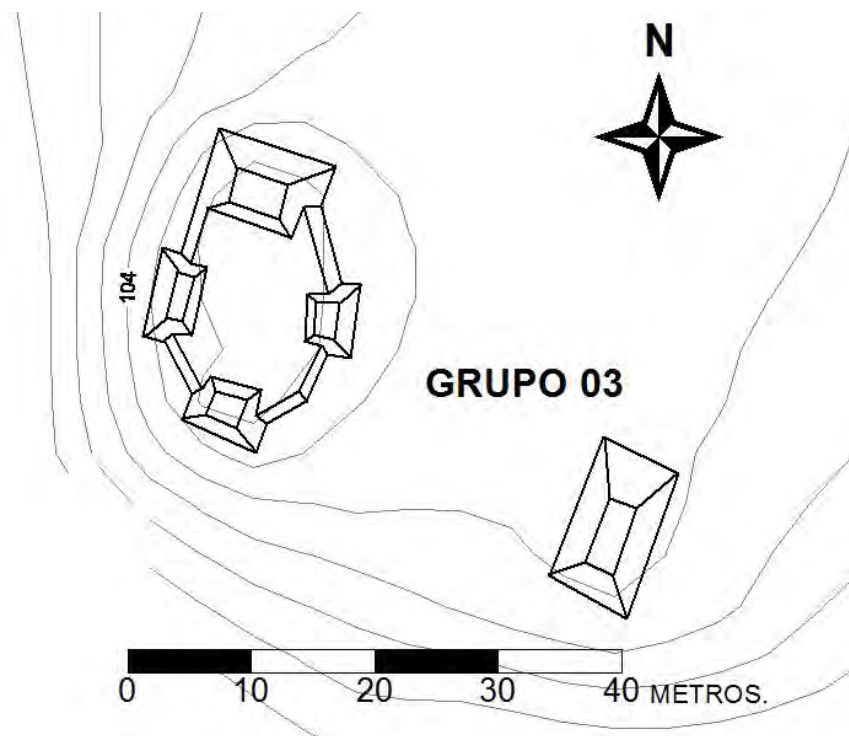


Figura 4.5 Grupo 03 del sitio arqueológico El Jobillo (Mapa por R. Guzmán)

Grupo 04

Este grupo se encuentra al norte del Grupo 03 y consta hasta el momento de dos montículos, los cuales se encuentran en los extremos norte y sur de su plaza. El montículo del sur constituye hasta el momento la estructura más alta encontrada en el sitio, con más de seis metros de altura. La plaza que está conformada entre estos dos montículos constituye también uno de los espacios abiertos más amplios del sitio (Figura 4.6).

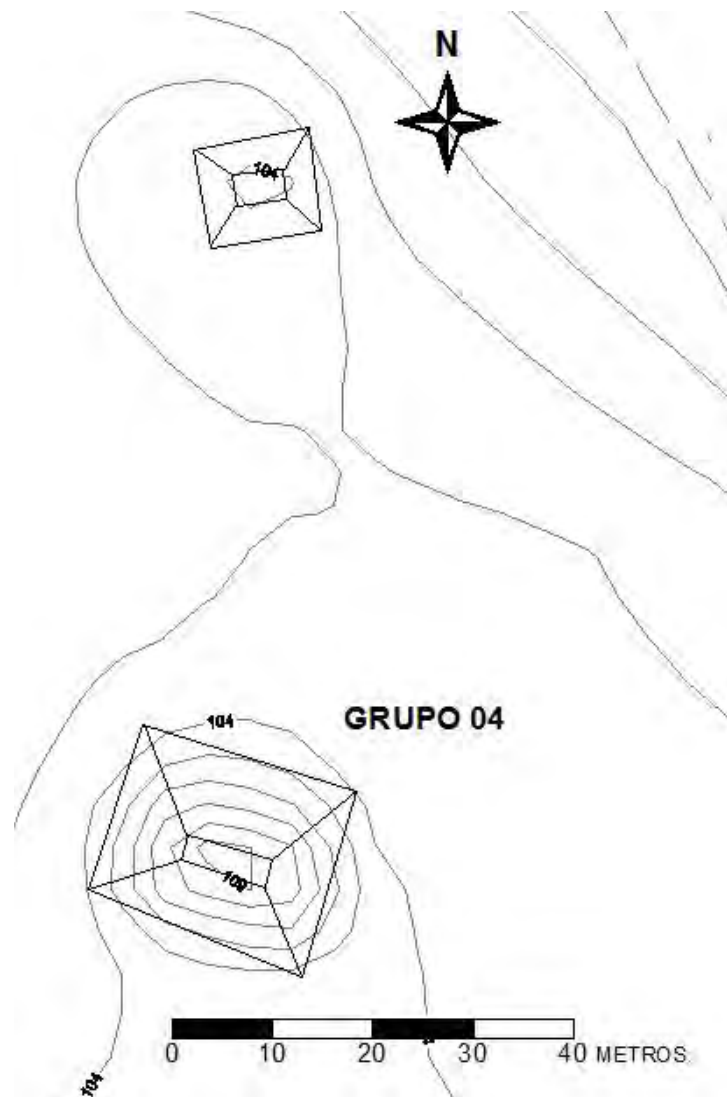


Figura 4.6 Grupo 04 del sitio arqueológico El Jobillo (Mapa por R. Guzmán)

Grupo 05

Este grupo consta de al menos dos montículos, de los cuales solamente uno fue incluido en el mapa realizado durante la presente temporada. Son montículos rectangulares de altura mediana, con aproximadamente 2 m de alto. Están adaptados a la topografía del terreno, por lo que es común que algunos de sus extremos culminen en laderas pronunciadas. La estructura que fue incluida en el mapa posee un montículo alargado en su parte superior, con orientación norte-sur (Figura 4.7).

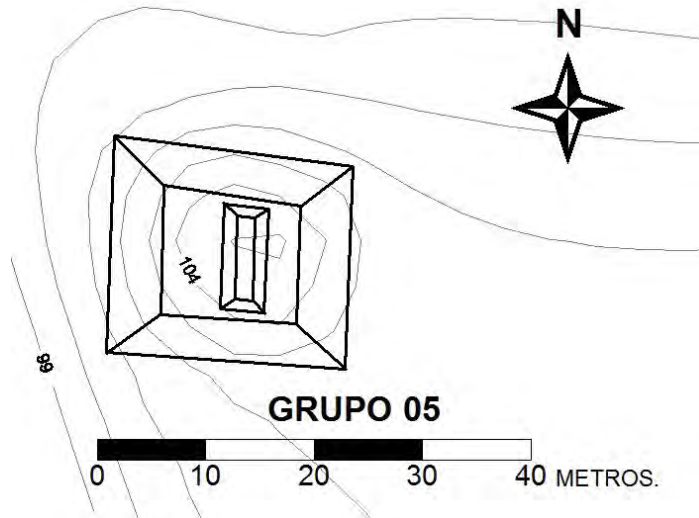


Figura 4.7 Grupo 05 del sitio arqueológico El Jobillo (Mapa por R. Guzmán)

Grupo 06

Esta es la agrupación de estructuras que se encuentra en el extremo noroeste de la parte conocida del sitio. Está conformada por cuatro estructuras sobre una plataforma elevada, localizadas en los extremos norte, sur, este y oeste de la misma. De éstas, la estructura al este es la de mayores dimensiones y altura, seguida por la estructura al oeste. La plaza conformada por el espacio entre las estructuras es de grandes dimensiones y es hasta el momento la plaza más grande del sitio. Debido a la configuración y proporción de las estructuras, se cree que conforma un conjunto denominado Plan de Plaza II (Figura 4.8).

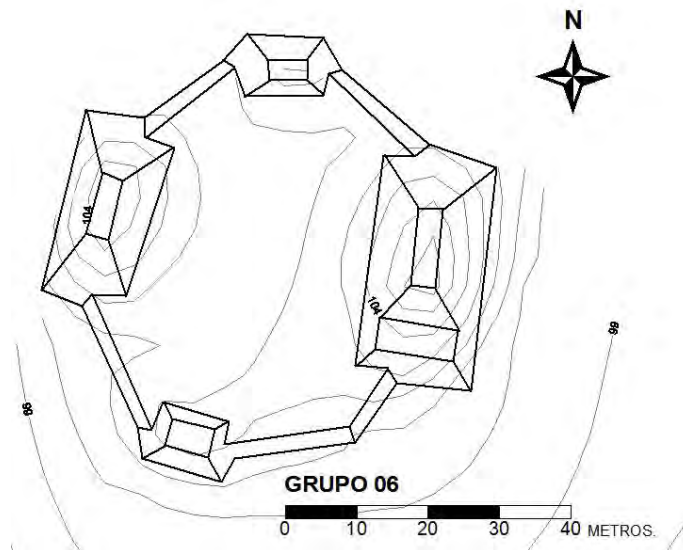


Figura 4.8 Grupo 06 del sitio arqueológico El Jobillo (Mapa por R. Guzmán)

Saqueo del sitio

Durante el reconocimiento arqueológico realizado en la Temporada 2010 se encontró evidencia de saqueos realizados en el sitio en fechas recientes. Se pudo observar en ese entonces un saqueo realizado en la estructura más alta del sitio, la cual se encuentra en el Grupo 04. También se encontraron los restos del campamento que fue utilizado por las personas que depredaron esta estructura. Durante el reconocimiento realizado en la Temporada 2011 se observaron más trincheras de saqueo, las cuales estaban acompañadas por un campamento más reciente. Por tal razón, se realizó la medición de estas trincheras para integrarlas al mapa que se realizó del sitio. Además, se hizo una recolección de superficie para rescatar parte del material abandonado por los saqueadores.

Trincheras de saqueo No. 01

Consiste en una fosa alargada de intrusión en la plaza del denominado Grupo 01. Se encuentra cerca de la estructura del este y en su parte más profunda tiene aproximadamente 2 m. (Figura 4.9) En el material extraído por los saqueadores se encontraron fragmentos de cerámica, dentro de los cuales se encontró un plato fragmentado (Figura 4.10).

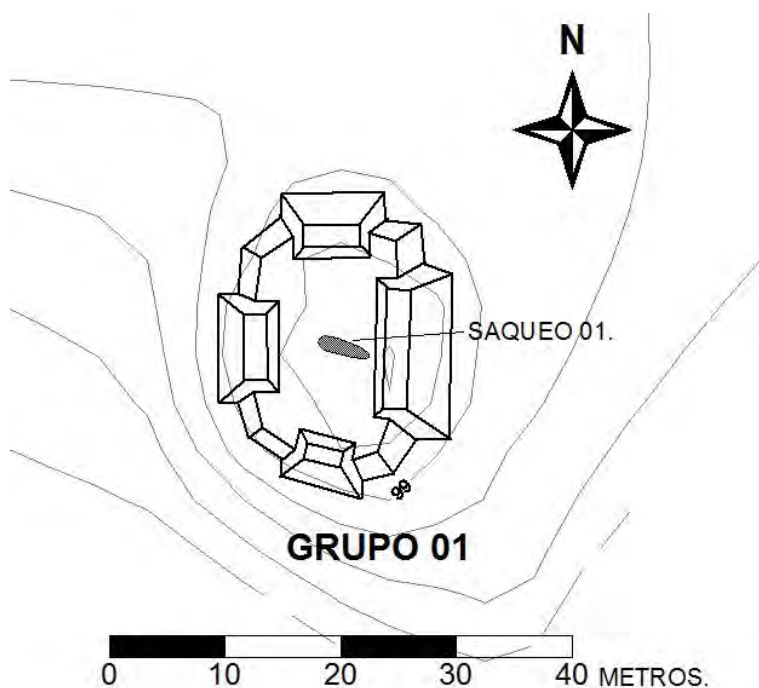


Figura 4.9 Saqueo 01 en el Grupo 01 de El Jobillo (Mapa por R. Guzmán)



Figura 4.10. Plato y tiosos hallados en el saqueo 01 en el Grupo 01 de El Jobillo (Foto por R. Guzmán)

Trinchera de saqueo No. 02

Consiste en una fosa de intrusión en la parte central y norte de la estructura sureste del denominado Grupo 02 (Figura 4.11). Es una fosa alargada de aproximadamente 1.20 m de ancho y cuya máxima profundidad es de aproximadamente 2 m. En su interior hay pequeñas exploraciones en los perfiles, realizadas por los saqueadores. Junto al material extraído por los saqueadores se encontraron piezas de cerámica fragmentadas, las cuales fueron debidamente recolectadas y documentadas. Una de las piezas consiste en un plato polícromo (Figura 4.12) y la otra es un cuenco con una inscripción tipo Secuencia Primaria Standard en su parte externa (Figura 4.13).

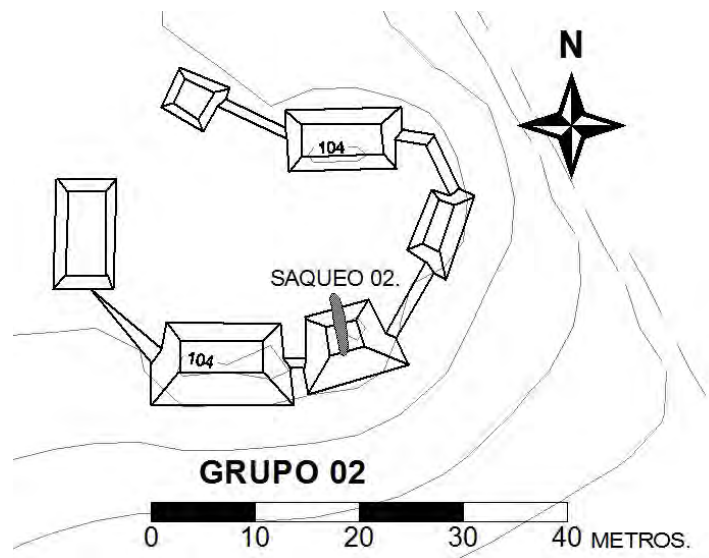


Figura 4.11 Saqueo 02 en el Grupo 02 de El Jobillo (Mapa por R. Guzmán)



Figura 4.12 Plato polícromo hallado en el saqueo 02 del Grupo 02 en El Jobillo
(Foto por R. Guzmán y dibujo por C. Sansregret)



Figura 4.13 Texto tipo Secuencia Primaria Standard pintado en el exterior del cuenco hallado en el saqueo 01 del grupo 02 (Foto por R. Guzmán, Dibujo por C. Sansregret)

Trinchera de saqueo No. 03

Consiste en una fosa de saqueo alargada, realizada en el extremo sur de la estructura noreste del denominado Grupo 02 (Figura 4.14). Tenía una profundidad aproximada de 0.80 metros y el material extraído por los saqueadores presentaba únicamente algunos fragmentos de cerámica. Aparentemente esta trinchera buscaba explorar el centro del montículo.

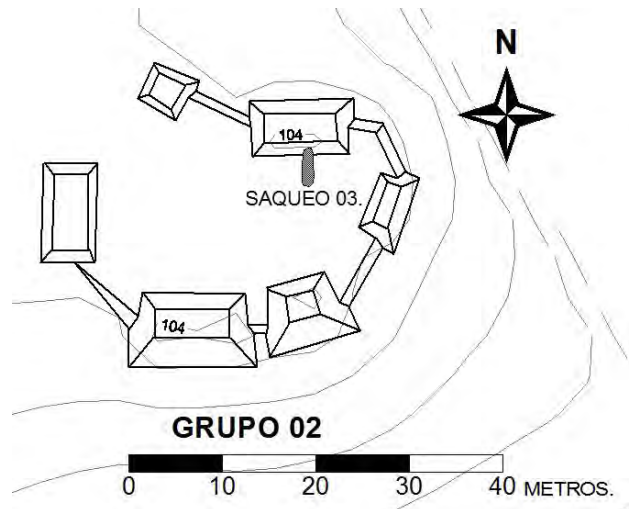


Figura 4.14. Saqueo 03 en el Grupo 02 de El Jobillo (Mapa por R. Guzmán)

Trinchera de saqueo No. 04.

Consiste en una fosa de intrusión en el extremo noroeste de la estructura sur del denominado Grupo 02 (Figura 4.15). El saqueo tiene un ancho aproximado de 1.50 m y una profundidad de 1.80 m. En el material extraído por los saqueadores no se observó evidencia arqueológica, como lo sucedido en otras trincheras de saqueo.

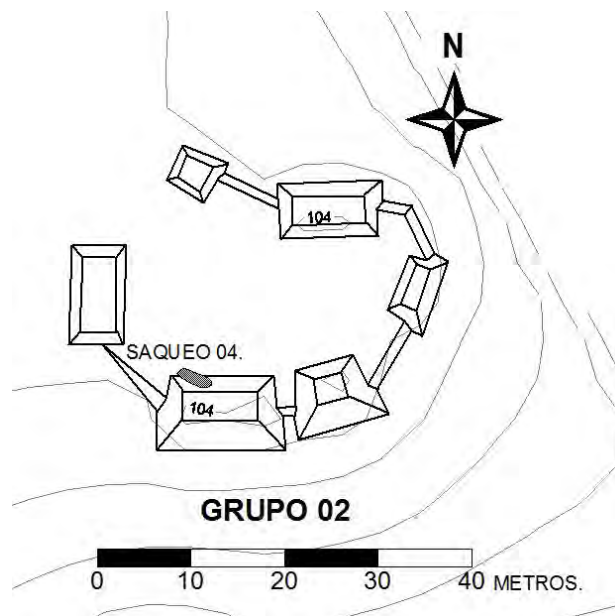


Figura 4.15 Saqueo 04 en el Grupo 02 de El Jobillo (Mapa por R. Guzmán)

Trinchera de saqueo No. 05

Esta trinchera de saqueo se encuentra en el extremo norte de la estructura sur del Grupo 04 del sitio (Figura 4.16). Fue avistado por primera vez durante el reconocimiento arqueológico realizado durante la temporada 2010. Se pudo observar que durante el tiempo que el sitio no fue visitado, los saqueadores hicieron nuevas intrusiones desde la misma trinchera. Se trata de una fosa alargada por la cual los saqueadores ingresaron a la estructura, realizando túneles transversales y longitudinales en su interior.

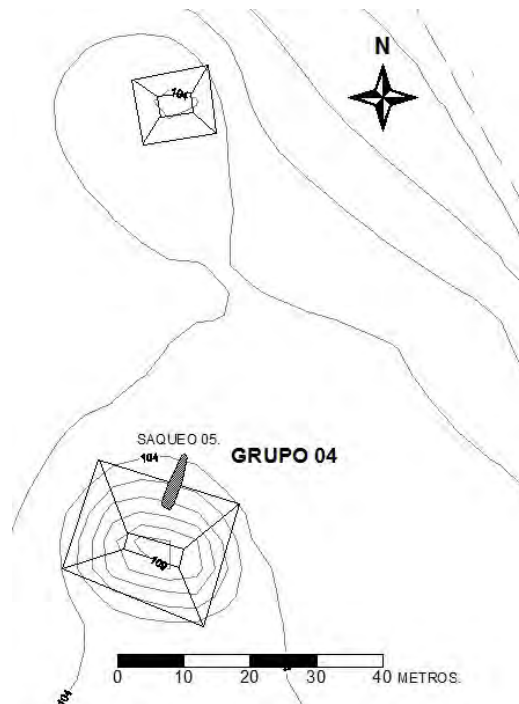


Figura 4.16 Saqueo 03 en el Grupo 02 de El Jobillo (Mapa por R. Guzmán)

Prospecciones

Se espera realizar investigaciones continuas y extensivas en el sitio para lograr conocer la naturaleza sociocultural del mismo. Para tal fin será necesario completar el mapa con otros rasgos arquitectónicos así como los rasgos topográficos que condicionan la distribución arquitectónica del sitio. Se hace necesario también hacer reconocimientos arqueológicos en el área que separa El Jobillo de La Corona, lo cual permitirá tener una percepción geográfica de la relación de estos sitios.

La información topográfica y geográfica permitirá la realización de análisis espaciales utilizando software especializado. Por medio de este software se lograrán reconstrucciones digitales del sitio y análisis de posicionamiento geográfico del sitio.

Conclusión

El sitio arqueológico El Jobillo constituye un sitio periférico localizado a 3 km al noroeste del epicentro del sitio La Corona. Es un sitio localizado en una meseta rodeada por bajos y ríos estacionales, la cual fue adaptada para el emplazamiento de los grupos arquitectónicos. Esto provoca que los grupos estén organizados en plazas, las cuales en muchos casos están elevadas. Por lo tanto, una de las características de los montículos es tener por un lado una plaza y del otro lado una ladera de gran inclinación y altura. El sitio está conformado por seis grupos conocidos hasta el momento, de los cuales tres han sido atacados por saqueadores.

Debido a su cercanía con el sitio La Corona, el sitio de El Jobillo ha generado dudas en cuanto a considerarse como un grupo que es parte de La Corona o si es un sitio distinto. Al igual que El Jobillo, también existe un grupo grande de estructuras al suroeste de La Corona, conocida como “Las Tres Marías” y otro grupo al sureste conocido como “Los Siguanes”. Estos tres sitios han sido considerados como límites del sitio, y pueden constituir sitios periféricos de una élite relacionada a la sociedad regional. Los restos cerámicos dejados por los saqueadores también constituyen información importante que fundamentará las futuras investigaciones que se realizarán en el sitio.

**RECONOCIMIENTO ARQUEOLÓGICO Y MAPEO EN LA CORONA:
TEMPORADA 2011**

Melvin R. Guzmán Piedrasanta.

Introducción

El sitio arqueológico La Corona ha sido medido sistemáticamente desde el año 2006 y desde entonces se ha recolectado información cultural, topográfica, geográfica y científica en relación al entorno del sitio. La información ha sido almacenada en hojas de datos con sistema de coordenadas, imágenes digitales, notas de campo y bosquejos de los rasgos hallados. Para realizar estas mediciones se utilizan técnicas modernas de geodesia y topografía creadas originalmente para la ingeniería civil y agrimensura, las cuales han sido debidamente adaptadas a la investigación arqueológica. El mapa inicial estuvo a cargo de Damien Marken y posteriormente se incorporaron mediciones realizadas por Carlos Chiriboga y el autor (Marken 2007; Marken y Gunter, 2007; Marken 2009; Guzmán 2010). Este año se contó con la colaboración en mediciones de Jorge Pontaza, Erlend Johnson y David Chatelain.

Antes de iniciar el proyecto, otros arqueólogos y exploradores habían visitado el área. En cuanto al análisis de patrón de asentamiento previo al mapa de PRALC destaca el mapa realizado por Ian Graham (1997). Antes que los arqueólogos conocieran el sitio, el área ya era bien conocida por saqueadores y cazadores quienes recorrían el sitio en busca de piezas para contrabando o fauna para comercializar. El conocimiento de la dispersión del asentamiento arqueológico se debe a la reciente presencia y patrullajes de los guarda recursos del estado y de ONG's. También se cuenta con los reconocimientos arqueológicos preliminares, que incluyen testimonios de los antiguos saqueadores ahora conscientes de la conservación.

Sin embargo la información aún continuaba dispersa en testimonios de arqueólogos, guarda recursos y antiguos extractores de recursos. Por lo tanto, fue importante la recopilación de estos testimonios y la verificación de los mismos a través de reconocimientos arqueológicos. Posterior al hallazgo de los rasgos arqueológicos descritos, es necesario realizar una inspección en los alrededores para localizar rasgos arqueológicos asociados, así como las características topográficas y geográficas del terreno.

Por lo tanto, el mapa del sitio se realizó gracias a la recopilación de testimonios y la rectificación de éstos. Este procedimiento se convirtió en un importante recurso para complementar los análisis arqueológicos de patrón de asentamiento, que se auxiliaron también con las tecnologías más modernas de sondeo y medición. Como resultado se conocieron las áreas geográfica y topográficamente atractivas para los antiguos pobladores y que eran atractivas para la edificación de sus asentamientos.

La operación de mapeo del sitio durante la Temporada 2011 incluyó las siguientes actividades:

- a. Reconocimiento arqueológico de los alrededores del sitio
- b. Apertura de brechas que definen rasgos generales del terreno
- c. Limpieza de maleza sobre montículos hallados
- d. Delimitación del extremo sur del sibal “El Colmoyote”.
- e. Medición de los rasgos arquitectónicos y topográficos presentes en las áreas medidas.
- f. Medición de las operaciones de excavación con sus respectivas unidades y rasgos culturales presentes.

Para realizar el mapeo durante esta temporada se utilizó la Estación Total marca Nokia, modelo SET5 10/D21866. Se utilizó la técnica estándar de la ingeniería civil para la medición de carreteras, terrenos y arquitectura. Mediante estas técnicas se logró trasladar la cota (*datum*) arbitraria establecida en los bancos de marca para tomar todas las alturas requeridas del sitio y ubicarlas en una coordenada específica. Posteriormente, los datos fueron referenciados geográficamente y plasmados en un plano utilizando las técnicas más recientes de geodesia y geografía.

Reconocimiento Arqueológico

El reconocimiento arqueológico realizado durante la Temporada 2011 tuvo menor alcance que el realizado durante la temporada anterior, debido al enfoque que se le dio este año a los montículos hallados con anterioridad. Aún así, se realizaron reconocimientos de monitoreo y un inventario de comparación de montículos presentes en el terreno, así como en el mapa.

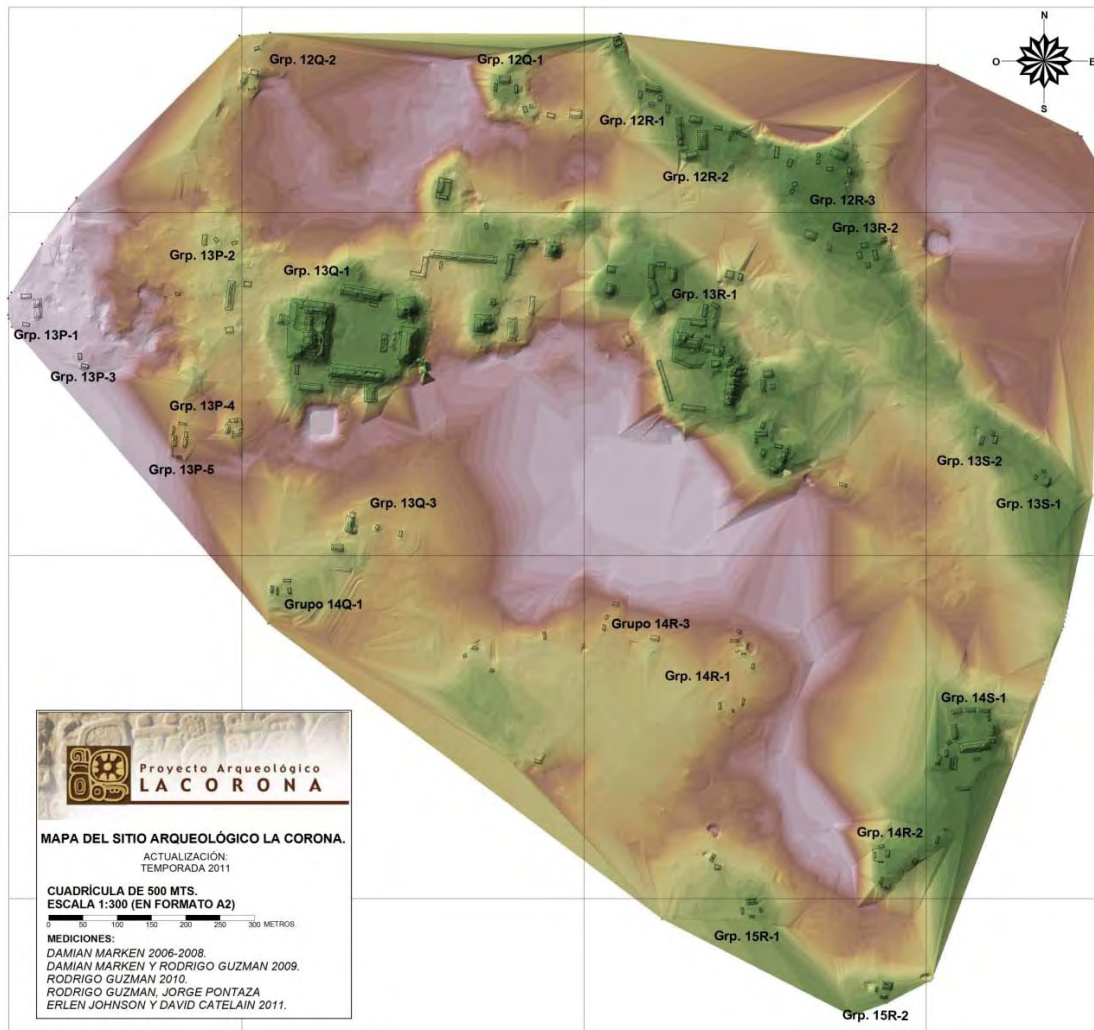


Figura 5.1. Plano tridimensional del sitio mostrando los distintos grupos localizados hasta 2011 (Mapa por R. Guzmán)

Grupo “El Tintal”

Se realizó una visita al grupo denominado en 2010 como “El Tintal” debido a su proximidad con uno de estos rasgos geográficos. Este grupo se encuentra localizado al oeste del Grupo 13Q-1 (Plaza Central), consta de al menos cuatro estructuras de entre 4 a 6 m de altura emplazados en una plataforma elevada. Una característica de este grupo es su posición aislada del resto del sitio, dentro de un área de bajos. Probablemente se trató del aprovechamiento de una elevación natural del terreno, la cual ofrecía restricción y privacidad al grupo de edificaciones. La función del grupo sólo podrá ser determinada mediante una investigación más extensiva, por lo que se priorizará la integración del mismo al mapa general del sitio.

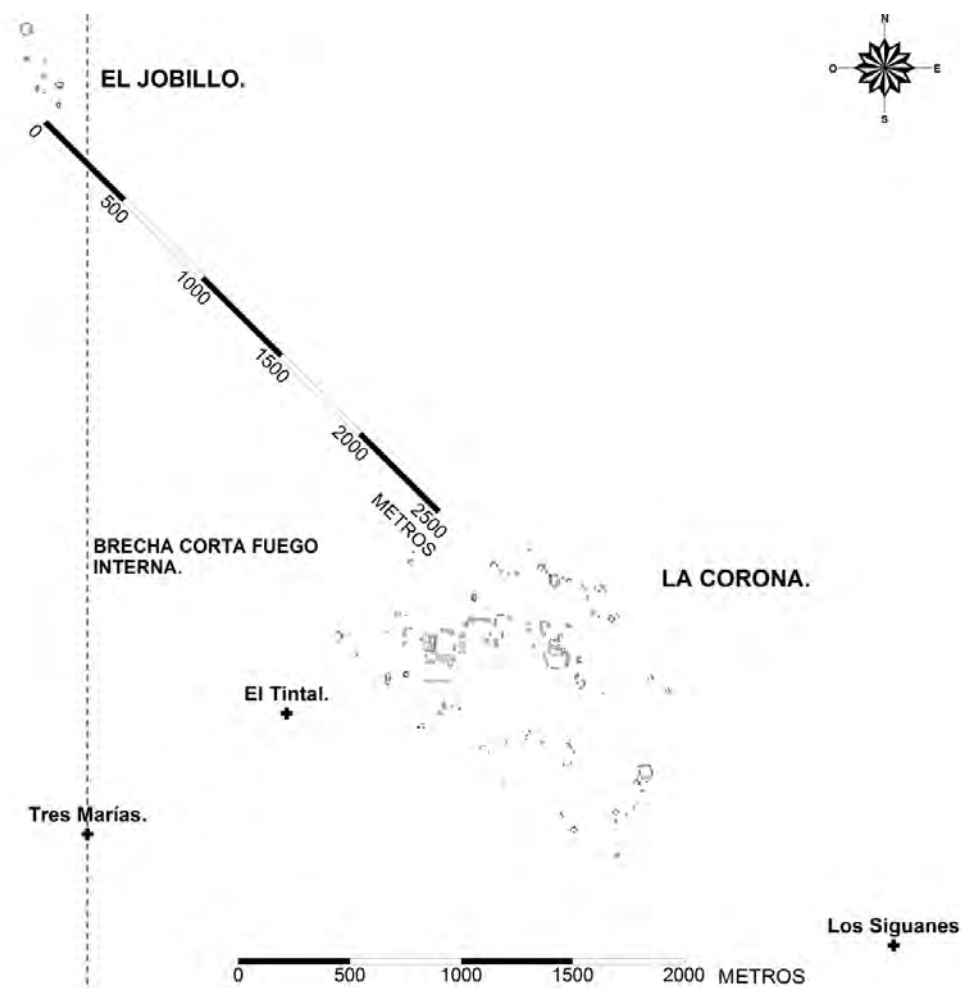


Figura 5.2. Ubicación de los grupos y sitios periféricos a La Corona (Mapa por R. Guzmán)

Los Siguanes

Este rasgo geográfico se halló durante el reconocimiento arqueológico en la meseta que se extiende hacia el sureste del sitio a partir del Cuadrante 14S. Este rasgo en el terreno estaba constituido por agujeros circulares en el terreno, de los cuales todos tenían sus paredes colapsadas menos uno, que conservaba su forma cilíndrica. Durante su exploración en el año 2010 se observó que se encontraba completamente limpio ya que no contenía ningún residuo cultural o biológico.

En una visita de monitoreo realizada en la Temporada 2011 se confirmó la tendencia a colapsar que tienen los muros de estos agujeros cilíndricos. Se observó que el agujero en perfectas condiciones observado durante la temporada anterior se encontraba ahora colapsado, con algunos árboles de tamaño mediano en su interior. Probablemente la composición arenosa del suelo, la inclinación del terreno y la precipitación pluvial provocaron la formación y posterior colapso de estos agujeros, por

lo que se considera una actividad geológica constante. Se ha observado en todo el sitio una alta frecuencia de hundimientos, incluso en la parte seca de los sibales, por lo que puede tratarse de una particularidad geológica del área.

El Jobillo

La brecha corta fuego interna es una brecha de 6 m de ancho que corre 12 km de sur a norte y se encuentra al oeste del sitio. Esta constituye una brecha de seguridad que protege otra una brecha de 12 m de ancho que se encuentra aproximadamente a 3 km al oeste, en caso de que esta última no pudiera contener las llamas de un incendio forestal proveniente del oeste. Durante la Temporada 2010 se realizó una limpieza de mantenimiento a esta brecha y durante el 2011 se continuó con el monitoreo. Como resultado de la presencia constante del personal de guarda recursos, se logró la observación más detallada del sitio El Jobillo. Este sitio había sido considerado como parte de La Corona durante los reconocimientos de 2010, pero al ser evaluado con más detenimiento se constató que se trata de un sitio independiente (ver Capítulo IV).

Revisión del mapa del sitio

Esta actividad consistió en la realización de un inventario de las estructuras representadas en el plano con la respectiva comparación en el campo. Se dio una especial atención a los rasgos arquitectónicos de los Cuadrantes 13Q y 13R, particularmente a los Grupos 13Q-1 y 13R-1.

Este enfoque se debió a que estos grupos han sido investigados ampliamente desde el inicio del proyecto, por lo que se les ha realizado limpieza de mantenimiento y conservación. Esto, sumado a los patrullajes del personal de guardianía ha permitido la localización de montículos o formas arquitectónicas que no habían sido incluidas en el mapa. El resultado fue la observación de nuevas plataformas basales en ambos grupos así como la presencia de montículos alrededor de los grupos, especialmente de 13R-I. De estos rasgos arquitectónicos solamente se incluyeron las Estructuras 13R-42 y 43, por lo que a partir de 2012 se dará especial enfoque a la inclusión de los otros rasgos en el mapa.

Recolección de superficie

Se realizaron brechas de sondeo al sur del campamento, las cuales debían terminar en rasgos específicos como áreas ya medidas o cuerpos de agua. Una de las brechas realizadas en esta operación terminó en un grupo ya medido en el Cuadrante 13R. Al revisar uno de los montículos que allí se encontraban se observó que en el montículo 13R-28 un árbol había colapsado y sus raíces habían arrancado parte de la estructura. Dentro de las raíces se encontraba incrustada una gran concentración de fragmentos de cerámica, por lo que se procedió a su recolección y debido almacenamiento. Los fragmentos incluyen vasijas grandes y predominan los tipos estriados (Figura 5.3).



Figura 5.3. Bordes de cerámica hallados durante la recolección de superficie del Montículo 13R-28 (Foto por R. Guzmán)

Continuación del mapeo en los alrededores del sitio

Se continuó con las mediciones en los alrededores del sitio, utilizando brechas de sondeo que habían quedado pendientes de medir durante la temporada pasada, así como la apertura de nuevas brechas y la utilización senderos y caminos abiertos como brecha de medición. Se buscó incluir en el mapa la mayor cantidad posible de datos culturales, topográficos y geográficos del sitio, que permitieran tener una nueva perspectiva de su patrón de asentamiento (Figura 5.4).



Figura 5.4 Plano de curvas de nivel y grupos arquitectónicos del sitio arqueológico La Corona, actualizado durante la Temporada de campo 2011 (Mapa por R. Guzmán)

Brechas alrededor del sibal “El Colmoyote”.

En la temporada 2010 se trazó una brecha madre que corría de noroeste a sureste, partiendo del vértice suroeste del Cuadrante 13Q y recorriendo los Cuadrantes 14Q, 14R, y 15R hasta alcanzar el camino que comunica el campamento de PRALC con las estaciones de monitoreo El Sargazo y El Tesoro. Esta brecha tenía el objetivo de definir el extremo oeste del sibal denominado El Colmoyote y por lo tanto todos los rasgos culturales presentes en esta orilla del mismo. Durante la Temporada 2011 se realizó una nueva brecha madre al este de la brecha anterior, la cual corre de norte a sur y conecta el campamento con el camino. Mediante esta brecha se conoció información topográfica del extremo este del sibal El Colmoyote, así como sus rasgos asociados.

El punto en donde se conecta la brecha madre del oeste con el camino fue el inicio de un segmento del camino que cumplió con las funciones de brecha de medición. El camino constituye una gran cantidad de terreno abierto ubicado intencionalmente en partes altas para evitar los bajos. Coincidentemente, las partes altas en la cercanía de ciberales eran las áreas preferidas por los antiguos pobladores para elaborar sus asentamientos. Además, esta parte del camino fue útil para la exploración del extremo sur del sibal El Colmoyote. Por lo tanto, fue utilizado para integrar al mapa las características culturales y topográficas presentes en el área que recorre, donde se encontraron varios grupos y montículos dispersos (Figura 5.5).

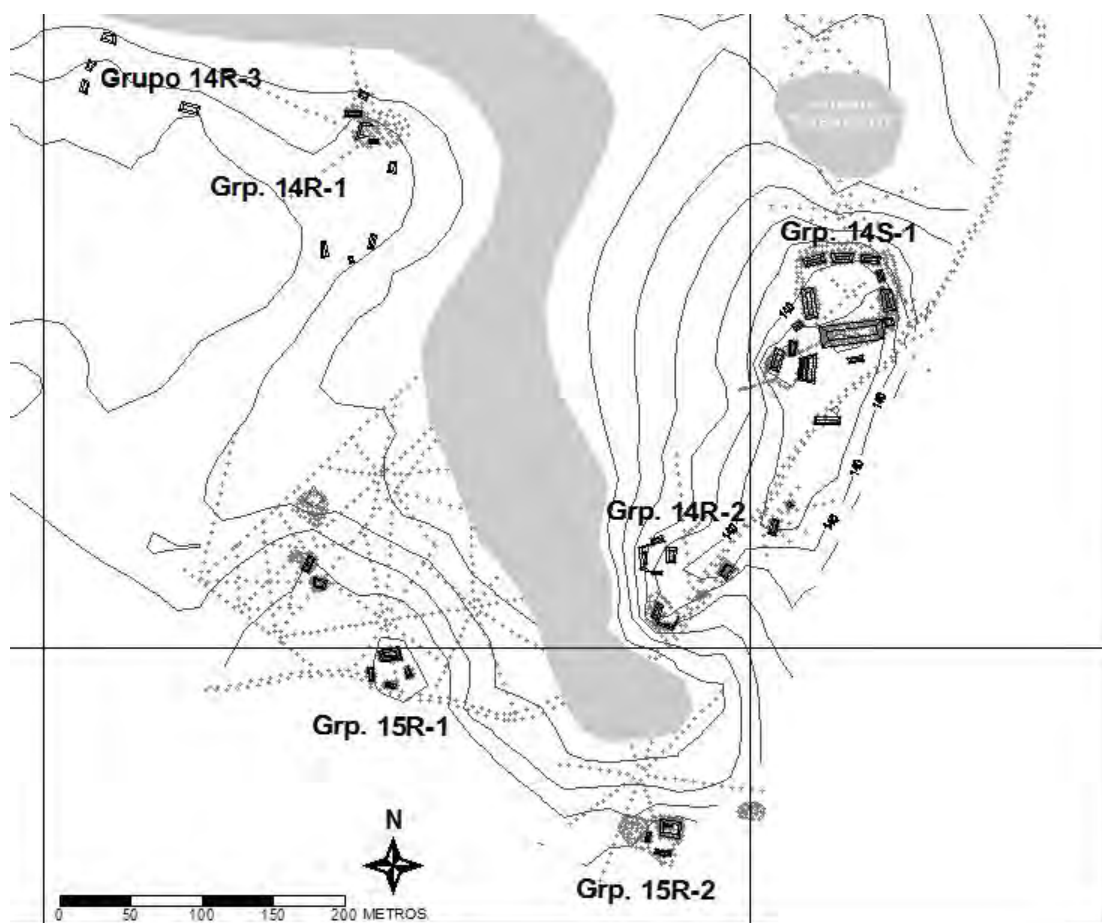


Figura 5.5 Segmento del plano que muestra las actividades de mapeo realizadas al sur del sibal El Colmoyote (Plano por R. Guzmán)

Brechas al sur del campamento.

Cómo se mencionó anteriormente, se elaboró una segunda brecha madre que corre de norte a sur desde el campamento hasta conectarse con el camino moderno. A esta brecha se le elaboraron ramales o secciones transversales en distintas direcciones, haciendo la forma de un asterisco o estrella a partir de una estación. Con estas brechas se buscaba definir la topografía del área que separa el campamento del proyecto con el sibal El Colmoyote. Las brechas ofrecieron información topográfica, sin embargo los asentamientos fueron escasos, quizás por la poca elevación del terreno lo cual pudo haber sido poco atractivo para el asentamiento humano. En el extremo sur de esta brecha y a la orilla del camino se encuentra el Grupo 14S-1, el cual fue denominado anteriormente “montículo del camino” y a partir de las presentes investigaciones se le denominará Grupo El Caballito (Figura 5.6).

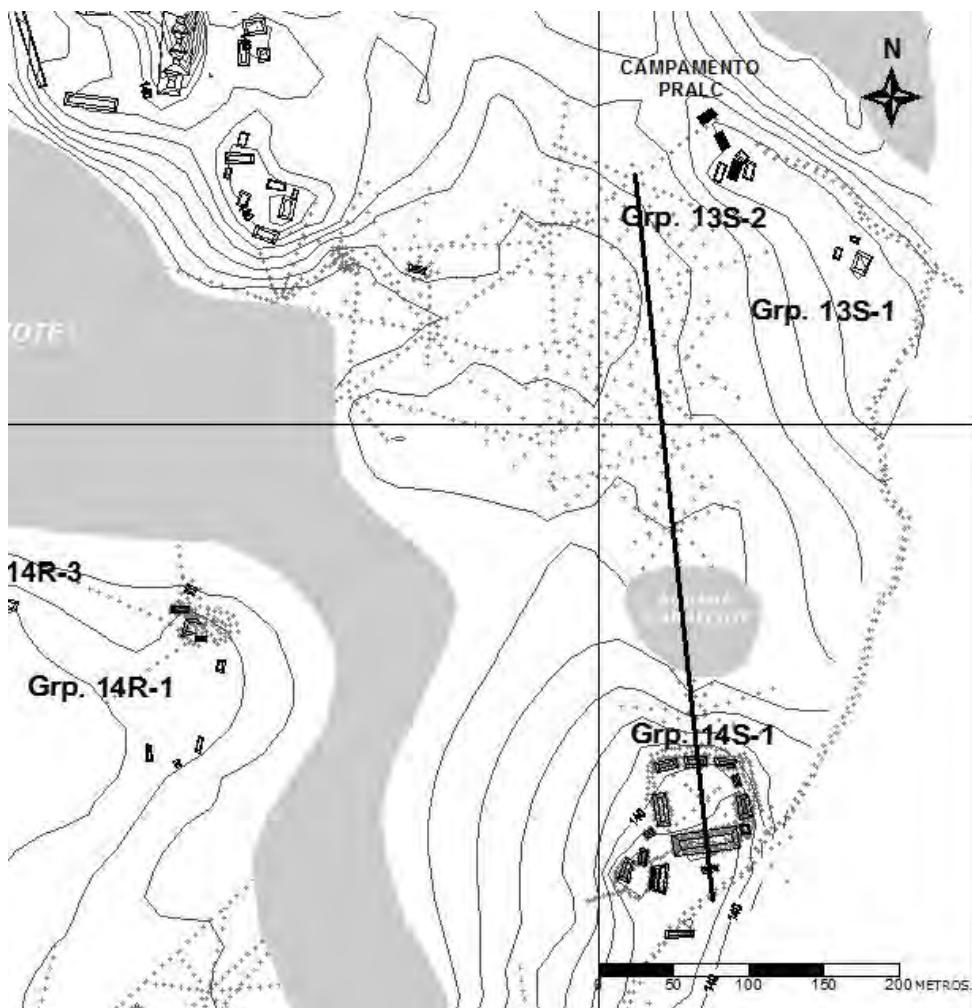


Figura 5.6 Actividades de mapeo realizadas al este del sibal El Colmoyote y sur del campamento. La línea negra muestra la brecha madre (Plano por R. Guzmán)

Brechas al sur del Grupo 13Q-1 (Plaza Principal).

Con base en el reconocimiento arqueológico realizado durante la temporada anterior, se determinó que existe una alta probabilidad que el Cuadrante 13Q-1 haya sido sondeado por completo y su asentamiento arqueológico ya ha sido incluido al mapa. Sin embargo existen áreas al sur de la Plaza Principal que aún se encuentran sin exploración o que el asentamiento arqueológico conocido no se ha integrado al mapa. Por esta razón se realizaron brechas para integrar rasgos topográficos y culturales al mapa general del sitio. Como resultado de esta actividad se logró la integración de 3 nuevos grupos, de los cuales uno era completamente desconocido a pesar de su cercanía y se cree que constituye un patio de Juego de pelota (Figura 5.7).

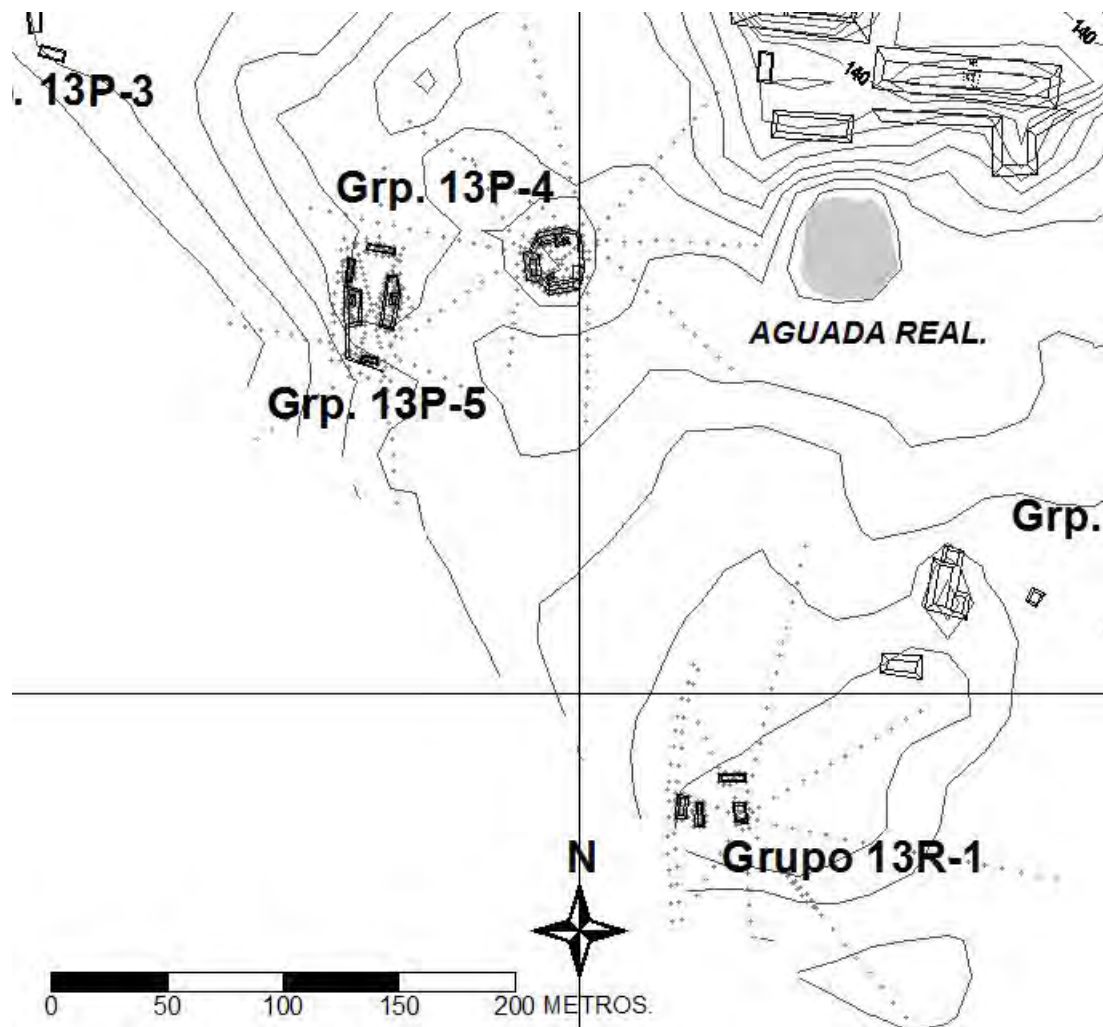


Figura 5.7 Segmento del plano que muestra las actividades de mapeo realizadas al sur del Grupo 13Q-1 o Plaza Central. (Plano por R. Guzmán).

Hallazgo de estructuras y actualización del mapa.

El mapeo realizado en las áreas aledañas al núcleo del sitio arqueológico La Corona permitió el hallazgo de varios montículos organizados en grupo o dispersos, así como los rasgos para la configuración geográfica y topográfica del área en donde estos se asientan. Los hallazgos fueron clasificados de acuerdo a la cuadrícula general del sitio, trazada en el año 2008 para lograr un sondeo sistemático del sitio y sus áreas aledañas (Figura 5.8).



Figura 5.8 Plano del sitio arqueológico La Corona con la distribución de grupos de estructuras, cuadrantes arbitrarios y cuerpos de agua (Plano por R. Guzmán).

Cuadrante 13P

Este cuadrante se encuentra al oeste del Grupo 13Q-1 o Plaza Principal. No se ha logrado sondear por completo, pero se conoce un gran porcentaje de su superficie. Durante la Temporada 2011 se logró el sondeo del extremo sur de este cuadrante, en donde se encontraban dos grupos arquitectónicos importantes (Figuras 5.9 y 5.10). El primero de ellos es el Grupo 13P-4 y se encontraba justo al oeste de la denominada Aguada Real, junto al área utilizada como parqueo de visitantes y guarda recursos. Este grupo era conocido con anterioridad debido a su cercanía con una brecha de monitoreo de recursos naturales. Posteriormente se realizó un sondeo perimétrico a través de brechas, desde las cuales se encontró un nuevo grupo entre maleza virgen. Se trata del Grupo 13P-5, el cual tiene una alta probabilidad de ser un patio de Juego de Pelota. Después de la limpieza y medición del grupo se procedió a realizar una excavación preliminar de sondeo (ver Capítulo XIV).

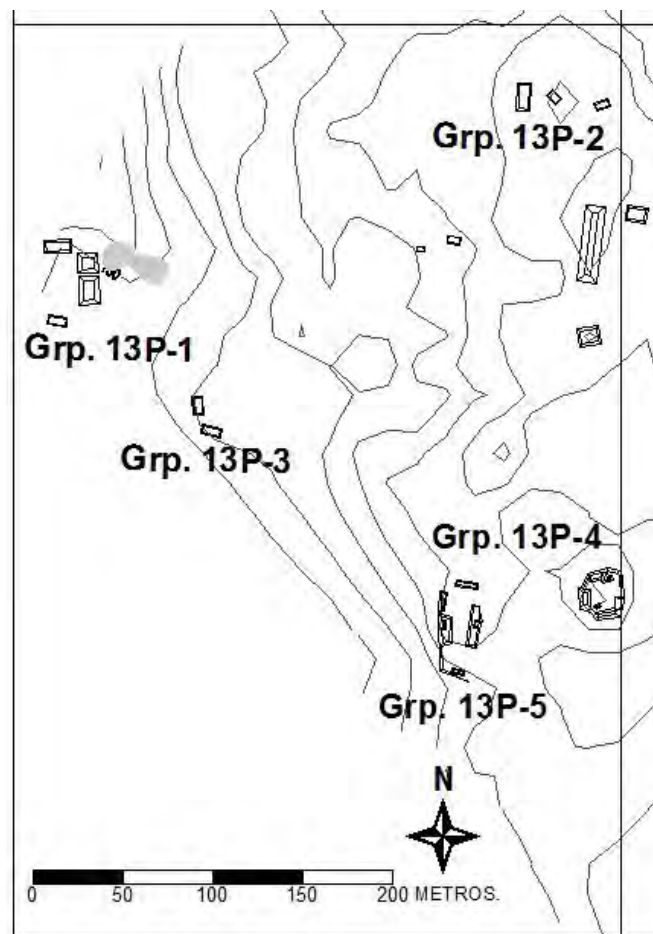


Figura 5.9 Segmento del plano que muestra los rasgos culturales y topográficos hallados dentro del Cuadrante 13P (Plano por R. Guzmán).



Figura 5.10 Plano volumétrico que muestra la forma de los Grupos 13P-4 y 13P-5 (Plano por R. Guzmán).

Cuadrante 13R

Este cuadrante se encuentra al este del Grupo 13Q-1 o Plaza Principal y en su centro se asienta el Grupo 13R-1. Este grupo ha sido comúnmente llamado Grupo Coronitas y es la razón del nombre del sitio. Al igual que el Cuadrante 13Q, este ha sido ampliamente explorado y se conoce su área casi en su totalidad. Durante la presente temporada se realizó un inventario del asentamiento arqueológico con el objetivo de comparar la información en el mapa con los rasgos culturales y topográficos del terreno. Se constató que aún existen algunos rasgos y elementos arquitectónicos que deben ser incluidos en el mapa. Durante esta temporada se localizaron varios montículos que no fueron avistados con anterioridad, de los cuales se incluyeron 3 al mapa. Estos montículos recibieron la nomenclatura de 13R-41, 13R-43 y 13R-44 (Figura 5.11). Sin embargo, aún existen algunos grupos pequeños y grupos pequeños pendientes de inclusión en el mapa. Además, es necesario redibujar la plataforma basal del grupo y algunas de sus estructuras en base a los datos que han proporcionado las excavaciones de las últimas tres temporadas de campo.

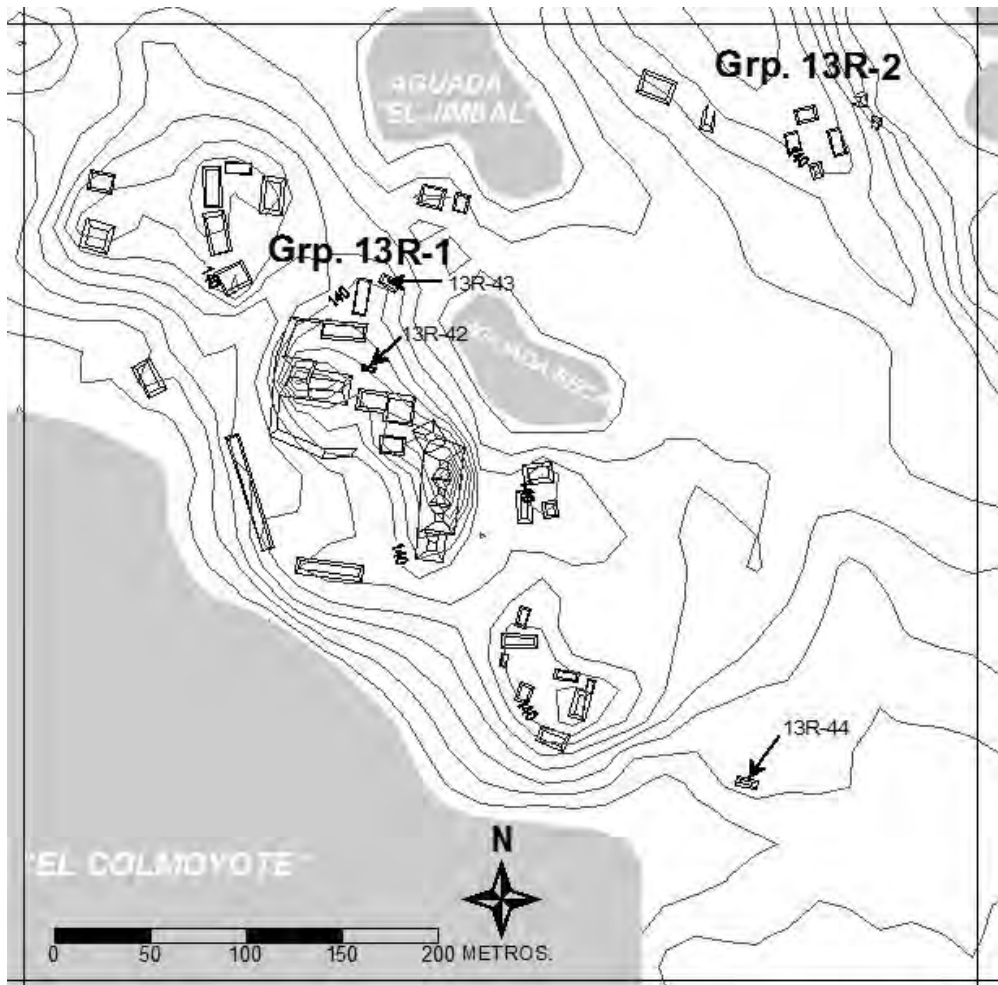


Figura 5.11 Segmento del plano que muestra los rasgos culturales y topográficos hallados dentro del Cuadrante 13R. (Plano por R. Guzmán).

Cuadrante 14Q

Este cuadrante se encuentra al sur del Grupo 13Q-1 o Plaza Principal. Es uno de los cuadrantes menos explorados en los alrededores del sitio y abarca uno de los extremos del sibal El Colmoyote. Cuenta con una modesta presencia de asentamiento arqueológico en su extremo noreste. En la Temporada 2010 se hallaron 5 montículos residenciales dispersos, pero como parte del reconocimiento arqueológico de 2011 se encontró un nuevo grupo de 4 estructuras el cual fue incluido en la presente actualización del mapa (Figura 5.12). Dadas las observaciones preliminares en el área, se cree que una exploración al sur de este cuadrante permitirá el avistamiento de nuevos grupos y montículos dispersos.

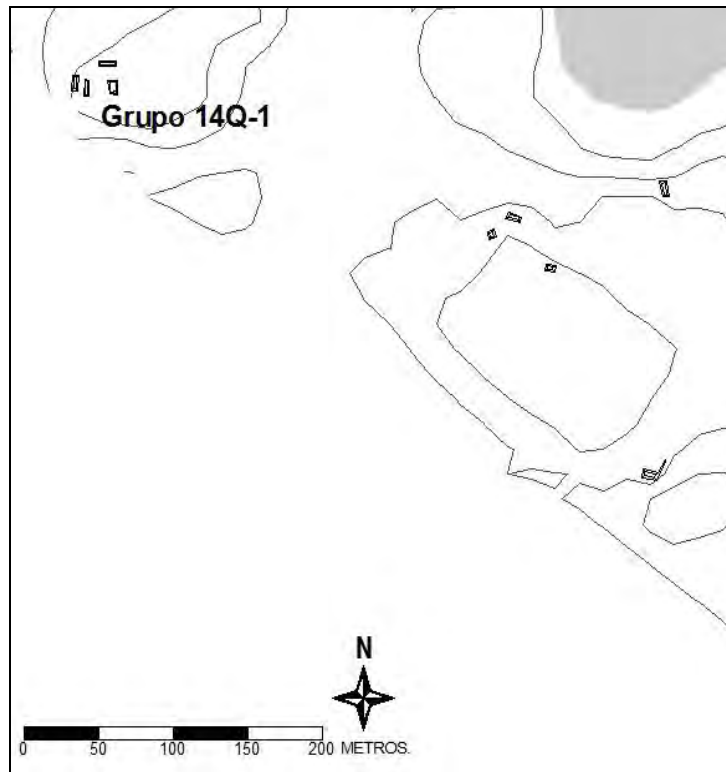


Figura 5.12 Rasgos culturales y topográficos hallados dentro del Cuadrante 14Q. (Plano por R. Guzmán).

Cuadrante 14R

Este cuadrante abarca el área que corresponde al extremo sur del sibal El Colmoyote, con excepción de su remate, que es abarcado por el cuadrante inmediatamente al sur. La exploración se ha realizado casi en la totalidad del área correspondiente al cuadrante, pero aún hace falta incluir algunos rasgos topográficos y culturales de los extremos noreste y suroeste. En este segmento del mapa, el sibal se estrecha mientras se convierte en un canal que se desplaza de forma curvada hacia el sur (Figura 5.13). Esta también corresponde a la parte más alta del sibal, por lo tanto la última en inundarse y la primera en secarse. La forma curvada provoca una bahía de terreno alto en su extremo oeste, donde se encontraron varios montículos dispersos. En el extremo este también existen asentamientos, que son el inicio de un conjunto grupos y montículos dispersos que se asientan en el terreno alto en este extremo del sibal. Una característica del terreno es la presencia de depresiones, tanto en terreno alto como en las partes más bajas del sibal, las cuales pueden ser vistas durante las temporadas secas. Es posible que se trate de canteras, debido a la acumulación de piedra y arena en ellas, pero también puede tratarse de un fenómeno geológico particular en el área.

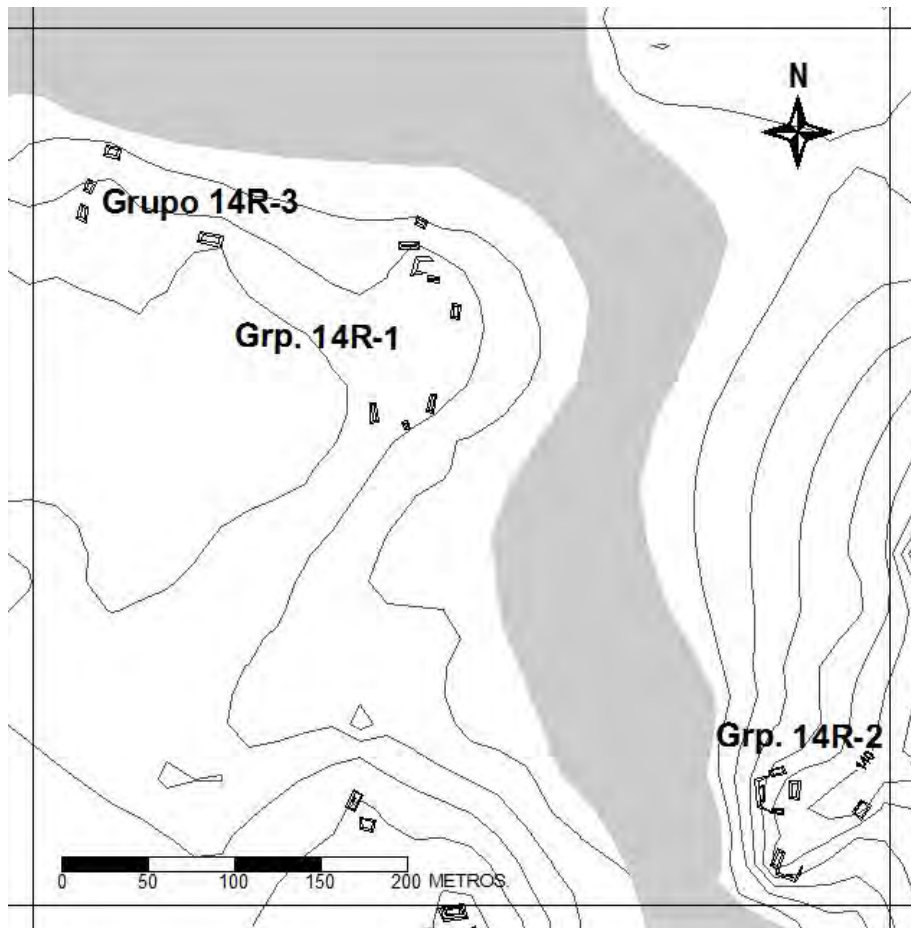


Figura 5.13 Rasgos culturales y topográficos hallados dentro del Cuadrante 14R (Plano por R. Guzmán).

Cuadrante 14S.

Este cuadrante es bastante conocido debido al paso del camino moderno a través de esta área. Fue parte de los reconocimientos arqueológicos de la Temporada 2010 y se realizó una inspección más intensiva durante esta temporada. Constituye uno de los extremos al este del sitio incluido en el mapa. Dentro de su extensión se presenta al Grupo 14S-1, que es uno de los grupos arquitectónicos más grandes y más distantes del Grupo 13Q-1 o Plaza Principal (Figura 5.14). Además, entre sus características geográficas se encuentra una aguada que no había sido incluida antes en el mapa. Este cuerpo de agua estacional es de dimensiones similares a las del grupo y representa un acceso exclusivo a sus recursos por parte de los habitantes del grupo antes descrito, cuando este fue ocupado. Hace falta explorar el centro y extremo este del cuadrante, especialmente la meseta que conduce hacia el grupo de “los siguanes”, en donde hay una considerable frecuencia de asentamiento prehispánico.

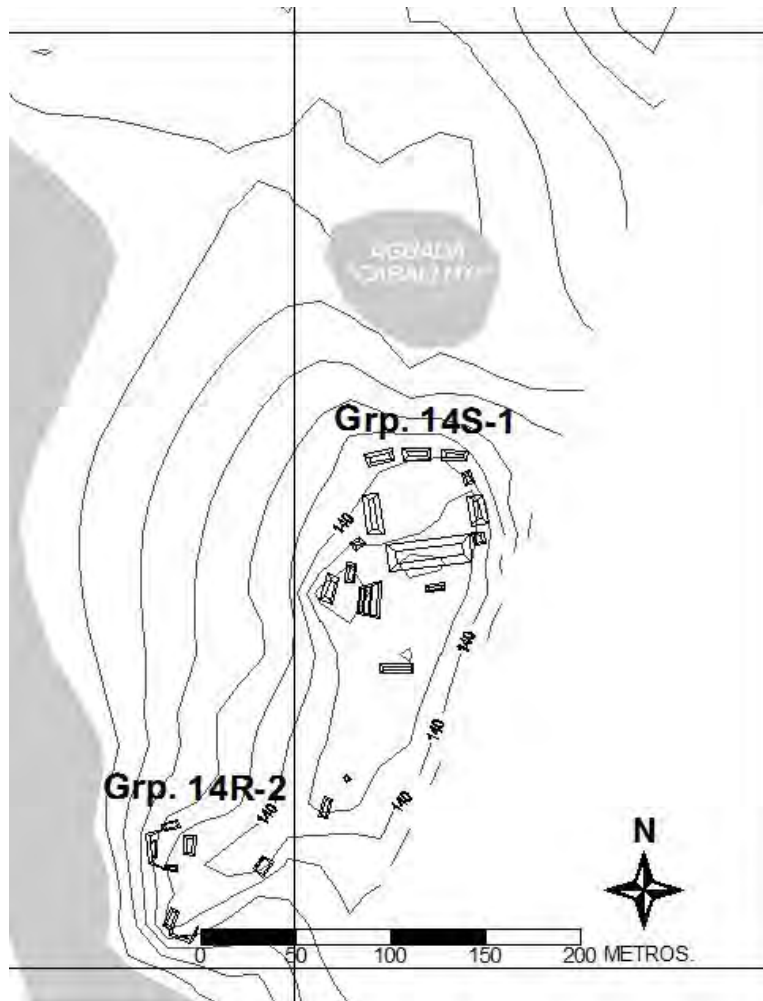


Figura 5.14 Rasgos culturales y topográficos hallados dentro del Cuadrante 14S. (Plano por R. Guzmán).

Cuadrante 15R.

Este cuadrante constituye hasta el momento el extremo sur del mapa. Solamente ha sido explorado su segmento noreste, en donde se halló una buena cantidad de información geográfica, topográfica y cultural. En este segmento del mapa se encuentra el remate sur del sibal El Colmoyote, a partir del cual comienza un terreno elevado hacia el sur y suroeste en donde se asientan grupos arquitectónicos nucleados. Los grupos encontrados son los 15R-1 y 15R-2, de los cuales destaca las grandes dimensiones de la estructura norte del último y su asociación con grandes depresiones en el terreno (Figura 5.15). En esta parte del terreno transita el camino moderno que comunica a los campamentos, el cual se introduce dentro del sibal algunos metros. Es probable que el sondeo de este cuadrante permita avistar otros grupos arquitectónicos, debido a la elevación del terreno útil para la ocupación habitacional.

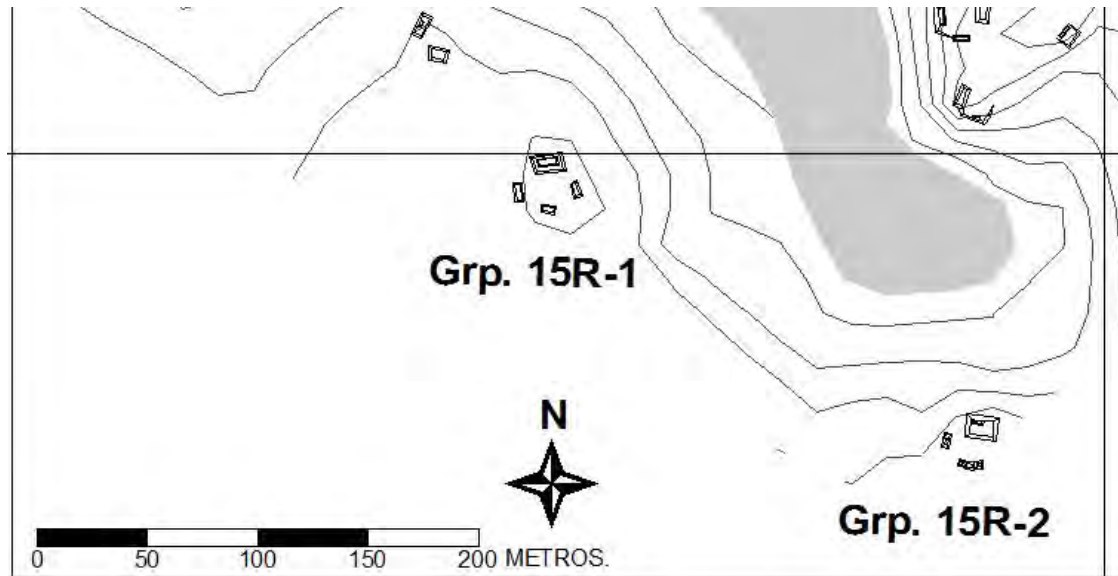


Figura 5.15 Rasgos culturales y topográficos hallados dentro del Cuadrante 15R. (Plano por R. Guzmán).

Localización de las unidades de excavación.

Al final de cada plan de trabajo se suspendieron los trabajos de reconocimiento y mapeo para realizar las mediciones detalladas de las operaciones de excavación. Para realizar esta actividad se trasladó la medida general del sitio a estaciones temporales cercanas a cada operación. La medida general del sitio se obtiene en cualquiera de los 17 bancos de marca instalados y medidos en el sitio durante el proceso de mapeo. Esta medida se trasladó por medio de la estación total hasta elaborar una o varias estaciones temporales en una posición desde la cual se pudieron tomar los datos importantes en cada unidad de excavación. Las estaciones temporales se elaboran con estacas de madera con clavos en el centro o con clavos para lámina galvanizada en las superficies más sólidas. La información obtenida en cada operación fue la siguiente:

- Forma y ubicación de las unidades de excavación mediante la medición de cada uno de los vértices que conforman sus perfiles (esquinas de pozos)
- Datum o cota fija utilizada como referencia arbitraria por los arqueólogos para la medición de profundidades. A partir de este momento este punto de referencia tuvo una altura absoluta en relación a todo el sitio
- Rasgos arquitectónicos como muros y escalinatas
- Ubicación de rasgos culturales como intrusiones, entierros y ofrendas, por ejemplo
- Medición de túneles de exploración

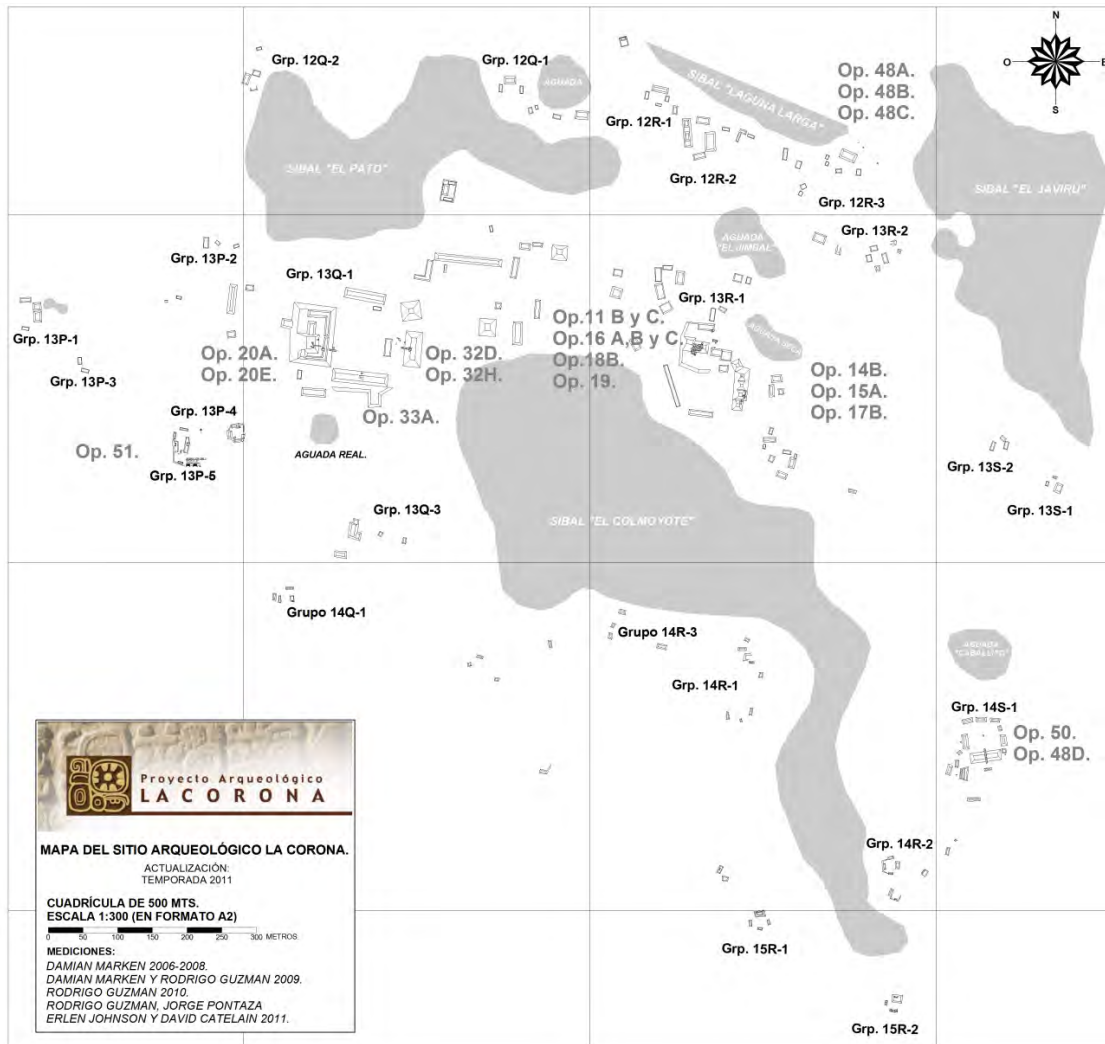


Figura 5.16 Plano del sitio arqueológico La Corona en dónde se muestra la ubicación de las operaciones de excavación (Plano por R. Guzmán).

Prospecciones

Se espera continuar sondeando las partes de los cuadrantes que aún quedan pendientes por explorar o incluir al mapa del sitio. Los rasgos geográficos y topográficos como bajos, aguadas y sibales constituyen barreras naturales que pueden marcar los límites del sitio. Sin embargo, no se han encontrado aún áreas que puedan ser consideradas como tales límites, pues durante las exploraciones de sondeo se ha encontrado una constante presencia de asentamiento en partes altas. Por lo tanto, se pretende explorar las áreas al este del sibal El Colmoyote y al sur de la Plaza Principal, en donde se espera encontrar una concentración de asentamiento arqueológico. Además, se buscará integrar al mapa los sitios grupos periféricos con estructuras de gran tamaño que definirán aún más la configuración urbana del sitio.

Tabla 5.1 Operaciones realizadas durante la Temporada de campo 2011

| Operación | Grupo | Estructura | Arqueólogo |
|------------------|--------------|-------------------|---------------------|
| 11B | 13R-1 | 13R-09 y 10 | A. Cajas. |
| 11C | 13R-1 | 13R-10 | J. Ponce. |
| 14B | 13R-1 | 13R-04 y 05 | J. Baron. |
| 15A | 13R-1 | 13R-02 | J. Baron. |
| 16A | 13R-1 | 13R-10 | J. Ponce. |
| 16B | 13R-1 | 13R-10 | J. Ponce. |
| 16C | 13R-1 | 13R-10 | J. Ponce. |
| 16C | 13R-1 | 13R-10 | A. Cajas. |
| 17B | 13R-1 | 13R-05 | J. Baron. |
| 18B | 13R-1 | 13R-11 | E. Paterson. |
| 19 | 13R-1 | 13R-42 | L. Miguel. |
| 20A | 13Q-1 | 13Q-04 | L. Padilla. |
| 20A | 13Q-1 | 13Q-04 | A. Roche. |
| 20E | 13Q-1 | 13Q-04 | L. Padilla. |
| 32D | 13Q-1 | 13Q-02 | C. Guirola. |
| 32H | 13Q-1 | 13Q-02 | C. Guirola. |
| 33A | 13Q-1 | 13Q-3 | Y.Desailly-Chanson. |
| 48A | 12R-3 | <i>Chultun</i> | C. Cagnato. |
| 48B | 12R-3 | <i>Chultun</i> | C. Cagnato. |
| 48C | 12R-3 | <i>Chultun</i> | C. Cagnato. |
| 48D | 14S-1 | <i>Chultun</i> | C. Cagnato. |
| 50 | 14S-1 | 14S-04 | J. Pontaza. |
| 51 | 13R-5 | Patio. | R. Guzmán. |

Consideraciones finales

El incremento en las dimensiones del mapa implica el conocimiento de más área de asentamiento, con sus respectivos datos topográficos y geográficos. En la Temporada 2011 se logró la integración al mapa de una considerable cantidad de metros cuadrados de información, la cual ofrece una perspectiva diferente del sitio. A pesar que muchos de los asentamientos ahora integrados ya eran conocidos previamente por los investigadores, su integración al mapa ofrece una perspectiva más relativa de la relación de cada uno de éstos con el resto del sitio. Se puede observar cómo la parte norte del sibal El Colmoyote contiene una alta concentración de espacios cívico-ceremoniales, mientras que la parte sur y suroeste posee montículos de menores dimensiones de los cuales aún se desconoce su función, pero podría tratarse de áreas habitacionales. Coincidentemente, las partes más altas del sitio son las que están destinadas para las edificaciones de gran volumen. El sitio estuvo rodeado por cuerpos de agua, donde la topografía permitía que algunas áreas fueran inundables.

Desde una perspectiva de organización social estratificada, se pueden observar dos factores en el terreno que podían ser considerados como marcadores de estatus de los segmentos de la sociedad. El primero fue la cercanía a cuerpos de agua con menor posibilidad de secarse, en algunas áreas incluso se adaptaron de forma artificial como el caso de la Aguada Real. El segundo fue la posesión de áreas con planicies, las cuales son escasas debido a la geografía y geología del área. Además debían ser topográficamente más altas y por lo tanto con menos tendencia a la inundación.

CAPÍTULO VI

OPERACIÓN CR 20: EXCAVACIONES EN EL PALACIO DE LA CORONA, TEMPORADA 2011

Liliana Padilla y Alejandra Roche

El Palacio o Estructura 13Q-4 está ubicada en el área oeste de la Plaza Principal del sitio La Corona. Es uno de los edificios de mayores dimensiones, consistiendo en un basamento de 75 m de norte a sur y de 56 m de este a oeste, alcanzando hasta 10 m en el punto más alto (Superestructura 13Q-4E). Sobre el basamento se han registrado siete superestructuras, identificadas de las letras A a la G y una serie de patios o corredores que permitían el paso a dichos espacios; además de una estructura adosada al pie del basamento en el lado oeste del Palacio (Figura 6.1).

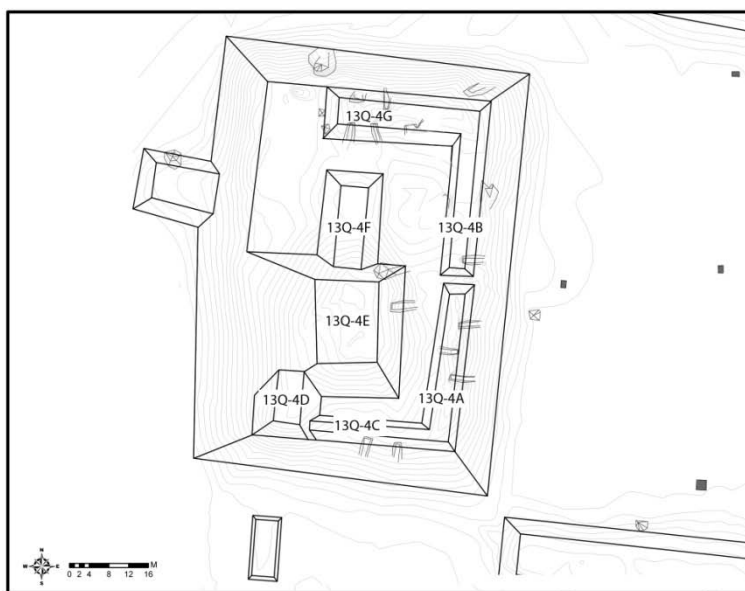


Figura 6.1 Plano del Palacio de La Corona (Estructura 13Q-4) y superestructuras (Mapa por D. Marken)

Durante las últimas dos temporadas de campo se han realizado excavaciones en la fachada principal, ubicada en su lado este y frente a la Plaza Central; también en las Superestructuras A y B; y en el área interna entre las Superestructuras A y E, que consta de un patio pequeño que más podría considerarse como un corredor que une estas dos superestructuras; y la Superestructura C hasta la parte trasera.

Se ha establecido la presencia de una escalinata central que da paso a una entrada única que permite el paso directamente hacia el interior. La extensión de las Superestructuras A y B delimitan el ingreso principal y se extienden hacia los lados del palacio en la fachada central, teniendo cada una cinco puertas que permiten el ingreso a un espacio con una serie doble de cuartos de pequeñas dimensiones, que hasta el momento se conectan entre si y dan paso al interior del Palacio.

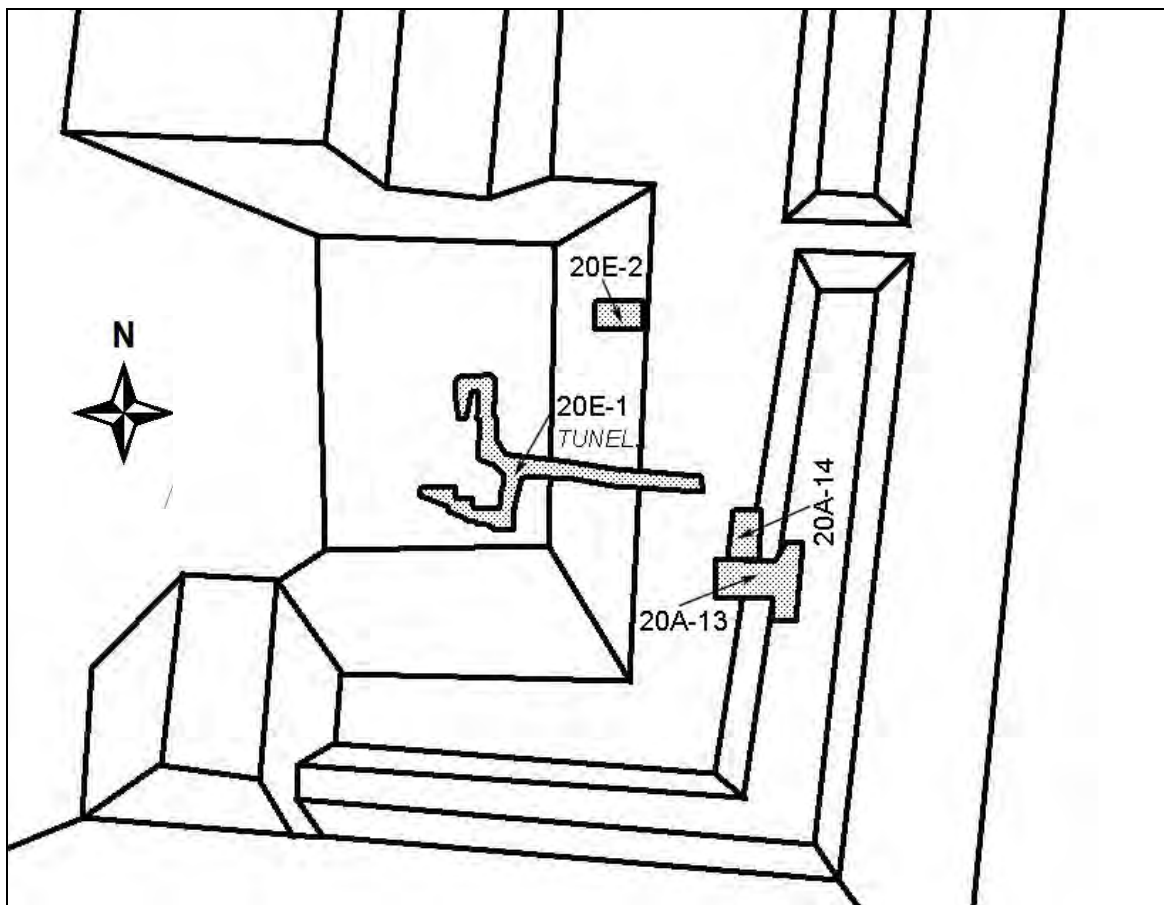


Figura 6.2 Plano del Palacio de La Corona indicando las excavaciones realizadas en 2011
(Mapa por R. Guzmán)

Suboperación CR21A: Fachada Este de la Estructura 13Q-4A (*Alejandra Roche*)

Las excavaciones que se realizaron en el Palacio durante la Temporada 2011, específicamente al este de la Estructura 13Q-4A, tuvieron como un primer objetivo distinguir elementos arquitectónicos de la fachada para entender mejor la relación del basamento Lagarto con las últimas etapas y exponer la etapa Tamarindo. Asimismo se pretendía reconocer diferentes etapas constructivas y encontrar la escalinata en la Superestructura 13Q-4A, paralela a la ubicada previamente en la Superestructura 13Q-4B.

En la Superestructura 13Q-4A se definió una trinchera exploratoria aproximadamente a 14 m al sur del acceso principal central, para determinar elementos arquitectónicos como terrazas y la escalinata de acceso. Inicialmente se realizaron 5 unidades contiguas y después se abrieron tres más, localizadas de forma adyacente a la Unidad CR21A-3, para darle seguimiento a los rasgos hallado en esta última.

Unidad CR21A-1

Esta unidad de 2 x 2 m se ubicó en la base de la Fachada Este de la Estructura 13Q-4A. El objetivo principal fue localizar los cuerpos de la fachada del Palacio para definir mejor su arquitectura. Fueron excavados tres niveles, definiéndose tres estratos, hasta llegar a una profundidad de 0.8 m, sin alcanzar roca madre porque se encontró piso de plaza. Antes de llegar al piso de plaza, se suspendió la excavación debido a que en el segundo nivel se encontró un posible cuerpo de la última etapa constructiva (Escobo), pero destruido (Figura 6.3). Por lo tanto se decidió iniciar la Unidad CR21A-2 al este de la Unidad CR21A-1. Luego de confirmar la ubicación del piso de plaza Perico en la Unidad CR-21A-2 se continuó la excavación y se llegó a nivel de piso.

Unidad CR21A-2

Esta unidad de 2 x 2 m se ubicó directamente al este de la Unidad CR21A-1 y alcanzó una profundidad máxima de 0.5 m. El objetivo principal era localizar el piso de plaza para continuar con las excavaciones en CR21A-1. Fueron excavados 3 niveles, definiéndose 3 estratos, hasta llegar a una profundidad de 0.8 m, sin alcanzar roca madre porque se encontró piso de plaza, posiblemente Perico (Figura 6.3).

Unidad CR21A-3

Esta unidad de 2 x 2 m se ubicó directamente al oeste de CR21A-1. El objetivo principal fue localizar el primer cuerpo del basamento del palacio (Tamarindo) debido a que la terraza correspondiente a la última etapa constructiva (Escobo) se removió porque estaba en muy malas condiciones. Fueron excavados 4 niveles, definiéndose 3 estratos, hasta una profundidad de 1.4 m, sin alcanzar roca madre porque se encontró un muro que es el primer cuerpo arquitectónico del basamento Tamarindo (Figura 6.3).

Unidad CR-21A-4

Esta unidad de 2 x 2 m se ubicó directamente al oeste de CR21A-3 y su objetivo fue continuar descubriendo los cuerpos del basamento Tamarindo, por lo que fue necesario remover los restos del basamento final llamado Escobo. Fueron excavados 3 niveles, definiéndose 3 estratos, hasta llegar una profundidad de 1.3 m, donde se llegó a la superficie del primer cuerpo de Tamarindo, encontrado en la unidad anterior. Cerca del límite oeste de la unidad se descubrió el muro del segundo cuerpo del basamento (Figura 6.3).

Unidad CR21A-5

Esta unidad de 2 x 2 m se ubicó adyacente a la Unidad CR21A-4, en su lado oeste y fue el punto más alto de la trinchera. El objetivo principal era continuar exponiendo las terrazas o cuerpos del basamento de la fase Tamarindo, ubicados en las dos unidades anteriores. Fueron excavados 3 niveles, definiéndose 3 estratos, hasta llegar a una profundidad de 0.9 m. A este nivel se encontró una línea de piedras alineadas, posiblemente una grada (Figura 6.3).

Unidad CR21A-7

Esta unidad de 2 x 2 m, se ubicó al oeste de CR21A-5, con el objeto de continuar exponiendo los cuerpos del basamento Tamarindo encontrados en las unidades anteriores. Sin embargo, en esta unidad ya no se hallaron más cuerpos arquitectónicos sino gradas. Solamente se excavó un nivel hasta una profundidad de 0.8 m, donde se ubicaron los dos escalones (Figura 6.3).

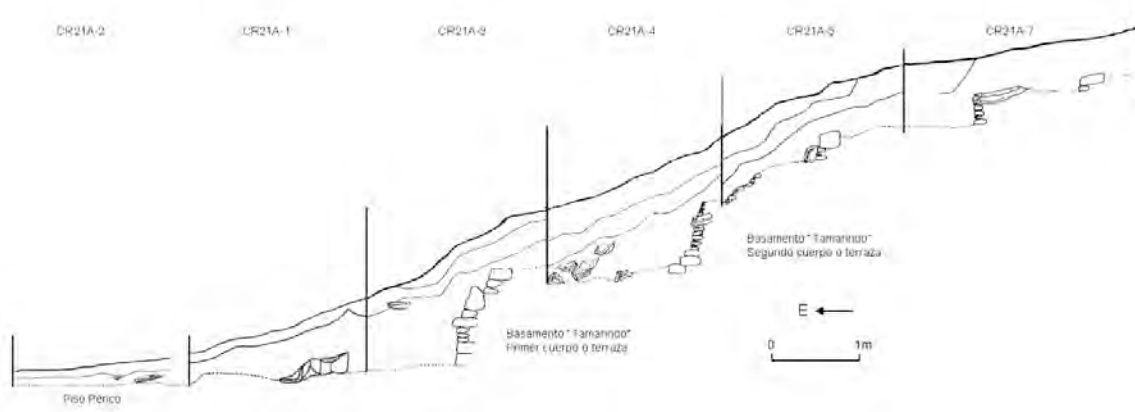
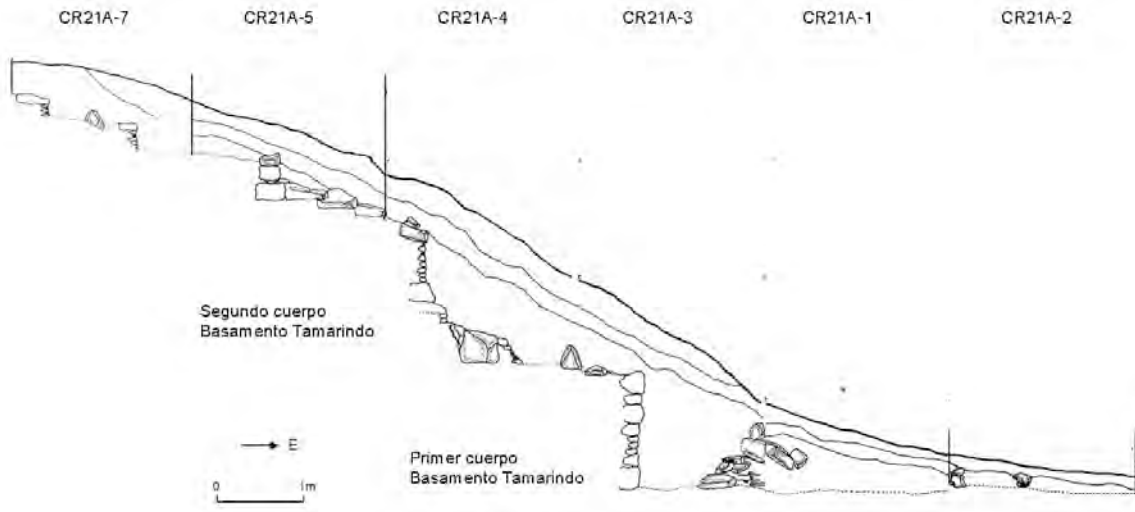
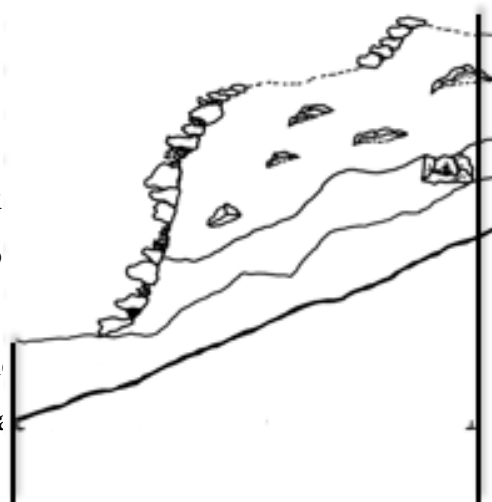


Figura 6.3 Perfiles Norte (arriba) y Sur (abajo) de la trinchera exploratoria en la Fachada Este del basamento del palacio (Suboperación CR21A). (Dibujo por A. Roche)

Unidad CR21A-6

Esta unidad de 2 x 2 m fue continuada exponiendo 3 niveles hasta el oeste y dos gradas (posiblemente) con una posible rampa



ad CR21A-3 y su objetivo principal fue el Tamarindo. Fue necesario un derrumbe en la parte de este a oeste (Figura 6.4)

Humus

Relleno café claro

Escombros



Figura 6.4 Perfil Norte de la Unidad CR21A-6 (Dibujo por A. Roche)

Unidad CR-21A-8

Esta unidad de 2 x 2 m se ubicó entre las Unidades CR21A-3 y 21A-6, y su objetivo principal fue el continuar exponiendo el cuerpo del basamento Tamarindo hallados en la Unidad CR21A-3 y las dos posibles gradas pertenecientes a una escalinata halladas en la Unidad CR21A-6. Fueron excavados 3 niveles, definiéndose 2 estratos y una parte de otro, hasta llegar a una profundidad de 1.7 m, donde se encontró el piso de plaza, posiblemente Golondrina. En general se logró exponer la continuidad el cuerpo definido en la Unidad CR21A-3 (Figura 6.5).

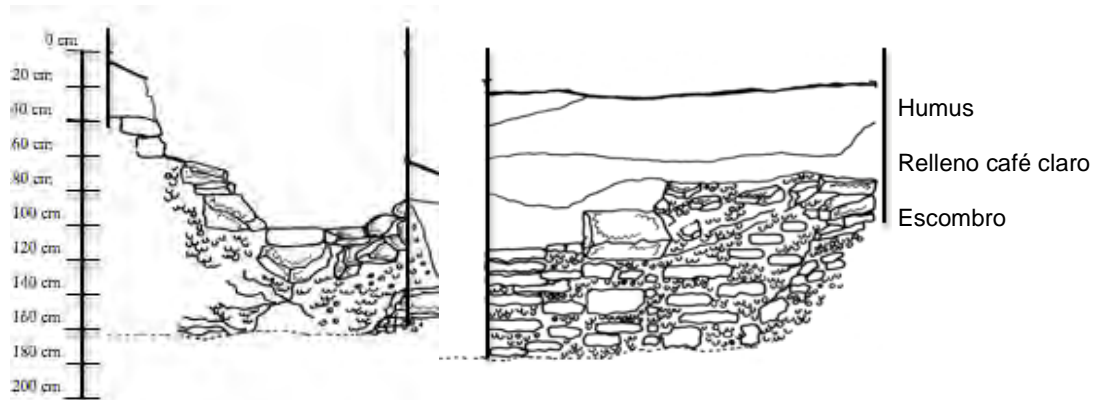


Figura 6.5 Perfil Norte y Sur de la Unidad CR21A-8 (Dibujo por A. Roche)

Conclusiones

Las excavaciones realizadas en la Fachada Este del basamento del Palacio permitieron definir los rasgos de la etapa constructiva previa a la etapa final, denominada Tamarindo debido a que la última, denominada Escobo, estaba casi destruida por completo. Se confirmó la existencia de al menos dos cuerpos arquitectónicos en la Superestructura 13Q-4A, cada uno de al menos 1 m de alto y compuesto por piedras trabajadas que midieron un promedio de 0.2 m de largo. Además, se expusieron tres gradas de 0.3 m de alto compuestas de piedras alineadas de norte a sur y que continúan en la parte superior de la misma. Se halló piso de plaza, posiblemente Perico, y unos centímetros más arriba, el piso Golondrina. Al final se encontró evidencia suficiente para confirmar el hallazgo del límite sur de la escalinata de acceso, la cual sería la misma a la identificada en la Superestructura 13Q-4B. Sin embargo, esto último debe ser confirmado con otras excavaciones.

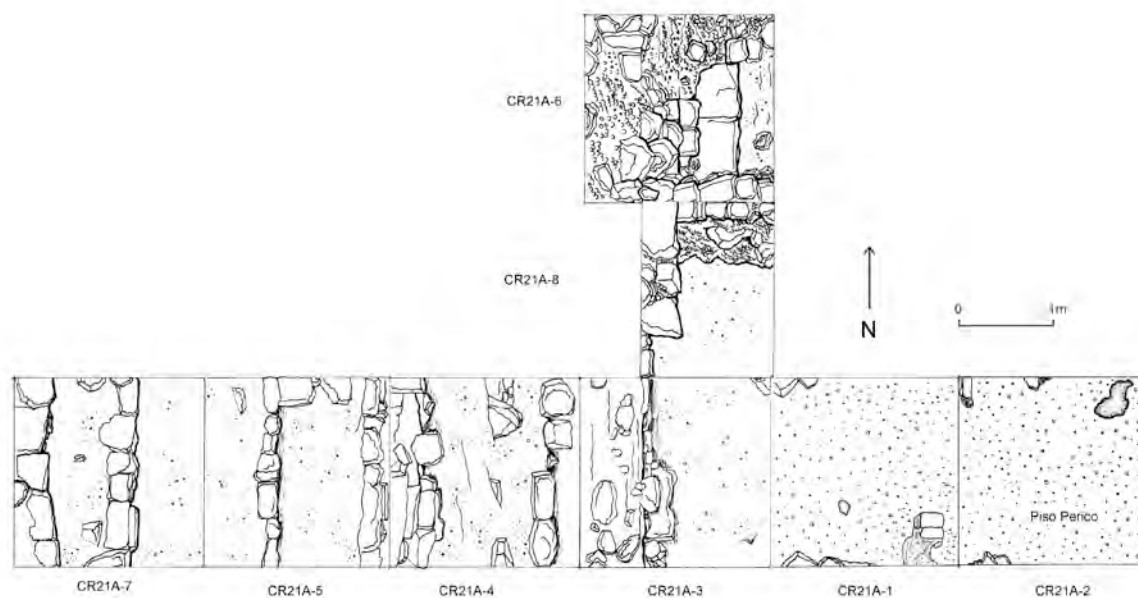


Figura 6.6 Planta de las excavaciones de la Suboperación CR21A (Dibujo y fotos por A. Roche)

Excavaciones en las Estructuras 13Q-4A y 13Q-4E (*Liliana Padilla*)

Por medio de las excavaciones realizadas en el patio entre las Superestructuras 13Q4-A y 13Q4-E (Figura 6.2) se ha registrado el patrón constructivo que se utilizó, además de una serie de diferentes etapas constructivas y diferentes remodelaciones que se hicieron a través del tiempo. Durante esta temporada de campo se pudo aclarar con precisión algunas de las dudas que quedaron durante la temporada 2010 y se amarraron las etapas constructivas y se establecieron con mayor claridad las remodelaciones.

En primer lugar se reabrió la Unidad CR20P-2 con el fin hacer un túnel que permitiera entender el contexto de la escalinata encontrada durante la temporada 2010. El túnel se ubicó en el Perfil Oeste por sobre el nivel del piso, siguiendo esta misma dirección y registrándose con la nomenclatura CR20E-1. También se trazó la Unidad CR20A-13 a 3 m al sur del saqueo CR20P-3, el cual se limpió y registró durante la temporada anterior. Esto permitió vincular esta área con la excavación de la trinchera realizada por Alejandra Roche, la cual descubrió la fachada del basamento de la Superestructura 13Q-4A. La Unidad CR20A-14 se trazó con el fin de unificar las Unidades CR20A-13 y CR20P-2, aclarando los rasgos encontrados y la relación de pisos. Finalmente se realizó una limpieza del único saqueo que tiene la Superestructura 13Q-4E, la cual se encuentra en el área norte de su Fachada Este y consiste en un corte de alrededor de 2 m de ancho por 6 m de profundidad hacia el centro de la superestructura y que cubre la altura total de la misma.

La nomenclatura utilizada para el control de las unidades continuó la numeración de temporadas pasadas, e incluyó el nombre del sitio, número de operación, letra de suboperación, número de unidad y número de lote: CR-20A-0-0 (Padilla 2010). En general, en esta temporada se realizaron excavaciones más puntuales, dirigidas a la localización de subestructuras ubicadas debajo de las Superestructuras 13Q-4A y 13Q-4E y para tratar de aclarar los rasgos encontrados durante temporadas pasadas y registrar la secuencia de etapas y remodelaciones que sufrió el Palacio durante su ocupación. El material fue bastante escaso debido a la naturaleza de las excavaciones, aunque se recuperaron fragmentos de material cerámico, estuco, estuco pintado y piedra caliza tallada; así como una mínima cantidad de obsidiana y concha.

Objetivos

Debido a que se ha podido establecer una teoría sólida de cómo fue la fachada principal del Palacio, las excavaciones se enfocaron en detallar la apariencia interna de la Superestructura 13Q-4A y aclarar la relación de la misma con la escalinata de la subestructura encontrada en la Unidad CR20P-2. Además, se buscó registrar la existencia de otras subestructuras y su relación con las superestructuras, además de tratar de establecer las diferentes etapas constructivas y remodelaciones que sufrió el Palacio a través del tiempo y amarrarlas con los datos obtenidos en las temporadas previas.

Descripción de las Excavaciones

Sub-operación CR20A

Esta se ha venido trabajando desde la temporada 2010 (Padilla 2011), definida en la Superestructura 13Q-4A, la cual ha sido investigada en su Fachada Este para poder determinar la existencia de cuartos y accesos desde la escalinata principal y su relación con el patio interno ubicado en su lado oeste.

Unidad CR20A-13

Se trazó 3 m al sur del saqueo registrado como CR20A-3 en 2010 y directamente al oeste de las unidades excavadas por Alejandra Roche. Es decir, se localizó en el lado oeste de la Superestructura 13Q-4A, en el área del patio interno entre ésta y la Superestructura 13Q-4E. Su excavación permitiría abarcar tanto parte interna como externa de la superestructura y la grada superior de la escalinata encontrada en la Unidad CR20P-2.

Los Lotes 1 y 2 de la unidad consistieron en tierra, piedras y restos de estuco que parecen ser escombros de los muros, además de material cerámico mezclado y erosionado, así como restos de huesos de animal y estuco. El tercer lote se marcó por la aparición de lo que parece ser estuco calcificado que posiblemente fue colocado con el fin de sellar la habitación, en donde se redujo drásticamente la cantidad de material cerámico que se encuentra cubierto de estuco. Se alcanzó el nivel del piso Chachalaca, el cual se ha registrado dentro de las habitaciones en el área Este de la Superestructura 13Q-4A. En la Unidad CR20A-12 también se había encontrado en perfecto estado de conservación.

La arquitectura expuesta en esta unidad consistió de un acceso o puerta que permite el paso del patio interno hacia la habitación, el cual está limitado por muros similares a los encontrados en la Fachada Este. Los muros tienen un ancho de 90 cm, contruidos de piedra cortada y estucados, del cual quedan restos *in situ* (Figuras 6.7 a 6.9).

En la parte interna, cerca del muro norte, se registró un pequeño depósito de ceniza mezclada con cerámica (Lote 4), ubicado dentro del piso, el cual fue cortado y socavado de forma oval, midiendo 65 cm de norte a sur, 55 cm de este a oeste y 18 cm de profundidad máxima (Figura 6.8). Se localizaron fragmentos de cerámica en el borde delimitando el contorno, por lo que seguramente se utilizó para la quema de algún material colocado en el centro. Posiblemente se trate de una ceremonia de cierre de la habitación. Se recuperó material cerámico, un fragmento de concha, dos fragmentos de hueso de animal y restos de carbón.

Con el fin de observar el resto de la habitación se inició un registro en el Perfil Este de la unidad (Lote 5), a nivel de piso con 1.3 m de alto y 90 cm de ancho. A 1.2 m se topó con el muro central de la superestructura que divide las habitaciones del este y oeste, por lo que hasta el momento no se ha podido registrar ningún acceso que permita el paso entre las habitaciones. Con ello se continuó el registro hacia el sur, en donde se encontró el muro que limita la habitación en esta dirección, por lo que parece haber un espacio restringido que permite el paso a la habitación contigua. En este lote se recolectó material cerámico, fragmentos de hueso animal, dos pequeños fragmentos de obsidiana y uno de concha.

Finalmente se realizó un pequeño registro de 60 x 40 cm por 28 cm de profundidad en el piso, en el área pegada al muro, con el fin de seguir los cimientos del muro (Figura 6.8). Además se limpió un espacio que fue destruido por los saqueadores desde el lado este del muro.

Al finalizar la excavación se pudo constatar que todo el interior de la habitación consiste en estuco sólido, bastante duro y poco material cerámico (Figura 6.9). En el área sureste de la habitación se recuperó dentro del relleno un pequeño fragmento de piedra caliza que parece haber formado parte de un glifo. Hacia el oeste se registró el límite del piso que forma una grada, la cual baja hasta el piso Guacamaya y la cara de los muros que parecen continuar a cada lado.

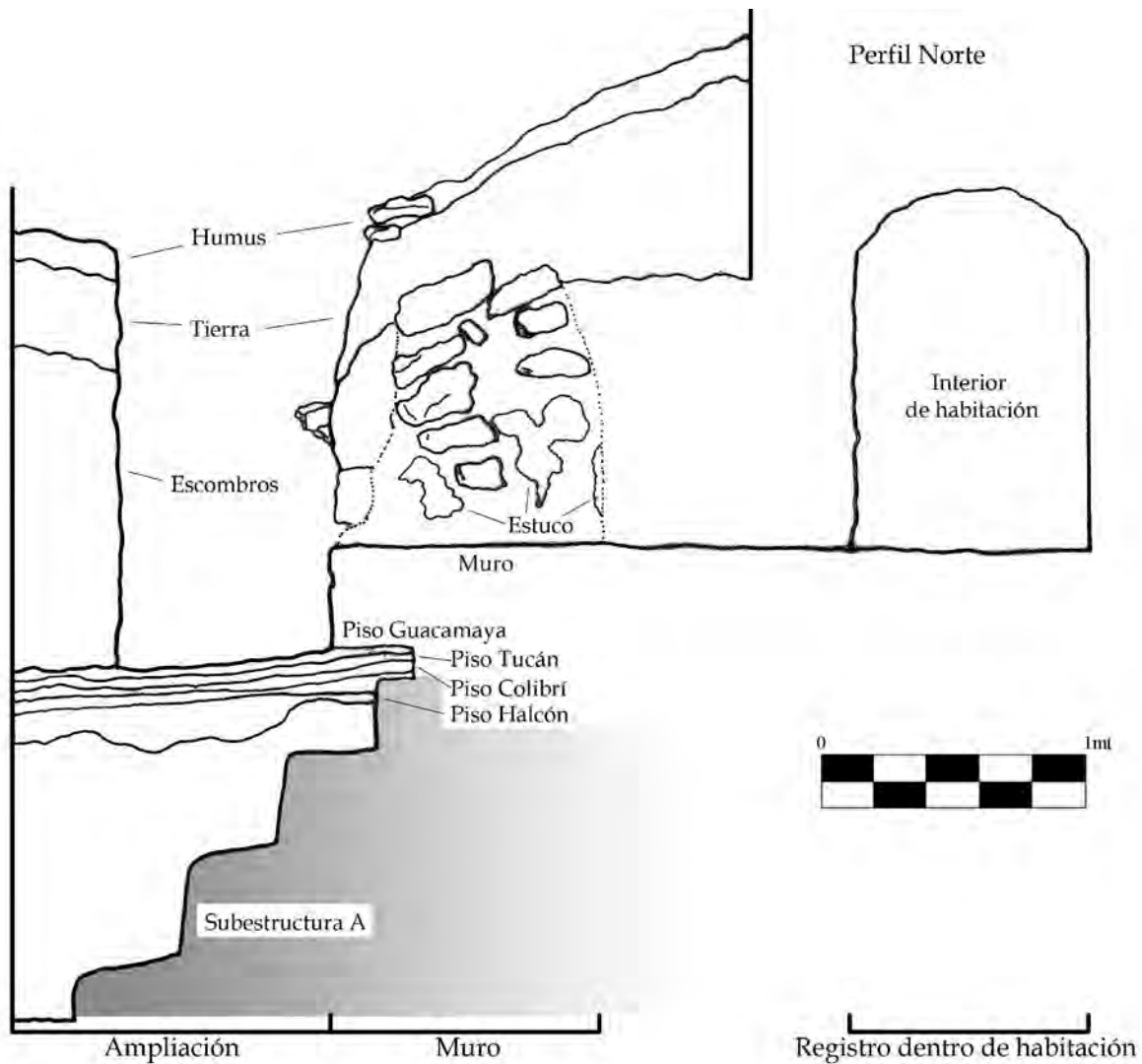


Figura 6.7 Perfil Norte, Unidad CR20A-13 (Dibujo por L. Padilla)

Con el fin de poder amarrar los pisos con la escalinata encontrada en la Unidad CR20P-2, se amplió la unidad un metro al oeste. Los primeros niveles consistieron en los Lotes 6, 7 y 8 de la unidad, que corresponden al estrato superior de humus y tierra mezclada con piedras y estuco que formaron parte de la superestructura. Se recolectó poco material. Se continuó bajando el nivel al pie de la grada del piso Chachalaca (Lote 9), y a 40 cm de profundidad se localizó el piso Guacamaya, que es el nivel del patio y marca una grada en el ingreso a la estructura (Figura 6.7). El Lote 10 consistió en la remoción de los pisos Guacamaya, Tucán, Colibrí y Halcón, los cuales se encontraron bastante erosionados y se hizo difícil distinguirlos en su totalidad.

En el Lote 11 se alcanzaron y registraron las cuatro gradas superiores de la subestructura, que inician en la Unidad CR20P-2 tres metros al sur de ésta y continúan hacia el sur. En esta sección se realizó un pequeño registro que permitió observar la continuación de la grada superior por debajo del piso Chachalaca. Inicialmente, debido a la evidencia encontrada durante la limpieza del saqueo CR20A-3, se creía que la grada había sido cortada para la construcción de la última etapa constructiva. Sin embargo, en este registro parece seguir formando lo que sería el piso superior de una construcción previa que fue destruida para la colocación de la que se observa en superficie actualmente. Así, las gradas fueron cubiertas por el relleno y después se niveló todo con el piso Halcón (Figura 6.7). Se recolectó poco material de estos tres lotes.

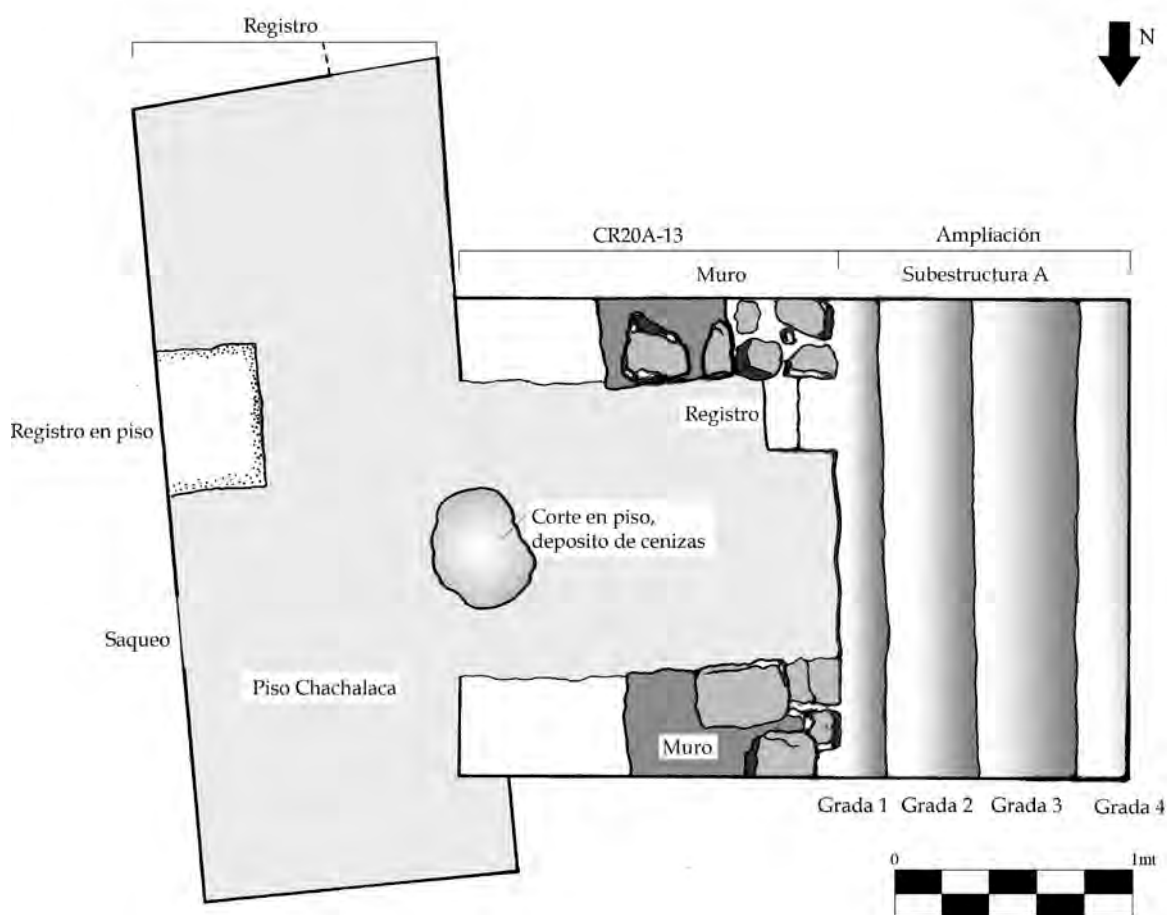


Figura 6.8 Planta de excavaciones de la Unidad CR20A-13 y extensiones (Dibujo por L. Padilla)



Figura 6.9 Excavaciones de la Unidad CR20A-13 y extensiones (Fotos por L. Padilla)

CR20A-14

Esta unidad se trazó con el fin de unir las Unidades CR20A-13 y CR20P-2, registrando la Fachada Oeste del muro de la Superestructura 13Q-4A. Se continuó con el nivel del piso Guacamaya, que también se convierte en el estuco que recubrió el muro. El muro tiene un pequeño zócalo de 30 cm de alto y 4 cm de ancho que sobresale de la cara del muro (Figura 6.10). De este muro se conservó 1.04 m de alto y se registraron 2.96 m de ancho del mismo hasta llegar a otro acceso, repitiendo el patrón de la Fachada Este. Los tres lotes consistieron en escombros y humus, con material cerámico, fragmentos de hueso y concha.

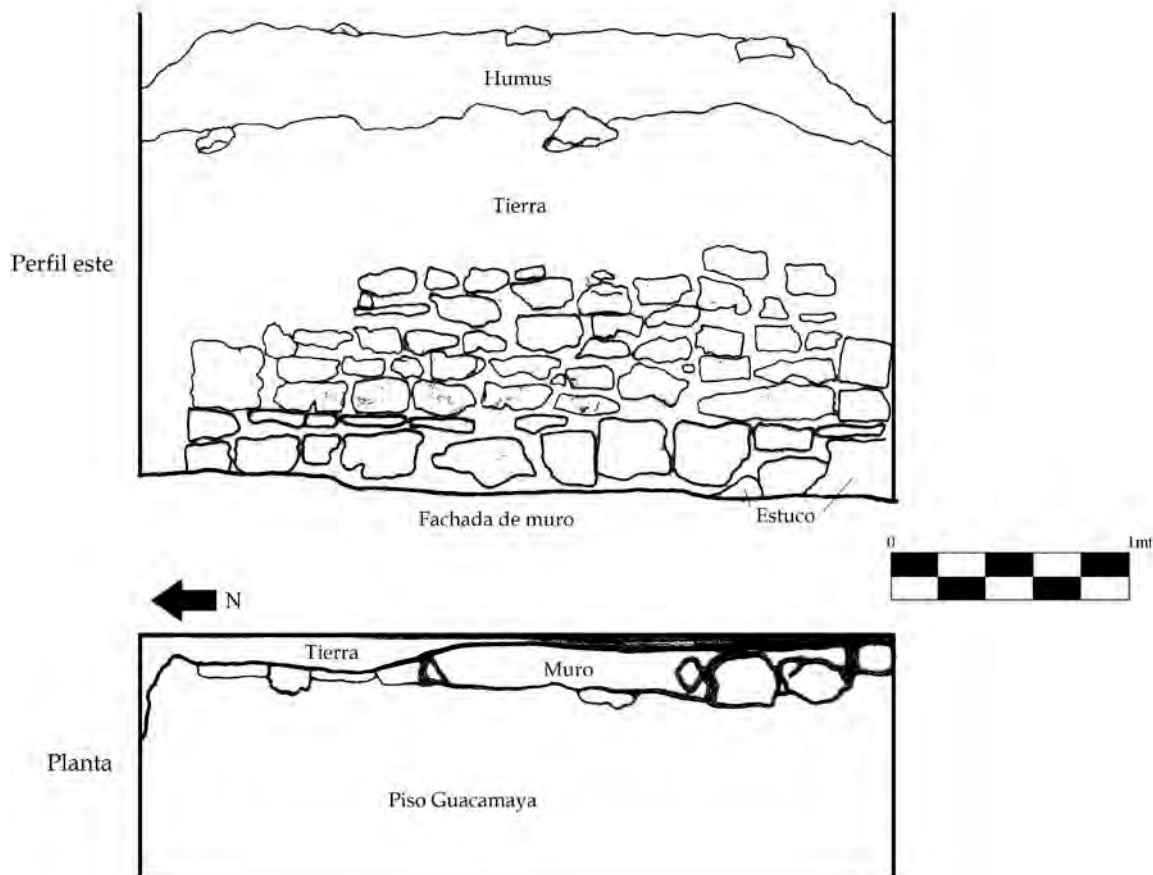


Figura 6.10 Perfil Este y planta de la Unidad CR20A-14
(Dibujo por L. Padilla)

Suboperación CR20E

Se definió esta suboperación con el objetivo de iniciar excavaciones en la Superestructura 13Q-4E, tanto para conocer la arquitectura de la misma como la existencia de subestructuras en su interior.

Túnel CR20E-1

Se ubicó directamente al oeste de la Unidad CR20P-2, iniciando en el Perfil Oeste y al lado sur de un muro de contención del relleno y por sobre el nivel del piso Coccochan. Debido a que se trata de un túnel, los lotes fueron arbitrarios y se controlaron según la profundidad horizontal que se alcanzó, siendo sistemáticos en medidas y no en cambios en el relleno. El túnel tiene un metro de ancho por 1.7 m de alto, aunque esta medida varió según el relleno, ya en algunos casos alcanzó 2 m de alto (Figura 6.11).

El primer lote se definió desde el inicio en el perfil hasta los 4.5 m de profundidad; el segundo de 4.5 a 6 m de profundidad; y desde el tercer lote hasta el sexto se marcaron a cada metro de profundidad. En éstos no se encontró ningún rasgo más que el nivel del piso Coccochan que continuó sin variación y el material fue escaso. El resto de los lotes se marcaron por la aparición de rasgos arquitectónicos y cambios en el relleno (Figuras 6.11).

El relleno de la primera sección del túnel consistió en el muro de contención observado en el Perfil Norte de CR20P-2, formado por piedras pequeñas mezcladas con piedras de mediana dimensión, amarrada con material arcilloso de color café rojizo. El túnel no presentó cambios hasta llegar los 6.24 m, donde terminó el muro de contención en el Perfil Norte, mientras el Perfil Sur no sufrió ningún cambio. Desde el final del muro de contención (6.24 m) hasta los 7.7 m, el relleno cambió a piedras de grandes dimensiones colocadas de forma ordenada y rodeadas con barro café rojizo y pedrín con piedras de medio tamaño amarradas por pedrín en la parte superior. El relleno cambió nuevamente de forma drástica a los 9.10 m, en donde se convirtió en una serie de capas ordenadas de piedras pequeñas, pedrín de diferentes tonos y capas de mezcla de entre 10 y 15 cm de grosor que parecen pisos (Figura 6.11).

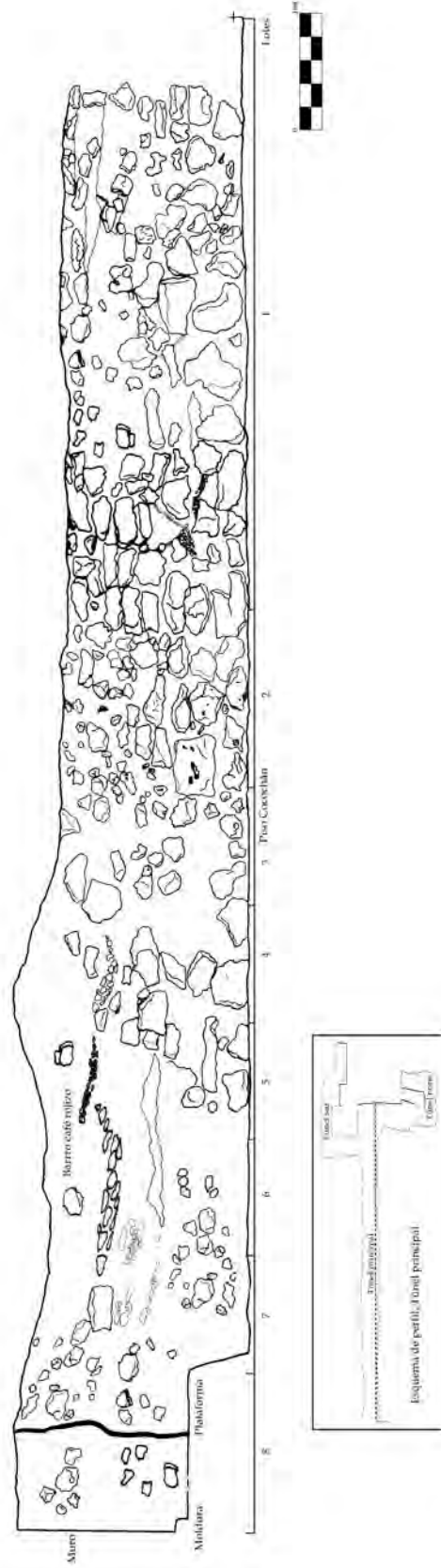


Figura 6.11 Perfil Norte del Túnel Principal, Unidad CR20E-1 (Dibujo por L. Padilla)

A 10.2 m de profundidad en línea recta hacia el oeste se localizó la esquina de una grada de 60 cm de huella y 30 cm de contrahuella. La grada estuvo levemente inclinada y su esquina estaba curvada, y se observaron restos de repello de estuco y una mampostería más fina que la registrada en la arquitectura de las Superestructuras 13Q-4A, 13Q-4B y 13Q-4E. Al seguir excavando se descubrió que la grada esta adosada a una plataforma de 70 cm de alto, que presentó el mismo patrón constructivo y con el estuco en mejor estado de conservación (Figuras 6.11 y 6.12). Cabe resaltar que el estuco se encuentra dañado mayormente por el barro café rojizo, por sobre el cual se colocó el relleno de piedras.

Se continuó el túnel en línea recta sobre la superficie de la plataforma, hasta topar con un muro que se asienta sobre la plataforma, ubicado a 12.6 m de profundidad desde el inicio del túnel (Figura 6.12). El muro se encuentra estucado y pintado de rojo, y aún cuando el relleno hizo bastante daño en la superficie del estuco, éste se encuentra bastante bien conservado (Figura 6.13). En la parte inferior del muro se descubrió una pequeña moldura que sobresale como un zócalo, la cual tiene 16 cm de ancho y 14 cm de alto. Con el fin de seguir el muro y conocer el límite norte del mismo, se inició la excavación del Túnel Norte hacia esta dirección, manteniendo las dimensiones del Túnel Principal.

A 2.3 m desde el cruce al norte se encontró la esquina del muro, donde también termina la plataforma, la cual desciende a manera de talud hasta alcanzar el piso Coccochan (Figura 6.14). Adosado a la esquina de la estructura se registró un muro menor calidad, el cual tiene una extensión de solo 1.66 m hacia el norte, ya que fue cortado. También mide 1.92 m de alto, ya que se asienta directamente sobre el piso Coccochan. El adosamiento se realizó donde el estuco se curva para cubrir la parte superior del muro, por lo que se agregó 40 cm más de altura al muro. Dicho muro también esta cubierto por estuco pintado de color rojo, aunque solamente hasta los 1.60 m de altura. El resto presenta la mampostería expuesta. Parece que esta sección fue deliberadamente destruida y fue cubierta con un relleno fino hecho con piedras de pequeñas dimensiones, el cual es limitado por un muro de contención ubicado a 80 cm de la esquina de la estructura. El ancho total del muro adosado es de 60 cm, cuyo frente se encuentra estucado y pintado de rojo, mientras la parte trasera esta estucada sin color. El Túnel Norte continuó de menor dimensión hacia el oeste y por detrás del adosamiento, corroborando que la plataforma, muro, banqueta y piso continúan al oeste (Figura 6.13).

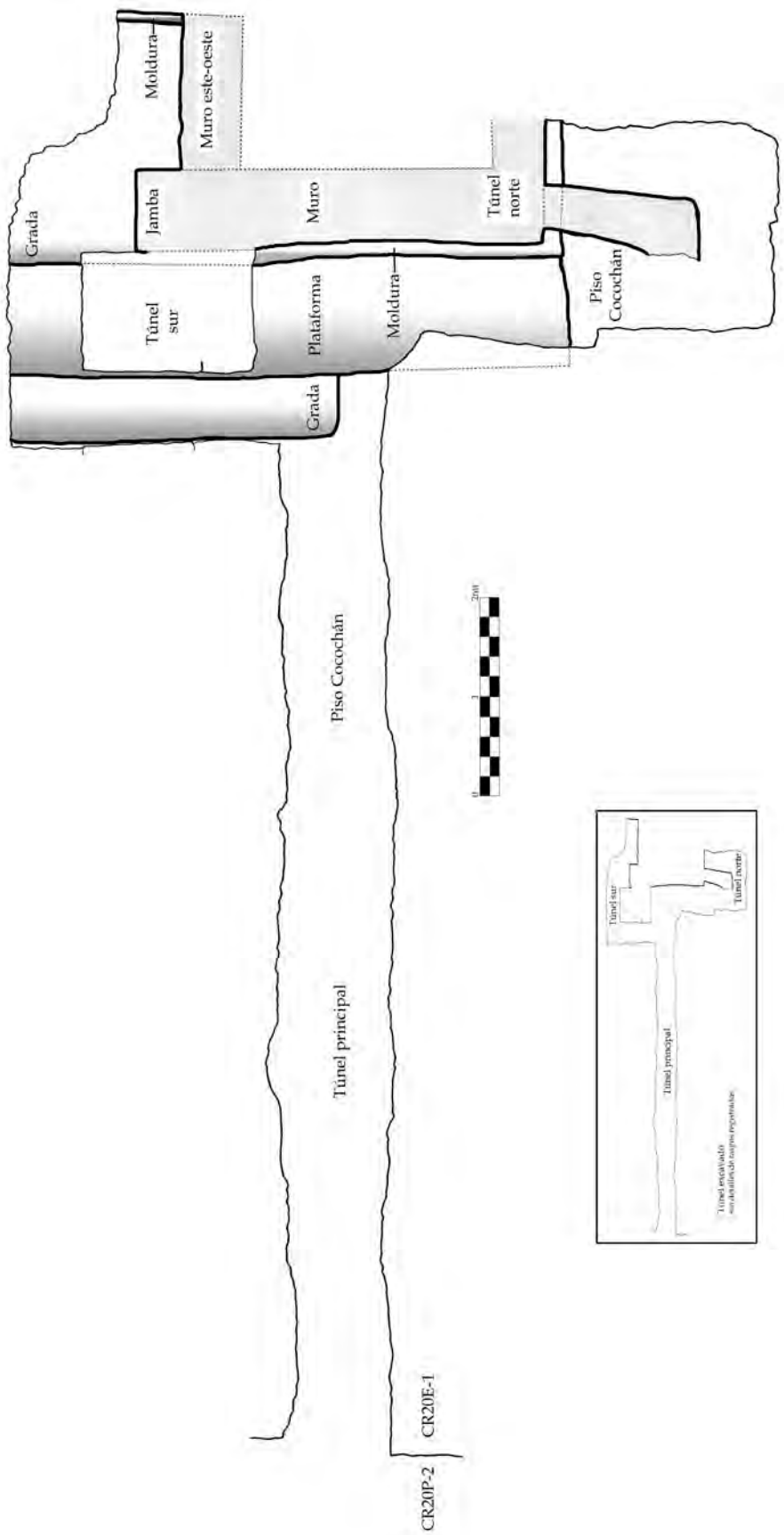


Figura 6.12 Planta del Túnel Principal y sus anexos Norte y Sur, Unidad CR20E-1 (Dibujo por L. Padilla)

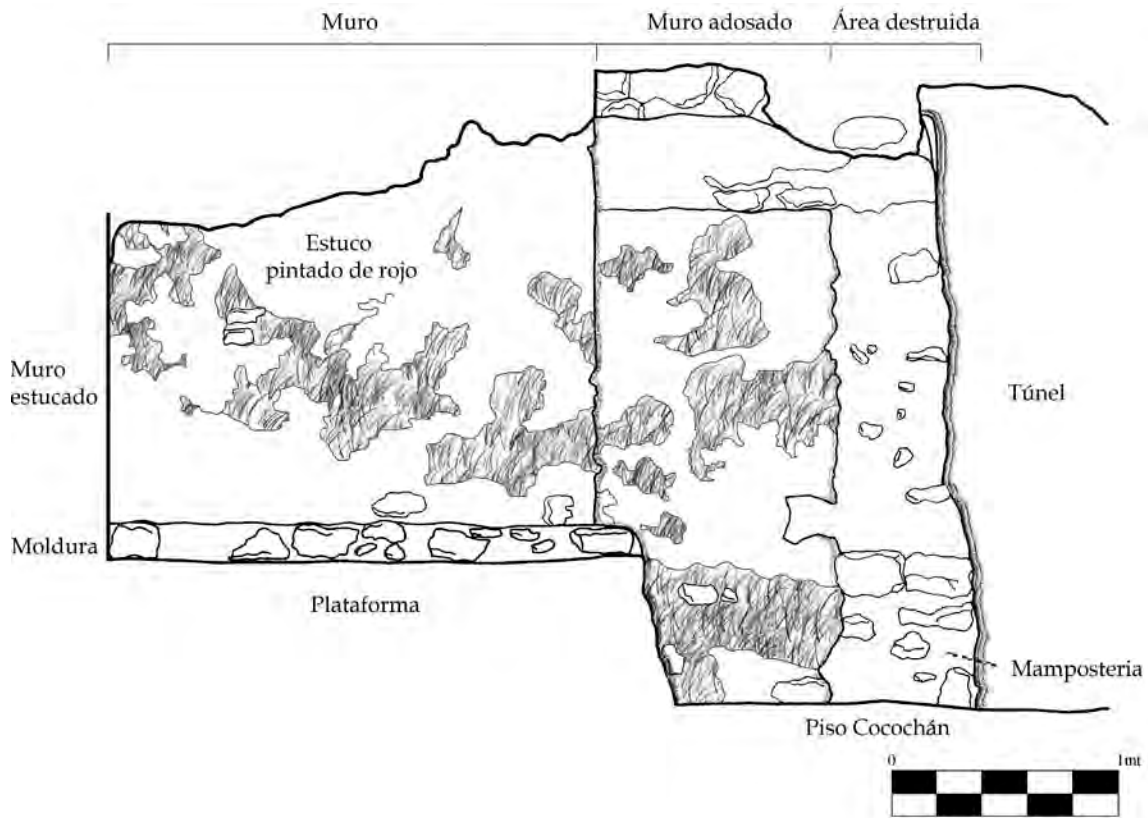


Figura 6.13 Perfil Oeste, Unidad CR20E-1, Esquina Noreste de la Estructura 13Q-4E-Sub (Dibujo por L. Padilla)

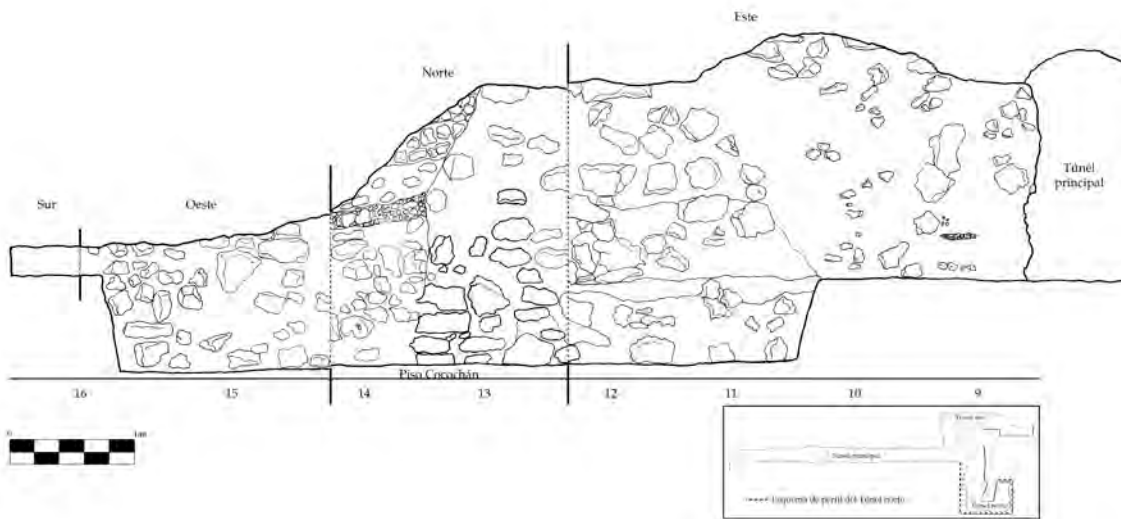


Figura 6.14 Perfiles Norte, Este y Oeste del Túnel Norte, Unidad CR20E-1 Esquina Noreste de la Estructura 13Q-4E-Sub (Dibujo por L. Padilla)



Figura 6.15 Excavaciones del Túnel CR20E-1 (Fotos por L. Padilla)

Debido a la naturaleza de la excavación y a los limitantes de la temporada, se decidió dejar el Túnel Norte hasta ese punto. Por lo tanto la excavación se enfocó en localizar la entrada de la estructura, por lo que se decidió hacer un túnel hacia el sur, siguiendo la grada registrada en la fachada. Este túnel no se realizó pegado al muro debido a lo inestable del relleno.

A 1.1 m del perfil del Túnel Sur, se marcó un cambio drástico en el relleno, ya que pasó de ser un relleno desordenado de piedras de diversas dimensiones y desordenadas, a un relleno más estable de piedras relativamente rectangulares y colocadas de forma ordenada, amarradas por barro fino de color café. Dicho relleno continuó por un espacio de 1.26 m y luego cambió de nuevo a un relleno que parece ser un muro, con piedras cortadas de forma rectangular colocadas ordenadamente y amarradas por una tierra fina de color amarillento. Luego cambió de nuevo al mismo relleno de piedras de diversas dimensiones y desordenadas.

En ese punto se decidió cruzar el túnel al oeste, buscando el ingreso a la estructura o la continuidad del muro. Inmediatamente se encontró la plataforma por un espacio de 1.32 m y luego se observó la continuidad de la moldura del muro. En esta sección la moldura se transformó en una pequeña grada que continúa como el piso interno de la estructura, por un espacio de 3.3 m. Sobre el nivel de este piso se encontró la jamba norte del acceso a la estructura (Figura 6.12). La jamba tiene 1.06 m de ancho y esta alisada con una capa de estuco pintado de rojo en buen estado de conservación. Al localizarse la esquina oeste de la jamba se siguió el túnel en dirección norte para poder ingresar a la estructura siguiendo los muros internos. Sin embargo, a 48 cm de la esquina en mención, se topó con un muro adosado que tiene orientación hacia el oeste. Este último se encontró repellido con estuco amarillento, aunque quizá el color se deba al relleno que lo cubría. Dicho muro interno continúa por un espacio de 2.96 m hasta topar con otro muro orientado de norte a sur, que presentó una moldura en la parte inferior, igual a la fachada, y que bien podría ser el escalón de acceso a otro cuarto.

En resumen, el Túnel CR20E-1 localizó buena parte de la fachada de una Subestructura bajo 13Q-4E, la cual consiste en un edificio construido sobre una plataforma de 70 cm de alto, con una grada de acceso en su parte central. El muro que se eleva sobre la plataforma está estucado y pintado de rojo. También se localizó una puerta o acceso en lo que hasta ahora parece ser el centro de la estructura, y dentro de la misma solamente se pudo registrar una serie de muros que parecen limitar un pequeño espacio interno. La altura máxima que se registró del muro fue de 1.7 m sobre la plataforma, la cual se eleva a 70 cm de alto en relación al piso Cocochan. El material recuperado en todo el túnel fue bastante escaso sin mostrar diferencia entre los diferentes tipos de relleno o lotes. Los fragmentos de estuco mostraron pintura de color rojo tanto para los que estaban en contextos arquitectónicos como los fragmentos dentro del relleno.

Unidad CR20E-2

Esta unidad se ubicó en el único saqueo que tiene la Superestructura 13Q-4E, el cual se encuentra en la Fachada Oeste. La trinchera de saqueo inicia a nivel de suelo del patio y se eleva a todo lo alto de la Superestructura por un espacio de 6.2 m de largo y 1.9 m de ancho. El objetivo de la unidad fue distinguir rasgos arquitectónicos de la Superestructura y hacer un pozo que permitiera la unificación con el Túnel CR20E-1.

Inicialmente se limpió el saqueo tratando de descubrir los perfiles y detalles arquitectónicos dañados por los saqueadores. Entre ellos se registró un piso en la parte superior que debe tratarse de la última etapa constructiva, restos de una posible escalinata en el Perfil Sur y diferentes capas de mezcla y pedrín. En el Perfil Norte se reveló un muro de contención que permitía darle más estabilidad y resistencia al relleno de piedra burda (Figura 6.16).

En la parte central, pegado al fondo del saqueo, se trazó un pozo de 2 x 2 m. A 5.6 m dentro del saqueo se localizó un alineamiento de piedras orientado de norte a sur, por lo que se decidió extenderse hacia el este. Consiste en un muro de contención que atraviesa de norte a sur por debajo del mencionado anteriormente (Figura 6.17). Está hecho de piedras de grandes dimensiones y colocadas de forma ordenada dando estabilidad y soporte por medio de una leve inclinación.

Hacia el este del muro se observó el tipo de relleno que se registró en la Unidad CR20P-2, por debajo del piso Halcón, que consiste en piedras de diversas dimensiones amarradas con tierra de color café rojizo. En este punto se suspendió la excavación por finalizarse la temporada de campo.

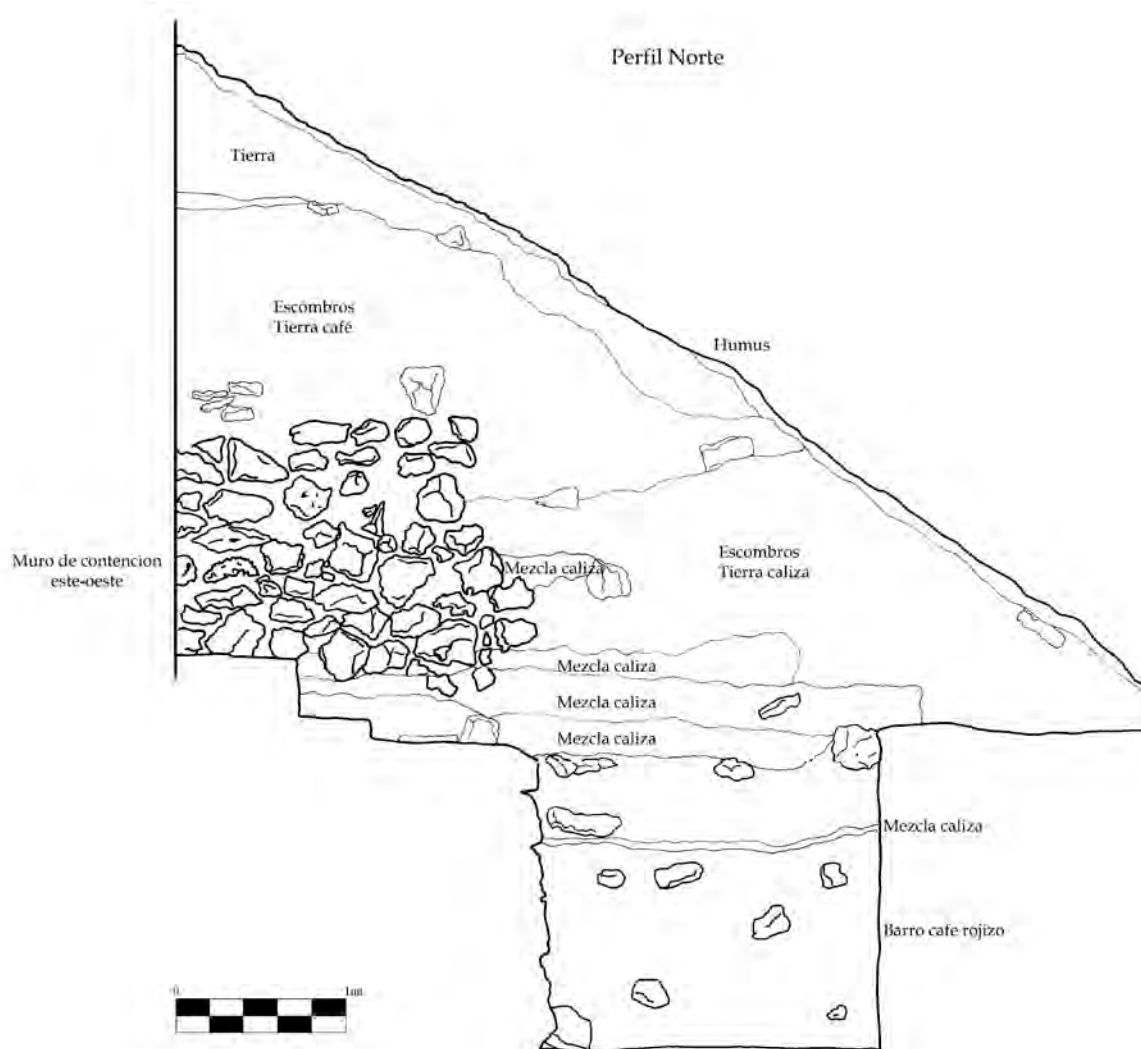


Figura 6.16 Perfil Norte, Unidad CR20E-2 (Dibujo por L. Padilla)

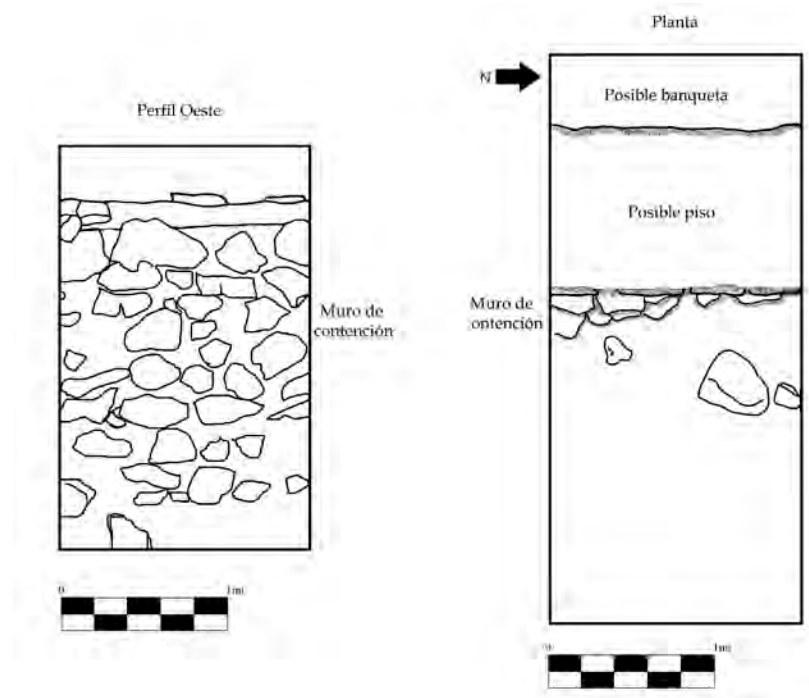


Figura 6.17 Perfil Oeste y planta de la Unidad CR20E-2 (Dibujo por L. Padilla)

Conclusiones

Debido a que se han acumulado los resultados de tres temporadas de campo, se hace necesario amarrar ciertos detalles para aclarar la arquitectura del palacio en su etapa final y la comprensión de las diferentes etapas constructivas y remodelaciones hasta ahora localizadas.

El palacio tiene su fachada principal en el lado este, viendo hacia la Plaza Principal. Esta consiste en un basamento de 6 m de alto por un ancho de 76 m. Al parecer contaba con una escalinata central que era al único acceso directo del palacio y otras dos más asociadas a las Superestructuras 13Q-4A y 13Q-4B. No se conoce el ancho de las escalinatas, sin embargo, los accesos de las Superestructuras tienen 1.5 m de ancho, limitando la visión hacia el interior y permitiendo el resguardo a dicho espacio. En la fachada hay un descanso que separa el cuerpo de la estructura y las escalinatas, y es formado por una banqueta sobre la cual se asientan las Superestructuras 13Q-4A al sur y 13Q-4B al norte.

Dichas superestructuras estaban completamente decoradas, aunque su arquitectura es sencilla, hecha con mampostería de piedra poco trabajada y bastante burda, amarrada con mezcla y alisada con una gruesa capa de estuco. Lo que queda de los muros no alcanzan más de 1.8 m de alto en los espacios hasta ahora excavados. Entre el estuco recuperado hay una serie de fragmentos de detalles en bajo relieve que decoraron las superestructuras, tanto en la fachada como en los muros en la parte interna del Palacio. Dentro de las habitaciones no se ha encontrada nada que indique que hubiese este tipo de decoración, aunque algunos de los fragmentos tienen restos de pintura color rojo.

Cada superestructura tiene diez habitaciones de pequeñas dimensiones, cinco en el frente con accesos que dan hacia la fachada y cinco habitaciones con accesos a los patios internos. Se ha podido establecer la conexión de las habitaciones de norte a sur por medio de pequeños espacios que permiten el paso, sin embargo no se registró ningún paso entre las habitaciones del este al oeste.

Dentro de las habitaciones se registró un mismo nivel de piso el cual se conoce como Chachalaca, que en la Unidad CR20A-13 se encontró en perfecto estado de conservación. Este piso se encuentra asociado a la última remodelación que sufrió el palacio, ya que sobre este se colocó el material que selló las habitaciones.

El acceso principal al centro del basamento permite el ingreso directo desde el nivel de la plaza, subiendo por la escalinata central entre las Superestructuras 13Q-4A y 13Q-4B, para pasar a los patios internos. El piso que se observa en la última etapa constructiva del acceso y en todo el patio interno entre las Superestructuras 13Q-4A y 13Q-4E se conoce como Guacamaya. Este es el último de una serie de remodelaciones en donde se colocaron pisos sobre pisos, que en orden del más reciente al más antiguo son: Tucán, Colibrí y Halcón. Las Unidades CR20P-1 y CR20P-2 corroboraron la presencia de estos pisos y la colocación del piso Halcón para sellar un relleno masivo.

El relleno bajo el piso Halcón cubrió las Subestructuras 13Q-4A-Sub y 13Q-4E-Sub, así como otros rasgos relacionados con el nivel del piso Cocochan. Este relleno marca un cambio importante y drástico en la arquitectura del Palacio y establece dos etapas constructivas diferentes. También se evidencia un evento planificado, ya que fue colocado en forma sistemática, utilizando diferentes materiales, tamaños de piedras y muros de contención que hicieran resistente el relleno para conservar detalles o rasgos específicos.

Se han registrado seis muros de contención durante estas tres temporadas de campo. El primero fue colocado sobre el piso Perico y sostiene el relleno por debajo de la escalinata central, en la Fachada Este del basamento. Otros dos muros de contención se localizaron en el relleno de la Superestructura 13Q-4E: el superior orientado de este a oeste, posiblemente reforzando el extremo norte de la estructura, mientras el inferior está orientado de norte a sur, sosteniendo la fachada de la misma. Los otros tres muros de contención forman parte del relleno debajo del piso Halcón: el primero en el área central del Palacio y el otro entre las Subestructuras 13Q-4A-Sub y 13Q-4E-Sub; el último se colocó en escuadra protegiendo la esquina del muro adosado al lado norte de la Subestructura 13Q-4E-Sub. Todos estos fueron construidos con piedra burda sin estar trabajada y con poco material de amarre, el cual se reduce a barro.

Los rasgos arquitectónicos enterrados fueron cubiertos por rellenos de barro y piedras de menor dimensión, y en algunos casos se usó pedrín o solamente barro directamente sobre la superficie seguido por piedras. De igual manera se pueden observar capas de material preparado, que puede tratarse de una mezcla burda de cal con algún material orgánico que permitía dar estabilidad horizontal al relleno.

Debajo del relleno bajo el piso Halcón se localizaron las dos subestructuras relacionadas entre sí por el piso Coccochan. Ambas se encuentran ubicadas directamente debajo de las Superestructuras 13Q-4A y 13Q-4E, por lo que aparentemente se mantuvo la misma distribución espacial dentro del Palacio durante ambas etapas.

Por la evidencia recabada hasta el momento, la fachada del Palacio parece haber sido igual desde el nivel de plaza hasta el nivel de la banqueta que sostiene la última etapa constructiva de las superestructuras. El basamento está formado por tres cuerpos alternados por dos gradas colocadas entre ellos que forman la escalinata en la parte central. Se desconoce si la escalinata continúa hasta el lado norte del palacio.

La Subestructura 13Q-4E-Sub parece tratarse de una estructura de pequeñas dimensiones, ubicada a 10 m al oeste de la escalinata de 13Q-4A-Sub. El edificio consiste en una plataforma de 70 cm de alto en la que se construyeron los muros que posiblemente forman una o varias habitaciones. Se ha registrado una grada en la parte central de la fachada y un muro adosado en el lado norte, parcialmente destruido, del cual se desconoce su función.

CAPÍTULO VII

OPERACIÓN CR32: EXCAVACIONES REALIZADAS EN LA ESTRUCTURA 13Q-2, TEMPORADA 2011

Ana Cristina Guirola y Christopher Martínez

Las excavaciones realizadas en la Estructura 13Q-2 durante la Temporada 2011 estuvieron concentradas en la base de la estructura y en la escalinata de la misma. Con dichas excavaciones se pudo encontrar más información acerca de las últimas fases constructivas de dicha estructura, y también poder comprender un poco mejor los rasgos que se encuentran en la base de la misma.

Antecedentes

La Estructura 13Q-2, o Estructura A-2 (en mapas anteriores), es de los edificios más grandes y altos del sitio, localizada en el límite este de la Plaza Principal. Aparentemente solamente contiene un pozo de saqueo en la esquina sureste de la estructura. Por su ubicación, fue quizá un templo o edificio tipo ritual, y el más grande de su tipo en la Plaza Principal y de todo el sitio (Guenter 2009: 97).

Durante la temporada 2008 se realizó la Unidad CR32B-2 al pie de la estructura, en la cual se encontró un piso estucado a los 122 cm de profundidad (Guenter 2009: 105). Se cree que éste fue el último piso de ocupación, fechado para el Clásico Terminal, donde quizá se llevaron a cabo ceremonias rituales.

En 2009 se continuaron las excavaciones al pie de la Estructura 13Q-2 por Stanley Guenter, y también en su cima (Figura 7.1). En el proceso de limpieza de la cima, se encontró un incensario casi completo probablemente fechado para el Postclásico Tardío, lo cual indica que quizá se dio una re-visitación o peregrinaje al sitio durante dicha época. Al pie del lado oeste se llevaron a cabo 5 unidades de excavación. En la Unidad 32D-5 se encontró un muro con alineación este-oeste y en la Unidad 32D-2 se pudo observar el mismo muro de la estructura.

En 2010, las excavaciones por Cristina Guirola encontraron bien delimitada la esquina noroeste de la estructura (Figura 7.2), así como una plataforma en su base y el piso que quizá se dirige hasta la plaza. Sin embargo los rasgos no se pudieron entender por completo ya que a medida que se dirige hacia el oeste, el estado de conservación de los mismos se fue deteriorando. Esto quizá se deba al paso del tiempo o a los numerosos saqueos que se dieron en el área.

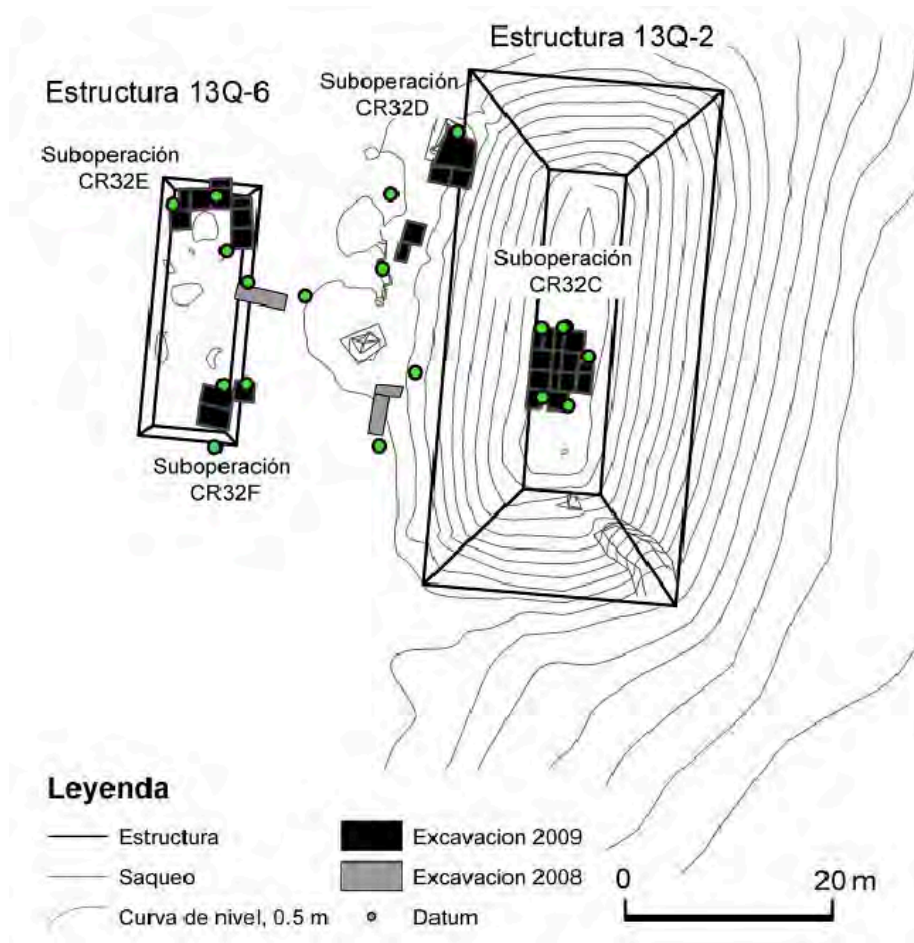


Figura 7.1 Excavaciones realizadas por Stanley Guenter en 2008 y 2009
(Mapa elaborado por R. Guzmán)

Por otro lado, en la esquina suroeste se colocaron unidades para localizar el muro. Aunque se pudo encontrar un piso y una hilera de piedras en la Unidad CR32D-8, no se pudo confirmar si fue parte de un muro de la fachada, ya que esta parte de la estructura está muy deteriorada. No obstante, parece que el posible muro y el piso que se encontraron en esta parte pertenecen a la última etapa constructiva de esta área. Es en esta área donde aún hace falta más investigación en futuras temporadas, ya que no se pudo determinar muy bien como estaba distribuido el muro de la estructura y tampoco se pudo identificar su esquina.

También hay que tener en cuenta los resultados de Antolín Velásquez, quien estuvo a cargo de las excavaciones realizadas en la cima de la estructura durante la Temporada 2010 (Figura 7.3). Allí se pudo identificar la escalinata de la última fase constructiva, la cual estaba muy deteriorada (Velásquez 2011: 193-194). Debajo de esta y de un relleno, se encontró una escalinata bien conservada que pertenece a la penúltima fase.

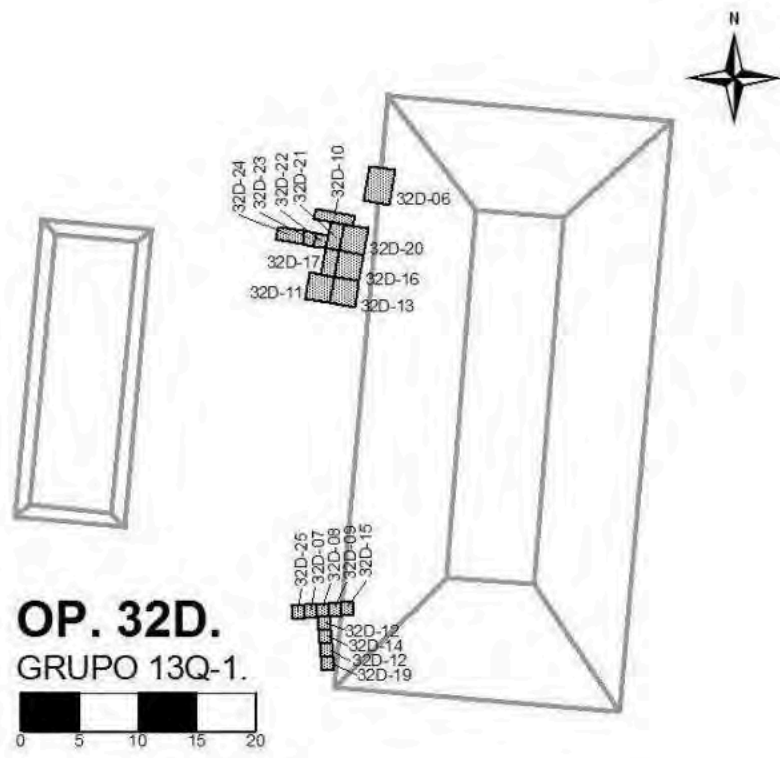


Figura 7.2 Excavaciones realizadas en la Temporada 2010 por Ana Cristina Guirola (Mapa realizado por R. Guzmán)



Figura 7.3 Excavaciones realizadas en la Temporada 2010 por Antolín Velásquez (Mapa realizado por R. Guzmán)

Temporada 2011

Las excavaciones realizadas en la Temporada 2011 se pueden dividir en dos áreas: Base de la estructura y Escalinata central. Christopher Martínez estuvo a cargo inicialmente de las excavaciones en la escalinata central (Suboperación 32H), las cuales fueron continuadas por Ana Cristina Guirola, quien también realizó excavaciones en la base de la estructura (Suboperación 32D). Todas estas unidades se constituyeron como una continuación de las excavaciones que se hicieron en la temporada 2010. Las dimensiones de las excavaciones se hicieron dependiendo de la necesidad en cada una. En total se hicieron 20 unidades de excavaciones en ambas suboperaciones (Figura 7.4), las cuales se describen a continuación

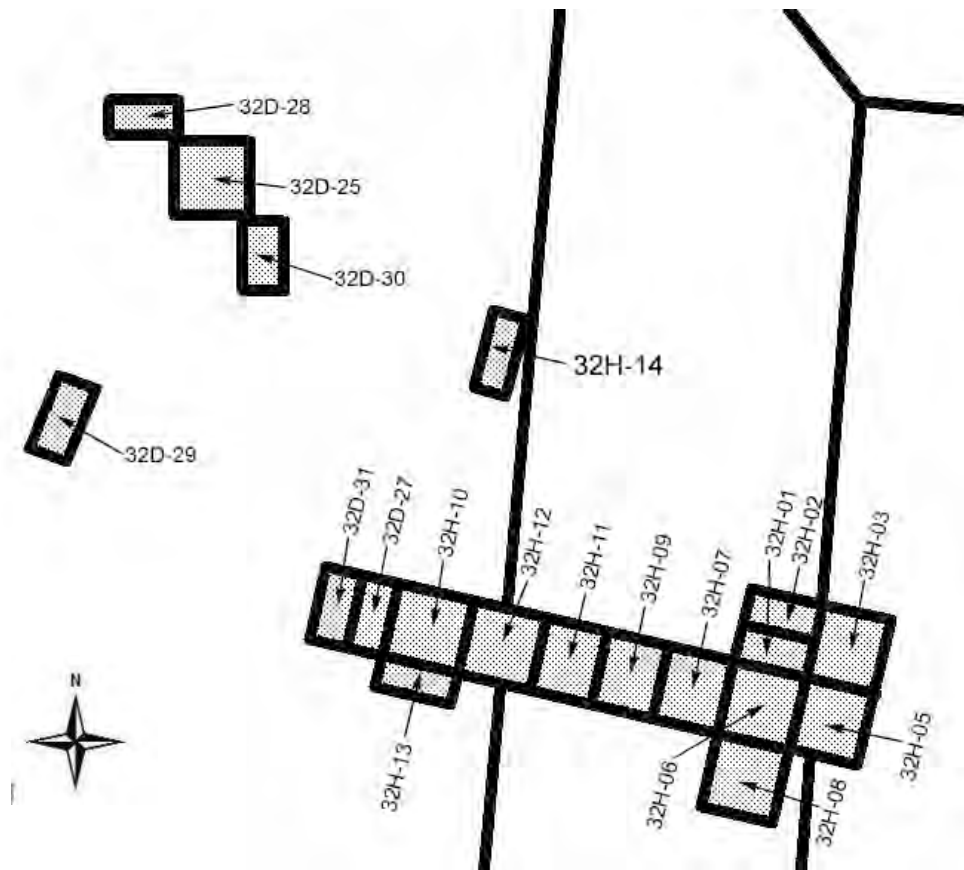


Figura 7.4 Ubicación de excavaciones realizadas en la Temporada 2011 (Mapa por R. Guzmán)

Excavación en la base de la estructura (Ana Cristina Guirola)

Unidad CR32D-26

Esta unidad se hizo de 2 x 2 m al sur de la Unidad 32D-24. En esta unidad se excavaron 10 lotes, iniciando con el retiro de escombros que quizá era de saqueadores. Al llegar a los 50 cm de profundidad se encontró un incensario casi completo en la esquina noroeste de la unidad (Figura 7.5), el cual contenía tierra, la cual se guardó para ser analizada para poder determinar si tenía restos orgánicos. Este incensario es similar a otro que fue encontrado la temporada pasada en la cima de esta misma estructura. Según su forma y parte de su decoración, se puede decir que pertenece al Postclásico Tardío (Figura 7.6), lo que ayuda a sustentar la hipótesis que la estructura fue revisitada durante esa época, por peregrinos que quizá llegaron a realizar rituales.



Figura 7.5 Incensario encontrado en Lote 3 de la Unidad CR32D-26.



Figura 7.6 Incensario parcialmente reconstruido, fechado para el Postclásico Tardío (Fotos por C. Guirola)

Se bajó a una profundidad máxima de 1.46 m y en el último nivel se encontró tierra de consistencia arcillosa compacta (Figura 7.7). Como no se pudo determinar ningún piso en esta unidad, es posible que se haya deteriorado con el tiempo. Se encontró bastante cerámica, incluyendo el incensario, y un fragmento de obsidiana.



Figura 7.7 Último lote de excavación realizado en la Unidad CR32D-26 (Foto por C. Guirola)

Unidad CR32D-28

Pozo de 1 x 2 m ubicado al oeste de CR32D-24, donde se excavaron 3 lotes. La unidad resultó ser muy pobre, ya que se pretendía encontrar el piso que va hacia la plaza, pero no se encontró nada. Al igual que en CR32D-26, se llegó a un suelo arcilloso compacto, por lo cual se cree que en esta área el piso se deterioró (Figura 7.8). Se encontró poca cerámica y se bajó una profundidad máxima de 90 cm.



Figura 7.8 Unidad CR32D-28 finalizada, sin indicios del piso de plaza (Foto por C. Guirola)

Unidad CR32D-29:

Esta unidad se colocó cerca de los pequeños “montículos” que están frente a la Estructura 13Q-2, en lo que sería la plaza. Tuvo una dimensión de 1 x 2 m y se hizo con el objetivo de determinar si esta área efectivamente forma parte de un juego de pelota. Otra posibilidad es que dichos “montículos” son solo escombros que dejaron los saqueadores. Esta unidad solo contó con 3 lotes y al excavar se pudo observar que había mucho escombros, hasta que se llegó al piso de la plaza. En ningún momento se encontró algún indicio de alguna plataforma, pero falta excavar sobre dichos “montículos” para determinar si realmente son estructuras o no. En general se encontró poca cerámica, y el piso se encontró a 139.83 metros sobre el nivel del mar. El piso es estucado pero ya bastante deteriorado (Figura 7.9).



Figura 7.9 Unidad CR32D-29 finalizada. Se puede apreciar el piso de plaza, el cual está estucado. Al este se puede apreciar escombros, probablemente de la Estructura 13Q-2 (Foto por C. Guirola)

Unidad CR32D-30

Esta unidad se colocó al sureste de la Unidad CR32D-26, midió 1 x 2 m y se excavaron 4 lotes. Su objetivo fue encontrar algún muro del “montículo” que está frente a la estructura. Al igual que la Unidad CR32D-28 fue muy pobre, ya que se encontró poca cerámica, y se llegó al mismo tipo de suelo que la Unidad 32D-26 y 32D-28, que es compacto y arcilloso (Figura 7.10). La profundidad máxima que se llegó en esta unidad fue de 1.23 m.



Figura 7.10 Unidad CR32D-30 concluida don una profundidad máxima de 1.23 m.
En esta unidad tampoco se pudo encontrar algún indicio del piso de plaza o alguna plataforma o estructura frente a la Estructura 13Q-2 (Foto por C. Guirola)

Unidades realizadas en la base de la escalinata (*Cristina Guirola*)

Unidad CR32D-27

Esta es la primera unidad que se hizo en la base de la estructura, para buscar algún indicio del arranque de la escalinata. Midió 1 x 2 m y contó con 6 lotes. Se encontró poca cerámica y una concha nácar, y la tierra era una composición de escombros con piedrín. Al llegar al último lote, se pudo determinar que se había encontrado un piso, por lo que se decidió hacer otra unidad al oeste para ver si era un piso que continuaba a la plaza (Figura 7.11).

Unidad CR32D-31

Esta unidad se colocó al oeste de CR32D-27 y también midió 1 x 2 m. Se excavaron 4 lotes, recuperándose bastante cerámica. Al llegar al último lote, se pudo observar que el piso de la Unidad 32D-27 tenía una grada, la cual baja al nivel del piso que se encontró en esta unidad. Este piso es estucado y está bien conservado, encontrándose a una profundidad de 139.88 metros sobre el nivel del mar. Esto es clave si se compara con la Unidad CR32D-29, ya que están a la misma altura, y con ello se puede confirmar efectivamente que el piso que se encuentra en esta unidad sí es el piso de plaza.



Figura 7.11 Unidad CR32D-27 terminada. Aquí se puede apreciar un piso estucado bien conservado. (Foto por C. Guirola)



Figura 7.12 Unidad CR32D-27 y CR32D-31. El piso que se encuentra en la Unidad CR32D-31 está al mismo nivel que el piso de plaza de la Unidad CR32D-29 (Foto por C. Guirola)

Suboperación CR32H: Escalinata Central

Para la Temporada 2011, los objetivos radicaron en la reapertura de las unidades anteriores, con el fin principal de continuar exponiendo los hallazgos realizados y buscar evidencia de las distintas etapas constructivas de la Estructura 13Q-2. Luego se procedió a descubrir la escalinata, que al ir bajando hacia la base de la estructura, permitió encontrar vestigios de su última fase constructiva.

Se inició retirando el relleno de las Unidades CR32H-1, CR32H-2, CR32H-3 y CR32H-4, llegando hasta el material protector colocado en temporadas pasadas. Tomando como referencia las unidades anteriores, se procedió al trazado de nuevos pozos de 2 x 2 m, excavándolos en estratos culturales y registrando los distintos rellenos, así como alteraciones que se hayan realizado. Asimismo se limpiaron los perfiles de las excavaciones anteriores para unificar los dibujos de perfiles y plantas, con el objetivo de entenderlas como un todo y no como operaciones independientes. Aunado a esto se realizaron distintos cortes, dejando muestra de los apisonados que sellaban las etapas constructivas.

Unidades CR32H-1 a CR32H-5

Estas corresponden a la continuación de los trabajos realizados en las temporadas pasadas, en los cuales se realizó una remoción del relleno de protección, su limpieza y un dibujo en conjunto (Figuras 7.13 y 7.21).



Figura 7.13 Detalle de las Unidades CR32H-1, CR32H-2 y CR32H-3 (Foto por C. Martínez)

Unidad CR32H-6

Unidad de 2 x 2 m, orientada de norte a sur y ubicada al centro de las Unidades CR32H-2 al norte, CR32H-5 al este, CR32H-8 al sur y CR32H-7 al oeste. Durante la Temporada 2010, Velázquez (2011) localizó una escalinata perteneciente a una subestructura (Figura 7.14), lo que motivó la reapertura de sus excavaciones y la ampliación hacia el sur, con el objetivo de delimitarlas.

Se excavaron 12 niveles dando como resultado 5 lotes. En los estratos se pudo determinar la presencia de restos de la última etapa constructiva, la cual se encuentra muy erosionada. Bajo esta capa se detectó un piso de estuco, el cual pudo pertenecer a una modificación de la etapa anterior. Al continuar las excavaciones se dejó evidencia de dicho piso, dejando al descubierto un sello de estuco y cerámica, en donde se recuperó abundante material cerámico, consistente de 667 fragmentos de cuencos de grandes dimensiones con restos de estuco.

Continuando con la exploración se detectó un relleno de piedra bajo el cual se conservaban los restos de la escalinata de una subestructura, misma que ya había sido dejada al descubierto en las Unidades CR32H-1 y CR32H-2 en la temporada pasada. Al limpiar la escalinata se ubicó una alteración consistente en un corte de la misma, el cual presentaba en su interior una capa de piedras pequeñas con estuco, por lo que se decidió registrar y proseguir con la exploración para determinar su función y contexto (Figura 7.14). Hasta este punto, el arqueólogo Christopher Martínez alcanzó una profundidad máxima de 3.90 m.



Figura 7.14 Unidad CR32H-6, detalle de la banqueta superior (izquierda) y escalinata (derecha).
(Fotos por C. Martínez)

Luego se continuó la excavación a cargo de Ana Cristina Guirola, con lo que se concluyó la unidad con 15 niveles. Se bajo un metro más, llegando a una profundidad máxima de 4.90 metros (Figura 7.15). En estas unidades se encontró un metate que fue utilizado como relleno de la escalinata. En general se encontró poca cerámica y un relleno de piedras. Se espera que en la siguiente temporada se pueda entender mejor para que fue realizado este relleno, que se cree que pudo haber sido perteneciente al realizar la última fase constructiva.



Figura 7.15 Unidad CR32H-6 al concluir la temporada (Fotos por C. Guirola).

Unidad CR32H-7

Unidad de 2 x 2 m, orientada de norte a sur, colindando al este con CR32H-6. Se registraron 11 niveles para un total de 5 lotes, alcanzando una profundidad de 3 m. Se recuperó abundante material cerámico; si bien no tanto como CR32H-6, la muestra no fue reducida, en especial en el relleno que cubre la subestructura. Bajo dicho relleno se localizó una alteración en la escalinata, consistente de un corte e interrupción de la misma (Figura 7.16). La alteración consistió de una impronta en la estructura de la escalinata, por lo que no se descarta la presencia de algún elemento decorativo, el cual pudo ser suprimido a la hora de construir sobre ella.

Solamente se localizaron estos indicios por la presencia de restos de estuco en las escalinatas, los cuales parecen ascender sobre la posible decoración que se encontrase en el lugar (Figura 7.16). Sin embargo, no se ubicaron restos dispersos que ayuden a determinar qué se localizaba exactamente en este lugar.



Figura 7.16 CR32H-7, detalle de las excavaciones (Fotos por C. Martínez)

Dicha alteración se siguió explorando por Cristina Guirola, quien continuó bajando en el relleno contiguo a la escalinata. Esta excavación fue denominada CR32H-7A y en total se bajaron 8 lotes que abarcaron 3.4 m adicionales a los 3 m que se habían bajado anteriormente, haciendo un total de 6.40 m de profundidad. Se pudo notar que existen varios tipos de rellenos en esta parte de la unidad, lo que puede significar que quizá existieron varios muros de contención para la escalinata. Sin embargo aún no se sabe con certeza con qué propósito se colocó este relleno, ya que del lado sur no se encontró ningún indicio de las escalinatas pertenecientes a la penúltima fase constructiva. Será hasta la próxima temporada que se pueda seguir excavando esta área.

Unidad CR32H-8

Pozo de 2 x 2 m, orientado de norte a sur y colindando al norte con CR32H-6. Se excavaron 3 niveles para un total de 2 lotes, llegando a una profundidad máxima de 0.75 m. En su fase inicial, se decidió bajar de forma profunda tomando como referencia la Unidad CR32H-6. A un principio surgieron dudas en cuanto a la continuidad de las escalinatas pero al llegar a los 2 m de profundidad se ubicaron los restos de una grada.

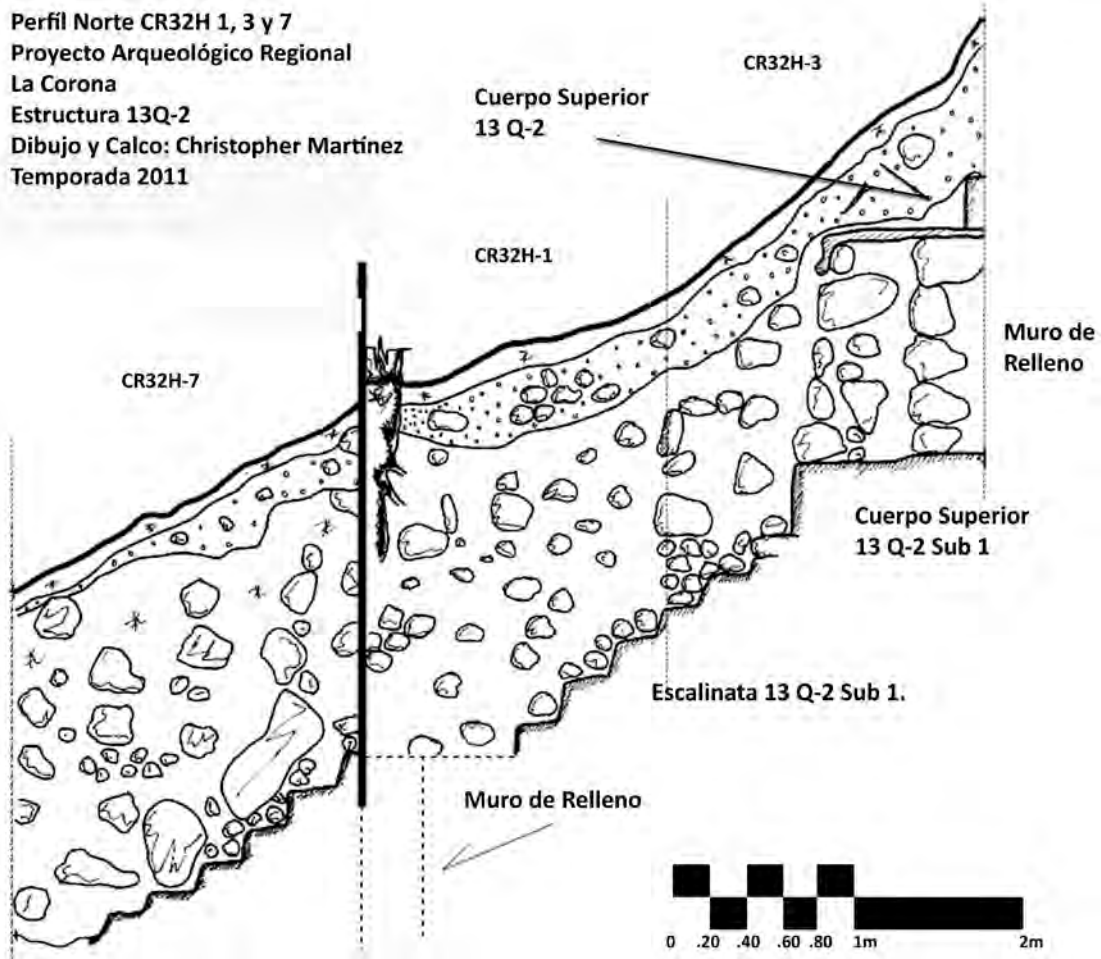


Figura 7.17 Perfil Norte, CR32H-1, CR32H-3 y CR32H-7 (Dibujo por C. Martínez)



Figura 7.18 Unidad CR32H-7A. Excavación del relleno que se encuentra próximo a la escalinata (Foto por C. Guirola)

Cabe notar que en la limpieza superficial se encontró una piedra trabajada, la cual pudo formar parte de la escalinata original de la Estructura 13Q-2, por lo que se decidió dejarla en su lugar y banquetearla para continuar con la búsqueda de rasgos arquitectónicos aun visibles de la última etapa. Esto dio un resultado negativo, debido al alto grado de deterioro que presenta la estructura (Figura 7.19).



Figura 7.19 CR32H-8, detalle de las excavaciones. (Fotos por C. Martínez)

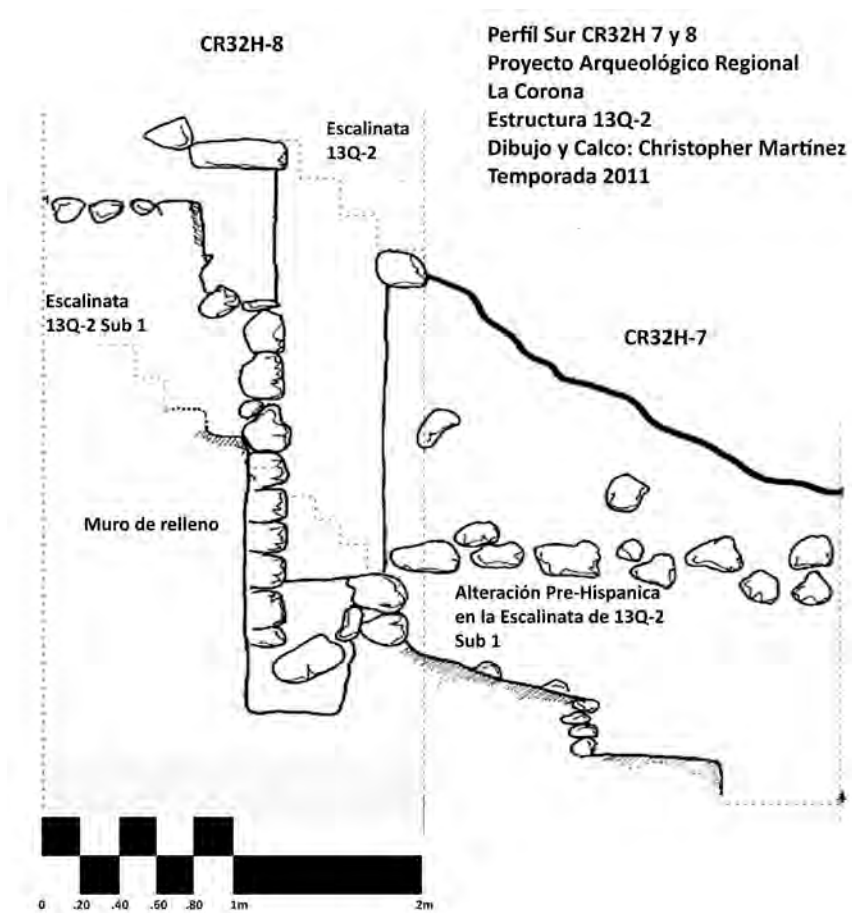


Figura 7.20 Perfil Sur de las Unidades CR32H-7 y CR32H-8, incluyendo detalle de cortes en perfil. (Dibujo por C. Martínez)

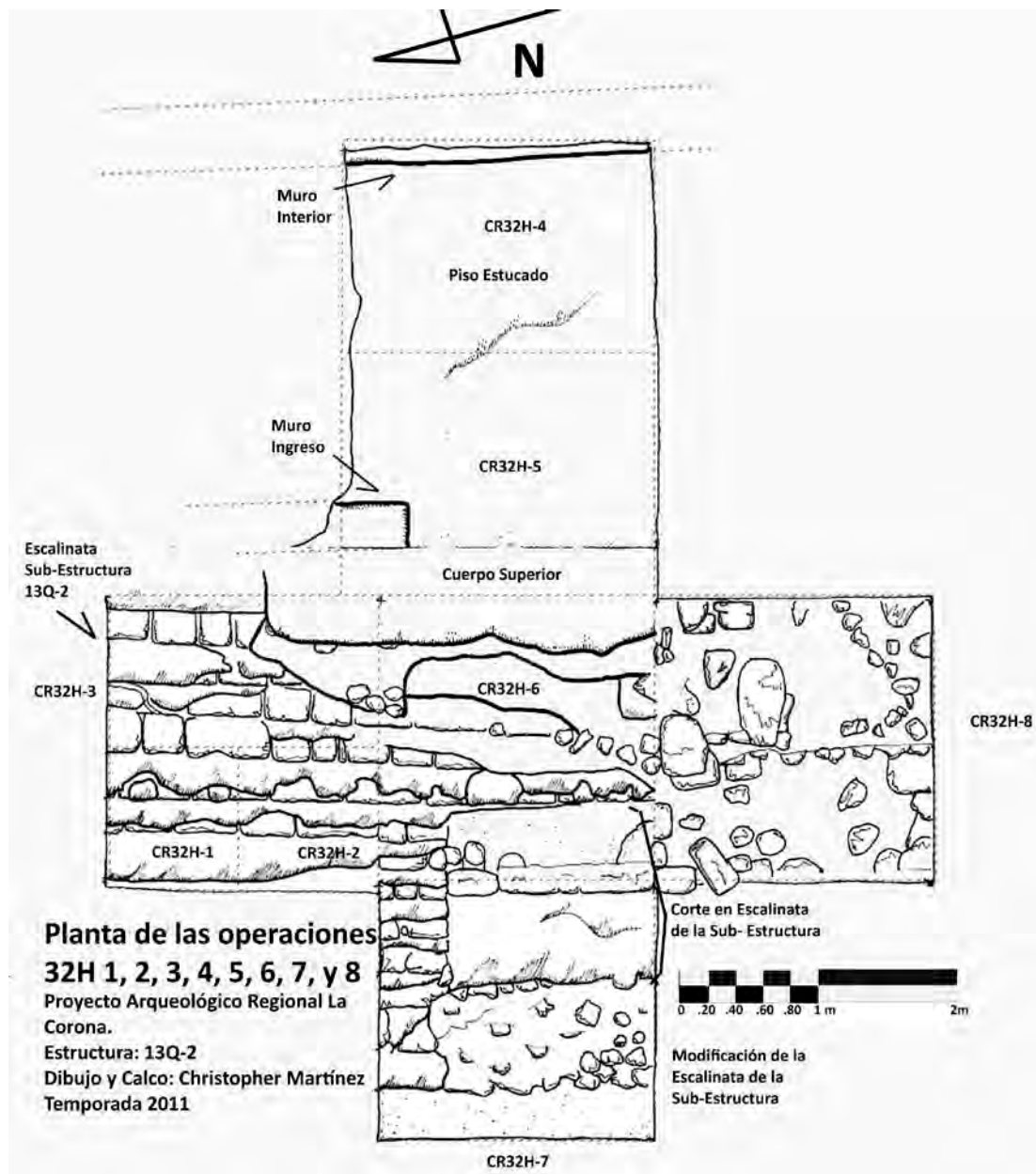


Figura 7.21 Planta de las operaciones detalladas, de CR32H-1 a CR32H-8 (Dibujo por C. Martínez)

Unidad CR32H-9

Esta unidad de 1 x 2 m se colocó al oeste de la escalinata y se excavaron 7 lotes, llegando hasta 2.30 m de profundidad. En general se encontró poca cerámica y una obsidiana, y se pudo observar un relleno de piedras de diversos tamaños que corta las gradas que vienen de la Unidad CR32H-8 (Figura 7.22). Además de ello, también se encontró una pequeña muestra de carbón que quizá pueda estar relacionado con el relleno, y en el Lote 6 se encontró evidencia de estuco donde tendría que estar una grada; esto parece indicar que se quitó la grada, posiblemente para depositar algo.



Figura 7.22 Unidad CR32H-9 excavada hasta ese punto, pero se espera que se pueda continuar bajando en el futuro, para explicar la interrupción de la escalinata de la penúltima fase constructiva de la estructura (Foto por C. Guirola)

Unidad CR32H-10

Esta unidad se ubicó al este de la Unidad CR32D-27, con el fin de continuar con la trinchera que estaba descubriendo toda la escalinata. La unidad midió 2 x 2 m y estuvo conformada de 8 lotes. Se bajó a una profundidad máxima de 2.30 m, donde se encontraron dos banquetas muy bien conservadas y dos gradas que bajan al nivel de piso de la Unidad CR32D-27 (Figura 7.23). En general se encontró poca cerámica.



Figura 7.23 Vista de las Unidades CR32H-10 y CR32D-27 (Foto por C. Guirola)

Al llegar al piso estucado, se procedió a realizar un túnel en medio de las dos banquetas o plataformas que se encontraron (la de esta unidad y la que se encontró posteriormente en la Unidad CR32H-13). Se excavó 2.60 metros hacia adentro y solamente se encontró relleno de piedras (Figura 7.25), aunque se pudo estimar que dicha plataforma es un agregado de la estructura, ya que al empezar a excavar el túnel se apreció la esquina suroeste de dicha plataforma (Figura 7.26). Otra posibilidad es que la plataforma se haya usado luego para construir un muro de contención para las escalinatas de la última fase.



Figura 7.24 Vista de las Unidades CR32H-10, CR32D-27 y parte de CR32D-31. Se puede observar las gradas que bajan hasta el nivel de plaza, y las plataformas que fueron agregadas en la penúltima fase constructiva de la Estructura 13Q-2 (Foto por C. Guirola)



Figura 7.25 Túnel pequeño entre las dos plataformas o altares de la estructura (Foto por C. Guirola)



Figura 7.26 Detalle de las esquinas suroeste y sureste de una plataforma (Foto por C. Guirola)

Unidad CR32H-11

Esta unidad de 2 x 2 m se colocó al oeste de la Unidad CR32H-9. En total se excavaron 4 lotes, y se bajó a una profundidad de 2 m, encontrándose poca cerámica. Solamente se pudo apreciar el relleno que viene de las unidades anteriores, que son la CR32H-7 y CR32H-9 ya que se dejó inconclusa por limitantes de tiempo.



Figura 7.27 Unidad CR32H-11 (Foto por C. Guirola)

CR32H-12

Esta unidad de 2 x 2.5 m se colocó entre la Unidad CR32H-11 (al este) y la Unidad CR32H-10 (al oeste), para terminar de completar la trinchera. Solamente se excavaron dos lotes, bajando hasta 70 cm., ya que se encontraron las gradas de la última fase constructiva (Figura 7.28). Del lado oeste se puede ver como el descanso de la última grada está arriba del muro que se aprecia en el Perfil Este de la Unidad CR32H-10. Se encontró muy poca cerámica en esta unidad.



Figura 7.28 Gradas de la última fase constructiva de la Estructura 13Q-2 (Foto por C. Guirola).

Unidad CR32H-13

Esta unidad de 1 x 2 m se ubicó al sur de la Unidad CR32H-10. Se excavaron 5 lotes y se bajó a una profundidad de 1.95 m. Al inicio se encontró parte de la escalinata de la última fase constructiva, las cuales se dibujaron y se tomaron fotos de las mismas para continuar bajando (Figuras 7.29 y 7.30). En este lote salió muy poca cerámica.



Figura 7.29 Imagen del primer lote donde se descubrieron más indicios de la escalinata de la última fase constructiva de la Estructura 13Q-2 (Foto por C. Guirola)



Figura 7.30 Dibujo de Perfil Sur de las gradas encontradas en la Unidad CR32H-13 (Dibujo por C. Guirola)

Al quitar las piedras de las gradas se empezó a notar la presencia de un relleno que parecía como un muro, asociado a bastante cerámica. Se continuó bajando en esté relleno hasta llegar a una banqueta o plataforma baja en el lado este de la unidad, la cual tuvo una altura aproximada de 30cm (Figura 7.31). Bajo ésta se encontró el piso estucado expuesto en la Unidad CR32H-10. En general se encontró cerámica sobre el nivel del piso, así como dos fragmentos de obsidiana.



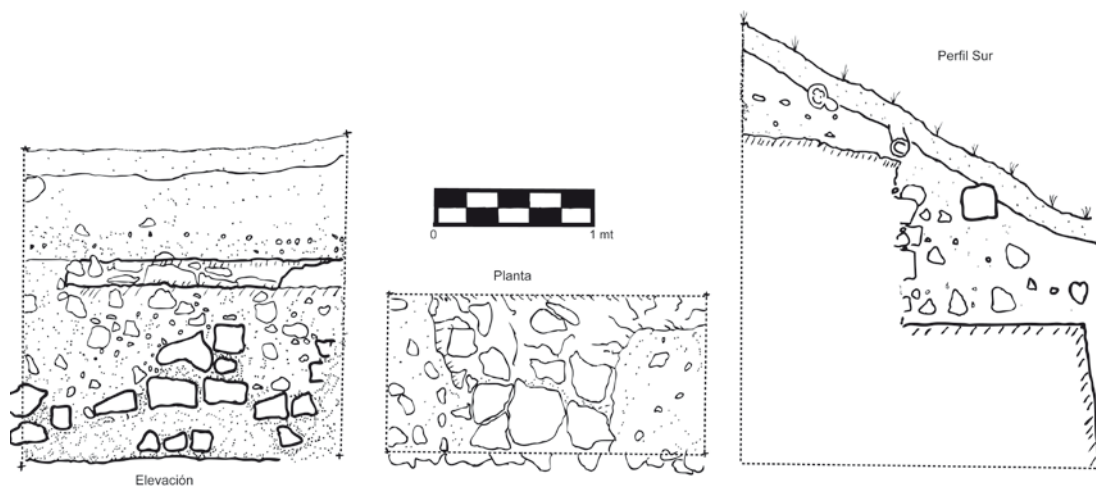
Figura 7.31 Unidades CR32H-10 y CR32H-13, con plataformas pequeñas que pudieron ser altares (Foto por C. Guirola)

Unidad CR32H-14

Esta es la última unidad que se realizó en esta temporada, la cual se ubicó al este de la Unidad CR32D-13, excavada en la temporada 2010. Su objetivo fue verificar si se encontraba algún muro relacionado a la banqueta que viene desde la Unidad CR32H-10. La unidad tuvo un área de 1 x 2 m y se excavaron 3 lotes hasta llegar a una profundidad de 0.78 m. Al llegar al lote 2 se encontró el piso de uno de los cuerpos de la estructura, el cual se pudo apreciar en casi en toda la unidad. En el último lote se trató de buscar el muro que conecta con la banqueta de la Unidad CR32D-13 pero quizá se deterioró. En esta unidad se encontró muy poca cerámica sobre el piso.



Figura 7.32 Unidad CR32H-14, con restos del piso estucado de un cuerpo de la estructura (Foto por C. Guirola)



7.33 Elevación, planta y Perfil Sur de la Unidad CR32H-14 (Dibujos por C. Guirola)

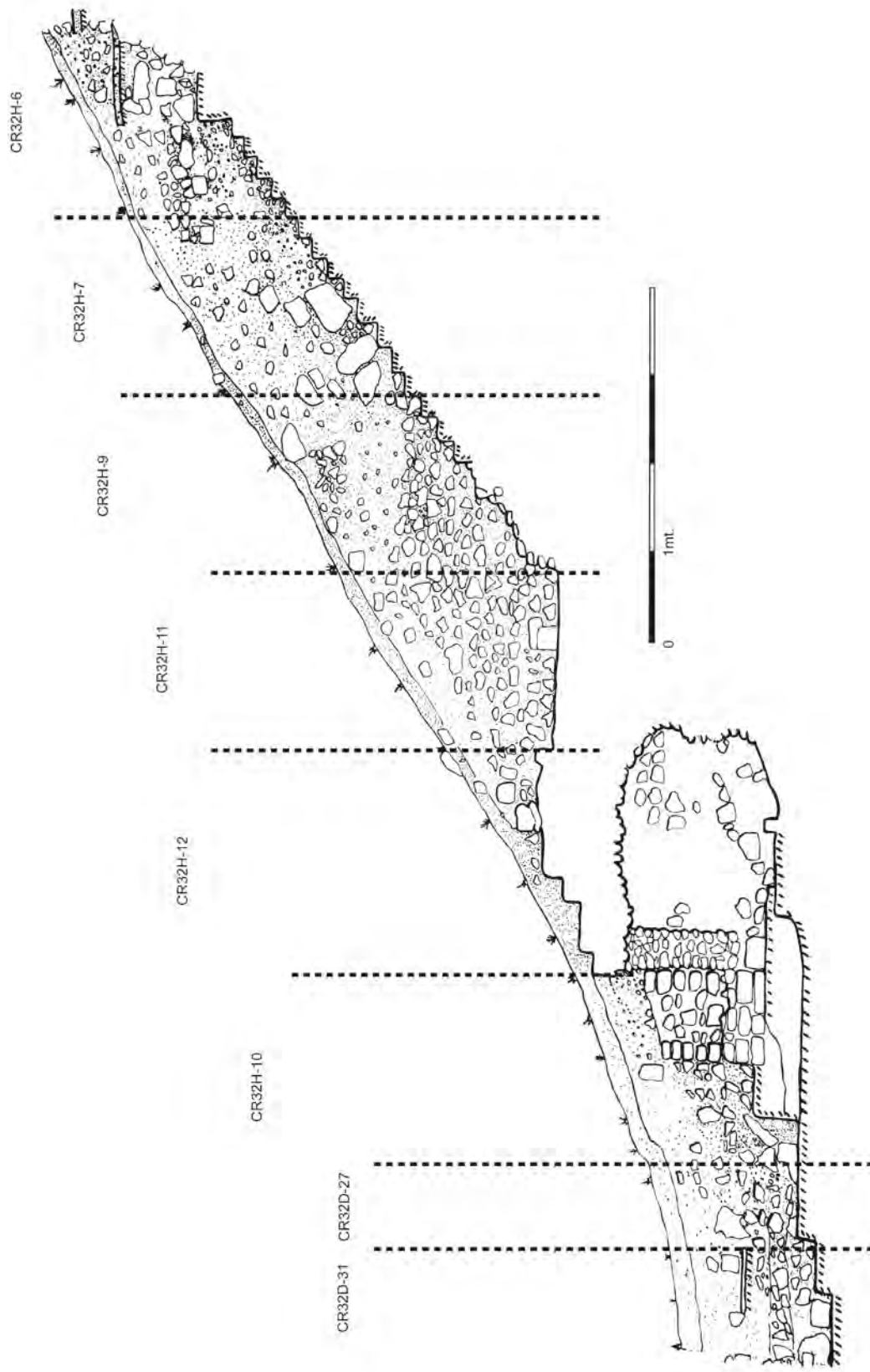


Figura 7.34 Perfil Norte de las distintas unidades que conforman la trinchera de la escalinata (Dibujo por V. Orellana)

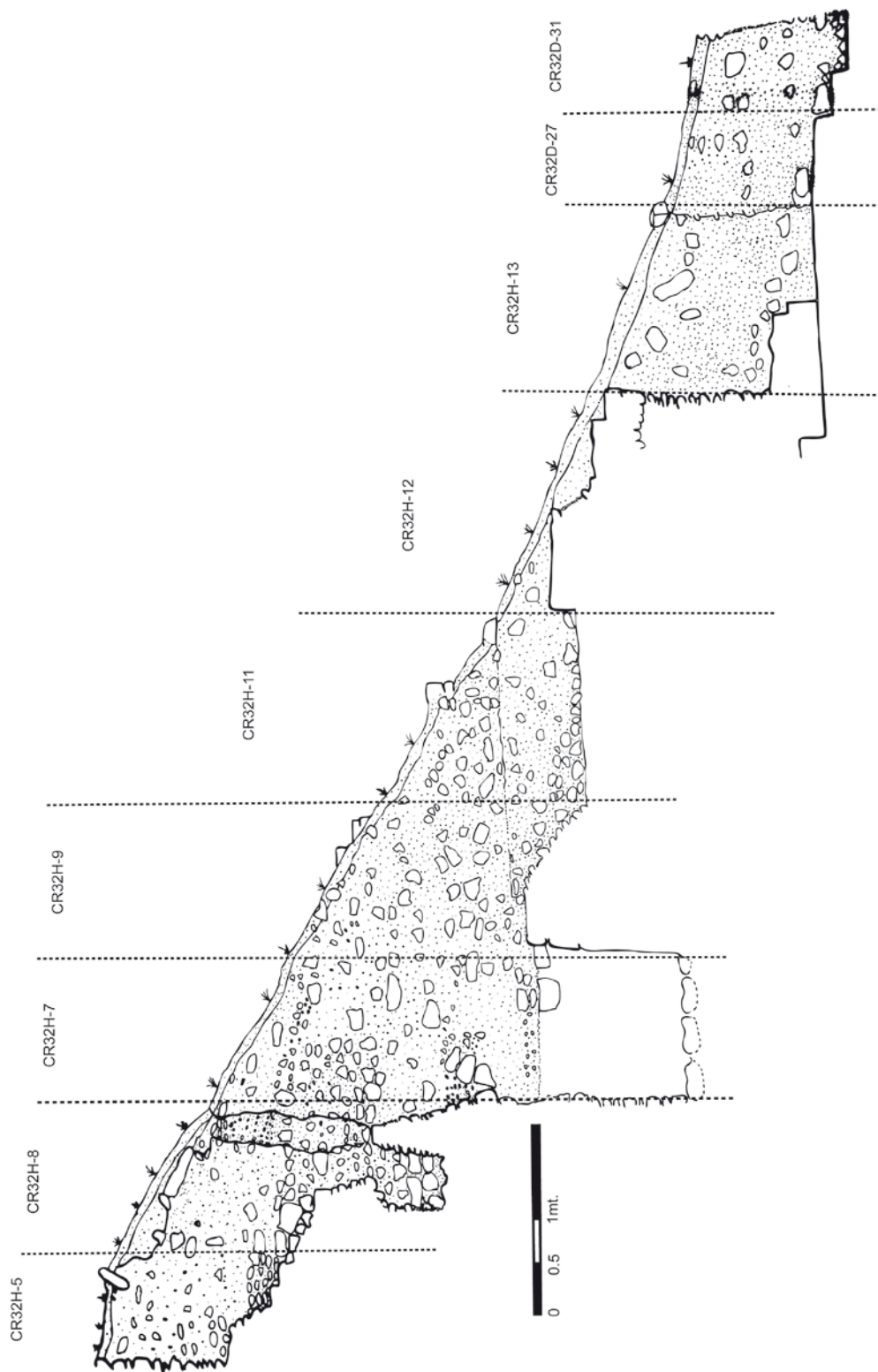


Figura 7.35 Perfil Sur de las distintas unidades que conforman la trinchera de la escalinata (Dibujo por V. Orellana)

Interpretaciones Finales

Así como se dividió la excavación en dos secciones de la estructura, algunas en la base de la misma y otras en la escalinata, así será su interpretación.

En primer lugar, las excavaciones que se realizaron en la base de la estructura lamentablemente no dieron mucha información en comparación a las excavaciones que se realizaron durante la Temporada 2010. La única unidad que si proporcionó información fue la excavación de CR32D-29, ya que en esta se encontró el piso de plaza, lo cual es muy importante ya que es el mismo piso que se encontró en la Unidad CR32D-31. Con ello ya se tiene una buena referencia para excavar durante la próxima temporada una trinchera que vaya desde la Unidad CR32D-31 a la Unidad CR32D-29, para así comprobar si los pequeños “montículos” que se encuentran en esta área son realmente alguna pequeña estructura o no.

Por otro lado, también se encuentran las excavaciones realizadas por Christopher Martínez, donde se logró determinar la presencia de una subestructura con una escalinata ancha, la cual presenta alteraciones en la parte medial de la misma. Esto hace considerar que algún momento pudo tener elementos decorativos, los cuales pudieron ser destruidos al momento de realizar la construcción de la última etapa del edificio. Las exploraciones dejaron al descubierto el piso del templo que se encontraba en la parte superior, así como el piso que se preparó para la construcción del mismo. Bajo este nivel de piso se localizaron los restos de otros dos pisos, los cuales parecen pertenecer a una etapa anterior de la actual, consistiendo la última etapa en una posible elevación de niveles y remodelación del templo. Los cortes realizados en la escalinata de la subestructura parecen corresponder a decoraciones, posiblemente modelados en estuco, los cuales desaparecieron con el paso del tiempo o con la remodelación de la estructura.

Las excavaciones de Cristina Guirola ayudan a confirmar la idea de Martínez al argumentar que parte de la escalinata y sus decoraciones pudieron haber desaparecido con la remodelación de la estructura, sobre todo para su última fase constructiva. Durante la siguiente temporada se enfocará en continuar con la excavación de las Unidades CR32H-7, CR32H-9 y CR32H-11 para lograr identificar si existe alguna fase anterior bajo ese relleno, o si se pudo haber depositado algo durante la construcción de la última fase constructiva, lo cual dañó las fases anteriores.



Figura 7.36 Fotografía de la trinchera de excavación que se hizo en la escalinata para descubrir su última y penúltima fase constructiva (Foto por C. Guirola)

Se desconoce también cual fue el propósito de las banquetas que se encuentran frente a la estructura y que fueron expuestas mediante las Unidades CR32H-10 y CR32H-13. Según comunicación personal del Dr. Marcello Canuto y MA. Tomás Barrientos, pueden ser características de la arquitectura encontrada en Calakmul. Hace falta realizar un análisis exhaustivo de la cerámica de esta trinchera para determinar los períodos de tiempo en el cual nos encontramos. Y también hace falta poder tener una mejor idea del propósito de la estructura, ya que durante esta temporada no se encontró mucha cerámica o artefactos que dieran algún indicio del contexto de la misma.

Lo que se puede argumentar hasta ahora, así como se ha hecho anteriormente, es que la estructura era para propósitos rituales. Y durante épocas posteriores, el sitio se continuó visitando para la realización de ofrendas religiosas; evidencia de ello son los dos incensarios encontrados en esta estructura, uno en la cima de la misma (encontrado durante la Temporada 2009), y el otro encontrado en la base de la estructura durante esta temporada. Ambos han sido fechados para el Postclásico Tardío.

CAPÍTULO VIII

OPERACIÓN CR33: EXCAVACIÓN DEL ENTIERRO 3, ESTRUCTURA 13Q-3

Yann Desailly-Chanson

Introducción: El Entierro 3

La Temporada 2011 fue la cuarta temporada de campo en el sitio de La Corona, la cual incluyó el seguimiento de las investigaciones en la Estructura 13Q-3. Las excavaciones han proporcionado datos que sugieren que inicialmente consistía en dos edificios separados, los cuales pudieron tener funciones residenciales y rituales. Esta versión temprana fue afectada por tres remodelaciones arquitectónicas, que unieron ambos edificios para crear una sola plataforma, cuya superestructura preceñera contenía una banca de piedra. Posteriormente se le agregó una escalinata con bloques tallados con glifos (Escalinata Glífica 1). Estas tres fases consecutivas fueron realizadas desde el principio hasta el final del Clásico Tardío, y su historia puede reflejar los cambios de funciones administrativas, políticas y militares del edificio y del sitio de *Sak Nikte'* en general.

El descubrimiento de un entierro elitista dentro de la penúltima fase arquitectónica ha demostrado que la Estructura 13Q-3 tuvo también una función funeraria. Esta función adicional se puede definir como un componente que “animó” al edificio y reforzó su función política a través de la proyección de la autoridad y su legitimación. No obstante, el entierro exhibió señales de perturbación, ya que la excavación de su contexto proporcionó evidencia de un evento de intrusión que esparció los huesos y ofrendas de manera horizontal y vertical. Un análisis preliminar de los huesos (Patterson com. pers.) ha indicado que el individuo fue de sexo masculino y edad adulta media, cuyas vértebras se fusionaron ya sea por alguna enfermedad o heridas de guerra.

El estatus de este individuo masculino todavía debe determinarse. De hecho, aunque todavía no se ha identificado quién fue esta persona, existen algunas pistas que pueden ayudar a definir su posible posición dentro del sitio. Personalmente sugiero que la persona enterrada fue de descendencia real, si no fue un gobernante. El entierro fue colocado espacialmente de acuerdo a un eje vertical, que coincide con la banca central de la superestructura y la escalinata central de la plataforma, por lo que puede relacionarse con actividades políticas de la realeza. También se puede definir un eje horizontal con orientación este-oeste, que sirvió de base para colocar el cuerpo y que está alineado con el centro de la plaza del Grupo Principal.

La riqueza de las ofrendas funerarias, cubiertas con cinabrio, es sorprendente: tres perlas y casi 800 cuentas de jade verde, concha *Spondylus* de color naranja y concha *Spondylus* de color corinto, así como una concha incisa semicircular (probablemente parte de una orejera), tres docenas de conchas marinas, mosaicos de madre perla finamente trabajada, dos platos cerámicos policromos, tres conchas *Spondylus* completas, fragmentos de un mosaico de jade (parte de un pectoral o máscara) y restos de caparazón de tortuga. Destaca la presencia de dos pectorales de jade, uno de los cuales es una cuenta tubular de sección cuadrada, finamente trabajado. Ambos fueron quebrados y aserrados de forma intencional.

A pesar de la presencia de todas estas ofrendas, es posible que correspondan solo a una parte de la ofrenda original, ya que el entierro fue perturbado de forma intencional y se pudieron remover otros objetos. De cualquier forma, lo que fue dejado refleja una riqueza funeraria que sobrepasa muchos entierros y tumbas reales encontrados en otros sitios importantes contemporáneos (Fitzimmons 2009). Sin embargo, parece que la corte de *Sak Nikte'*, a pesar de haber crecido abruptamente gracias a su asociación cercana con los gobernantes de Calakmul, constituía únicamente un centro pequeño y secundario. Su papel político y estatus regional no puede ser comparado con las de otros sitios como Palenque, Piedras Negras, Waka', Naranjo, Tikal y Caracol, cuyas dinastías reinaron por largos períodos de tiempo.

Las muestras de carbón recolectadas directamente dentro del entierro indican una fecha que cae entre 660 y 670 d.C. Otras muestras recuperadas dentro de la intrusión indican que el entierro fue desacralizado después de 770 y 780 d.C. Esto se complementa muy bien con la información contenida en un fragmento del Altar 4, descubierto accidentalmente por Joanne Baron y Bruce Love en 2010, que indica la llegada de una princesa de Tikal a *Sak Nikte'* en 791 d.C. (Canuto y Barrientos 2011: 423). Por lo tanto es tentador proponer que Tikal, archienemigo de Calakmul, fue el responsable de este evento que desacralizó el entierro contenido en 13Q-3. Tikal pudo entonces ganar acceso al sitio de *Sak Nikte'* de forma militar y no diplomáticamente. Si esto fuera cierto, sería razonable asumir que el evento ocurrió poco después de la llegada de esta mujer de Tikal, por lo que es posible que Tikal haya conquistado *Sak Nikte'* al final del siglo octavo.

El individuo masculino cuyo entierro fue desacralizado pudo haber jugado un papel clave en el surgimiento político de *Sak Nikte'*. Posterior a su muerte, el ocupante del entierro pudo haberse convertido en un ancestro poderoso, tal como lo sugiere la ubicación de sus restos. Al desacralizarlos, la dinastía de Tikal pretendía aniquilar su memoria social en el paisaje arquitectónico y político de *Sak Nikte'*. Al mismo tiempo, fue en este momento cuando el paisaje arquitectónico fue redefinido por remodelaciones de mala calidad en los edificios principales, así como la erección de altares en la plaza del Grupo Principal y posiblemente la Escalinata Glífica 1 en la Estructura 13Q-3. Todo esto pudo ser un tributo al triunfo militar sobre la esfera geográfica y política de Calakmul. Esto se apoya por la interpretación de dos glifos recuperados de la escalinata, los cuales contienen un estilo eminentemente tardío y su lectura indica que se refieren a prisioneros de guerra (Canuto, *et al.* 2009).

Antecedentes

Las excavaciones en la Estructura 13Q-3 iniciaron en 2009 y en 2010 revelaron la presencia de la Escalinata Glífica 1, que ve hacia la plaza. Esta escalinata formó parte de un programa arquitectónico mayor porque estuvo compuesta de escalones y terrazas de siete a diez metros de ancho y que incluyeron más de 59 glifos. De éstos, diez fueron descubiertos entre el escombros de saqueo durante la Temporada 2008 y 24 bloques se

encontraron *in situ* en 2009, aunque algunos pudieron haberse movido de su lugar original debido a factores naturales. En esa misma temporada se identificaron otros 25 bloques dentro de escombros producido por actividades de saqueo.

La Escalinata Glífica 1 de la Estructura 13Q-3 ha sido dañada debido a la acción del tiempo y de saqueadores, por lo que se desconoce el número total de gradas y si todas contenían glifos tallados. Sin embargo, después de recuperar varios bloques *in situ*, dentro de un contexto primario, se puede proponer con confianza que existieron por lo menos dos escalones con glifos tallados. Después de estudiar cuidadosamente los escalones 1 y 2, parece que las huellas fueron hechas de bloques estucados y que solamente las contrahuellas contenían glifos, ya que no solo eran más visibles sino también se erosionaban menos. En cuanto a las técnicas de construcción, la calidad de la piedra usada es inferior a la usada en escalinatas anteriores y otros monumentos más tempranos. Los escalones y bloques glíficos se instalaron directamente sobre el relleno pero sin un amarre apropiado, seguramente como parte de una remodelación rápida hecha para ahorrar tiempo, trabajo y recursos. Como resultado, este rasgo arquitectónico colapsó con el paso del tiempo y fue fácilmente dañado por los saqueadores. Durante las excavaciones se descubrieron áreas estucadas que pueden corresponder a las huellas de las gradas. Finalmente, la cerámica recuperada en las excavaciones ha proporcionado una fecha del Clásico Tardío.

Las excavaciones llevadas a cabo en la temporada de 2010 probaron que la Estructura 13Q-3 no fue construida en un solo episodio. Al contrario, a un principio constaba de varias estructuras más pequeñas que con el tiempo se unieron para formar una sola plataforma alargada. No obstante, el crecimiento arquitectónico no quedó allí, ya que la plataforma se amplió más hacia el sur y en una versión posterior se agregaron rasgos en su parte superior. La escalinata central fue creada o remodelada en este momento, así como una banca sobre la plataforma central de la superestructura, a la cual se accedía por medio de varios descansos (Barrientos com. pers. 2010).

En esa misma temporada se encontraron algunos huesos dentro de las Unidades 33A-6 y 33A-20. Su mala conservación no pudo permitir la identificación del número de individuos y su distribución dispersa tampoco hizo posible entender su contexto. El contexto se volvió mucho más complejo cuando se recuperaron algunos artefactos finos que son característicos de la alta nobleza Maya, incluyendo una docena de cuentas de jade verde y concha *Spondylus* de varios colores y algunas piezas planas de jade, que pudieron pertenecer a algún pectoral o máscara de mosaicos. También se recuperó una perla y otros artefactos de madreperla y otras conchas marinas, incluyendo un artefacto semicircular de 5 cm de diámetro con restos de diseños incisos. Además, se recuperaron dos dientes modificados: uno con incrustación de una cuenta redondeada de jade; y el otro con incisiones verticales y una incrustación de una cuenta rectangular de concha *Spondylus* anaranjada.

En ese momento este contexto de dientes, huesos y artefactos fue interpretado como parte de un corte intruso dentro del último relleno arquitectónico de la plataforma (Canuto com. pers. 2010). La intrusión se compuso de suelo café mezclado con piedras grandes y medianas, mientras el relleno de la última fase fue hecho con una matriz compacta de suelo amarillento.

Objetivos y Metodología de la Temporada 2011

El objetivo de las excavaciones realizadas en 2011 fue seguir la intrusión para entender su significado y contexto. Para ello se tomaron en cuenta varias hipótesis que se establecieron al final de la Temporada 2010. Una de ellas es que se trataba de varios individuos sacrificados, posiblemente prisioneros de guerra, dada la referencia que se encuentra en los glifos de la Escalinata Glífica 1 (Canuto, *et al.* 2009; Guenter 2010). Otra idea propuesta es que los ocupantes tardíos de *Sak Nikte'* perturbaron accidentalmente el entierro anterior mientras se preparaba un entierro posterior. La tercera hipótesis, y la más favorecida, explicaba la intrusión y el conjunto disperso de huesos y artefactos como el resultado de un evento que buscó específicamente a este individuo enterrado con el propósito de matar ritualmente su poder ancestral y erradicar su memoria social por medio de la desacralización de sus restos materiales.

La excavación fue realizada por el mismo personal que trabajó en la temporada pasada, lo que constituyó una gran ventaja, dado que ellos recordaban cada detalle del contexto. Los trabajos se llevaron a cabo en el mes de mayo, iniciando con la excavación de la matriz café oscura de la intrusión y su relleno colindante de color amarillo ocre. Ambos contextos se localizaron dentro de la Unidad CR33A-20, en los Lotes 4 y 5.

Operación CR33

Como se definió desde 2009, la Estructura 13Q-3 es una plataforma larga y baja cuyo eje principal tiene una orientación este-oeste. Mide 72 m de largo y 3.7 m de alto. La excavación se ha realizado mediante la Operación CR 33, la cual ha sido dividida en 4 sub-operaciones. La parte central corresponde a la sub-operación 33A y la sub-operación 33B corresponde a un pozo de saqueo ubicado hacia el este del centro de la estructura. El extremo occidental de la plataforma constituye la sub-operación 33C y el extremo oriental se definió como 33D. Para la excavación de la sub-operación A se definió una cuadrícula y para este año se reabrieron las Unidades 33A-5, 33A-6, 33A-20 y 33A-21 (Figuras 8.1 y 8.2).

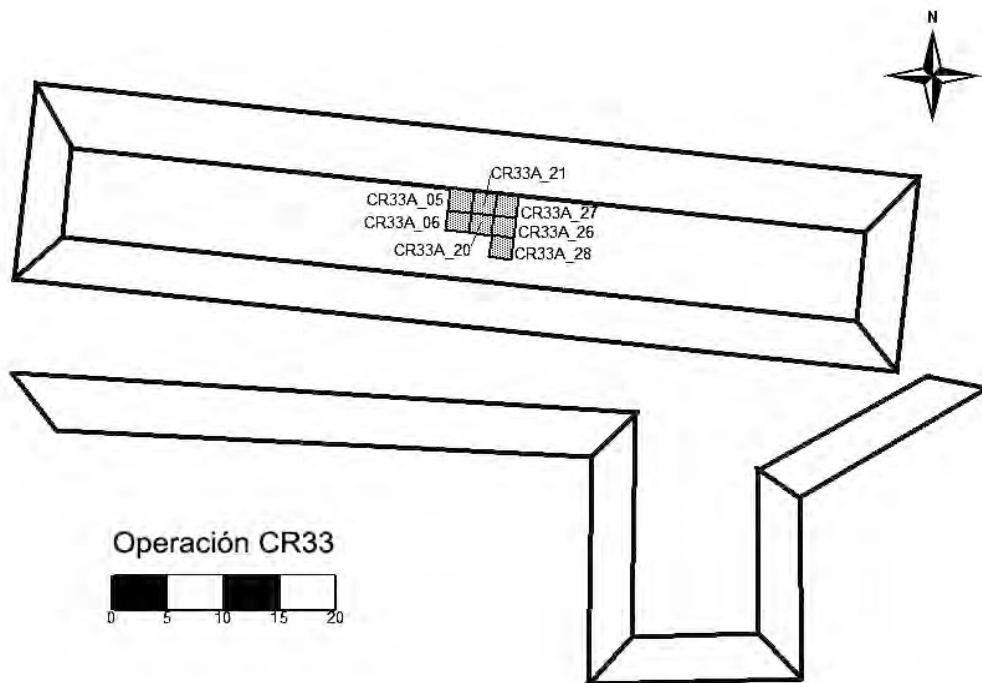


Figura 8.1 Ubicación de excavaciones en la Operación 33A, Estructura 13Q-3
(Mapa realizado por R. Guzmán)

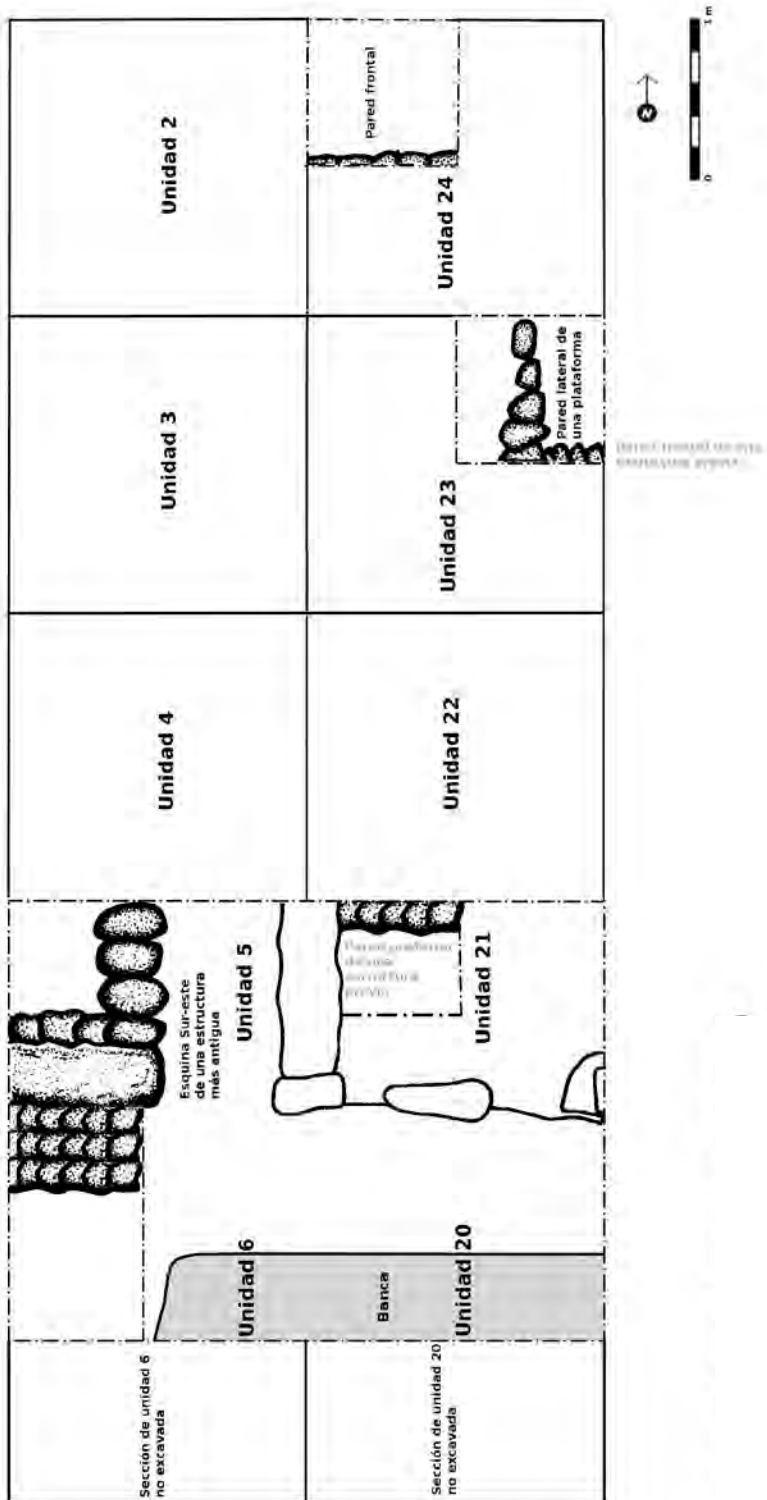


Figura 8.2 Planta de excavación mostrando ubicación de unidades y rasgos de la Suboperación 33A (Dibujo por V. Orellana. Calco por C. Fernández)

Sub-Operación CR33A: Escalinata de la Estructura 13Q-3

Unidad 33A-20

Se reanudó la excavación de esta unidad en el Lote 5, que correspondió a un registro de 1 x 1 m en la esquina noroeste, a una profundidad de 240 cm. Desde el inicio de la excavación se encontraron más huesos humanos y artefactos idénticos a los encontrados en la temporada anterior, que incluyeron cuentas de jade verde y concha *Spondylus* de varios colores, y conchas marinas.

El contexto también fue idéntico al expuesto el año pasado. Consecuentemente se decidió abrir otro registro de 1 x 1 localizado en la esquina noreste de la unidad. Una vez más se recuperaron huesos y artefactos como los ya mencionados. No obstante, a diferencia de la temporada 2010, la cantidad de artefactos incrementó drásticamente.

Los mismos artefactos aparecieron en las unidades al noroeste y noreste, dentro de los primeros 35 cm de profundidad en el Lote 5 (240 cm a 275 cm de profundidad desde el *datum*). En ese momento se descubrió el borde de una vasija en la esquina noroeste, la cual se limpió hasta exponerla por completo. La Vasija No. 1 consistió en un plato policromo de 25 cm de diámetro que fue colocado sobre un piso de estuco, ubicado a una profundidad de 280 cm. El plato contenía un diseño bastante abstracto pintado en negro sobre fondo naranja, que puede representar una araña, escorpión o alguna clase de insecto (Barrientos com. pers.) (Figura 8.3). El interior de la vasija fue cuidadosamente excavado, el cual incluyó ceniza en su lado norte y posiblemente restos de flores carbonizadas, tal como se había encontrado en el Entierro 4, ubicado en la Estructura 13Q-5. Todo este material fue recolectado para su análisis posterior.

La presencia de un plato policromado con restos de restos quemados y un piso de estuco generaron más interrogantes, ya que no se sabía su relación con la intrusión tardía en la estructura. Por lo tanto, se definió que este contexto estaba rodeado por cuatro remodelaciones arquitectónicas, por lo que podía relacionarse con una fase más temprana del edificio o bien podía ser una ofrenda tardía de forma intrusa. Para resolver estas dudas, se decidió seguir el piso en sus lados este y oeste, lo que resultó en el descubrimiento de más huesos humanos y cientos cuentas de jade y concha *Spondylus*.

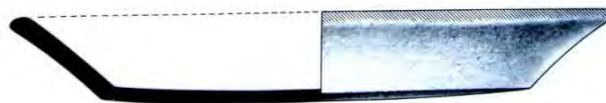


Figura 8.3 Vasija No.1, Entierro 3 (Foto por C. Guirola. Dibujo y calco por L. Luin)

Al seguir el piso de estuco hacia el oeste, se encontró otra vasija ubicada a 45 cm al sur de la primera, la cual se denominó Vasija No. 2 y consistía en un plato de color naranja de 38 cm de diámetro. En su interior se descubrió restos de ceniza en su parte norte, así como la mitad de una concha *Spondylus* de 7 cm de largo colocada bocabajo en la parte sur (Concha No. 1) (Figura 8.4).



Figura 8.4 Vasija No.2 (Foto por C. Guirola)

Por encontrarse sobre el mismo piso, ambas vasijas se interpretaron como parte del mismo contexto, aunque se consideró que formaban parte de un evento distinto al de la intrusión. Después de una revisión de la estratigrafía, se observó que el suelo sobre la Vasija No. 2 estaba perturbado, y de allí se recuperaron algunos tiestos y fragmentos de un hueso cúbito humano. También se estableció que la Vasija No. 2 se encontraba en el límite entre el relleno café oscuro y el de café ocre amarillento, por lo que aparentemente la intrusión no llegó a tocar la vasija.

Al contextualizar las dos vasijas, el piso de estuco, la intrusión y la secuencia arquitectónica, se pudo formular una hipótesis para relacionarlos: el piso fue colocado después que se cortó el relleno café oscuro, siendo este último parte de una etapa temprana del edificio. Sobre el piso se colocó un entierro de uno o más individuos, cuya ofrenda incluyó las dos vasijas. El entierro fue cubierto por el relleno amarillento, que formó parte de la última etapa constructiva de la estructura. Posteriormente, la intrusión identificada por el relleno de tierra café mezclada con piedras, cortó el relleno amarillento hasta llegar al entierro (Figura 8.5).

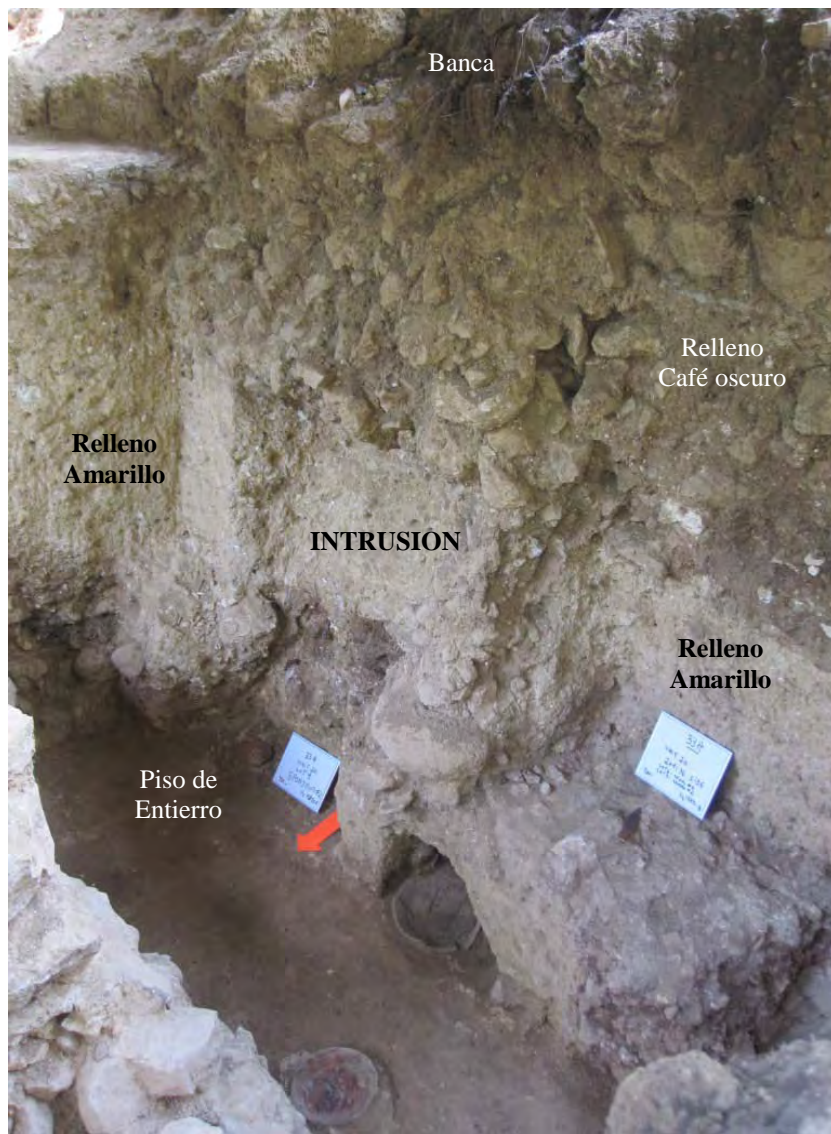


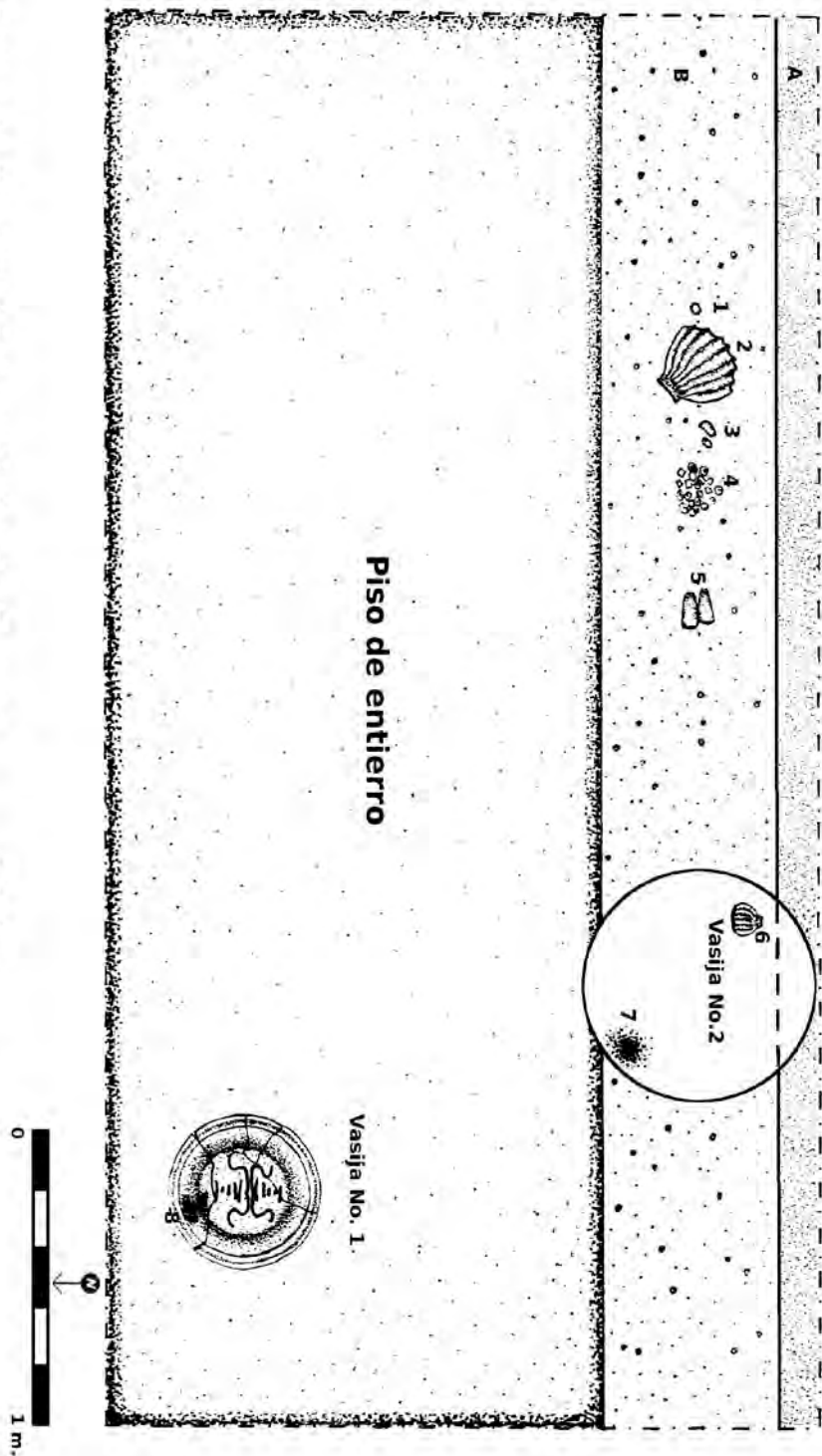
Figura 8.5 Vasijas no.1 y no.2 *in situ* y Perfil Sur mostrando intrusión
(Foto por Y. Desailly-Chanson)

Para comprobar esta hipótesis se siguió limpiando el piso y la intrusión. Se encontró que el piso fue de 3 cm de grosor y el suelo bajo éste fue el relleno café oscuro, siendo el mismo observado en el Perfil Este. Al seguir el piso se encontraron más huesos humanos y artefactos, hasta definir los límites sur y este del piso, determinando así una forma rectangular. El rasgo tuvo entonces un área de 240 cm de este a oeste y 83 cm de norte a sur (Figura 8.6). La orientación fue la misma que el Entierro 4, encontrado en la Estructura 13Q-5, así como también las tumbas encontradas dentro de las Estructuras 13R-2 y 13R-4 (Baron com. pers.).

La interpretación del contexto del Entierro 3 continuó con la limpieza del Perfil Este, por lo que se decidió limpiar la esquina sureste. Allí se encontró un apilamiento de huesos humanos que contrastó con el patrón disperso de los demás huesos encontrados hasta ese momento. Con la ayuda de Erin Patterson, se logró identificar algunos fragmentos de cráneo, columna, pies y manos. Por lo tanto, se confirmó que los restos humanos estuvieron mezclados y dispersos horizontal y verticalmente dentro de la intrusión, ya que los huesos se encontraron con una separación de hasta 300 cm horizontalmente y hasta 280 cm verticalmente.

Solamente después de analizar los huesos recuperados en 2010 y en 2011 se concluyó que los restos humanos corresponden a solo un individuo. También se concluyó que el sexo del individuo fue masculino, ya que los huesos fueron anchos y largos. En cuanto a las vértebras, presentaron una característica interesante, ya que estaban fusionadas como resultado de alguna enfermedad o heridas de guerra (Patterson com. pers.). Dentro de la muestra de huesos se hallaron algunos huesos de animales mezclados con los humanos, incluyendo partes de un caparazón de tortuga (Friedberg com. pers.). La presencia de una tortuga como ofrenda puede asociarse a su relación con ambientes tanto terrestres como acuáticos, así como su aparición en escenas relacionadas a la muerte, como la escena de una canoa incisa en un hueso del Entierro 116 de Tikal.

Proyecto Regional Arqueológico La Corona
Temporada 2011, Estructura 13Q-3
Sub-op. A, Unidades 20 y 6
Planta Entierro No. 3
Arqueólogo: Yann Desailly-Chanson
Calco y Digitalización: Carlos E. Fernández



- 1. Perla
- 2. Concha Spondylus
- 3. Amatista
- 4. Cuentas de jade, amatista; dos fragmentos de concha Spondylus; concha marina
- 5. Barras de jade
- 6. Concha Spondylus
- 7 y 8. Ceniza

Figura 8.6 Planta Entierro No.3
 (Dibujo por V. Orellana. Calco por C. Fernández)

Al limpiar el Perfil Este se hicieron algunos descubrimientos interesantes, destacando la presencia del relleno café oscuro en los tres perfiles (Este, Oeste y Sur). Con esto se demuestra que el entierro estuvo rodeado de este relleno, el cual está asociado a una extensión de la estructura hacia el sur, previa al enterramiento. Por lo tanto, el piso de estuco y el entierro fueron colocados de manera intrusiva dentro del relleno café oscuro, por lo que se definió como Intrusión No. 1 (Figura 8.7). En cuanto al relleno amarillento, fue claro que se colocó sobre el relleno café oscuro y el entierro. La intrusión tardía, nombrada Intrusión No. 2, fue la que penetró esta construcción durante el final de la ocupación del edificio, con el objeto de exponer el entierro.

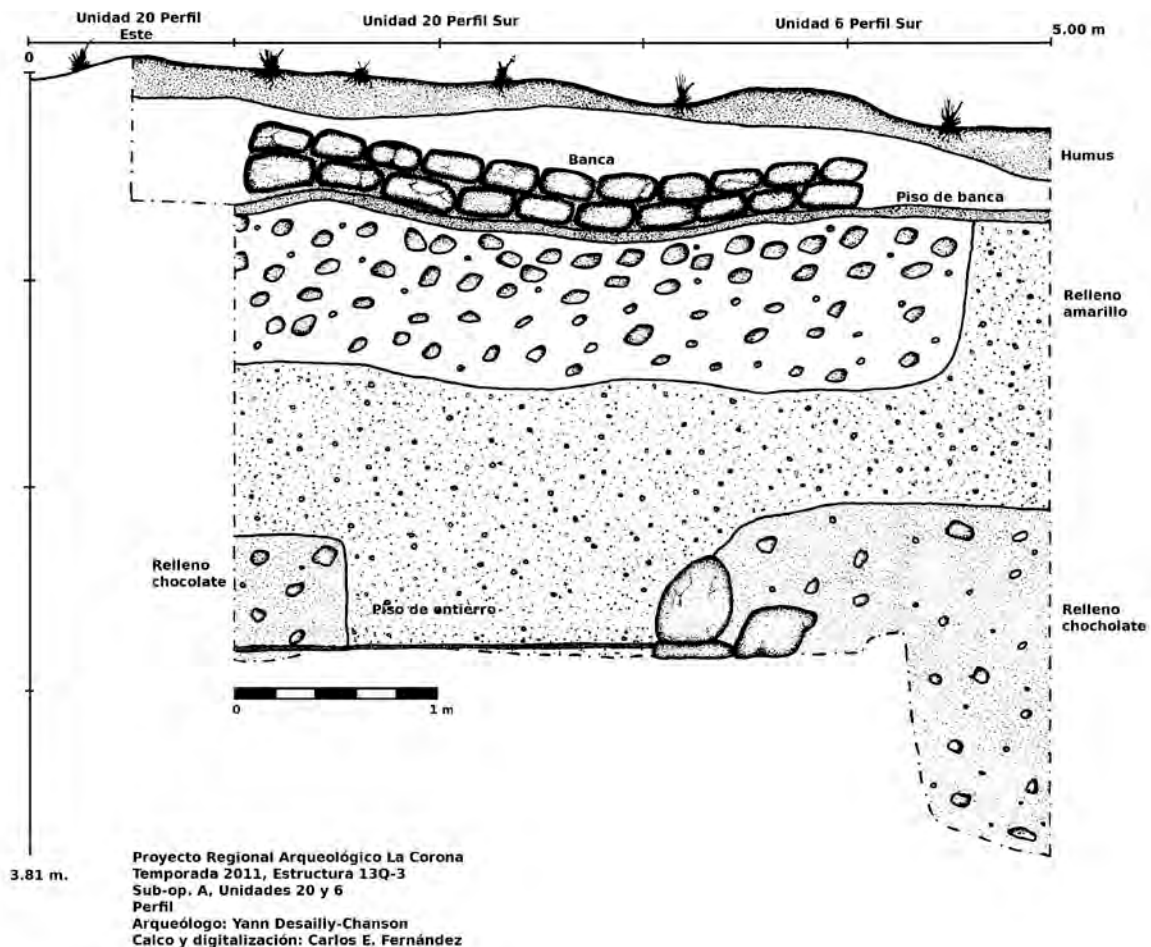


Figura 8.7 Perfiles Sur y Este de la Unidad CR-33A-20 y Perfil Sur de la Unidad CR-33A-6 (Dibujo por V. Orellana. Calco por C. Fernández)

Aunque ya se entendía mejor el contexto del entierro y la historia arquitectónica del edificio, todavía había que terminar con la excavación de la Intrusión No. 2. Por lo tanto se decidió realizar un pequeño registro en su centro, ya que se había identificado su profundidad total a 280 cm desde el *datum*, pero no se conocía su ancho. No obstante, al excavar dentro del perfil, se encontró rápidamente el relleno amarillento, por lo que se decidió entonces excavar la totalidad de la Intrusión No. 2. A una profundidad de 210 cm se encontró una perla que fue parte de un collar, y muy cerca del piso del entierro se encontraron tres cuentas rectangulares de jade, una de ellas de gran tamaño y todas con restos de cinabrio. La pieza mayor mide 5 cm y presenta un trabajo muy fino, que incluye una moldura en su extremo, asemejando un nudo (Figura 8.8).

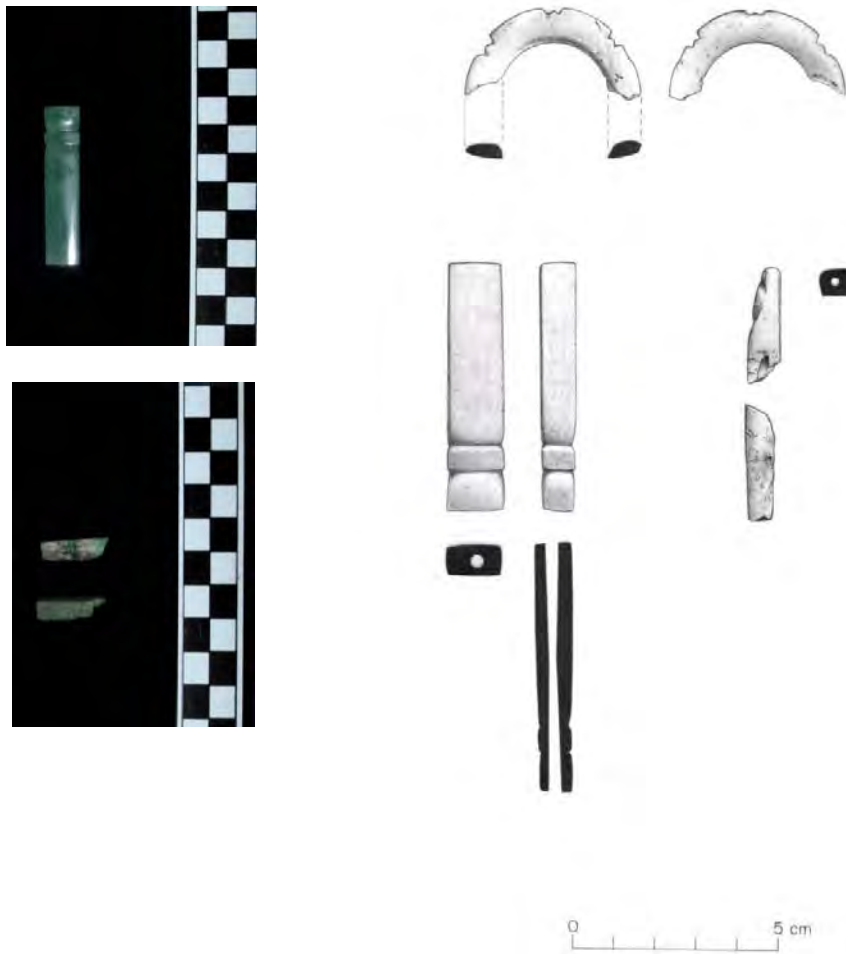


Figura 8.8 Cuentas de jade y fragmento de posible orejera de concha
(Fotos por C. Guirola. Dibujo y calco por L. Luin)

La presencia de estos últimos artefactos cambió la interpretación del entierro, ya que abrió la posibilidad que se tratara de un personaje importante, posiblemente asociado a la realeza del sitio. Otro detalle importante es que las piezas no son completas, sino corresponden a fragmentos que pudieron formar parte de uno o dos pectorales. Esto indica entonces que las piezas originales fueron quebradas intencionalmente, e incluso la pieza mayor parece haber sido aserrada.

Al excavar la parte final del piso de estuco se observó nuevamente el límite entre los rellenos café oscuro y amarillo ocre. Cerca de la pared este de la Unidad 33A-20 se encontró otro grupo de artefactos, los cuales descansaban sobre el relleno café oscuro. Éstos incluyeron cientos de cuentas de jade verde y *Spondylus* de distintos colores (Figuras 8.9, 8.10 y 8.11), así como conchas marinas completas (Figuras 8.12 y 8.13) y cuentas de madreperla en forma de gota (Figura 8.14). Muchos de estos artefactos contenían restos de cinabrio. Muy cerca del final de la intrusión se encontraron dos cuentas grandes de concha *Spondylus* de color corinto, ambas talladas en sus extremos. Los últimos artefactos recuperados fueron una concha *Spondylus* completa de gran tamaño (Concha No. 2), que medía 15 cm de largo y estaba colocada boca abajo (Figura 8.15). En su interior se encontraron restos de ceniza y algunas cuentas de jade, así como otra perla perforada en forma de gota a pocos centímetros de la concha.

Hay que notar que estos últimos artefactos se encontraban colocados en un alineamiento este-oeste. Se puede sugerir que los intrusos extrajeron muchas de las pertenencias del individuo enterrado y las tiraron de regreso. Si así fue, los objetos se deslizaron por el borde del pozo intrusivo, depositándose de manera lineal y en algunos casos de forma concentrada.



Figura 8.9 Cuentas de jade
(Fotos por C. Guirola. Dibujo y calco por L. Luin)



Figura 8.10 Cuentas de concha *Spondylus*
(Fotos por C. Guirola)

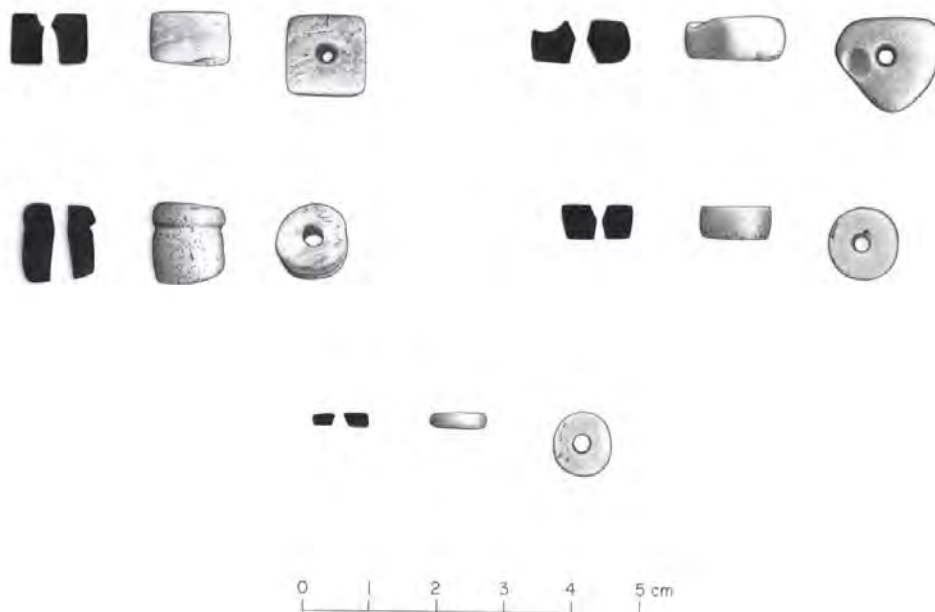


Figura 8.11 Cuentas de concha *Spondylus*
(Dibujo y calco por L. Luin)



Figura 8.12 Cuentas de conchas marinas y conchas *Spondylus* (Fotos por C. Guirola)



Figura 8.13 Cuentas de conchas marinas y conchas *Spondylus* (Dibujos y calcos por L. Luin)

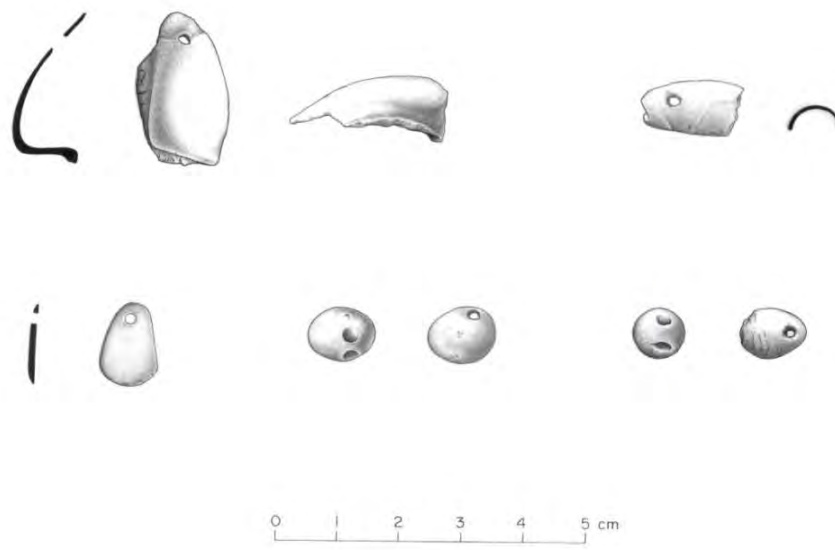


Figura 8.14 Cuentas de madreperla y perlas en forma de gota
(Dibujos y calcos por L. Luin)

La riqueza de los artefactos encontrados dentro de la Intrusión No. 2 y sobre el relleno café oscuro apoya la idea que el individuo enterrado fue de un estatus especial. La cantidad y rareza de los artefactos, así como la presencia del pectoral de jade, apuntan a que pudo ser un entierro de la realeza. La iconografía Maya suele mostrar y asociar los pectorales de este tipo con individuos que pertenecieron a las dinastías reales. Por otro lado, la ubicación vertical del entierro bajo la plataforma y escalinata, así como frente a la banca de piedra, es significativa. El entierro también estuvo alineado horizontalmente con el centro de la plaza.

Por lo tanto, se propone que este individuo enterrado jugó un papel importante en la historia de *Sak Nikte'* o que sus descendientes manipularon su cuerpo por razones políticas. Es posible entonces que esta persona pudo haber sido un gobernante anterior que llegó a ser un ancestro poderoso, por lo que la ubicación de su enterramiento hubiera “animado” el asiento de poder por medio de su alma y sacralidad (Houston com. pers. 2011). De esta manera, sus descendientes hubieran justificado su legitimidad y autoridad (McAnany 1995).



Figura 8.15 *Spondylus completa* (Foto por C. Guirola. Dibujo y calco por L. Luin)

El último día de excavación del entierro proveyó otro descubrimiento más. En este caso se trató de un bloque de piedra caliza con un glifo tallado. Éste se encontró mientras se limpiaba la parte superior de la intrusión, a una profundidad de 116 cm. El bloque representa una calavera con una orejera, así como una cruz *k'an* en la esquina superior izquierda (Figura 8.16). Este símbolo *k'an* se ha interpretado como “amarillo, maduro, precioso” (Baron com. pers.). No ha sido posible saber si la ubicación de este glifo dentro de la Intrusión No. 2 fue accidental o no, es decir, si se relaciona al personaje enterrado o a quienes perpetraron el evento intrusivo, o si formaba parte de una versión temprana o tardía del edificio.

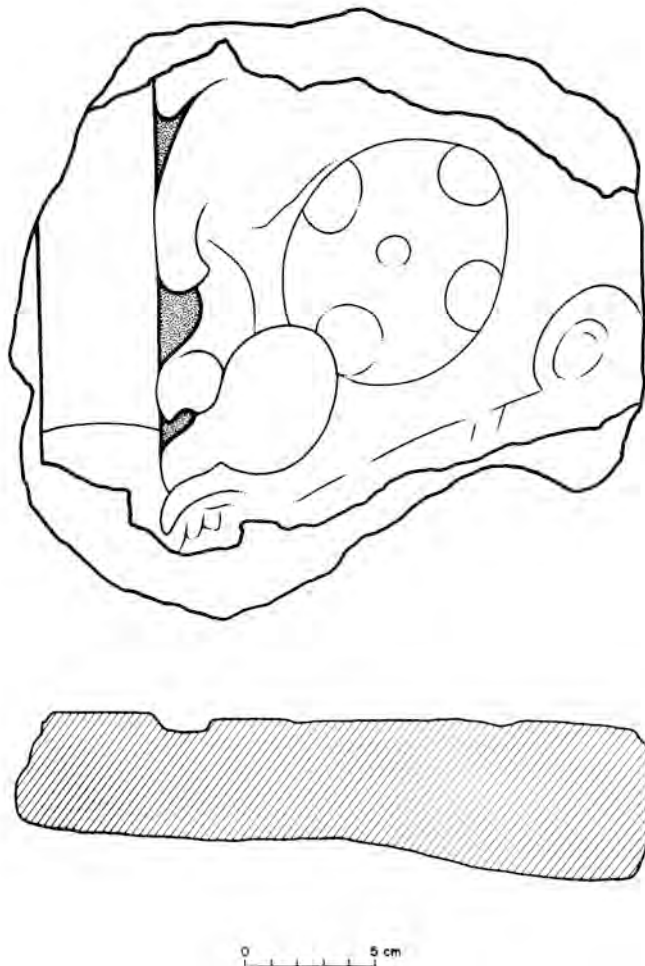


Figura 8.16 Bloque de piedra caliza con glifo tallado
(Dibujo y calco por L. Luin)

Se sabe que la historia de *Sak Nikte'* fue turbulenta alrededor de 655 d.C., ya que los gobernantes *Sak Maas* y *K'uk Ajaw* posiblemente fueron sacrificados en 655 y 658 d.C. Entonces se propone que no es factible que ambos restos óseos sean encontrados. El hijo de *Sak Maas*, llamado *Chak Naahb' Chaan*, llegó al trono en 658 d.C. y reinó durante los próximos diez años. Posterior a su muerte, en 668 d.C., su hijo y sucesor *K'inich Yook* condujo el ritual de “quemar la casa de la tumba”. *K'inich Yook* y su hermano *Chak Ak'aach Yuhk* reinaron casi por los próximos treinta años, y por último, *Yajawte' K'inich*, hijo de *K'inich Yook* y nieto de *Chak Naahb' Chaan* y *Yukhnoom Ch'een* El Grande de Calakmul, reinó probablemente hasta 746 d.C. El registro dinástico cesó abruptamente después de esta fecha, aunque algunos monumentos todavía pueden encontrarse en el sitio.

Aunque el Entierro 3 no consiste en una tumba abovedada y se ubicaba en una estructura alargada, puede ser considerada como un entierro real. Fitzimmons nota que *“debemos tener en mente los patrones locales. Lo que identifica a un entierro real en un sitio como Tikal – donde las tumbas reales se adhieren o incluso sobrepasan todas las calificaciones de realeza propuestas hasta ahora- no pueden ser aplicadas literalmente para calificar o descalificar los entierros de la realeza en otros lugares* (Fitzimmons 2009, traducción de T. Barrientos). Por lo tanto no todos los individuos de la realeza se enterraron en cámaras abovedadas dentro de estructuras piramidales. De esta manera, hay que tomar en cuenta las plataformas, escalinatas y bancas como posibles lugares para encontrar este tipo de tumbas (*Ibíd.*).

La presencia de 942 artefactos dentro del Entierro 3 es tentadora para definirlo como una tumba de la realeza (Figura 8.17). Esto adquiere relevancia cuando se compara con los 17 artefactos encontrados en el Entierro 4, ubicado en la Estructura 13Q-5, ya que la diferencia es desproporcionada. Esta riqueza material también es desproporcionada al relacionarse con los entierros reales y tumbas excavados en otros sitios de mayor importancia política (*Ibíd.*)



Figura 8.17 Artefactos del Entierro No.3 encontrados en 2011
(Foto por C. Guirola)

Por otro lado, explicar la intrusión encontrada dentro de la Estructura 13Q-3 también es una tarea difícil, ya que es difícil diferenciar un acto de re-entrada de uno de desacralización. Después de conversar con el Dr. Stephen Houston, el indicó que el “*comportamiento destructivo no es obviamente negativo*”, especialmente si se toma en cuenta el caso del Entierro 13 de Piedras Negras, el cual fue revisitado 25 años del enterramiento original. Los huesos se removieron o quemaron ritualmente para revitalizar los restos humanos y el espacio sagrado (Houston com. pers.). Otro caso, es el de la tumba Margarita ubicada dentro de la Estructura 10L-16 de Copán, la cual también fue revisitada varias veces ya sea para llevar a cabo quemas rituales o para quemar incienso. En el sitio de Ceibal también se registraron casos de tumbas revisitadas.

No obstante, las perturbaciones encontradas en el Entierro 3 son extremas. En primer lugar se trata de un entierro extendido y no una tumba abovedada, por lo que contrariamente a tumbas como la de Margarita en Copán, su arquitectura no fue diseñada para estos actos de re-entrada. Consecuentemente, quienes perpetraron esta intrusión removieron el primer escalón que asciende hasta la banca de la superestructura, pero sin tocar la banca en sí. Se realizó un agujero a través del piso, el cual llegó directamente hasta el entierro, ubicado 2.8 m abajo. Entonces se propone que la dispersión horizontal y vertical de los huesos humanos y artefactos es evidencia convincente de un acto de desacralización. El hecho que ambos pectorales de jade hayan sido rotos también apoya esta hipótesis. Se cree también que el motivo de este acto fue matar ritualmente a las fuerzas que habitaban este espacio sagrado y que “beneficiaban” al sitio, sus habitantes y los descendientes directos de la persona enterrada. Esta hipótesis también refuerza la noción que el individuo enterrado pudo jugar un papel político clave en *Sak Nikte*.

Hay que tomar en cuenta que es casi obvio que faltan algunos artefactos en el contexto funerario del Entierro 3. De hecho, algunas piezas planas y pulidas de jade encontradas en 2010 y 2011 pudieron formar parte de un mosaico, pectoral o máscara, que en este caso se dejó incompleto. También es posible que las conchas *Spondylus* hayan contenido alguna figurilla de jade, como ha sucedido en otros contextos, por lo que es importante notar que las conchas encontradas parecen haberse encontrado fuera de su posición original. También resalta la ausencia de orejeras, aunque es posible que el objeto circular de concha blanca pudiera ser parte de una (Chiriboga com. pers.). En este caso es importante el hecho que los registros epigráficos y los vasos policromos indican que los prisioneros de guerra fueron humillados a través de la remoción de sus ornamentos preciosos, incluyendo orejeras de jade u otro material exótico. En este caso, la remoción de este tipo de artefactos pudo ser una analogía simbólica para un acto de desacralización de tipo funerario.

Unidad 33A-5

Esta unidad se reabrió a partir del Lote seis y siete, definido a una profundidad de 268 cm. El pozo se ubicó sobre parte de una subestructura, específicamente en su esquina

sureste. Con esto se comprobó la idea que la plataforma de la Estructura 13Q-3 se creó a partir de dos edificios anteriores más pequeños, tal como se puede observar en el sitio de La Cariba, ubicado a pocos kilómetros de La Corona. Las excavaciones de esta unidad en 2011 llegaron hasta una profundidad de 340 cm (Lote 8), hasta que el espacio se redujo a tal grado que no se pudo continuar. Una muestra de carbón recuperada en este contexto ha permitido fechar esta subestructura ente 430 y 600 d.C.

Conclusión

Se analizaron varias muestras de carbón a través del método de Espectrometría de Acelerador de Masa, por Beta Analytic, Florida. Todas las fechas obtenidas tuvieron un grado de confianza de un 95% (2 Sigma resultado calibrado). Como ya se había mencionado, la muestra de carbón del Lote CR33A-5-8 ha proporcionado la fecha más temprana, entre 430 y 600 d.C., que corresponde a la versión más antigua hasta ahora encontrada en la estructura. Sin embargo, todavía no se ha recuperado alguna muestra que corresponda a la fase de unificación de las plataformas originales. Ahora bien, las muestras tomadas de las fases posteriores indican que esta remodelación ocurrió entre 550 y 640 d.C. El relleno constructivo de color amarillo ocre corresponde a esta fase, que se construyó cubriendo el Entierro 3, alrededor de 600 y 680 d.C. (fechas de 610-670 d.C. y 660-770 d.C.). Las dos vasijas encontradas sobre el piso de estuco pueden ser fechadas para la segunda mitad del siglo VII d.C., de acuerdo a su estilo (Barrientos com. pers.)

Las muestras de carbón recuperadas dentro de la intrusión parecen indicar que el evento sucedió después de 770 o 780 d.C. Si estos resultados son confiables, entonces el evento encaja muy bien con la llegada de una mujer de Tikal a *Sak Nikte'* en 791 d.C., según la inscripción del Altar 4. Se propone entonces que dicha llegada fue más militar que diplomática, en un intento de reconquista de todo Petén después del dominio de Calakmul. Este evento entonces sugiere que después de varios siglos de guerra, un sentimiento de venganza bien puede explicar la desacralización del entierro de un ancestro importante de la dinastía de *Sak Nikte'*.

Esta hipótesis está apoyada por eventos históricos conocidos. La conquista de un sitio rival incluía la captura de prisioneros, su sacrificio y la quema de ídolos de madera que retrataban dioses locales, así como la desacralización de edificios sagrados (Figura 8.18). Si el evento de desacralización puede ser atribuido a Tikal, entonces se pueden inferir tres puntos importantes. Primero, la acción de desacralización confirmaría que la llegada de una mujer de Tikal involucró una conquista militar y no una alianza diplomática. Entonces sería razonable asumir que Tikal no conquistó el sitio de *Sak Nikte'* antes del fin del siglo octavo.



Figura 8.18 Panel del Kimbell Art Museum, 783-785 d.C. (www.kimbellart.org)

La llegada de la mujer de Tikal en 791 d.C. fue más que una simple victoria, ya que pudo significar el final de los esfuerzos de Tikal por recuperar su territorio perdido a manos de Calakmul. Esto cambió el paisaje geopolítico, ya que los antiguos aliados de Calakmul fueron cayendo uno tras otro. Waka' fue derrotado en 743 d.C., mientras que Naranjo en 744 d.C., Dos Pilas en 761 d.C. y Aguateca y Cancuén alrededor de 800 d.C. *Yajawte' K'inich*, gobernante de *Sak Nikte'* e hijo de *K'inich Yook* fue también el nieto de *Yukhnoom Ch'een* El Grande. Por lo tanto, sus hijos llevaban la sangre del linaje de Calakmul y la llegada de la mujer de Tikal bien pudo deberse a la instalación de una nueva dinastía en *Sak Nikte'*. Se sugiere también que el paisaje arquitectónico del sitio cambió en este momento, ya que sus grupos principales fueron modificados y nuevos monumentos glorificaron el nuevo orden político y el cambio dinástico. En cuanto a estos monumentos tardíos, el Altar 2 contiene la fecha de 785 d.C., aunque el resto de la inscripción es ilegible. El Altar 4 describe la llegada de la mujer de Tikal en 791 d.C. y su muerte en 797 d.C., así como un evento de fin de período en 805 d.C. Entonces se puede inferir que la Escalinata Glífica 1, ubicada en la Estructura 13Q-3, fue parte de este plan de renovación. Los dos glifos más legibles evocan la captura de uno o dos prisioneros de guerra, ya que se refieren a la frase que se puede traducir como “perdió su oscuridad”.

Tabla 8.1 Estructura 13Q-3 – Entierro 3: Artefactos recuperados en 2010 y 2011

Artefactos con cinabrio

| | |
|---|-----------|
| Cuentas de jade oxidadas con cinabrio | 5 |
| Cuentas de jade con cinabrio | 9 |
| Concha marina completa con cinabrio | 3 |
| Pectorales de jade con cinabrio | 2 |
| Total de Artefactos con cinabrio | 19 |

Cuentas

| | |
|-------------------------------|---|
| Jade oxidado | 99 (incluyendo las que tienen cinabrio) |
| Jade verde | 338 (incluyendo las que tienen cinabrio) |
| <i>Spondylus</i> roja | 254 |
| <i>Spondylus</i> roja grandes | 2 |
| <i>Spondylus</i> naranja | 130 |
| Total de cuentas | 823 (incluyendo las que tienen cinabrio) |

Artefactos de jade

| | |
|------------------------------------|----------|
| Fragmentos de jade pulido | 6 |
| Pectorales | 2 |
| Total de artefactos de jade | 8 |

Artefactos malacológicos

| | |
|--|---|
| Perlas | 3 |
| Artefacto semicircular con tres incisiones | 1 (restos de una orejera?) |
| Conchas <i>Spondylus</i> | 3 |
| Madreperla trabajada | 65 |
| Artefacto en forma de pez | 1 |
| Otras conchas completas y fragmentos | 38 (incluyendo las que tienen cinabrio) |
| Total artefactos malacológicos | 111 |

Total de artefactos después

de la intrusión 942

Tabla 8.2 Resultados de los análisis de radio carbón, Beta Analytics

| | | |
|---|--|---|
|  | BETA ANALYTIC INC. DR. M.A. TAMERS and MR. D.G. HOOD | 4985 S.W. 74 COURT MIAMI, FLORIDA, USA 33155 PH: 305-667-5167 FAX: 305-663-0964 beta@radiocarbon.com |
|---|--|---|

REPORT OF RADIOCARBON DATING ANALYSES

Dr. Yann Desailly-Chanson

Report Date: 9/9/2011

Material Received: 9/2/2011

| Sample Data | Measured Radiocarbon Age | 13C/12C Ratio | Conventional Radiocarbon Age(°) |
|---|--------------------------|---------------|---------------------------------|
| Beta - 305258 | 1380 +/- 40 BP | -24.2 ‰ | 1390 +/- 40 BP |
| SAMPLE : S. #20: 13Q-3-Unit 20, Lot 9: Carbon #14-14.05.11 ANALYSIS : AMS-Standard delivery MATERIAL/PRETREATMENT : (charred material): acid/alkali/acid 2 SIGMA CALIBRATION : Cal AD 600 to 680 (Cal BP 1350 to 1270) | | | |

CALIBRATION OF RADIOCARBON AGE TO CALENDAR YEARS

(Variables: C13/C12=-24.2;lab. mult=1)

Laboratory number: Beta-305258

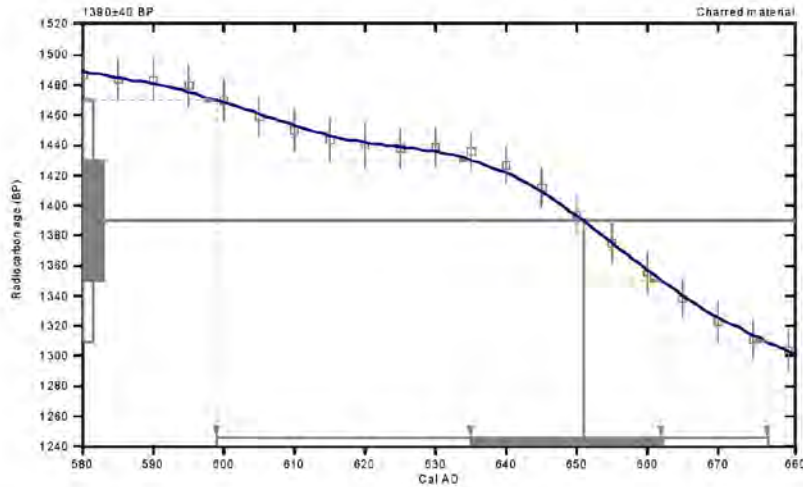
Conventional radiocarbon age: 1390±40 BP

2 Sigma calibrated result: Cal AD 600 to 680 (Cal BP 1350 to 1270)
(95% probability)

Intercept data:

Intercept of radiocarbon age with calibration curve: Cal AD 650 (Cal BP 1300)

1 Sigma calibrated result: Cal AD 640 to 660 (Cal BP 1320 to 1290)
(68% probability)



References:

- Database used*
- INTCAL04
- Calibration Database*
- INTCAL04 Radiocarbon Age Calibration
- IntCal04: Calibration Issue of Radiocarbon (Volume 46, nr 3, 2004)
- Mathematics*
- A Simplified Approach to Calibrating C14 Dates
- Talma, A. S., Vogel, J. C., 1983, Radiocarbon 35(2), p317-322

Beta Analytic Radiocarbon Dating Laboratory

4985 S.W. 74th Court, Miami, Florida 33155 • Tel: 305.667.5167 • Fax: 305.663.0964 • E-mail: beta@radiocarbon.com

**OPERACIONES CR14, CR15 Y CR17: EXCAVACIONES EN EL GRUPO CORONITAS,
ESTRUCTURAS 13R-2, 13R-3, 13R-4 Y 13R-5**

Joanne Baron

Introducción

El Grupo Coronitas se refiere al grupo de cinco templos que se ubican en el cuadrante 13R de La Corona. Estos cinco templos están dispuestos de manera alineada y con orientación norte-sur. Los templos de los extremos norte y sur (13R-1 y 13R-5 respectivamente) son los más pequeños, elevándose unos 5 m, mientras que los tres de en medio tienen una altura de 9 m. Las excavaciones en estos templos se iniciaron en 2006, como resultado del descubrimiento *in situ* de un panel glífico (Panel 1) en la Estructura 13R-5 en el año 2005 (Canuto *et al.* 2006)

Desde 2006, las excavaciones en estos templos se han diseñado para investigar su historia arquitectónica como también sus funciones. La función de estas pirámides se puede interpretar parcialmente por el texto del Panel 1 que se encontraba en la Estructura 13R-5. El tema principal del panel es la dedicación de esta estructura a una deidad referida como *Wak Mih Nal K'uh* “el dios del lugar seis nada” (Guenter 2005). El panel también discute la dedicación de otros tres templos a las deidades *Yax Ajaw* “Primer Señor,” *Chak Wayib Chaak* “Gran Templo Chaak” y *K'an Chaak* “Chaak Amarillo” (Guenter 2005). La evidencia arqueológica apoya la hipótesis que estos tres templos corresponden a las Estructuras 13R-2, 13R-3 y 13R-4.

Las excavaciones llevadas a cabo en la Temporada 2011 consistieron en cuatro suboperaciones. La suboperación 15A consistió de un solo pozo de prueba de 2 x 2 m y un túnel corto en su Perfil Este. Este pozo de prueba se colocó en el eje central de la Estructura 13R-2 y se llegó hasta la roca madre, bajando un total aproximado de 11 m. En este punto se descubrió una tumba cortada en la roca madre, la cual se describirá a continuación. Las suboperaciones 14B y 17B se llevaron a cabo en las terrazas posteriores de la Estructura 13R-4 hasta su unión con 13R-3 y 13R-5, respectivamente. Estas excavaciones fueron extensivas, diseñadas para exponer la arquitectura de estas terrazas y recolectar cualquier desecho que se haya descartado después de utilizarse en las actividades llevadas a cabo en los templos. Finalmente, la suboperación 14A fue una pequeña investigación de arquitectura temprana que había sido descubierta en la Estructura 13R-4 en 2010 (Baron 2011) (Figura 9.1).

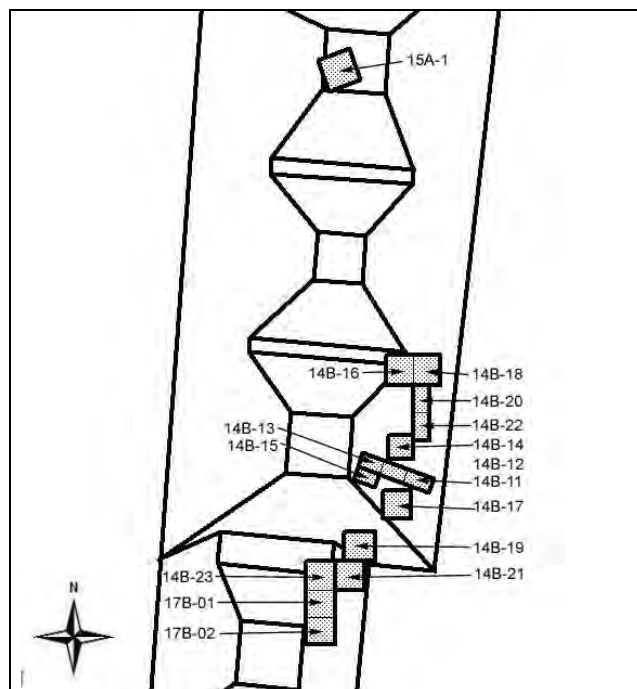


Figura 9.1 Ubicación de Excavaciones en las Suboperaciones 14A, 14B, 15A y 17B. Estructuras 13R-2, 13R-3, 13R-4 y 13R-5 (Mapa por R. Guzmán)

Operación 15A

Trabajos previos

La Estructura 13R-2 fue dañada por un saqueo severo, posiblemente hace unos 50 años. Este saqueo consistió de una trinchera a lo largo del eje central, que empieza en la base de la estructura en su frente (oeste) y continúa hasta la cima. Esta trinchera fue relativamente superficial, de unos 3 m de profundidad. En la parte posterior de la estructura (lado este), otra trinchera fue realizada desde la base hasta la cima. Aunque la trinchera no se limpió, hay evidencia (discutida más adelante) que indica que se trata de un túnel colapsado que llegó hasta la roca madre en el corazón de la estructura. En 2010, la operación 15A fue llevada a cabo para limpiar la trinchera frontal y explorar el perfil de la arquitectura expuesta (Baron 2011). Se expuso el piso de la fase final de la superestructura, así como la escalinata que desciende hasta la plataforma que comparten las Estructuras 13R-2, 13R-3 y 13R-4. Esto se realizó a través de una serie de unidades de 2 x 2 m. En la Temporada 2011 se continuó con la Unidad 15A-1 que se ubicó en la cima y al centro de la estructura, para explorar fases constructivas tempranas.

Objetivos

Se definieron dos metas principales para las excavaciones de la suboperación 15A. La primera fue llegar hasta la roca madre para exponer fases constructivas tempranas. Durante la temporada de 2010, una excavación similar se llevó a cabo en la Estructura 13R-4 (Suboperación 14A) (Baron 2011). Desafortunadamente, ese contexto estuvo bastante saqueado. Dado que la trinchera de 13R-2 parecía más superficial, se decidió que un pozo profundo permitiría clarificar la historia constructiva del edificio, para comparar los datos con los obtenidos en la Estructura 13R-4. La otra meta de la suboperación fue descubrir si existió o no una tumba bajo la estructura, basándose en la tumba descubierta en la Estructura 13R-4. Como esta última había sido saqueada, no fue posible recuperar su contenido ni asociarla con alguna fase constructiva (Baron 2011). Al encontrar otra tumba en 13R-2 se esperaba contar con una estratigrafía más clara que la asociada con la tumba de 13R-4.

Metodología

Esta excavación fue realizada como un pozo de prueba de 2 x 2 m colocado en lo que fue juzgado como el centro de la estructura (Unidad 15A-1). Dado que el relleno constructivo usado en el edificio fue algo estable, se pudo mantener perfiles relativamente rectos hasta que se llegó a la roca madre. Sin embargo, a una profundidad de 6.5 m se encontró el muro de la terraza posterior de una versión temprana del edificio. Como esta terraza presentaba una inclinación hacia el este, la unidad se fue reduciendo hacia abajo, llegando a medir 2 x 1 m. Cuando la unidad se llegó a la roca madre no hubo evidencia visible de una tumba. Sin embargo se determinó que la ubicación de la unidad pudo ser un poco al oeste del centro del edificio, por lo que se excavó un pequeño túnel (15A-1a) hacia el este siguiendo la roca madre. A partir del primer día de la excavación del túnel se descubrieron los rasgos del techo de una tumba cavada dentro de la roca madre.

Excavación

Como la Unidad 15A-1 había sido parcialmente excavada en 2010, se decidió iniciar los números de lote arbitrariamente a partir del número 11 en lugar de 1. En 2010 la unidad se había dejado con la trinchera de saqueo parcialmente limpia, dejando expuestas algunas secciones del piso final de la superestructura en ambos lados del pozo. Se colocó entonces un nuevo *datum*

para la unidad (*datum* 15A-4) a unos 50 cm sobre el nivel del piso de la fase final. El Lote 11 consistió de tierra colapsada y escombros que había caído sobre este piso desde los perfiles de la unidad durante la postemporada. El Lote 12 consistió en la continuación de la limpieza de la trinchera de saqueo, la cual tuvo solamente 1 m de ancho (Figura 9.2).



Figura 9.2 Trinchera de saqueo mostrando derrumbe sobre piso de estuco en Unidad CR15A-1 (Fotografía por Joanne Baron)

Después de estas actividades preparatorias, se inició la remoción del piso final y el relleno bajo éste (Lote 13). La fase final de la construcción de 13R-2 fue bastante superficial, ya que elevó la altura de la estructura solamente un metro. Bajo el relleno de esta fase final se encontró la penúltima fase constructiva. En lugar de tratarse de una sola superficie de piso plana, esta fase fue finalizada con una serie de escalones anchos, cada uno de unos 60 cm de ancho y 30 cm de alto. Las excavaciones expusieron tres de estas gradas, siendo cada una construida sobre varias capas de balastro de piedras y mezcla. La siguiente capa de balastro se colocó empezando a 60 cm al este y continuando en esa dirección. Finalmente, todas las gradas se cubrieron con estuco pintado de rojo (Figura 9.3). Cuando se llevó a cabo la fase final de construcción, el relleno se colocó en capas correspondiendo a la altura de cada grada de la penúltima fase.



Figura 9.3 Gradas de la penúltima fase en Unidad CR15A-1
(Fotografía por Joanne Baron)

Las gradas de la penúltima fase fueron removidas como parte del Lote 14. Bajo éstos se encontró una capa de un relleno sólido y oscuro (Lote 15). Este relleno estuvo dividido por varios muros rústicos que aparentemente facilitaron la construcción y a lo largo de la excavación se encontraron en dirección norte-sur y este-oeste. La presencia de estos muros constructivos fueron particularmente útiles porque evidenciaron que la excavación había llegado a un contexto no saqueado, especialmente un muro que iba de norte a sur inmediatamente bajo la ubicación de la trinchera de saqueo (Figura 9.4).



Figura 9.4 Muros constructivos en final del Lote 15, Unidad CR15A-1
(Fotografía por Joanne Baron)

En este punto fue necesario ampliar la unidad hacia el oeste para continuar con la excavación más profunda (Lote 16). El Lote 17 consistió de la excavación dentro del relleno de la penúltima fase, de 2.36 a 3.75 m bajo el *datum*. Durante la excavación del Lote 17, un relleno extremadamente oscuro empezó a verse por el Perfil Sur de la unidad, mientras que otro relleno un poco menos oscuro apareció por todos lados. El Lote 17 se concluyó arbitrariamente durante el receso de Semana Santa, por lo que el Lote 18 empezó a exponer el relleno oscuro del Perfil Sur y el otro relleno que se extendía por el resto de la unidad. Sin embargo, a 4.32 m de profundidad el relleno más oscuro cubrió toda la superficie de la unidad, por lo que se excavó como Lote 19. Se cree que este relleno oscuro representa el relleno de un basurero que fue reutilizado como material de construcción, ya que contenía un número inusual de cerámica, un fragmento de metate, dos navajas de obsidiana y una piedra trabajada.

El Lote 19 fue solo de 60 cm de grosor y terminó a 4.95 m bajo el *datum* con una capa delgada de mezcla gris que no fue estucada. Ésta parece que se usó para nivelar el relleno ubicado abajo, probablemente en asociación con las terrazas de una estructura más temprana (ver más adelante). Bajo esta capa de mezcla el relleno continuó (Lote 20) pero con un color menos

oscuro que el observado en los Lotes 15,17 y 18. En el Lote 20 apareció otro muro constructivo, en dirección este-oeste con su fachada emergiendo del Perfil Sur y asentado sobre otra capa de mezcla que apareció a 6.54 m bajo el *datum*. Esta capa de mezcla se encontró por todo el nivel de la unidad, junto con la cima del muro de una terraza de una fase constructiva anterior, que emergió desde el Perfil Oeste. Parece que esta mezcla fue usada para nivelar el relleno constructivo con el nivel de la cima de esta terraza. Esto también indicaría que la mezcla superior que inició en el Lote 20 fue usada para un propósito similar, nivelando el relleno hasta la parte alta de una terraza superior de la subestructura (Figura 9.12). El Lote 21 exploró el relleno bajo la mezcla, el cual continuaba directamente sobre el muro de la terraza temprana. A 7.5 m de profundidad se encontró otra capa incompleta de mezcla y otro relleno bajo la misma (Lote 22). Todavía se encontró otra capa de mezcla a 7.8 m bajo el *datum*, el cual correspondió al mismo nivel de una moldura remetida del muro de la terraza. El relleno encontrado bajo la mezcla se removió como el Lote 23.

Finalmente, a 8.30 m de profundidad se encontró una capa muy delgada de relleno de color amarillo e inmediatamente abajo una capa de relleno gris, los cuales conformaron el Lote 24. Sin embargo, en un análisis posterior, fue claro que los dos representaron dos eventos de deposición distintos. El suelo amarillo, cuyo grosor fue solamente de 5 a 10 cm, no contuvo cerámica pero sí lascas de pedernal y obsidiana. Después se determinó que esta capa amarilla fue parte del techo de la tumba, lo cual se describirá más adelante. Ahora, con respecto al relleno gris que se encontró bajo el amarillo, sí contenía un número alto de cerámica y algunos huesos. Se determinó que esto representaba un basurero temprano que se había acumulado en la parte posterior del muro de la terraza, la cual se construyó directamente sobre la roca madre, encontrada a una profundidad de 9.5 m.

Como se había esperado encontrar una tumba cortada en la roca madre, en este punto se inició la excavación de un túnel en la esquina noroeste de la unidad, siguiendo el nivel de la roca madre. El túnel fue nombrado 15A-1a para distinguirlo del pozo de sondeo (15A-1) (Figura 9.5). El primer lote del túnel fue un lote mezclado, ya que contenía relleno correspondiente a tres capas: relleno constructivo de la penúltima fase (encontrado en el Lote 15A-1-23) y los depósitos de color amarillo y gris (correspondientes al Lote 15A-1-24). Los excavadores notaron que la capa de basurero se cortaba mediante una línea que corría de norte a sur, justamente bajo el perfil original del pozo.

La roca madre también se cortaba a lo largo de la misma línea. Dentro del corte de la roca madre se encontró un alineamiento burdo de rocas, mientras que la capa amarilla se extendía hacia el este, más allá del corte y sellando el contexto. Este relleno amarillo contenía una gran cantidad de lascas de pedernal, las cuales se extrajeron por puñados (Figuras 9.8 y 9.9).

Los excavadores siguieron el corte de la roca madre hacia el sur, de manera que el túnel cruzó hacia la esquina (Figura 9.5). En este punto se descubrió un agujero en el relleno amarillo, que se abría hacia la cámara de la tumba. Entre esta apertura y el perfil del pozo se observó una columna de relleno de 50 cm de ancho, la cual puede ser los restos de un túnel de saqueo colapsado que se había excavado desde la parte trasera de la estructura. No se consideró seguro continuar explorando la apertura, por peligro de colapso. Sin embargo, por razones descritas más adelante, tampoco se cree que los saqueadores entraron a la tumba. Entonces es posible que el techo de la tumba ya hubiera colapsado para el momento en que los saqueadores llegaron, lo que hubiera roto o dañado las vasijas u otros artefactos.

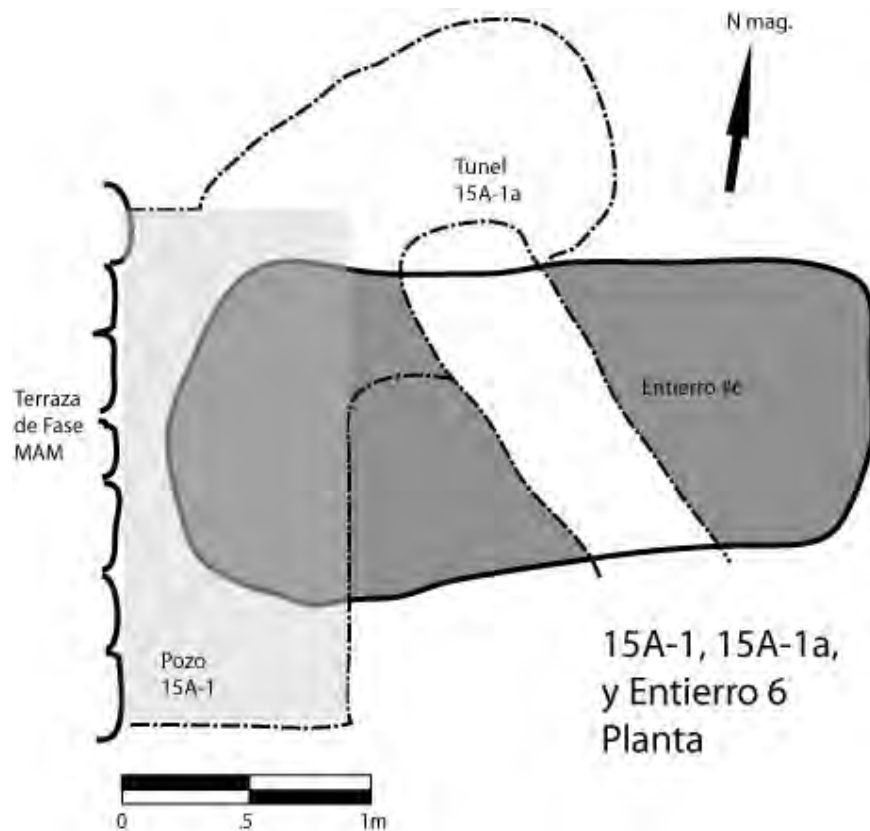


Figura 9.5 Planta del Entierro 6 y Unidades 15A-1 y 15A-1a
(Dibujo y calco por Joanne Baron)

La tumba fue nombrada Entierro 6 al momento de excavarla. Su construcción fue la siguiente: una cámara fue cortada en la roca madre midiendo 2.75 m de largo (este-oeste) y 1.5 m de ancho (norte-sur). El corte formó una banqueta a 1.30 m sobre el piso de la cámara, cuyos muros se forraron con piedras y estuco para emparejar su superficie. La banqueta se utilizó para colocar dinteles de madera que formaron el techo de la tumba, y aunque la madera se había deteriorado por completo, todavía fue visible una mancha orgánica oscura por toda la banqueta, donde el dintel hubiera descansado (Figura 9.6). Sobre los dinteles se colocó un petate, cuya impresión todavía fue visible a lo largo de la parte este del techo de la tumba (Figura 9.7). Las ofrendas posiblemente se colocaron sobre este petate, y se determinó que varias vasijas posiblemente cayeron desde arriba y pudieron haberse colocado “labio a labio”. Otra vasija, un pequeño cilindro bicromo, se recuperó en la banqueta del lado sur de la tumba, por lo que es posible que otras vasijas similares fueran colocadas en los otros lados de la banqueta, pero no se pudieron recuperar dado el riesgo de excavar los otros lados de la parte superior de la tumba.



Figura 9.6 Banqueta con mancha orgánica donde hubiera descansado el dintel
(Fotografía por Joanne Baron)



Figura 9.7 Parte este del techo de la tumba mostrando impresión de petate
(Fotografía por Joanne Baron)

Sobre el petate, el techo de la tumba fue cubierto con piedras grandes y relleno amarillo, que selló toda el área hasta el muro de la estructura anterior. Esta capa estuvo llena de lascas de pedernal y obsidiana (Figuras 9.8 y 9.9). En total, se recuperaron cerca de 7,000 lascas de pedernal, así como unas 500 lascas de obsidiana. Se estima que esta cantidad es solamente un cuarto o un tercio del total de artefactos líticos que fueron depositados sobre la tumba, por lo que el total ascendería entre 20,000 y 30,000 lascas de pedernal y de 1,500 a 2,000 lascas de obsidiana. El pedernal usado tuvo una variedad de colores y parece que fueron extraídas de nódulos sin uso, ya que muchas piezas todavía tenían áreas de corteza. Sin embargo, la obsidiana consistió mayormente de núcleos de navajas prismáticas rotos y por lo tanto representa el reuso ritual de objetos que fueron originalmente utilitarios.



Figura 9.8 Relleno amarillo con lascas de pedernal y obsidiana
(Fotografía por Joanne Baron)

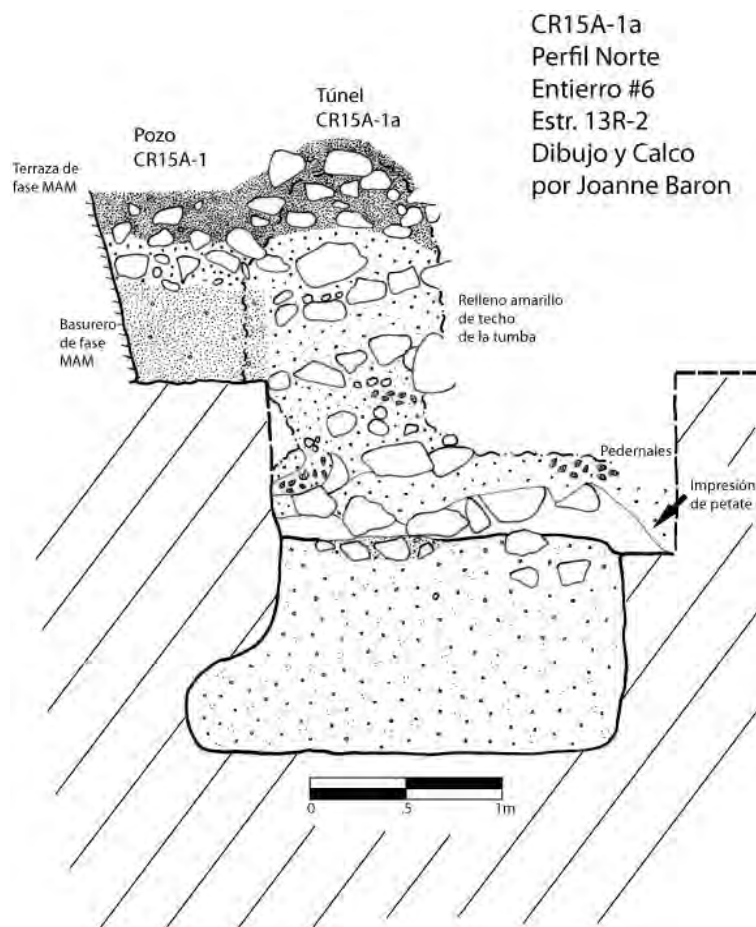


Figura 9.9 Perfil Norte Entierro 6
(Dibujo y calco por Joanne Baron)

Como los dinteles de madera de la tumba se pudrieron, las piedras y el relleno del techo colapsaron parcialmente. Estas piedras cayeron dentro de la tumba, dañando todas las ofrendas cerámicas ubicadas en su interior, así como los restos humanos. Para facilitar su remoción, el agujero en el techo de la tumba fue ampliado para crear una ranura de unos 50 cm de ancho y 1.5 m de largo. Se retiraron las piedras más grandes para proceder con la excavación cuidadosa de los contenidos de la tumba. Cuando se pudo entrar a la tumba, parecía que hubo actividad de animales y después se pudo comprobar que una familia de ratas vivía allí. También se encontraron desechos orgánicos de origen reciente dentro de la tumba, seguramente llevados allí por los animales. Al examinarse el contexto del agujero original de la tumba, se observaron vetas en las paredes que indican que el agujero pudo haber sido creado por la acción del agua. Por todos estos factores (colapso, agua y animales), los contenidos de la tumba se encontraron en condiciones muy malas (Figura 9.11).

La excavación procedió dividiendo la tumba en una cuadrícula de 7 rectángulos de 40 cm de ancho. Los artefactos fueron entonces removidos por cuadro y elevación (Figura 9.10). Se colocó un nuevo *datum* en la tumba, 11.30 m bajo el *datum* de 15A-4. Los artefactos que se removieron en la parte superficial del colapso del techo estuvieron de 20 a 25 cm bajo el nuevo *datum*, y se continuó con otro nivel de 25 a 35cm, de 35 a 45cm, de 45 cm al piso y directamente sobre el piso. En total, se asignaron 54 números de lote.



Figura 9.10 Planta de Entierro 6
(Fotografía por Joanne Baron)

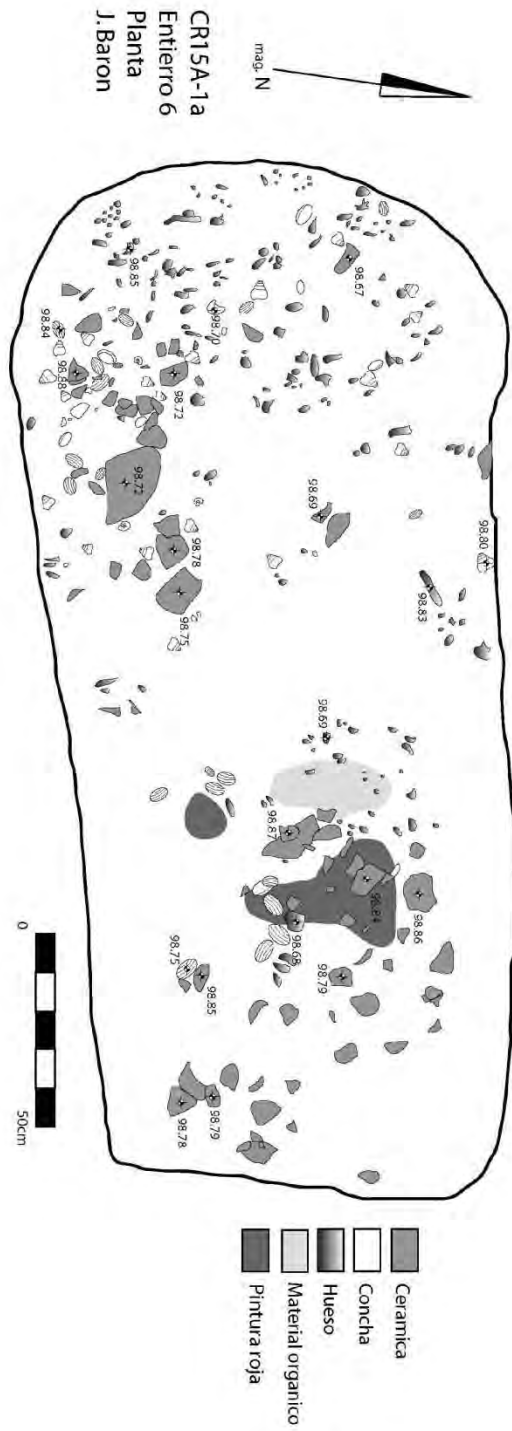


Figura 9.11 Planta Entierro 6
(Dibujo y calco por Joanne Baron)

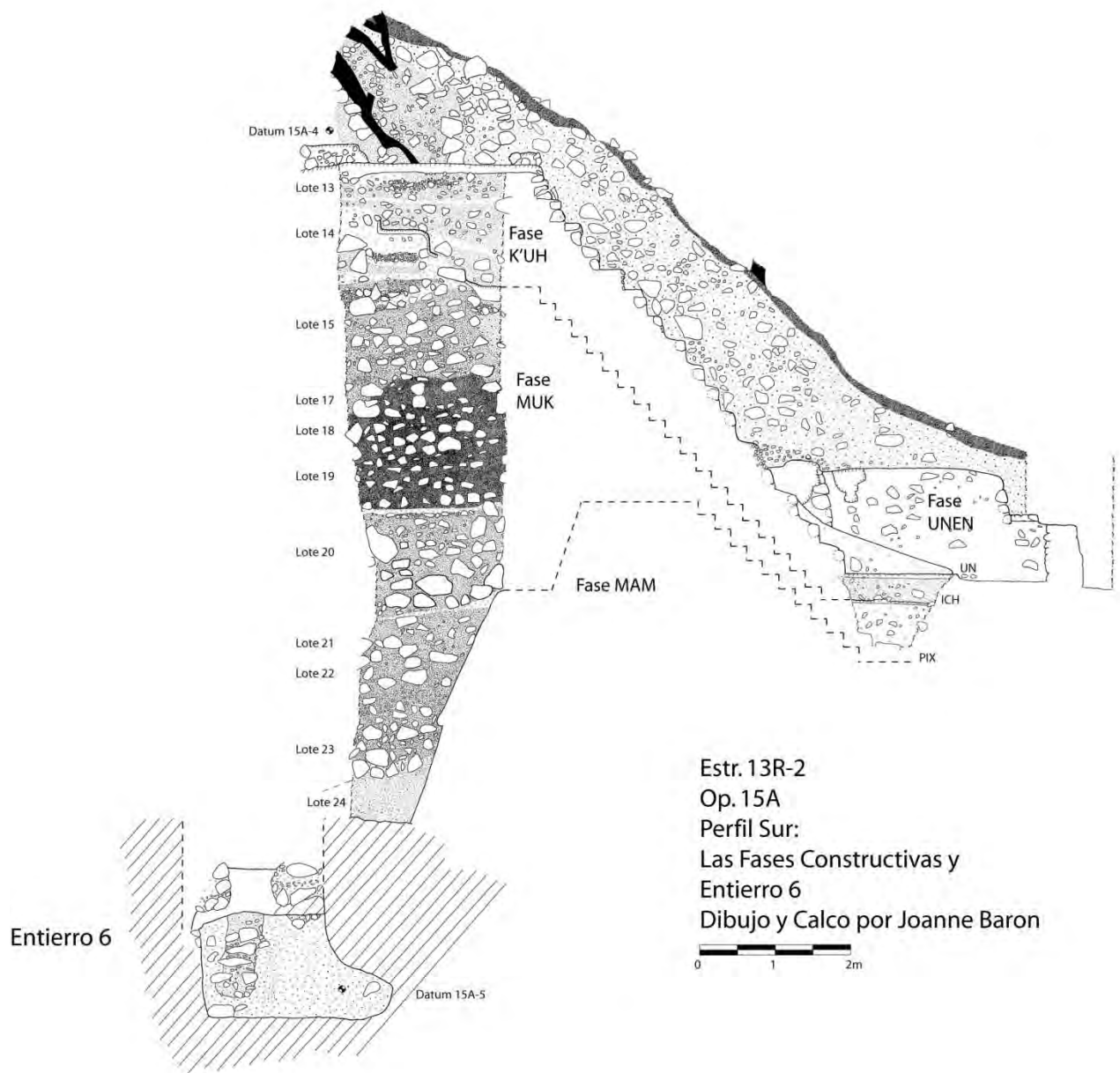


Figura 9.12 Fases constructivas de la Estructura 13R-2 y ubicación de Entierro 6
(Dibujo y calco por Joanne Baron)

Contenido del Entierro 6

Los restos humanos del Entierro 6 se encontraron en una condición muy mala como resultado de la acción de roedores. De hecho, se encontró un peroné humano con evidencia de roído en el basurero del pozo (15A-24), lo que pudo también ser el resultado de la movilidad de las ratas por las ranuras del relleno. Sin embargo, dada la ubicación de fragmentos craneanos, dientes y los huesos de tobillo y pies, puede determinarse que la cabeza del individuo enterrado estaba hacia el este y sus pies hacia el oeste. El análisis inicial de Erin Patterson indica que se trataba de una persona adulta de sexo indeterminado. No obstante, los huesos indicaron que el individuo fue relativamente grande, sugiriendo que se trataba de un hombre y no una mujer.

La tumba contenía bastantes restos de fauna, especialmente varias conchas bivalvas y de caracol que rodearon el cuerpo enterrado. No pudo determinarse si las conchas se colocaron en algún patrón particular, ya que tanto los bivalvos como los caracoles se encontraron dispersos por toda la tumba, con excepción de los dos cuadrantes más al este. Las dos variedades de concha fueron de agua dulce, por lo que pudieron provenir de las inmediaciones del área de La Corona. Además de las conchas, Diana Friedberg también notó la presencia de huesos de cocodrilo y tortuga en algunos de los lotes, aunque todavía falta un análisis completo de los mismos. Sin embargo, después de estos análisis preliminares, es claro que la tumba estuvo llena de especies acuáticas que pudieron estar disponibles en los alrededores de la estructura.

Algunas piezas de concha marina se encontraron en la tumba y consistieron de pequeños ornamentos que posiblemente estaban cerca de la cabeza o el área del cuello. En total, se recuperaron 22 piezas, incluyendo siete cuentas pequeñas. El fragmento más grande fue de solamente 4 cm de largo y la mayoría fueron mucho más pequeñas (Figura 9.13). Aparte de estos fragmentos de concha y la obsidiana reutilizada, no hubo otros materiales exóticos en la tumba.

Se recuperaron fragmentos de 15 vasijas (Figura 9.14) y cada tiesto se marcó con su número de lote, para guardar la información del contexto original. Después, las vasijas fueron reconstruidas y basándose en la proveniencia de cada tiesto, se pudo crear una reconstrucción tentativa de la ubicación original de cada vasija dentro de la tumba. Las vasijas se agruparon en varios conjuntos: seis de las vasijas fueron cuencos poco profundos con base anular y cuatro de

éstos posiblemente fueron colocados sobre el petate en el techo de la tumba, colocadas labio con labio. Las otras dos pudieron haber estado dentro o sobre la tumba. Otro conjunto fue de dos cuencos rojo sobre crema, que posiblemente se colocaron a un lado del muslo izquierdo del individuo, en el lado sur de la tumba. De tres cuencos negros bien pulidos, dos fueron colocados cerca de las vasijas rojo sobre crema y la otra fue colocada al noreste de la cabeza del ocupante. Finalmente hay tres cuencos pequeños negros, uno bien pulido y dos sin pulimiento. El cuenco bien pulido fue colocado también cerca del muslo izquierdo, mientras que los otros dos se colocaron en algún lugar al este de la cabeza. La decimoquinta vasija, ya mencionada antes, fue el pequeño vaso cilíndrico colocado en la banqueta del lado sur de la tumba (Figura 9.15).

El análisis preliminar llevado a cabo por Caroline Parris indica que la cerámica de esta tumba corresponde a la fase cerámica Tzakol 3 de Uaxactún (final del siglo VI d.C.). Un hueso metatarso fue exportado para análisis de radio carbón, pero desafortunadamente el colágeno no pudo ser extraído debido al daño ocasionado por el agua que entró en la tumba.

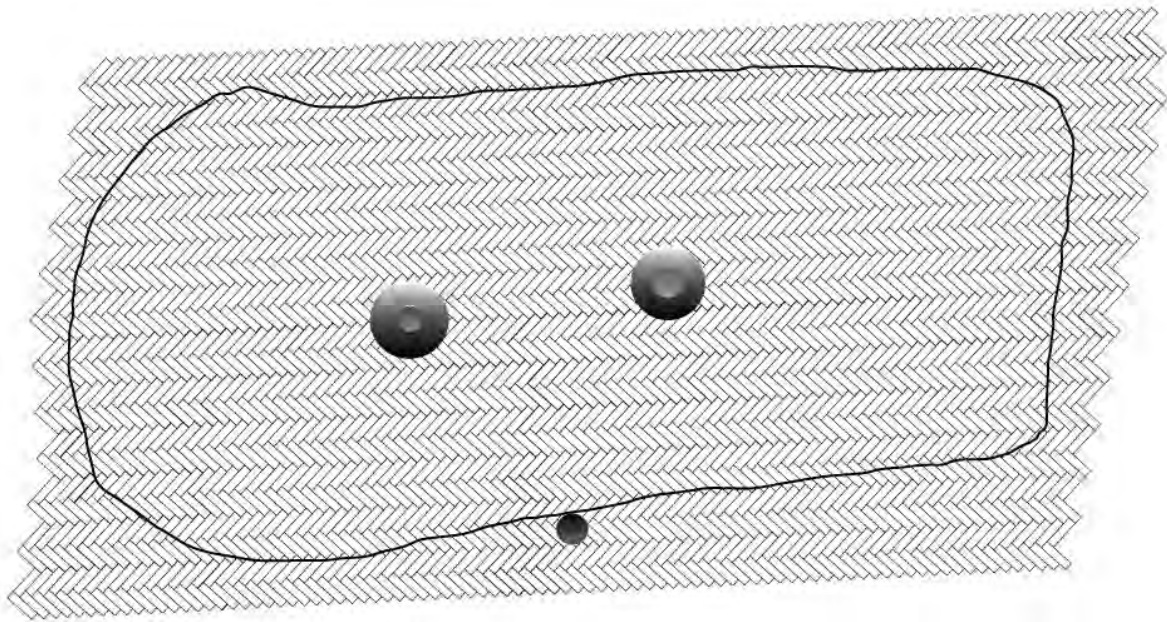
Aunque se recuperaron algunos materiales exóticos en la tumba, se cree que el Entierro 6 corresponde a un gobernante de La Corona del Clásico Temprano. Esta conclusión se basa en el contexto arquitectónico, que consiste en una cámara cortada en la roca madre y un templo funerario, así como los artefactos asociados que incluyen de 20,000 a 30,000 lascas de pedernal y que están asociados a entierros reales por todas las Tierras Bajas Mayas (p.e. Demarest *et al.* 2003, Moholy-Nagy 1997). El hecho que este gobernante no haya tenido acceso a materiales exóticos como jade o cerámica policromada, probablemente indica que durante este período La Corona estuvo muy alejada de las rutas de comercio que hubieran llevado bienes exóticos y artesanos especializados. Las tumbas y escondites posteriores en La Corona, que sí contienen esos tipos de materiales, indican que el sitio sufrió cambios dramáticos después que se abrió la ruta patrocinada por Calakmul y que llegó tan al sur como Alta Verapaz (Freidel *et al.* 2007). Desafortunadamente, la ubicación remota del sitio en el Clásico Temprano también explica porqué no se han encontrado inscripciones de ese período en La Corona, por lo que el nombre del ocupante del Entierro 6 permanece desconocido.



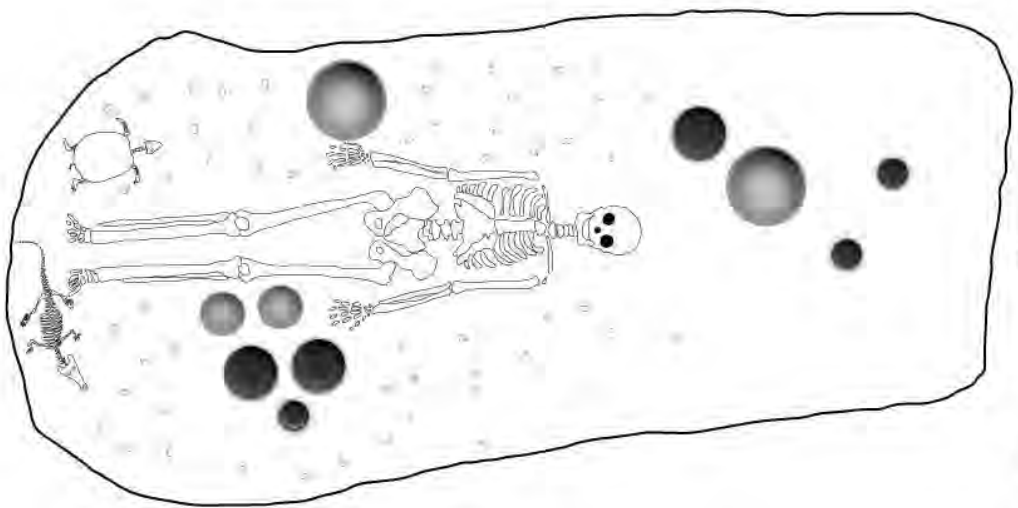
Figura 9.13 Fragmentos de concha marina encontrados en el Entierro 6
(Fotografía por Joanne Baron)



Figura 9.14 Vasijas cerámicas recuperadas en el Entierro 6
(Fotografía por Joanne Baron)



Techo



Tumba

N mag.

Figura 9.15 Reconstrucción del Entierro 6
(Dibujo y calco por Joanne Baron)

Sumario y Conclusiones

Las excavaciones en la Operación 15A clarificaron la historia constructiva de la Estructura 13R-2. La primera fase de construcción que se identificó fue la plataforma temprana cuya terraza posterior (este) fue revelada durante la excavación. Por la forma en que se colocó el relleno sobre esta subestructura, es posible que una terraza superior exista hacia el oeste de las excavaciones realizadas. En este sentido es importante notar que una fase constructiva similar fue descubierta durante las excavaciones realizadas en 2010 en la Estructura 13R-4 (Operación 14A). Esta fase temprana, que se ha observado en ambos templos, se ha denominado MAM. Frente a estas tres estructuras se descubrió un piso temprano de la plataforma, el cual se ha denominado PIX (llamado “Tomate” en la temporada pasada) y seguramente correspondía a la fase MAM. Parece entonces que la fase MAM estuvo en uso por bastante tiempo, lo que se sugiere por la presencia de un basurero apilado en su parte trasera antes que se construyera la siguiente fase.

Esta fase siguiente, llamada MUK, se inició cortando el basurero y la roca madre para crear la cámara mortuoria. Una vez esta cámara se llenó y selló, la estructura de la fase MUK se construyó encima de la anterior. Este edificio fue realizado mediante una fuerza laboral significativa, ya que elevó la altura de la estructura por lo menos cuatro metros más y movió su eje central hacia el este. El desplazamiento del eje central pudo deberse a que se quiso retener el área de la plataforma compartida, cuyo segundo piso, llamado ICH (llamado “Chile” en la temporada anterior) parece asociarse a esta fase. La fase MUK también se identificó en la Estructura 13R-4, donde parece corresponder a la tumba descubierta en la estructura. La cerámica de la tumba saqueada en 13R-4 (Entierro 2) fue similar a la del Entierro 6 y probablemente vino del mismo marco temporal. Sin embargo, las excavaciones en las terrazas posteriores de 13R-4 y 13R-3 (ver más adelante) indican que la fase MUK en estas dos estructuras fue secuencial y no contemporánea. De cualquier forma, parece que existe un marco temporal muy similar para la fase MUK de las tres estructuras (13R-2, 13R-3 y 13R-4).

La última fase constructiva principal de la Estructura 13R-2 se denominó K’UH. Esta fase solamente elevó el nivel de piso por más o menos un metro más y mantuvo el mismo eje central. Además, es esta fase que se fecha para el siglo séptimo, que corresponde a la re-

dedicación de estos templos como santuarios para deidades patronales. Las excavaciones en las terrazas posteriores (ver más adelante) indican que la fase K'UH no significó agregados constructivos atrás de los templos, sino solamente les dio una nueva fachada de mampostería, que corresponde al piso de la plataforma llamado UN (conocido como “Aguacate” en 2010). Indudablemente esto sucedió porque el gobernante que re-dedicó los templos, *Chakaw Nahb Chan*, realizó estos trabajos de forma apurada, ya que la fecha de la inauguración de los templos sucedió a menos de un mes después de llegar al trono. Este acto, a pesar que no involucró grandes cantidades de trabajo de construcción, cambió radicalmente la función del Grupo Coronitas, transformando una serie de templos funerarios a un solo conjunto de templos para deidades patronales. Dado que este rey llegó al poder después de una violenta disputa con un rival y subsecuentemente hizo una fuerte alianza con Calakmul, parece que el cambio de función de estos templos se relaciona directamente con los cambios políticos que estaban sucediendo en el sitio para ese momento.

Aunque no se exploraron este año en la Operación 15, varios muros fueron agregados de forma tardía sobre el piso UN de la plataforma compartida y a lo largo de la parte posterior de la Estructura 13R-5 (descrito más adelante). Por lo tanto, a pesar que la cronología de estas adiciones tardías todavía no ha sido trabajada por completo, estos muros se han fechado para una fase llamada UNEN.

Operación 14A

Trabajos previos

Durante la Temporada 2010 se excavó un pozo de prueba en la Estructura 13R-4, pero desafortunadamente las excavaciones revelaron una estratigrafía muy confusa. Cuando se descubrió que la tumba cortada en la roca madre estaba saqueada, se determinó que la estratigrafía fue compleja por el saqueo y colapso y no por la arquitectura original (Baron 2011). Estas excavaciones sí revelaron los restos de un muro de terraza de una fase temprana (fase MAM) y dos episodios de construcción posteriores (fases MUK y K'UH). Sin embargo, debido a los saqueos, fue imposible definir si la tumba estuvo asociada a la fase MAM o a la fase MUK. Las excavaciones en la Estructura 13R-2 en 2011 (descritas anteriormente) clarificaron que la tumba en esa estructura perteneció a la fase MUK, haciendo más probable que la misma secuencia se puede aplicar a la Estructura 13R-4.

Objetivos

El objetivo de continuar las exploraciones en el pozo excavado en 2011 fue descubrir la extensión del muro de la fase MAM y observar si existía un muro de otra terraza.

Metodología

La intención original de esta excavación fue realizar un túnel desde el pozo 14A-1 hacia el norte, siguiendo el muro. Sin embargo, las excavaciones hicieron notar que el muro estaba cortado, por lo que solamente se siguieron por 50 cm más allá de lo expuesto en 2010.

Excavación

El muro de la fase MAM se había expuesto en la esquina noroeste del pozo 14A-1 en 2010 (Baron 2011). Hacia el sur, este muro parecía cruzar en una esquina y parecía que continuaba hacia el norte. Los excavadores empezaron a excavar un pequeño túnel siguiendo el muro hacia el norte. Sin embargo, se descubrió que el muro estaba cortado a unos 50 cm al norte del extremo sur del muro. Se cree entonces que este corte fue hecho por los mayas y no por los saqueadores cuando construyeron la estructura de la fase MUK, ya que el relleno que rodeaba el corte parecía ser original.

Después, los excavadores hicieron una pequeña ventana al sur del muro de la fase MAM para ver si en realidad cruzaba en una esquina o si había sido cortado. Como resultado, allí también se encontró un corte y el muro no cruzó en esquina hacia el oeste. Por lo tanto, en este caso lo más probable es que el muro sí fue cortado por saqueadores cuando excavaron la trinchera a través de la estructura (Figura 9.16).

Si la fase MAM de la Estructura 13R-4 es similar a la de 13R-2, es entonces probable que este muro representa la más alta de las dos terrazas, mientras que en la Estructura 13R-2 solamente se ha excavado la terraza inferior. Desafortunadamente, la terraza baja de 13R-4 ya no existe al haber sido destruida por los saqueadores.



Figura 9.16 Muro cortado en Unidad CR14A-1a
(Fotografía por Joanne Baron)

Operación 14B

Trabajos previos

En 2010 se excavó una trinchera dividida en varias unidades de 1x1 m en la parte posterior de la Estructura 13R-4 (Baron 2011). El objetivo de esta trinchera fue encontrar rasgos arquitectónicos que formaran parte de las terrazas traseras de la estructura, así como buscar basureros. Aunque no se encontró arquitectura formal, se identificaron cuatro estratos que ahora pueden ser interpretados por las excavaciones de 2011.

Objetivos

Los objetivos de la Temporada 2011 son los mismos que los de la temporada pasada. Se quiso definir la arquitectura en la parte de atrás de la estructura y buscar depósitos de desechos. Se escogió la Estructura 13R-4 debido a que el saqueo en sus terrazas traseras fue mucho más limitado que el de las Estructuras 13R-3 y 13R-2. Además, se quería clarificar la relación entre las Estructuras 13R-4 y 13R-5, cuya fase final está asociada con una fecha del Panel 1, como también la relación entre las Estructuras 13R-4 y 13R-3, que habían sido exploradas parcialmente mediante la limpieza de una trinchera de saqueo en 2008 (Baron 2009).

Metodología

Las excavaciones en estas terrazas traseras fueron de forma extensiva (Figura 9.17) y se iniciaron siguiendo la trinchera excavada en 2010 hacia el oeste y hacia arriba, por medio de dos unidades de 2 x 1 m. Otra unidad de 1 x 1.5 m se colocó en la cima para conectar la trinchera y el pozo 14A-1, así como otra unidad de 1 x 1.5 m que se colocó a un lado de la anterior para explorar mejor esa área. Después, varias unidades siguieron los muros de la terraza hacia el norte y sur. Las excavaciones hacia el norte siguieron el muro de la terraza hasta el punto donde se encuentra con la arquitectura de 13R-3, explorada en 2008. Las excavaciones hacia el sur siguieron el muro de la terraza hasta la esquina sureste de la estructura, destruida por saqueadores y después rodeando la esquina, hasta donde se conecta con la Estructura 13R-5. Finalmente, las terrazas traseras de la Estructura 13R-5 fueron exploradas por la Operación 17B, descrita más adelante.

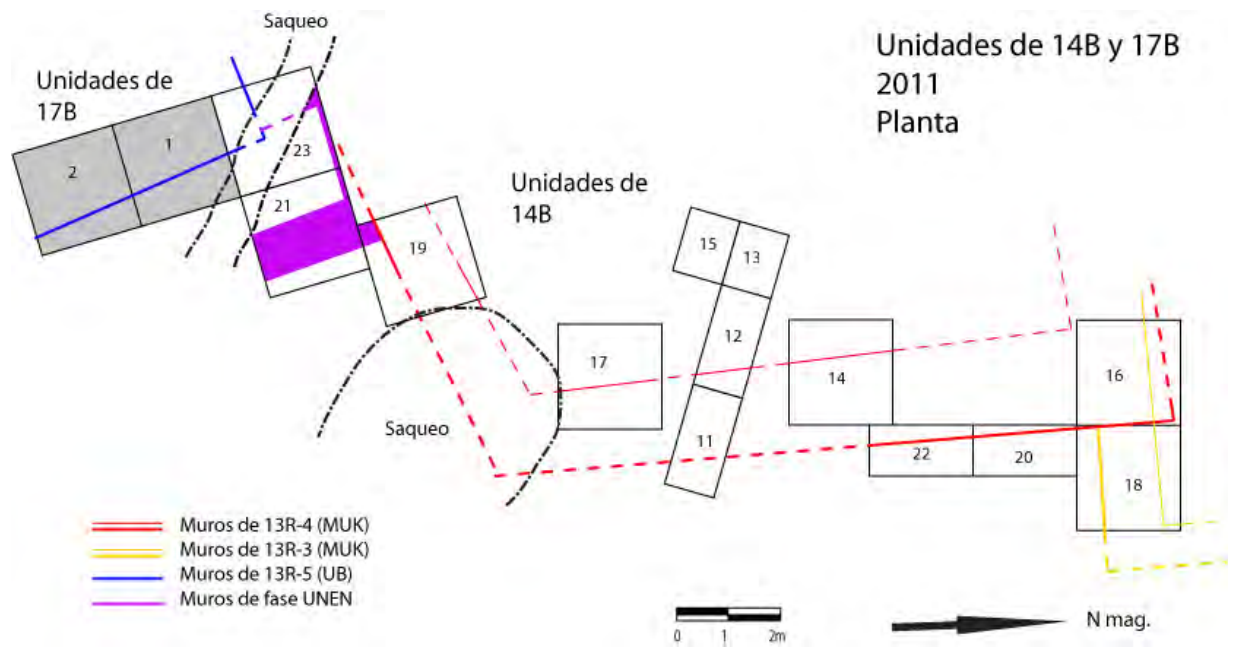


Figura 9.17 Planta de unidades de Operaciones 14B y 17B
(Dibujo y calco por Joanne Baron)

Excavación

Las terrazas traseras de la Estructura 13R-4 fueron construidas en dos partes: la primera fue un muro constructivo burdo hecho de piedras sin trabajar apiladas formando una terraza inclinada (Figura 9.18). A un metro frente a este muro se encontró el muro de fachada, construido de piedras canteadas (Figura 9.19). El muro de la terraza inferior tuvo una altura de 3

m y en los primeros 60 cm fue vertical. Arriba contenía una moldura de faldón y continuó hacia arriba formando un talud. En la cima de la terraza se encontró un descanso de 70 cm de ancho, sobre el cual se elevaba la terraza superior. Desafortunadamente esta terraza solamente se conservó en sus primeras tres hiladas de piedra, que formaban un muro vertical. Estas terrazas se construyeron sobre un relleno oscuro que se había excavado en 2010 como “Lote 3.”



Figura 9.18 Terraza inclinada hecha con piedras burdas en Unidad CR14B-12
(Fotografía por Joanne Baron)

El muro de fachada de estas terrazas se descubrió en las Unidades 14B-16, 14B-20 y 14B-22, que corresponde a la parte norte del muro. Hacia el sur, las piedras canteadas de este muro habían sido removidas en la antigüedad, posiblemente para su uso en otros proyectos constructivos. Como resultado, el muro constructivo fue el único encontrado en las Unidades 14B-11, 14B-12 y 14B-14. Las Unidades 14B-13 y 14B-15 se excavaron sobre el nivel del muro constructivo de la terraza inferior y los rasgos encontrados pueden corresponder al muro constructivo de la terraza superior. Sin embargo, se encontraron en un estado de conservación muy pobre, más que todo debido a la acción de raíces, por lo que su identificación es tentativa. En la Unidad 14B-13 se encontró una pequeña cuenta de jade y una pequeña concha, sugiriendo la presencia de un área donde se descartaron objetos. Aun así, la presencia de otra evidencia de depósitos de desechos fue totalmente ausente en esta área.



Figura 9.19 Muro de fachada en Unidades CR14B-20 y CR14B-22
(Fotografía por Joanne Baron)

Desafortunadamente, la esquina sureste de la Estructura 13R-4 fue destruida por un pequeño saqueo en esta área. No obstante, al examinar el perfil del saqueo se reveló que tanto el muro constructivo como el muro de fachada cruzaron hacia el norte en una esquina. Así fue posible seguir el muro de fachada, el cual tuvo su propia moldura de faldón hacia el norte, donde se encontraron más rasgos arquitectónicos (descritos más adelante).

Las terrazas posteriores de la Estructura 13R-4 continuaron hacia el norte donde cruzaron hacia una esquina al oeste, visible en la Unidad 14B-16. Sin embargo, en las Unidades 14B-16 y 14B-18 se encontró que la esquina fue cubierta por un muro constructivo que corre en dirección este-oeste y que está asociado a la Estructura 13R-3. Este muro tuvo su propio muro de fachada, el cual fue descubierto en la Unidad 14B-18 y también presentó evidencia que muchas de sus piedras canteadas fueron removidas, por lo que solamente se conservó en sus primeros 70 cm de altura (Figura 9.20). El muro corre hacia el este por dos metros y después cruza en una esquina hacia el norte para formar la terraza trasera de la Estructura 13R-3. Este muro norte-sur ya había sido observado en 2008 en el perfil de la trinchera de saqueo ubicada atrás de la Estructura 13R-3. Los muros de la terraza de la Estructura 13R-3 se construyeron unos 20 cm sobre la base de los muros de la terraza de la Estructura 13R-4 y sobre unos 20 cm de desechos acumulados (se discute más adelante). De esta secuencia de muros es evidente que las terrazas de 13R-3 fueron construidas después de las terrazas de 13R-4, y que en esta fase constructiva, la Estructura 13R-3 fue extendida hacia atrás (hacia el este) de 13R-4 por unos dos metros.

Entre las dos estructuras, la superficie de la terraza inferior de la Estructura 13R-4 formó un descanso angosto. Sin embargo, las medidas de elevación determinaron que este descanso se encontraba a 1.34 m bajo el nivel de un descanso similar que se encontraba al frente de la estructura. El descanso frontal puede ser conectado al piso UN y a la fase constructiva K'UH. Esto indica que las terrazas traseras corresponden a una fase anterior (MUK) y están asociadas al Entierro 2. En otras palabras, cuando las estructuras fueron ampliadas en la fase K'UH, solamente se agregaron rasgos en el frente y las terrazas traseras se mantuvieron intactas. Por lo tanto parece que la fase MUK consiste en una serie de estructuras individuales y no un solo programa arquitectónico simultáneo. Esto es perfectamente consistente con la hipótesis de una función como templos funerarios, ya que se agregó un nuevo templo de la fase MUK cuando moría un nuevo gobernante. Por el contrario, la fase K'UH consistió de un solo programa arquitectónico que fue construido de manera rápida.

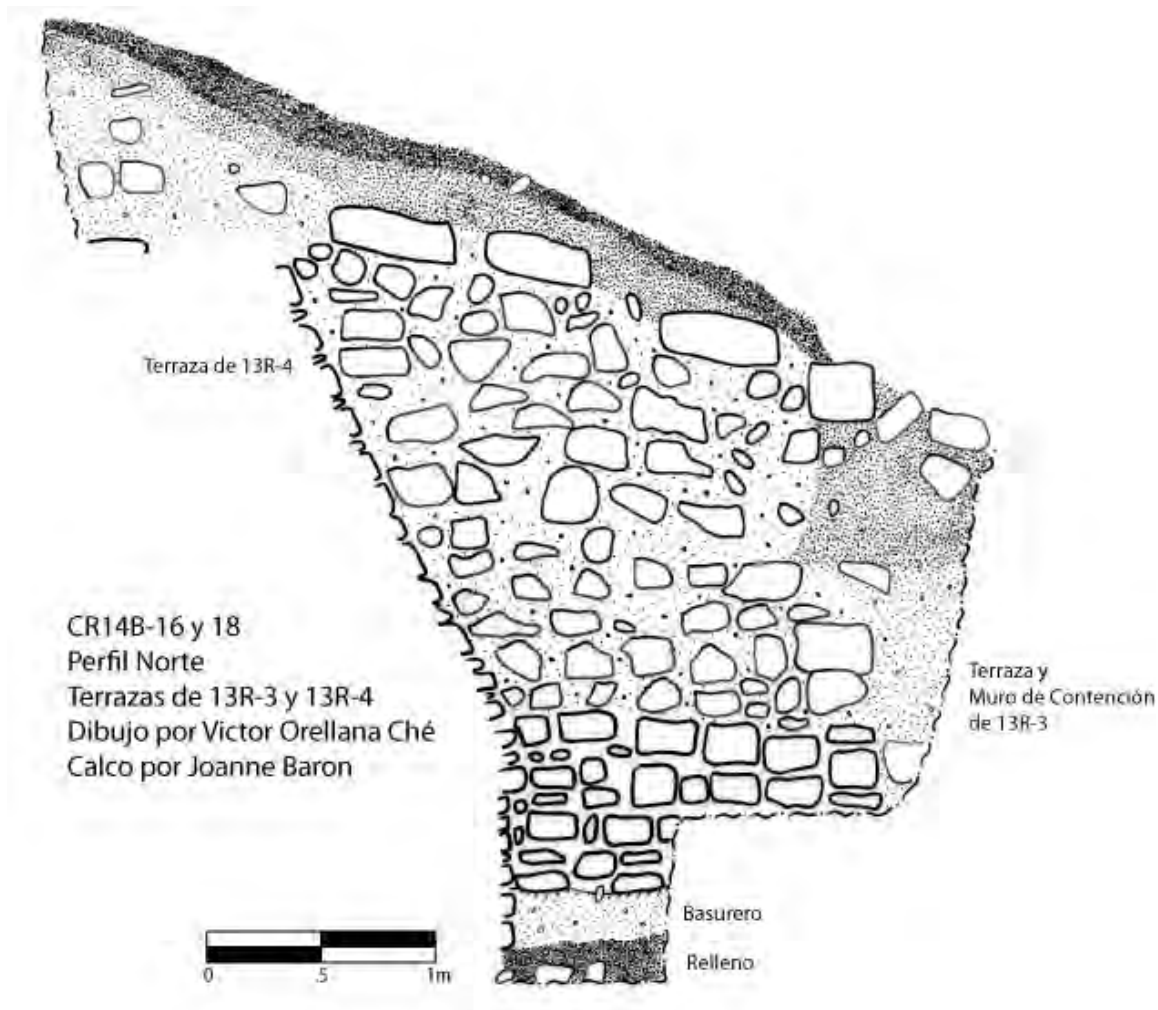


Figura 9.20 Perfil Norte de terrazas de las Estructuras 13R-3 y 13R-4. Unidades CR14B-16 y CR4B-18 (Dibujo por Víctor Orellana Ché. Calco por Joanne Baron)

En las Unidades 14B-16 y 14B-18 se recuperó una cantidad significativa de material de desecho, posiblemente después de su uso en los templos. Desafortunadamente en este basurero no se observó un cambio claro en la estratigrafía que hubiera indicado el cambio de la fase MUK a la fase K'UH. Los materiales descartados continuaron acumulándose a lo largo de estas fases y después, dada la variedad de vasijas encontradas en los basureros. Aún así fue posible separar los materiales de los primeros 20 cm de acumulación anteriores a la construcción de las terrazas de la Estructura 13R-3 de la fase MUK. Este material entonces puede ser asociado con confianza con la fase MUK. No obstante, los depósitos posteriores solamente pueden ser fechados por medio del estilo del material cerámico y no por distinciones estratigráficas. Lo que sí fue claro es que la cerámica de estos basureros contiene, tanto vasijas finas de servicio, como vasijas

utilitarias para almacenaje y preparación de comida (Parris, com. pers.). Una vasija incisa tuvo glifos legibles que pueden corresponder al nombre del rey *K'inich Yook*, que gobernó en La Corona a finales del siglo VII. Sin embargo, todavía falta analizar detalladamente estos materiales.

En la esquina sureste de la Estructura 13R-4, la arquitectura conecta con las terrazas de la Estructura 13R-5. Desafortunadamente una trinchera de saqueo angosta perturbó el área entre estas dos estructuras, aunque se encontró suficiente arquitectura intacta para entender la relación de los dos edificios (Figura 9.21). Originalmente, los muros de las dos estructuras estaban separados por unos 60 cm, pero posteriormente la esquina sureste de la Estructura 13R-4 se extendió hacia atrás (hacia el este) por lo menos 4 m desde la esquina noreste de la Estructura 13R-5. Las dos estructuras también fueron construidas con orientaciones un poco distintas.

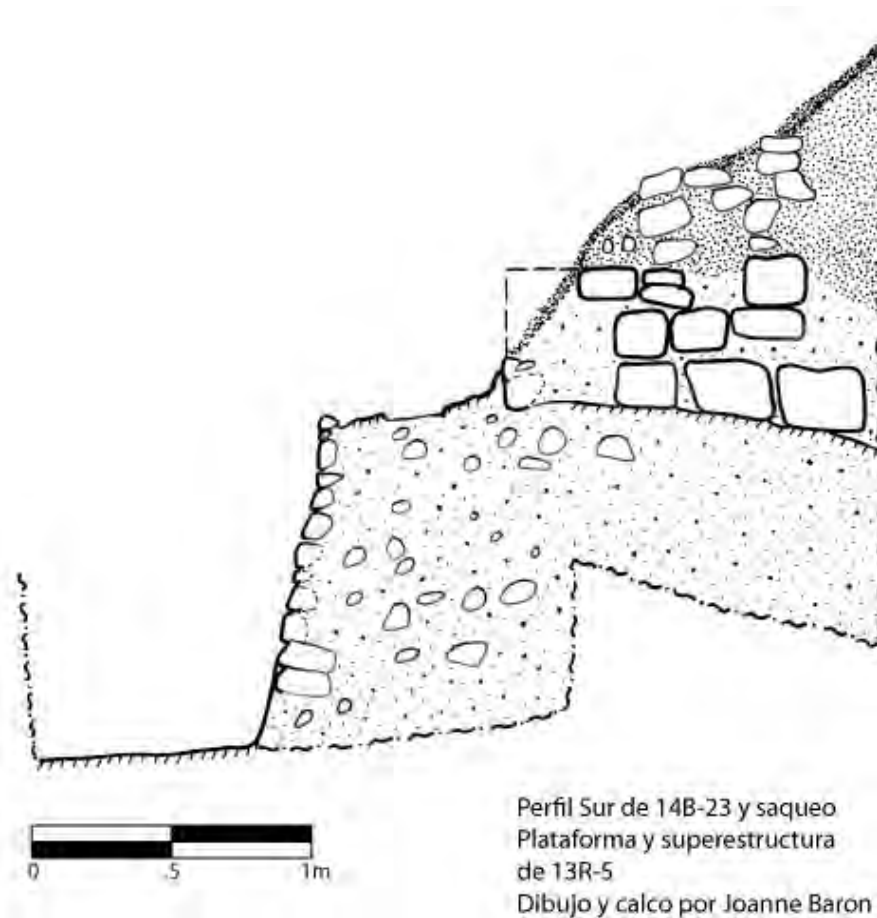


Figura 9.21 Perfil Sur de plataforma y superestructura de Estructura 13R-5
(Dibujo y calco por Joanne Baron)

La fase arquitectónica final de 13R-5 puede ser fechada por medio del Panel 1 para 677 d.C., mientras que las terrazas de 13R-4, como se mencionó anteriormente, se fechan para la fase MUK, que corresponde a la parte final del siglo VII, es decir unos cien años antes. En algún momento después de la construcción de ambos edificios, se construyó una nueva terraza entre ambos en su lado este, la cual seguía la línea de la terraza trasera de 13R-5 y conectaba con la terraza sur de 13R-4. A esta terraza que ve hacia el sur también le fue agregada una nueva fachada, la cual corría hacia el este por 1.6 m donde encuentra un muro bajo, de solo 0.5 m de alto, que corría de norte a sur, y continúa en dirección sur hasta la terraza sur de la fase MAM de 13R-4. Este muro bajo formaba una pequeña cámara entre las dos estructuras, y aunque se desconoce su función, es claro que consiste en una construcción muy tardía, fechada para la fase UNEN. Sobre el piso de la cámara se recuperaron depósitos de cerámica, huesos y una cuenta de jade. El análisis preliminar de Caroline Parris indica que la cerámica es tardía, especialmente por la presencia de Gris Fino, que fecha el contexto para 760 d.C. en adelante.

Sumario e Interpretación

Las terrazas posteriores de las Estructuras 13R-3, 13R-4 y 13R-5 indican que en la fase MUK, las Estructuras 13R-4 y 13R-3 fueron construidas de forma secuencial. La Estructura 13R-2 fue posiblemente agregada algún momento después, cuando el ocupante de la tercera tumba falleció. En la siguiente fase, K'UH, se agregaron rasgos en el frente de las estructuras y no en su parte posterior. En algún momento, los mismos ocupantes de La Corona desmantelaron las fachadas de estas terrazas, removiendo piedras canteadas para usarse en otros proyectos constructivos. En las excavaciones de la suboperación 14B se recuperó una cantidad significativa de depósitos de desechos, los cuales se fechan desde los inicios de la fase MUK hasta la fase UNEN. Se espera que los análisis futuros, así como la comparación con el basurero de la fase MAM de la Unidad 15A-1, permitan observar actividades de cambio a través del tiempo.

Operación 17B

Trabajos Previos

La Estructura 13R-5 fue excavada en 2006 cuando los trabajos en La Corona se llevaron a cabo como parte del Proyecto El Peru Waka', dirigido por David Freidel y Héctor Escobedo

(Canuto 2007). En 2006, la trinchera de saqueo entre 13R-4 y 13R-5 fue limpiada de forma parcial y dibujada, lo que fue bastante útil para las exploraciones llevadas a cabo en 2011. Se limpió una trinchera de saqueo grande ubicada en el frente de la estructura y se definieron dos fases constructivas. También se descubrió una cámara funeraria cavada en la roca madre, bajo el piso de la primera fase. El entierro estaba saqueado y solamente se recuperaron restos de huesos humanos. La rótula fue enviada para análisis de radio carbón, resultando en un rango de fechas (2 sigma) de 665-775 d.C. Dado que la segunda fase constructiva se completó en 677 d.C. (ver más adelante), el entierro tuvo que ser contemporáneo con esta segunda fase e intrusivo a la primera. Desafortunadamente, por ahora no se puede fechar la primera fase constructiva, aunque es posible que corresponda a las fases MAM o MUK de las otras estructuras. De cualquier forma, se necesitaría realizar más excavaciones para confirmarlo.

Después de sellar la tumba, se agregó una segunda fase constructiva a la Estructura 13R-5. Esta fase estuvo asociada con el Panel 1 que tiene la fecha dedicatoria de 677 d.C. El panel indica que en esta fecha, la estructura fue dedicada nuevamente a otra deidad en la misma manera en que *Chakaw Nahb Chan* dedicó la construcción de las Estructuras 13R-2, 13R-3 y 13R-4. Sin embargo, esta re dedicación se realizó 19 años después. Por esta razón, la segunda fase de construcción posee su propio nombre, UB, fechada 19 años después que la fase K'UH. La fase UNEN es subsecuente a las fases K'UH y UB.

Objetivos

Después de excavar la cámara entre 13R-4 y 13R-5 y la esquina de 13R-5, se decidió continuar siguiendo las terrazas traseras de 13R-5 hacia el sur. Esto se hizo para conectar las excavaciones de 2011 con las de 2006, así como asegurar que la arquitectura expuesta en 2011 pudiera relacionarse con la fecha del Panel 1. También se buscaba recolectar más materiales del período UNEN que pudieran encontrarse en basureros atrás de la estructura.

Metodología

La suboperación 17B consistió de dos unidades de 2 x 2 m que siguieron el muro de la terraza trasera (lado este) de la Estructura 13R-5 hacia el sur. En estas unidades se pudo seguir el piso en la base de la estructura, el muro de la terraza, el descanso angosto y los bloques caídos de la superestructura.

Excavación

El muro de la terraza trasera de 13R-5 fue de 1.30 m de altura y tuvo una leve inclinación. Sobre este muro se encontraba un descanso angosto de unos 50 cm de ancho, sobre el cual se asentó la superestructura del templo (Figura 9.22). Solamente se encontró intacta la primera hilera del muro de la superestructura y en algunos lugares se encontró colapsado todo el muro sobre el descanso. Aunque las limitantes de tiempo no permitieron conectar estos rasgos con la banca que contenía el Panel 1, el análisis de los dibujos y notas de 2006 no dejan duda que los rasgos correspondan a la fase UB. El depósito tardío de la fase UNEN continuó en el piso atrás de la Estructura 13R-5, conteniendo huesos y cerámica que incluyó tiestos de tipo Gris Fino.

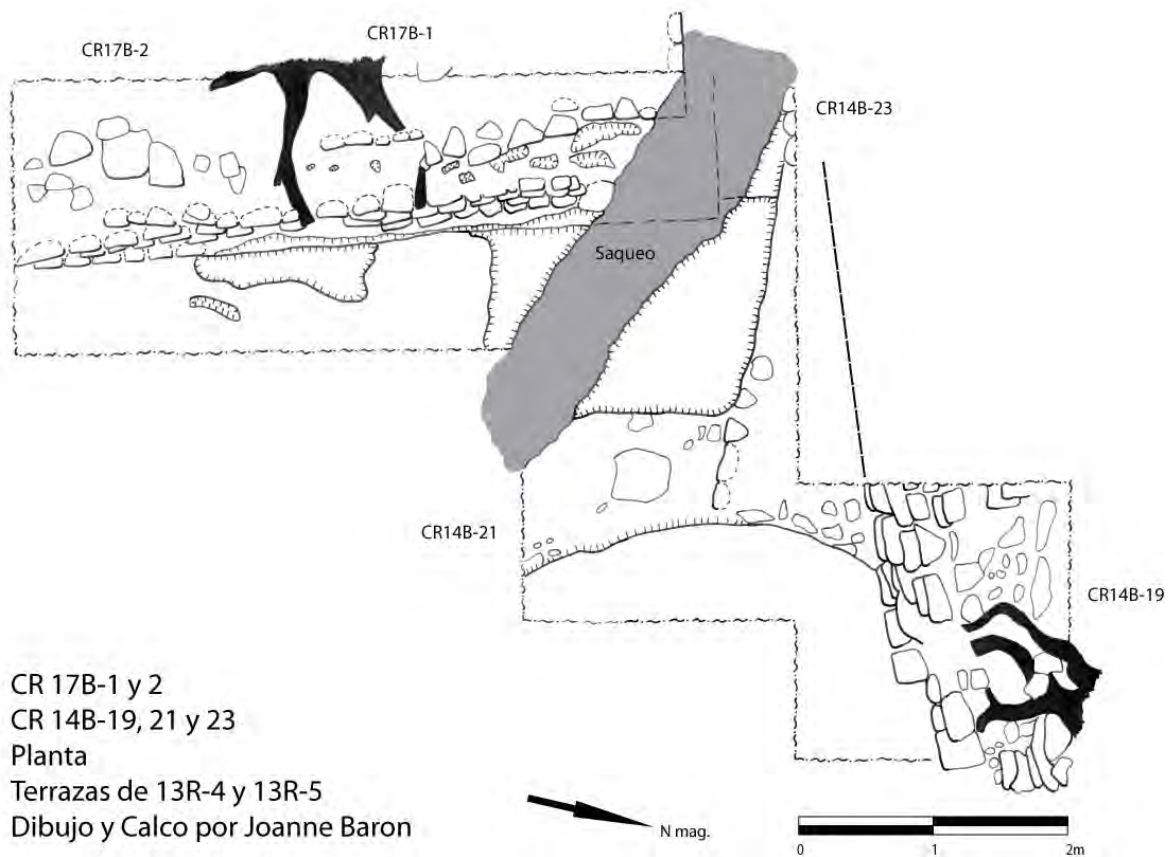


Figura 9.22 Planta de Terrazas de Estructuras 13R-4 y 13R-5
(Dibujo y calco por Joanne Baron)

Sumario e Interpretación

La Estructura 13R-5 tuvo dos fases constructivas. La primera es de fecha desconocida, pero puede corresponder a las fases MAM o MUK de los otros templos. Justamente antes de la construcción de la segunda fase, se agregó una tumba cortada en la roca madre, bajo el piso de la superestructura. Después de sellar la tumba, se agregó la segunda fase (UB).

El edificio de la fase UB se construyó en 677 d.C., unos veinte años después de la fase K'UH de las Estructuras 13R-2, 13R-3 y 13R-4. En este momento, el templo se convirtió en un santuario para una deidad patronal. Finalmente los muros de la fase UNEN se construyeron conectándolos con la Estructura 13R-4 y se depositaron basureros en esa área.

Conclusión

Las excavaciones en el Grupo Coronitas durante la Temporada 2011 han ayudado a definir y aclarar las principales fases de construcción del conjunto arquitectónico. A continuación se presenta el resumen de esta historia constructiva:

MAM

Esta es la fase más temprana de construcción y estuvo presente en los pozos CR14A-1 y CR15A-1. En ambos casos parece que tuvieron la forma de una plataforma con dos terrazas posteriores. Un basurero de esta fase fue descubierto en la Unidad CR15A-1, y aunque todavía falta analizar ese material, las observaciones preliminares indican que la cerámica puede fecharse para la fase Tzakol 2-3 (Caroline Parris com. pers.). Esto indicaría que la fase MAM pudo haberse construido en algún momento de inicios del siglo VI d.C., que posiblemente se asocia con el piso PIX de la plataforma ubicada al frente de las estructuras. Los muros construidos sobre el piso PIX fueron descubiertos en 2010 en la suboperación 12A y pueden representar el frente de una de las plataformas de la fase MAM. La función de estas plataformas es desconocida, y pudieron cubrir tumbas más tempranas, por lo que será importante investigarlas en el futuro.

MUK

Durante el siglo VI d.C. se construyeron varios templos funerarios sobre el piso ICH de la plataforma basal del grupo y varios basureros fechados para esta fase se descubrieron atrás de la Estructura 13R-4. Las construcciones de la fase MUK aumentaron considerablemente la altura de los templos y redefinieron sus ejes centrales hacia atrás, en dirección este. La cerámica de esta fase también ha sido fechada para la fase Tzakol 2-3 (Caroline Parris com. pers.), por lo que las tumbas colocadas bajo los templos de esta fase probablemente pertenecieron a gobernantes del siglo VI d.C. Aunque estas tumbas y sus templos funerarios representan una inversión grande de trabajo, parece que los reyes de este período no tuvieron acceso a materiales exóticos o a artistas especializados en escritura o cerámica policromada. Esto indica que durante el período Clásico Temprano, La Corona no se localizaba cerca de una ruta principal de intercambio.

K'UH

En 658 d.C., *Chakaw Nahb Chan* construyó una serie de santuarios dedicados a deidades patronales a menos de un mes de convertirse en rey de La Corona. Estos templos seguramente constituyen las remodelaciones de la fase K'UH de las Estructuras 13R-2, 13R-3 y 13R-4. Esta fase es bastante superficial, ya que elevó el nivel de los templos por solo un metro y no agregó ninguna construcción en su parte posterior. Los basureros de esta fase también se encontraron atrás de la Estructura 13R-4. La fase K'UH unificó los tres templos funerarios en un solo programa arquitectónico, sobre el piso UN de la plataforma basal del complejo. Al cambiar la función de estas estructuras a santuarios de deidades patronales, la fase K'UH esencialmente canceló los templos funerarios anteriores y los ritos de veneración ancestral que se realizaban en ellos.

UB

En 677 d.C., *K'inich ? Yook* construyó una fase adicional en la Estructura 13R-5, cambiándolo de un templo funerario a un santuario para deidad patronal, tal como lo había hecho su padre 19 años antes. Esta fase se asocia con la fecha del Panel 1, que ha permitido fechar su construcción y contexto.

UNEN

Esta fase representa una serie de adiciones tardías que pudieron ocurrir durante un período largo en los siglos VII y VIII d.C. En la plataforma al frente de los templos, estas adiciones se construyeron sobre el piso UN e incluyen una rampa grande que conectó las escalinatas de las Estructuras 13R-2 y 13R-3 (Baron 2011) y dos muros bajos al norte de la escalinata de la Estructura 13R-3. Estas dos construcciones incluyeron decoración de estuco modelado. La cerámica que se dejó sobre el piso de la plataforma de esta fase incluyó fragmentos de cántaros grandes para almacenaje y cuencos utilitarios. En la parte trasera de los templos, entre las Estructuras 13R-4 y 13R-5, la fase UNEN está representada por un muro que conectó ambos edificios y por un pequeño muro que creó una cámara en la parte posterior de 13R-5. Los basureros encontrados en esta cámara contenían restos de vasijas de servicio que incluyeron vasijas Gris Fino del Clásico Tardío y Terminal.

Recomendaciones futuras

Las excavaciones futuras en este grupo deberán enfocarse a determinar la fecha y función de la fase MAM, ya que todavía permanecen desconocidas. Es posible que se encuentren tumbas aún más tempranas bajo esta fase constructiva, que pueden representar gobernantes tempranos de La Corona. Alternativamente, esta fase puede mostrar otra función distinta todavía desconocida.

Significado de nombres asignados a rasgos arquitectónicos:

| | |
|------|---|
| MAM | “abuelo” |
| MUK | “entierro” |
| K’UH | “dios” |
| UB | desconocido, parte del nombre de una deidad en el Panel 1 |
| UNEN | “bebé” |
| PIX | “tomate” |
| ICH | “chile” |
| UN | “aguacate” |

(Todas las palabras se basan en inscripciones del período Clásico, con excepción de PIX, que viene de un diccionario Cholti)

CAPÍTULO X

OPERACIÓN 11B: EXCAVACIONES EN LA ESTRUCTURA 13R-9, TEMPORADA 2011

María Antonieta Cajas

Introducción

El Grupo 13R-II se encuentra ubicado al oeste del Grupo 13R-I, conocido como Coronitas. Este grupo está conformado por varias estructuras pequeñas y alargadas, en donde sobresale una estructura en forma piramidal (13R-9), adosada a una plataforma de tres cuerpos (13R-10) y alargada en sus ejes este-oeste, con aproximadamente 40 m de largo y 20 de ancho (Figura 10.1). Las excavaciones en 13R-10 estuvieron a cargo de la arqueóloga Jocelyne Ponce, por lo que sus resultados tienen incidencia en la comprensión de las actividades y función de este conjunto arquitectónico (ver capítulo XI en este informe).

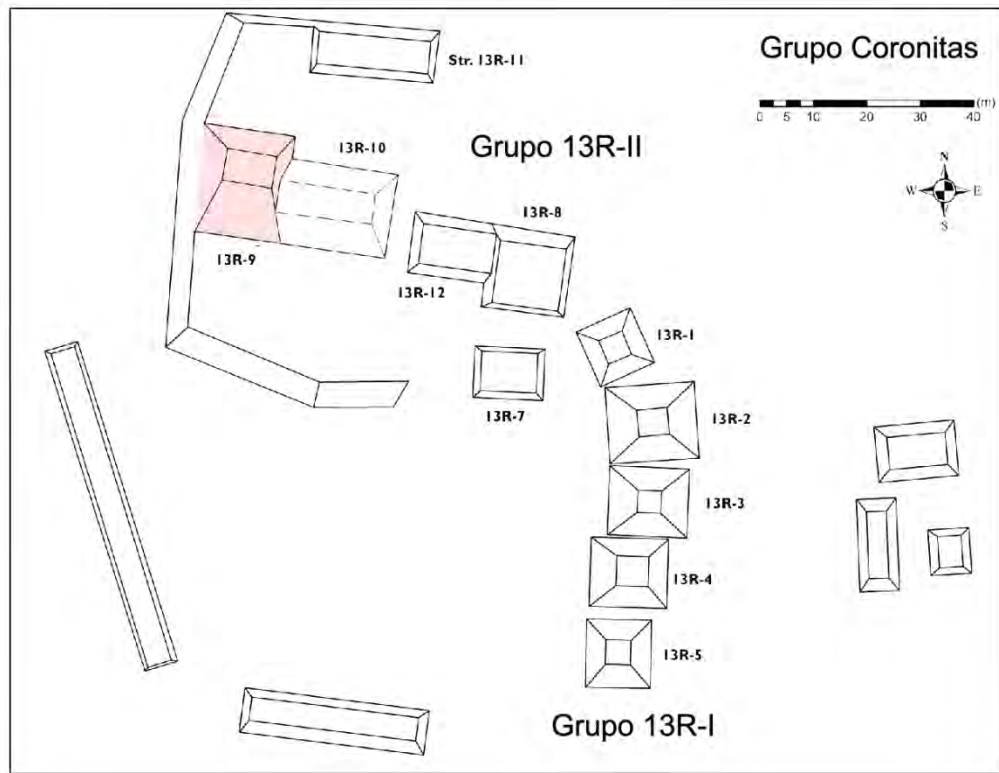


Figura 10.1 Ubicación de la Estructura 13R-9 (Mapa por D. Marken)

Antecedentes

Las Estructuras 13R-9 y 13R-10 fueron fuertemente saqueadas al igual que la mayoría de estructuras en el sitio, pero en varias temporadas de excavación se ha logrado rescatar información de ambas estructuras gracias a varios hallazgos arqueológicos *in situ*. Por lo tanto, a pesar que la Estructura 13R-9 fue parcialmente destruida, se han logrado encontrar varios hallazgos en temporadas anteriores, por lo que se presentarán algunos antecedentes de excavaciones realizadas por diferentes investigadores en otras temporadas (Acuña 2006, 2008; Gómez 2009; Fernández 2010).

La Estructura 13R-9 ha sido excavada en diferentes temporadas por Mary Jane Acuña (2006, 2008) y Erika Gómez (2009). Acuña realizó una operación de rescate en la trinchera de saqueo, la cual inicia desde el piso de la Fachada Norte hasta el centro de la superestructura. Algunos de los hallazgos más relevantes durante las excavaciones anteriores corresponden a rasgos arquitectónicos como muros de contención, pisos estucados, la definición de la escalinata con dos nichos que forma la fachada principal de la estructura, estuco modelado y otros detalles arquitectónicos que han contribuido a definir parte de la estructura y sus posteriores remodelaciones (Gómez 2009).

Entre otros hallazgos, bajo el piso de estuco de la superestructura fue localizada una ofrenda dedicatoria en forma de escondite, que contenía un vaso cilíndrico tipo Mataculebra con pseudoglifos y otros fragmentos cerámicos fechados para el Clásico Tardío, así como artefactos marinos como corales, conchas y caracoles, un mosaico de laminillas de nácar, una espina de raya, y materiales líticos que corresponden a navajas de obsidiana sin huellas de uso y un bifacial de pedernal. Los hallazgos cerámicos en contexto cerrado encontrados dentro de ésta estructura permitieron identificar una de las etapas constructivas pertenecientes a la fase Tepeu 1 (Gómez, Canuto y Barrientos 2009).

Descripción de las excavaciones en 2011

Los objetivos de la Operación 11B fueron principalmente ampliar la definición de los rasgos arquitectónicos de la Estructura 13R-9, así como establecer con claridad la existencia de sus secuencias constructivas e identificar la unión con la Estructura 13R-10, para conocer si fue parte de una remodelación o si se planificó como un conjunto arquitectónico desde el inicio de su construcción. Por lo tanto, en la unión de las dos

estructuras mencionadas se trazó una trinchera en forma de T con orientación norte sur. La trinchera estuvo conformada inicialmente por 9 unidades de excavación y tres suboperaciones, cuya nomenclatura asignada inició a partir de las últimas unidades excavadas por Gómez en la Estructura 13R-9 y por Fernández en la Estructura 13R-10. La trinchera se trazó desde el piso de la Fachada Sur en la unión de las Estructuras 13R-9 y 13R-10, hasta la parte superior de las mismas, con una unidad hacia el lado este y otra al oeste. Las unidades excavadas fueron 11B-17, 11B-17a, 11B-18, 11B-18a, 11B-19, 11B-20, 11B-20a, 11B-21, 11B-22, 11B-23, 11B-24 y una unidad que abarcó parte de la Estructura 13R-10 siendo ésta la Unidad 16C- 5 (Figura 10.2).

En cuanto a la metodología, todas las unidades tuvieron una extensión de 2 x 2 m, con excepción de dos extensiones. La mayoría de las unidades se trabajaron en niveles de 20 cm y únicamente se trabajaron cuatro estratos: el primero corresponde al humus, el segundo a material de relleno, el tercero correspondió a los pisos y el cuarto la roca madre.

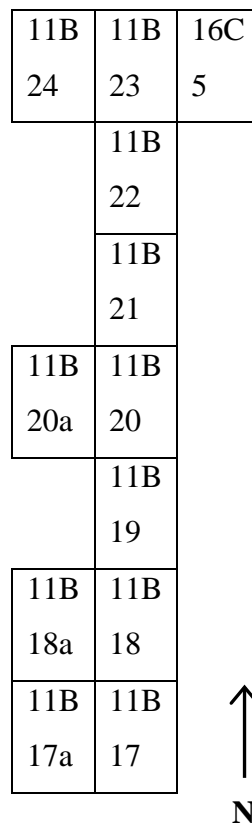


Figura 10.2 Croquis con la ubicación de las unidades de excavación (Dibujo por A. Cajas)

Antes de dar inicio a las investigaciones de ésta temporada fue necesario re-excavar algunas de las unidades realizadas en la Temporada 2009 por Erika Gómez en la Fachada Sur, descubriendo parte de la escalinata y el nicho. Esto tuvo como objetivo comprender mejor la composición arquitectónica de la estructura y así definir con certeza las áreas nuevas a excavar.

Es importante mencionar que en la mayoría de las unidades fue necesario remover piedras de superficie, las cuales seguramente formaron parte de la fachada de la estructura. Por estar expuestas a las condiciones climáticas y por ser un tipo de caliza de mala calidad constructiva, éstas se encontraron tan erosionadas que resultó prácticamente imposible definir sus formas y sus dimensiones.

Unidad CR11B-17

En esta unidad se trabajaron 6 lotes. En el primero únicamente se encontraron fragmentos de cerámica y en el Lote 2 un fragmento de barro cocido con huellas de bajareque y algunos fragmentos de pedernal. En el Lote 3 se encontró un pequeño fragmento de estuco de aproximadamente 10 x 12 cm con restos de pigmento rojo que posiblemente formó parte de la decoración de la estructura. Al finalizar este lote se llegó al nivel del piso de la plaza, y hacia el lado oeste de la unidad se excavó el Lote 4 con dimensiones de 2 x 1 m. Los materiales recuperados fueron fragmentos cerámicos, huesos de mamífero, pedernal, obsidiana y concha.

El Lote 5 estuvo ubicado debajo del Lote 4, excavando al nivel de la roca madre hasta los 90 cm desde la superficie. Esto permitió observar la densidad del piso, el cual tuvo aproximadamente 10 cm de grosor. El Lote 6 se trabajó hacia el lado este del Lote 5, el cual correspondió a un colapso del muro de contención que une las dos estructuras sobre el piso de la plaza. Debajo de éste lote se registró un hallazgo asociado a la Unidad 11B-18, cuyo material estaba disperso sobre el piso y debajo del colapso, y corresponde a bordes y cuerpos de grandes cántaros, platos, además de algunos fragmentos de puntas proyectiles de pedernal café, un fragmento de cuchillo bifacial de pedernal y mandíbulas con presencia de molares de venado. Es posible que este material, incluidas las conchas, se hayan colocado a propósito y hayan formado parte de alguna ofrenda dedicatoria al final de la ocupación.

En el Perfil Oeste se expuso parte de la base del muro de la Estructura 13R-10, en donde aún se conservó parte del estuco que lo recubría (Figura 10.3). Además, claramente pudieron observarse algunos de los grandes bloques de caliza que se emplearon para la construcción del basamento.

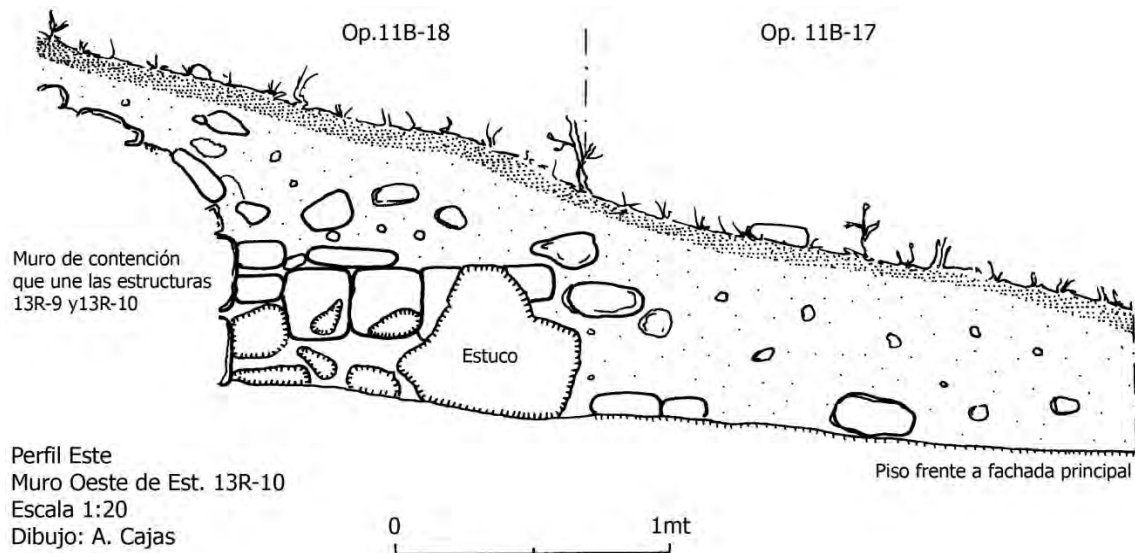


Figura 10.3 Perfil Oeste de las Unidades 11B-18 y 11B-17, mostrando el Muro Oeste de la Estructura 13R-10 (Dibujo por A. Cajas)

Unidad CR11B-17b

Esta se excavó hacia el lado este de la Unidad 11B-17 y sus dimensiones fueron de 70 x 60 cm. La extensión fue realizada dentro del nicho identificado y excavado por Gómez (2009), para descartar cualquier hallazgo debajo del piso. Sin embargo se registró muy poco material como parte del relleno del piso, y al igual que en la Unidad CR11B-17, tuvo un grosor de 10 cm sobre la roca madre.

Unidad CR11B-18

Ubicada al norte de 11B-17, se trabajaron 5 lotes de diferentes dimensiones. En los Lotes 1 y 2 se encontró poco material y piedras de derrumbe. En los Lotes 3, 4 y 5 de 2 x 1.50 m se registraron grandes fragmentos de cerámica utilitaria y bordes de cántaros, puntas proyectiles de pedernal, navajas de obsidiana, huesos, fragmentos de figurillas y

un fragmento de silbato. También se encontraron pequeños restos de carbón, que no fueron colectados porque las muestras eran muy pequeñas y estaban bastante dispersas. Este material también forma parte del mismo contexto encontrado en la Unidad 11B-17.

Posteriormente se removieron algunas piedras colapsadas de gran tamaño, las cuales formaron parte del muro de contención que une las Estructuras 13R-9 y 13R-10. En el Perfil Este de la unidad se pudo apreciar claramente el Muro Oeste de la Estructura 13R-10, el cual remata con el muro de contención que une ambas estructuras. En algunas partes del muro aún se conservó parte del estuco que lo revestía. Hacia el lado oeste del perfil se pudo observar claramente parte del Muro Sureste de la estructura, por lo que se colocaron las Unidades 11B-17a y 11B-18a, que solamente se expusieron las piedras de superficie, trabajando un solo lote. Este muro tuvo una extensión de 1.70 m, y 0.50 m de altura desde el nivel del piso, conservando fragmentos de estuco en algunas partes. Sobre éste muro inicial se colocaron las rampas, balaustradas o taludes que forman la fachada principal de la estructura en su última fase. Hacia el lado este, el muro remata con el muro de contención que une las dos estructuras (Figura 10.4).

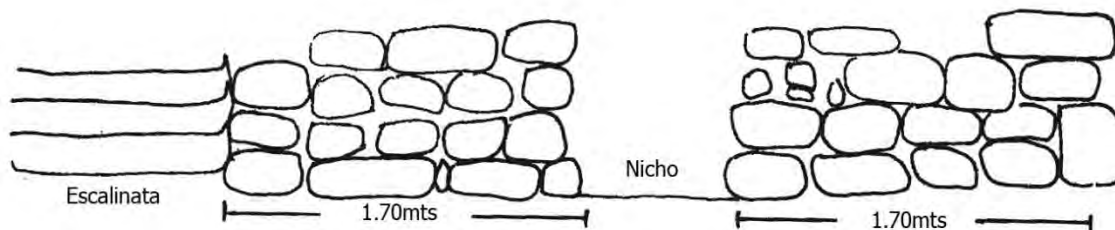


Figura 10.4 Croquis de la fachada principal en la base de la Estructura 13R-9 (Dibujo por A. Cajas)

Unidad 11B-19

Únicamente se trabajaron cuatro lotes, ya que se removieron piedras de tamaño medio que formaron parte del relleno del muro de contención que une ambas estructuras, llegando a los 0.70 m de profundidad sin mostrar cambios. Únicamente se registraron tiestos y algunos fragmentos de material lítico.



Figura 10.5 Registro (11B-18a) debajo del piso del nicho (Foto por A. Cajas)

Unidades 11B-20, 11B-20a, 11B-21, 11B-22, 11B-23 y 11B-24

Estas unidades fueron ubicadas en el corredor que se forma entre las estructuras investigadas. Se excavaron a nivel del piso y en algunas partes aún se pudo apreciar parte del piso estucado que revestía el corredor. En las Unidades 11B-22, 11B-23 y 11B-24 se pudieron identificar los cuerpos superiores de la estructura (Figura 10.6), ya que después de retirar el material de escombros en el lado oeste de las tres unidades, se encontraron las esquinas de las bases que formaron los cuerpos superiores. Se localizaron tres esquinas y las hileras de piedras de tamaños considerables, con cortes finos y bien tallados que formaron las bases escalonadas de la superestructura.

En cuanto al material encontrado en todas estas unidades, no fue muy variable en relación al descrito en las operaciones anteriores: fragmentos cerámicos, puntas proyectiles de pedernal café, fragmentos de navajas de obsidiana, un malacate, fragmentos de figurillas y pocos fragmentos de huesos. A lo largo del Perfil Este de la trinchera se identificó el Muro Oeste (casi colapsado) de la Estructura 13R-10, el cual estuvo formado por grandes bloques de piedra con cortes claros y precisos.



Figura 10.6 Muro Sur de la Superestructura 13R-9 (Foto por A. Cajas)

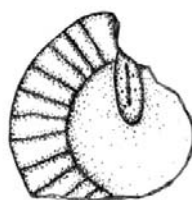
Hacia el lado oeste de la Unidad 11B-20 fue necesario hacer una extensión (11B-20a), ya que sobre la superficie sobresalió un panel tallado en caliza. Lamentablemente el grado de erosión en el que se encontró no se pudo identificar ninguna imagen, con excepción de dos pequeños fragmentos tallados de aproximadamente 1 cm, en los que únicamente se logró distinguir parte de lo que fue un estandarte, uno en la esquina superior derecha y la otra en el lado opuesto. Es posible que éstos hayan estado sostenidos por dos o más personajes, como se ha encontrado en varias esculturas del Área Maya. Se argumenta que fue un panel no solo por estos diminutos rasgos, sino por el tamaño (30 x 25 cm) y el corte casi cuadrado de la piedra, su grosor (aproximadamente 10 cm) y su ubicación, ya que estaba sobre el segundo cuerpo del edificio. Asociado a éste hallazgo también se encontró un fragmento de piedra de moler (Figura 10.7).



Figura 10.7 Panel en la superficie de la Unidad 11B-20a y fragmento de piedra de moler (Foto por A. Cajas)

Unidad 16C-5

Esta suboperación corresponde a la Estructura 13R-10 pero formó parte de la trinchera trazada en la unión de ambas estructuras. En esta unidad no se profundizó mucho, ya que únicamente se retiraron algunas piedras erosionadas de la superficie. Se expuso parte del Muro Oeste de 13R-10, el cual se observa a lo largo de todo el Perfil Este de la trinchera y limita justo con el corredor que se forma en la unión de las dos edificaciones (Figura 10.8)



Fragmento de figurilla
CR 11B-18-3-5



Fragmento de figurilla
CR11B-241-1

Figura 10.8 Unidades 11B-23 y 16C-5, en el corredor que separa los muros de las Estructuras 13R-9 y fragmentos de figurillas recuperados en la Suboperación 11B (Foto y dibujos por A. Cajas)

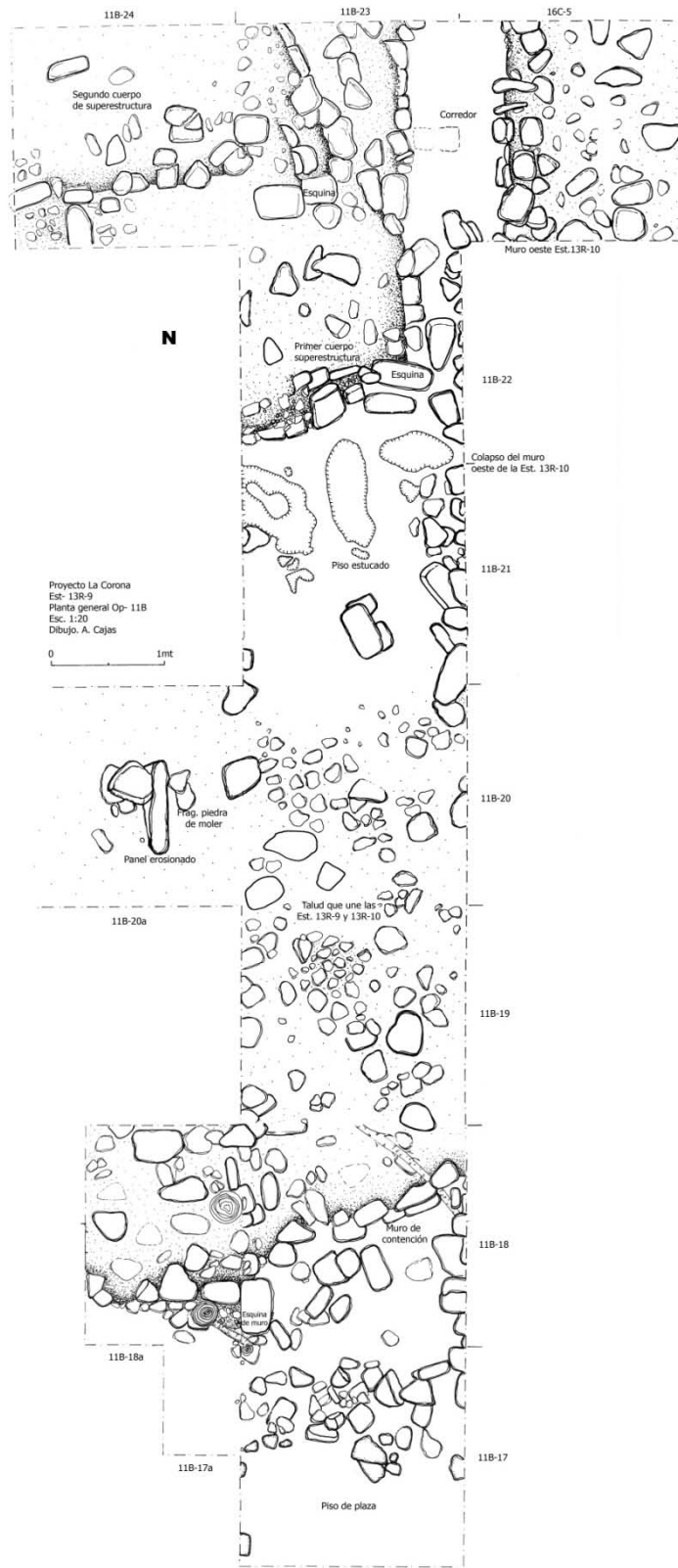


Figura 10.9 Planta de la Suboperación 11B, Estructura 13R-9 (Dibujo por A. Cajas)

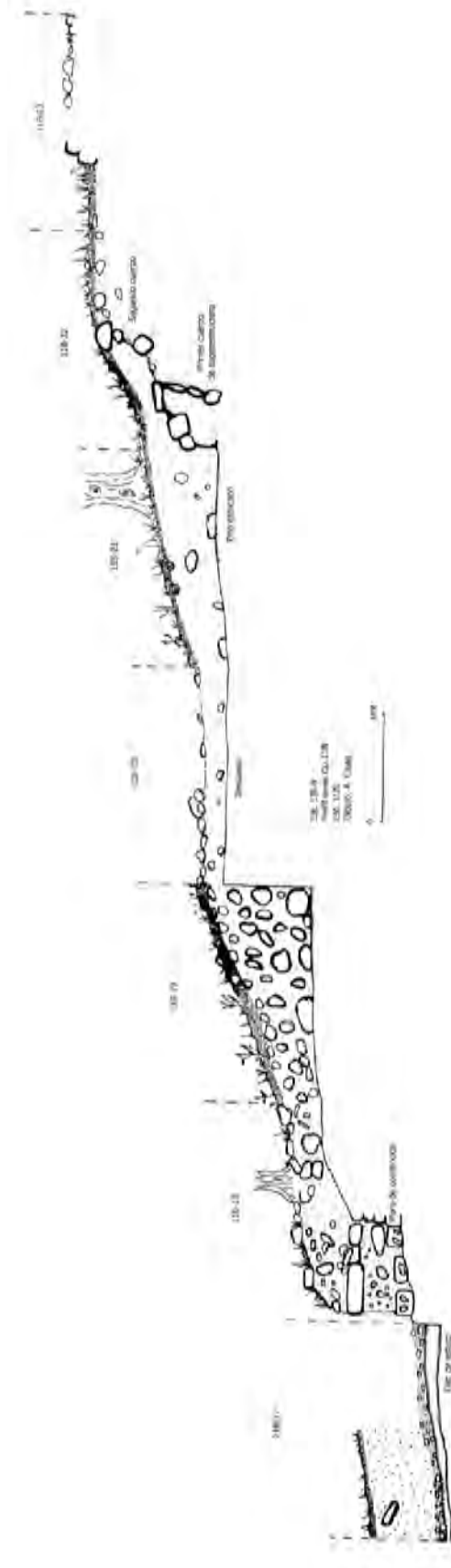


Figura 10.10 Perfil Oeste de la Suboperación 11B, Estructura 13R-9 (Dibujo por A. Cajas)

Consideraciones finales

Es importante resaltar que la función de la Estructura 13R-9 tuvo alguna relación significativa con la Estructura 13R-10, ya que durante las excavaciones de esta temporada se pudo comprobar que las dos estructuras estuvieron unidas por un corredor. Desde el descanso del segundo cuerpo del lado este de 13R-9, durante algún tiempo se tuvo acceso al corredor que une ambas estructuras, el cual condujo a una puerta que formó parte de la entrada de uno de los cuartos principales de la Estructura 13R-10 por su lado oeste. Ésta fue posteriormente cerrada formando un solo muro y limitando el acceso desde ese lado.

De la mayoría de los fragmentos cerámicos recuperados, a simple vista podría considerarse que su función corresponde a cerámica utilitaria, aunque esto podría afirmarse o descartarse durante el análisis de laboratorio.

Se identificó una ofrenda dedicatoria, posiblemente asociada al fin de ocupación de la estructura, la cual estaba ubicada debajo del colapso del muro de contención que une la Estructura 13R-9 con 13R-10. Se considera que fue parte de una ofrenda por el tipo de materiales encontrados y por la concentración de grandes fragmentos cerámicos, en conjunto con fragmentos de mandíbula de venado, navajas de obsidiana, el fragmento bifacial de pedernal, conchas de origen marino (analizada en laboratorio –comunicación personal con Jocelyn Ponce), un fragmento de figurilla, y pequeños restos de carbón.

Es evidente que se utilizó diferente tipo de caliza para la construcción del edificio, ya que las piedras utilizadas para la fachada estaban terriblemente erosionadas y amorfas, a diferencia de las que se utilizaron para la construcción de los muros interiores y las bases de las estructuras, ya que éstas fueron mucho más sólidas y resistentes que las de los exteriores.

A pesar de que 13R-9 ya había sido excavada durante tres temporadas anteriores, por razones de tiempo, durante 2011 no fue posible definir si tuvo diferentes secuencias constructivas, y si desde sus inicios estuvo adosada a 13R-10, o si la unión entre ambas fue una modificación arquitectónica posterior. Sin embargo, sí fue posible identificar que la unión de ambas definitivamente estuvo relacionada a sus funciones ceremoniales.

Es importante mencionar también que la mayoría de las estructuras que se encuentran ubicadas dentro de éste grupo están ubicadas en las orillas de un canal, y sus fachadas están orientadas hacia el mismo. Esto también podría considerarse como otro elemento aplicable a su carácter ceremonial, ya que la relación con el agua tuvo atribuciones ceremoniales dentro de la cultura Maya.

CAPÍTULO XI

OPERACIÓN CR16: EXCAVACIONES EN LA ESTRUCTURA 13R-10, TEMPORADA 2011

Jocelyne Ponce y Camilo Nájera

Introducción

La Estructura 13R-10 forma parte del Grupo 13R-II ubicado al noroeste del grupo de cinco estructuras conocidas como “Las Coronitas” con quienes comparte la misma plaza abierta (Figura 11.1). Esta estructura se encuentra adosada por el lado este a la estructura de forma piramidal denominada 13R-9. La Estructura 13R-10 es una plataforma basal rectangular, alargada en su eje este- oeste, de aproximadamente 19 m de ancho y 40 m de largo. El montículo posee una altura actual de 2.17 m desde el Patio Norte, con una orientación de aproximadamente 10 grados al noroeste. La fachada principal de esta estructura, al igual que de la Estructura 13R-9, se encuentra en el lado sur donde hay tres grandes saqueos que destruyeron gran parte de la escalinata del basamento.

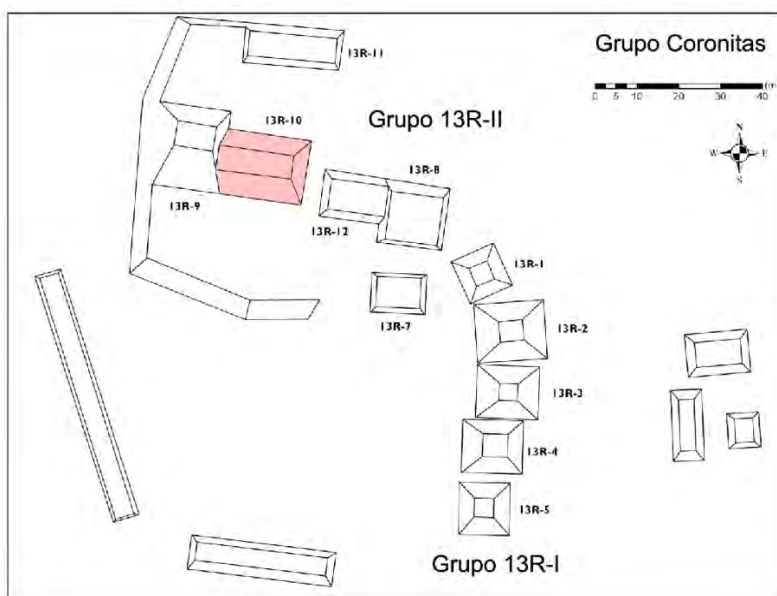


Figura 11.1 Mapa de los grupos 13R-1 y 13R-II
(Mapa por D. Marken. Modificado por T. Barrientos)

Las intervenciones arqueológicas de años anteriores en ambas estructuras han generado datos interesantes y varias interrogantes. En 2006 Mary Jane Acuña dirigió la elaboración de un pozo de sondeo ubicado entre la Estructura 13R-9 y 13R-11 como parte del programa de reconocimiento del Proyecto Arqueológico El Perú-Waka'. Este pozo dio como resultado un lote de cerámica de 651 tiestos fechados para el Clásico Tardío. Ese mismo año, el equipo de mapeo encontró 1506 tiestos polícromos en la superficie cerca de la trinchera de saqueo de la Estructura 13R-9. Algunos poseían glifos de nombres de personajes de la elite local (Acuña 2007).

En 2008, Mary Jane Acuña dirigió la limpieza de la trinchera de saqueo de la Estructura 13R-9 con el objetivo de determinar la procedencia de la cerámica descubierta en la superficie en 2006. Las excavaciones dieron como resultado más cerámica perteneciente al Clásico Tardío, por lo que la edificación posiblemente fue construida durante esta época (Acuña 2007). Posteriormente, en 2009 Érika Gómez coordinó las excavaciones en la Estructura 13R-9 que se concentraron en la parte sur de la estructura y la plaza frente a ésta. Se descubrieron diversos rasgos arquitectónicos y una ofrenda con material marino y lítico (Gómez 2010). Por último, en 2010 Enrique Fernández realizó excavaciones en la Estructura 13R-10 que se concentraron en las fachadas norte y sur de la estructura. Se logró identificar un piso y una posible entrada al sur, mientras que en el lado norte se identificó un muro estucado que marcaba el borde de la plataforma basal de la estructura y un *chultun* de 2.53 metros de profundidad que fue utilizado como basurero (Fernández 2011).

Las excavaciones de la Temporada 2011 se concentraron en identificar rasgos arquitectónicos de la parte superior de la Estructura 13R-10. También se excavó parte de la Fachada Sur de la edificación y se investigó la unión de las Estructuras 13R-9 y 13R-10 tratando de encontrar evidencia del tipo de actividad que se realizaba en este conjunto arquitectónico. Para ello se realizaron un total de 33 unidades de excavación. La mayoría de éstas fueron de 2 x 2 m, aunque algunas fueron de dimensiones variables dependiendo de los objetivos específicos de cada pozo. Éstas estuvieron ubicadas inicialmente en el eje central de la estructura, en dirección norte-sur, tomando como referencia el *chultun*

encontrado en 2010 y el Saqueo 2. El Saqueo 1 se refiere al saqueo ubicado en el lado oeste de la Fachada Sur, el Saqueo 2 es el saqueo ubicado en la parte media de la estructura y el Saqueo 3 es el saqueo ubicado en la esquina este. A partir de esa trinchera, las excavaciones se extendieron hacia el lado oeste de la estructura con el objetivo de unirse con las excavaciones realizadas en la Estructura 13R-9 por Antonieta Cajas durante esta temporada. También se realizaron algunas unidades en la Fachada Sur y en la plaza frente a la misma, donde Camilo Nájera dirigió la excavación de cuatro unidades como parte de sus prácticas.

La mayoría de excavaciones fueron horizontales y los lotes utilizados en todas las unidades fueron culturales. Se continuó con la nomenclatura utilizada por Enrique Fernández el año pasado, por lo que la Suboperación 16A se ubicó en la plaza y Fachada Sur, la Suboperación B en la fachada norte y la Suboperación 16C en la parte superior de la estructura.

Suboperaciones 16A y 16C: Parte superior de la Estructura 13R-10

Las excavaciones en la parte superior de la Estructura 13R-10 agruparon 29 unidades, principalmente las suboperaciones 16A y 16C, con las Unidades CR16A-10, CR16A-11, CR16A-11a, CR16A-11b, CR16A-12, CR16A-13, CR16A-14, CR16A-15, CR16A-16, CR16A-17, CR16A-18, CR16A-20, CR16A-24, CR16A-25, CR16C-3, CR16C-3a, CR16C-3b, CR16C-3c, CR16C-4, CR16C-4a, CR16C-6, CR16C-7, CR16C-8, CR16C-9 y CR16B-5. Todas estas unidades fueron de 2 x 2 m, a excepción de CR16A-15 y CR16A-25 que fueron de 1 x 2 m; CR16C-3b y CR16C-3c de 90 x 60 cm y CR16A-11b de 60 x 60 cm.

Este grupo de unidades se extendió desde el saqueo ubicado en la parte media del frente de la estructura (Saqueo 2) y el *chultun* descubierto en 2010, hacia el oeste, hasta unirse con las excavaciones realizadas en la Estructura 13R-9. En general se presentaron tres lotes, a excepción de las unidades CR16C-3b, CR16C-3c y CR16A-11b que serán tratadas con mayor detalle más adelante.

El primer lote constó de humus suelto con raíces, el segundo de tierra café mezclada con escombros de construcción y se le asignó un tercer lote a las diferentes vasijas quebradas Encanto Estriado y Cambio sin Engobe que se encontraron sobre el piso de estuco dentro de la edificación. El objetivo principal de estas excavaciones fue identificar rasgos arquitectónicos de la estructura. En el área expuesta se distinguieron cuatro muros y dos banquetas que delimitaban tres cuartos con piso estucado y un área de almacenaje (Figuras 11.2, 11.3, 11.4, 11.5 y 11.6). A continuación se describe cada uno en mayor detalle:

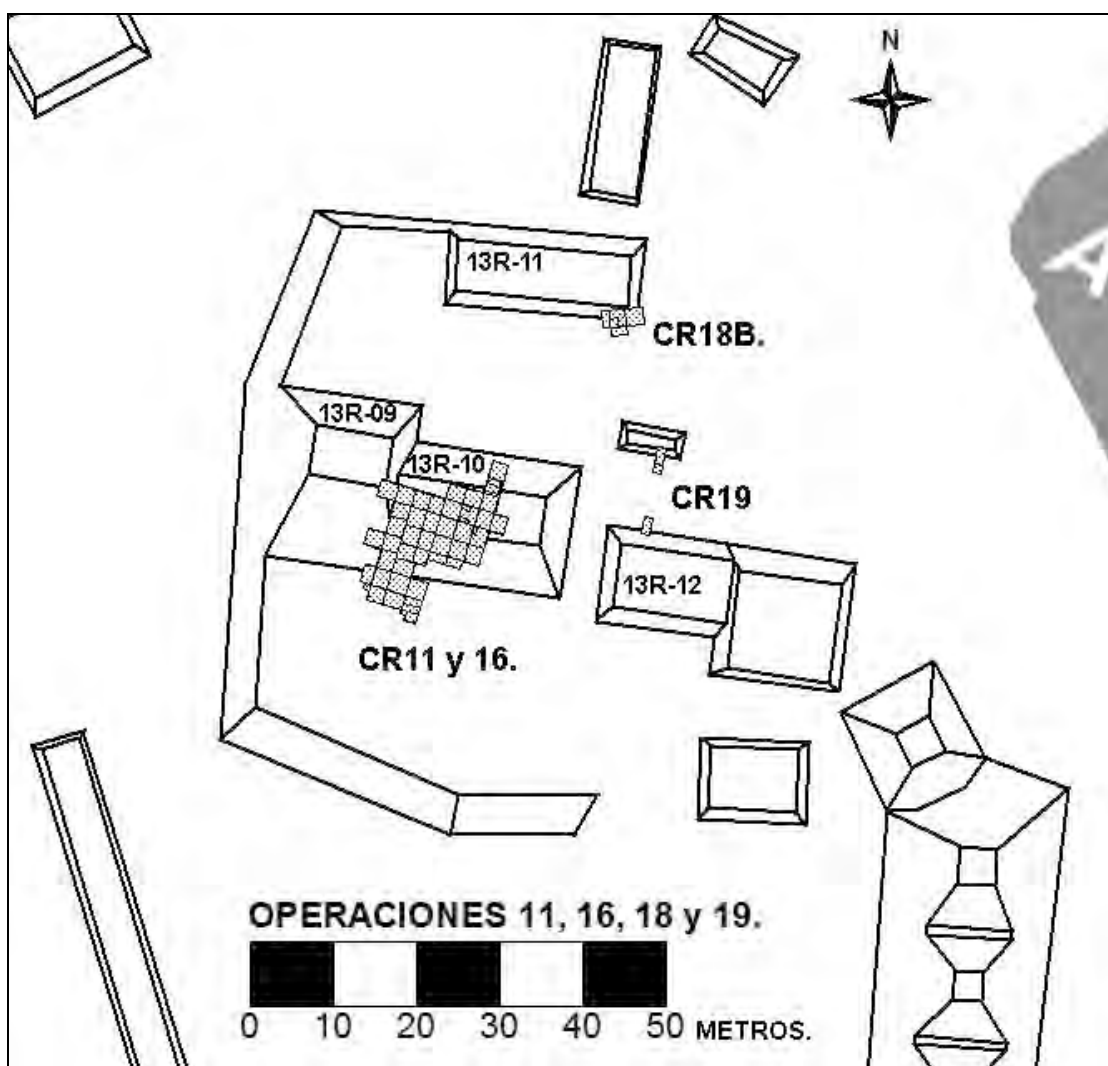


Figura 11.2 Ubicación de excavaciones de la Operación CR16
(Mapa elaborado por R. Guzmán)

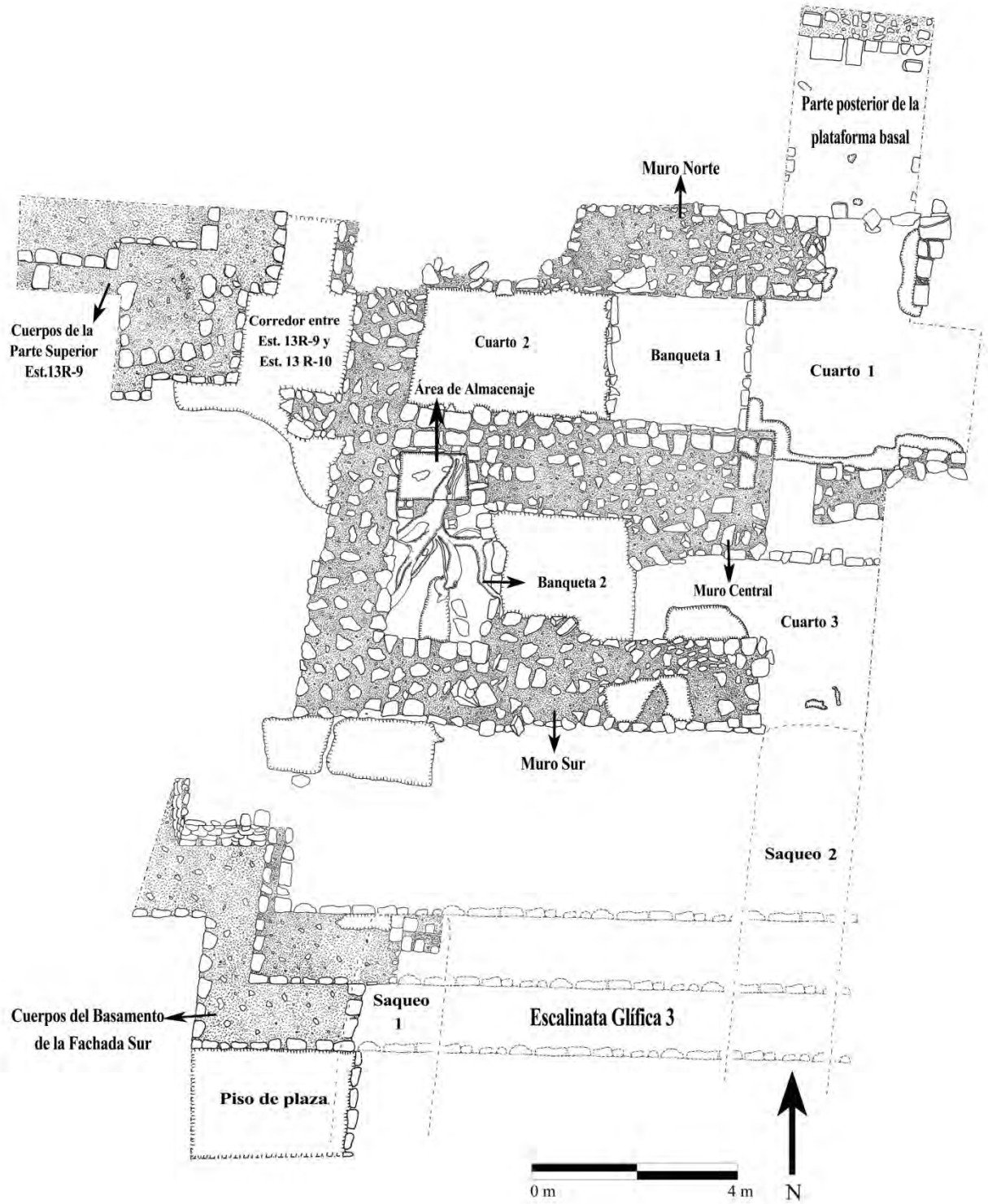


Figura 11.3 Planta de excavación mostrando rasgos descubiertos
(Dibujo por V. Orellana. Calco por J. Ponce)



Figura 11.4 Planta de excavación mostrando perfiles dibujados
(Dibujo por V. Orellana. Calco por J. Ponce)

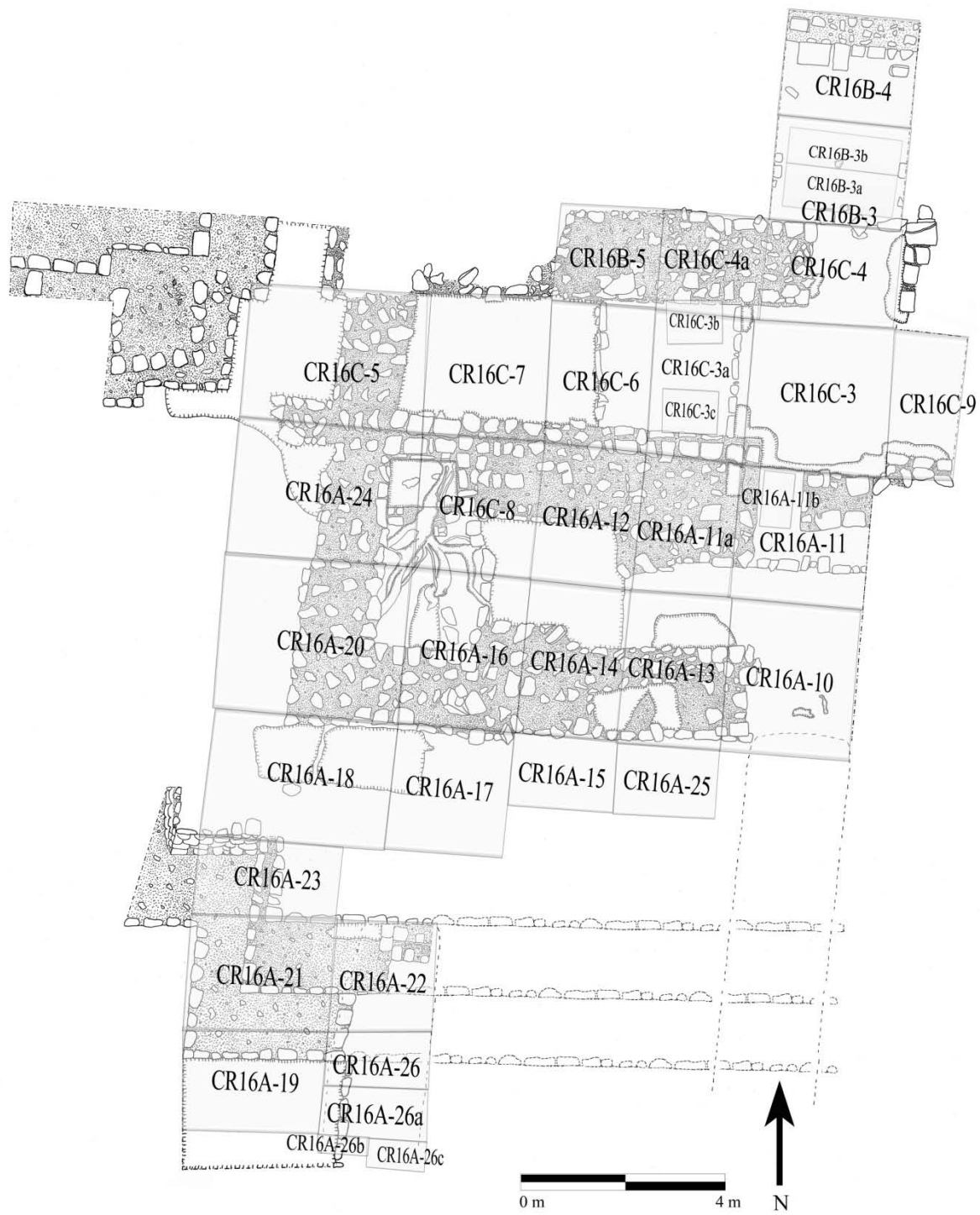


Figura 11.5 Planta de excavación mostrando ubicación de unidades
(Dibujo por V. Orellana. Calco por J. Ponce)

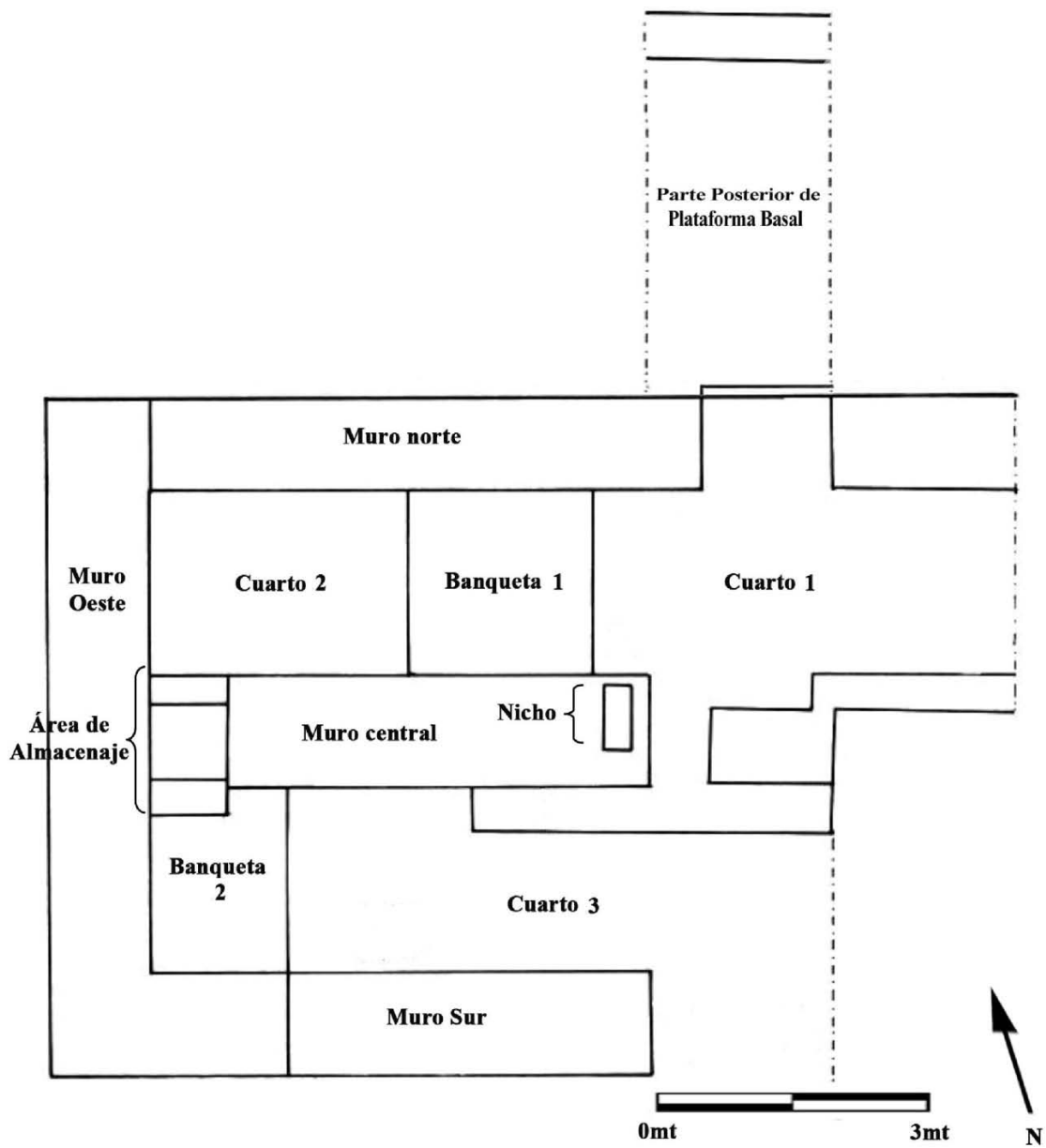


Figura 11.6 Esquema de rasgos descubiertos en la parte superior de la estructura (Dibujo por J. Ponce)

Muro Norte

Este basamento de muro fue encontrado en las Unidades CR16C-4, CR16C-4a, CR16B-5 y CR16C-7 y sigue un eje este-oeste (Figura 11.7). Mide 6 m de largo (E-O) x 1 m de ancho (N-S) y posee 75 cm de altura desde el Piso de Estuco 1. Está hecho de piedras burdas rectangulares de tamaño mediano, en su mayoría de las de tipo poroso. Cada una tiene en promedio dimensiones de 10 cm de altura x 30 cm de largo y 20 cm de ancho. Posee un relleno compacto de arena y piedrín entre cada bloque para aportar estabilidad. El muro tiene 5 hileras y tomando en cuenta la cantidad de piedras encontradas en el escombro que pertenecían a este muro, posiblemente no fue muy alto y poseía aproximadamente 8 hileras. En la Unidad CR16C-4 se encontró el límite este del muro, el cual forma un acceso de 1.40 m de ancho, que comunica el Cuarto 1 con la parte posterior de la plataforma basal.

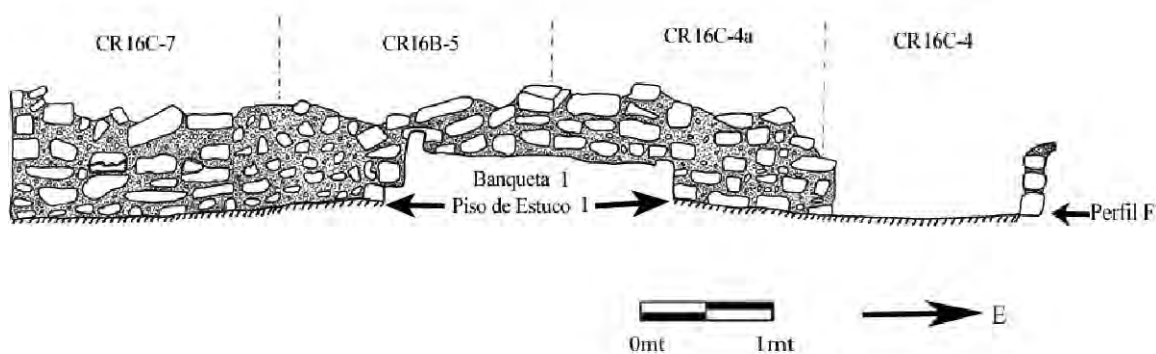


Figura 11.7 Elevación Sur del Muro Norte (Perfil F) (Dibujo por V. Orellana. Calco por J. Ponce)

Muro Central

Este basamento de muro se encontró en las Unidades CR16A-11, CR16A-11a, CR16A-11b, CR16A-12, CR16C-8, CR16C-3, CR16C-3a, CR16C-3c, CR16C-6, CR16C-7 y CR16C-9 y sigue un eje este-oeste. Mide 6.7 m de largo (E-O) y 1.20 m de ancho (N-S), sin tomar en cuenta un área de almacenaje adosada por el lado oeste que se tratará con detalle más adelante. Sin embargo, tomando en cuenta esta área, la longitud total del Muro Central es de 7.4 m. Posee una altura de aproximadamente 70 cm desde el Piso de Estuco 1 y al igual que el Muro Norte, está hecho en su mayoría de piedras burdas rectangulares de tamaño mediano, varias de ellas porosas. Posee 4 hileras y tomando en cuenta la cantidad de piedras encontradas en el escombro que pertenecían a este muro, posiblemente poseía aproximadamente 8 hileras.

En las Unidades CR16C-6 y CR16C-7, que forman parte del Cuarto 2, se encontró un total de 45 fragmentos de bajareque de 15 cm de largo x 5 cm de ancho cada en uno en promedio, muchos de éstos aun con marcas de cañas (Figura 11.8). Esto es indicio que posiblemente este muro haya sido más alto, por lo que el basamento hubiese sido de piedra y la parte superior de material perecedero.



Figura 11.8 Fragmentos de bajareque encontrados en las Unidades CR16C-6 y CR16C-7
(Foto por J. Ponce)

En las Unidades CR16A-11 y CR16A-11a se encontró un acceso de 60 cm de ancho, siendo éste un poco angosto y que conecta el Cuarto 1 con el Cuarto 3. De igual manera, en estas dos unidades se encontró una grada adosada al Muro Central que es parte del Cuarto 3. Mide 4 m de largo, 50 cm de ancho y posee una altura de aproximadamente 20 cm desde el Piso de Estuco 2. También es importante mencionar que en las Unidades CR16A-11 y CR16C-3, el muro no posee el mismo ancho, ya que al este del acceso solamente posee 80cm de ancho, formando una esquina y se amplía nuevamente al ancho original en la Unidad CR16C-9. En las Unidades CR16A-11a y CR16C-3a se encontró un área estucada sobre el basamento del muro, el cual medía 70 cm de largo x 30 cm de ancho (Figura 11.9). Es probable que éste haya sido una especie de nicho estucado dentro del muro, posiblemente con fines rituales.

En el acceso descrito se hizo un pequeño registro denominado CR16A-11b de 60x60 cm con el objetivo de conocer más de las remodelaciones y secuencia de pisos de estuco de la estructura (Figura 11.10). Primero se encontró el Lote 2 que como ya se mencionó anteriormente, constaba de tierra café mezclada con material de construcción. Luego, el Lote 5 constaba de un piso de estuco de aproximadamente 10 cm de grosor en buen estado de conservación. Este piso es el que se encontró en el Cuarto 1 y Cuarto 2 y se le denominó Piso de Estuco 1. Luego el Lote 6 constaba de un relleno de tierra café compacta mezclada con pedrín. El Lote 7 constaba de un segundo piso de estuco de aproximadamente 40 cm de grosor denominado Piso de Estuco 2. Este piso fue el que se encontró en el Cuarto 3. Esto significa que en los Cuartos 1 y 2 el piso de estuco se encuentra a un nivel más alto que en el Cuarto 3. En ambos casos, no fue un solo piso grueso, sino que varias capas pequeñas de estuco divididas por una capa fina de arena que posiblemente se deba a que fueron nivelaciones o remodelaciones con un período corto entre cada una. Finalmente, el Lote 8 constaba de un relleno de piedras grandes con tierra, perteneciente al relleno constructivo de la estructura.



Figura 11.9 Fragmento estucado sobre Muro Central en las Unidades CR16C-3a y CR16C-11a (Foto por J. Ponce)

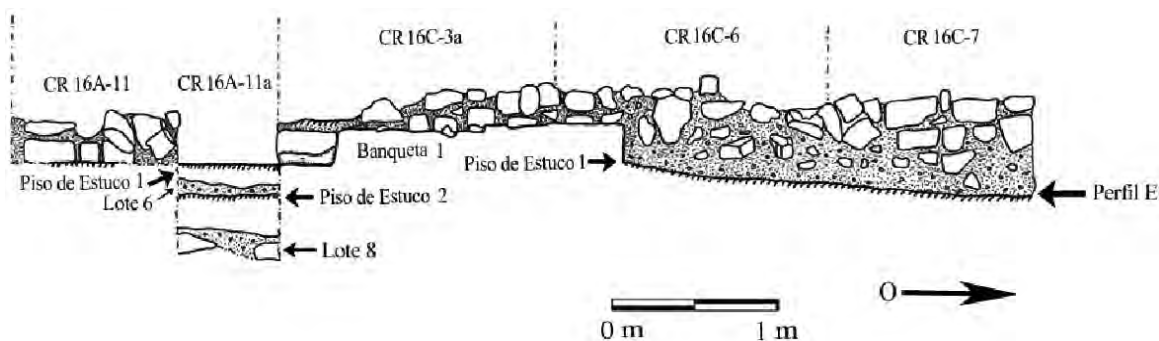


Figura 11.10 Elevación Norte de Muro Central mostrando Perfil Norte de pozo de sondeo CR16A-11a (Perfil E) (Dibujo por V. Orellana. Calco por J. Ponce)

Banqueta 1

Esta fue encontrada en las Unidades CR16C-3a, CR16C-6, CR16C-4a y CR16B-5 (Figura 11.11). Mide 2 m de largo (N-S) x 2.08 m de ancho (E-O). Posee una altura aproximada de 40 cm desde el Piso de Estuco 1 y en ambas caras posee lajas de piedras cuadradas de aproximadamente 30 x 30 cm. Aunque no se encontró estuco en su superficie superior, es muy probable que haya estado estucada. Esta banqueta divide el Cuarto 1 y el Cuarto 2 y colinda al norte con el Muro Norte y al sur con el Muro Central.

Sobre la banqueta se realizaron dos registros de 60 x 90 cm denominados CR16C-3b y CR16C-3c, para conocer más acerca de las etapas constructivas de la estructura (Figura 11.12). La primera estuvo ubicada adosada al Muro Norte y la segunda adosada al Muro Central, ambas cerca de la orilla este de la banqueta. Estos registros comprobaron que el Muro Central y el Muro Norte fueron contemporáneos. Primero se encontró el Lote 4, que constaba de tierra café, arena y piedras de diferentes tamaños que formaban parte del relleno de la banqueta. Dentro de este lote se encontraron tres fragmentos de bajareque, lo que indica que este material fue depositado antes de la construcción de la banqueta. Luego se encontró el Lote 5 que constaba del Piso 1, pero a diferencia del que fue encontrado en la Unidad CR16C-11a, es más grueso ya que posee aproximadamente 18 cm de grosor. Luego el Lote 6 constó de un relleno de tierra café compacta mezclada con pedrín. El Lote 7 constaba del Piso de Estuco 2, pero también es más grueso que el de la Unidad CR16C-11a, ya que posee 40 cm de grosor. Finalmente, el Lote 8 constó de un relleno de piedras grandes con tierra café, perteneciente al relleno constructivo de la estructura.



Figura 11.11 Perfil Oeste de la Banqueta 1 (Foto por J. Ponce)

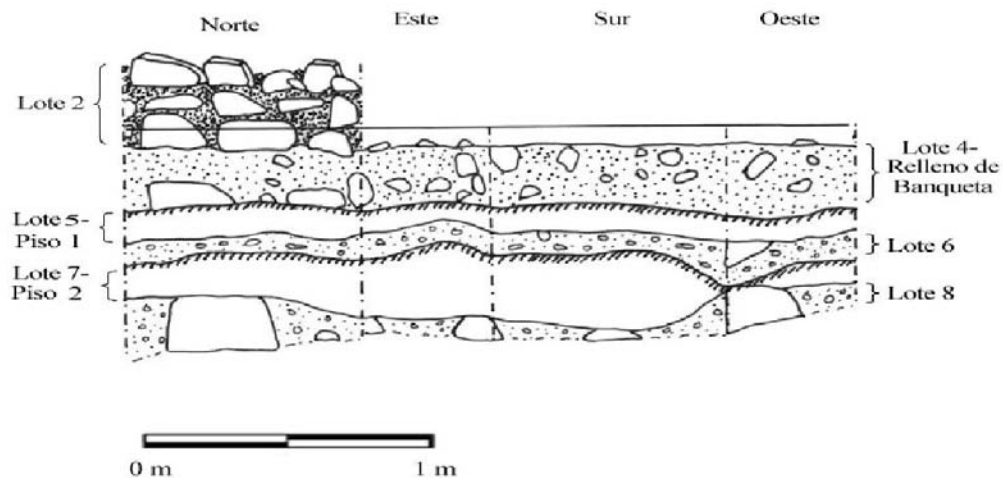


Figura 11.12 Perfiles de la Unidad CR16C-3b (Dibujo y calco por J. Ponce)

Muro Oeste

Este basamento de muro abarcó parte de las Unidades CR16A-16, CR16A-17, CR16A-18, CR16A-20, CR16A-24, CR16C-7, CR16C-8 y CR16C-5. Ésta última fue excavada por Antonieta Cajas (ver Capítulo 10 de este informe).

El muro tiene forma de “L”, y mide 7.25 m de largo (N-S) x 1.10 m de ancho (E-O) en su parte más larga y en un eje norte-sur. En su parte más corta, alineada en un eje este-oeste, mide 1.60 m de largo x 1.10 m de ancho. La parte más larga colinda con el Muro

Norte y la parte más corta con el Muro Sur. Posee una altura de aproximadamente 70 cm desde el Piso 1 y al igual que los Muros Norte y Central, está hecho en su mayoría de piedras burdas porosas rectangulares de tamaño mediano. Posee 5 hileras y tomando en cuenta la cantidad de piedras encontradas en el escombros que pertenecían a este muro, posiblemente tenía unas 10 hileras, por lo que es el muro más alto y largo de la estructura. Este muro dividía la Estructura 13R-9 y 13R-10. En la Unidad CR16C-7, que forma parte del Cuarto 2, se encontró una remodelación que consiste en el sellado de un acceso de 98 cm de ancho. Esto indica que la conexión entre ambas estructuras fue cancelada en la última ocupación.

Muro Sur

Este muro fue encontrado en las Unidades CR16A-10, CR16A-13, CR16A-14, CR16A-15 y CR16A-25, alineado en un eje este-oeste (Figura 11.13). El muro mide 4 m de largo (E-O) x 1.10 m de ancho (N-S), siendo éste el muro más corto de la estructura. Posee una altura de aproximadamente 40 cm desde el Piso 2 y al igual que los demás muros, está hecho en su mayoría de piedras burdas y porosas de tamaño mediano. Posee solamente dos hileras y tomando en cuenta la cantidad de piedras encontradas en el escombros que pertenecían a este muro, posiblemente tenía originalmente 5 hileras, siendo éste el muro más pequeño y a la vez más bajo de la estructura. Este muro forma parte de la Fachada Sur que era la fachada principal de la estructura.

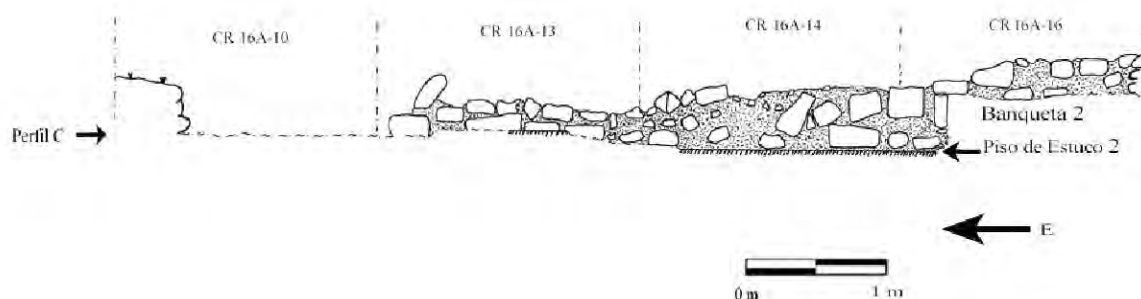


Figura 11.13 Elevación Norte de Muro Sur mostrando piso de estuco del Cuarto 3 (Perfil C)
(Dibujo por V. Orellana. Calco por J. Ponce)

Área de almacenaje

En la Unidad CR16C-8 se encontró lo que parece ser un área de almacenaje ubicada entre el Muro Oeste y Muro Central, el cual sigue un eje este-oeste (Figura 11.14). Mide 85 cm de largo x 80 cm de ancho, por lo que su forma es casi cuadrada. El área está delimitada al norte y al sur por dos pequeños muros de 85 x 30 cm y 85 x 35cm respectivamente, siendo más amplio en el lado sur. Posee aproximadamente 50 cm de profundidad desde la superficie y las paredes poseen restos de estuco. De igual manera, el fondo posee fragmentos de piso de estuco en buen estado de conservación, siendo éste el Piso 2. Dentro de esta área se encontraron 250 tiestos, casi todos del tipo Encanto Estriado, una punta de pedernal, un fragmento de piedra de moler y un fragmento de figurilla. Es posible que haya sido utilizada para almacenar agua o granos. Sin embargo, también es posible que haya sido usada como basurero durante la última ocupación.



Figura 11.14 Área de almacenaje (Foto por J. Ponce)

Cuarto 1

Este cuarto se encontró en partes de las Unidades CR16C-3, CR16C-3a, CR16C-4, CR16C-4a y CR16C-9 (Figura 11.15). Mide aproximadamente 4.60 m de largo (E-O) x 2 m de ancho (N-S). Sin embargo, el largo exacto no se conoce debido a que no se encontró el límite este. Está delimitado al norte por el Muro Norte, al sur por el Muro Central y al oeste por la Banqueta 1. Posee dos accesos, uno que lleva hacia al Patio Norte y otro que conecta con el Cuarto 3.

Dentro del cuarto se encontraron diversos artefactos, y destaca un bloque de piedra tallada de color rojizo en la parte interior. Éste mide 55 cm de largo x 30 cm de ancho y 10 cm de grosor, por lo que parecía ser una pequeña estela (Figura 11.16). La parte inferior es plana y la superior está fragmentada en dos partes. El nicho descrito anteriormente como parte del Muro Central también es parte de este cuarto, por lo que es posible que este bloque de piedra haya sido parte de algún culto doméstico y haya sido colocada dentro del nicho o fuera parte de alguna actividad artesanal de talla de esculturas. Sin embargo, también es posible que haya tenido alguna otra función. También se halló una vasija Encanto Estriado quebrada frente al Muro Norte con carbón en la parte interior. Asimismo, se encontraron diversos huesos, posiblemente de animales, al igual que varios fragmentos de obsidiana y pedernal, una punta de pedernal (Figura 11.17), un fragmento de cuarzo, una cuarta parte de un hacha de piedra verde, un fragmento de piedra de moler, un colmillo y fragmentos de concha (Figura 11.18).

La mayor concentración de artefactos se encontró en el acceso hacia la parte posterior de la plataforma basal. En este cuarto se recuperaron alrededor de 600 fragmentos de cerámica, la mayoría del tipo Encanto Estriado seguido de Cambio sin Engobe y Tinaja Rojo, que son tipos utilitarios del Clásico Tardío utilizados para almacenar comida o bebidas. Indudablemente, este cuarto era un área importante de actividad. Algunos de los artefactos, así como el cuarzo y los fragmentos de concha podrían estar relacionados con la elaboración de otros artefactos. Sin embargo, otros como los huesos, la cerámica o el fragmento de piedra de moler dan indicios de un contexto doméstico o ritual. Lo más probable es que este cuarto haya sido un área de preparación de la elite para llevar a cabo fiestas u otras actividades importantes en el Patio Norte.



Figura 11.15 Vista desde el lado este del Cuarto 1 (Foto por J. Ponce)



Figura 11.16 Piedra tallada encontrada en la Unidad CR16A-3a (Foto por J. Ponce)



Figura 11.17 Punta de pedernal encontrada en la Unidad CR16C-3 (Foto por J. Ponce)

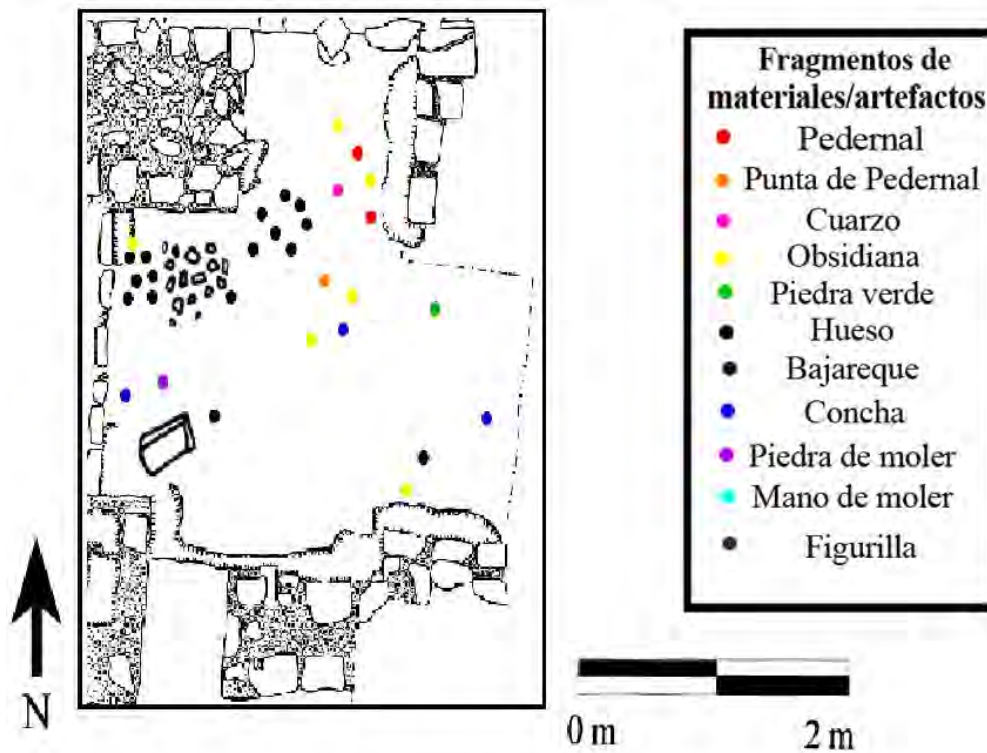


Figura 11.18 Distribución de artefactos encontrados en el nivel 2 del Cuarto 1 (Dibujo por V. Orellana. Calco por J. Ponce)

Cuarto 2

Este cuarto se encontró en parte de las Unidades CR16B-5, CR16C-6 y CR16C-7 (Figura 11.19). Está delimitado al norte por el Muro Norte, al oeste por el Muro Oeste, al este por la Banqueta 1 y al sur por el Muro Central y el Área de almacenaje. Mide 2.85 m de largo (E-O) x 2 m de ancho (N-S). Está cerrado, teniendo un único acceso por el Cuarto 1. Sin embargo, como ya se mencionó anteriormente, en el Muro Oeste se encontró una remodelación que indica que había un acceso por el corredor que conecta con la Estructura 13R-9 que luego fue sellada durante la última ocupación. Dentro de este cuarto se encontró una gran cantidad de artefactos, entre estos destaca la presencia de dos fragmentos de manos y piedras de moler (Figura 11.20), varios fragmentos de pedernal y obsidiana, fragmentos de huesos que posiblemente sean de animales y como ya se mencionó anteriormente, 45 fragmentos de bajareque cerca del Muro Central (Figura 11.21). Las manos y piedras de moler dan la impresión que este cuarto tal vez tenía una función relacionada a la preparación de alimentos. De igual manera, en este cuarto se encontraron alrededor de 750 fragmentos de cerámica, la mayoría de éstos del tipo Encanto Estriado, Cambio sin Engobe y Tinaja Rojo. Es posible que al igual que el Cuarto 1, aquí también se hayan preparado materiales y alimentos que utilizaría la elite para sus actividades.



Figura 11.19 Vista desde el oeste del Cuarto 2 (Foto por J. Ponce)



Figura 11.20 Fragmento de mano de moler encontrad en la Unidad CR16C-6
(Foto por J. Ponce)

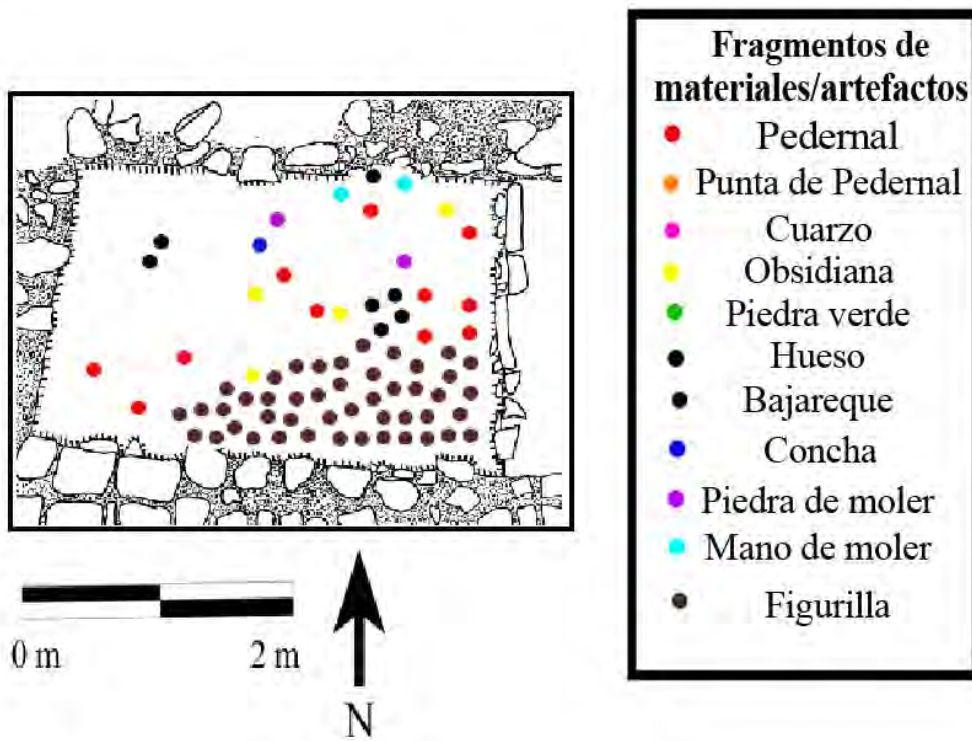


Figura 11.21 Distribución de artefactos encontrados en el nivel 2 del Cuarto 2
(Dibujo por V. Orellana. Calco por J. Ponce)

Cuarto 3

Este cuarto es el más amplio y se encontró en parte de las Unidades CR16A-10, CR16A-11, CR16A-11a, CR16A-12, CR16A-13, CR16A-14, CR16A-16 y CR16C-8 (Figura 11.23). Se encuentra delimitado al norte por el Muro Central, al oeste por la Banqueta 2 y al sur por el Muro Sur. Al igual que el Cuarto 1, no se encontró el límite este. Mide 5.95 m de largo (E-O) x 2 m de ancho (N-S) en su parte más amplia y 1.50 m de ancho en el resto del cuarto debido a la grada que forma parte del Muro Central, como ya se explicó anteriormente.

En la Unidad CR16A-10 se encontró lo que parece ser el acceso al cuarto, sin embargo, es difícil afirmarlo debido a que el Saqueo 2 destruyó gran parte de la fachada. En este cuarto se encontró el Piso 2 y los bordes de cinco diferentes vasijas Encanto Estriado y Cambio sin Engobe fragmentadas sobre este piso en las Unidades CR16A-10 y CR16A-14 (Figura 11.22). Asimismo, se encontraron varios fragmentos de huesos, posiblemente de animales, al igual que fragmentos de pedernal y obsidiana, un fragmento de figurilla, concha y fragmentos de piedras de moler (Figura 11.24).

En este cuarto se encontró la mayor cantidad de fragmentos de cerámica de los tres, ya que se recuperaron alrededor de 1,100 tiestos, la mayoría de los tipos Encanto Estriado y Cambio sin Engobe. Es posible que este cuarto, al igual que el 1 y 2, haya sido utilizado para preparar alimentos y artefactos que la élite necesitaría para sus actividades rituales y de celebración. También es importante notar que, a diferencia del Cuarto 3, los Cuartos 1 y 2 tienen acceso al Patio Norte que es más privado, por lo que estarían más relacionados a las actividades que allí se llevaban a cabo. Debido al acceso directo desde la Plaza Sur, es posible que el Cuarto 3 también funcionara como antesala a los Cuartos 1 y 2 y que estuviera relacionado con las actividades que se llevaban a cabo en la Plaza Sur (Barrientos, com. pers. 2012).



Figura 11.22 Fragmentos de vasijas Encanto Estriado y Cambio sin Engobe Encontrados en CR16A-14 (Foto por J. Ponce)



Figura 11.23 Vista del Cuarto 3 desde el lado este (Foto. por J. Ponce)

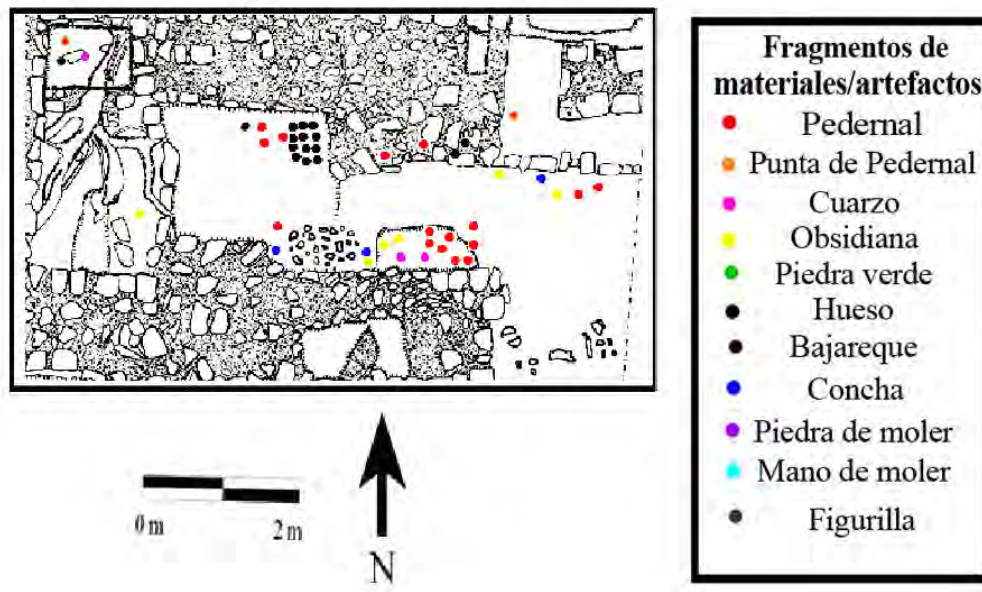


Figura 11.24 Distribución de artefactos encontrados en el nivel 2 del Cuarto 3 (Dibujo por V. Orellana. Calco por J. Ponce)

Banqueta 2

Esta banqueta se encontró en las Unidades CR16C-8 y CR16A-16 como parte del Cuarto 3 (Figura 11.25). Está adosada por el lado norte al Muro Central y al Área de almacenaje y al oeste al Muro Oeste. Mide 2 m de largo x 1.50 m de ancho y posee una altura de 30cm desde el Piso 2. En la parte superior se encontraron restos de estuco.



Figura 11.25 Banqueta 2 (Foto por J. Ponce)

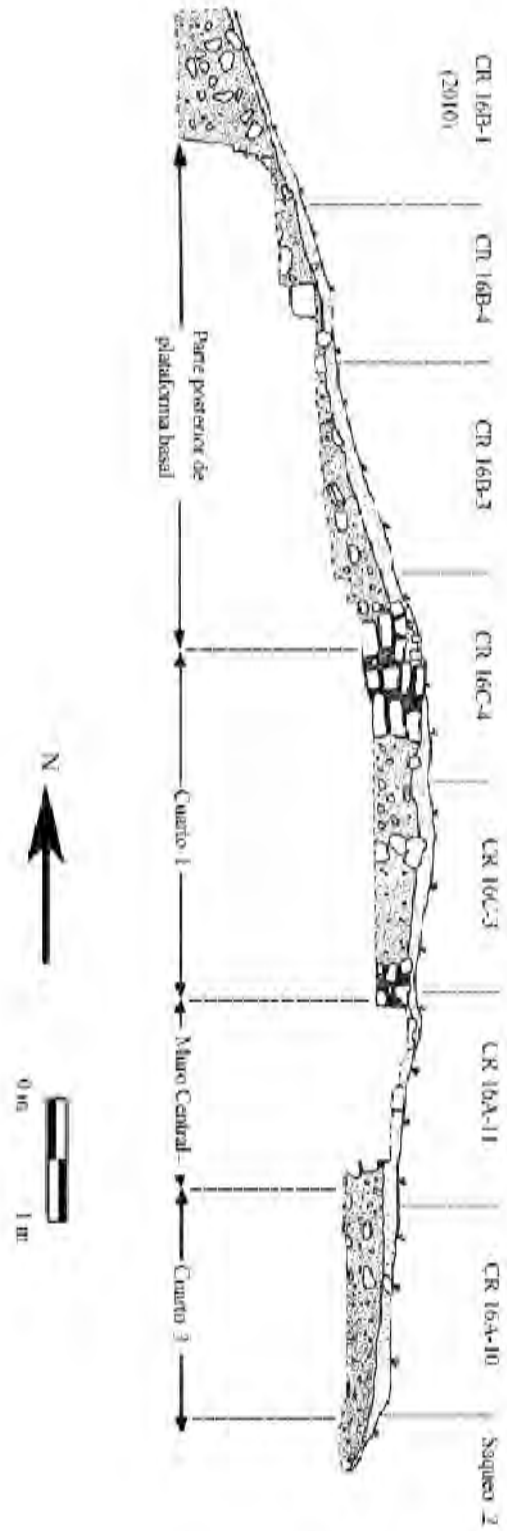


Figura 11.26 Perfil Este Estructura 13R-10 (Perfil A) (Dibujo por V. Orellana. Calco por J. Ponce)

Suboperación 16B: Excavaciones en la Parte Posterior de la Plataforma Basal

Esta plataforma se encontró en las Unidades CR16B-3, CR16B-4, CR16B-3a y CR16B-3b. Es un rasgo importante debido a que une la parte superior de la Estructura 13R-10 con el Patio Norte. En la Unidad CR16B-3 se encontró una pequeña grada de 40 cm de ancho y 28 cm de altura para entrar al Cuarto 1. También se encontraron fragmentos pequeños de piso de estuco que pertenecen al mismo nivel que el Piso 2. Se encontraron varios fragmentos de pedernal y huesos de animales. Luego, en la Unidad CR16B-4 se encontró otra grada de 50 cm de ancho y 36 cm de altura para entrar a la estructura. Estaba hecha de piedras pequeñas, por lo que posiblemente poseía piso empedrado. En esta unidad se encontraron algunos fragmentos de pedernal, entre estos una punta, dos fragmentos de hueso y un fragmento de concha (Figura 11.31).

En la Unidad CR16B-3 se excavó un pozo denominado CR16B-3a con el objetivo de conocer más de las remodelaciones y etapas constructivas de la Estructura 13R-10. Se encontró que la grada de acceso al Cuarto 1 abarcaba solamente 1 m del lado oeste del pozo, pero luego fue nivelada con el Piso 2. Este rasgo estuvo relacionado al Lote 5 que constaba de tierra café mezclado con piedras pequeñas y forma un piso empedrado. En este lote se encontraron fragmentos de cerámica, obsidiana y pedernal al igual que dos comales completos del tipo Cambio sin Engobe de 26 cm de diámetro (Melanié Forné, com. pers. 2011). Éstos conformaban una ofrenda y se les asignó Lote 6 para mejor manejo del material (Figuras 11.27 y 11.28). Los comales se encontraron uno encima del otro, el primero bocabajo y el segundo bocarriba, labio a labio, y estaban rodeados de piedras pequeñas que eran parte del empedrado. Esto hizo necesario una ampliación denominada CR16B-3b. Luego el Lote 7 constaba de un relleno de tierra café mezclado con piedras de diferentes tamaños, incluyendo piedras grandes. En este lote se encontraron fragmentos de pedernal, hueso y concha. Por último, el Lote 8 constó de tierra café mezclada con arena y pedrín donde se encontró una pequeña grada o banqueta de una subestructura (Figuras 11.29 y 11.30). Ésta se encontró aproximadamente a 1.50 m de profundidad desde la superficie y constaba de 5 grandes piedras adosadas de unos 20cm de altura. Asociados a este relleno se encontraron pocos fragmentos de cerámica.

Como parte del análisis cerámico de las Unidades CR16B-3a y CR-16B-3b, se recuperó cerámica principalmente del Clásico Tardío, donde destacan los tipos Encanto Estriado, Cambio sin Engobe, Tinaja Rojo e Infierno Negro. Sin embargo, como parte del relleno encima de la subestructura también se encontraron algunos tiestos del Clásico Temprano del tipo Águila Naranja. Esto indica que las remodelaciones de las etapas constructivas posteriores a la subestructura fueron hechas durante el Clásico Tardío.



Figura 11.27 Comales de ofrenda en Unidades CR16B-3a y CR16B-3b (Foto por J. Ponce)



Figura 11.28 Comales restaurados (Foto por J. Ponce)

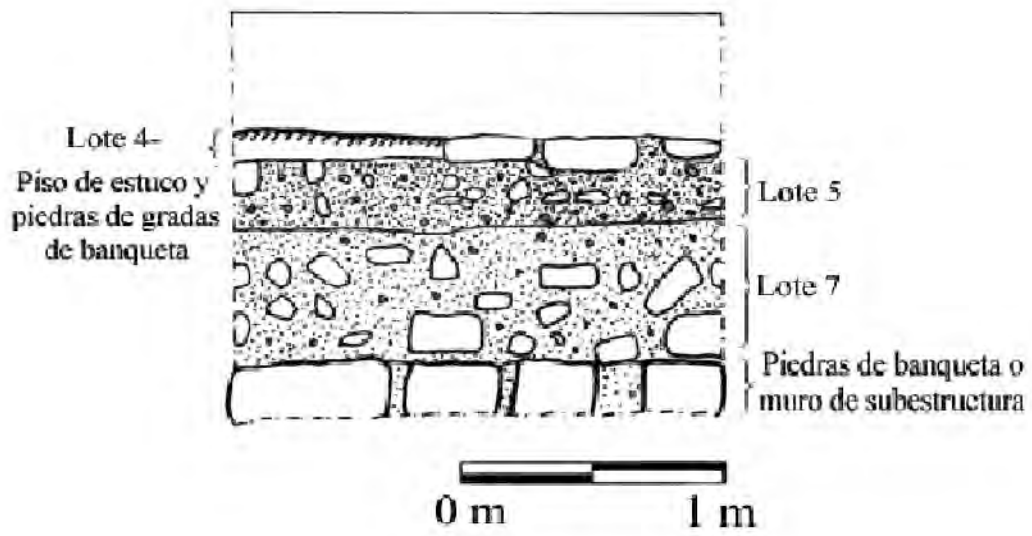


Figura 11.29 Perfil Sur CR16B-3a (Dibujo y calco por J. Ponce)



Figura 11.30 Piedras de subestructura en Unidades CR16B-3a y CR16B-3b (Foto por J. Ponce)

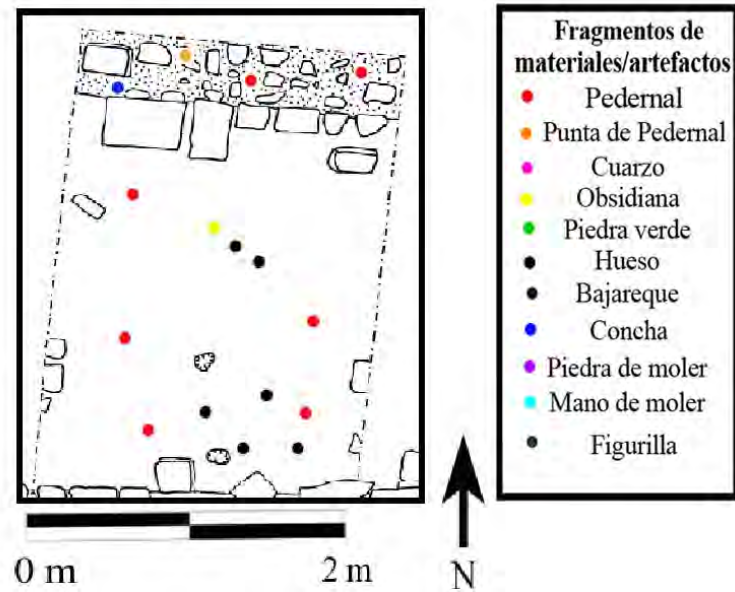


Figura 11.31 Distribución de artefactos en el nivel 2 de la Plataforma basal (Dibujo por por J Ponce)

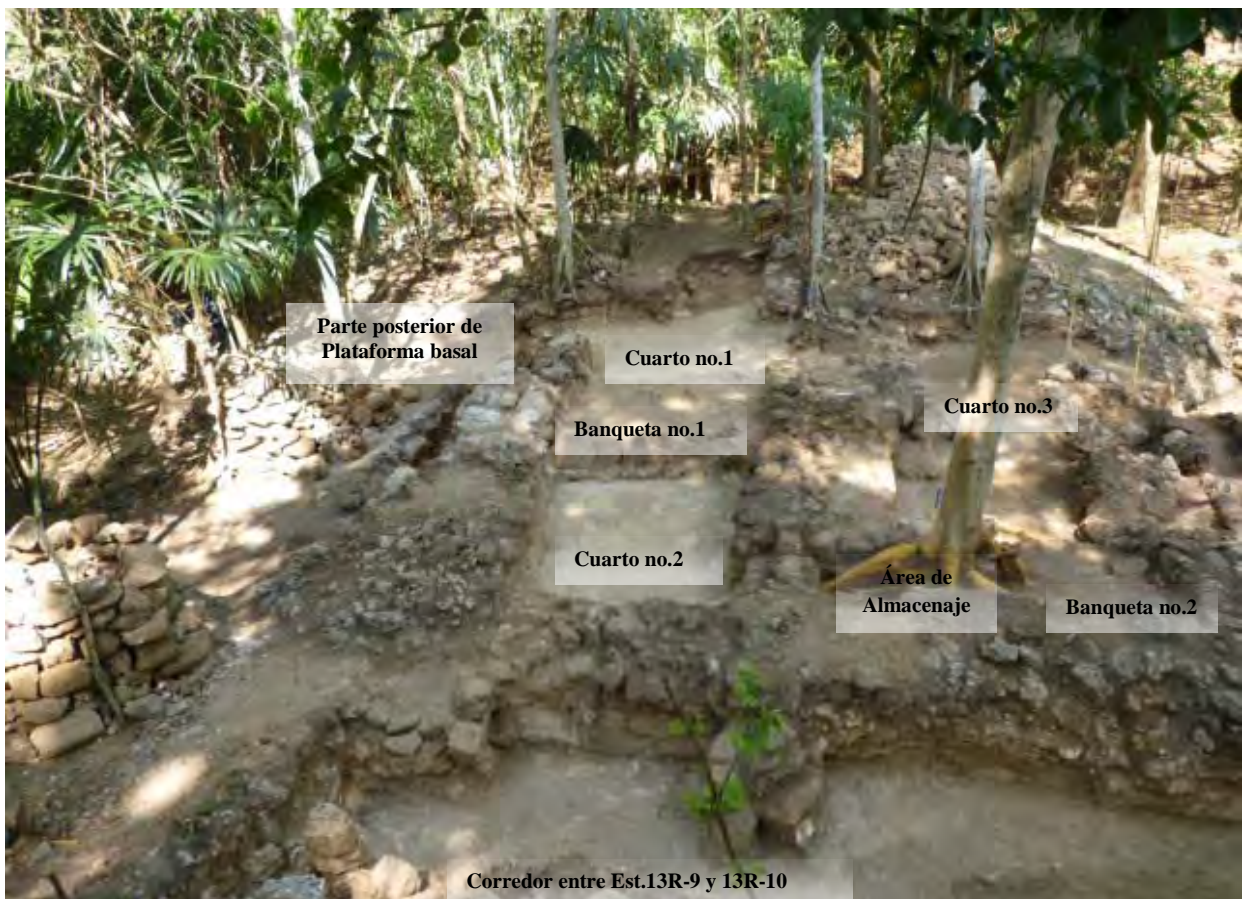


Figura 11.32 Rasgos encontrados en la parte superior de la estructura (Foto por J. Ponce)



Figura 11.33 Esquema de distribución de artefactos encontrados en el nivel 2 en la parte superior de la Estructura (Dibujo por J. Ponce)

Suboperación 16A: Excavaciones en los Cuerpos del Basamento de la Fachada sur

El basamento de la Fachada Sur de esta estructura constó de tres cuerpos desde el piso de plaza hasta llegar a la parte superior de la estructura (Figuras 11.34 y 11.35). Esto se encontró en parte de las Unidades CR16A-15, CR16A-17, CR16A-18, CR16A-25, CR16A-26, CR16A-26a, CR16B-26b, CR16A-26c, CR16A-19, CR16A-21, CR16A-22 y CR16A-23. Estas últimas cuatro unidades fueron excavadas por Camilo Nájera. Todas fueron de 2 x 2 m, a excepción de CR16A-26 y CR16A-26a, que fueron de 2 x 1 m, CR16A-26b de 50 x 80 cm y CR16A-26c de 1 x 1.40 m. En las excavaciones realizadas en esta fachada se identificaron cuatro lotes: El Lote 1 constó de humus suelto con raíces; el Lote 2 de tierra café mezclada con material de escombros y piedras de los Saqueos 1 y 2; el Lote 3 de piso de estuco de la plaza de aproximadamente 3 cm de grosor; y el Lote 4 del material de relleno del piso que constaba de arena fina mezclada con piedras pequeñas. Este último estrato posee aproximadamente 20 cm de grosor hasta llegar a la roca madre.

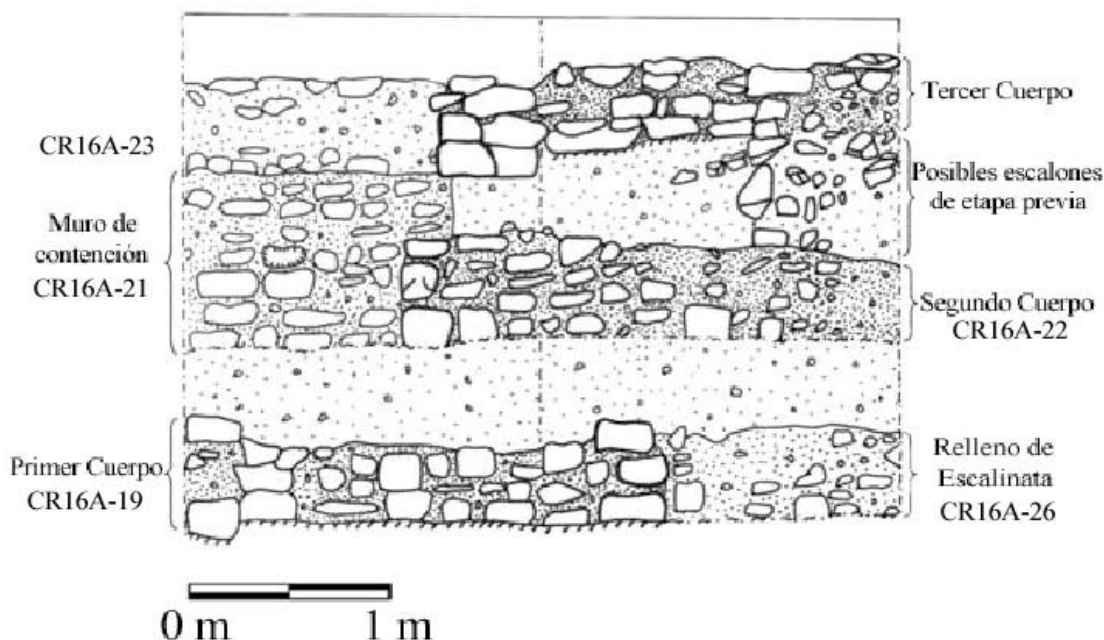


Figura 11.34 Perfil Sur de los cuerpos del basamento de la Fachada Sur de la Estructura. Unidades CR16A-19, CR16A-21, CR16A-22, CR16A-23 y CR16A-26 (Dibujo por C. Nájera y J. Ponce. Calco por J. Ponce)

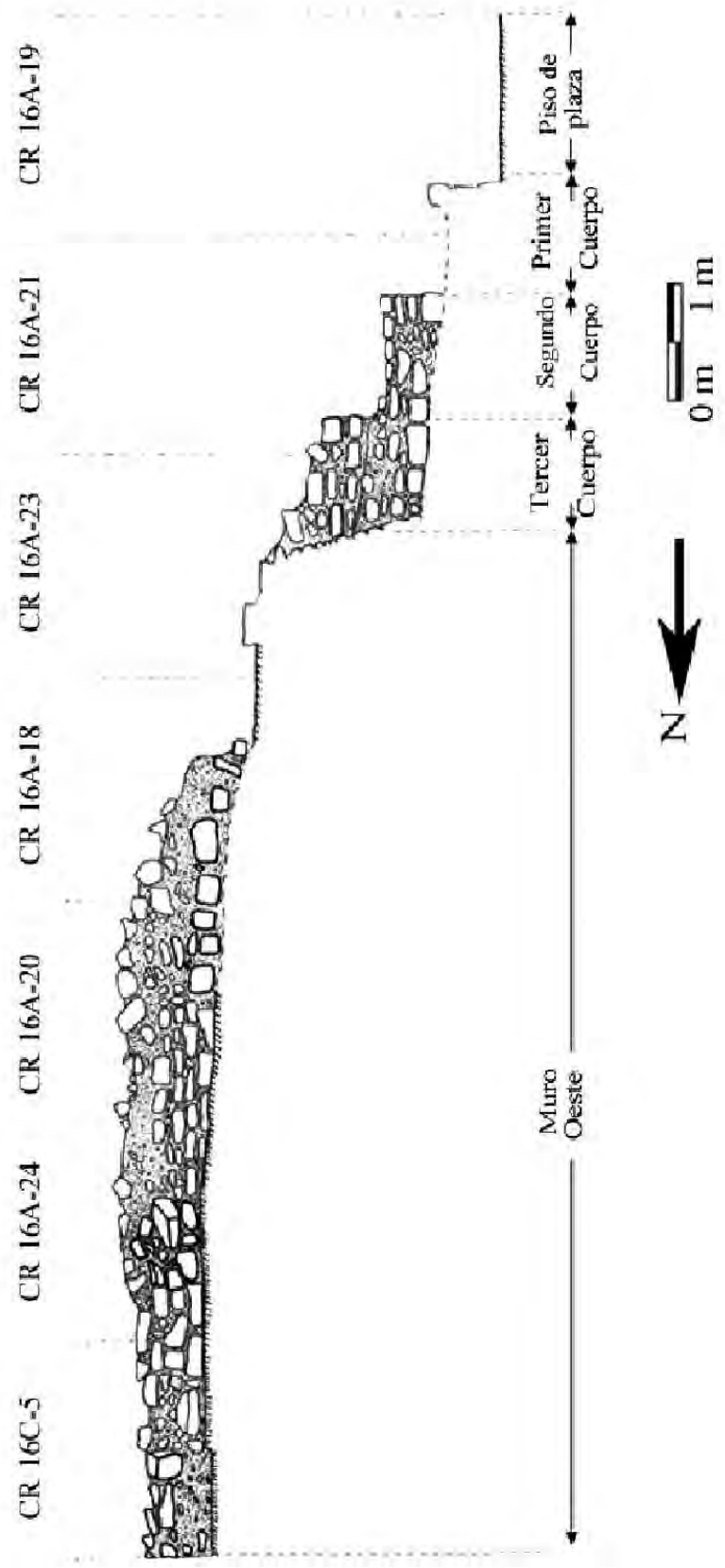


Figura 11.35 Perfil Oeste de Muro Este y cuerpos de Fachada Sur (Perfil J) (Dibujo por V. Orellana, Calco por J. ...)

Primer Cuerpo

En la Unidad CR16A-19 se lograron identificar los 4 lotes descritos anteriormente. En el Lote 2 se encontró la fachada del muro del primer cuerpo de la estructura que constaba de piedras rectangulares talladas. Posiblemente estaban cubiertas de una capa de estuco como acabado final. El muro de la terraza limita al oeste con la Estructura 13R-9, posee un ancho de 50 cm y se reduce de oeste a este hasta llegar a un ancho de 25 cm, con una altura de 79 cm desde el piso de plaza. Se encontró evidencia de material cerámico de relleno, lascas de obsidiana y conchas que aumentaban en los niveles más profundos de la excavación. También se identificó el piso de plaza que se encontraba fragmentado y se llegó a una profundidad máxima de 1.35 m desde la superficie hasta la roca madre.

En la Unidad CR16A-26 también se encontró el piso de estuco de la plaza y al este se encontró un relleno de piedras perteneciente a la base de la escalinata de la estructura. Se trazaron tres extensiones denominadas CR16A-26a, CR16A-26b y CR16A-26c con el objetivo de encontrar la base de la escalinata. No se encontró, pero se hallaron dos bloques similares a los que se encuentran entre las piedras de saqueo en la Fachada Sur de la estructura. Éstos se caracterizan por ser lisos, de piedra caliza, bien tallados y miden en promedio 40cm de largo, 30 cm de alto y poseen un grosor de 20cm de ancho. Son de muy buena calidad a comparación de las piedras de los muros. Esto confirma que estos bloques son procedentes de la base de la escalinata de la Fachada Sur de la Estructura 13R-10.

Segundo cuerpo

En la Unidad CR16A-21 se encontró la esquina oeste del muro del segundo cuerpo, que al igual que el primer cuerpo está formado de piedras rectangulares talladas. En la Unidad CR16A-22 se encontró la continuación de este muro para unirlo con los restos visibles que se encontraban en el Saqueo 2, por lo que también se limpió parte del Saqueo 1. Se encontró un piso de estuco en mal estado de conservación frente a este muro y una punta de pedernal de 5 cm de alto x 3.5 cm de ancho. En esta última unidad también se hizo un pequeño registro dentro del muro que se encontraba en el Saqueo 1, donde se encontraron tres pequeñas gradas en mal estado de conservación que indica que posiblemente hayan sido parte de una etapa constructiva anterior. Este cuerpo fue de menores dimensiones que el primero (75 cm más pequeño), reduciéndose hacia el lado este.

Tercer Cuerpo

En la Unidad CR16A-23 se encontró la esquina del muro del tercer cuerpo, que al igual que los otros dos cuerpos, estaba formado de piedras rectangulares talladas. Ésta era solamente 10cm más pequeño que el segundo cuerpo, reduciéndose hacia el lado este. También se encontró un muro de contención de aproximadamente 1.4 m de alto en el lado oeste que limitaba con el muro que dividía las Estructuras 13R-9 y 13R-10. Se encontraron restos de un metate de piedra y material cerámico en abundancia, así como también fragmentos de huesos, figurillas, concha y lascas de pedernal. También se hallaron fragmentos de un pequeño pectoral de concha con forma de rostro humano, de 2.5 cm de alto x 2 cm de ancho (Figura 11.36).



Figura 11.36 Fragmento de concha tallada con forma de rostro humano encontrado en la Unidad CR16A-23 (Foto por J. Ponce)

La altura total desde la parte superior del pozo CR16A-23 hasta el pozo CR16A-19, en la parte inferior de la estructura y nivel de piso es de casi 3 m. Al unir todas las excavaciones, se evidencian tres plataformas rectangulares de muros verticales de aproximadamente 50 cm de altura cada una (Figura 11.37). No se encontró escalinata que permitiera el acceso a la plataforma superior del edificio, por lo que posiblemente ésta fue destruida por los saqueos. Por último, en las Unidades CR16A-18, CR16A-17, CR16A-15 y CR16A-25 se encontró parte del Piso de Estuco 2 en la parte exterior del Muro Sur que formaba parte de la fachada.



Figura 11.37 Muros del segundo y tercer cuerpo de la Fachada Sur (Foto por J. Ponce)

Bloques con glifos

Entre las piedras talladas encontradas alrededor de los saqueos en la Fachada Sur de la estructura, se encontraron dos bloques tallados con glifos. Esto indica que la escalinata en dicha fachada poseía bloques con glifos. Ambos bloques se encuentran bastante erosionados y cada uno de ellos posee cuatro columnas con tres glifos cada una. Por las dimensiones, estos bloques pertenecen a la Escalinata Glífica 3, por lo que se les denominó Bloque 9 y Bloque 10 respectivamente (Joanne Baron com. pers. 2012).

El Bloque 9 mide 33 cm de largo x 28 cm de ancho y 10 cm de grosor. El texto menciona un evento que posiblemente se realizó en Calakmul y luego posee la cuenta de tiempo hasta un final de período. Los cuatro glifos superiores están totalmente erosionados, por lo que no son legibles. El primer glifo legible es B3 que probablemente se lea *chan ch'een* que significa “cueva celestial” y es la manera en que los mayas se referían a las ciudades. Sabiendo esto, es posible que el glifo en A3 haya tenido el nombre de la ciudad

de *Sak Nikte'* (La Corona) o *Chiiknahb* (Calakmul), siendo esta última más factible. Luego, el texto posee un número de distancia que está completamente erosionado a excepción del posible sufijo *-jiiy* en C2. En D2 y C3 se encuentra la fecha de rueda calendárica 3 Ajaw 3 Xul y corresponde a la fecha de cuenta larga 9.12.5.0.0 (5 de junio de 677 DC) que corresponde al reinado de *K'inich ¿? Yook*. Sin embargo, D3 es inconsistente con esta fecha y se lee *wi' ho tuun* o “cinco años faltantes”, lo que significa que debería corresponder a un final de período cinco años antes de un katún. Es probable que el escriba quisiera referirse a la fecha 9.12.15.0.0 (14 de abril de 687 DC), ya que si hubiese querido referirse a la fecha 9.12.5.0.0 entonces hubiera escrito *naah ho tuun* “primeros cinco años”. Este es un error muy peculiar, ya que es posible que haya escrito mal la frase en la oración o la fecha de la rueda calendárica, siendo esta última opción la más probable (Baron com. pers. 2012).

El Bloque 10 mide 38 cm de largo x 26 cm de ancho y posee 15 cm de grosor. Todo el lado izquierdo del bloque está totalmente erosionado, por lo que C1 y D1 son ilegibles. En C2 está el nombre de *K'inich ? Yook*, por lo que D2 y C3 deberían poseer el título de este gobernante, aunque parece que en C3 está el sufijo *-il*. En D3 se encuentra el título *bakab* que es común para gobernantes mayas. En La Corona, esto aparece en bloques de la misma escalinata donde se refiere al padre de *K'inich Yook*, llamado *Chakaw Nahb* (Baron com. pers. 2012).

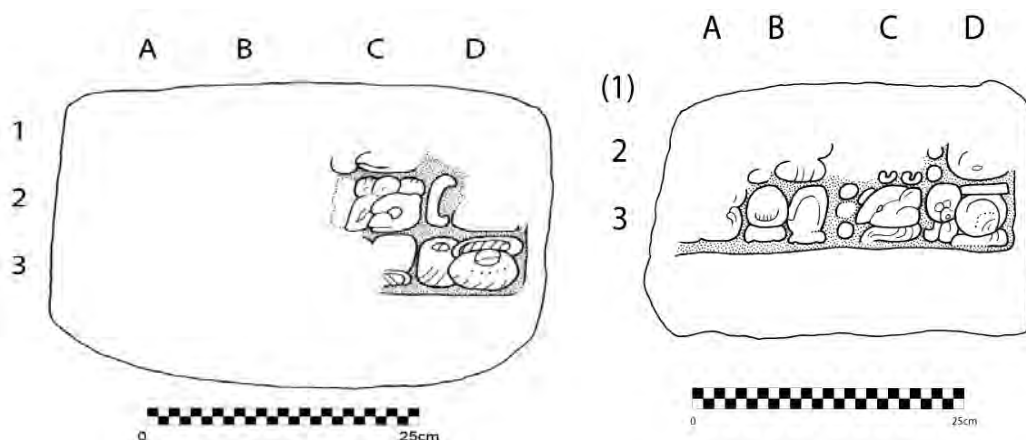


Figura 11.38 Dibujos de Bloques 9 y 10 de la Escalinata Glífica 3 (Dibujo y calco por J. Baron)

Conclusiones

Las excavaciones de la Temporada 2011 proporcionaron datos importantes de la arquitectura, etapas constructivas y función de la Estructura 13R-10. En base a los resultados de las excavaciones, se pueden proponer tres etapas constructivas distintas. La primera sería la subestructura que fue identificada pero que aún no se conoce su forma, pero debe ser investigada en mayor detalle más adelante. Esta fue seguida por la segunda etapa que constaría de una plataforma escalonada con solamente un cuarto en la parte superior (Cuarto 3), ya que la Banqueta 1 y el Muro Sur eran inexistentes en ese momento. Por lo tanto, la parte superior de la estructura, donde se encontraba el Cuarto 3, estaba abierta hacia la Plaza Sur. Durante esta etapa, habría existido un acceso hacia la Estructura 13R-9, a través del Muro Oeste del cuarto. La tercera y última etapa constaría del mismo basamento escalonado con tres cuerpos en la Fachada Sur, el cual sostuvo una superestructura con tres cuartos cerrados. Esto se logró mediante varias remodelaciones, que incluyeron el bloqueo de varios accesos y la colocación de banquetas en los cuartos, por lo que durante esta última etapa la parte interior de la estructura se volvió más privada. El análisis cerámico indica que las remodelaciones asociadas a la segunda y tercera etapa fueron durante el Clásico Tardío, mientras que la última ocupación fue a finales de este período. Es posible que a partir de la segunda etapa el techo haya sido hecho de material perecedero con paredes de bajareque. Asimismo, no se sabe si los tres cuerpos del basamento de la Fachada Sur son pertenecientes a la segunda y tercera etapa o solamente a la tercera.

La evidencia parece indicar que la Estructura 13R-10 fue construida antes de la Estructura 13R-9. Posiblemente la Estructura 13R-9 fue construida después de la primera etapa, cuando ambas compartieron un mismo basamento pero estaban separadas por un corredor de aproximadamente 2 metros de ancho. Sin duda, había una razón importante por la que estaban adosadas y es posible que las funciones de ambas hayan sido complementarias. Durante las últimas dos etapas, los escalones para acceder a la estructura estuvieron colocados a lo largo de la parte central de la Fachada Sur de la estructura. Los bloques con glifos (Escalinata Glífica 3) fueron parte de esta escalinata pero todavía no es posible saber exactamente a qué etapa pertenecieron.

La cantidad de evidencia que han arrojado las investigaciones en años anteriores en este conjunto arquitectónico indica que sin duda, esta fue un área de actividad importante de la elite de *Sak Nikte'* durante el período Clásico. El depósito de cerámica encontrado en 2006, la ofrenda encontrada en 2009 en la Estructura 13R-9 y el *chultun* encontrado en 2010 indican que era un área ritual de la elite. Además, la cantidad y diversidad de material y artefactos que fueron encontrados en las excavaciones en 2011 indica la disponibilidad de recursos para la elite por lo menos durante la última etapa. El material encontrado en la Estructura 13R-10, refleja indicios de actividades domésticas, artesanales y rituales, por lo que es posible que haya sido utilizada como un área de preparación de alimentos y otros artefactos para ser utilizados por la elite en el Patio Norte de este conjunto arquitectónico o en otras partes del sitio. Aún es difícil saber, pero probablemente esto evidencie que la elite estaba involucrada en la etapa final o retoque de la producción de bienes domésticos o de prestigio. En base al análisis de distribución de artefactos que fueron encontrados en la parte superior de la estructura, es difícil inferir acerca de la función específica de cada uno de los cuartos. Es por esto que se recomienda análisis químicos de suelos para aclarar la función de cada uno de los cuartos durante la última etapa.

Es posible que la función durante las primeras etapas haya sido distinta, posiblemente con fines rituales o más públicos debido a que era una estructura más abierta. También es probable que la estructura haya sido habitacional en algún momento. El hecho que la estructura haya tenido una escalinata jeroglífica indica que el área era de gran importancia para la elite local. La investigación de esta escalinata en las próximas temporadas proporcionará información de la relación que la elite del Grupo 13R-II tenía con la dinastía real, específicamente la historia del sitio durante el período en el que reinó *K'inich ¿?Yook* y la relación de este gobernante con este conjunto arquitectónico. Por último, se recomienda la excavación de las otras estructuras que comparten la misma plaza abierta con la Estructura 13R-10 para aclarar la función de dicha estructura y del conjunto arquitectónico en general.

Tabla 11.1 Tabla de Materiales

| No. Unidad | Nivel | Lote | Cerámica | Obsidiana | Pedernal | Hueso | Concha | Otro |
|--|-------|------|----------|-----------|----------|-------|--------|-------------------------|
| Fachada Sur | | | | | | | | |
| CR16A sup. | - | - | 3 | | | | | |
| CR16A-19 | 1 | 1 | 26 | 1 | 2 | | | |
| | 2 | 2 | 196 | 4 | 8 | 2 | | 1 frg estuco |
| | 3 | 3 | 152 | 5 | 5 | | 2 | 2 figurillas |
| | 4 | 4 | 41 | 2 | 1 | | | |
| CR16A-21 | 1 | 1 | 114 | 3 | 1 | 2 | | 1 figurilla |
| | 2 | 2 | 6 | | | | | |
| CR16A-22 | 1 | 1 | 7 | | 1 | | 1 | |
| | 2 | 2 | 54 | 1 | 2 | 1 | 1 | 1 frg piedra de moler |
| CR16A-23 | 1 | 1 | 156 | 3 | 11 | 21 | 6 | 3 frg de figurilla |
| | 2 | 2 | 42 | | | 1 | | |
| CR16A-26 | 1 | 1 | 20 | | | | | 1 frg piedra de moler |
| | 2 | 2 | 98 | | 1 | | | 1 frg piedra de moler |
| CR16A-26^a | 1 | 1 | 25 | | | | | |
| | 2 | 2 | 35 | | 1 | | | |
| CR16A-26b | 1 | 1 | | | | | | |
| | 2 | 2 | 58 | 1 | 1 | 1 | | 1 frg de piedra tallada |
| CR16A-26c | 1 | 1 | 13 | | | | | |
| | 2 | 2 | 32 | | 1 | | | |
| CR16A-15 | 1 | 1 | | | | | | |
| | 2 | 2 | 12 | | | | | |
| CR16A-17 | 1 | 1 | | | | | | |
| | 2 | 2 | 29 | | | | | |
| CR16A-18 | 1 | 1 | 8 | | | | 2 | |
| | 2 | 2 | 23 | | | | | 1 frg piedra de moler |
| CR16A-25 | 1 | 1 | | | | | | |
| | 2 | 2 | 5 | | 2 | | | |
| Parte Superior de la Estructura | | | | | | | | |
| CR16A-10 | 1 | 1 | | | | | | |
| | 2 | 2 | | | | | | |
| | 2 | 3 | 9 | | | | | |
| CR16A-11 | 1 | 1 | 1 | | | | | |
| | 2 | 2 | 58 | 1 | 2 frg | | | |
| CR16A-11a | 1 | 1 | | | | | | |
| | 2 | 2 | 156 | 2 | 2 | 2 | 1 | |
| CR16A-11b | 3 | 5 | | | | | | |
| | 4 | 6 | 1 | | | | | |
| | 5 | 7 | 7 | | | | | |
| | 6 | 8 | 2 | | | | | |
| CR16A-12 | 1 | 1 | | | | 10 | | |
| | 2 | 2 | 96 | | 4 | 2 | | 1 figurilla |
| CR16A-13 | 1 | 1 | | | | | | |
| | 2 | 2 | 97 | 2 | 8 | | | 2 frg piedra de moler |
| CR16A-14 | 1 | 1 | 5 | | | | | |
| | 2 | 2 | 210 | 1 | 1 | | 2 | 1 frg de bajareque |

| | | | | | | | | |
|---|---|---|--------------|-----------|-----------|-----------|-----------|------------------------|
| | 2 | 3 | 216 | | | | | |
| CR16A-16 | 1 | 1 | 3 | | | | | |
| | 2 | 2 | 18 | 1 | | | | 2 frg de barro |
| CR16A-20 | 1 | 1 | 13 | | | | | |
| | 2 | 2 | 77 | | | | | 1 frg de estuco |
| CR16A-24 | 1 | 1 | 5 | | | | | |
| | 2 | 2 | 100 | | | | | |
| CR16B-5 | 1 | 1 | | | | | | |
| | 2 | 2 | 5 | | | 1 | | |
| CR16C-3 | 1 | 1 | 4 | | | | | |
| | 2 | 2 | 137 | 2 | 1 punta | 1 | 1 | 1 frg de hacha de |
| CR16C-3a | 1 | 1 | 8 | | | | | |
| | 2 | 2 | 43 | | | 1 | 1 | 1 piedra tallada y |
| CR16C-3b | 2 | 4 | | | | | | 3 frg de bajareque |
| | 3 | 5 | | | | | | |
| | 4 | 6 | | | | | | |
| | 5 | 7 | | | | | | |
| | 6 | 8 | | | | | | |
| CR16C-3c | 2 | 4 | 6 | | | | | |
| | 3 | 5 | | | | | | |
| | 4 | 6 | | | | | | |
| | 5 | 7 | | | | | | |
| | 6 | 8 | | | | | | |
| CR16C-4 | 1 | 1 | 12 | 1 | | | | 1 frg de estuco |
| | 2 | 2 | 6 | 2 | 2 | 7 | | 1 frg de cuarzo |
| | 2 | 3 | 383 | | | | | 1 muestra de carbón |
| CR16C-4a | 1 | 1 | | | | | | |
| | 2 | 2 | 14 | 1 | | 6 | | |
| CR16C-6 | 1 | 1 | | | | | | |
| | 2 | 2 | 484 | 2 | 7 | 4 | | 1 frg piedra tallada |
| CR16C-7 | 1 | 1 | 6 | | 1 | | | |
| | 2 | 2 | 258 | 2 | 3 | 2 | 1 | 1 frg piedra de moler |
| CR16C-8 | 1 | 1 | 11 | | | | | |
| | 2 | 2 | 262 | | 1 punta | | | 1 frg piedra de moler, |
| CR16C-9 | 1 | 1 | 1 | | | 1 | | |
| | 2 | 2 | 9 | 1 | | | 1 | |
| Parte Posterior de la Plataforma Basal | | | | | | | | |
| CR16B-3 | 1 | 1 | 11 | | | | | |
| | 2 | 2 | 163 | | 4 | 4 | | |
| CR16B-3a | 3 | 4 | | | | | | |
| | 4 | 5 | 29 | 4 | 1 | | | |
| | 4 | 6 | 35 | | | | | |
| | 5 | 7 | 43 | | 1 | 1 | 1 | |
| | 6 | 8 | 9 | | | | | |
| CR16B-3b | 3 | 4 | | | | | | |
| | 4 | 5 | 55 | 1 | 2 | 2 | | |
| | 5 | 7 | 115 | | | | | |
| | 6 | 8 | 5 | | | | | |
| CR16B-4 | 1 | 1 | 53 | | 1 | | | |
| | 2 | 2 | 139 | 1 | 2 frg | 2 | 1 | |
| Total | | | 4,490 | 44 | 82 | 74 | 21 | 83 |

CAPÍTULO XII

OPERACIONES CR18 Y CR19: EXCAVACIONES EN EL PATIO NORTE DEL GRUPO 13R-II

Erin Patterson, Elisandro Garza y Leticia Miguel

Introducción

El Grupo 13R-II está ubicado al noroeste del Grupo Coronitas, con quienes comparte la misma plaza abierta. Este grupo de estructuras se encuentra sobre una plataforma elevada limitada al norte por la Estructura 13R-11, al oeste por la Estructura 13R-9 y abierta en los lados sur y este. La Estructura 13R-11 es una plataforma basal rectangular, alargada en su eje este-oeste, cuya fachada está orientada hacia el norte, pero comparte un patio abierto en el lado sur con las Estructuras 13R-8, 13R-9, 13R-10 y 13R-12, denominado Patio Norte. La Estructura 13R-11 posee un saqueo en el lado suroeste y una altura de aproximadamente 1.5 m desde este patio.

Las excavaciones que se han realizado en este conjunto arquitectónico en años anteriores han estado enfocadas en investigar los rasgos arquitectónicos y funciones de las Estructuras 13R-9 y 13R-10. Sin embargo, también se han realizado algunas excavaciones en el Patio Norte que han generado datos interesantes y varias interrogantes. En 2006 Mary Jane Acuña dirigió la elaboración de un pozo de sondeo ubicado entre la Estructura 13R-9 y 13R-11 como parte del programa de reconocimiento del Proyecto Arqueológico El Perú-Waka'. Este pozo dio como resultado un lote de cerámica de 651 tiestos fechados para el Clásico Tardío. Ese mismo año, el equipo de mapeo encontró 1,506 tiestos policromos en la superficie cerca de la trinchera de saqueo de la Estructura 13R-9. Algunos poseían glifos de nombres de personajes de la elite local (Acuña 2007). En 2010, como parte de las excavaciones en la parte posterior de la Estructura 13R-10, Enrique Fernández encontró un *chultun* de 2.53 m de profundidad en el Patio Norte que fue utilizado como basurero, posiblemente después de un festín ritual (Fernández 2010). Los resultados de estas investigaciones, al igual que la gran cantidad de material obtenido, indican que sin duda, este patio fue un área de actividad importante para la elite de La Corona durante el período Clásico Tardío.

Las excavaciones de la Temporada 2011 estuvieron enfocadas en dos diferentes ubicaciones, cada una con su propia operación. La Operación CR18B estuvo concentrada en la esquina sureste de la Estructura 13R-11, mientras que la Operación CR19 constó de tres pozos de sondeo ubicados entre las Estructuras 13R-11 Y 13R-12. La primera operación (CR18) dio como resultado el descubrimiento del Entierro 5 del sitio y fue excavado inicialmente por Elisandro Garza, finalizándose por Erin Patterson. La segunda operación (CR19) dio como resultado el hallazgo de una nueva estructura en el Patio Norte y fue excavado por Leticia Miguel y Elisandro Garza. La explicación de los rasgos descubiertos se ampliará en detalle más adelante.

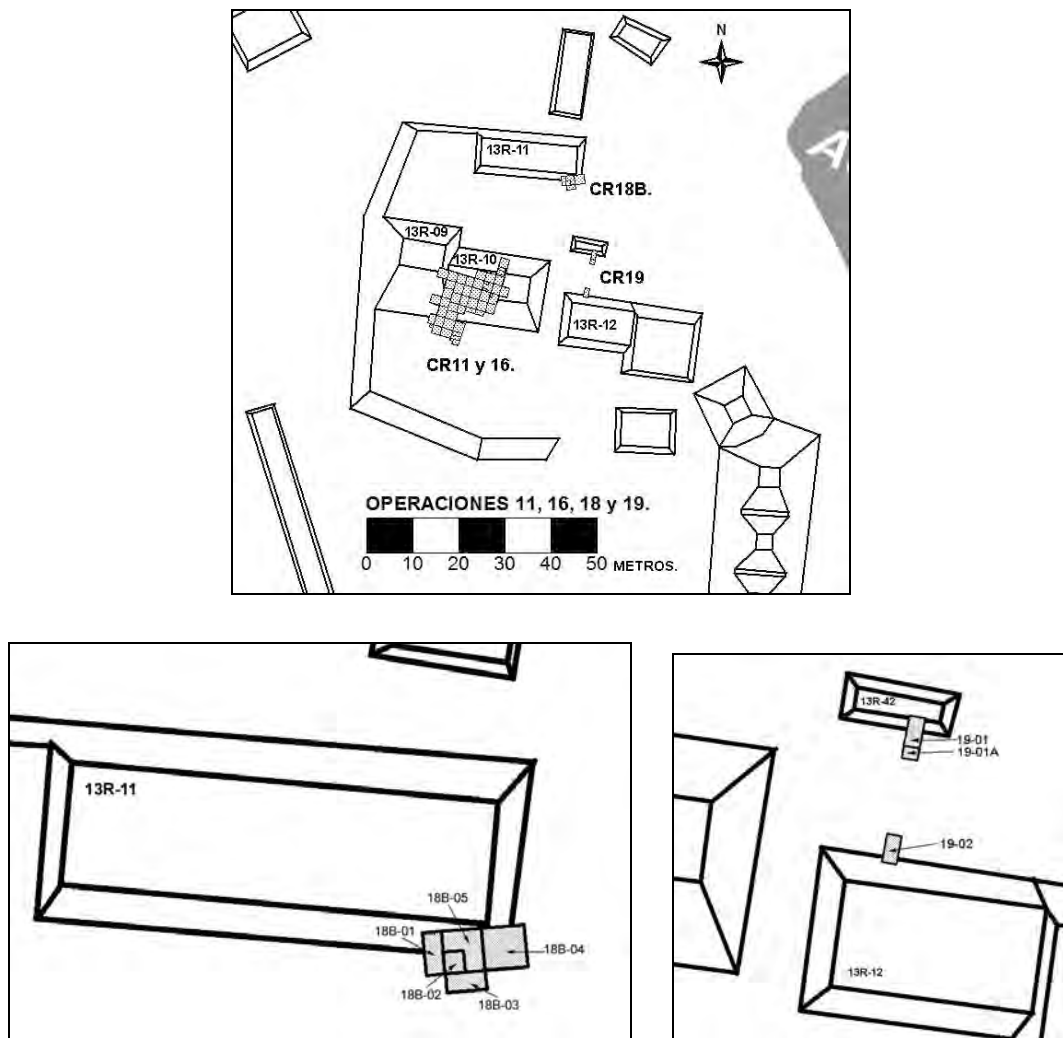


Figura 12.1 Ubicación de unidades de las Operaciones CR18 y CR19
(Mapa elaborado por Rodrigo Guzmán)

Operación CR18B: Excavaciones en la parte posterior de la Estructura 13R-11

La investigación de la Estructura 13R-11 inició con la excavación de una unidad de 2 x 1 m, denominada CR18B-1, como parte de las prácticas de campo de Elisandro Garza. El objetivo fue explorar la parte posterior de la Estructura 13R-11, para localizar el muro de la esquina sureste de la estructura y definir los diferentes niveles estratigráficos del patio para obtener información acerca de las actividades que ahí se realizaban. En este pozo se alcanzó una profundidad máxima de 1.5 m desde la superficie y se lograron identificar 8 lotes.

El primer lote constó de humus café oscuro suelto con raíces y poseía un grosor máximo de 14 cm. Conforme se excavó la capa de humus, se fue encontrando un pequeño conglomerado de piedras concentrado en el extremo norte del pozo que posiblemente eran provenientes del muro. El siguiente lote constó de tierra arenosa poco compacta, color café oscuro con un grosor máximo de 35 cm. En este lote se recuperó bastante material cerámico. El Lote 3 estuvo compuesto de un estrato arenoso color café claro de consistencia compacta y poseía un grosor máximo de 32 cm.

El cuarto lote constó de un piso de estuco amarillento sin superficie pulida, de 3 cm de grosor. El quinto lote constó del relleno debajo del piso de estuco, que era tierra arenosa café claro y poseía un grosor máximo de 33 cm. En el lado norte del pozo fue visible el muro perteneciente a la parte posterior de la Estructura 13R-11 (Figura 12.2). El Lote 6 constó de un estrato de tierra arenosa fina café claro, de consistencia compacta, localizado sobre otro posible piso de estuco ubicado a solo 20 cm de la roca madre. Este estrato poseía un grosor máximo de 18 cm y como parte de este lote se recuperaron bastantes huesos, posiblemente de animal, aunque no se descarta la posibilidad de que sean humanos. El séptimo lote constó de otro posible piso de estuco bastante deteriorado, con un grosor máximo de 2 cm. Por último, el octavo estrato constó del relleno debajo del posible segundo piso de estuco y constaba de tierra café claro con un grosor máximo de 20 cm. En este lote se encontró un cráneo humano, que se dejó *in situ* (Figura 12.3). Por último, a 1.12 m de profundidad desde la superficie, se encontró la roca madre.



Figura 12.2 Muro de la parte posterior de la Estructura 13R-11 y piso de estuco del Patio Norte. Unidad CR18B-1 (Foto por E. Garza)

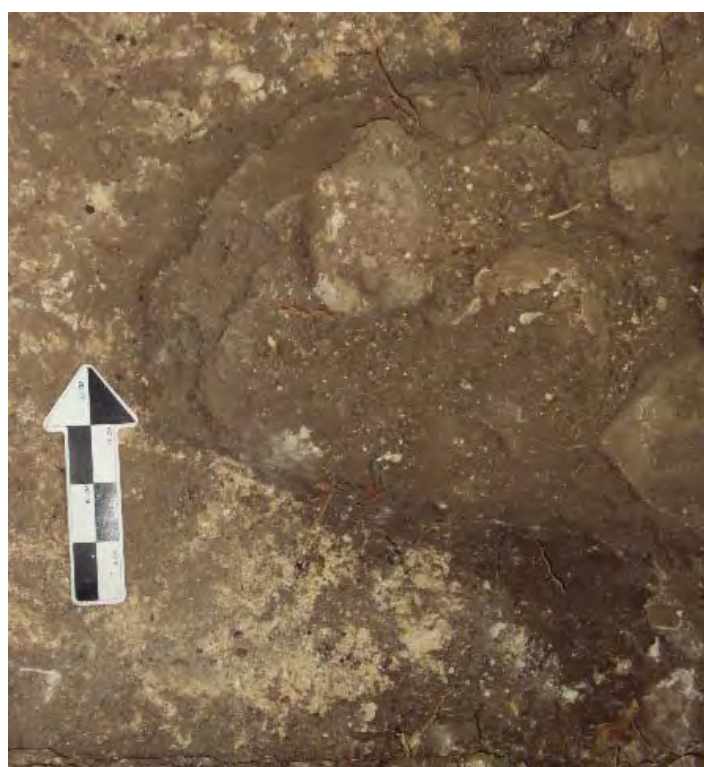


Figura 12.3 Cráneo humano localizado en la parte posterior de la Estructura 13R-11. Unidad CR18B-1 (Foto por E. Garza)

Posteriormente, Erin Patterson abrió otra unidad de 1 m x 1 m denominada CR18B-2, al este de CR18B-1, para determinar si se encontraban más huesos asociados con los que fueron encontrados en la primera unidad. Las excavaciones revelaron restos humanos articulados a los que se les denominó Entierro 5, por lo que al sur de CR18B-2, se abrió la Unidad CR18B-3 de 2 x 1 m para exponer el resto del esqueleto. Luego, al este de CR18B-2 se trazó la Unidad CR18B-4 y su extensión de 2 x 2 m con el objetivo de localizar la esquina de la Estructura 13R-11. Al no encontrarse la esquina se agregó una extensión de 1 x 2 m denominada CR18B-5, por lo que el área total de excavación fue de 3 m² y tuvo forma de “L” (Figuras 12.4 y 12.5).

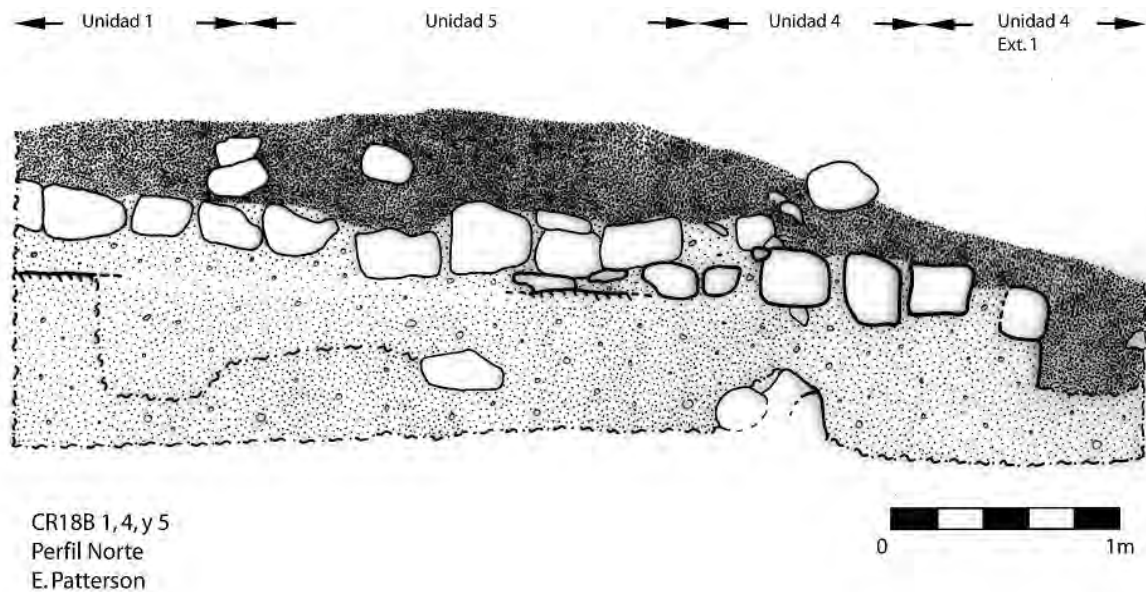


Figura 12.4 Perfil Norte de las unidades de la Operación CR18B
 (Dibujo por E. Patterson. Calco por J. Baron)

Las Unidades CR18B-2 a CR18B-5 se excavaron siguiendo la estratigrafía natural. Cada unidad contuvo tres niveles y el suelo de cada uno fue similar en todas las unidades. El nivel 1 consistió de humus café oscuro con grandes cantidades de tiestos cerámicos y llegó justamente bajo la primera hilada de piedras en el límite superior de la Estructura 13R-11. En las Unidades CR18B-1 y CR18B-5 se pudieron ver los restos de un piso en este nivel. El nivel 2 consistió de tierra café con una cantidad alta de cerámica, aunque fue más duro y contenía más piedras. El nivel 3 fue similar al previo en cuanto al color pero contuvo menos material cerámico.

Los niveles 1 y 2 parecen haber sido separados por un piso en algunas unidades, ya que algunos restos del mismo fueron visibles en la mitad oeste de la Unidad CR18B-3. Un alineamiento de piedras que se extendió desde la parte trasera de la Estructura 13R-11 en la Unidad CR18B-4 sugirió la presencia de una plataforma baja que se extendía al oeste de las piedras. La plataforma estuvo presente en todas las unidades de la operación, pero no se pudo determinar su extensión total. El Entierro 5 se encontró en el nivel 3 y la roca madre fue encontrada justamente bajo éste.

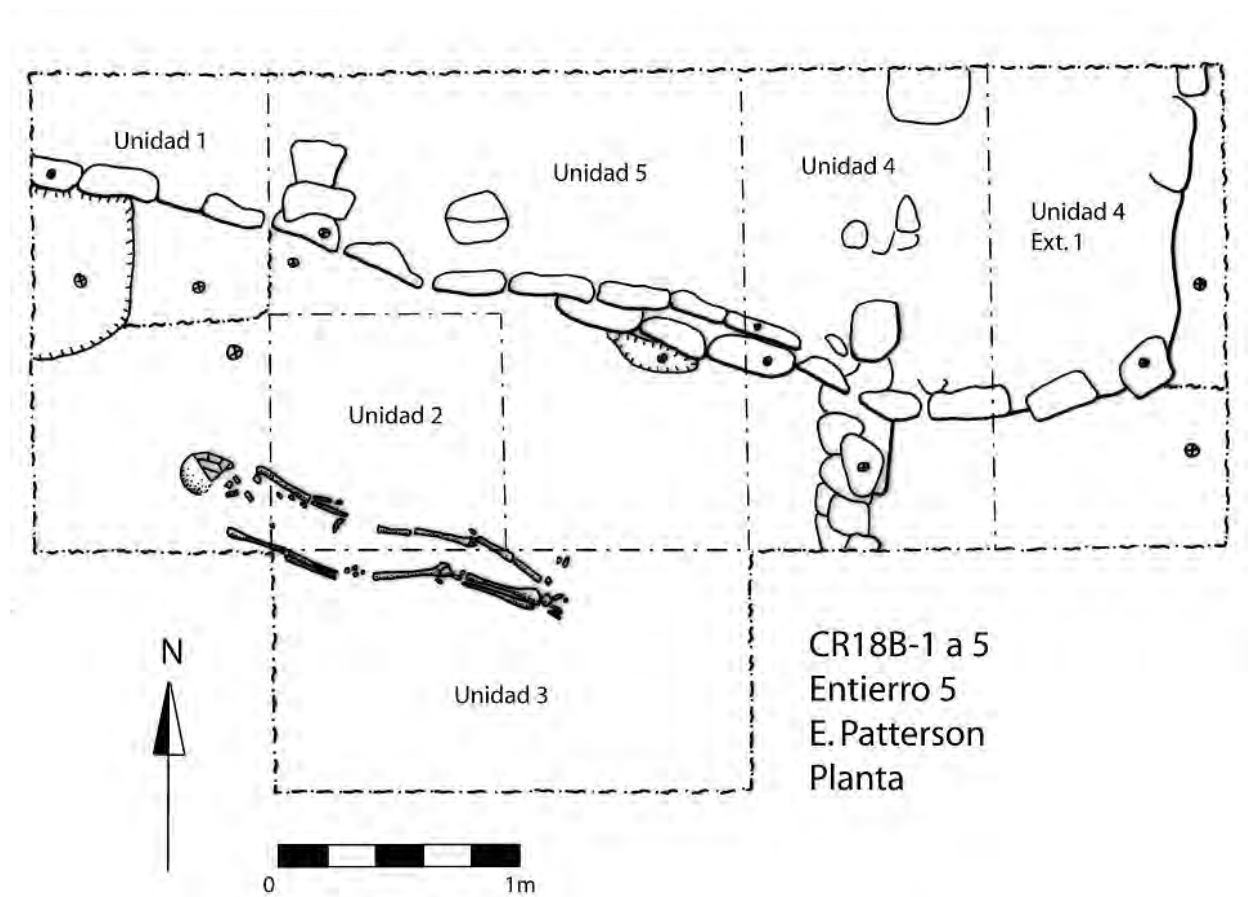


Figura 12.5 Planta de las unidades de la Operación CR18B
(Dibujo por Erin Patterson. Calco por Joanne Baron)

Rasgos Encontrados

En la parte del este de la Unidad CR18B-3, como parte del nivel 2 y a lo largo del Muro Sur, se encontraron los huesos de un animal pequeño, posiblemente un cachorro de perro. Su cráneo parecía apuntar hacia el oeste. Parece poco probable que el Entierro 5 haya estado

asociado con este rasgo, ya que el animal no se encontraba inmediatamente sobre el cuerpo o al mismo nivel. En la esquina noreste de este pozo se encontró una concentración de huesos de animal y tiestos cerámicos. De igual manera, en la esquina sureste de la Unidad CR18B-4, como parte del nivel 1, se encontró el borde de un plato acompañado por una concentración de huesos de animal. Por último, en la esquina suroeste de esta unidad, como parte del nivel 2 se encontró una mandíbula humana que no estuvo asociada al Entierro 5 (ver capítulo XVI de este informe).

Entierro 5

El individuo del Entierro 5 fue colocado en el relleno de la parte posterior de la Estructura 13R-11 y no estuvo asociado a ningún rasgo o construcción funeraria. Parece que la persona fue enterrada en el espacio poco profundo entre la plataforma baja y la roca madre. Tampoco se recuperaron ofrendas funerarias, a excepción de un posible metate de piedra que se encontró sobre el individuo (Figuras 12.6 y 12.8). El esqueleto estaba colocado de forma paralela al eje longitudinal de la estructura, aproximadamente a 1 m del muro posterior. Los pies se ubicaron 1 m al oeste del alineamiento de piedras que demarcan el límite de la plataforma, viendo hacia el este, y la cabeza estuvo orientada hacia el oeste (Figura 12.7). El esqueleto se encontró en posición extendida con los brazos a sus lados (ver capítulo 14 de este informe).



Figura 12.6 Entierro 5 antes de removerse el metate (La flecha apunta hacia el radio y cúbito del individuo) (Foto por E. Patterson)



Figura 12.7 Entierro 5 después de removerse el metate (La flecha apunta hacia el radio y cúbito del individuo) (Foto por E. Patterson)



Figura 12.8 Metate fragmentado asociado a Entierro 5 (Foto por E. Patterson)

Operación CR19: Excavaciones en el Patio Norte del Grupo 13R-II

La Operación CR19 se ubicó en el Patio Norte, entre las Estructuras 13R-11 y 13R-12. Las excavaciones fueron dirigidas por Leticia Miguel y se realizaron con el objetivo de conocer más acerca de las actividades realizadas en este sector del patio. La investigación inició con la realización de una unidad de 2 x 1 m entre ambas estructuras, denominada CR19-1. Sin embargo, al limpiar el área se notó la presencia de una estructura que aún no había sido mapeada, por lo que el objetivo fue conocer más acerca de ésta. Esta estructura consta de una plataforma baja, alargada en su eje este-oeste, de aproximadamente 8 m de largo x 2 m de ancho. Posee una altura de aproximadamente 40 cm y al igual que las Estructuras 13R-8, 13R-9, 13R-10 y 13R-12, posee una orientación de aproximadamente 10 grados al noreste. La Unidad CR19-1 se trazó en el eje central de la estructura, tratando de encontrar el Muro Sur de la misma (Figura 12.9). La Unidad CR19-1 se excavó en lotes arbitrarios de 20 cm. Se lograron identificar tres estratos y se alcanzó una profundidad máxima de 60 cm desde la superficie (Figura 12.10). El primer lote poseía un grosor de 10 cm y constó de humus suelto con raíces y partículas pequeñas de piedra caliza. El segundo lote poseía aproximadamente 30 cm de grosor y constó de un relleno de tierra con gran cantidad de piedra caliza y piedras de derrumbe pertenecientes a la estructura. El tercer estrato poseía 18 cm de grosor y constó de un relleno de tierra parecido al del Lote 2, pero con una consistencia más parecida al barro. En este pozo se encontraron pocos fragmentos de cerámica.



Figura 12.9 Piedras de derrumbe del Muro Sur encontradas en la Unidad CR19-1 (Foto por L. Miguel)

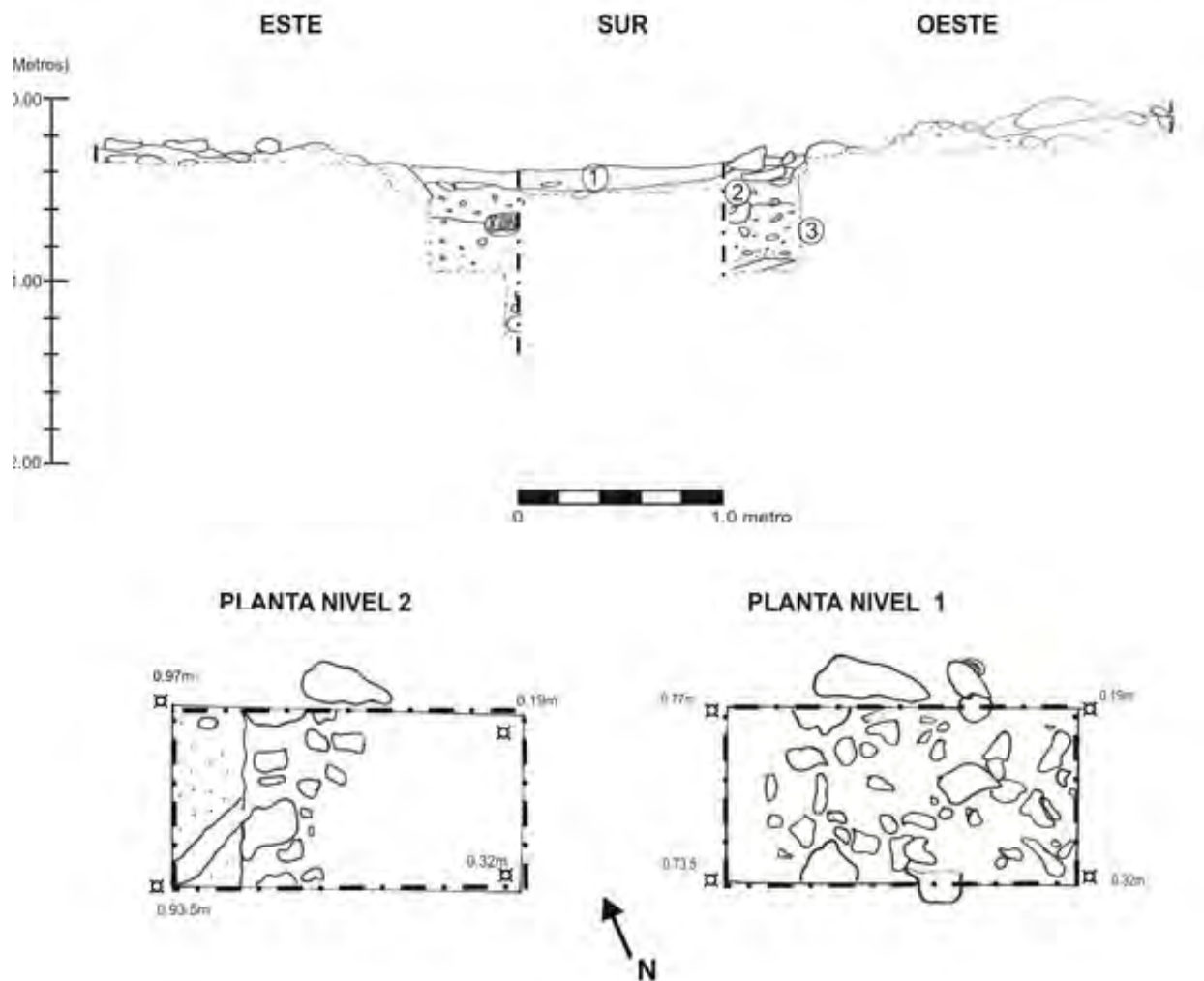


Figura 12.10 Perfiles y plantas de los niveles 1 y 2 de la Unidad CR19-1
(Dibujo y calco por L. Miguel)

No se encontró el muro, por lo que se trazó una extensión al sur de 1 x 1 m denominada CR19-1a. En este pozo se alcanzó una profundidad máxima de 1.20 m desde la superficie. El primer lote identificado constó de humus suelto con raíces con un grosor aproximado de 10 cm. El segundo lote constó de tierra con consistencia parecida al barro y poseía aproximadamente 25 cm de grosor. El tercer estrato constó de tierra más arenosa con piedras pequeñas y poseía 22 cm de grosor. Asimismo, se logró identificar un posible piso, aunque la identificación de éste no es segura debido a que estaba muy erosionado. Debajo de éste se encontró un relleno de tierra compacta mezclada con piedras pequeñas de caliza.

Luego, el Lote 4 constó de tierra grisácea y fina que también contenía restos de piedra caliza. Este lote poseía 10 cm de grosor y la cantidad de cerámica disminuyó. En el lado suroeste del pozo la roca madre se alcanzó a 1.21 m de profundidad desde la superficie, mientras que en el resto del pozo se encontró un relleno con piedras de 12 cm de grosor. Este último relleno fue utilizado para nivelar la roca madre en la plaza, ya que ésta se encontraba desnivelada. A pesar de que se encontraron piedras pertenecientes al Muro Sur, éste no se encontró bien definido, ya que se encontraba derrumbado (Figura 12.11).

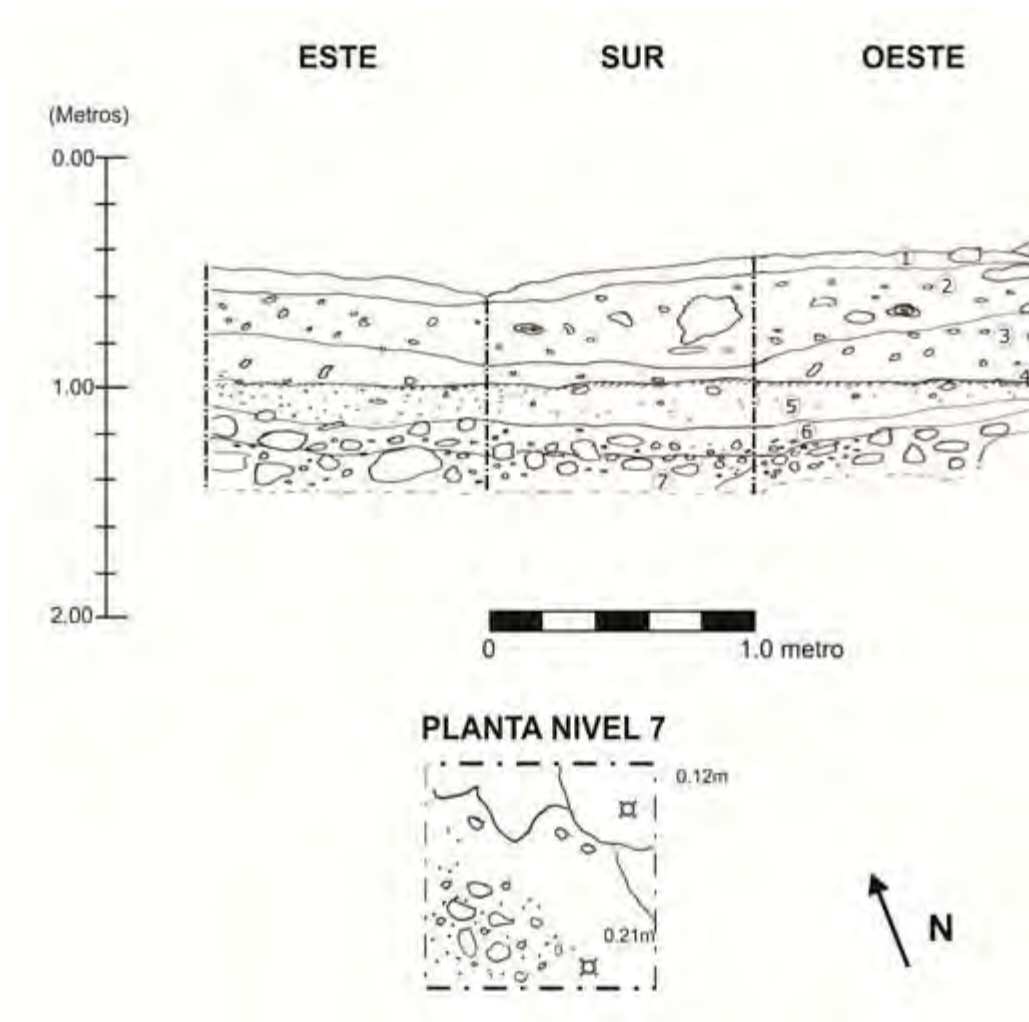


Figura 12.11 Perfiles y planta del nivel 7 de la Unidad CR19-1a (Dibujo y calco por L. Miguel)

Por último se trazó un pozo de sondeo de 2 x 1 m denominado CR19-2 en el patio entre las Estructuras 13R-11 y 13R-12. Esta unidad fue realizada por Leticia Miguel y Elisandro Garza. Se alcanzó una profundidad máxima de 80 cm desde la superficie y se lograron identificar tres estratos. El primero fue el humus que tuvo un grosor máximo de 17 cm. El segundo constó de tierra arenosa y arcillosa, bastante compacta, de color café claro y tuvo un grosor máximo de 60 cm que sirvió para nivelar la plaza. Por último, se encontró la roca madre (Figura 12.12).

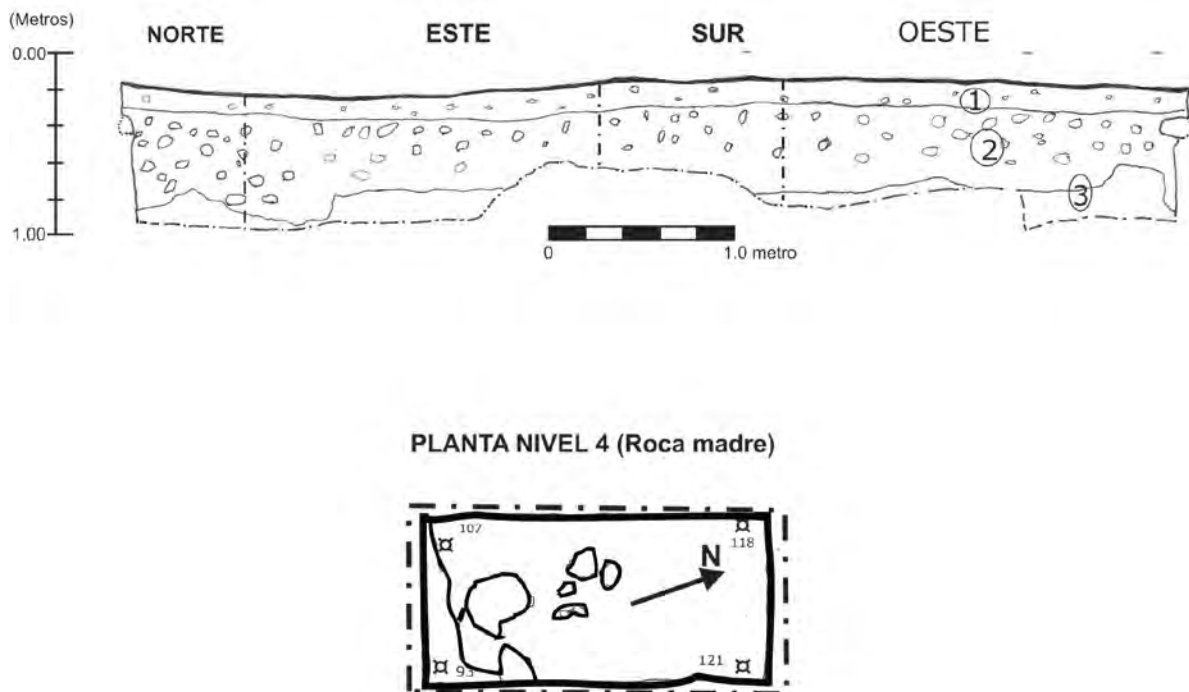


Figura 12.12 Perfiles y planta del nivel 4 de la Unidad CR19-2 (Dibujo y calco por E. Garza)

Conclusiones

A pesar que se desconoce el status del individuo encontrado en el Entierro 5 y el porqué de su ubicación al pie de la Estructura 13R-11, las excavaciones confirmaron que el Patio Norte del Grupo 13R-II fue un área importante de actividad para la élite del sitio. Las intervenciones en la Estructura 13R-11 dieron como resultado que su fachada principal estaba orientada hacia el lado norte. Sin embargo, posiblemente tuvo alguna función importante dentro del conjunto, ya que es una de las estructuras que delimita el patio para hacerlo más privado. La función de esta estructura deberá aclararse con excavaciones en temporadas posteriores.

La estructura recién descubierta pudo haber tenido alguna función importante dentro del conjunto, ya que debe existir alguna razón por la que se ubicaba directamente sobre el patio. Posiblemente lo que se descubrió fue solamente el basamento de piedra y poseía una estructura de material perecedero en la parte superior. Sin embargo, futuras investigaciones deben aclarar su arquitectura y función. Asimismo, otro descubrimiento importante de la Temporada 2011 fue el hecho que la roca madre en este conjunto arquitectónico se encuentra en desnivel, por lo que los antiguos pobladores utilizaron relleno para nivelar el terreno y construir la plataforma, lo que implica una gran inversión de fuerza laboral. Por último, se recomienda la investigación de las demás estructuras del conjunto arquitectónico, al igual que de la plataforma donde se encuentran para conocer más acerca de la función del Grupo 13R-II durante el período Clásico Tardío y su relación con el Grupo Coronitas.

Tabla 12.1 Inventario de materiales recuperados en la Operación CR18B

| Lote | Cerám. | Hueso Fauna | Hueso Human | Obs. | Lítica | Fig. | Concha | Otro | Descripción |
|-------------|--------|-------------|-------------|------|--------|------|--------|------------------|---|
| CR18B-1-1 | 256 | 1 | 0 | 0 | 0 | 0 | 1 | 0 | - |
| CR18B-1-2 | 550 | 4 | 0 | 0 | 1 | 0 | 0 | 5 | - |
| CR18B-1-3 | 155 | 0 | 0 | 0 | 0 | 0 | 0 | 1 | - |
| CR18B-1-4 | 338 | 5 | 0 | 1 | 0 | 0 | 0 | 0 | - |
| CR18B-1-5 | 172 | 32 | 0 | 0 | 0 | 0 | 0 | 0 | - |
| CR18B-1-6 | 65 | 4 | 0 | 0 | 0 | 0 | 0 | 0 | - |
| CR18B-2-1-1 | 64 | 0 | 0 | 0 | 0 | 1 | 0 | 0 | - |
| CR18B-2-2-2 | 483 | 18 | 0 | 0 | 0 | 0 | 0 | 0 | - |
| CR18B-2-3-3 | 49 | | 0 | 1 | 0 | 0 | 0 | 0 | - |
| CR18B-3-1-1 | 570 | 16 | 0 | 3 | 3 | 3 | 0 | 0 | - |
| CR18B-3-2-2 | 159 | 4 | 0 | 3 | 0 | 0 | 0 | 0 | - |
| CR18B-3-2-3 | 235 | 3 | 0 | 1 | 0 | 0 | 0 | 0 | - |
| CR18B-3-2-4 | 4 | 30 | 0 | 0 | 1 | 0 | 2 | 0 | Cerámica: Rasgo 1 |
| CR18B-3-2-4 | 3 | 1 | 0 | 0 | 0 | 0 | 0 | 0 | Cerámica: Rasgo 2; Hueso fauna Rasgo 1 |
| CR18B-3-2-4 | 0 | 14 | 0 | 0 | 0 | 0 | 0 | 0 | Hueso fauna: 1 quemado, Rasgo 2 |
| CR18B-3-2-4 | 0 | 23 | 0 | 0 | 0 | 0 | 0 | 0 | Hueso fauna: cráneo de "perrito" |
| CR18B-3-2-4 | 0 | 60 | 0 | 0 | 0 | 0 | 0 | 0 | Hueso fauna: posible "perrito" |
| CR18B-3-3-5 | 70 | | 0 | 0 | 0 | 0 | 0 | Piedra tallada 1 | - |
| CR18B-4-1-1 | 169 | 4 | 0 | 1 | 1 | 1 | 2 | 0 | - |
| CR18B-4-1-2 | 152 | 13 | 0 | 0 | 0 | 0 | 0 | 1 desconocido | - |
| CR18B-4-1-2 | 84 | 30 | 0 | 0 | 0 | 0 | 0 | 0 | Hueso fauna Rasgo 3 |
| CR18B-4-1-2 | 40 | 0 | 0 | 0 | 0 | 0 | 0 | 0 | Cerámica: Rasgo 3 |
| CR18B-4-2-3 | 102 | 6 | 10 | 1 | 3 | 1 | 0 | 0 | Hueso humano: aproximado, Rasgo 4 |
| CR18B-4-2-3 | 82 | 0 | 0 | 0 | 0 | 0 | 0 | 0 | - |
| CR18B-4-2-4 | 36 | 9 | 0 | 1 | 0 | 1 | 0 | 0 | - |
| CR18B-4-3-5 | 18 | 0 | 0 | 0 | 0 | 0 | 0 | 0 | - |
| CR18B-4-3-6 | 0 | 1 | 0 | 0 | 0 | 0 | 0 | 0 | - |
| CR18B-4-3-7 | 2 | 0 | 0 | 0 | 0 | 0 | 0 | 0 | - |
| CR18B-5 | 3 | 1 | 0 | 0 | 0 | 0 | 0 | 0 | - |
| CR18B-5-1-1 | 126 | 31 | 1 | 1 | 2 | 2 | 0 | 1 piedra tallada | Hueso fauna: 7 quemado |
| CR18B-5-1-1 | 139 | 0 | 0 | 0 | 0 | 0 | 0 | 1 desconocido | - |
| CR18B-5-2-2 | 137 | 19 | 0 | 1 | 1 | 1 | 0 | 0 | Hueso fauna: 1 quemado |
| CR18B-5-3-3 | 17 | 1 | 0 | 0 | 0 | 0 | 0 | 0 | - |

Tabla 12.2 Inventario de materiales asociados al Entierro 5

| Material | Cantidad | Descripción |
|-------------------|-----------------|--|
| Piedra tallada | 1 | Metate |
| Obsidiana | 1 | - |
| Cerámica | 29 | Bolsa 1 de 2 |
| Cerámica | 24 | Bolsa 2 de 2 |
| Cerámica | 4 | Bajo pelvis |
| Muestra de tierra | - | Cerca de hombro izquierdo, posible quemado |
| Muestra de tierra | - | Región intestinal |
| Muestra de tierra | - | Área de piernas |

Tabla 12.3 Inventario de materiales recuperados en la Operación CR19

| Lote | Cerámica | Hueso | Obsidiana | Lítica | Figurilla | Concha | Otro |
|-------------|-----------------|--------------|------------------|---------------|------------------|---------------|-------------|
| CR19-1-1 | 73 | 1 | 2 | 0 | 0 | 0 | 0 |
| CR19-1-2 | 90 | 0 | 0 | 1 | 0 | 0 | 0 |
| CR19-1-3 | 17 | 0 | 0 | 0 | 0 | 0 | 0 |
| CR19-1a-1 | 60 | 0 | 0 | 0 | 0 | 0 | 0 |
| CR19-1a-2 | 169 | 0 | 0 | 0 | 0 | 0 | 0 |
| CR19-1a-3 | 125 | 0 | 0 | 0 | 0 | 0 | 0 |
| CR19-1a-4 | 35 | 0 | 0 | 0 | 0 | 0 | 0 |
| CR19-1a-5 | 11 | 0 | 0 | 0 | 0 | 0 | 0 |
| CR19-1a-6 | 0 | 0 | 0 | 0 | 0 | 0 | 0 |
| CR19-2-1 | 222 | 0 | 2 | 0 | 1 | 0 | 0 |
| CR19-2-2 | 153 | 0 | 0 | 0 | 0 | 0 | 0 |
| CR19-2-3 | 0 | 0 | 0 | 0 | 0 | 0 | 0 |
| CR19-2-4 | 0 | 0 | 0 | 0 | 0 | 0 | 0 |

CAPÍTULO XIII

INVESTIGACIÓN DEL GRUPO 14S-I “EL CABALLITO”

Jorge A. Pontaza Soto

En este reporte se muestra cómo se desarrolló el proceso de excavación en un nuevo grupo delimitado en la Temporada 2011, llamado 14S-I, ubicado al sur este del campamento principal “El Jabirú”. Este grupo consta de 13 montículos o plataformas, formando 2 plazas: Plaza A, al este del grupo siendo la más grande con casi con 40m²; y Plaza B al oeste, más pequeña.

Antecedentes

Durante las actividades de mapeo de la Temporada 2010, el Lic. Rodrigo Guzmán halló la Estructura 1 de este grupo, aunque no fue formalmente registrada en ese momento. Por lo tanto, a inicios de la Temporada 2011 se tomó la investigación integral de este grupo como prioritario dentro del programa de mapeo. En la primera parte de la temporada se hizo la delimitación y definición de cada uno de los montículos, logrando puntualizar 13 estructuras o plataformas y dos plazas, realizando un croquis con cinta métrica y brújula (Figura 13.1). En el último plan de la temporada 2011, se realizaron las excavaciones y un mapa con estación total.

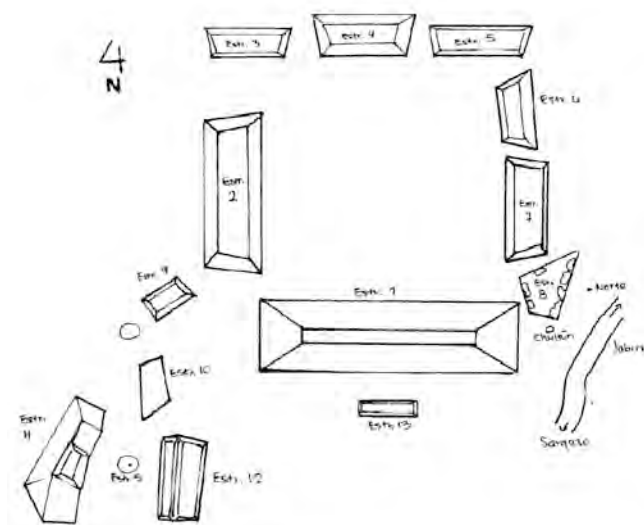


Figura 13.1 Croquis inicial del Grupo 14S-I (Plano por J. Pontaza)

Objetivos

Los objetivos generales de estas excavaciones fueron investigar el grupo de estructuras halladas durante los sondeos de mapeo en el 2010, y darles continuidad en el 2011, con el objeto de encontrar su función dentro del sitio *Sak Nikte'*. Este sería el grupo más al sureste desde el centro de la ciudad, que pareciera aún tener relación directa con la ciudadela, por su relativa cercanía.

Los objetivos específicos fueron: realizar el mapa del grupo y excavaciones en el centro de las plazas y detrás de las estructuras, para encontrar la época de habitación del mismo, por medio de un análisis estratigráfico y un posterior análisis cerámico. Se inició también con la exposición de la arquitectura y la orientación de las estructuras más grandes.

Metodología

Para realizar el croquis se utilizó un implemento láser para medir distancias y una brújula de mano. El mapa se realizó con dos estaciones totales, una marca Sokkia Modelo SET510/021866 y una marca TopCon. Se realizaron pozos de sondeo de 2 x 2 m y extensiones de 2 x 1 m, todos orientados al norte. Se excavaron niveles arbitrarios de 20 cm y se realizaron trincheras que atravesaron de norte a sur la Estructura 14S-1, y detrás al centro de la Estructura 14S- 2, de 2 x 1 m, con extensiones de 2 x 1 m.

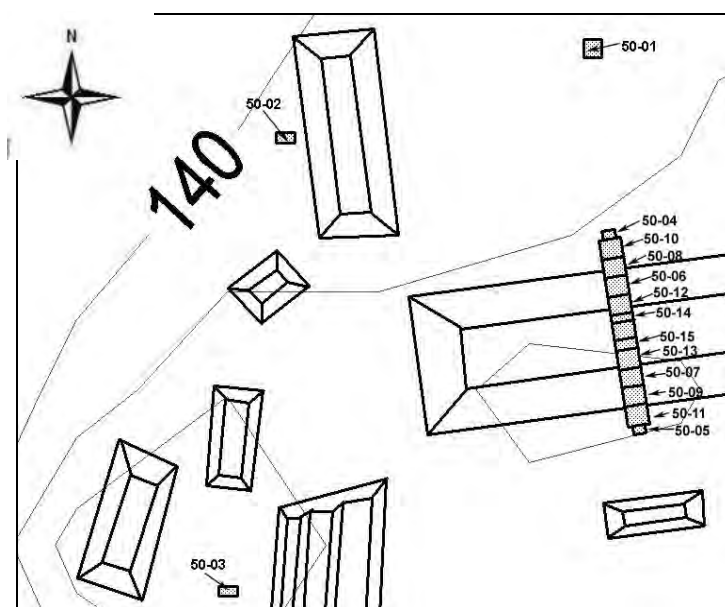


Figura 13.2 Ubicación de las excavaciones en el Grupo 14S-I (Mapa por R. Guzmán)

Descripción de excavaciones

Operación CR50: Plaza A

Unidad CR50-1

Pozo ubicado al centro de la plaza, realizado con el objetivo de conocer la estratigrafía del complejo y encontrar materiales culturales. Esta unidad de excavación estuvo formada por 3 niveles culturales. Los primeros 20cm consistieron de humus suelto y raíces, con 88 fragmentos de cerámica burda, en su mayoría. El siguiente nivel, de 20 cm estaba compuesto por tierra que pareciera ser de relleno, color café, y piedras. Se detectó un posible empedrado que delimitaría el piso o nivel de plaza, y se halló un fragmento de una posible cuenta de collar de cerámica, con acanaladuras (Figura 13.3). El último nivel, de 2 x 1 m, bajó de 40 a 130 cm de profundidad dentro de un relleno natural estéril de tierra blanquizca, tipo caliza.



Figura 13.3 Cuenta cerámica encontrada en CR50-1 (Foto por J. Pontaza)

Unidad CR50-2

Este pozo de 2 x 1 m fue ubicado en la parte trasera central de la Estructura 14S-2, con el objetivo de encontrar material cultural, y un posible basurero que ayudará a fechar el grupo; así como definir la orilla de la estructura. El primer nivel de 20 cm presentó humus suelto con raíces, con cerámica y 2 navajas de obsidiana. En el siguiente nivel, de 20 a 35 cm la tierra fue café clara con piedras, sin tiestos. Al seguir excavando se encontró una tierra café oscuro, con piedras de derrumbe de la estructura. Al quitar ese deslave de piedras, entre 40 a 80 cm de profundidad, se halló haya nuevamente la tierra café, con gran cantidad de tiestos (116) y 7 fragmentos de obsidiana. Unos tiestos presentaron acanaladuras, con diseños en negro. De 80 a 110cm, se llegó a un relleno natural estéril de tierra color grisáceo.

Unidad CR-50-3

Pozo de 1 x 1 m colocado al centro de la Plaza B que forman las Estructuras 14S-10, 14S-11 y 14S-12, al oeste del Grupo 14S-I. Su objetivo fue encontrar el nivel de piso de esta área, pues es visiblemente más elevada que la Plaza A. Se excavaron dos niveles, siendo el primero de 0 a 10 cm, con humus suelto y raíces y sólo 10 tiestos. Luego se excavó hasta los 40 cm, con gran cantidad de tiestos en un relleno de tierra café, hasta que se llegó a un relleno empedrado, por lo que no se pudo seguir descendiendo. Por lo tanto se realizó una extensión en su lado este.

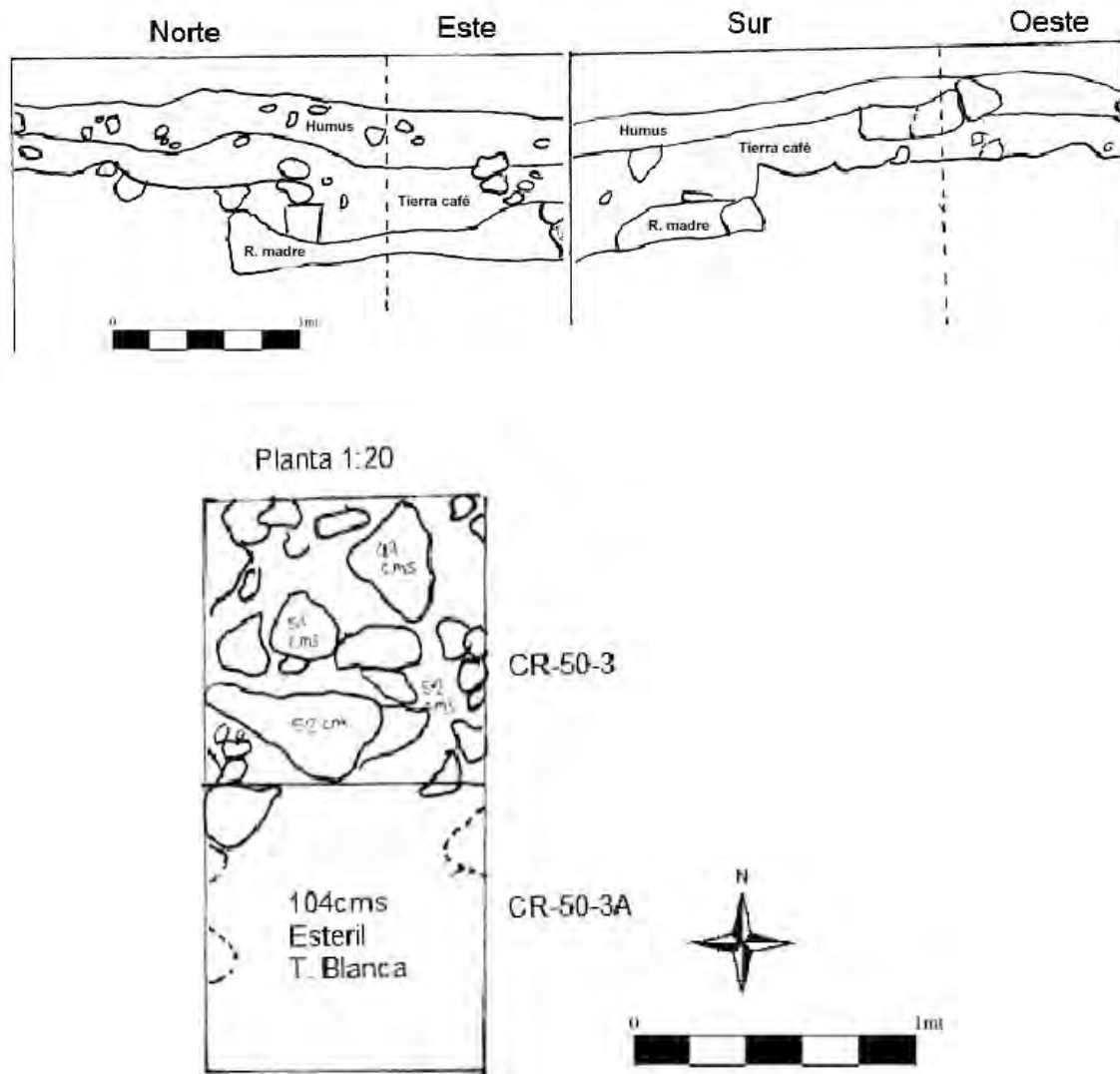


Figura 13.4 Perfiles de la Unidad CR50-3 y planta de las Unidades CR50-3 y CR50-3a
(Dibujos y calcos por J. Pontaza)

Unidad CR50-3A

Esta es la extensión de 1 x 1 m realizada al este del pozo CR50-3, con el objeto de encontrar más niveles estratigráficos y material cultural, dada la gran cantidad de tiestos hallados en el pozo anterior. El primer nivel fue de humus suelto y raíces; y el siguiente, entre 20 y 50 cm de profundidad, presentó tierra café con piedras con 423 tiestos cerámicos, 15 fragmentos de obsidiana y 6 pequeñas navajas prismáticas. De 50 cm a 1 m se halló solamente un estrato estéril de tierra con inclusiones de caliza.

Unidad CR50-4

Pozo de 1 x 1 m al norte de la Estructura 14S-1, con el objeto de encontrar el nivel de piso de la Plaza A, en la base de la estructura. De 0 a 20 cm se encontró humus suelto y raíces, con muy pocos tiestos, mientras que en el siguiente nivel (20-50 cm) la tierra fue de color café, como en los demás pozos, con pocos tiestos y una navaja prismática de obsidiana transparente, similar a las del Chayal. Se finalizó con un tercer nivel de 50 a 70 cm, constituido por la roca madre caliza.

Unidad CR-50-5

Pozo de 1 x 1 m, en la parte central de la Estructura 14S-1 y directamente al sur de la Unidad CR50-4. Su objetivo fue definir si esta es la parte trasera de la estructura y para encontrar algún tipo de basurero para determinar la fecha del grupo. El primer nivel, de 0 a 15 cm, fue de humus suelto con raíces y bastantes tiestos (62). En el siguiente nivel se encontró la tierra café con piedras, con 292 fragmentos de cerámica y 10 fragmentos de obsidiana. A los 45 cm de profundidad se encontró un posible piso, el cual se fotografió y dejó intacto (Figura 13.5). Sin embargo se continuó excavando en el área noreste del pozo, donde no había piso, hasta una profundidad de 70 cm, donde se encontró el suelo estéril.

Unidad CR-50-6

Se trazó este pozo de 2 x 2 m en el talud de la Estructura 14S-1 con el objeto de encontrar una posible escalinata. Se encontró una gran cantidad de tiestos (180) en una capa

de tierra café de deslave y un poco de humus y raíces. Por esto se consideró importante ampliar la unidad y hacer una trinchera para definir el perfil de la estructura completa.



Figura 13.5 Detalle piso de plaza, Unidad CR50-5 (Foto por J. Pontaza)

Unidad CR-50-7

Pozo de 2 x 2 m en el talud del edificio en su lado sur, con el objetivo de definir el perfil del edificio. Se llegó a una profundidad máxima de 70 cm dentro de una tierra café de relleno, encontrándose solo 87 tiestos. Al limpiar el escombros se comenzaron a diferenciar posibles gradas de una escalinata o un posible descanso de terraza (Figura 13.6).



Figura 13.6 Talud de la Estructura 14S-1 en la Unidad CR50-7 (Foto por J. Pontaza)

Unidad CR50-8

Pozo de 2 x 2 m, ubicado directamente al norte de CR50-6 y parte de la trinchera que atraviesa la Estructura 14S-1 de norte a sur. Todos los pozos de esta trinchera tuvieron solo un nivel que removió el escombros, revelando muros y otros rasgos de la silueta de la estructura. En esta unidad se llegó a una profundidad máxima de 30 cm, bajo el humus y la tierra café con escombros del edificio. Se recuperó una gran cantidad de tiestos (100).

Unidad CR50-9

Pozo de 2 x 2 m ubicado al sur de la Unidad CR50-7. Se excavó la parte superior de la estructura, para identificar gradas y el perfil del edificio. Se encontraron 39 tiestos cerámicos y un fragmento de figurilla, a una profundidad máxima de 30 cm dentro del relleno de tierra café.

Unidad CR50-10

Este pozo de 2 x 2 m se ubicó al lado sur de la Unidad CR50-4, para unir la trinchera con el nivel de piso y lograr delimitar todo el perfil de la estructura. Se dividió en 2 niveles, siendo el primero de 0 a 20 cm, de humus suelto y raíces, con 100 tiestos encontrados. El segundo nivel de 20 a 50 cm fue el de tierra café, con 160 tiestos, terminando al nivel del piso de plaza, donde se definió el fin de la etapa cultural y el inicio de lo estéril.

Unidad CR50-11

Al igual que la Unidad CR50-10, este pozo de 2 x 2 m se excavó al lado norte de la Unidad CR50-5, para completar la trinchera. El primer nivel, de 0 a 10 cm, fue de humus suelto y raíces, y se recuperaron 109 tiestos. El segundo nivel, de 10 a 65 cm, fue el de tierra café, donde se recuperó una gran cantidad de tiestos (535), dos fragmentos de obsidiana y un fragmento de pedernal.

Unidad CR50- 12

Pozo de 2 x 2 m al lado sur de la Unidad CR50-6. Se llegó hasta 20 cm después de remover el humus suelto y raíces, recuperándose una gran cantidad de tiestos (374), 2 fragmentos de obsidiana y 2 de pedernal.

Unidad CR50-13

Pozo de 2 x 2 m, ubicado al lado norte de la Unidad CR50-7. Tuvo una profundidad máxima de 30 cm, al removerse la tierra café de relleno sobre cuerpo del edificio. Se recuperaron 63 tiestos dentro de bastantes piedras de escombros en la superficie.

Unidad CR50-14

Pozo de 2 x 1 m en el lado sur de la Unidad CR50-12, terminando la trinchera del lado norte de la Estructura 14S-1. Se llegó a una profundidad máxima de 30 cm al remover la tierra café suelta sobre un empedrado que parecía nivelación. Solamente se recuperaron 11 tiestos.

Unidad CR50-15

Este pozo de 2 x 1 m ubicado al lado norte de la Unidad CR50-13, fue el último pozo excavado en la temporada. Este pozo finalizaba la trinchera del lado sur de la Estructura 14S-1, y llegó a una profundidad máxima de 30 cm, sin hallar ningún tiesto. Se expuso solamente piedras usadas para nivelar la parte superior del montículo.



Figura 13.7 Escalinata sur de la Estructura 14S-1 (Fotos por J. Pontaza)

Tabla 13.1 Listado de Materiales

| # Pozo | Nivel | Lote | Cerámica | Obsidiana | Lítica | Otro |
|----------------|-------|------|----------|-----------|--------|------|
| CR50-01 | 1 | 1 | 88 | 1 | | |
| | 2 | 2 | 219 | | | |
| CR50-02 | 1 | 1 | 74 | | | |
| | 2 | 2 | 80 | | | |
| | 3 | 3 | 116 | 7 | | |
| CR50-03 | 1 | 1 | 10 | | | |
| | 2 | 2 | 366 | | | |
| CR50-3A | 1 | 1 | 0 | | | |
| | 2 | 2 | 423 | 15 | | |
| | 3 | 3 | 55 | | | |
| CR50-4 | 1 | 1 | 2 | | | |
| | 2 | 2 | 77 | | | |
| CR50-5 | 1 | 1 | 62 | | | |

| | | | | | | |
|----------------|---|---|-----|----|---|--|
| | 2 | 2 | 292 | 10 | | |
| CR50-6 | 1 | 1 | 180 | | | |
| CR50-7 | 1 | 1 | 87 | 1 | | |
| CR50-8 | 1 | 1 | 100 | | | |
| CR50-9 | 1 | 1 | 39 | | | |
| CR50-10 | 1 | 1 | 100 | | | |
| | 2 | 2 | 160 | | | |
| CR50-11 | 1 | 1 | 109 | | 1 | |
| | 2 | 2 | | 2 | 1 | |
| CR50-12 | 1 | 1 | | 1 | 2 | |
| CR50-13 | 1 | 1 | 63 | | | |
| CR50-14 | 1 | 1 | 11 | | | |

Interpretación

Tomando en cuenta las excavaciones de los pozos de sondeo y el poco material extraído, se pueden hacer distintas interpretaciones preliminares acerca del Grupo 14S-I, en cuanto al tipo de personas que habitaban el complejo y el uso de este tipo de distribución de edificios formando dos plazas. Este complejo se encuentra ubicado a 35 m de la “cola” del sibal “Colmoyote”, uno de los principales recursos de agua de La Corona.

Puede decirse que toda el área tiene 3 niveles generales de deposición estratigráfica: El primero es el humus, seguido de tierra café de relleno, muchas veces de nivelación, y finalmente el nivel estéril con un suelo calizo de color blanco o grisáceo. Dependiendo del área, puede generalizarse que los estratos culturales llegan desde los 40 hasta los 80 cm de profundidad. Más bajo que eso, solo se encuentra tierra dura, la típica roca madre caliza de Peten. Aunque no se encontraron muchos restos de pisos de la plaza, se puede definir, luego de un ejemplo, y basándonos en estratigrafía, que el nivel se hallaría entre los 45 y 65 cm de profundidad, y lo más seguro es que fuera un apisonado de estuco con piedras pequeñas, que no se conservaron.

En cuanto a los materiales encontrados, se halló bastante cerámica, incluyendo lotes de hasta más de 400 tiestos; sin embargo, los esfuerzos por hallar un basurero fueron en vano. Incluso, esta falta de basureros tras las estructuras más grandes dio la idea de que la presencia de un *chultun* cercano fuera el basurero, pero este no fue el caso (ver Capítulo 15, en este informe). Por lo tanto es muy posible que los habitantes de este grupo tiraran sus desechos detrás de alguna estructura fuera del área central, o que se tiraran cerca de los sibales. El material cerámico puede definirse como utilitario, ya que se identificaron muy pocos ejemplos de cerámica con alguna decoración o color, incluyendo varios bordes, seguramente de vasos, cuencos y platos. Por el tamaño del Grupo 14S-I, se creía que iba a ser de élite, con muestras cerámicas policromas y decoradas, sin embargo este no fue el caso en lo absoluto. Sin embargo aún quedan estructuras por investigar, y puede que se encuentre un basurero con material de asociación elitista.

De las estructuras del Grupo 14S-I, puede decirse que aún se necesita analizar más sus formas, pues las investigaciones apenas proporcionaron datos de la Estructura 14S-1. De esta última logró determinarse que la escalinata estaba ubicada en su lado sur, y no hacia la Plaza A, que fue lo que se creyó al inicio de las excavaciones. Esto indica que el acceso a la Plaza A fue bastante restringido, cerrando por completo el espacio. Por lo tanto, teniendo la entrada en el lado sur, la Plataforma 13 pudo funcionar como antesala del grupo más grande al sureste de todo el sitio La Corona.

Estos datos indican que se pueden comenzar a desarrollarse nuevas teorías sobre la distribución general del sitio y la interacción de sus habitantes. Por ahora es muy difícil hacer una comparación con alguna otra distribución de estructuras y grupos dentro del sitio, pues esta formación de dos plazas es bastante diferente; sin embargo, con análisis cerámicos y más investigación, podrá dictaminarse claramente la función del grupo como tal, y su función en el sitio en general.

Será muy importante continuar la excavación de este grupo, pues aún quedan puntos

estratégicos que no se han analizado. Durante la próxima Temporada 2012, se excavará la Estructura 7, así como la Estructura 11. Pues por su posición, deben de contener una tumba o algún basurero.

**OPERACIÓN CR51: EXCAVACIONES EN EL GRUPO 13P-5
(POSIBLE JUEGO DE PELOTA)**

Melvin Rodrigo Guzmán Piedrasanta.

Introducción

La operación CR51 del Proyecto Arqueológico La Corona consiste en dos pozos de sondeo realizados en el Grupo 13P-5, del cual se tiene la sospecha que cumpla la función de un grupo ceremonial para un patio de Juego de Pelota. Estas excavaciones constituyen un acercamiento inicial al grupo como antecedente a una investigación más exhaustiva en futuras temporadas. Las excavaciones permitieron el descubrimiento de rasgos arqueológicos, tanto artefactos como en elementos arquitectónicos.

Antecedentes

Durante la presente temporada se realizaron mediciones en el Cuadrante 13P del sitio arqueológico La Corona, con el fin de integrarlo al mapa. Esta área aún estaba sin explorar a pesar de su cercanía a la Plaza Principal. Sin embargo el área no era completamente desconocida por las instituciones que frecuentan el sitio, pues en sus cercanías se encuentra un nido de guacamayas monitoreado constantemente por la institución WCS y posee un pequeño sendero que conduce hacia el este, en donde se pueden encontrar otros grupos residenciales del sitio.

Cerca del Grupo 13P-5 también se encuentra el Grupo 13P-4, el cual había sido avistado con anterioridad pero aún no había sido integrado al mapa. Después de realizar las mediciones respectivas en este último, se abrieron brechas de mapeo para conocer la topografía alrededor del grupo. En una de las brechas se observaron montículos largos cubiertos con una espesa maleza por lo que se procedió a limpiarlos. Hay que resaltar que a pesar que algunos monumentos del sitio hacen referencia a jugadores de pelota, todavía no se ha identificado una cancha para dicha actividad. Entonces fue de especial interés hallar en el sitio un grupo arquitectónico que tuviera rasgos que lo pudieran asociar a la función de patio de Juego de Pelota. Dadas las características del grupo hallado se procedió a realizar una investigación inicial por medio de pozos de sondeo como primer acercamiento a una investigación más exhaustiva del grupo.

Metodología de excavación.

Se realizaron unidades de excavación de 1 x 2 m con el objetivo de exponer rasgos arquitectónicos y culturales presentes en el área. Se escogió el extremo sur de la plaza que se forma entre las dos estructuras alargadas. El primer pozo se trazó en un eje norte sur y el segundo en un eje perpendicular a éste. Las excavaciones en la Unidad CR51-1 se hicieron antes que la Unidad CR51-2, de manera que la primera sirviera como muestra para los niveles que podrían aparecer en la siguiente unidad y de esta manera lograr lotes más puros. La excavación se planificó para obtener niveles arbitrarios de 0.20 m a manera que el personal de excavación tuviera una referencia de profundidad a excavar. Sin embargo, predominó la búsqueda del nivel estratigráfico en caso de que apareciera antes de llegar al límite establecido arbitrariamente. La búsqueda de los niveles estratigráficos permitió conocer las características de los materiales culturales y naturales depositados en el área explorada.

Operación CR51

Se ubicó en el extremo sur del patio del Grupo 13P-5, recientemente descubierto durante esta temporada. Consiste en dos pozos de sondeo de 1 x 2 m, los cuales se ubicaron intencionalmente en esta posición para descubrir rasgos arquitectónicos y culturales del grupo e intentar determinar si constituía un patio de Juego de Pelota.



Figura 14.1 Planta del Grupo 13P-5 y ubicación de las unidades de excavación (Plano por R. Guzmán).

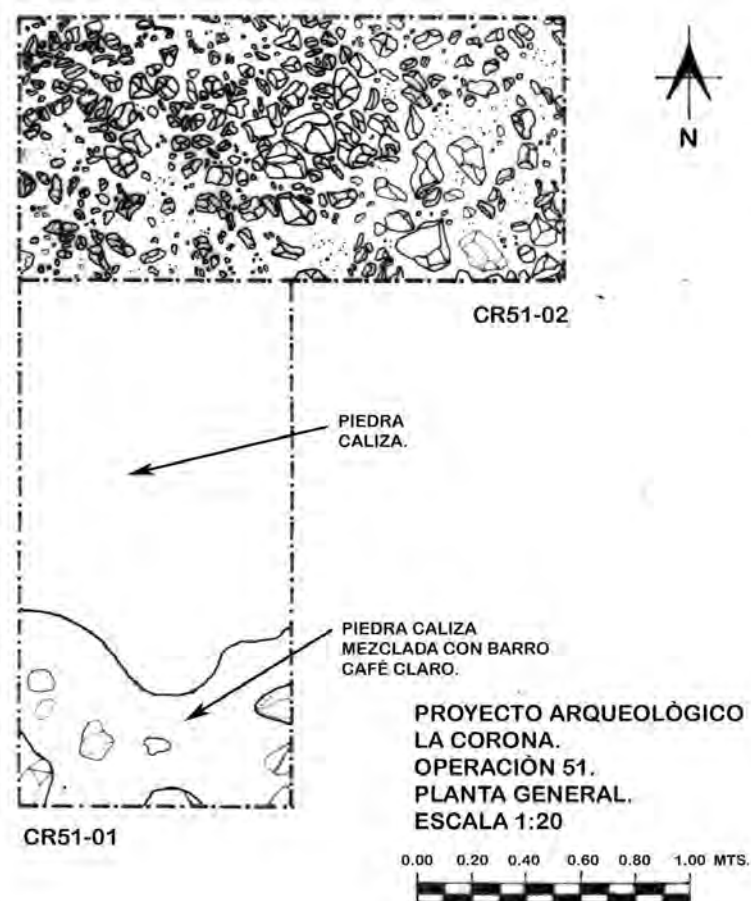


Figura 14.2 Planta general de las unidades de excavación (Dibujo y calco por R. Guzmán).

Unidad CR51-1

Consiste en un pozo de sondeo de forma rectangular con su eje orientado de sur a norte y cuyas dimensiones son 1 x 2 m. Se ubicó en el extremo sur de una pequeña plaza formada por dos montículos alargados alineados en la misma manera. Su objetivo fue conocer la característica constructiva del extremo de la plaza y servir de referencia estratigráfica para unidades posteriores.

El primer lote se excavó seguidamente de descartar una capa de 0.05 m de humus en la superficie, el cual no contuvo material arqueológico. Más abajo, el suelo estaba conformado por una capa de tierra arenosa de color café oscuro y de consistencia suave, que poseía material cerámico y muchas piedras de tamaño pequeño. Se observó que este lote formaba parte de la sedimentación natural sobre el terreno, en el cuál se encontraron 39 fragmentos de cerámica, un fragmento de navaja prismática de obsidiana y un fragmento de pedernal.

El siguiente lote, CR51-1-2 consistió en una capa de relleno natural. Al principio de la excavación la consistencia era más pastosa que el nivel anterior, sin embargo al continuar excavando la consistencia continuó teniendo la apariencia arenosa pero con piedras de menor tamaño a las del nivel anterior. Este nivel proporcionó una abundante cantidad de material cerámico, entre los cuales se encuentra una figurilla de barro. La figurilla consiste en un rostro antropomorfo con un tocado zoomorfo que probablemente se trate de un venado o tapir. Al observar la iconografía de algunos jugadores de pelota en el arte pictográfico y escultórico, se puede notar que en varios casos el jugador utilizaba tocados de cabeza de animal, por lo que es sugerente pensar en que esta figurilla se trataba efectivamente de un jugador. Es posible que el personaje corresponda a una deidad debido a la presencia de los dientes incisivos prominentes en forma de “T”, tal y como aparecen en las representaciones iconográficas y epigráficas de las deidades, como por ejemplo en la Triada de Palenque. El nivel se concluyó cuando se encontró un cambio en el suelo en donde la tierra presentó una consistencia más seca y más arenosa que el nivel anterior. Comenzaron a aparecer piedras de mayores dimensiones y se observaron superficies de color blanco en el extremo norte de la excavación.

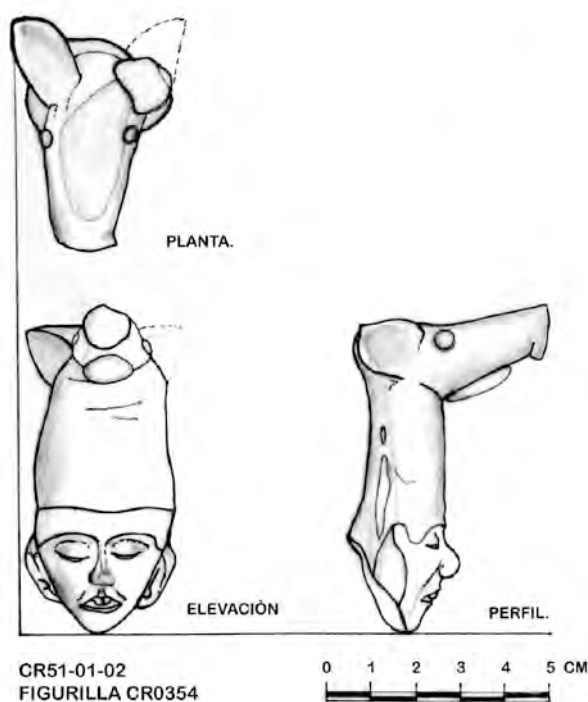


Figura 14.3 Figurilla de una posible deidad con rostro antropomorfo y tocado zoomorfo (venado), hallada en el Lote CR51-1-2 (Dibujo y calco por R. Guzmán).

El Lote CR51-1-3 consistió en un relleno de material sólido de color café oscuro y mezclado con piedras de tamaño mediano. El material cerámico fue disminuyendo conforme se descendió en la excavación y fue apareciendo piedra caliza, lo cual comenzó a darle un tono grisáceo al material extraído. El nivel de excavación se finalizó al encontrar una capa de piedra caliza y un grupo de piedras alineadas que probablemente fueron parte de la arquitectura de la plaza.

El siguiente lote, CR51-1-4, no presentó ningún tipo de material cultural. Consiste en la excavación de material con abundante caliza y una acumulación de piedras al sur del pozo. El material calizo es de consistencia suave, por lo que se continuó excavando para confirmar si se trataba de suelo estéril o material artificial. La excavación se hizo mediante dos niveles arbitrarios de 0.10 m en los cuales se encontró abundante cantidad de piedra caliza, de consistencia suave, mezcladas con barro de color café oscuro. Debido a la falta de tiempo se concluyó la búsqueda de la roca madre, pero se consideró que en otras excavaciones realizadas en el sitio se ha encontrado este tipo de material antes de hallarla.

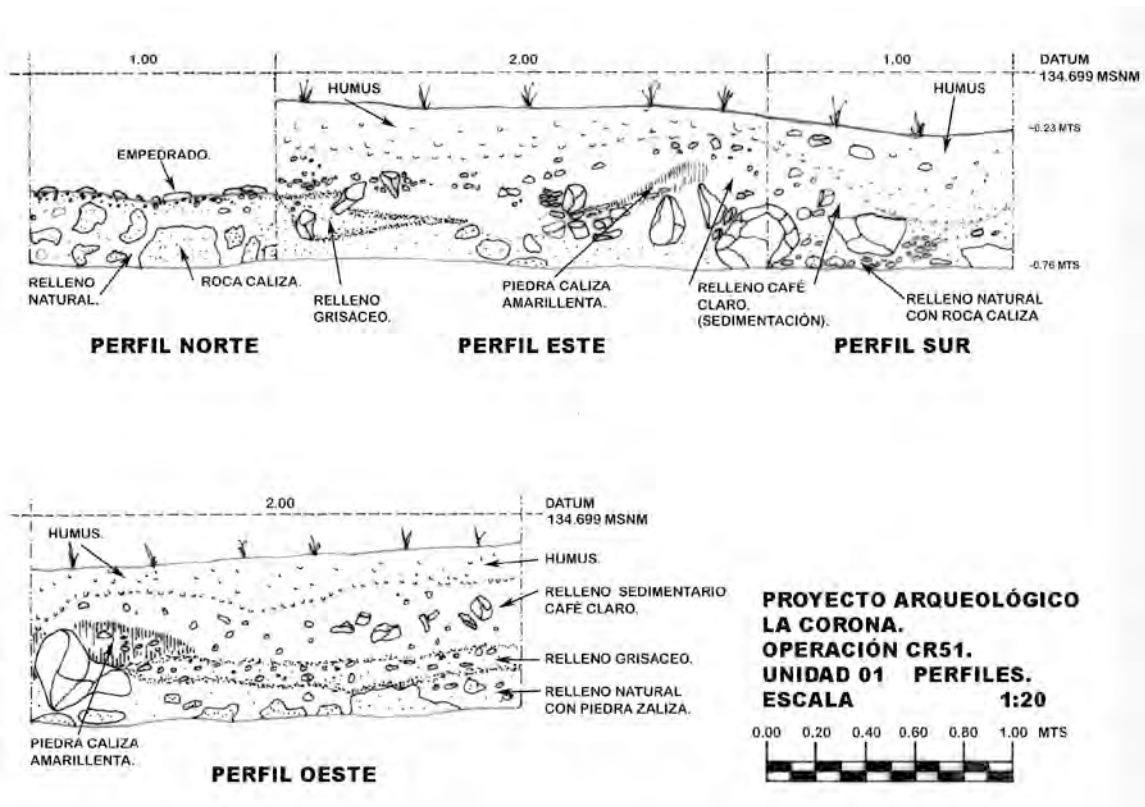


Figura 14.4 Perfiles de la Unidad CR51-1 (Dibujo y calco por R. Guzmán).



Figura 14.5 Pozo CR51-1 en donde se evidencia la aparición de suelo estéril (Foto por R. Guzmán).

| INVENTARIO DE MATERIALES. | | | | | | | | | | | | | |
|----------------------------------|----|--------|------|-------|----------|-----------|--------|-----------|----------|--------|--------|-------|-------|
| SITIO | OP | UNIDAD | LOTE | NIVEL | CERÁMICA | OBSIDIANA | LÍTICA | FIGURILLA | PEDERNAL | CONCHA | CUARZO | HUESO | OTROS |
| CR. | 51 | 01 | 01 | 1 | 39 | 1 | 1 | 0 | 0 | 0 | 0 | 0 | 0 |
| CR. | 51 | 01 | 02 | 2 | 250 | 3 | 3 | 0 | 0 | 0 | 0 | 0 | 0 |
| CR. | 51 | 01 | 3 | 3 | 30 | 0 | 0 | 0 | 1 | 0 | 0 | 0 | 0 |

Tabla 14.1 Inventario de materiales de la Unidad CR51-1

Interpretación de la unidad.

Esta unidad se encuentra ubicada en lo que probablemente consistió el extremo de una plaza elaborada entre las estructuras alargadas. A pesar de que al extremo sur del Grupo 13P-4 se encuentra un montículo de baja altura, los materiales encontrados son diversos y están muy mezclados. Esta mezcla de materiales pudo deberse a la erosión por el paso del tiempo y el crecimiento de raíces de árboles durante los siglos que el sitio estuvo abandonado. Es curioso ver en los perfiles segmentos de material arenoso calizo de color blanco o amarillento, los cuales pueden ser el resultado de la descomposición de pisos que originalmente recubrían la plaza del grupo. Al observar los rellenos anteriores en los perfiles se observó que estos pudieron haber sido el resultado de la erosión de la plaza del Grupo 13P-4 y la deposición de artefactos por los pobladores originales, debido a la abundante cantidad de material cerámico.

Unidad CR51-2

Consiste en un pozo de sondeo de forma rectangular con su eje orientado de este a oeste y cuyas dimensiones fueron de 1 x 2 m. Se ubicó inmediatamente al norte de la Unidad CR51-1, encajando la primera mitad con el extremo norte de la unidad anterior y extendiendo la segunda mitad hacia el este. El objetivo de esta unidad fue conocer los rasgos constructivos y ocupacionales propios de la plaza entre las estructuras alargadas.

El primer lote se excavó seguidamente de descartar una capa de 0.05 m de humus en la superficie, el cual no contenía material arqueológico. Siguió una capa superficial del relleno natural sobre el patio del Grupo 13P-4, conformado por barro café arenoso de consistencia suave. Apareció material cerámico y piedras de tamaño mediano, similares a las de la Unidad CR51-1. El extremo este posee barro más pastoso y compacto. Se hallaron 39 fragmentos de material cerámico.

El Lote CR51-2-2 consistió en una capa de relleno natural de barro pastoso y más compacto que el anterior, con una concentración de piedras en el extremo suroeste. Durante la excavación se observó que el suelo estaba mezclado con piedras, similares a las que aparecieron en la Unidad CR51-1. El material cerámico hallado fue abundante y aumentaba conforme se descendía en la excavación. Dentro del material se encontró una figurilla antropomorfa, cuyas características corresponden a las de un instrumento sonoro o “pito”. También se encontraron materiales como concha, pedernal, hueso y una pequeña esfera de barro. Este nivel se excavó en dos etapas con un día de diferencia entre una y otra, proporcionando dos grupos de materiales pertenecientes al mismo lote pero a diferente nivel. Al final de la excavación se encontraron piedras de mayor tamaño, como se había observado en la Unidad CR51-1.

En el Lote CR51-2-3 se descubrió un empedrado, el cual se procedió a limpiar. Se trata de una superficie de piedras de tamaño mediano, aglomeradas con tierra sólida de color café, más oscuro que el nivel anterior. En la limpieza de las piedras se encontraron 24 fragmentos de cerámica.

Interpretación de la unidad

Esta unidad presenta en su último nivel excavado una superficie sólida de piedra y barro en el estilo comúnmente llamado “embono”, con material arqueológico en la superficie. Es posible que se trate del piso en sí o de la base para un piso de plaza. En caso de que fuera únicamente la base, el piso se ha descompuesto debido a la precipitación pluvial, erosión y crecimiento de raíces en su superficie.

Los fragmentos de material color blanco encontrados tanto en esta unidad como en la otra podrían tratarse de los restos físicos del piso. Si el empedrado fue en si la superficie del patio, es probable que las piedras hayan servido para consolidar el nivel del piso pero al final hayan estado recubiertas por una capa de barro para garantizar una superficie plana.

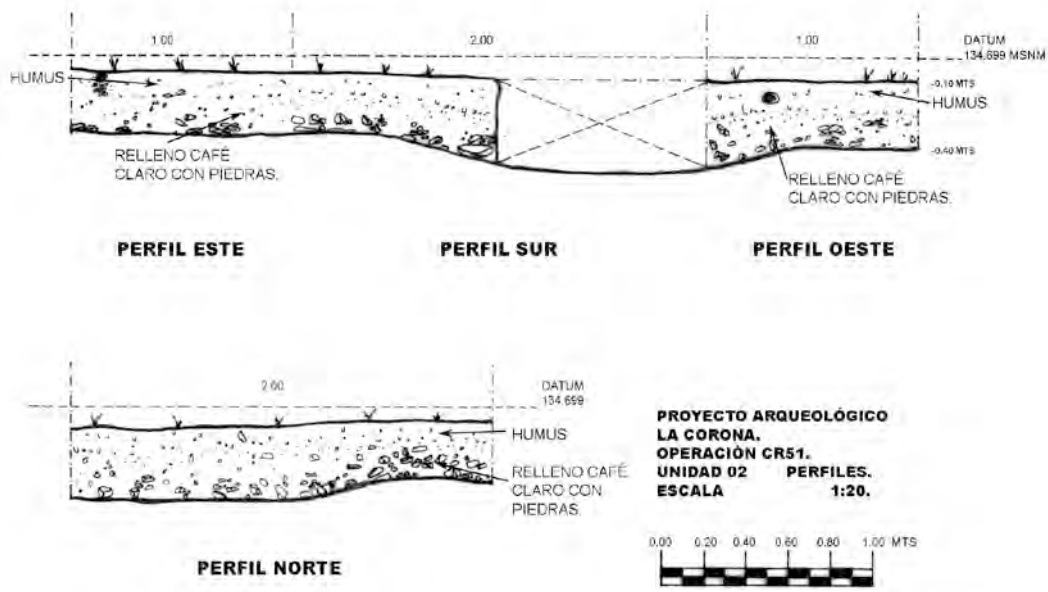


Figura 14.6 Perfiles de la Unidad CR51-2 (Dibujo y calco por R. Guzmán).



Figura 14.7. Pozo CR51-2 en donde se evidencia la aparición de un empedrado mezclado con barro compacto. (Foto por Rodrigo Guzman).

| INVENTARIO DE MATERIALES. | | | | | | | | | | | | | |
|----------------------------------|-----|---------|------|--------|-----------|-----------|---------|------------|-----------|--------|--------|-------|--------|
| SITIO. | OP. | UNIDAD. | LOTE | NIVEL. | CERÁMICA. | OBSDIANA. | LÍTICA. | FIGURILLA. | PEDERNAL. | CONCHA | CUARZO | HUESO | OTROS. |
| CR. | 51 | 02 | 01 | 1 | 37 | 0 | 0 | 0 | 0 | 0 | 0 | 0 | 0 |
| CR. | 51 | 02 | 02 | 2 | 413 | 2 | 2 | 1 | 5 | 1 | 0 | 0 | 1 |
| CR. | 51 | 02 | 02 | 3 | 205 | 0 | 5 | 0 | 0 | 2 | 1 | 1 | 0 |
| CR. | 51 | 02 | 03 | 4 | 24 | 0 | 0 | 0 | 0 | 0 | 0 | 0 | 0 |
| | | | | | | | | | | | | | |

Tabla 14.2 Inventario de materiales de la Unidad CR51-2.

Interpretación de la Operación

La operación cumplió con el objetivo básico de mostrar rasgos arquitectónicos presentes en el grupo. La superficie empedrada encontrada en la Unidad CR51-2 evidencia la existencia de un acondicionamiento artificial del terreno para la nivelación de la plaza entre las estructuras. También se encontró una cantidad considerable de material arqueológico, lo cual evidencia un considerable uso y ocupación del área. Debido al tipo de figurillas encontradas, se puede deducir algún tipo de actividad ritual en el área. Es aún prematuro concluir la función del Grupo 13P-5, por lo que la existencia de un patio de Juego de Pelota aún continúa siendo una posibilidad que será esclarecida con más investigación arqueológica en el área.

OPERACIÓN CR48: INVESTIGACIÓN DE *CHULTUNES* EN LA CORONA

Clarissa Cagnato

Introducción

Los análisis paleobotánicos realizados a las muestras de suelo recolectadas en La Corona en 2010 indican que los restos de plantas pueden ser preservados a través del tiempo, especialmente en ciertos contextos (Cagnato 2010). Se descubrió que algunos de los restos de plantas mejor preservados provenían de un contexto específico: el primer *chultun* identificado en el sitio, localizado en la parte trasera de la Estructura 13R-10 ubicada en el Grupo 13R-II (Fernández 2010). El objetivo de esta investigación es reconstruir la dieta de los antiguos mayas de esta área de Petén a través del estudio de restos de plantas. Ésta está enfocada en áreas de deposición de alimentos debido a que pueden proveer información acerca de las plantas que utilizaban. Las áreas de deposición como basureros y *chultunes* son algunos de los mejores contextos para este tipo de investigación. El objetivo principal de esta Temporada 2011 fue localizar y excavar *chultunes*, al igual que recolectar muestras de suelo para análisis de flotación para encontrar evidencia de restos antiguos de plantas.

La identificación de un *chultun* no es directa, ya que por lo general no son visibles en la superficie y no poseen un patrón específico en diferentes sitios. Los *chultunes* generalmente están asociados a áreas residenciales (Cheetham 2010) y aunque se ha propuesto una serie de funciones para los mismos, no se conoce su función exacta (Dahlin y Litzinger 1986). Debido al descubrimiento del *chultun* en 2010, se sabe que éstos fueron utilizados por los antiguos pobladores de La Corona. Sin embargo, antes de esto no se había confirmado la existencia de *chultunes* en el sitio. El mapeador del sitio, Melvin Rodrigo Guzmán Piedrasanta, informó de cuatro depresiones circulares asociadas con el Grupo 12R-3, localizado al noreste del Grupo Principal del sitio (Figura 15.1). Este grupo solamente había sido mapeado y no había sido excavado.



Figura 15.1. Localización de los Grupos 12R-3 y 14S-1 de La Corona (Plano por R. Guzmán)

Las depresiones, visibles en el suelo, parecían estar alineadas en un eje N-S en el borde de la Estructura 1 (Figura 15.2). Es por esto que se decidió comenzar las excavaciones en esta ubicación con la esperanza que fueran *chultunes* o posibles áreas de deposición de alimentos, ya que se encuentran localizadas detrás de la estructura. Sin embargo, como se ampliará en detalle más adelante, no resultaron ser *chultunes*. Afortunadamente, durante la última parte de la temporada de campo se descubrió un *chultun* asociado al Grupo 14S-1, localizado al suroeste del Grupo Principal. Este rasgo se excavó en su totalidad y se recolectaron muestras de suelo de cada nivel como se ampliará más adelante.

Metodología

Las excavaciones de la Operación CR48 se realizaron utilizando métodos estándares de excavación con la ayuda de dos excavadores y dos ayudantes. Se excavaron unidades en cuatro diferentes ubicaciones, cada una con su propia suboperación. Las suboperaciones 48A, 48B y 48C estaban localizadas detrás de la estructura más grande del Grupo 12R-3 (Figura 15.2) y en los bordes de los sibales Jabirú y Laguna Curvada. Las excavaciones de la Suboperación 48D se realizaron en el *chultun* asociado al Grupo 14S-1, localizado entre las Estructuras 1 y 8 de dicho grupo (Figura 15.1).

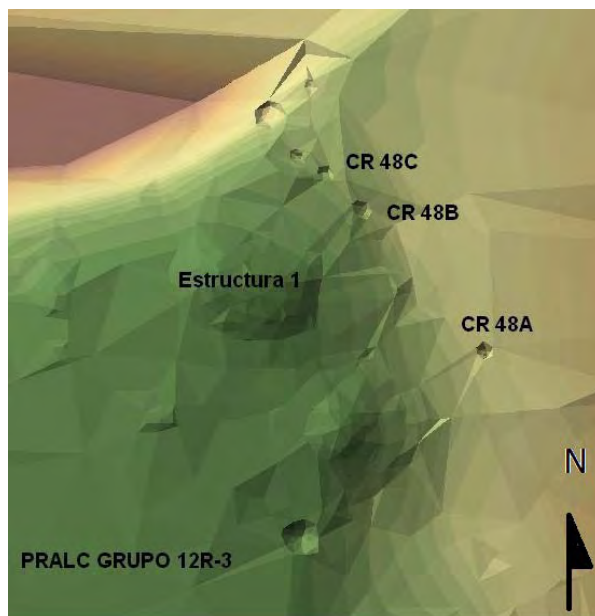


Figura 15.2. Depresiones excavadas al noroeste de la Estructura 1 del Grupo 12R-3
(Imagen elaborada por R. Guzmán y modificada por C. Cagnato)

Como ya se mencionó anteriormente, el objetivo de estas investigaciones fue tratar de identificar *chultunes* o áreas de deposición para recolectar muestras para análisis de flotación. Es por esto que una parte importante de la investigación fue la recolección de muestras de suelo. Éstas fueron recolectadas de áreas consideradas de interés y consistieron de muestras compuestas, donde cantidades pequeñas de suelo son tomadas de todo el contexto y combinadas en una sola bolsa (Pearsall 2000). Aunque hubiese sido ideal tomar muestras de todos los lotes excavados, esto no fue posible debido a restricciones de tiempo. La mayor parte de la flotación fue realizada en el sitio utilizando cubetas, mientras que el resto fue realizado en la Ciudad de Guatemala con la máquina de flotación (ver Cagnato 2010 para métodos).

Se obtuvieron y flotaron un total de 140 litros (L) de tierra de las excavaciones de la Operación CR48, con casi la mitad de estas muestras siendo provenientes del *chultun*. El volumen estandarizado para recolección de tierra fueron 10L por muestra. Se utilizaron bolsas de basura para la recolección de la tierra, las cuales fueron colocadas en cubetas de un volumen determinado y llenadas de tierra utilizando cucharas de excavación. Para prevenir que se rompieran las bolsas con las muestras adentro, se utilizaron dos bolsas por cada muestra. Posteriormente se etiquetaron ambas bolsas y posteriormente fueron llevadas al laboratorio. Todos los artefactos encontrados durante la excavación fueron documentados y lavados. Sin embargo, ninguno ha sido analizado formalmente. La cerámica, que es útil para fechar contextos excavados, no ha sido analizada todavía, por lo que no se conocen las fechas de ocupación y la función de los rasgos investigados.

Descripción de las Excavaciones

Suboperación CR48A

Unidad CR48A-1

Esta unidad es la que se encontraba ubicada a mayor distancia de la Estructura 1. La depresión visible en la superficie medía 2.23 m x 2.20 m y se encontraba colapsada 80 cm bajo la superficie. Se realizó una unidad de 2 x 2 m, denominada CR48A-1, para obtener la mayor cantidad de información posible acerca de este rasgo en particular. Se excavó en lotes arbitrarios de 10 cm cada uno.

El primer lote que se excavó constó de la nivelación de la unidad entera, por lo que se niveló todo a 80 cm de profundidad desde la superficie. La tierra de este lote consistió principalmente de humus y raíces y se recuperaron un total de 11 fragmentos de cerámica. Al alcanzar los 80 cm de profundidad, los Perfiles Norte y Este de la unidad se encontraban más expuestos y se alcanzaban a ver piedras. El segundo lote se excavó hasta llegar a los 90 cm de profundidad. En el Perfil Sur de la unidad era más evidente la roca madre, mientras que el relleno del resto del pozo consistía de tierra café claro. En este lote se recuperaron un total de 8 fragmentos de cerámica. En el tercer lote se excavó hasta llegar a 100 cm de profundidad desde la superficie y se recuperaron un total de 11 fragmentos de cerámica. El cuarto y último lote se excavó hasta llegar a 120 cm de profundidad desde la superficie. Se recuperaron un total de 25

fragmentos de cerámica, pero la mayoría de éstos se recuperaron a una profundidad de aproximadamente 100 cm. A 105 cm de profundidad la tierra cambió de ser café claro a ser de color grisáceo con piedrín. No se encontraron artefactos y al alcanzar la roca madre se finalizó la excavación de esta unidad (Figura 15.3).

No hubo evidencia clara para sugerir la presencia de un *chultun* ni un basurero. Sin embargo, la forma del rasgo es interesante. Aún no está claro si éste fue hecho deliberadamente y es posible que haya sido una cantera. Sin embargo, hay poca evidencia para sugerir que fue usada como un área de deposición debido a la poca cantidad de material cultural encontrado.

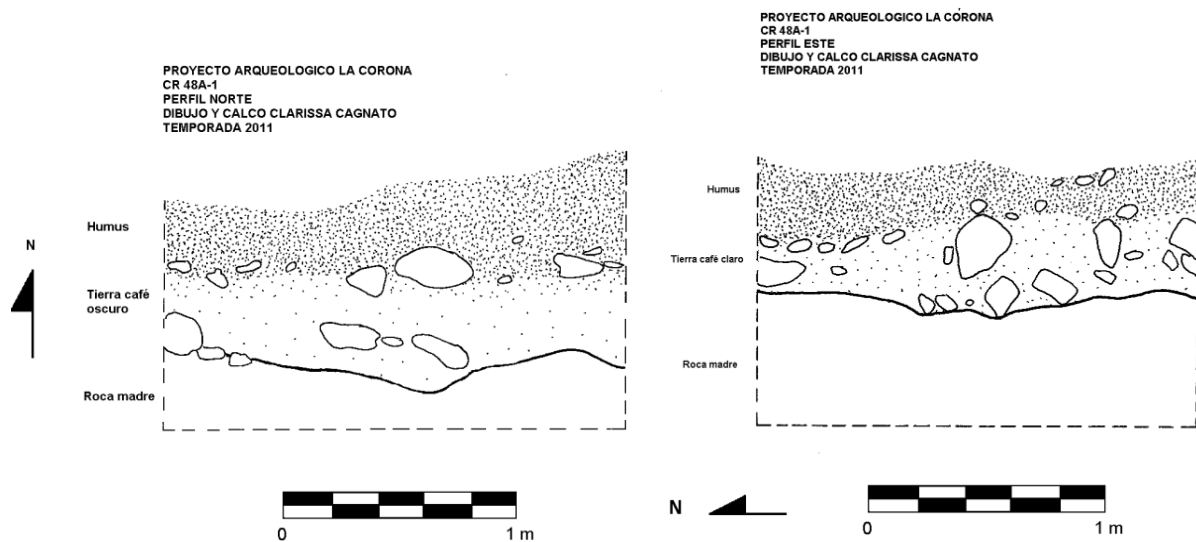


Figura 15.3 Perfiles Norte y Este de la Unidad CR48A-1 (Dibujo y calco por C. Cagnato)

Suboperación CR48B

Las unidades de esta suboperación se encontraban localizadas 20 m al noroeste de la Suboperación CR48A. Inicialmente se realizó una unidad de 1 x 1 m, denominada CR48B-1, directamente sobre la depresión circular que era visible en la superficie. En esta unidad se alcanzó una profundidad máxima de 180 cm con 8 lotes arbitrarios (Figura 15.4). Posteriormente se decidió ampliar el lado sur de esta unidad abriendo otra de 1 x 1 m, denominada CR48B-2, donde se alcanzó una profundidad máxima de 80cm con 3 lotes arbitrarios (Figura 15.5).

Unidad CR48B-1

El primer lote estaba caracterizado por la presencia de humus y raíces. Finalizó a 30cm de profundidad y se recuperaron un total de 32 fragmentos de cerámica, un fragmento de pedernal y un fragmento de bajareque. El segundo lote finalizó a una profundidad de 40 cm y se recuperaron 147 fragmentos de cerámica. La mayoría de éstos fueron encontrados en la esquina suroeste de la unidad, al igual que dos lascas de obsidiana. De este lote se recolectó una bolsa de suelo. El Lote 3 se alcanzó a 60 cm de profundidad y la tierra cambió a un color grisáceo, de consistencia compacta y densa y con fragmentos de cerámica incrustados. El material de este lote incluyó 194 fragmentos de cerámica mezclados con fragmentos de pedernal y fragmento de navaja de obsidiana. En esta unidad se encontraron varias piedras que no parecían tener algún patrón en particular, sino que posiblemente colapsaron de la Estructura 1. El cuarto lote finalizó a 80 cm de profundidad. Entre 40 cm y 60 cm de profundidad se recuperaron 324 fragmentos de cerámica, pero a partir de 80 cm la cantidad de cerámica encontrada decreció. En este lote también se encontraron fragmentos de pedernal y obsidiana, al igual que una muestra de carbón encontrada a 62 cm de profundidad. De este lote se recolectó una muestra de suelo.

En el Lote 5 se siguieron encontrando grandes piedras como parte del relleno y la tierra era muy dura y compacta. Este lote finalizó a 100 cm de profundidad y se recuperaron un total de 160 fragmentos de cerámica. El Lote 6 finalizó a 130 cm de profundidad y la cantidad de cerámica y piedras encontradas disminuyó en comparación con lo que fue encontrado en lotes previos. A 105 cm de profundidad se encontró un metate fragmentado, por lo que se recolectó una muestra de suelo en caso de que el metate pudiera estar asociado con restos de alimentos. Luego se encontró un segundo posible metate de piedra caliza. Sin embargo, se encontraba muy erosionado, por lo que no está claro si en realidad fue un metate.

El Lote 7 finalizó a 160 cm de profundidad y se recolectaron un total de 364 tiestos, dos fragmentos de obsidiana y un posible fragmento de hacha de pedernal. La tierra se volvió más dura y compacta que en los lotes anteriores, especialmente en la parte oeste de la unidad. Por último, como parte del Lote 8 se encontraron piedras del relleno hasta alcanzar la roca madre a 180 cm. Disminuyó la cantidad de cerámica y no se encontró obsidiana ni pedernal.

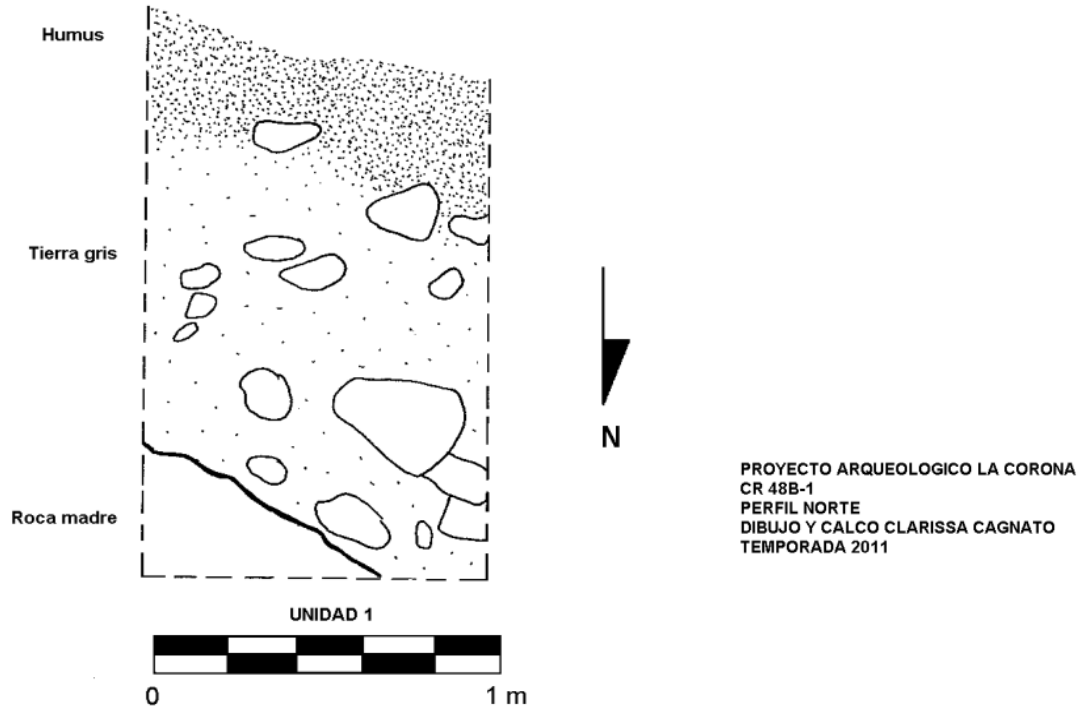


Figura 15.4 Perfil Norte de la Unidad CR-48B-1
(Dibujo y calco por C. Cagnato)

Unidad CR48B-2

Esta unidad se excavó al sur de la Unidad CR48B-1 debido a que la mayor cantidad de cerámica de esa unidad se localizó en la parte suroeste de la misma. La Unidad CR48B-2 se realizó con el objetivo de ver si la posible acumulación de basura de CR48B-1 se extendía al sur para así poder recuperar más muestras de suelo que contuvieran posibles restos de alimentos. Debido a que CR48B-1 ya había sido excavada y se entendía la estratigrafía, CR48B-2 se excavó en lotes más grandes. El Lote 1 constó de humus y finalizó a 40 cm de profundidad, sin cerámica ni material cultural recuperado. En el Lote 2 se encontraron 163 tiestos, algunos fragmentos de pedernal y un fragmento de navaja de obsidiana.

El Lote 3 consistió de tierra de color grisácea mezclada con piedras. El relleno era duro y compacto y este lote finalizó a 80 cm de profundidad. Se encontró un fragmento de figurilla (Figura 15.6) a 66 cm de profundidad al igual que 230 fragmentos de cerámica. De este lote se recolectó una bolsa de suelo y no se encontraron más tiestos después de 70 cm de profundidad. Debido a la dureza del relleno, al igual que la escasez del material cultural, se finalizó la excavación ya que esta depresión no estaba causada por la presencia de un posible *chultun*.

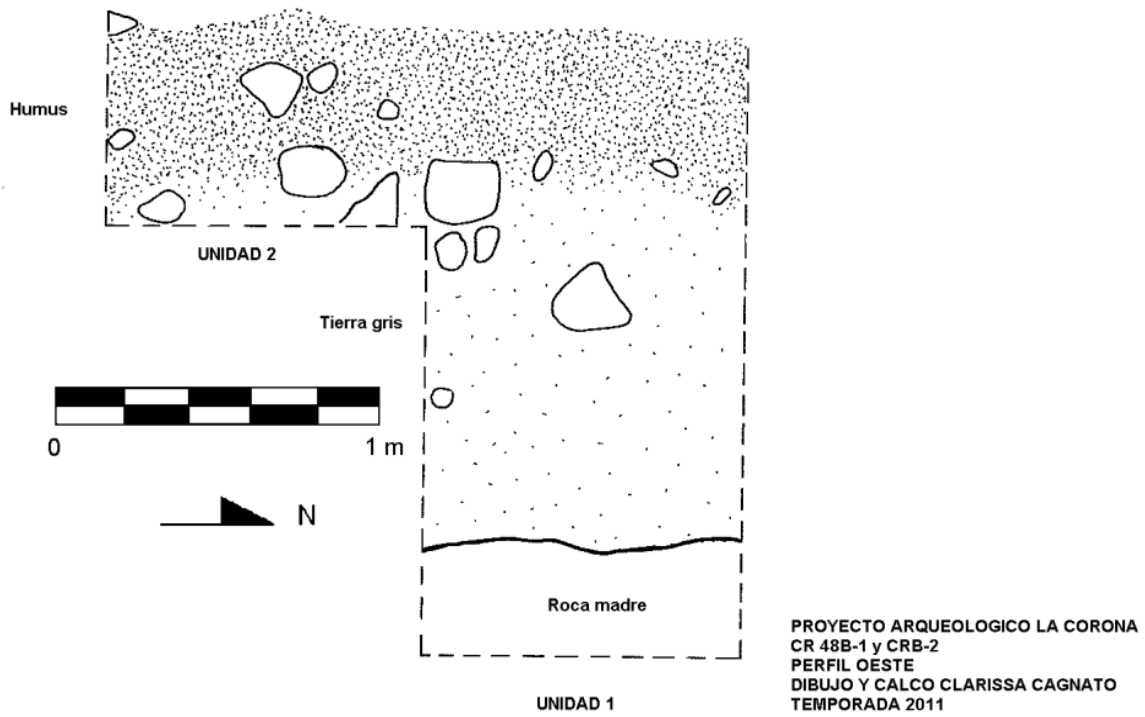


Figura 15.5 Perfil Oeste de las Unidades CR48B-1 y CR48B-2 (Dibujo y calco por C.Cagnato)



Figura 15.6 Fragmento de figurilla de CR48B-2 (Foto por C. Cagnato)

Suboperación CR48C

Unidad CR-48C-1

Esta unidad se encontraba 6 m al noroeste de la Suboperación CR48B, detrás de la Estructura 1 sobre una depresión visible en la superficie. La depresión original medía 140 x 150 cm (N x E). La unidad fue de 1 x 1 m y se alcanzó una profundidad máxima de 160 cm con 8 lotes arbitrarios (Figura 15.7). Al hacer la limpieza de superficie se recuperaron algunos fragmentos de cerámica.

El primer lote constó de humus y alcanzó una profundidad de 30 cm desde la superficie. Se recuperaron 117 fragmentos de cerámica al igual que fragmentos de pedernal y de una navaja de obsidiana. El segundo lote alcanzó una profundidad máxima de 50 cm y se recuperaron 202 fragmentos de cerámica, al igual que 4 fragmentos de pedernal y 5 fragmentos obsidiana. Como parte de este lote también se encontraron fragmentos pequeños de carbón. Sin embargo, no se tomaron muestras debido a que los fragmentos eran muy pequeños y se encontraban dispersos. El tercer lote consistió de tierra de un color grisáceo mezclada con piedras y finalizó a 70 cm de profundidad. En la esquina suroeste de la unidad, la tierra era más arcillosa y de un color café más claro que en el resto de la unidad. En este lote se encontraron 264 fragmentos de cerámica. El Lote 4 contenía grandes cantidades de cerámica y la tierra cambió en la esquina suroeste hasta volverse más oscura y compacta. En la esquina noreste se encontró tierra con caliza, por lo que fue más fácil de excavar. Debido a la gran cantidad de cerámica, este lote se excavó en niveles arbitrarios de 10 cm y se tomó una muestra de suelo. Se recuperaron 293 fragmentos de cerámica incluyendo un artefacto de cerámica que consiste de un disco fragmentado de 5 mm de grosor con un agujero en el medio (Figura 15.8), del que no se conoce su función. Además, se encontró un fragmento de un silbato de cerámica, 7 fragmentos de pedernal que incluye una posible herramienta fragmentada de 5.5 cm x 4.4 cm, al igual que cuatro fragmentos de obsidiana.

El Lote 5 alcanzó 1 m de profundidad desde la superficie y se recuperaron 413 tiestos, 5 fragmentos de obsidiana y 5 de pedernal. También se encontró carbón a 1 m de profundidad y se tomó una muestra del mismo, al igual que una de suelo. El Lote 6 alcanzó 120 cm de profundidad desde la superficie y el relleno era gris en toda la unidad, muy compacto y difícil de excavar. La cantidad de cerámica recuperada aumentó, ya que se recuperaron 574 tiestos. También se encontraron 4 navajas de obsidiana, 9 fragmentos de pedernal incluyendo un

fragmento de punta y una posible cabeza de figurilla muy erosionada. En este lote se tomó una muestra de suelo.

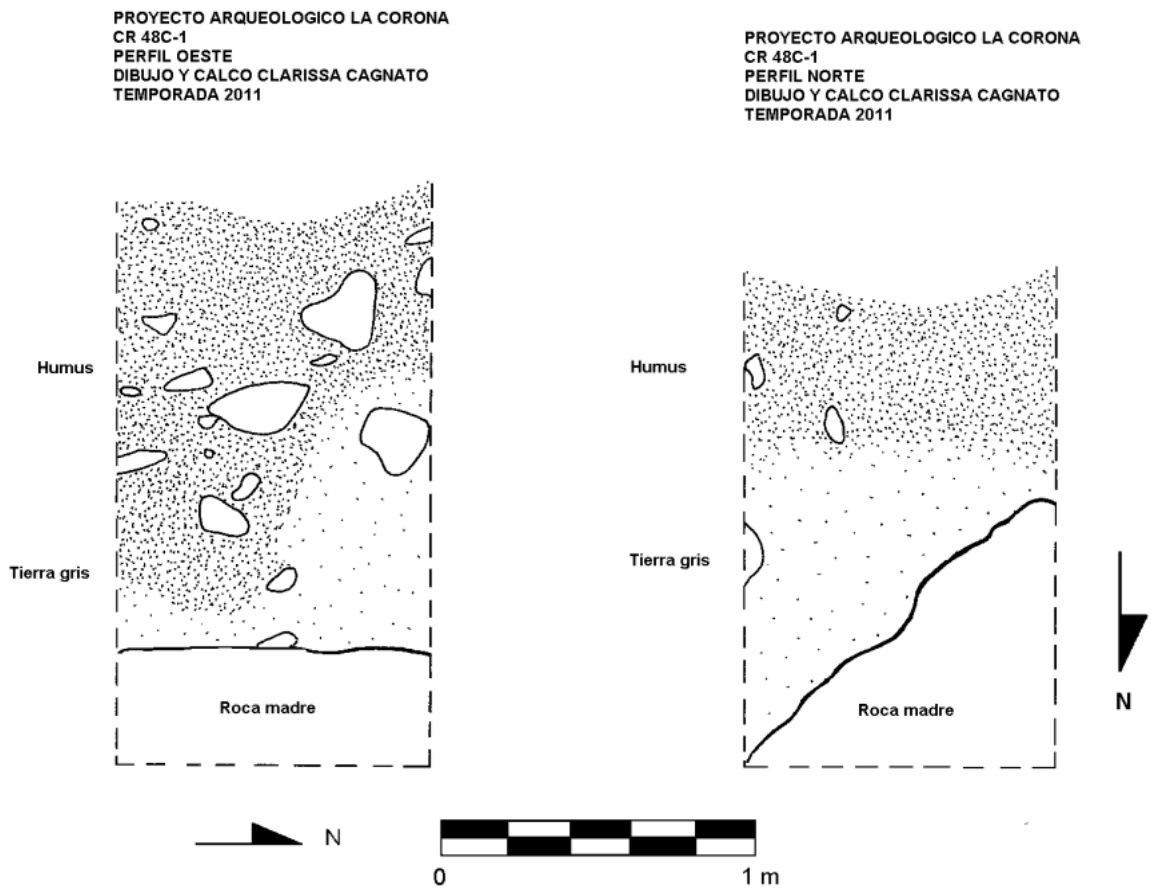


Figura 15.7 Perfiles Norte y Este CR48C-1 (Dibujo y calco por C. Cagnato)



Figura 15.8 Disco cerámico recuperado en el Lote 4 de la Unidad CR48C-1 (Foto por C. Cagnato)

El Lote 7 finalizó a 140 cm de profundidad desde la superficie y alrededor de los 120 cm la tierra se volvió más caliza. A 122 cm de profundidad se encontró carbón, por lo que se tomó una muestra. De 120 cm a 135 cm se encontraron fragmentos muy pequeños de cerámica mezclados con el suelo compacto y se recuperó un total de 194 tiestos, 10 fragmentos de obsidiana y 12 fragmentos de pedernal, incluyendo una posible navaja fragmentada de 6.5 x 4.5 x 1.7 cm. Además, se encontró otro disco de cerámica semicircular de 10 x 6 cm y 1.6 cm de ancho. Posee una depresión a lo largo del borde y restos de pintura roja en uno de los lados. Sin embargo, no se conoce su función. Asimismo, se encontraron tres tiestos que posiblemente pertenecen al mismo artefacto encontrado en el Lote 4 (Figura 15.9). En este lote se tomó una muestra de suelo. El último lote finalizó a una profundidad de 160 cm desde la superficie al encontrar la roca madre y el suelo estéril. Por encima de los 150 cm se recuperaron 19 fragmentos de cerámica, y bajo este punto solo se recuperaron dos fragmentos de cerámica.



Figura 15.9 Fragmentos de cerámica encontrados en el Lote 7 de la Unidad CR48C-1 (Foto por C. Cagnato)

Suboperación 48D

Unidad CR48D-1

La suboperación CR48D consistió de la excavación de un *chultun* asociado al Grupo 12R-3, localizado 5.5 m al este de la Estructura 1. En la superficie la cavidad medía 1 m x 1.5 m. El *chultun* fue excavado en 7 lotes arbitrarios de 20 cm cada uno hasta alcanzar una profundidad máxima de 2.10 m (Figura 15.10). Cuando se encontró este rasgo, estaba rodeado de árboles de escobo y era claro que partes de la superficie habían colapsado en la cavidad. Es por esto que el primer paso fue remover el humus que había caído en los contenidos originales del *chultun*. La parte sur de la apertura del *chultun* poseía una depresión curvada de 60 cm desde la superficie, mientras que la parte norte estaba más profunda a 96 cm desde la superficie. En el primer lote se trató de remover la mayor cantidad de humus posible, por lo que se excavó más de 20 cm. En los siguientes lotes, al finalizarse cada uno, se midió el ancho máximo (N x E) del *chultun*. Se recolectaron muestras de suelo en cada lote a través del método de muestreo compuesto para poder obtener una muestra representativa de cada nivel excavado.



Figura 15.10 Fotografía de planta del chultún después de ser excavado Unidad CR48D-1 (Foto por C. Cagnato)

El primer lote consistió de humus, el cual finalizó a 115 cm de profundidad desde la superficie. Después de este punto, la tierra cambió a un color grisáceo claro y se volvió muy suelta, casi arenosa y se recolectaron muestras de suelo de cada lote. En este punto, el ancho máximo del *chultun* era de 133 x 131 cm y se habían recuperado un total 19 fragmentos de cerámica. El segundo lote finalizó en 130 cm y se recuperaron 9 tiestos y 2 huesos de animales que no estaban carbonizados, por lo que posiblemente son intrusivos o modernos. El ancho máximo del *chultun* en este punto fue de 146 x 157 cm. El Lote 3 consistió del mismo tipo de tierra, pero mezclado con piedras. Al alcanzar 140 cm de profundidad, el *chultun* medía 155 x 170 cm. Se recuperaron 14 tiestos y 38 huesos de animales que incluían fragmentos de caparazón de tortuga, ninguno con signos de haber sido quemados. El Lote 4 finalizó a 160 cm de profundidad desde la superficie con un total de 29 fragmentos de cerámica recuperados, 5 fragmentos de pedernal y 51 huesos de animales. El *chultun* en este punto medía 171 x 175 cm. En este lote se encontró la tapadera del *chultun* a 147 cm de profundidad, la cual se encontraba en ángulo y parecía haber caído de la superficie. La tapadera mide 50 x 40 x 10 cm y está hecha de piedra pesada de color gris (Figura 15.11). Debido al tamaño y ángulo en donde fue encontrada, parece que estaba en el lado este del borde actual del *chultun*, ya que partes de lado oeste de donde se encontraba la tapadera habían colapsado hacia adentro. El punto más bajo de la tapadera en el *chultun* fue encontrado a 178 cm de profundidad desde la superficie.



Figura 15.11 Tapadera de piedra del *chultun* CR48D-1 (Foto por C. Cagnato)

El Lote 5 finalizó a 180 cm desde la superficie y se obtuvo un total de 37 fragmentos de cerámica, 8 fragmentos de pedernal y 14 huesos de animales. En este punto el *chultun* medía 178 x 175 cm. El Lote 6 alcanzó 2 m desde la superficie y en este punto el *chultun* comenzó a estrecharse, midiendo 176 x 154 cm. Se recuperaron 18 fragmentos de cerámica y 6 fragmentos de pedernal. El Lote 7 fue el último lote y alcanzó el fondo del *chultun* a 2.10 m. La base del *chultun* midió 164 x 164 cm y el perfil se asemeja a la forma de una botella (Figura 15.12). En este último lote se recuperaron 2 tiestos y 2 fragmentos de pedernal.

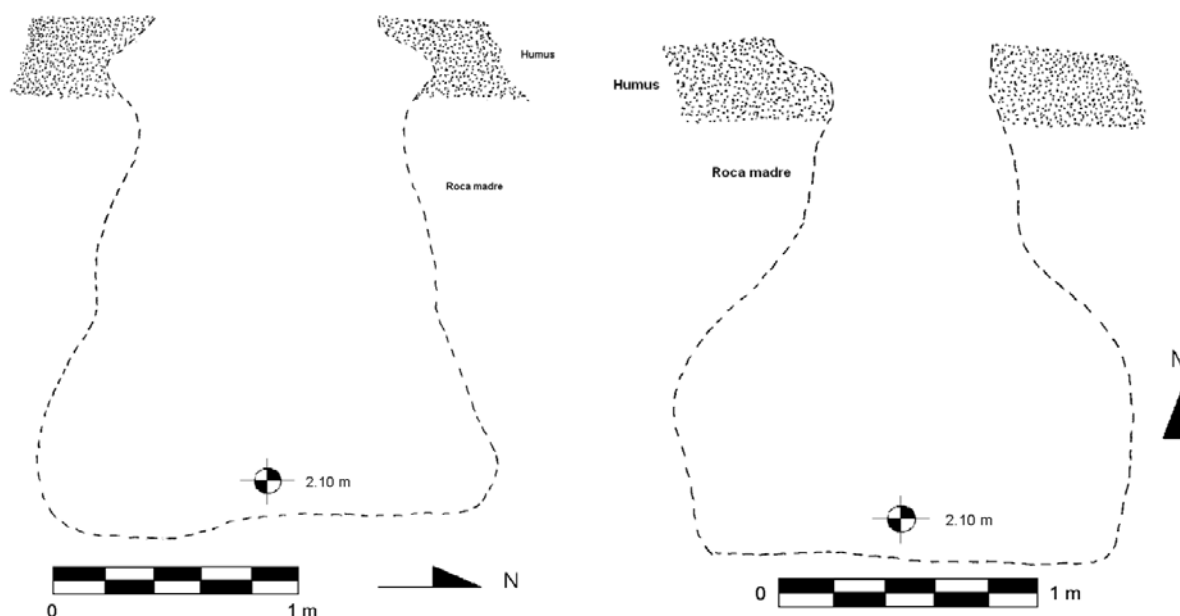


Figura 15.12 Perfiles Oeste y Norte del *chultun* CR48D-1 (Dibujo y calco por C. Cagnato)

Resultados de Excavaciones

Suboperación CR48A

La depresión en la superficie no era un *chultun* ni un área de deposición de alimentos. Sin embargo, es interesante notar que colapsó de forma circular, grande y regular. De las excavaciones no se obtuvieron grandes cantidades de material cultural, ya que en total se recuperaron menos de 20 tiestos, que posiblemente se lavaron desde la Estructura 1 y sus alrededores. No se conoce la naturaleza exacta de este rasgo, pero pudo haber sido usado como una cantera. Sin embargo, también es posible que la depresión circular haya sido creada por fuerzas naturales como agua y posterior erosión del suelo.

Suboperación CR48B

Las excavaciones en esta área no revelaron un *chultun*. Sin embargo, es posible que esta área haya sido utilizada para deposición de basura debido a la gran cantidad de fragmentos de cerámica, obsidiana y pedernal encontrados, así como un metate y fragmento de figurilla. Estos tipos de artefactos sugieren que era un lugar de deposición de ciertos tipos de materiales y los resultados del análisis de las muestras de suelo contribuirán a comprender mejor estos contextos.

Suboperación CR48C

Los resultados de las excavaciones en esta área sugieren que posiblemente era un área de deposición de basura. En esta unidad se recuperaron varios fragmentos de cerámica mezclados con el relleno, al igual que fragmentos de navajas de obsidiana y herramientas de pedernal. El análisis de las muestras de suelo al igual que futuras investigaciones confirmará si esta área era usada para deposición de alimentos o actividades relacionadas a la preparación de alimentos.

Suboperación CR48D

Este rasgo era claramente un *chultun* de una cámara, el cual es el segundo identificado y excavado en La Corona. Sin embargo, es interesante notar que el contenido fue diferente al excavado en 2010. Se ha propuesto que el *chultun* asociado a la Estructura 13R-10 fue relleno después de un festín ritual y sellado después de este evento (Diana Friedberg com. pers. 2011), mientras que el *chultun* investigado este año fue encontrado en diferentes condiciones, ya que no estaba sellado. Los primeros 115 cm estaban llenos de tierra que había caído desde la superficie, indicando que gran parte del material encontrado adentro posiblemente era intrusivo. A partir de los 115 cm de profundidad la tierra del *chultun* cambió, volviéndose más suelta y de color grisáceo. Esto posiblemente conformaba la matriz original del *chultun*. La presencia de la tapadera dentro del *chultun* sugiere que originalmente debía estar sellado, aunque su contenido original es desconocido. Además, los tipos de materiales encontrados en este *chultun* son diferentes al excavado en 2010, el cual contenía grandes cantidades de huesos de animales, ceniza y cerámica. Al contrario, éste estaba lleno de tierra arenosa y contenía pocos fragmentos de cerámica y pedernal. Los huesos de animales que fueron encontrados probablemente son de intrusiones modernas.

Aunque aún no se han analizado los restos botánicos, parece que los contenidos de este *chultun* son resultado de una serie de actividades diferentes a las del que fue encontrado en 2010. Los restos de plantas encontrados en estas excavaciones necesitarán ser analizados para conocer la cantidad y tipos de plantas que fueron utilizadas como alimentos dentro de este rasgo.

Conclusiones

Los *chultunes* fueron utilizados para diferentes propósitos por los antiguos pobladores de La Corona, tanto del centro del sitio como de la periferia. Aunque su identificación no es evidente debido a que están cubiertos por construcciones o acumulaciones de tierra, estos rasgos proveen información importante debido a que preservan evidencia del pasado, incluyendo restos antiguos de plantas. No todos los *chultunes* parecen haber tenido la misma función y es probable que ésta cambiara a través del tiempo. La función de estos rasgos será aclarada con el análisis paleobotánico.

Las depresiones regulares visibles en la superficie, identificadas detrás de la Estructura 1 del Grupo 12R-3 no fueron el resultado de *chultunes*. Sin embargo, a excepción de la depresión de la Suboperación CR48A, que pudo haber sido una cantera, las otras depresiones son difíciles de explicar. Sin embargo, algunas de estas unidades indican que estas áreas pudieron haber sido usadas para deposición de basura debido a la gran cantidad de restos cerámicos y otros artefactos fragmentados. Debido a la falta de huesos carbonizados y grandes cantidades de ceniza y carbón, es difícil asegurar que esta área era usada como basurero para todo tipo de restos o solo para tipos específicos. Los análisis paleobotánicos aclararán si en esta área se depositaban restos de alimentos. En conclusión, vale la pena continuar la búsqueda de áreas de deposición de alimentos, que incluyen basureros y *chultunes*, ya que proveerán datos de la vida de los antiguos habitantes de La Corona.

CAPÍTULO XVI

ANÁLISIS DE RESTOS ÓSEOS: TEMPORADA 2011

Erin Patterson

El siguiente reporte es un resumen preliminar de todos los restos óseos humanos recuperados durante la Temporada de campo 2011 del Proyecto Regional Arqueológico La Corona. La inspección preliminar de los huesos fue hecha en el campo, mientras que un análisis más detallado se llevará a cabo en 2012.

Sitio El Jobillo

Tres fragmentos de hueso se recuperaron de un contexto de saqueo en el sitio satelital de El Jobillo. Los fragmentos forman parte del tercio medio de la parte media de una tibia humana. La superficie cortical estuvo muy erosionada y el tamaño del hueso sugiere que perteneció a una persona adulta. La Tabla 16.1 contiene el listado de los restos recuperados de este contexto.

Operación CR15A

Entierro 6 (CR15A-1a-2 hasta CR15A-1a-54)

El esqueleto de un individuo adulto fue recuperado de una tumba encontrada en la Estructura 13R-2. La actividad de roedores, el colapso del techo y las condiciones húmedas dentro de la tumba contribuyeron a que los restos se conservaran de una manera muy pobre. Entonces, dada la condición tan fragmentada de los huesos no fue posible calcular la estatura del individuo. Por otro lado, aunque si existió perturbación causada por animales, la distribución de los elementos esqueléticos sugiere que la cabeza del individuo estuvo orientada hacia el este y los pies hacia el oeste. El inventario de este material esquelético se muestra en la Tabla 16.2.

El individuo en la tumba fue un adulto y todas las epífisis recuperadas estuvieron fusionadas. De las únicas patologías notables cabe destacar evidencia de artritis (crecimientos óseos) en algunas vértebras y en el cúbito derecho (Figura 16.1), sugiriendo de cierta forma que fue de edad avanzada. Además, dos cuerpos de vértebra parciales exhibieron crecimientos óseos tan severos que se fusionaron debido a la artritis. Solamente un elemento esquelético recuperado

ayudó a la determinación del sexo del individuo, el cual fue el proceso mastoideo del hueso temporal derecho, el cual tuvo un valor de '2' según los *Standards* (Buikstra y Ubelaker 1994). Esto sugiere que el individuo fue posiblemente masculino. También muchos de los fragmentos craneanos tuvieron pigmento rojo en su superficie ectocraneal, tal como se observó en varios huesos craneanos y de las manos provenientes del Entierro 2 (CR14A-1-21) excavado en 2010. Tanto el Entierro 2 como el Entierro 6 fueron encontrados en el Grupo Coronitas.

La naturaleza fragmentada de la bóveda craneana no hizo posible identificar algún tipo de modificación craneal. En cuanto a la dentadura, se recuperaron 16 dientes, y la mayoría presentaron sarro, siendo más severo en los dientes anteriores. Una lesión de caries estuvo presente en la superficie oclusal de un molar inferior. En general, el desgaste dental fue de mediano a moderado y uno de los incisivos centrales superiores estuvo inciso en el patrón VI-2 (Buikstra y Ubelaker 1994, Fig. 30a).

Operación CR18B

CR18B-4-2-3 (Rasgo 4)

Se recuperó una mandíbula humana fragmentada, cuyos dientes parecen haberse perdido de forma *postmortem* porque no se recuperaron. El foramen mental en su lado izquierdo parece más grande que lo normal. También se recuperaron varios fragmentos no identificados que pueden ser de la mandíbula o el cráneo.

CR18B-5-1-1

El hueso es un molar superior izquierdo (M1 o M2) que exhibe un desgaste moderado, sin caries, sarro o patologías visibles.

Entierro 5 (CR18B-1-6-6, 18B-2-3-3 y 18B-3-3-5)

El entierro se recuperó del área inmediatamente adyacente a la Estructura 13R-11. Se identificó un individuo adulto de sexo indeterminado y aunque el esqueleto articulado fue registrado de forma completa, muchos de los huesos estaban fragmentados. La posición del esqueleto fue extendida con los brazos a los lados (Figura 16.2).

La mayoría de las superficies articulares no se conservaron, por lo que es difícil determinar la prevalencia de artritis. Se notaron crecimientos óseos en la muesca semilunar del cúbito derecho, y también se observó reacción prióstica en la tibia y peroné derechos y en un fragmento de costilla. No se notaron otras patologías y una medición *in situ* de la tibia derecha puede ayudar a determinar la estatura. También, dada la naturaleza fragmentada de la bóveda craneana, no pudo identificarse ninguna modificación craneal.

Los tres incisivos superiores fueron limados en el patrón III-2 (Buikstra y Ubelaker 1994, Fig. 30a) y dicha modificación hizo difícil determinar el desgaste dental. Sin embargo, los incisivos exhibieron sarro moderado. El canino superior estaba dañado, por lo que no fue posible definir desgaste o patologías (Figura 16.3). Se recuperaron más dientes pero todavía están dentro el suelo extraído y serán evaluados en el futuro.

El inventario de todos los huesos humanos recuperados en esta operación se encuentra en la Tabla 16.3.

Operación CR33A

Entierro 3 (CR33A-20-5)

Este entierro contenía restos desarticulados de un adulto de sexo indeterminado. Su contexto fue el interior de la Estructura 13Q-3 y fue descubierto durante la Temporada 2010 (Patterson 2011), cuando se hizo un análisis e inventario preliminar. Durante la Temporada 2011 se recuperaron más restos y ninguno de los elementos esqueléticos se repitieron, por lo que se mantiene la interpretación de un solo individuo. La Tabla 16.4 muestra el inventario de todos los huesos recuperados en 2011.

Aunque se encontraron los dientes superiores e inferiores, así como parte de la mandíbula, no se recuperaron partes del cráneo. Entonces es posible que la calavera haya sido extraída o que esté extremadamente fragmentada. Una inspección detallada se hará en 2012 para responder a esta interrogante. En cuanto a patologías, no se observó artritis u otros cambios degenerativos, excepto un posible cartílago calcificado.

Todas las epífisis de huesos largos que se observaron estaban fusionadas, indicando que el individuo era adulto. Tres vértebras sacras parciales estaban en el proceso de fusionarse al momento de la muerte (Figura 16.4) y parecen ser segmentos sacros S1-S3. La fusión de este hueso empieza en el extremo distal y se mueve hacia arriba. La vértebra sacra se empieza a fusionar al final de la adolescencia, y la fusión de S2-S5 generalmente se completa a inicios o mediados de los 20 años. La juntura de S1 y S2 es la última en fusionarse, por lo que hay un rango alto de temporalidad de fusión para estos elementos, la cual puede ocurrir hasta los 30 años. Por lo tanto, el estado de fusión de estos segmentos sugiere que el individuo fue un adulto relativamente joven. En esta temporada se recuperaron cuatro dientes que son tres molares y un incisivo. El desgaste dental fue mediano a moderado y no se observaron caries. Se presentó sarro en un par de dientes, pero de forma mediana. No tuvo modificaciones dentales.

Inventario esquelético

Los huesos se analizaron en base a los lineamientos establecidos en *Standards* (Buikstra y Ubelaker 1994) y se usaron los siguientes códigos para registrar los restos:

| | |
|----------------------------|---|
| Lado | L (izquierdo) R (derecho) B (ambos) M (línea media) U (no determinado) |
| Segmento | PE (epífisis proximal) P1/3 (tercio proximal de diáfisis) M1/3 (tercio medio de diáfisis) D1/3 (tercio distal de diáfisis) DE (epífisis distal) B (cuerpo vertebral o centrum) NA (arco neural) |
| Cantidad recuperada | 1 (75-100% completo) 2 (25-75% completo) 3 (menos del 25% completo) |
| Edad | A (adulto) J (juvenil) U (indeterminado) |
| Sexo | F (femenino) M (masculino) U (indeterminado) |



Figura 16.1. Artritis en el proceso olecranon del cúbito derecho, Entierro 6 (Foto por E. Patterson)

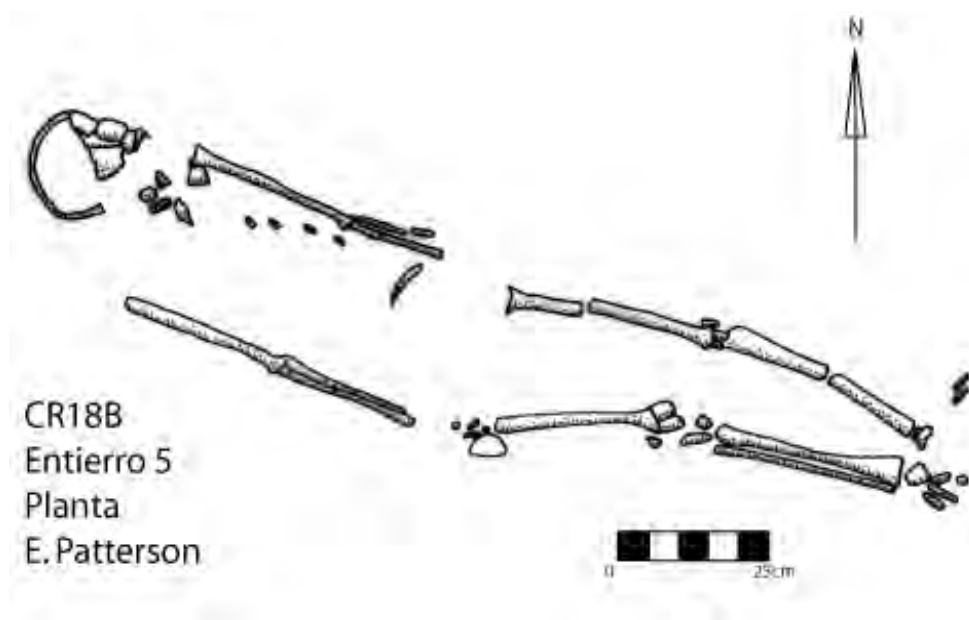


Figura 16.2 Entierro 5 (Dibujo por E. Patterson, calco por J. Baron)



Figura 16.3. Incisivos superiores y caninos, Entierro 5 (Foto por E. Patterson)



Figura 16.4 Vértabras sacras, Entierro 3 (Fotos por E. Patterson)

Tabla 16.1 Inventario de Restos Óseos (El Jobillo)

| Contexto | Hueso | Lado | Segmento | Completo | Conteo | Edad | Sexo | Notas |
|------------|-------|------|----------|----------|--------|------|------|-------|
| El Jobillo | Tibia | U | M1/3 | 3 | 3 | | | |

Tabla 16.2 Inventario de Restos Óseos (CR15A)

| Lote | Bolsa | Hueso | Lado | Segmento | Completo | Conteo | Edad | Sexo | Notas |
|-------------|-----------------|------------------------------------|------|----------|----------|--------|------|------|---|
| CR15A-1a-7 | 25-35 cm, B1 | fragmentos no identificados | | | | 5 | | | |
| CR15A-1a-7 | 25-35 cm, B1 | vértebra | M | NA | 3 | 1 | | | Solo una faceta |
| CR15A-1a-7 | 25-35 cm, B1 | fragmentos mediales, huesos largos | | | | 7 | | | |
| CR15A-1a-7 | 25-35 cm, B1 | húmero | U | M1/3 | 3 | 1 | | | posiblemente fémur |
| CR15A-1a-7 | 25-35 cm, B1 | peroné (?) | | | | 1 | | | posiblemente peroné |
| CR15A-1a-47 | piso, D2 | fragmento no identificado | | | | 1 | | | |
| CR15A-1a-22 | 35-45 cm, B2 | tibia (?) | U | PE | 3 | 1 | | | parte de la meseta tibial? |
| CR15A-1a-22 | 35-45 cm, B2 | escafoides | R | | 2 | 1 | | | |
| CR15A-1a-22 | 35-45 cm, B2 | falange proximal de pie (?) | | | 2 | 1 | | | Falta PE |
| CR15A-1a-22 | 35-45 cm, B2 | fragmentos de huesos largos | | | | 17 | | | |
| CR15A-1a-22 | 35-45 cm, B2 | fragmentos no identificados | | | | 24 | | | |
| CR15A-1a-41 | 45 cm -piso, F1 | fragmentos no identificados | | | | 20 | | | |
| CR15A-1a-6 | 25-35 cm, A2 | fragmentos mediales, huesos largos | | | | 10 | | | un posible fragmento de una tibia |
| CR15A-1a-6 | 25-35 cm, A2 | fragmento de bóveda craneal | | | | 1 | | | |
| CR15A-1a-6 | 25-35 cm, A2 | fragmentos no identificados | | | | 14 | | | |
| CR15A-1a-29 | 35-45 cm, F1 | costilla | U | | 3 | 1 | | | epifisis proximal, falta cabeza |
| CR15A-1a-29 | 35-45 cm, F1 | fragmentos craneanos | | | | 2 | | | |
| CR15A-1a-31 | 45 cm -piso, A1 | fragmentos mediales, huesos largos | | | | 9 | | | |
| CR15A-1a-31 | 45 cm -piso, A1 | fragmentos no identificados | | | | 15 | | | |
| CR15A-1a-5 | 25-35 cm, A1 | fragmentos vertebrales | M | | 3 | 2 | | | |
| CR15A-1a-5 | 25-35 cm, A1 | fragmentos de bóveda craneal | | | | 2 | | | un fragmento tiene pigmento rojo en su superficie ectocraneal |

| | | | | | | | | | |
|-------------|------------------|------------------------------------|----|----|---|----|--|----|--|
| CR15A-1a-5 | 25-35 cm, A1 | fragmentos mediales, huesos largos | | | | 6 | | | |
| CR15A-1a-5 | 25-35 cm, A1 | fragmentos no identificados | | | | 12 | | | |
| CR15A-1a-5 | 25-35 cm, A1 | costilla (?) fragmento | U | | | 1 | | | restos de pigmento rojo en la superficie |
| CR15A-1a-5 | 25-35 cm, A1 | metatarso | | | | 1 | | | solo DE |
| CR15A-1a-10 | 25-35 cm, C2 | fragmentos no identificados | | | | 12 | | | |
| CR15A-1a-10 | 25-35 cm, C2 | astrágalo (?) | U | | 2 | 1 | | | |
| CR15A-1a-40 | 45 cm - piso, E2 | fragmentos no identificados | | | | 5 | | | |
| CR15A-1a-25 | 35-45 cm, D1 | fragmentos no identificados | | | | 8 | | | |
| CR15A-1a-25 | 35-45 cm, D1 | fragmentos mediales, huesos largos | | | | 2 | | | |
| CR15A-1a-25 | 35-45 cm, D1 | fragmento de bóveda craneal | | | | 1 | | | |
| CR15A-1a-25 | 35-45 cm, D1 | temporal | R? | | 2 | 1 | | F | mastoides: 2 |
| CR15A-1a-25 | 35-45 cm, D1 | occipital (?) | M | | | 1 | | F? | cresta de la nuca: 2/3 |
| CR15A-1a-37 | 45 cm - piso, D1 | fragmentos no identificados | | | | 24 | | | |
| CR15A-1a-37 | 45 cm - piso, D1 | fragmento vertebral | | | 3 | 1 | | | |
| CR15A-1a-37 | 45 cm - piso, D1 | fragmentos craneanos | | | | 4 | | | |
| CR15A-1a-35 | 45 cm - piso, C1 | fragmentos no identificados | | | | 17 | | | |
| CR15A-1a-35 | 45 cm - piso, C1 | fragmento medial, hueso largo | | | | 1 | | | |
| CR15A-1a-48 | piso, E1 | fragmentos no identificados | | | | 3 | | | |
| CR15A-1a-45 | piso, B2 | fragmentos no identificados | | | | 45 | | | |
| CR15A-1a-33 | 45 cm - piso | fragmentos no identificados | | | | 25 | | | |
| CR15A-1a-20 | 35-45 cm, A2 | fragmentos no identificados | | | | 19 | | | |
| CR15A-1a-20 | 35-45 cm, A2 | fragmentos mediales, huesos largos | | | | 6 | | | |
| CR15A-1a-20 | 35-45 cm, A2 | falange distal de pie | | | 1 | 1 | | | PE dañada, sin artritis |
| CR15A-1a-20 | 35-45 cm, A2 | quinto metatarso | L | | 3 | 1 | | | PE o posiblemente astrágalo parcial |
| CR15A-1a-20 | 35-45 cm, A2 | fémur (?) | U | PE | 3 | 1 | | | posiblemente una cabeza humeral |

| | | | | | | | | | |
|-------------|-----------------|------------------------------------|----|----|---|--------|---|--|---|
| CR15A-1a-20 | 35-45 cm, A2 | radio | U | PE | 2 | 1 | A | | fusionado, sin artritis |
| CR15A-1a-19 | 35-45 cm, A1 | fragmentos de huesos largos | | | | 5 | | | |
| CR15A-1a-19 | 35-45 cm, A1 | fragmentos no identificados | | | | 5 | | | |
| CR15A-1a-19 | 35-45 cm, A1 | fragmento vertebral | | | 3 | 1 | | | |
| CR15A-1a-19 | 35-45 cm, A1 | fémur (?) | U | DE | 3 | 1 | | | |
| CR15A-1a-8 | 25-35 cm, B2 | radio | U | PE | 3 | 1 | | | |
| CR15A-1a-8 | 25-35 cm, B2 | fragmentos mediales, huesos largos | | | | 4 | | | |
| CR15A-1a-8 | 25-35 cm, B2 | omóplato (?) | U | | 3 | 1 | | | parece ser la base del acromion y pequeña parte de la fosa glenoidea |
| CR15A-1a-8 | 25-35 cm, B2 | fragmentos no identificados | | | | 6 | | | |
| CR15A-1a-18 | 35-45 cm | fragmentos no identificados | | | | muchos | | | 3 fragmentos tienen pigmento rojo |
| CR15A-1a-18 | 35-45 cm | fragmentos mediales, huesos largos | | | | 14 | | | |
| CR15A-1a-18 | 35-45 cm | fragmentos vertebrales | | | 3 | 6 | | | un fragmento parece tener formación de osteofitos leve |
| CR15A-1a-18 | 35-45 cm | fragmentos craneanos | | | | 22 | | | muchos tienen pigmento rojo; 1 porción pétreo parcial, pieza pequeña de mandíbula o maxilar |
| CR15A-1a-18 | 35-45 cm | cúbito | L? | DE | 3 | 1 | | | |
| CR15A-1a-18 | 35-45 cm | falange distal de pie | U | | 2 | 1 | | | |
| CR15A-1a-18 | 35-45 cm | Incisivo lateral inferior (?) | L? | | 1 | 1 | | | sin caries, sarro severo |
| CR15A-1a-32 | 45 cm -piso, A2 | fragmentos no identificados | | | | muchos | | | |
| CR15A-1a-32 | 45 cm -piso, A2 | metatarso | U | | 2 | 1 | | | |
| CR15A-1a-32 | 45 cm -piso, A2 | metatarso | U | | 3 | 1 | | | |
| CR15A-1a-32 | 45 cm -piso, A2 | falange proximal de pie | U | | 2 | 1 | | | |
| CR15A-1a-32 | 45 cm -piso, A2 | falange proximal de pie | U | | 3 | 1 | | | |
| CR15A-1a-34 | 45 cm -piso, B2 | fragmentos no identificados | | | | muchos | | | |
| CR15A-1a-34 | 45 cm -piso, B2 | fragmentos mediales, huesos largos | | | | 7 | | | |
| CR15A-1a-34 | 45 cm -piso, B2 | falange proximal pie | U | | 3 | 1 | | | |

| | | | | | | | | | |
|-------------|-----------------|------------------------------------|----|----|---|--------|--|--|---|
| CR15A-1a-34 | 45 cm -piso, B2 | metatarso | U | | 3 | 1 | | | |
| CR15A-1a-34 | 45 cm -piso, B2 | metatarso | U | | 3 | 1 | | | |
| CR15A-1a-34 | 45 cm -piso, B2 | 3er cuneiforme | R | | 2 | 1 | | | |
| CR15A-1a-34 | 45 cm -piso, B2 | peroné | L | DE | 3 | 1 | | | |
| CR15A-1a-39 | 45 cm -piso, E1 | fragmentos no identificados | | | | muchos | | | |
| CR15A-1a-39 | 45 cm -piso, E1 | costilla | U | | 3 | 1 | | | |
| CR15A-1a-39 | 45 cm -piso, E1 | fragmentos vertebrales | | | 3 | 6 | | | |
| CR15A-1a-39 | 45 cm -piso, E1 | clavicula (?) | U | | 2 | 1 | | | |
| CR15A-1a-39 | 45 cm -piso, E1 | costilla | L | | 3 | 1 | | | |
| CR15A-1a-39 | 45 cm -piso, E1 | omóplato | R? | | 3 | 1 | | | proceso coracoide |
| CR15A-1a-39 | 45 cm -piso, E1 | fragmentos craneanos | | | | 15 | | | Varios tienen pigmento rojo |
| CR15A-1a-39 | 45 cm -piso, E1 | incisivo central superior | U | | 2 | 1 | | | sin caries, incisivo, sarro moderado a severo |
| CR15A-1a-39 | 45 cm -piso, E1 | incisivo lateral inferior | R? | | 1 | 1 | | | sin caries, sarro moderado |
| CR15A-1a-39 | 45 cm -piso, E1 | inciso central (?) inferior | U | | 1 | 1 | | | sin caries, sarro moderado |
| CR15A-1a-39 | 45 cm -piso, E1 | premolar superior | U | | 1 | 1 | | | sarro moderado |
| CR15A-1a-39 | 45 cm -piso, E1 | premolar superior | U | | 1 | 1 | | | sin caries |
| CR15A-1a-39 | 45 cm -piso, E1 | premolar inferior | U | | 1 | 2 | | | sin caries, sin sarro |
| CR15A-1a-39 | 45 cm -piso, E1 | premolar inferior | U | | 1 | 1 | | | sin caries, sin sarro |
| CR15A-1a-39 | 45 cm -piso, E1 | molar superior | R | | 1 | 1 | | | sin caries, sarro moderado |
| CR15A-1a-39 | 45 cm -piso, E1 | molar superior | R | | 1 | 1 | | | sin caries, sarro mediano |
| CR15A-1a-39 | 45 cm -piso, E1 | molar superior | L | | 2 | 1 | | | sin caries, sarro mediano |
| CR15A-1a-39 | 45 cm -piso, E1 | molar superior | L | | 2 | 1 | | | sin caries |
| CR15A-1a-39 | 45 cm -piso, E1 | molar inferior | R | | 1 | 1 | | | caries en cara oclusal, sin sarro |
| CR15A-1a-39 | 45 cm -piso, E1 | molar inferior (?) | R | | 1 | 1 | | | sin caries, sarro moderado |
| CR15A-1a-39 | 45 cm -piso, E1 | 3er molar inferior (?) | U | | 1 | 1 | | | sin caries, sarro moderado |
| CR15A-1a-39 | 45 cm -piso, E1 | 3er (?) molar superior (?) | R? | | 1 | 1 | | | sin caries, sarro mediano |
| CR15A-1a-4 | 25-35 cm | fragmentos no identificados | | | | muchos | | | |
| CR15A-1a-4 | 25-35 cm | fragmentos mediales, huesos largos | | | | 10 | | | |
| CR15A-1a-4 | 25-35 cm | fragmento de bóveda craneal | | | | 6 | | | 2 fragmentos tienen pigmento rojo |
| CR15A-1a-4 | 25-35 cm | falange proximal de mano | U | | 2 | 1 | | | |

| | | | | | | | | | |
|-------------|-----------------|------------------------------------|----|----------|---|--------|--|--|---|
| CR15A-1a-4 | 25-35 cm | fragmento vertebral | | | 3 | 1 | | | |
| CR15A-1a-4 | 25-35 cm | piramidal | R? | | 1 | 1 | | | |
| CR15A-1a-27 | | fragmentos no identificados | | | | muchos | | | |
| CR15A-1a-27 | | fragmento de bóveda craneal | | | | 12 | | | muchos tienen pigmento rojo |
| CR15A-1a-27 | | fragmento vertebral | | | 3 | 1 | | | |
| CR15A-1a-27 | | Fragmento medio de costilla | U | | 3 | 1 | | | |
| CR15A-1a-27 | | mandíbula | M | | 3 | 1 | | | cóndilo mandibular, probablemente de lado derecho |
| CR15A-1a-27 | | omóplato | L | | 3 | 1 | | | parte de la base del acromion y parte de la fosa glenoidea, sin rastros de osteofitos pero superficie algo erosionada |
| CR15A-1a-9 | 25-35 cm, C1 | húmero | U | M1/3 | 3 | 1 | | | |
| CR15A-1a-9 | 25-35 cm, C1 | fragmentos no identificados | | | | 21 | | | |
| CR15A-1a-9 | 25-35 cm, C1 | rótula | U | | 2 | 1 | | | |
| CR15A-1a-26 | 35-45 cm, D1 | fragmento no identificado | | | | 1 | | | |
| CR15A-1a-26 | 35-45 cm, D1 | clavícula (?) | U | | 3 | 1 | | | |
| CR15A-1a-36 | 45 cm -piso, C2 | fragmentos no identificados | | | | muchos | | | |
| CR15A-1a-36 | 45 cm -piso, C2 | fragmentos mediales, huesos largos | | | | 5 | | | |
| CR15A-1a-50 | piso, F1 | fragmentos no identificados | | | | muchos | | | |
| CR15A-1a-3 | 20-25 cm | fragmentos no identificados | | | | muchos | | | |
| CR15A-1a-24 | 35-45 cm, C2 | fragmento medial, hueso largo | | | | 1 | | | |
| CR15A-1a-24 | 35-45 cm, C2 | rótula (?) | R? | | 2 | 1 | | | |
| CR15A-1a-24 | 35-45 cm, C2 | fragmentos no identificados | | | | 12 | | | |
| CR15A-1a-24 | 35-45 cm, C2 | cúbito | R | PE, P1/3 | 2 | 1 | | | osteofitos en apófisis coronoides y olécranon |
| CR15A-1a-21 | 35-45 cm, B1 | fragmentos mediales, huesos largos | | | | 5 | | | |
| CR15A-1a-21 | 35-45 cm, B1 | raíz de diente | | | | 1 | | | |
| CR15A-1a-21 | 35-45 cm, B1 | húmero | U | | 3 | 1 | | | espiral |
| CR15A-1a-21 | 35-45 cm, B1 | fragmento medial de | U | | | 1 | | | |

| | | | | | | | | | |
|-------------|--------------|-----------------------------|---|---|---|--------|--|----|---|
| | | costilla | | | | | | | |
| CR15A-1a-21 | 35-45 cm, B1 | frontal | M | | 3 | 1 | | M? | margen supraorbital 3/4 |
| CR15A-1a-21 | 35-45 cm, B1 | fragmentos no identificados | | | | muchos | | | |
| CR15A-1a-21 | 35-45 cm, B1 | fragmentos vertebrales | | | | 3 | | | |
| CR15A-1a-21 | 35-45 cm, B1 | vértebras | M | B | | 1 | | | 2 cuerpos parciales, fusionamientos, osteofitos |
| CR15A-1a-46 | piso, D1 | fragmentos no identificados | | | | 3 | | | |

Tabla 16.3 Inventario de restos óseos (CR18B)

| Lote | Bolsa | Hueso | Lado | Segmento | Completo | Conteo | Edad | Sexo | Notas |
|--------------------------|----------------------------|--------------------------------|------|----------------------|----------|--------|------|------|---|
| CR18B-1-6-6, 2-3-3,3-3-5 | Craneal (1) | cráneo | | | 1 | | | F? | removido como bloque con el suelo circundante |
| CR18B-1-6-6, 2-3-3,3-3-5 | Craneal (2) | fragmentos craneanos | | | | | | | mayormente fragmentos de bóveda |
| CR18B-1-6-6, 2-3-3,3-3-5 | Craneal (3) | fragmentos craneanos | | | | | A | | suturas presentes |
| CR18B-1-6-6, 2-3-3,3-3-5 | Dientes | incisivo central superior | R | | 1 | | | | modificación dental (limado) |
| CR18B-1-6-6, 2-3-3,3-3-5 | Dientes | incisivo central superior | L | | 1 | | | | modificación dental (limado) |
| CR18B-1-6-6, 2-3-3,3-3-5 | Dientes | incisivo superior | U | | 1 | | | | modificación dental (limado) |
| CR18B-1-6-6, 2-3-3,3-3-5 | Dientes | canino superior | U | | 1 | | | | |
| CR18B-1-6-6, 2-3-3,3-3-5 | Mandíbula | mandíbula | M | | 3 | | | | probablemente del lado derecho del hueso |
| CR18B-1-6-6, 2-3-3,3-3-5 | Vértebras (1) | vértebras torácicas | M | | | | | | |
| CR18B-1-6-6, 2-3-3,3-3-5 | Vértebras (2) | vértebras torácicas | M | | | | | | |
| CR18B-1-6-6, 2-3-3,3-3-5 | Vértebras (3) | vértebras torácicas y lumbares | M | | | | | | solo fragmentos pequeños |
| CR18B-1-6-6, 2-3-3,3-3-5 | Costillas | costillas | | | | | | | mayormente lado izquierdo |
| CR18B-1-6-6, 2-3-3,3-3-5 | Costillas Derechas | costillas | R | | | | | | |
| CR18B-1-6-6, 2-3-3,3-3-5 | Primera costilla izquierda | primera costilla | L | | 1 | | | | |
| CR18B-1-6-6, 2-3-3,3-3-5 | Omóplato derecho (1) | omóplato | R | | 3 | | | | |
| CR18B-1-6-6, 2-3-3,3-3-5 | Omóplato derecho (2) | omóplato | R? | | 3 | | | | solo fragmentos pequeños |
| CR18B-1-6-6, 2-3-3,3-3-5 | Clavícula derecha | clavícula | R | | 2 | | | | |
| CR18B-1-6-6, 2-3-3,3-3-5 | Brazo derecho | fragmento no identificado | R | | | | | | |
| CR18B-1-6-6, 2-3-3,3-3-5 | Húmero derecho | húmero | R | P1/3, M1/3, D1/3, DE | 1 | | A | | |

| | | | | | | | | | |
|-----------------------------|--------------------------------|-------------------------|---|--------------------------------|---|---|---|---|--|
| CR18B-1-6-6, 2-3-3,3-3-5 | Radio derecho | radio | R | PE, P1/3, M1/3, D1/3, DE | 1 | | A | | |
| CR18B-1-6-6, 2-3-3,3-3-5 | Cúbito derecho | cúbito | R | PE, P1/3, M1/3, D1/3 | 1 | | A | | posible crecimiento óseo en el extremo proximal |
| CR18B-1-6-6, 2-3-3,3-3-5 | Mano derecha | metacarpo | R | | 3 | | | | |
| CR18B-1-6-6, 2-3-3,3-3-5 | Mano derecha | falanges proximales | R | | 1 | 5 | | | |
| CR18B-1-6-6, 2-3-3,3-3-5 | Mano derecha | falanges intermedias | R | | 1 | 3 | | | |
| CR18B-1-6-6, 2-3-3,3-3-5 | Mano derecha | falange distal | R | | 2 | 4 | | | |
| CR18B-1-6-6, 2-3-3,3-3-5 | Primer metacarpo derecho | primer metacarpo | R | | 1 | | | | Puede no ser MC1 |
| CR18B-1-6-6, 2-3-3,3-3-5 | Quinto metacarpo derecho | quinto metacarpo | R | | 1 | | | | |
| CR18B-1-6-6, 2-3-3,3-3-5 | Omóplato izquierdo | omóplato | L | | 2 | | | | |
| CR18B-1-6-6, 2-3-3,3-3-5 | Clavícula izquierda | clavícula | L | | 3 | | | | solo fragmentos pequeños |
| CR18B-1-6-6, 2-3-3,3-3-5 | Húmero izquierdo | húmero | L | PE, P1/3, M1/3, D1/3 | 1 | | | | |
| CR18B-1-6-6, 2-3-3,3-3-5 | Radio izquierdo | radio | L | P1/3, M1/3 | 2 | | | | |
| CR18B-1-6-6, 2-3-3,3-3-5 | Cúbito izquierdo | cúbito | L | PE, P1/3, M1/3, D1/3 | 1 | | A | | |
| CR18B-1-6-6, 2-3-3,3-3-5 | Mano izquierda | segundo metacarpo | L | | 2 | | | | |
| CR18B-1-6-6, 2-3-3,3-3-5 | Mano izquierda | tercer metacarpo | L | | 1 | | | | |
| CR18B-1-6-6, 2-3-3,3-3-5 | Mano izquierda | cuarto metacarpo | L | | 2 | | | | |
| CR18B-1-6-6, 2-3-3,3-3-5 | Mano izquierda | quinto metacarpo | L | | 2 | | | | |
| CR18B-1-6-6, 2-3-3,3-3-5 | Mano izquierda | falanges proximales | L | | 1 | 2 | | | |
| CR18B-1-6-6, 2-3-3,3-3-5 | Mano izquierda | falange intermedia | L | | 1 | 1 | | | |
| CR18B-1-6-6, 2-3-3,3-3-5 | Mano izquierda | falange distal | L | | 2 | 1 | | | |
| CR18B-1-6-6, 2-3-3,3-3-5 | Mano izquierda | falanges | L | | 2 | 2 | | | |
| CR18B-1-6-6, 2-3-3,3-3-5 | Coxis derecho (1) | coxis | R | | 2 | | | | removido como bloque con suelo; también contiene partes del sacro, fémur derecho y mano derecha |
| CR18B-1-6-6, 2-3-3,3-3-5 | Coxis derecho (2) | coxis | R | | 3 | | | U | solo fragmentos pequeños |
| CR18B-1-6-6, 2-3-3,3-3-5 | Coxis izquierdo | coxis | L | | 3 | | | | solo fragmentos pequeños |
| CR18B-1-6-6, 2-3-3,3-3-5 | Fémur derecho | fémur | R | P1/3, M1/3, D1/3, DE | 1 | | | | |
| CR18B-1-6-6, 2-3-3,3-3-5 | Rótula derecha | rótula | R | | 3 | | | | |
| CR18B-1-6-6, 2-3-3,3-3-5 | Tibia derecha | tibia | R | P1/3, M1/3, D1/3, DE | 1 | | A | | posible reacción periosteal en la diáfisis |

| | | | | | | | | | |
|------------------------------|---------------------------------|-----------------------------------|------|-------------------------|---|----|---|--|--|
| CR 18B-1-6-6, 2-3-3,3-3-5 | Peroné derecho | peroné | R | P1/3, M1/3, D1/3, DE | 1 | | | | reacción periosteal visible en varias partes |
| CR18B-1-6-6, 2-3-3,3-3-5 | Pies | pies | R, L | | | | | | partes de los pies derecho e izquierdo se removieron como bloque con suelo |
| CR18B-1-6-6, 2-3-3,3-3-5 | Pie derecho | falanges proximales | R | | 1 | 2 | | | |
| CR18B-1-6-6, 2-3-3,3-3-5 | Pie derecho | fragmentos no identificados | | | | | | | |
| CR18B-1-6-6, 2-3-3,3-3-5 | Calcáneo derecho | calcáneo | R | | 3 | | | | |
| CR18B-1-6-6, 2-3-3,3-3-5 | Navicular derecho | navicular | R | | 2 | | | | |
| CR18B-1-6-6, 2-3-3,3-3-5 | Cuboides derecho | cuboides | R | | 2 | | | | |
| CR18B-1-6-6, 2-3-3,3-3-5 | Primer metatarso derecho | primer metatarso | R | | 2 | | | | |
| CR18B-1-6-6, 2-3-3,3-3-5 | Segundo metatarso derecho | segundo metatarso | R | | 1 | | | | |
| CR18B-1-6-6, 2-3-3,3-3-5 | Tercer metatarso derecho | tercer metatarso | R | | 1 | | | | |
| CR18B-1-6-6, 2-3-3,3-3-5 | Cuarto metatarso derecho | cuarto metatarso | R | | 2 | | | | |
| CR18B-1-6-6, 2-3-3,3-3-5 | Quinto metatarso derecho | quinto metatarso | R | | 2 | | | | |
| CR18B-1-6-6, 2-3-3,3-3-5 | Fémur izquierdo | fémur | L | P1/3, M1/3, D1/3, DE | 1 | | A | | |
| CR18B-1-6-6, 2-3-3,3-3-5 | Rótula izquierda | rótula | L | | 2 | | | | |
| CR18B-1-6-6, 2-3-3,3-3-5 | Tibia izquierda | tibia | L | P1/3, M1/3, D1/3, DE | 1 | | | | Posibles espículas óseas en el tercio distal |
| CR18B-1-6-6, 2-3-3,3-3-5 | Peroné izquierdo | peroné | L | P1/3, M1/3, D1/3 | 2 | | | | |
| CR18B-1-6-6, 2-3-3,3-3-5 | Pie izquierdo | segundo metatarso | L | | 2 | | | | |
| CR18B-1-6-6, 2-3-3,3-3-5 | Pie izquierdo | tercer metatarso | L | | 1 | | | | |
| CR18B-1-6-6, 2-3-3,3-3-5 | Pie izquierdo | cuarto metatarso | L | | 2 | | | | |
| CR18B-1-6-6, 2-3-3,3-3-5 | Pie izquierdo | quinto metatarso | L | | 2 | | | | |
| CR18B-1-6-6, 2-3-3,3-3-5 | Hueso humano | fragmentos no identificados | | | | | | | |
| CR18B-4-2-3 | | mandíbula | M | | 2 | 10 | | | Rasgo 4 |
| CR18B-5-1-1 | | molar superior | L | | 1 | | | | |

Tabla 16.4 Inventario de restos óseos (CR33A)

| Lote | Bolsa | Hueso | Lado | Segmento | Completo | Conteo | Edad | Sexo | Notas |
|------------|-------------------|-------------------------------|------|------------|----------|--------|------|------|---|
| CR33A-20-5 | Diente 1 | molar inferior | L? | | 1 | 1 | | | |
| CR33A-20-5 | Diente 3&4 | incisivo central superior | R | | 1 | 1 | | | |
| CR33A-20-5 | Diente 3&4 | incisivo lateral inferior | R | | 1? | 1 | | | |
| CR33A-20-5 | Hueso 1-5 | fragmentos no identificados | | | | 3 | | | |
| CR33A-20-5 | Hueso 1-5 | costilla | U | | 3 | 1 | | | puede ser parte de una vértebra |
| CR33A-20-5 | Hueso 1-5 | vértebra atlas (C1) | M | NA | 3 | 1 | | | parte anterior apófisis odontoides |
| CR33A-20-5 | Hueso 7 | metatarso | U | | 3 | 1 | | | |
| CR33A-20-5 | Diente 2, Hueso 8 | incisivo lateral superior | L | | 1 | 1 | | | |
| CR33A-20-5 | Hueso 9 | fragmento no identificado | | | | 1 | | | puede ser parte de una falange de pie o cabeza de costilla, o no humano |
| CR33A-20-5 | Hueso 11 | peroné | R? | P1/3, M1/3 | 2 | 1 | | | |
| CR33A-20-5 | Hueso 12 | 1er (?) metacarpo | U | | 2 | 1 | | | |
| CR33A-20-5 | Hueso 14 | peroné | U | D1/3 | 3 | 1 | | | encaja con hueso 11 |
| CR33A-20-5 | Hueso 14 | fragmento medial, hueso largo | | | | 1 | | | peroné o radio o cúbito |
| CR33A-20-5 | Hueso 15 | fragmentos medios de costilla | | | | 2 | | | |
| CR33A-20-5 | Hueso 15 | fragmentos no identificados | | | | 3 | | | |
| CR33A-20-5 | Hueso 15 | vértebra lumbar | M | B, NA | 1 | 4 | | | en 4 piezas; depresión en superficie superior articular |
| CR33A-20-5 | Hueso 16-18 | fragmentos de costilla | U | | | 3 | | | |
| CR33A-20-5 | Hueso 16-18 | costilla | L | | 3 | 1 | | | extremo proximal; posible trauma sanado en superficie superior/externa |
| CR33A-20-5 | Hueso 16-18 | fragmentos no identificados | | | | 3 | | | |
| CR33A-6-6 | Hueso 19-20 | falanges proximales de pie | U | | 1 | 2 | | | incluye 1 del 1er dígito |
| CR33A-20-5 | Hueso 21 | 5to metatarso | L? | | 2 | 1 | | | extremo proximal dañado |
| CR33A-20-5 | Hueso 22 | 3er metatarso | L | | 2 | 1 | | | |
| CR33A-20-5 | Hueso 23 | falange intermedia de mano | U | | 1 | 1 | | | |

| | | | | | | | | | |
|--------------|--------------------|------------------------------------|---|-------|---|--------|--|--|---|
| CR33A-20-7 | Hueso 24 | fragmentos mediales, huesos largos | | | | 8 | | | encontrados dentro de vasija #2; 3 fragmentos asociados pueden ser de un radio o cúbito |
| CR33A-20-7 | Hueso 24 | Mandíbula (?) | M | | 1 | 1 | | | encontrado dentro de la vasija #2 |
| CR33A-20-5/8 | Hueso 26 | vértebra axis (C2) | M | B, NA | 1 | 1 | | | |
| CR33A-20-5 | Hueso 27 | fragmentos no identificados | | | | 7 | | | un fragmento puede ser parte de omóplato |
| CR33A-20-5 | Hueso 28 | fragmentos no identificados | | | | muchos | | | |
| CR33A-20-5 | Hueso 28 | 5to metatarso | L | | 2 | 1 | | | extremo proximal dañado |
| CR33A-20-5 | Hueso 28 | falange proximal de pie | U | | 1 | 1 | | | |
| CR33A-20-5 | Hueso 28 | falange intermedia de mano | U | | 1 | 1 | | | |
| CR33A-20-5 | Hueso 28 | falange proximal de mano | U | | 2 | 1 | | | |
| CR33A-20-5 | Hueso 28 | metacarpo | U | | 2 | 1 | | | |
| CR33A-20-5 | Hueso 28 | metacarpo | U | | 2 | 1 | | | |
| CR33A-20-5 | Hueso 28 | húmero | U | D1/3 | 3 | 2 | | | fragmentos no encajan pero probablemente son del mismo hueso |
| CR33A-20-5 | Hueso 28 | fragmentos vertebrales | | | | 22 | | | Conservación variable, 3 tipos presentes |
| CR33A-20-5 | Hueso 28 | fragmentos medios de costilla | | | | muchos | | | |
| CR33A-20-5 | Hueso 28 | costilla | U | | 3 | 1 | | | cabeza y parte media proximal |
| CR33A-20-5 | Hueso 28 | costillas | U | | 3 | 4 | | | cabezas de costilla |
| CR33A-20-5 | Hueso 28 | fragmentos mediales, huesos largos | | | | 5 | | | incluye piezas posibles de peroné y cúbito |
| CR33A-20-5 | Hueso 28 | fragmento no identificado | | | | 1 | | | quemados? (color blanco) |
| CR33A-20-5 | Hueso 28 | vértebras | M | B, NA | 2 | 6 | | | fusión de arcos y fusión parcial de cuerpos |
| CR33A-20-5 | Diente 5, Hueso 29 | fragmentos no identificados | | | | 8 | | | |
| CR33A-20-5 | Diente 5, Hueso 29 | falange intermedia de pie | U | | 1 | 1 | | | |
| CR33A-20-5 | Diente 5, Hueso 29 | falange proximal de mano | U | | 1 | 1 | | | |
| CR33A-20-5 | Diente 5, Hueso 29 | vértebra (cervical?) | M | B, NA | 2 | 1 | | | posiblemente torácicas superiores |
| CR33A-20-5 | Diente 5, Hueso 29 | cartilago calcificado (?) | | | | 1 | | | costal? garganta? |
| CR33A-20-5 | Diente 5, Hueso 29 | lunar | R | | 1 | 1 | | | |

CAPÍTULO XVII

PROYECTO REGIONAL ARQUEOLÓGICO LA CORONA: CONCEPCIONES Y COMPONENTE SOCIAL

Andrea Aguilar Ferro

Introducción

El presente informe recoge los resultados de una investigación de trabajo de campo en el Proyecto Regional Arqueológico La Corona (PRALC). El objetivo teórico de la investigación básicamente fue estudiar desde un punto de vista antropológico una temporada de campo del PRALC para describir la vida en el campamento y para divisar las diferentes perspectivas que tienen los actores del proyecto sobre éste y sobre la arqueología en general. El objetivo práctico, para que estuviera adaptado a su realidad, se definió a lo largo del trabajo de campo y se concretizó en la construcción de un taller participativo dirigido al personal sobre el proyecto y sobre la arqueología maya.

El campamento base del PRALC puede definirse como un espacio físico o un lugar en el cual existe una comunidad efímera, materializada principalmente en las diferentes temporadas de campo. Dicha comunidad tiene una población heterogénea y bastante particular en el sentido que muchas de las personas que en él viven tienen orígenes muy diversos, desde norteamericanos hasta guatemaltecos de los distintos departamentos del país. Y heterogéneas son también las experiencias y percepciones sobre arqueología y sobre el proyecto que conviven y se entrelazan dentro del mismo.

Por encontrarse colindante con la concesión de San Andrés Petén, AFISAP; y estar adentro de un área protegida; y por las presiones de tráfico de drogas, el sitio realmente se encuentra en una zona de muchas tensiones y presiones. Si bien el proyecto no tiene un impacto social directo, la comunidad más cercana queda a más de 100 km de camino. Es por ello que se debe rendir cuentas a entidades como CONAP, IDAEH y el Ministerio de Ambiente y Recursos Naturales (M. Canuto, com. pers.). En cuanto a la protección de La Corona como patrimonio cultural, quizá la institución clave sea el IDAEH ya que está en un corredor biológico independiente de alguna comunidad en específico. Empero, también tiene que mediar con el CONAP por encontrarse en área protegida.

El PRALC actualmente es apoyado principalmente por la Universidad del Valle de Guatemala y la Universidad de Tulane. El proyecto empezó hacia el año 2005, y a partir de entonces uno de los objetivos del PARLC es “*generar interés y estimular el desarrollo de las investigaciones arqueológicas, programas de conservación cultural y natural en el Parque Nacional Laguna del Tigre y sus Alrededores*” (Barrientos y Canuto 2010:17).

La coordinadora de logística y administradora del PRALC menciona que hace ya dos años se implementaron prácticas sostenibles en tres ejes principalmente: administración, ambiente y sociocultural. Es un tipo de sostenibilidad integral con esas tres bases, pues “si se quiere algo que dure tiene que pensarse así”. Podría decirse, entonces, que el proyecto se está pensando a largo plazo y con miras, objetivos y planes a futuro. No es un proyecto que vaya a durar 3 o 5 años, “esto va para más”. Es por esto que existe tanto énfasis en el campamento y además porque otros proyectos como Achiotal y los proyectos de reconocimiento, están conectados a este campamento base. A futuro, se quiere un campamento donde los actores involucrados en la región, CONAP, IDAEH e incluso los militares, puedan venir aquí y trabajar juntos para defender el patrimonio tanto cultural como natural (Montenegro,2011:CP).

Los proyectos de este tipo no producen nada de dinero y viven de donaciones de gente que cree en la investigación, en lo que hacen los arqueólogos y en el valor de la ciencia y de la investigación. Las primeras dos temporadas “fueron bien crudas aquí en la Corona, principalmente porque sólo había un par de carpas y un fogón que servía de cocina, no había nada de nada, todo era al aire libre y la gente traía lo que podía para mantenerse. La selva era más abundante y si llegaba la mala suerte de una lluvia fuerte todo se mojaba y muchas cosas se arruinaban”. Un incendio en 2008 llegó muy cerca del sitio y provocó muchos daños, y sobre ese antecedente surge la idea de hacer infraestructura duradera, que resistiera un incendio, como el block y materiales lo más resistentes posibles (A. Montenegro, com. pers.).

Preparar una temporada de campo para el PRALC toma alrededor de nueve meses, incluyendo la búsqueda de fondos, los permisos de IDAEH y CONAP, y la planificación. Básicamente casi todo depende de los fondos que se obtengan y eso va a definir lo que puede o no puede hacerse durante una temporada de campo (A. Montenegro, com. pers.).

En cuanto al personal se tiene apoyo de AFISAP para recomendar personas que tuvieran respaldo institucional. Desde el principio se trabajó con ellos y actualmente se están buscando fondos para proyectos de reconocimiento en su territorio. Incluso hay acuerdos para el futuro. Los principales mediadores entre AFISAP y el PRALC son los directores Tomás Barrientos y Marcello Canuto. Una de las principales problemáticas sociales con las que tiene que lidiar el proyecto es con la falta de constancia del personal, es muy difícil que las mismas personas que fueron contratadas en una temporada vuelvan a venir a la temporada siguiente; empero, en las últimas temporadas la continuidad ha sido bastante notable, probablemente debido a las comodidades que ahora puede ofrecer el campamento (A. Montenegro, com. pers.).

Marcello Canuto menciona que AFISAP es “de las concesiones más organizadas y en la que más se puede confiar”; además, juega un papel bastante importante para el PRALC pues de ahí vienen los ayudantes aprendices y proveen de maíz y algunos productos básicos al campamento. Canuto asegura que AFISAP es clave para la protección del sitio en un futuro, pues éste se encuentra en el límite de la concesión. Además, Montenegro, encargada de logística del PRALC, asegura que AFISAP tiene un rol clave para proveer personal, pues es la comunidad más cercana y podría disminuir costos y eventualidades logísticas al proyecto.

En cuanto a los planes a futuro del PRALC y específicamente del campamento, principalmente para el personal, es incrementar los pequeños proyectos sociales, aportes directos a ellos como personas. Se quisiera enseñarles algo en el horario entre cuando vienen y entre cuando les toca la cena. “Hay muchos que no saben leer y escribir y sería bueno quizá enseñarles algo así o talleres de arte o pintura”. En cuanto al campamento, pues se quiere seguir mejorando infraestructura, como un helipuerto o algo para alojar a otros científicos de otras disciplinas interesados en hacer investigación aquí y así también plantear una posible fuente de ingresos autónoma (A. Montenegro, com. pers.).

Metodología

Este trabajo de campo tuvo una duración total de 20 días, en las fechas del 30 de marzo al 18 de abril de 2011. El interés principal fue indagar en la concepción de la arqueología por parte de los distintos actores involucrados en el proyecto. Empero, al llegar a campo la pregunta se hizo un poco más amplia y se abordó el campamento y el trabajo de campo arqueológico desde

dos objetivos principales, uno teórico y uno aplicado. El objetivo teórico de la investigación básicamente fue estudiar desde un punto de vista antropológico una temporada de campo del PRALC principalmente para describir la vida en el campamento y para divisar las diferentes perspectivas que tienen los actores del proyecto sobre éste y sobre la arqueología en general. El objetivo práctico, para que estuviera adaptado a su realidad, se definió a lo largo del trabajo de campo y se concretizó en la construcción de un taller participativo dirigido al personal sobre la arqueología maya.

Se utilizaron métodos de observación participante y entrevistas con los involucrados en el proyecto. Se usaron métodos visuales como el Pile-sort para entrevistar a los arqueólogos y estudiantes de arqueología. Con los trabajadores se utilizaron entrevistas semi-estructuradas sin métodos visuales porque éstas eran entrevistas bastante largas; por cuestiones de tiempo y la cantidad de trabajadores no se pudo generar la confianza que hubiera requerido la otra entrevista. *“El pile-sort es usado principalmente para obtener respuestas de los juicios de similitud entre los elementos de un mismo dominio cultural. Se puede utilizar para obtener atributos que la gente usa para distinguir entre los elementos”* (Borgatti, 2008). Se usó el Pile-sort con un total de 30 tarjetas con distintas fotografías que incluyeron diversas imágenes, entre ellas: sitios arqueológicos excavados; ceremonias mayas; montículos; museos; libros; piochas; palas; vasijas; montañas; árboles; ruinas coloniales, paisajes, etc. La dimensión de las tarjetas fue de 4x3 pulgadas a color. Las tarjetas se codificaron con números del 1 al 30.

Se trabajó con aquellas personas que quisieron hacerlo y de forma completamente anónima. La entrevista para los arqueólogos se dividió en un total de tres etapas, siendo éstas:

Clasificación libre

1. Se pidió a las personas que hicieran bloques clasificatorios de las 30 tarjetas, agrupándolas por aquellas que se parezcan o que tengan algo en común.
2. Una vez agrupadas, se solicitó una explicación del por qué de dicha clasificación.

Clasificación “arqueológica”

1. Se pidió a las personas que separaran las tarjetas en lo que les parecía que era arqueología y en lo que no les parecía que era arqueología.
2. Se pidió también una explicación sobre el por qué de dicha clasificación.

Escala arqueológica

1. Esta última etapa de la entrevista consistió en que las personas escogieran una tarjeta que fuera la más representativa de la arqueología y una tarjeta que fuera la menos representativa o relacionada con la arqueología.
2. Nuevamente, se solicitó una explicación.

Las entrevistas a los co-directores y a la administradora del proyecto fueron más a modo de conversación informal y, en el caso de la administradora, a modo de conferencia dirigida a los estudiantes practicantes que estuvieron en el campamento alrededor de 1 semana. Para trabajar con el personal del proyecto, incluido equipo de cocina, mantenimiento y enfermería se desarrolló una guía de preguntas en el campo, considerando las sugerencias que hicieron varios estudiantes de arqueología y el director del PRALC. Las preguntas fueron:

- ¿De dónde es usted?
- ¿Cómo llegó al proyecto?
- ¿Cómo ve al proyecto?
- ¿Le gusta el proyecto?
- ¿Cómo se siente en el campamento?
- ¿Por qué trabaja aquí?
- ¿En qué otros proyectos ha trabajado?
- ¿En qué se diferencian los proyectos?
- ¿Qué es arqueología para usted?
- ¿Qué ha aprendido a lo largo de trabajar en proyectos de arqueología?
- ¿A qué se dedica normalmente?

La observación participante consistió en conocer varios espacios sociales que ocurren en una temporada de campo en el PRALC. Con los arqueólogos y estudiantes fue básicamente visitar las diferentes estaciones y puestos donde se hizo excavación y observar el trabajo de ambos. Esto incluyó jornadas con el equipo de mapeo cuyo trabajo consiste en buscar montículos que pueden estar cubiertos por vegetación alrededor del núcleo del sitio y hacer topografía de ellos para luego construir un mapa.

La observación participante, las entrevistas semi-estructuradas y las conversaciones informales fueron sistematizadas a modo de notas de campo. Las entrevistas realizadas a los arqueólogos fueron sistematizadas en excel, a modo de matriz de doble entrada. Con esta metodología se buscó una buena triangulación de los métodos visuales cognitivos, con los de observación participante y con los de conversaciones informales y entrevistas semi-estructuradas. La estadía en el campamento fue compartida con el equipo de arqueólogos, profesionales y estudiantes, puesto que el lugar de descanso, comida y jornadas estaban en su mayoría más compartidas con ellos que con los trabajadores.

La Pequeña Comunidad

El campamento base del PRALC puede definirse como un espacio físico o un lugar en el cual existe una comunidad efímera, materializada principalmente en las diferentes temporadas de campo. Dicha comunidad tiene una población heterogénea y bastante particular en el sentido que muchas de las personas que en él viven tienen orígenes muy diversos, desde norteamericanos hasta guatemaltecos de los distintos departamentos del país. La infraestructura del campamento es bastante elaborada y se ve durable para resistir las condiciones y la impredecible selva que la rodea.

La idea de hacer un campamento tan elaborado es bajar las presiones sobre el sitio que vienen de parte de los invasores, los protectores del área e incluso los narcotraficantes. Está hecho para enviar un claro mensaje: “venimos aquí y venimos aquí para quedarnos” (M. Canuto com. pers.).

El comedor y la cocina están en un mismo espacio, es bastante amplio, el techo es de lámina y las paredes de block y malla con mosquitero; el suelo de cemento. Hay en total seis mesas, cuatro para los trabajadores, una para el equipo de cocina y otra para los arqueólogos, la más grande y con una variedad de cosas en el centro. El espacio que comparten trabajadores, tanto cocineras, conserjes y excavadores, con los arqueólogos, tanto estudiantes como profesionales, es durante las horas de trabajo en el sitio y parte de las horas de comida, cuando se traslapan los horarios de comida. Los trabajadores comen siempre antes que los arqueólogos.

Para dormir, los trabajadores de excavación tienen un rancho bastante grande con aproximadamente 40 carpas en él; los demás, encargadas de comida y encargados de mantenimiento tienen otro rancho aparte, con 5 carpas; los estudiantes y profesionales de arqueología tienen ranchos individuales, bastante separados de las áreas en común, con sus carpas individuales cada uno. Aparte, hay dos ranchos para los visitantes, donde pueden colocarse alrededor de 6 carpas en cada uno.

Además hay una bodega de colchones y materiales constructivos que colinda con la enfermería y con la oficina administrativa. Frente a ella hay un laboratorio y un área de estudio que generalmente utilizan los estudiantes para analizar lo que encuentran en su día de trabajo o simplemente para descansar y compartir.

En promedio, y durante la primera temporada de 2011, el proyecto cuenta con un total de 50 trabajadores durante las temporadas de campo. De estos 50 trabajadores, 19 son excavadores, 19 ayudantes de excavador, 4 son cocineras, 4 de seguridad y 4 encargados de mantenimiento y ayudantes de cocina. En el caso de los excavadores y ayudantes de excavador, el origen de la persona dictamina su posición ya sea como excavador o como ayudante. Los excavadores vienen principalmente de la comunidad de Dolores, mientras que los ayudantes del Municipio de San Andrés¹; la idea a futuro es que los ayudantes aprendan de los excavadores y así el proyecto puede contratar únicamente a las personas de San Andrés. El trabajo que puede dar el PRALC a estas personas es, a excepción de los de seguridad que tienen una plaza permanente, meramente estacional.

Los aprendices y ayudantes de excavador de San Andrés son escogidos en un 70% por AFISAP; esto debido a problemas que tuvieron en otras temporadas. *“Se solicitó el apoyo de AFISAP... y así es como yo llegué aquí, gracias a que un socio me dio derechos temporales y pude optar a la plaza”*. El otro 30% se entera del proyecto por sus amigos o por otras personas que les comentan y preparan su papelería: antecedentes policíacos, carta de recomendación o poder y fotocopia de cédula o DPI. Generalmente se les confirma a través de una llamada que han obtenido el puesto.

El caso de Dolores es bastante interesante. Generalmente los proyectos llegan a Dolores a buscar excavadores cuando están a punto de empezar las temporadas de campo. La mayoría de excavadores doloreños llegó así, cuando la administradora del PRALC fue a Dolores a buscar personas que quisieran trabajar en La Corona. *“Nos buscan a nosotros porque tienen fama los doloreños de la experiencia”*. Hay excavadores doloreños que tienen más de 35 años de experiencia y hay otros que tienen entre tres y cinco. La mayoría siempre empezó como aprendiz de excavador, como los de San Andrés ahora, cuando tenían alrededor de 18 años.

Si bien una de las principales preocupaciones del PRALC es la continuidad de los trabajadores; puede decirse que se ha logrado una relativa constancia en cuanto a las personas que conforman la comunidad. Principalmente en cuanto a los excavadores de Dolores, pues para esta temporada solamente tuvieron que buscar a cuatro excavadores nuevos, el resto ya estaba trabajando aquí el año pasado. En cuanto a San Andrés, la constancia es relativamente menor, un 50% de los ayudantes siempre varía de temporada en temporada. Por esto y por la duración de los planes de trabajo en campo, plan 22, se conceptualiza la idea de la comunidad como algo relativamente efímero y estacional en el PRALC.

La mayoría del personal normalmente se dedica a la agricultura de maíz y frijol, tanto para “gasto” como para la venta, dependiendo de los precios que les ofrezcan y de la cantidad que les de la tierra. La mayoría vienen al proyecto porque tienen necesidad de mantener a sus familias, puesto que muchas veces la agricultura no sostiene. Otras profesiones que se encuentran en el personal son las de albañilería y maestros, principalmente de San Andrés. El caso de los maestros es bastante complejo, ellos literalmente están aquí porque se han quedado sin trabajo debido a que formaban parte del sindicato de maestros de San Andrés, y *“el alcalde desbarató el sindicato, y aunque empezaron a hacerse gestiones entre tanto se quedaron muchos maestros y personas sin trabajo”*. Según la administradora del PRALC, al ofrecer trabajo en un proyecto arqueológico, *“la idea es que la gente no sólo viva de agricultura pero que haya opción de otros trabajos, de otra profesión y oportunidad de otra fuente de ingresos para esa gente que tiene una vida muy dura”* (A. Montenegro, com.pers.).

Por otro lado están los arqueólogos y estudiantes de arqueología. En su mayoría vienen de Guatemala, de ciudades como la Capital o Xela. Han estudiado en la Universidad de San

Carlos de Guatemala y en la Universidad del Valle de Guatemala. Los estudiantes, por lo menos en esta temporada, fueron únicamente de la UVG. Hubo dos estudiantes que estaban por gira de una clase de Taller de Técnicas de Trabajo de Campo; y otra estudiante avanzada que vino para hacer una práctica. Normalmente, los arqueólogos graduados y tesisistas se dedican meramente a arqueología y varios han trabajado en la Fundación de Antropología Forense. Los estudiantes se dedican principalmente a estudiar. En Marzo únicamente trabajó una arqueóloga estadounidense, que está trabajando en su tesis doctoral. Empero, en otras temporadas ha habido otros extranjeros, de origen Francés y principalmente norteamericanos. Los arqueólogos y estudiantes llegaron al proyecto por contactos con los co-directores y por interés personal.

Como en la mayoría de comunidades y sociedades humanas, en ésta también existen jerarquías y contrastes bastante marcados, tal como en la sociedad guatemalteca. Existen muchas diferencias en cuanto a los distintos actores del proyecto, Marcello Canuto, por ejemplo menciona que entre él y los trabajadores *“hay muchas diferencias por ejemplo, muchos contrastes, en la educación, en la familia, en el lugar de origen, en la experiencia, en la forma de vida en general; pero así como hay diferencia entre ellos y yo, hay diferencia entre ellos y tú y entre tú y yo”*. Quizá el aspecto que llega a materializar más esta jerarquía sea el relacionado a los salarios. La administradora sostiene que sí hay jerarquías en el proyecto, pero que éstas son *“más que todo en cuanto a salarios”* (A. Montenegro, com. pers.). No gana lo mismo la encargada de la cocina que una cocinera, o un excavador que un ayudante, o un director que un arqueólogo.

Los grupos o categorías de personas que hay en el campamento son meros constructos sociales que han sido así establecidos para motivos del proyecto; es decir, las personas que hay aquí y las categorías como *ayudante de excavador, cocinera, excavador*, es lo que necesita el proyecto: necesita cocineras, arqueólogos, trabajadores, etc. Empero, cada quien puede percibirse a sí mismo como distinto, no definido por lo que hace, sino que las identidades pueden tener muchas fuentes, como el lugar de origen por ejemplo. Lo que sí es innegable es que la categoría a la cual pertenece una persona denota, hasta cierto punto, su estatus dentro de la pequeña comunidad.

La Vida en el Proyecto

El día empieza muy temprano en el campamento. Las mujeres de la cocina y algunos de los ayudantes de cocina y encargados de mantenimiento despiertan a las tres de la mañana para juntar leña y preparar los desayunos. Los trabajadores desayunan a las 6:00 y los arqueólogos a las 6:30; luego se van a sus respectivas excavaciones. La jornada empieza normalmente a las 7:00; todos caminan a sus lugares de trabajo, algunos a 500 m del campamento y otros a más de 1 km, dependiendo del lugar del sitio en el que excavan. Generalmente los trabajadores se adelantan para limpiar lo que pudo haber caído la noche anterior de los pozos de excavación.

Los estudiantes y arqueólogos generalmente supervisan las excavaciones y guardan el material que se saca en pequeñas bolsas de tela, controlando los pozos y lotes para luego analizar estratigráficamente lo colectado en el laboratorio. Las relaciones entre trabajadores, ayudantes y arqueólogos son muy amenas, un radio generalmente acompaña con música el tiempo de trabajo y siempre sale alguna que otra broma acerca de lo que se encuentra o de lo que hacen. Se toma un pequeño receso a media mañana y los trabajadores descansan y toman su refacción, café o mosh. El almuerzo es a las 12:00 del medio día para los trabajadores; media hora después es el turno de los arqueólogos. A esa hora el comedor se llena bastante y las cocineras tienen todo listo a esa hora para solamente servir los platos. Los menús son bastante variados, desde los convencionales frijoles hasta fajitas vegetarianas con tortillas de harina. Luego del almuerzo, el trabajo se retoma a la 1:00 PM. y todos finalizan su jornada a las 4:00 PM, excepto las cocineras.

Está prohibido estar en el sitio de noche, pero algunos salen de ahí a las 5:00 PM para hablar por teléfono en un árbol que está sobre el Palacio y al cual le construyeron una escalera, por ser el único lugar donde se alcanza señal de celular. Después de las 4:30 – 5:00 PM, el campamento está bastante lleno de gente. En su rato libre los trabajadores descansan en sus hamacas, juegan a las cartas o simplemente conversan con sus amigos, sobre *“cosas de la vida y de historias que lo que nos ha pasado a cada uno, como somos bien diferentes hay mucho para platicar”*. Los jóvenes comentan que el año pasado tenían cancha de fútbol, el cibal seco, pero ahora no tienen ni siquiera pelota, y sí les hace falta para entretenerse un rato y *“porque así jugando uno se hace más amigo de las personas porque casi no se conocen”*.

La cena es a las 6:00 PM para los trabajadores y a las 6:30 PM para los arqueólogos; y luego de cenar los estudiantes se toman un tiempo para analizar lo que encontraron y para descansar un poco en el estudio-laboratorio. Los trabajadores se entretienen conversando o viendo alguna película que les proyectan a la noche. A las 9:00 PM el silencio es casi absoluto, todos duermen en sus respectivos espacios.

El día de las cocineras es bastante duro y cansado. Despiertan desde las 3:00 AM casi todos los días y toman un pequeño descanso a media mañana para empezar alrededor de las 9:30 nuevamente con la preparación de la comida para el almuerzo. Y así es también, un breve descanso antes de empezar con la cena. Ellas son 4 y se han hecho amigas a partir del campamento; dos de ellas son amigas desde antes y una ha traído a su hija a trabajar aquí. El ambiente es bastante bueno y colaboran mucho entre sí al momento de dividirse labores, hacer tortillas, fresco y preparar o picar la comida principal. Una de ellas, la mayor, es la jefa de la cocina y la otra es cocinera y las otras dos son ayudantes de cocina junto al promotor de salud, que hace ambas labores dentro del campamento.

Los días son bastante parecidos y rutinarios; quizá el único día diferente sea el viernes pues es el día en el que generalmente llega la administradora a cerciorarse de que todo esté en orden y en buenas condiciones. Además, trae víveres para la cocina.

Los últimos días del plan son bastante diferentes y un tanto agitados, pues las personas, todas las personas en el proyecto, tienen muchas ganas de volver a sus hogares, o simplemente descansar y descontextualizarse un rato antes de volver. Son días de mucha expectativa para saber qué día salen y a qué hora. La administradora también llega los últimos días para entregar los cheques de pago al personal y para dejar todo ordenado y listo para empezar con el próximo plan que será en abril-mayo de este mismo año.

Concepciones (generalidades)

La arqueología tiene una concepción muy diferente, ya sea ésta vista con los ojos de un estudiante, de un profesional, de una cocinera o de un excavador; y diversas son también las concepciones que existen en torno al proyecto. Como se mencionó en las secciones anteriores la

comunidad efímera que se forma en las temporadas de campo en el PRALC es sumamente heterogénea. Los contextos de dónde han estudiado las personas o de dónde vienen y hacia dónde van hace que sus concepciones cambien.

En general, el personal no profesional, como excavadores, guardianes y cocineras, ven a la arqueología como estudiar a los antiguos, “sacar sus cosas y ver cómo vivían”. Y el PRALC es para ellos una oportunidad de trabajo, no muy distinta de muchas otras oportunidades en las que se han visto involucrados. Algunos excavadores tienen otras profesiones, como maestros o albañiles y mencionan que el PRALC es una alternativa para tener un ingreso extra. A pesar de ser una oportunidad de trabajo como muchas otras, varios mencionaron que el PRALC ha sido muy distinto de los otros proyectos en los que han trabajado, principalmente en cuanto a las comodidades y al ambiente.

Los estudiantes y los profesionales ven a la arqueología tal y como se ha enseñado en las distintas universidades. En Guatemala la USAC y la UVG son las únicas casas de estudios que ofrecen la carrera y en el PRALC se encuentran profesionales y estudiantes de ambas, sin embargo, sus concepciones sobre lo que hacen no distan mucho. La arqueología en general es definida como el estudio del pasado a través de restos materiales. Y el PRALC se concibe como uno de los proyectos más importantes que se están llevando a cabo en el área maya, debido a las respuestas que éste puede aportar en cuanto a las relaciones entre Tikal y Calakmul, ciudades titán de aquel entonces. Además, el PRALC es visto como una oportunidad de crecimiento profesional y para los estudiantes como un proyecto del cual podrían derivarse sus trabajos de graduación.

Para lograr obtener una visión más completa de las distintas concepciones que existen en torno a la arqueología y al PRALC se necesitaría de más tiempo en entrevistas y en conversaciones informales. Sin embargo, por motivos de la cantidad de personal, el tiempo de la estadía en el campo no fue suficiente como para lograr decir “estas son las concepciones”.

Taller: Introducción a la Arqueología

A raíz de las diferentes concepciones que existen en el proyecto sobre éste y sobre arqueología en general se planteó la idea, con los estudiantes de arqueología y arqueólogos, de hacer un taller de introducción a la arqueología como disciplina científica. La aceptación fue inmediata y hubo un consenso que incluso me sorprendió: todos estaban de acuerdo en el conocimiento que tenían los excavadores doloreños sobre arqueología; sostenían que si bien era su idea y su entendimiento, teníamos que dar el taller de tal forma que les diéramos el lugar que tienen dentro del proyecto.

Esta idea la planteamos al co-director del proyecto, quien en ningún momento mostró falta de apoyo o interés; además, a través del taller se pudo definir el objetivo práctico del trabajo de campo: lograr que fluyera información de ambas vías; los arqueólogos constantemente mencionaban el saber de los excavadores y que a través de ellos aprendían¹, pero ¿les devolvían algo directamente?. Además, la administradora del PRALC me indicó que una de las metas que tenía el proyecto era hacer actividades enriquecedoras para el personal; por lo que el taller iba también en dicha línea.

Faltaba una semana para regresar de campo al momento de plantear la idea; por lo que se hizo lo más pronto posible. Tres días fueron necesarios para prepararla de la manera más participativa posible entre los estudiantes; únicamente dos arqueólogos profesionales no quisieron contribuir directamente. Por motivos de número de personas, iba dirigido a las 50 que conforman el personal, y por motivos de tiempo, no se pudo construir algo netamente en conjunto. Solamente a través de las entrevistas con algunos miembros del personal se pudo sondear qué querían saber y qué necesitaban saber sobre arqueología y sobre el proyecto. Con los estudiantes de arqueología se decidió que la mejor forma, y que se prestaba para adaptarse a los recursos con los que se contaban, era hacer una presentación en Power Point; luego de la cena.

El taller estuvo dividido en tres partes: La primera, planteada en un inicio como una actividad grupal, consistió en hacer preguntas abiertas al personal, sobre arqueología, extranjeros, excavaciones y saqueo; la segunda consistió en un tipo de conferencia magistral

¹ Ejemplo de cita que hace referencia a: “La verdad cuando uno empieza uno aprende de ellos, pues tienen mucha experiencia en otros sitios, saben mucho de arquitectura y saben cuándo va a salir algo” (J. Ponce com. pers.).

impartida por los estudiantes de arqueología y el co-director del proyecto, aquí se trataba de dar una respuesta, desde el punto de vista académico, a las preguntas planteadas en un inicio; la tercera parte se planteó como una conclusión en la que se explicaba qué se podía saber a través de la arqueología y por qué el pasado era importante.

Las preguntas planteadas para la audiencia fueron propuestas por los estudiantes de arqueología. En un inicio se pensó en una sola pregunta, pero se consensuó en la importancia que podían tener las demás, y el grado de participación que se alcanzaría si se planteaban más preguntas. Éstas fueron:

1. ¿Qué es arqueología para ustedes?
2. ¿Por qué creen que los arqueólogos vienen desde lejos para excavar?
3. ¿Por qué creen que su trabajo como excavador o ayudante es importante?
4. ¿En qué se diferencia la arqueología y el saqueo?

Al principio de la actividad fue un poco difícil que se animaran a participar; pero luego contribuyeron más. Algunas de las respuestas que se obtuvieron a raíz de las cuatro preguntas fueron:

1. Arqueología es ver la vida de los seres antiguos; arqueología es ver en dónde y cómo vivían los mayas; arqueología es excavar.
2. Los arqueólogos vienen desde lejos para excavar por sus estudios; porque les interesa; porque es su trabajo.
3. El trabajo como excavador o ayudante es importante porque: “Somos la base principal del proyecto”.
4. Arqueología y saqueo se diferencian en cuanto a la manera en la que se excava; y en que la arqueología es a través de proyectos y de profesionales.

Luego de la primera parte se pasó a la conferencia. Algunos de los temas cubiertos fueron: ¿qué es arqueología para los arqueólogos?; ¿por qué la gente, local y extranjera, estudia arqueología?; los mayas; trabajo de campo arqueológico; trabajo fuera de campo; dificultades de la arqueología; resultados de la arqueología; e importancia. Básicamente, arqueología es para los arqueólogos reconstruir una sociedad del pasado en base a sus restos materiales. Las personas

estudian arqueología porque les interesa el pasado y porque pueden dar muchas respuestas a preguntas del presente como, ¿qué es ser humano en el mundo?. Sobre los mayas se dieron algunos datos que luego llevarían a confirmar que eso se sabe a través de la arqueología y así se explicó el proceso de trabajo de campo y fuera de éste. En cuanto a las dificultades, se mencionaron los fondos para los proyectos y los saqueos. Los resultados de la arqueología se resumen en: reconstrucciones, museos, libros, turismo e identidad. Y en cuanto a la importancia, se trató también de hacerla un asunto participativo, pero no con mucho éxito, en resumen: entender el pasado ayuda a entender el origen del presente.

Al concluir la conferencia por parte de los expositores, se dejó un espacio para preguntas por parte de la audiencia, no hubo ninguna; aunque varios de los arqueólogos y estudiantes comentaron que a los días siguientes algunos de los trabajadores con los que excavaban les habían comentado o preguntado más de algo sobre el taller. Al finalizar el taller también se preguntó sobre qué más les interesaría saber, o sobre qué les gustaría para otro taller. Algunos pidieron que explicaran cómo leer las escrituras de los mayas, otros, información del sitio La Corona. Al parecer, se contemplará la realización de un taller con alguno de los dos temas propuestos.

Este taller fue un paso clave para el PRALC, más aún si se mantiene a través del tiempo, pues el personal realmente quedó agradecido y es una forma bastante buena de generar más confianza entre arqueólogos y trabajadores. También fue como invitar a un diálogo entre los actores del proyecto para que el conocimiento fluya entre ambos de una manera más directa, y que las personas no sólo “vengan con el machete y se van con el machete”, sino que se lleven algo más que eso, conocer un poquito más sobre su propio trabajo y contextualizarlo en la ciencia o en la academia.

Conclusiones

El PRALC, en su Temporada de campo 2011 dio lugar a la existencia de una comunidad efímera, que duraría los meses de temporada. En dicha comunidad se pueden apreciar los contrastes, en educación, comodidades y jerarquías, que existen en la población guatemalteca pero de una forma bastante más palpable (por la cantidad de personas). El hecho de ser una comunidad bastante diversa no fue sinónimo de una comunidad conflictiva, más bien se percibió en general un ambiente agradable.

La antropología de la arqueología puede ser complicada, malentendida y malinterpretada. Sin embargo puede llegar a aportar muchísimo en proyectos como el PRALC, debido a que se pueden encontrar respuestas a preguntas interesantes como las que se plantearon en esta investigación. Además la antropología aplicada a un proyecto de arqueología dio como resultado un taller de intercambio de conocimiento que podría llegar a mejorar al proyecto en sí, en tanto arqueólogos y trabajadores tienen claro y en común lo que hacen y el por qué lo hacen.

La vida en el campamento del proyecto es bastante distinta a la vida que se tiene fuera de él, principalmente por las rutinas, pero sobretodo por las relaciones que se establecen a raíz de ésta. Por ejemplo, algunos arqueólogos siempre tienen a los mismos trabajadores porque desarrollaron confianza con ellos en temporadas pasadas o en antiguos proyectos. Asimismo, las funciones que cada quien desempeña son claves y constituyen en sí la totalidad que permite que el proyecto vaya en buen camino. Las concepciones que se tienen sobre arqueología y sobre el PRALC son muy diversas. Aunque en dicha diversidad podría residir su fortaleza, también podría residir su debilidad, pues todos hacen lo que hacen por motivos distintos. Por último, considero que es importante que las disciplinas de antropología y arqueología colaboren entre sí y que se promuevan un poco más los beneficios mutuos que se pueden obtener a partir de la relación entre disciplinas.



Figura 17.1 Entrevistas con los arqueólogos (Foto por A. Aguilar)



Figura 17.2 Personal de cocina (Foto por A. Aguilar)



Figura 17.3 Taller de arqueología con los trabajadores (Foto por A. Aguilar)

**PROYECTO REGIONAL ARQUEOLÓGICO LA CORONA:
RESULTADOS GENERALES Y CONCLUSIONES DE LA TEMPORADA 2011**

Marcello A. Canuto, Tomás Barrientos y Mary Jane Acuña

Introducción

Aquí se presentan los datos correspondientes a los resultados de la Temporada 2011 del Proyecto Regional Arqueológico La Corona de las universidades de Tulane y Del Valle de Guatemala. Esta información ha servido para desarrollar nuevas interpretaciones con respecto a los modelos de organización sociopolítica en las Tierras Bajas Mayas durante el período Clásico, en especial el impacto que tuvo la expansión del Reino *Kaan* a lo largo de una ruta comercial que se extendió hasta el límite sur de lo que actualmente es el departamento de Petén. Esta propuesta se basa en gran parte en la discusión de las características peculiares de La Corona, que comprenden rasgos de asentamiento, arquitectura y epigrafía.

Durante el período Clásico, la sociedad Maya de las Tierras Bajas estuvo dividida por la rivalidad entre sus dos mayores ciudades-estado: Calakmul en Campeche, México y Tikal en Peten, Guatemala. Un factor en esta rivalidad fue el “Camino Real” que dio a Calakmul acceso estratégico a las Tierras Bajas Centrales y a las Tierras Altas, el cual bordeaba la jurisdicción de Tikal. A lo largo de este camino se encontraba el centro de La Corona. Aunque se compone de unos pocos complejos arquitectónicos, contuvo monumentos donde sus gobernantes registraron sus numerosas asociaciones con la dinastía de Calakmul.

Curiosamente, el gran corpus de monumentos de La Corona no es consistente con su modesto tamaño ni con el estatus subordinado de sus gobernantes. ¿Significa entonces que esta inconsistencia hace único a La Corona? Desde 2008, investigaciones de campo a gran escala en La Corona han revelado que el registro epigráfico de este centro solamente muestra una parte de su historia. Los estudios de arquitectura, medio ambiente, reconocimientos regionales y el análisis de artefactos sugieren que el sitio tuvo una función, composición y secuencia histórica compleja.

Se sugiere entonces que La Corona—como muchos centros secundarios Mayas del Clásico—fue el resultado de negociaciones que constituyeron la base de la autoridad en la sociedad Maya. Aunque en la arqueología no son raros los debates sobre las fuentes que legitimaron la autoridad en las sociedades antiguas, los estudios en la región Maya han tendido a buscar un solo modelo que explique toda la variación que existió en este aspecto. Por lo tanto hay que tomar a La Corona como un centro secundario que funcionó como un foro donde se expresaron los discursos acerca de la naturaleza de la autoridad y su legitimación, y que puede ofrecer aportes importantes para entender la desconcertante complejidad del paisaje político del período Clásico Maya.

Ecología y asentamiento de la corona

La Corona se localiza en el límite occidental de la Meseta Cárstica Central de la Reserva de la Biósfera Maya (RBM) (Figuras 18.1, 18.2 y 18.3) y está dentro de una cadena de *sibales* en una zona que carece de ríos. La presencia de sitios en toda esta área es limitada hacia el oeste, ya que se inunda periódicamente y no es susceptible para el asentamiento humano. Hacia el este, el terreno se eleva continuamente en dirección a la meseta cárstica central de las Tierras Bajas, donde se ubican sitios como Tikal, Uaxactun, Naachtun y El Mirador. A unos pocos kilómetros al suroeste de La Corona se encuentran los nacimientos de los ríos Xan y Chocop, que drenan hacia el oeste hacia el Río San Pedro Mártir, el cual proveyó acceso hacia el Bajo Usumacinta y el Golfo de México (Figura 18.2).

Por lo tanto, La Corona es un sitio que está estratégicamente localizado en un área que 1) tiene drenaje suficiente para permitir asentamiento durante todo el año; 2) esta rodeada por una riqueza de *sibales* de agua dulce; y 3) controla las rutas ribereñas que conectan las Tierras Bajas Centrales con la costa del Golfo hacia el oeste.

La Corona se compone de dos “complejos” arquitectónicos principales con una serie de grupos piramidales y grupos residenciales intercalados entre ellos. El patrón del área nuclear del sitio sugiere que el factor primario para el asentamiento fue el drenaje, ya que se encuentra rodeado de varios *sibales* de agua fresca y se buscaron las áreas elevadas para la ubicación de sus construcciones.

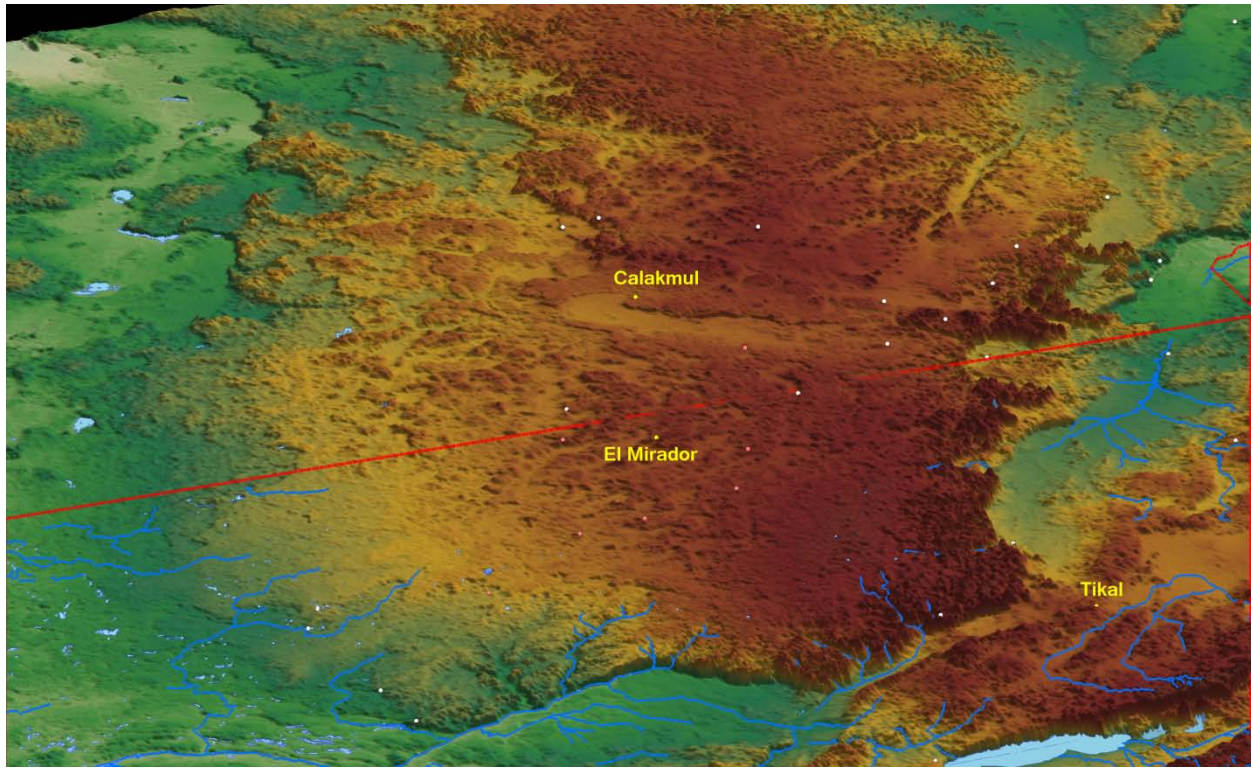


Figura 18.1 Modelo tridimensional de la Meseta Cárstica Central (Mapa por M. Canuto)

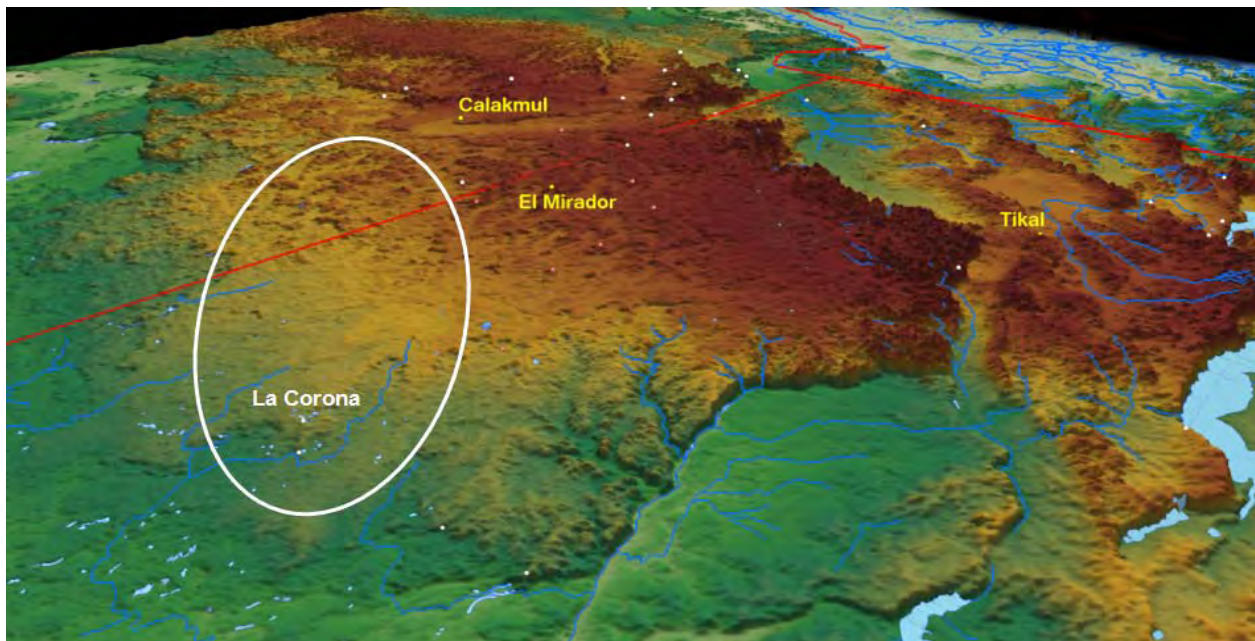


Figura 18.2 Ubicación de La Corona al oeste de la Meseta Cárstica Central (Mapa por M. Canuto)

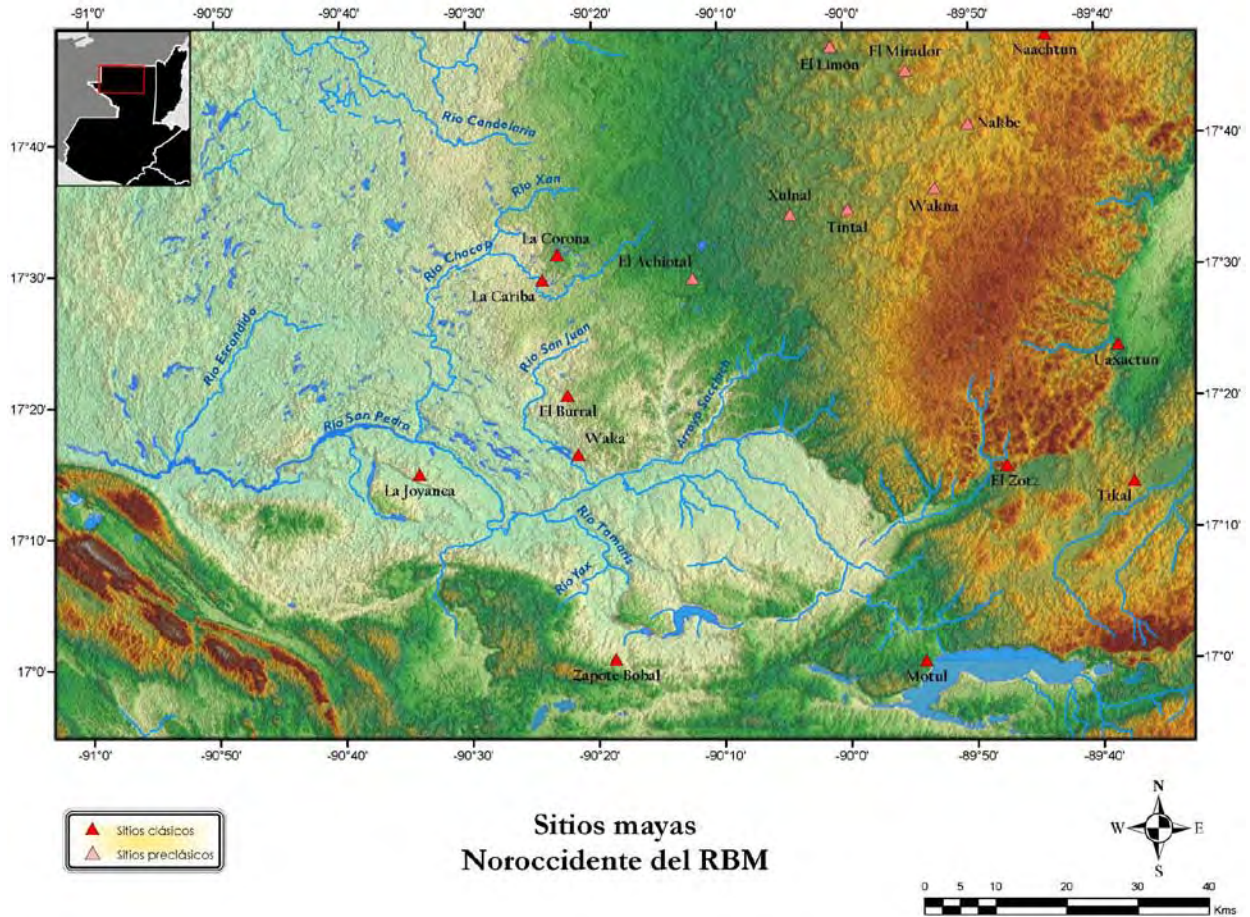


Figura 18.3 La Corona y otros sitios al oeste de la Meseta Cárstica Central (Mapa por M. Canuto)

Los complejos de arquitectura monumental que definen el centro de La Corona tienen singularidades que los distinguen entre sí. El grupo al oeste—llamado “Grupo Principal”—está construido en una elevación natural entre los dos sibales “pato” y “colmoyote” al norte y sur, respectivamente. Consiste de una plaza estucada cuadrangular de aproximadamente 10,000 m² rodeada de edificios monumentales y donde se encuentra la mayoría de altares y estelas. Destaca el complejo Palacio (Estructura 13Q-4) en el lado oeste de la plaza, que es un edificio tipo acrópolis cuyo basamento cubre alrededor de 4,000 m² y se eleva 10 m sobre la plaza, sosteniendo 4 patios internos y 10 estructuras en su etapa final. Hacia el sur se encuentra una aguada cuadrangular que pudo ser la cantera original que resultó de la construcción del Grupo Principal.

A unos 600 m al este del Grupo Principal se encuentra el Grupo Coronitas, dominado por un alineamiento de cinco templos que ven hacia el oeste. Al norte, el grupo está delimitado por una plataforma que contiene un conjunto de varios pequeños templos y residencias. Este grupo también está asociado a una aguada hacia el noreste.

Los edificios que se encuentran intercalados entre los dos grupos ya mencionados son mayormente de carácter residencial, aunque hay varias estructuras piramidales y plataformas largas que pudieron tener funciones más rituales y administrativas. El resto de grupos residenciales se encuentran ubicados en terrenos elevados ubicados en las orillas de los sibaes que se encuentran dentro y alrededor del sitio, creando así un patrón de asentamiento bastante lineal (Figura 18.4).

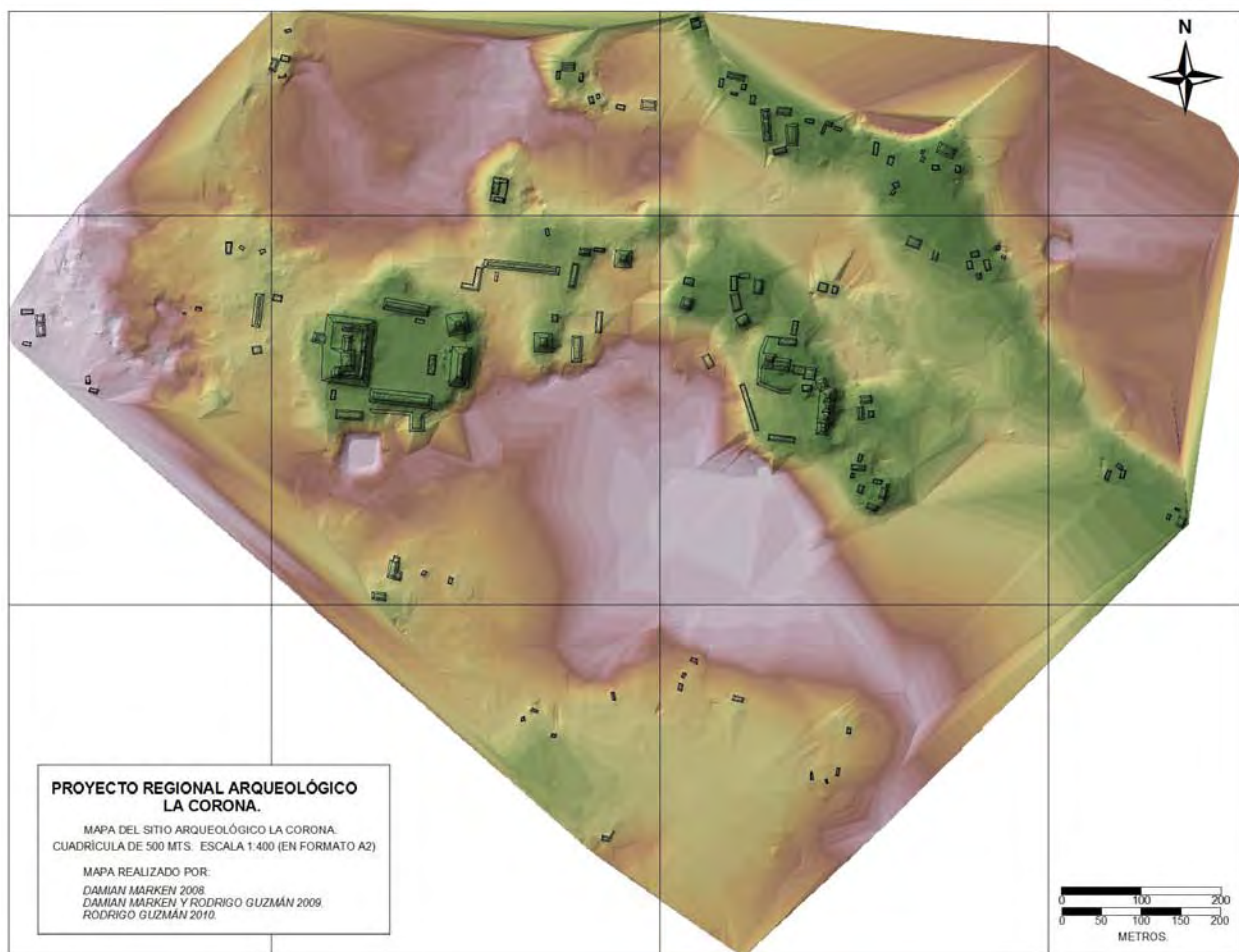


Figura 18.4 Mapa tridimensional de La Corona, Temporada 2011 (Mapa por R. Guzmán)

HISTORIA CULTURAL DE LA CORONA Y SU REGIÓN

Las excavaciones llevadas a cabo en La Corona hasta el momento han permitido dividir la historia de La Corona en seis fases principales:

Período Preclásico: El Achiotal

A 20 km al este de La Corona, El Achiotal es un centro ceremonial pequeño, localizado sobre un promontorio cárstico que se eleva 30-40 m sobre el nivel de bajos circundantes. Geográficamente, se ubica en una zona de ecotono entre la Meseta Cárstica Central y el área de bajos del noroccidente de Petén (Figura 18.5). Por esta razón, se propone que su ubicación es fronteriza respecto a la Meseta Cárstica Central.

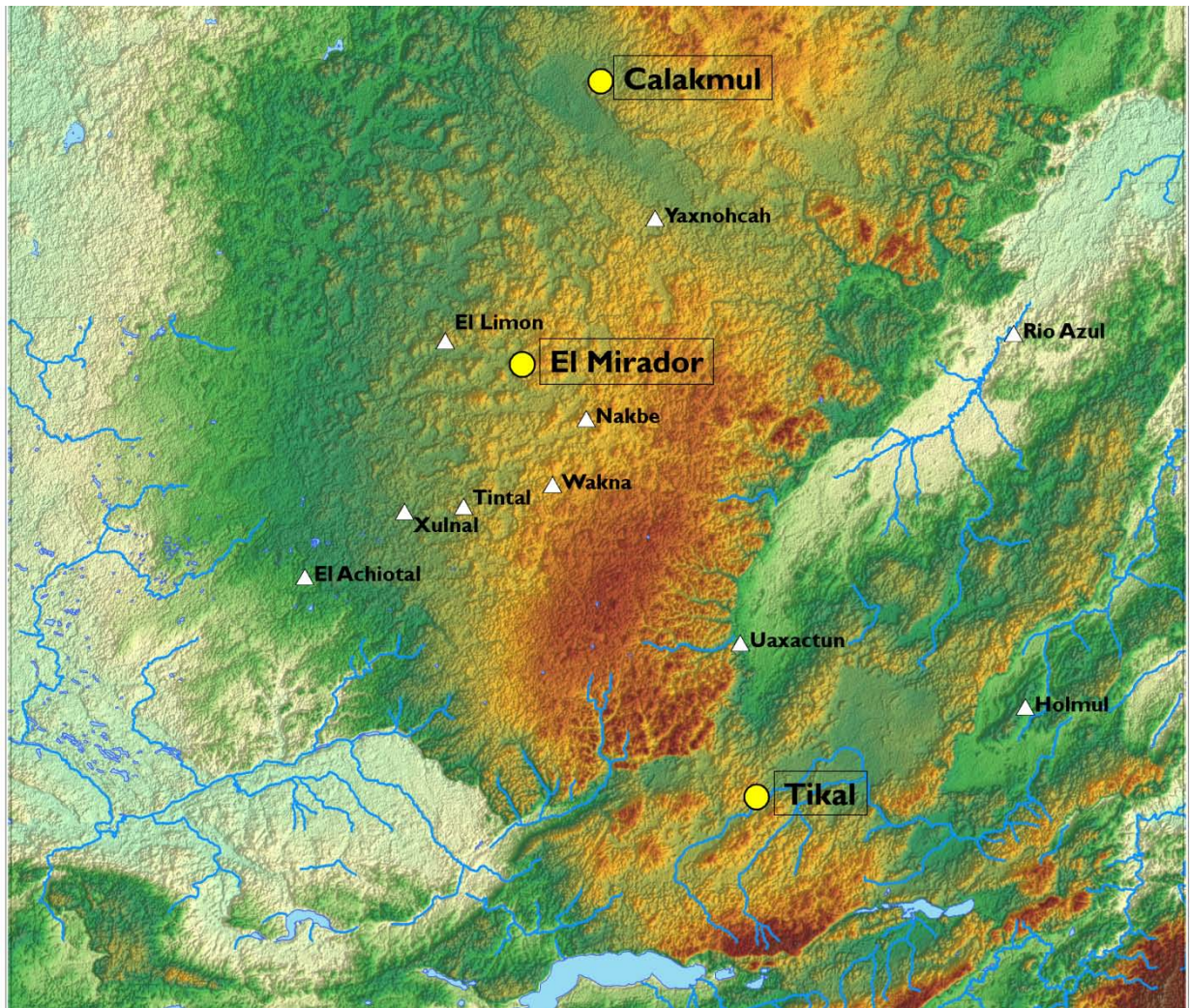


Figura 18.5 El Achiotal y otros sitios Preclásicos de la Meseta Cárstica Central (Mapa por M. Canuto)

La cronología de El Achiotal se ha reconstruido a partir de las excavaciones en su edificio principal, que es la pirámide 5C-01. Sus etapas más tempranas comprenden plataformas de tierra apelmazada, enterradas posteriormente por edificaciones de mampostería y pisos gruesos de estuco. La disposición de los primeros edificios de mampostería y la secuencia de pisos, sugiere que éstos estuvieron dispuestos alrededor de un patio sobre un gran basamento (Figura 18.6). A lo largo del Preclásico Tardío hubo modificaciones al arreglo espacial de los edificios, al igual que se fue elevando el nivel de patio. Sin embargo, la transformación más drástica se dio con la construcción de la Subestructura Jonon, la cual fue decorada en el exterior con murales en todas sus esquinas, sus jambas y el centro de los muros laterales y el muro posterior. Contaba con una escalinata de diez escalones estucados, y directamente sobre ellos se encuentra un mascarón de estuco modelado de dimensiones pequeñas (Figura 18.7).

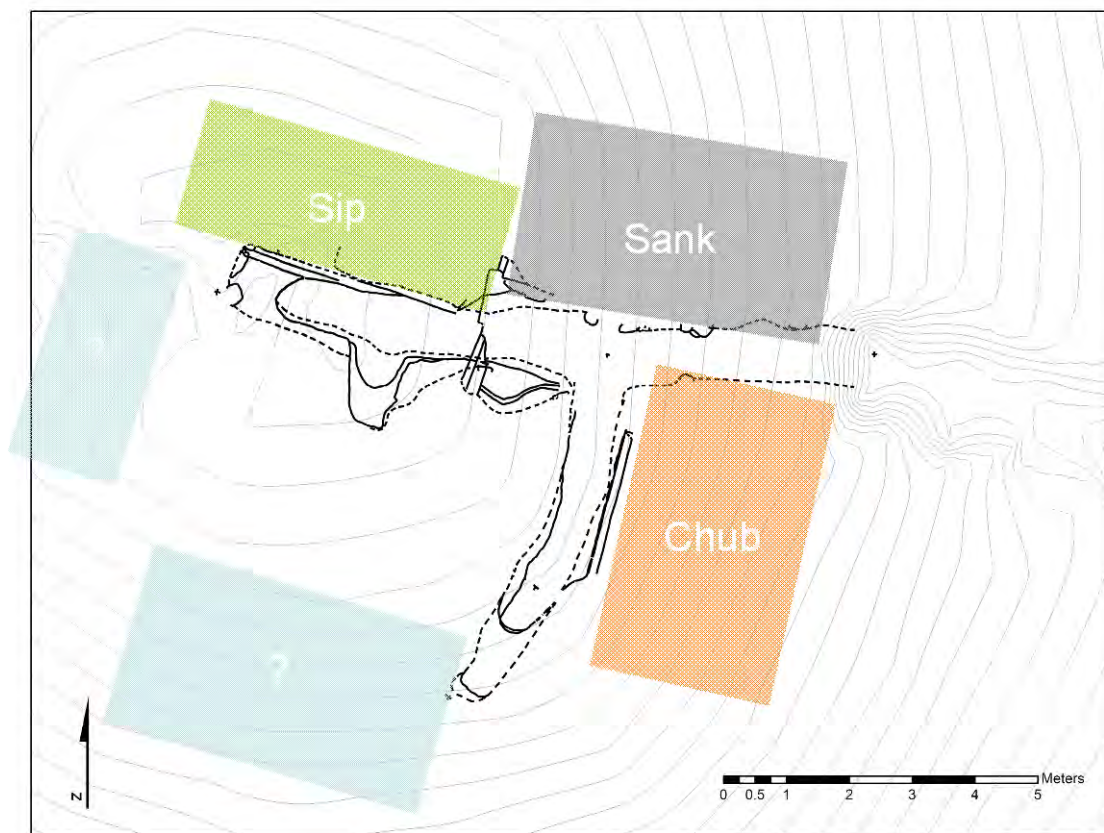


Figura 18.6 Posible primer plaza ceremonial en El Achiotal, Estructura 5C-01
(Mapa realizado por C. Chiriboga y M.J. Acuña)



Figura 18.7 Mural 1 y Mascarón 1, Subestructura Jonón, Estructura 5C-01, El Achiotal
(Dibujo y Foto por M.J. Acuña)

La simbología de los murales y el mascarón parecen ser indicativos de la presencia de un linaje real en El Achiotal, que fuera responsable por el desarrollo del centro ceremonial. Además, fue notorio por medio de la iconografía que dicho linaje estableció su afiliación como parte del desarrollo de la realeza divina Maya de las Tierras Bajas, una institución política e ideológica ya encaminada desde el Preclásico Medio. Sin embargo, la semejanza de la simbología de los murales con la iconografía Olmeca alude a una probable conexión con esa región durante y anterior a la construcción de la Subestructura Jonon. Se considera probable que debido a la ubicación estratégica de El Achiotal entre la Meseta Kárstica Central y las vías fluviales que conducen hacia el oeste, éste sitio haya mantenido contacto con ambas regiones, tal vez aprovechando el drenaje natural que comunica a El Achiotal con el río San Juan y eventualmente con el San Pedro.

Las modificaciones arquitectónicas del templo principal de El Achiotal continuaron hasta el final de Preclásico, cuando se enterró Jonon y las demás estructuras del patio para dar lugar a la construcción de la Subestructura Chen. Además de incrementar considerablemente el tamaño de la pirámide, se cambió levemente su eje central y su fachada fue decorada con grandes mascarones de estuco modelado con la efigie del Pájaro Principal, de manera muy semejante a otros sitios contemporáneos en las Tierras Bajas (Figura 18.8). La Subestructura Chen permite notar que hubo un cambio en el arreglo arquitectónico y en la elección del estilo decorativo e iconográfico, que va de acuerdo a los patrones puramente Mayas de los periodos Preclásico Tardío y Terminal.



Figura 18.8 Mascarón 2, Subestructura Chen, Estructura 5C-01, E Achiotal (Foto por M. Acuña)

Por lo tanto, la secuencia arquitectónica en el templo principal de El Achiotal permite hacer observaciones preliminares sobre la influencia y afiliación con otras regiones, en particular con áreas hacia el oeste de Mesoamérica y centros en la Meseta Cárstica Central.

Durante el Preclásico Tardío, probablemente en su faceta temprana y media, la construcción del grupo de patio cerrado representa el asentamiento formal de un linaje real en el sitio, posiblemente con interacciones entre ambas regiones y actuando como centro fronterizo. La construcción de la Subestructura Jonon, que toma la forma de un templo más formal en el eje de patio, refuerza esta propuesta por medio de sus murales. Éstos fueron pintados en un estilo diferente a los murales contemporáneos del área Maya y representan, en especial el Mural 1, una afiliación con la ideología que se asocia directamente con el culto al Dios del Maíz que se remonta en antigüedad a la ocupación Olmeca hacia el oeste. Aunque El Achiotal no es contemporáneo con los centros Olmecas, es posible que su linaje tuviera conexiones más directas con esa región, ya sea por medio de una descendencia directa o bien para establecer su afiliación con esa región legitimando el poder y el estatus de sus gobernantes de manera más autónoma de los centros de la Meseta Cárstica Central. Sin embargo, los cambios subsecuentes, con la construcción de la Subestructura Chen aluden a un cambio en la afiliación política, estableciendo con más fuerza su asociación con los centros Mayas.

Se propone que estos cambios reflejan variaciones en la afiliación política y/o en el nivel de autonomía de un centro Maya periférico, como resultado de las interacciones entre regiones culturales. Los resultados del análisis de carbón colocan el abandono de Jonon en la época cuando la estabilidad política de El Mirador tambaleaba, pero los esfuerzos constructivos continuaron y el sitio no es abandonado hasta el Clásico Temprano. Sin embargo, los cambios en arquitectura e iconografía podrían estar ligados a eventos que ameritan ser investigados.

Fase Ajen (300-520 d.C.)

Esta fase corresponde al período en que se da la incursión proveniente del Altiplano Central de México y subsecuente cambio de régimen dinástico en Tikal (Stuart 2000). Liderada por un individuo llamado *Siyaj K'ahk'*, esta “entrada” de teotihuacanos en 378 d.C. también fue registrada en sitios como Palenque y El Perú-Waka' (Freidel *et al.* 2007), los cuales se encuentran ubicados a lo largo de la entrada natural desde México Central hacia las Tierras Bajas Mayas, específicamente, a Tikal. Los gobernantes de Tikal forjaron alianzas con sitios como Uaxcatun, Caracol y Copan (Sharer 2003) y junto con El Perú-Waka', se creó una ruta de intercambio en las Tierras Bajas que permitió el flujo de jade de la región del Motagua y otros materiales del Altiplano Maya hacia el Altiplano Central de México (Figura 18.9).



Figura 18.10 Panel 6 de La Corona (Altar de Dallas) (www.DallasMuseumofArt.org)

Fase Naah Ek' (520-625 d.C.)

Esta fase abarca la mayor parte del siglo VI d.C. y corresponde al período inicial de la influencia de la dinastía *Kaan* en La Corona. En este momento, los gobernantes *Kaan* estaban establecidos en Dzibanché (Grube 2004; Martin 2004; Nalda 2004; Velásquez 2008); dos de estos monarcas, *Tuun K'ab Hix* y Testigo del Cielo, apoyaron al gobernante de Caracol *Yajaw Te' K'inich* a derrotar a Tikal en 562 d.C. (Martin 2005a). Durante este período, la dinastía *Kaan* estableció nexos y alianzas tanto al este como al oeste de Tikal. Al oeste, hay evidencia que sugiere que varias princesas de la dinastía *Kaan* se asociaron con gobernantes de La Corona, El Perú-Waka' y El Zotz (cf. Houston 2008). Como resultado de estas iniciativas, la dinastía *Kaan* desafió la hegemonía de Tikal en las Tierras Bajas.

Registro Epigráfico

En La Corona, esta fase contiene un registro epigráfico que muestra la creciente importancia del sitio como parte de la expansión del Reino *Kaan* hacia el sur. Sin embargo, la evidencia arqueológica sugiere que los gobernantes de La Corona en el siglo VI d.C., a pesar de contar con un poderío local, no tuvieron acceso a la importación de materiales exóticos de prestigio. De acuerdo al Panel 6 de La Corona, en el año 520 d.C. la señora *Naah Ek'* llegó a La Corona como la esposa del gobernante “Buitre”, el único monarca de La Corona en ostentar el título de “sagrado” (*k'uhul*). Esta llegada se presenta como un evento de fundación asociada al uso de iconografía teotihuacana y el retrato de una efigie de una deidad. En 544 d.C. “Buitre” también llevó a cabo un ritual de fin de período pero no se tiene ningún otro evento dinástico registrado para la segunda parte del siglo VI d.C.

Grupo Coronitas

Arqueológicamente, el complejo de cinco templos presenta evidencia que su penúltima fase constructiva esta asociada con una función funeraria. Las excavaciones en las Estructuras 13R-2, 13R-4 y 13R-5 han registrado los restos de tres tumbas formales (dos de las cuales estaban saqueadas). Fechas de radiocarbono provenientes de los huesos indican una fecha correspondiente al inicio del siglo VI d.C., aunque las tumbas no necesariamente fueron depositadas en el mismo momento. Por lo tanto es posible que cubran un período amplio, desde la fase *Ajen* hasta el inicio de la fase *Naak Ek'*.

En 2011 se descubrió el Entierro 6, una tumba intacta asociada a la primera fase de la Estructura 13R-2, que puede ser tentativamente fechada a la fase *Naah Ek'* (Figura 18.11). La tumba contenía los restos de un individuo de sexo masculino mayor de 40 años, colocado en un eje este-oeste y con varias ofrendas que incluyeron 15 vasijas cerámicas (solamente una policromada), un cocodrilo, conchas de agua dulce y algunas cuentas de concha y cerámica. La cámara de la tumba fue cortada dentro de la roca madre en la parte posterior de la Estructura 13R-2 y su techo consistió de dinteles de madera que fueron cubiertos por un cielo falso hecho con petates, los cuales dejaron su impresión en el barro que fue usado para sellar la tumba. La tumba también fue cubierta por una capa gruesa de unas 25,000 lascas de pedernal y unas 1,000 lascas de obsidiana.



Figura 18.11 Entierro 6 de La Corona: ubicación en la Estructura 13R-2 y ofrendas (Dibujos por J. Baron y foto por C. Guirola)

A partir de las excavaciones recientes se puede interpretar que la primera versión del Grupo Coronitas fue cubierta por templos funerarios asociados a la familia real de La Corona durante el final de la fase *Ajen* e inicios de la fase *Naah Ek'*. En el caso de las tumbas bajo la segunda versión de las Estructuras 13R-2, 13R-3 y 13R-4, su estratigrafía indica que fueron edificios construidos de forma secuencial y en distintas épocas, cada uno conteniendo una tumba de un gobernante.

Fase Yuknoom (625-700 d.C.)

Esta fase corresponde a la mayor parte del siglo VII d.C., cuando la sede de poder de la dinastía *Kaan* se trasladó desde Dzibanché a Calakmul, a partir del gobierno de “*Yuknoom Cabeza*” (Martin 2005b; Tokovinine 2007). Sus sucesores, *Yuknoom Ch'een* y *Yuknoom Yich'aak K'ahk'*, gobernaron sobre una red extensa de alianzas y crearon el mayor estado regional en la historia de las Tierras Bajas Mayas. Ambos gobernantes se mencionaron con bastante frecuencia en los textos de La Corona, sugiriendo un involucramiento muy fuerte en el desarrollo político de La Corona. En este período, las alianzas con Dos Pilas y Cancuén ayudaron a extender la influencia del Reino *Kaan* hacia el sur, creando una ruta que corría alrededor de 250 km desde Calakmul hasta Cancuén (Freidel *et al.* 2007), atando una cadena de sitios que incluyeron Uxul, La Corona, El Perú-Waka', Hix Witz, y Dos Pilas. A lo largo de este camino transitaban bienes preciosos, tales como jade y conchas *spondylus*, que proveyeron de una riqueza “liquida” a las entidades políticas por las cuales pasaba la ruta (Figura 18.12).

Registro Epigráfico

Esta fase contiene la mayor cantidad de información epigráfica en La Corona, por lo que ha sido llamada la “Era Dorada”, la cual abarca cuatro gobernantes que comprenden tres generaciones de una sola línea familiar (Figura 18.13). El primer gobernante, *Sak Maas*, fue entronizado en 625 d.C., y su muerte en 655 d.C. fue violenta, ya que se cuenta que murió por el “filo de una piedra (cuchillo)”. Fue sucedido por *K'uk' Ajaw*, quien reinó poco tiempo, ya que murió de la misma manera que su predecesor a los tres años de tomar el poder. Resulta importante que el sucesor de *K'uk' Ajaw* fue el hijo de *Sak Maas*, llamado *Chakaw Nahb Chan*, quien parece restaurar la línea dinástica después de una competencia de facciones dentro de la corte real.

Además, es interesante que a solo un mes de tomar el poder, *Chakaw Nahb Chan*'s realizó como primer acto de gobierno la construcción de tres templos en honor a los tres dioses patronos llamados *Yax Ajaw*, *K'an Chahk*, y *Chak Wayib* "Gran Templo" *Chahk*. Estos templos se construyeron sobre los templos funerarios de los antiguos reyes de La Corona, como una forma de cancelar su culto como ancestros.

Mientras *Chakaw Nahb Chan* gobernaba, sus dos hijos vivieron en la corte de Calakmul, antes de convertirse en reyes de La Corona. El mayor de los dos, *K'inich ? Yook*, partió a Calakmul en 664 d.C. y permaneció allí por tres años hasta la muerte de sus padres en 667 d.C., cuando retornó a La Corona para realizar los ritos funerarios y tomar el poder. Subsecuentemente se casó con una princesa de Calakmul en 679 d.C. Su hermano menor, *Chak Ak'aach Yuk*, también gobernó en La Corona y estuvo en el poder por casi 20 años.

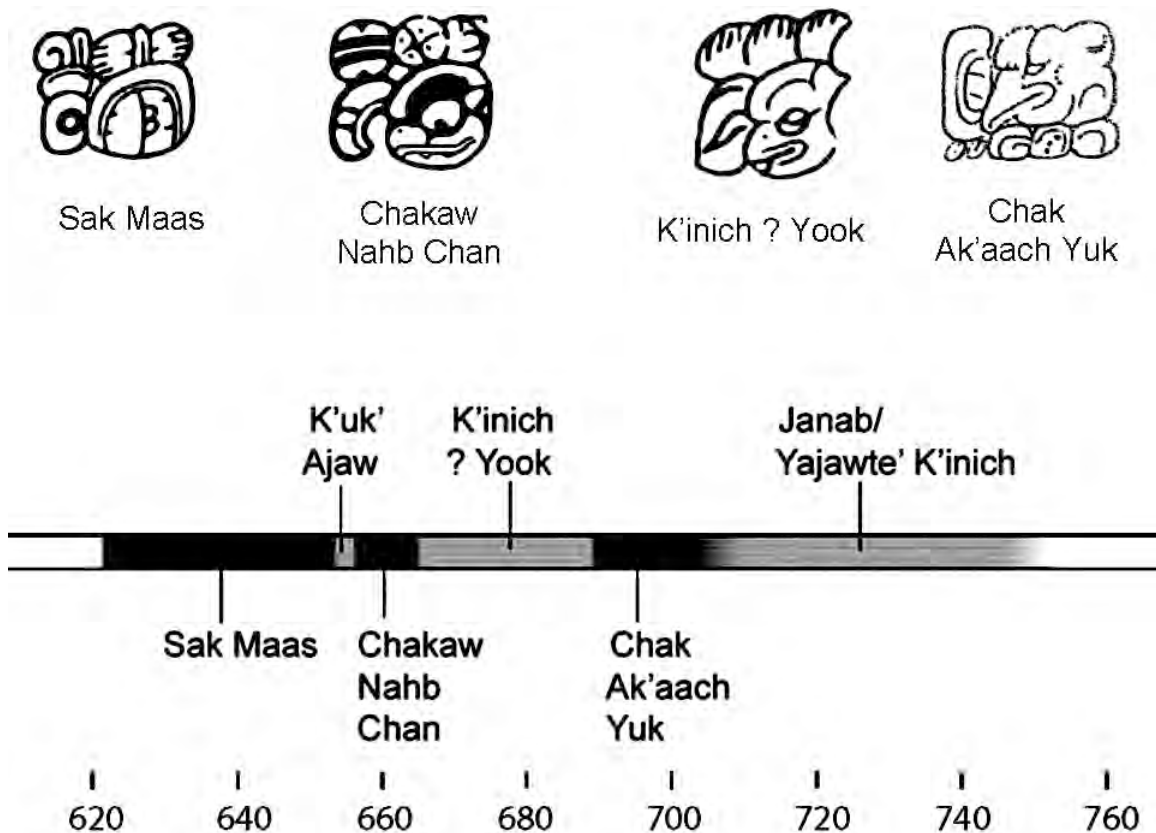


Figura 18.13 Tabla cronológica de los gobernantes de La Corona durante la "Era Dorada"
(Cuadro hecho por J. Baron y modificado por M. Canuto y T. Barrientos)

Grupo Coronitas

Durante este período este grupo sufrió cambios significativos en su función, aunque los cambios arquitectónicos en sí fueron de carácter modesto. La estratigrafía y el texto del Panel 1 indican que a mediados del siglo VII d.C., *Chakaw Nahb Chan* construyó tres templos dedicados a deidades patronas en una sola fase constructiva. Esta remodelación incluyó la elevación del nivel de las plataformas anteriores por una altura de casi 1 m, así como nuevas escalinatas en las fachadas occidentales y la erección de cámaras con techos pencederos (Figura 18.14).



Figura 18.14 Reconstrucción hipotética de las tres pirámides centrales del Grupo Coronitas

Durante el gobierno de *K'inich ? Yook* se realizaron más cambios al complejo arquitectónico, ya que la Estructura 13R-5 también se modificó para convertirse en templo dedicado a una deidad patrona. Asimismo, este gobernante fue responsable de la construcción de las Estructuras 13R-9 y 13R-10, en la plataforma norte del grupo. La Estructura 13R-10 es una residencia elitista que pudo haber funcionado para diversas actividades (Figura 18.15) y directamente al oeste se erigió la Estructura 13R-9, un pequeño templo que contenía un escondite dedicatorio compuesto por ofrendas marinas e instrumentos para autosacrificio (Figura 18.16). Atrás de estas estructuras se construyó un gran patio elevado que se usó para fiestas y otras actividades rituales, tal como se evidenció por un gran depósito de cerámica policromada y un *chultun* lleno de cerámica en la parte posterior de la Estructura 13R-10.



Figura 18.15 Estructura 13R-10 durante su excavación en 2011 (Foto por T. Barrientos)



Figura 18.16 Vasija, navajas de obsidiana, bifacial de pedernal y objetos marinos provenientes del escondite encontrado en la Estructura 13R-9 (Fotos por C. Guirola)

El descubrimiento de dos nuevos bloques de la Escalinata Glífica 3 en la Fachada Sur de la Estructura 13R-10 permite ahora conocer su ubicación original (Figura 18.17). Esta pudo ser dedicada en dos fases, siendo la primera correspondiente al reinado de *K'inich ? Yook*. El texto provee un registro histórico del padre y abuelo de *K'inich ? Yook*, con detalles importantes como un episodio de festividades rituales donde el rey participó bebiendo y ofreciendo pulque. Es posible que toda esta actividad de fiestas llevadas a cabo en este patio se relacionara con la veneración a las deidades, ya que dichas prácticas se han documentado etnográficamente en el área Maya como parte de las fiestas dedicadas a los santos.



Figura 18.17 Bloques IX y X de la Escalinata Glífica 3, descubiertos en 2011 (Fotos por J. Baron)

Grupo Principal y Palacio

Durante este período, el Grupo Principal fue el foco de gran actividad constructiva. Hasta el momento se ha evidenciado que la Estructura 13Q-2 contaba con un basamento de 9 m de altura y una escalinata de acceso finamente estucada. También es posible que la Estructura 13Q-1, ubicada en la esquina noreste de la plaza, corresponda a esta época y haya sido construida como el monumento funerario de la primera princesa de Calakmul o algún otro miembro de la dinastía de La Corona (Figura 18.18).

En esta época las Estructuras 13Q-3 y 13Q-5, que delimitan la plaza en sus lados norte y sur, también fueron remodeladas e incluyeron entierros de nobles de alto rango. En el caso de la Estructura 13Q-3, se colocó el Entierro 3, correspondiendo a un individuo cuyas ofrendas consistieron de dos platos policromados, dos conchas *Spondylus*, un collar de cuentas de jade, un collar de cuentas de concha *Spondylus* naranja y un collar de cuentas de concha *Spondylus* color corinto (Figura 18.19).

Estas ofrendas contrastan con las del Entierro 6, indicando así que La Corona ya participa en la red de intercambio a larga distancia del Reino *Kaan* y por lo tanto se importan objetos exóticos de prestigio.



Figura 18.18 Reconstrucción hipotética de las Plaza Principal: Estructura 13Q-4 (Palacio) en primer plano y Estructuras 13Q-1 y 13Q-2 al fondo



Figura 18.19 Ofrendas del Entierro 3, descubierto en la Estructura 13Q-3 (Foto por C. Guirola)

En el Palacio se llevó a cabo una gran nivelación que cubrió la primera versión de la acrópolis, que corresponde al piso identificado como *Cocochan*. Sobre éste se colocaron varias estructuras que han sido investigadas en la parte sur del complejo palaciego, de las cuales se han identificado una bajo la Estructura 13Q-4A y otra bajo 13Q-4E, sugiriendo que la distribución espacial de las superestructuras pudo mantenerse durante todo el desarrollo constructivo de la acrópolis. Estas dos subestructuras presentan arquitectura de alta calidad, con rellenos compactos, muros y escalinatas finamente estucados y restos de pintura (Figura 18.20). La alta calidad de estos edificios sugiere que esta fase fue una época de desarrollo arquitectónico enfocado en el Grupo Principal y posiblemente como resultado de las visitas de princesas y otros miembros de la dinastía *Kaan* de Calakmul. Dado que el Palacio presenta la más alta calidad arquitectónica hasta ahora documentada en La Corona, es también muy probable que esta haya sido la residencia de estas mujeres importantes.



Figura 18.20 Piso estucado de la Estructura 13Q-4A y escalinata de subestructura (Foto por L. Padilla)

Fase Ti' Kaan (700-750 d.C.)

Esta fase cubre la primera mitad del siglo VIII d.C. cuando empieza a decaer la influencia de la dinastía *Kaan* por todas las Tierras Bajas Mayas, todavía persiste en La Corona. Este decaimiento fue marcado por las derrotas militares de los gobernantes de Calakmul *Yuknoom Yich'aak K'ahk'* y *Yuknoom Took' K'awiil* por parte de Tikal en los años 695 d.C. y 736 d.C. respectivamente. Además, Tikal también atacó a los principales aliados de Calakmul, como el caso de la derrota del gobernante de El Perú-Waka' *Bahlam Tz'am* en 743 d.C.

Registro Epigráfico

La Corona permaneció como un importante aliado de los reyes *Kaan* por ser un centro clave para la defensa de sus intereses en la región. El gobernante de La Corona *Yajawte' K'inich*—seguramente el hijo de *K'inich ? Yook* y nieto de *Yuknoom Chen* de la dinastía *Kaan*—gobernó la mayor parte de este período. Aunque no se tiene fecha de su entronización, se sabe que en 721 d.C. desposó a una tercera princesa de la dinastía *Kaan*, llamada *Ti' Kaan Ajaw*, hija del gobernante de Calakmul *Yuknoom Took' K'awiil*. Diez años más tarde ambos celebraron juntos el fin de período 9.15.0.0.0. *Yajawte' K'inich* y su esposa pudieron haber sido retratados en un altar del sitio La Cariba—un centro satélite de La Corona—donde se conmemora el fin de período 9.15.15.0.0 y que corresponde al año 746 d.C. Si este fuera el caso, su reino parece haber sido estable y pudo sobrevivir hasta que El Perú-Waka' fue derrotado por Tikal. No obstante, después de esta fecha no hay ningún registro en La Corona hasta 785 d.C.

Grupo Coronitas

La actividad constructiva disminuyó gradualmente en el Grupo Coronitas ya que solo se han documentado pequeñas remodelaciones en las Estructuras 13R-9 y 13R-10 y algunos agregados menores en los templos principales del conjunto oriental. Destaca la colocación de la segunda fase de la Escalinata Glífica 3, ubicada en la fachada de la Estructura 13R-10, posiblemente dedicada por *Yajawte' K'inich*. Las excavaciones extensivas en esta estructura sugieren que fue modificada en su plan interior, posiblemente indicando un cambio de función residencial a una más relacionada a la producción artesanal, preparación de alimentos y almacenaje, aunque todavía hay bastante evidencia que indica la continuación de actividades rituales y de fiesta en el patio posterior.

Grupo Principal y Palacio

El Grupo Principal continúa con bastante actividad constructiva en este período, ya que parece ser el momento en que se realizaron las últimas versiones monumentales del Palacio y la Estructura 13Q-2. En el basamento principal del Palacio, esta fase parece relacionarse con el piso denominado Halcón, que cubrió totalmente las estructuras de la fase previa mediante un relleno de 2 m de alto y proveyó espacio para la construcción de nuevos edificios con numerosas cámaras y decoraciones de escultura en estuco. También incluyó la construcción de una alta plataforma en la parte central del complejo, posiblemente para albergar estructuras precederas en su cima. Sin embargo, a pesar que las construcciones de esta fase adquieren dimensiones monumentales, la calidad de sus materiales y técnicas constructivas son de menor calidad en comparación a las fases anteriores.

Fase Ix Mutal (750-820 d.C.)

Esta fase representa el período final de la historia dinástica en La Corona y se desarrolla en un contexto de fragmentación política en las Tierras Bajas Mayas, donde la dinastía *Kaan* parece haber desaparecido de Calakmul para siempre. Sin embargo, el sitio de La Corona tiene éxito en establecer una nueva alianza a larga distancia y esta vez es con Tikal, aunque para este momento ya es una entidad política que ha sufrido una reducción drástica en tamaño e influencia regional.

Registro Epigráfico

Para entender este período tardío en la historia de La Corona es muy importante el Altar 4, ubicado en la plaza del Grupo Principal. Su inscripción registra la llegada de una mujer noble a La Corona en 791 d.C., cuyo nombre y título se desconocían, pero un fragmento descubierto en 2010 contiene el glifo emblema de Tikal y el título *kaloomte'*. Finalmente, el texto sugiere que ella murió seis años después, en el año 797 d.C. El Altar 4 está directamente asociado con la fase final de la Estructura 13Q-3, cuya Fachada Norte contenía la Escalinata Glífica 1. Esta escalinata está conformada de bloques glíficos individuales, cuyo estilo confirma una fecha de finales del Clásico Tardío. Lamentablemente esta escalinata está muy erosionada y fue perturbada por acciones de saqueo, pero los bloques todavía legibles indican que el texto trataba de temas asociados a prisioneros.

Grupo Coronitas

La ocupación del Grupo Coronitas en esta fase está representada mayoritariamente por la presencia de un *chultun* en la parte posterior de la Estructura 13R-10, el cual se descubrió lleno de miles de tiestos cerámicos, más de 2,000 fragmentos de huesos de animales y muchos otros tipos de artefactos que se depositaron en un solo momento al final del siglo VIII d.C. La presencia de algunos diagnósticos cerámicos como Gris Fino Chablekal sugieren el fechamiento de este depósito después de 760 d.C., e indica que las prácticas rituales asociadas a fiestas continuaron durante esta época, a pesar de los cambios políticos por los que atravesaba el sitio.

Grupo Principal y Palacio

La mayoría de los cambios correspondientes a esta fase constituyen pequeñas remodelaciones en los edificios principales que rodean la plaza, y constan de agregados hechos con piedra caliza liviana y de mala calidad. No obstante, es en este momento que se dedican todos los monumentos de la plaza del Grupo Principal, donde destacan el Altar 4 y la Escalinata Glífica 1. De la misma manera, las Estructuras 13Q-3 y 13Q-5, ubicadas en los extremos norte y sur de la plaza, se incrementaron en tamaño hasta alcanzar una longitud de 70 m cada una. Las excavaciones en la Estructura 13Q-3 revelaron la presencia de una intrusión que parece haber perturbado el Entierro 3, la cual posiblemente removió algunos huesos y dispersó muchos de las ofrendas, especialmente las cuentas de los collares. Hasta el momento este episodio se ha interpretado como un acto de “desacralización” por los últimos habitantes del sitio.

La “Era Dorada” de La Corona

La combinación de características que han definido a La Corona como un sitio “único”—templos dedicados a deidades patronas, la cantidad inusual de monumentos tallados, el énfasis en las mujeres nobles de la dinastía *Kaan*, y la falta de un glifo emblema—toman sentido si se analizan como el resultado de un esfuerzo coordinado que iba dirigido a crear una entidad política que se basaba en diferentes fuentes de autoridad. Para apreciar los parámetros que causaron estos cambios en la constitución política de La Corona, es importante definir las tres fases más importantes—*Naah Ek'*, *Yuknoom* y *Ti' Kaan*—como un solo período que corresponde al momento de la mayor influencia de la dinastía *Kaan* en La Corona y en todas las Tierras Bajas (520-750 d.C.), por lo que se ha definido como una verdadera *Era Dorada*.

Fue durante estas tres fases que se dieron los mayores esfuerzos para manipular los cánones que legitimaron la autoridad política en de La Corona, lo que afectó directamente a su gobierno y su propio sentido de localidad. En otras palabras, durante esta “Era Dorada”, las fuentes de legitimación de autoridad cambiaron con respecto a las basadas en linajes ancestrales, el privilegio de la precedencia y el sentimiento de localidad, a aquellas que favorecieron otro tipo de abstracciones religiosas, el énfasis en la riqueza basada en bienes exóticos y el favoritismo de lo extranjero.

Dioses Patronos, Fiestas y Carisma

El Panel 1 de La Corona Panel revela información pertinente al reino de *K'inich ? Yook* en el siglo VII d.C. Sin embargo, constituye una importante fuente de información sobre 1) el establecimiento de la comunidad de La Corona (tiempo legendario), 2) el nacimiento de deidades en La Corona (tiempo mitológico), y 3) la construcción de templos dedicados a las deidades patronas y locales de La Corona.

El panel fue descubierto en la estructura más al sur del alineamiento de cinco templos que forma parte del Grupo Coronitas y su texto sugiere que éstos fueron la morada de estas deidades locales. Dado que estos templos fueron originalmente funerarios, su cambio en función fue parte de la incorporación de una nueva visión por parte del gobernante *Chakaw Nahb Chan* hacia la comunidad y con respecto a su papel como monarca. En efecto, este episodio constructivo canceló la veneración formal de los gobernantes más antiguos del sitio y los reemplazó con un nuevo culto controlado —o incluso impuesto—por la élite durante la “Era Dorada”, en un momento en que los gobernantes de La Corona intensificaron sus interacciones políticas con la dinastía *Kaan*.

Las excavaciones recientes en los edificios que flanquean estos templos dedicados a las deidades patronas apoyan la noción de que los gobernantes de la “Era Dorada” de La Corona adoptaron nuevas fuentes religiosas e ideológicas de autoridad. Entre los varios rasgos descubiertos, destaca el escondite de la Estructura 13R-9, que contenía espinas de pez raya, cuatro navajas de obsidiana, un perforador bifacial de pedernal, varios tipos de conchas y corales y una vasija policromada del tipo Mataculebra con la efigie pintada del dios *K'awiil*, patrón divino del poder dinástico. La colocación del escondite dentro del relleno de la última fase constructiva del pequeño templo sugiere que la conmemoración de dicha construcción incluyó

una ceremonia de autosacrificio que pudo ser conducida por el gobernante de La Corona y su corte. Las excavaciones también han recuperado suficiente evidencia que indica actividades asociadas a fiestas que se llevaron a cabo en las áreas asociadas a este edificio y las otras estructuras que conforman un patio privado. Esto es apoyado por el texto de la Escalinata Glífica 2, ubicada en la Fachada Sur de la Estructura 13R-10, donde se narra un episodio de fiestas rituales en las cuales el rey participa al tomar pulque.

La combinación del texto del Panel 1, los cinco templos alineados, la naturaleza religiosa del escondite, la escalinata glífica, y la evidencia de fiestas sugieren que los gobernantes de la “Era Dorada” reclamaron su autoridad en base a su imagen carismática como figuras religiosas y morales. Esto estuvo asociado al hecho que se definió a La Corona como un “lugar” de importancia local y religiosa (en lugar de ser un punto estratégico regional) que confirió a los gobernantes la función ideológica de interlocutor, médium o moderador entre la población y los dioses tutelares, tal como lo sugiere la presencia del escondite en la Estructura 13R-9.

Por lo tanto, durante la “Era Dorada”, los gobernantes de La Corona transformaron un espacio que afirmaba las fuentes locales y ancestrales de poder —ambos aspectos de la autoridad tradicional— en un complejo de espacios, edificios y textos que proclamaron el carisma y el privilegio moral de los individuos como una nueva fuente de poder que reemplazó las formas más tradicionales.

Hipogamia, Monumentos y Riqueza

La “Era Dorada” estuvo marcada por la llegada de tres princesas reales de la dinastía *Kaan*, las cuales contrajeron matrimonio con el gobernante de La Corona en ese momento. La primera llegó en 520 d.C. y la última en 721 d.C. Estas llegadas se registraron mediante el uso del verbo *huli*, el cual generalmente lleva una connotación asociada a las fundaciones dinásticas. Por ejemplo, se usó para describir la “Entrada” de *Sihyaj K’ahk’* en 378 d.C., que fue un evento que tuvo efectos profundos en la estructura de poder durante el Clásico Temprano en las Tierras Bajas. También se usó para describir la llegada de *K’inich Yax K’uk’ Mo’* a su nuevo reino en Copán, después de haber completado un viaje de cinco meses para recibir sus emblemas de oficio. Por lo tanto, su uso en los monumentos de La Corona sugiere que la dinastía de este sitio pudo haber concebido estas bodas reales como una fuente de poder político y como eventos claves en su historia.

A diferencia de sus contrapartes en Calakmul, los gobernantes de La Corona no se consideraron “señores divinos”, por lo que los matrimonios con princesas de Calakmul pueden ser interpretados como ejemplos de hipogamia —un sistema donde la mujer se “casa hacia abajo”. En las sociedades predominantemente patrilineales, como fue el caso de los Mayas Clásicos (Sharer 1993), el sistema hipógamo provee oportunidades para el avance político y la promoción social por medio de sus parientes políticos (agnados) y no por sus parientes locales (afines). Por lo tanto, las mujeres de Calakmul actuaron como conductos para el mejoramiento político de sus esposos, lo que las hizo muy importantes y seguramente les aseguró una atención especial en el registro oficial de la historia de La Corona.

Además de brindar conductos políticos para los gobernantes de La Corona, la práctica consistente de las alianzas matrimoniales hipógamas durante la “Era Dorada” también sirve para explicar la alta cantidad de inscripciones en La Corona. En términos materiales, una alianza hipógama asume la existencia de una dote por parte de la mujer de alto estatus y alguna forma de servicio de la novia por parte del hombre de estatus bajo (Goody y Tambiah 1973). Entonces, si en la sociedad Maya Clásica, la “riqueza” constituía el control sobre el trabajo artístico, escribas y artesanos, es posible que las mujeres de Calakmul hayan gozado de estos servicios como parte de su dote. Si así fuere, la repetida integración de princesas de Calakmul y sus dotes en La Corona pudo haber significado un acceso privilegiado a los artistas que de otra manera hubiera sido imposible para estos señores subordinados.

De manera recíproca, el estatus más bajo de los reyes de La Corona hizo necesario que brindaran algún tipo de servicios de novia. Ciertamente, la lealtad hacia la familia de la esposa (en este caso, hacia los reyes de Calakmul) hubiera sido reconocida como tal servicio. No obstante, es también posible que se haya esperado algún tipo de servicio material, como el mejoramiento de las condiciones de vida, que en este caso pudo expresarse mediante la construcción o modificación de los palacios residenciales. Por lo tanto es posible que los eventos maritales fueran acompañados de fiestas y dedicaciones de nuevos edificios (Stuart *et al.* 2008) en La Corona. En el Palacio de La Corona se han evidenciado eventos de nivelación y remodelación a partir de la segunda mitad del siglo VI d.C., lo que puede asociarse con la visita o llegada de las princesas *Kaan*.

Las expectativas estructuradas de reciprocidad hipogámica dentro de un sistema patrilineal proveyeron a los gobernantes de La Corona acceso a cierto grado de riqueza material que no tuvo precedentes en épocas pasadas. El mejor ejemplo de cómo cambió el concepto de riqueza para los gobernantes de La Corona se evidencia con la reciente excavación de los entierros 6 y 3. El primero corresponde a un gobernante de mediados del siglo VI d.C., mientras que el segundo pertenece a un noble de alto estatus de finales del siglo VI d.C. o incluso de finales del siglo VIII d.C. Mientras que el Entierro 6, que perteneció a un rey temprano, carece totalmente de cerámica policromada y objetos exóticos como jade, el Entierro 3 que es más tardío, muestra una rica ofrenda con jade, conchas y otros símbolos más “convencionales” de riqueza material para el Clásico Tardío.

Por lo tanto, se propone que la hipogamia proveyó los mecanismos por los cuales los reyes de la “Era Dorada” de La Corona se procuraron de riqueza material. Esto también propició la creación de un centro secundario lleno de monumentos con inscripciones y bienes de prestigio que fue en parte gobernado por princesas extranjeras. Durante la “Era Dorada”, los reyes de La Corona ejercieron formas carismáticas de poder pero también desarrollaron formas de poder económico, gracias en gran parte por el papel que jugó este sitio en el “camino real” que conectó la capital de la dinastía *Kaan* con aliados como El Perú-Waka’, Dos Pilas, y Cancuén. No cabe duda entonces que los cambios en el papel y función de La Corona durante la “Era Dorada”, están correlacionados a un cambio significativo en la forma en que se legitimó la autoridad política.

Señoríos, Títulos y Coerción

Los títulos de la realeza en La Corona son importantes para el entendimiento del sistema político no solo del sitio sino de las Tierras Bajas Mayas en general. Sus gobernantes fueron considerados *ajaw*—“señores”—que es un título muy común por toda la región Maya, pero nunca se identificaron como “señores divinos” (*k’uhul ajaw*) o como “señores de La Corona” (*ajaw sak nikte*), y mucho menos “señores sagrados de La Corona” (*k’uhul ajaw sak nikte*). Por lo tanto, la ausencia de un glifo emblema, o cualquiera de sus derivados aparece como un rasgo muy peculiar de La Corona, tomando en cuenta sus numerosas inscripciones en monumentos, la presencia de las princesas del Reino *Kaan* y su papel dentro de la “ruta real” de Calakmul en Petén occidental.

La ausencia de este título no puede analizarse por aislado, ya que los gobernantes de la “Era Dorada” de La Corona se refieren a ellos mismos con otro título diferente: *sak wayis*, cuyo significado puede ser traducido como “espíritu blanco” o “nagual blanco”. Dado que el título *sak wayis* esta solamente asociado con las élites del noroeste de Petén y la región sur de Campeche, parece que los reyes de La Corona prefirieron identificarse como miembros de una clase noble de una región bien definida y asociada con la dinastía *Kaan*. No obstante, no hay que pasar por alto la notoriedad en la ausencia de un honorífico fundamental como lo es el título *k’uhul ajaw*, ya que asocia al gobernante con un lugar en particular.

Desde una perspectiva regional, el patrón de La Corona no es del todo único. Una vez que la dinastía *Kaan* se estableció en Calakmul, el glifo emblema *Kan* reemplazó el glifo emblema nativo y original de Calakmul (Martin 2005b). Mientras se extendía la hegemonía de la dinastía *Kaan* fuera de las fronteras de Calakmul a inicios del período Clásico Tardío, la ausencia de glifos emblemas locales fue característico en todos sus centros cercanos subordinados (Grube 2005). Curiosamente, los centros subordinados a Calakmul que no usaron glifos emblema se identificaron con títulos como *sak wayis*. Al igual que todos los sitios que usaron el título *sak wayis*, los gobernantes de La Corona se identificaron como miembros formales de un grupo cuya distribución se extendía mucho más allá de los límites de su entidad política secundaria —algo nunca antes visto en La Corona hasta ese momento. En otras palabras, la dinastía *Kaan* desarrolló nuevas estrategias políticas regionales en los siglos VI y VII d.C., las cuales impactaron en La Corona al imponer una nueva fuente de autoridad —una de naturaleza regional, exclusiva y coercitiva— que estaba emanando de Calakmul por todas las Tierras Bajas.

CONCLUSIONES

Los estudios mayistas han estado divididos por un amplio debate que trata sobre la naturaleza fundamental de la “Entidad Política Maya Clásica” (Adams y Jones 1981; Adams y Smith 1981; Culbert 1991; Chase y Chase 1996; Demarest 1992; Gillespie 2000; Houston 1997; Houston *et al.* 2003; Inomata y Houston 2001; Martin y Grube 1995, 2008; Sanders 1989; Sharer y Golden 2004). De hecho, Weber (1978) posiblemente hubiera visto la actual variedad de modelos no como indicadores de confusión académica, sino como reflejo de la coexistencia y articulación de distintas formas que constituyeron y legitimaron la autoridad en la sociedad Maya Clásica.

Pero, será que las sociedades antiguas debatían la naturaleza de la autoridad política? En la Grecia Clásica del siglo IV a.C., la *Política* de Aristóteles (1928) provee una prueba cristalina que tales debates si existían en las sociedades antiguas. Du *Política* fue una exegesis pre-moderna sobre las diferentes fuentes de autoridad en los estados antiguos, y más importante, un recorrido “etnográfico” de las *polis* de su Grecia natal que recolectó las constituciones de más de 150 estados diferentes. La variedad que el registró demostró que los Griegos no Ateneos que estaban totalmente inmersos en la “cultura Clásica Griega” desarrollaron y promulgaron “una imagen maravillosamente diversa de la organización y actividad política por todo el mundo Griego del Mediterráneo” (Brock and Hodkinson 2000: 2).

Aunque todavía falta por descubrir un “Aristóteles Maya”, es tiempo de considerar que los antiguos Mayas también se involucraron en debates sobre la naturaleza de la autoridad en su sociedad. En otras palabras, *el asunto en cuestión es un examen de la política del período Clásico donde se considere las diferentes formas en que la autoridad se constituyó en la sociedad Maya de las Tierras Bajas*. Mientras los estudios mayistas se enfoquen en *esas entidades del pasado que fueron materializadas casi exclusivamente por y para la acción política*, los modelos se enfocarán más en la cantidad de formas en que los gobernantes “sincronizaron prácticas que perpetuaron el orden político existente dentro de un marco discursivo que generaba la lealtad de sus sujetos” (Smith 2003: 108).

Para analizar el rango de variación en los modelos de la organización política Maya Clásica, hay que colocar en un eje las distinciones de Weber (1978) con respecto a la naturaleza de la autoridad en las sociedades “pre-modernas”: burocrática, tradicional y carismática; y en el otro eje, la variación aristotélica que enfatiza si el lugar de la autoridad se coloca en uno, pocos o muchos individuos. Usando estos términos, la mayoría de modelos interpretan las entidades políticas mayas como tiranías centralizadas, oligarquías débilmente integradas, o aristocracias segmentadas, pero al final todas son variaciones que pudieron existir contemporáneamente en el período Clásico.

Colocando a La Corona dentro de este marco de referencia, se puede sugerir que durante la “Era Dorada”, la entidad política sufrió fuertes cambios que transformaron su constitución política y forma de gobierno local, pasando de una monarquía segmentada a una oligarquía débilmente integrada. Este cambio debe interpretarse como sintomático del impacto que causó la dinastía *Kaan* por todas las Tierras Bajas Mayas. Más que un “súper-estado” del periodo Clásico, los gobernantes del Reino *Kan* concibieron estrategias que transformaron la manera en que los reyes consolidaron sus alianzas políticas con otros reinos. Estos cambios fueron de una naturaleza profunda e incluso constitucional, ya que van más allá de lo que los términos “señorío” y “súper-estado” puedan implicar. La dinastía *Kaan* se encaminó en una campaña para construir un imperio, la cual cambió la naturaleza de la autoridad política en sitios secundarios como La Corona.

BIBLIOGRAFÍA

Acuña, Mary Jane

- 2007 "CR-ES: Excavaciones de Sondeo en los Grupos A, B, y C de La Corona". En *Proyecto Arqueológico El Perú-Waka': Informe No. 4, Temporada 2006*, editado por H. Escobedo y D. Freidel. Guatemala, pp. 457-478.
- 2009 "Operación CR 11A: Limpieza de Trinchera de Saqueo en la Estructura 13R-9". En *Proyecto Arqueológico La Corona. Informe Final, Temporada 2008*, editado por M. Canuto y T. Barrientos. Guatemala, pp. 109-128
- 2010 Monitoring the development of early kingship at a Preclassic (800 BCE - 200 CE) Maya frontier royal center in northwestern Petén, Guatemala. Beca de Tesis Doctoral, National Science Foundation.
- 2011a "Excavaciones en la Estructura 5C-01 de El Achiotal". En *Proyecto Arqueológico La Corona, Informe Final, Temporada 2010*, editado por T. Barrientos, M. Canuto y M. J. Acuña, pp. 47-81, Guatemala: Informe presentado a la Dirección General del Patrimonio Cultural y Natural
- 2011b "Investigaciones en el Sitio Arqueológico El Achiotal". En *Proyecto Arqueológico La Corona, Informe Final, Temporada 2010*, editado por T. Barrientos, M. Canuto y M. J. Acuña, pp. 43-45, Guatemala: Informe presentado a la Dirección General del Patrimonio Cultural y Natural

Acuña, Mary Jane y Carlos Chiriboga

- 2010 "Investigación Arqueológica en el Sitio El Achiotal". En *Proyecto Arqueológico La Corona, Informe Final, Temporada 2009*, editado por M. Canuto y T. Barrientos. Manuscrito entregado al Instituto de Antropología e Historia (IDAEH), Guatemala.

Acuña, Mary Jane, Carlos Chiriboga, Marcello Canuto y Tomás Barrientos

- 2010 "El Período Preclásico en la Región Noroccidental de Petén: Datos Recientes y Modelos Interpretativos". En *XXIII Simposio de Investigaciones Arqueológicas en Guatemala, 2009*, editado por B. Arroyo, A. Linares y L. Paiz, pp. 39-52. vol. 1. Guatemala: Asociación Tikal.

Adams, Richard E. W. y Christopher Jones

- 1981 "Spatial Patterns and Regional Growth among the Classic Maya Cities". *American Antiquity* 46:301-322.

Adams, Richard E. W. y W. D. Smith

- 1981 "Feudal Models for Classic Maya Civilization". En *Lowland Maya Settlement Patterns*, editado por W. A. Ashmore, pp. 335-349. University of New Mexico Press, Albuquerque.

Aristóteles

- 1928 *Politics: A Treatise on Government*. Traducción de W. Ellis. Dutton & Co., New York.

Baron, Joanne

- 2009 “Operación 12: Excavaciones en la Estructura 13R-3”. En *Proyecto La Corona: Informe Final, Temporada 2008*, editado por M. Canuto y T. Barrientos, pp. 129-138. Manuscrito entregado al Instituto de Antropología e Historia (IDAEH), Guatemala.
- 2010 “Operación 12A: Excavaciones en La Estructura 13R-3, Grupo Coronitas, La Corona”. En *Proyecto La Corona: Informe Final, Temporada 2009*, editado por M. Canuto y T. Barrientos, pp. 135-158. Manuscrito entregado al Instituto de Antropología e Historia (IDAEH), Guatemala.
- 2011 “Operaciones CR12, CR14 y CR15: Excavaciones en las Estructuras 13R-3, 13R-4, y 13R-2 de Grupo Coronitas”. En *Proyecto Regional Arqueológico La Corona: Informe Final Temporada 2010*, editado por T. Barrientos, M. Canuto y M.J. Acuña, pp. 249-276. Informe entregado a la Dirección General de Patrimonio Cultural y Natural, Guatemala.

Barrientos, Tomás y Marcello Canuto

- 2009 “Proyecto Arqueológico La Corona, resultados de las investigaciones en 2009”. Ponencia presentada en el XXIII Simposio de Investigaciones Arqueológicas en Guatemala, Museo Nacional de Arqueología y Etnología.

Barrientos, Tomás y Marcello Canuto

- 2010 “Proyecto Regional Arqueológico La Corona: Objetivos, Métodos y Antecedentes de la Temporada de Campo 2009”. En *Proyecto Arqueológico La Corona, Informe Final, Temporada 2009*, editado por M. Canuto y T. Barrientos. Manuscrito entregado al Instituto de Antropología e Historia (IDAEH), Guatemala.

Barrientos, Tomás, Marcello Canuto y Mary Jane Acuña (editores)

- 2011 *Proyecto Regional Arqueológico La Corona, Informe Final Temporada 2010*. Informe entregado a IDAEH, Guatemala.

Borgatti, Steve

- 2008 *Metodología Pileorts*. <https://sites.google.com/site/steveborgatti/home>

Brock, R. y S. Hodkinson

- 2000 “Introduction: Alternatives to the Democratic Polis”. En *Alternatives to Athens: Varieties of Political Organization and Community in Ancient Greece*, pp. 1-34. Oxford University Press, New York.

Brown, K. y J. F. Garber

- 2005 “Preclassic Architecture, Ritual, and the Emergence of Cultural Complexity: A Diachronic Perspective from Belize Valley”. En *Lords of Creation: The Origins of Sacred Maya Kingship*, editado por V. Fields y D. Reents-Budet, pp. 47-51. Los Angeles: Scala Publishers Limited.

Buikstra, Jane y Douglas Ubelaker

1994 *Standards for Data Collection from Human Skeletal Remains*. Arkansas Archeological Survey Research Series No. 44. Fayetteville: Arkansas Archeological Survey.

Cagnato, Clarissa

2010 “Análisis Preliminar de los Restos Paleobotánicos de La Corona”. *Proyecto Arqueológico La Corona: Informe Final, Temporada 2010*. Editado por Marcello A. Canuto y Tomás Barrientos Q. Reporte presentado a la Dirección General del Patrimonio Natural y Cultural de Guatemala. Ciudad de Guatemala, Guatemala.

Canuto, Marcello A.

2007 “CR-01: Excavaciones en la Estructura C-5 del Grupo C de La Corona”. En *Proyecto Arqueológico El Perú-Waka': Informe No. 4, Temporada 2006*, editado por H. Escobedo y D. Freidel. Guatemala, pp. 431-456.

2008 *Working Booklet for the Inscriptions of La Corona*. Manuscrito no publicado, Yale University.

Canuto, Marcello y Tomás Barrientos Q (editores)

2009 *Proyecto Regional Arqueológico La Corona, Informe Final Temporada 2008*. Informe entregado a IDAEH, Guatemala.

Canuto, Marcello y Tomás Barrientos Q (editores)

2010 *Proyecto Regional Arqueológico La Corona, Informe Final Temporada 2009*. Informe entregado a IDAEH, Guatemala.

Canuto, Marcello y Tomás Barrientos Q

2011 “Proyecto Regional Arqueológico La Corona: Antecedentes y Objetivos de la Temporada 2010”. En *Proyecto Arqueológico La Corona: Informe Final, Temporada 2010*. Editado por Marcello A. Canuto, Tomás Barrientos Q y Mary Jane Acuña. Reporte presentado a la Dirección General del Patrimonio Natural y Cultural de Guatemala. Ciudad de Guatemala, Guatemala

Canuto, Marcello, Stanley Guenter, Evangelia Tsesmeli y Damien Marken

2005 El Reconocimiento de La Corona, 2005, Manuscrito entregado al Instituto de Antropología e Historia (IDAEH), Guatemala.

2006 “El Reconocimiento de La Corona, 2005”. En *Proyecto Arqueológico El Perú-Waka': Informe No. 3, Temporada 2005*, editado por H. Escobedo y D. Freidel, pp. 455-468. Southern Methodist University.

Canuto, Marcello, Stanley Guenter, Mary J. Acuña, Ellen Bell y Damien Marken

2006 *El Reconocimiento de La Corona, 2006*, Manuscrito entregado al Instituto de Antropología e Historia (IDAEH), Guatemala.

- Canuto, Marcello, David Stuart, Stanley Guenter y Tomás Barrientos
2009 "Monumentos de la Corona: Reclasificación del Catálogo de Monumentos del Sitio Q". En *Proyecto Arqueológico La Corona: Informe Final, Temporada 2010*. Editado por Marcello A. Canuto, Tomás Barrientos Q y Mary Jane Acuña. Reporte presentado a la Dirección General del Patrimonio Natural y Cultural de Guatemala. Ciudad de Guatemala, Guatemala
- Chase, Arlen y Diane Chase
1996 "More than Kin and King: Centralized Political Organization among the Late Classic Maya". *Current Anthropology* 37:803-810.
- Cheetham, David
2010 "Corn, Colanders, and Cooking: Early Maize Processing in the Maya Lowlands and its Implications" *Pre-Columbian Foodways in Mesoamerica: Interdisciplinary Approaches to Food, Culture, and Markets in Ancient Mesoamerica*. Editado por John E. Staller y Michael D. Carrasco, pp. 345-368. Springer, New York.
- Coe, William
1965 "Tikal: Ten Years of Study of a Maya Ruin in the Lowlands of Guatemala". *Expedition* 8(1).
- Couplan, Francois
1998 *The Encyclopedia of Edible Plants of North America*. New Canaan : Keats Publishing
- Cruz, Gilberto
2011 "Excavaciones de sondeo en la Plaza Sur y Plaza Norte de El Achiotal". En *Proyecto Arqueológico La Corona, Informe Final, Temporada 2010*, editado por T. Barrientos, M. Canuto y M. J. Acuña, pp. 97-104, Guatemala: Informe presentado a la Dirección General del Patrimonio Cultural y Natural
- Culbert, Patrick
1991 "Maya Political History and Interaction: A Summary View". En *Classic Maya Political History: Hieroglyphic and Archaeological Evidence*, editado por T. P. Culbert, pp. 311-346. Cambridge University Press, Cambridge.
- Dahlin, Bruce y William J. Litzinger
1986 "Old Bottle, New Wine: The Function of Chultuns in the Maya Lowlands". *American Antiquity*, 51(4):721-736.
- Demarest, Arthur
1992 "Ideology in Ancient Maya Cultural Evolution". En *Ideology and Pre-Columbian Civilizations*, editado por A. A. Demarest y G. W. Conrad, pp. 135-157. School of American Research Press, Santa Fe, NM.

- Demarest, Arthur, Kim Morgan, Claudia Wolley y Héctor Escobedo
 2003 "The Political Acquisition of Sacred Geography: the Murciélagos Complex at Dos Pilas". En *Maya Palaces and Elite Residences: an Interdisciplinary Approach*, editado por J. Christie, pp. 120-153. Austin: University of Texas Press.
- Desailly-Chanson, Yann
 2009 "Operación CR 35A: Excavaciones en la Estructura 13Q-5". En *Proyecto Arqueológico La Corona. Informe Final, Temporada 2008*, editado por M. Canuto y T. Barrientos. Guatemala, pp. 75-96
 2010 "Operaciones CR 33 y CR35: Excavaciones en las estructuras 13Q-3 y 13Q-5". En *Proyecto Arqueológico La Corona: Informe Final Temporada 2009*, editado por M. Canuto y T. Barrientos, pp. 39-72. Manuscrito entregado al Instituto de Antropología e Historia (IDAEH), Guatemala.
- Dorfman, J.
 1998 *Getting Their Hands Dirty? Archaeologists and the Looting Trade*. *Lingua Franca* (Mayo/Junio):29-36.
- Esparza Olguin, y V. E. Perez Gutierrez
 2009 "Archaeological and epigraphic studies in Pol Box, Quintana Roo". *PARI Journal* 9 (3):1-16.
- Estrada-Belli, Francisco
 2006 "Lightning Sky, Rain, and the Maize God: The Ideology of Preclassic Maya Rulers at Cival, Petén". *Ancient Mesoamerica* 17:57-78.
- Fedick, Scott L
 2010 The Maya Forest: Destroyed or cultivated by the ancient Maya? *PNAS* 107 (3): 953-954.
- Fernandez, Carlos Enrique
 2010 "Operación CR16: Excavaciones en la Estructura 13R-10". *Proyecto Arqueológico La Corona: Informe Final, Temporada 2010*. Editado por Marcello A. Canuto y Tomás Barrientos Q. Reporte presentado a la Dirección General del Patrimonio Natural y Cultural de Guatemala. Ciudad de Guatemala, Guatemala.
- Fields, Virginia y Dorie Reents-Budet
 2005a "Introduction: The First Sacred Kings of Mesoamerica". En *Lords of Creation: The Origins of Sacred Maya Kingship*, editado por V. Fields y D. Reents-Budet, pp. 21-26. Londres: Scala Publishers Limited.
 2005b *Lords of Creation: The Origins of Sacred Maya Kingship*. Londres: Scala Publishers Limited.
- Fitzsimmons, James
 2009 *Death and the Classic Maya Kings*. Austin: University of Texas Press.

Freidel, David

2005 "The Creation Mountains: Structure 5C-2nd and Late Preclassic Kingship". En *Lords of Creation: The Origins of Sacred Maya Kingship*, editado por V. Fields y D. Reents-Budet. Los Angeles: Scala Publishers Limited.

Freidel, David, Héctor Escobedo y Stanley Guenter

2007 "A Crossroads of Conquerors". En *Gordon R. Willey and American Archaeology*, editado por J. A. Sabloff y W. L. Fash, pp. 187-208. University of Oklahoma Press, Norman.

Freidel, David, Héctor Escobedo, David Lee, Stanley Guenter y Juan Carlos Meléndez

2007 "El Perú y la Ruta Terrestre de la Dinastía Kan hacia el Altiplano. In *XX Simposio de Investigaciones Arqueológicas en Guatemala, 2006*, editado por J.P. Laporte, B. Arroyo y H. Mejía, pp. 59-76. Guatemala: Museo Nacional de Arqueología y Etnología.

Fritz, Gayle

2005 "Paleoethnobotanical Methods and Applications". En *Handbook of Archaeological Methods, Volume 2*, editado por D. Maschner y C. Chippindale, pp. 773-834. Lanham: Altamira Press

Garrison, Thomas, Stephen Houston, Charles Golden, Takeshi Inomata, Zachary Nelson y Jessica Munson

2008 "Evaluating the use of IKONOS satellite imagery in lowland Maya settlement archaeology". *Journal of Archaeological Science* 35(10):2770-2777.

Gillespie, Susan

2000 "Rethinking Ancient Maya Social Organization: Replacing 'Lineage' with 'House'". *American Anthropologist* 102(3):467-484.

Goldstein, David J., y Jon B. Hageman

2010 "Power Plants: Paleobotanical Evidence of Rural Feasting in Late Classic Belize". En *Pre-Columbian Foodways*, editado por J. Staller y M. Carrasco, pp.421-440. New York: Springer

Gómez, Erika

2010 "Operación CR 11 y CR13: Excavaciones en el Sector Oeste del Grupò 13R de La Corona". En *Proyecto Arqueológico La Corona: Informe Final Temporada 2009*, editado por M. Canuto y T. Barrientos, pp. 159-198. Manuscrito entregado al Instituto de Antropología e Historia (IDAEH), Guatemala.

Goody, J. y S. J. Tambiah

1973 *Bridewealth and Dowry*. Cambridge Papers in Social Anthropology 7. Cambridge University Press, Cambridge.

Gremillion, Kristen J.

- 2008 “Archaeobotanical Methods and Results”. En *Archaeological Investigations at St. Anthony's Garden (16OR443), New Orleans, Louisiana. Volume I: Fieldwork and Botanical Results of 2008 Season*, editado por S. Dawdy, K. Gremillion, S. Mulholland y J. Ramsey, pp. 56-82. Reporte entregado a la Cathedral of St. Louis King of France y la Getty Foundation.

Graham, Ian

- 1997 “Mission to La Corona”. *Archaeology* 50(5):46.
- 2002 “Mission to La Corona: A New Maya Site May Fail to Qualify as Site Q”. In *Secrets of the Maya*, editado por Peter A. Young, pp. 78-79. Hatherleigh Press, London.

Grube, Nikolai

- 2004 “El Origen de la Dinastía Kaan”. En *Los Cautivos de Dzibanché*, editado por E. Nalda) pp. 117-131. México: Consejo Nacional para la Cultura y las Artes, Instituto Nacional de Antropología e Historia
- 2005 “Toponyms, Emblem Glyphs, and the Political Geography of Southern Campeche”. En *Contributions to Maya Archaeology*, editado por I. Šprajc, pp. 87-100. Anthropological Notebooks. Ljubljana: Slovene Anthropological Society.
- 2007a Proyecto Arqueológico Uxul: Temporada de 2007, Solicitud Proyecto de investigación. Universidad de Bonn, Instituto VII: Departamento de Antropología Americana.
www.iae-bonn.de/iae/fileadmin/assest/pdf/solicitudINAH2007a
- 2007b Informe: Trabajos de exploración en Uxul (Campeche).
www.iae-onn.de/iae/fileadmin/assest/pdf/InformeINAH2007a.pdf

Grube, Nikolai y I. Paap

- 2006 Informe: Trabajos de exploración en Uxul (Campeche), 9-15 marzo de 2006. Institut für Altamerikanistik und Ethnologie der Universität Bonn, Bonn.
- 2007 Informe: Trabajos de levantamiento topográfico en Uxul (Campeche), 23 de marzo - 25 de abril de 2007. Institut für Altamerikanistik und Ethnologie der Universität Bonn, Bonn.

Grube, Nikolai, Ekkehardt-Wölke Haase y Mareike Sattler

- 1990 “Vier neue archäologische Fundorte im nordwestlichen Peten”. *Mexicon* XII (3): 46-49

Guenter, Stanley

- 2005 “La Corona Find Sheds Light on Site Q Mystery”. *The PARI Journal* 6(2):16-18.
<http://mesoweb.com/reports/SiteQ.html>
- 2009 “Operación 32: Investigaciones en las Estructuras 13Q-2 y 13Q-6”. En *Proyecto Arqueológico La Corona. Informe Final, Temporada 2008*, editado por M. Canuto y T. Barrientos, pp. 97-107. Manuscrito entregado al Instituto de Antropología e Historia (IDAEH), Guatemala.

2010 “Operación CR32: Investigaciones en las Estructuras 13Q-2, 13Q-2A y 13Q-6”. En *Proyecto La Corona: Informe Final, Temporada 2009*, editado por M. Canuto y T. Barrientos, pp. 73-98. Manuscrito entregado al Instituto de Antropología e Historia (IDAEH), Guatemala.

Guernsey, Julia

2006 *Ritual and Power in Stone: The Performance of Rulership in Mesoamerican Izapan Style Art*. Austin: The University of Texas Press.

Guthrie, J., E. Benson y B. Gilchrist (editores)

1996 *The Olmec World: Ritual and Rulership*. The Art Museum, Princeton University

Guzmán, Rodrigo

2010 “Reconocimiento arqueológico y mapeo en La Corona”. En *Proyecto La Corona: Informe Final, Temporada 2009*, editado por M. Canuto y T. Barrientos, pp. 127-150. Manuscrito entregado al Instituto de Antropología e Historia (IDAEH), Guatemala.

Hageman, Jon B., y David J. Goldstein

2009 “An Integrated Assessment of Archaeobotanical Recovery Methods in the Neotropical Rainforest of Northern Belize: Flotation and Dry Screening. *Journal of Archaeological Science*, 36: 2841-2852.

Hansen, Richard

1997 “Plundering the Petén”. *Archaeology* 50(5):48-49.

1992 *The Archaeology of Ideology: A Study of Maya Preclassic Architectural Sculpture at Nakbe, Petén, Guatemala*, University of California, Los Angeles.

Hodell, D. A., Mark Brenner y J. H. Curtis

2007 “Climate and Cultural History of the Northeastern Yucatan Peninsula, Quintana Roo, Mexico”. *Climatic Change* 83:215-540.

Hodell, D. A., J. H. Curtis y Mark Brenner

1995 “Possible role of climate in the collapse of Classic Maya civilization”. *Nature* 375:391-394.

Houston, Stephen

1997 “Estados débiles y estructura segmentaria: La organización interna de las entidades políticas mayas”. *Apuntes Arqueológicos* 5(1):67-92.

2008 “In the Shadow of a Giant”. www.mesoweb.com/zotz/articles/Shadow-of-a-Giant.pdf.

Houston, Stephen, Héctor Escobedo, Mark Child, Charles Golden y René Muñoz

2003 “The Moral Community: Maya Settlement Transformation at Piedras Negras, Guatemala”. En *The Social Construction of Ancient Cities*, editado por M. Smith, pp. 212-253. Smithsonian Institution Press, Washington, DC.

- Houston, Stephen y Karl Taube
2000 "An Archaeology of the Senses: Perception and Cultural Expression in Ancient Mesoamerica". *Cambridge Archaeological Journal* 10(2): 261-294.
- Houston, Stephen y David Stuart
1989 "The Way Glyph: Evidence for "Co-essences" among the Classic Maya". *Research Reports on Ancient Maya Writing* 30.
- Inomata, Takeshi, Daniela Triadan y Otto Román
2009 "Desarrollo de las Comunidades Preclásicas e Interacciones entre las Tierras Bajas y el Área Olmeca". En *XXIII Simposio de Investigaciones Arqueológicas en Guatemala*, pp. 53-66. vol. 1, Guatemala.
- Inomata, Takeshi y Stephen Houston (editores)
2001 *Royal Courts of the Ancient Maya Volume 1: Theory, Comparison, and Synthesis*. Westview Press, Boulder, Colorado
- Jeness, Jeff
2007 *Some Thoughts on Analyzing Topographic Habitat Characteristics*. Flagstaff: Jenness Enterprises
- Kaufman, F. y Marco A. Leal
1988 *Proyecto Arqueológico Peruano Guatemalteco al noroccidente de Petén*. Publicación de la Universidad de San Carlos de Guatemala, Guatemala.
- Leal, Marco A., Salvador López, Maria T. Chinchilla, José Paredes, José Benítez y Marco Zetina
1988 *Reconocimiento arqueológico en el noroccidente de Petén*. Instituto de Investigaciones Históricas, Antropológicas, y Arqueológicas, Vol. 1, Escuela de Historia, USAC, Guatemala.
- Leal, Marco A. y Salvador López
1993 Reconocimiento arqueológico en la brecha topográfica Libertad-Xan (sector Tamariz-Río San Pedro). *Basic Resources Int. Guatemala* .
- Lentz, David
1991 "Maya Diets of the Rich and Poor: Paleoethnobotanical Evidence from Copan". *American Antiquity*, 2(3): 269-287.
1999 "Plant Resources of the Ancient Maya: The Paleoethnobotanical Evidence". En *Reconstructing Ancient Maya Diet*, editado por C. White, pp. 3-18. Salt Lake City: The University of Utah Press.
- Lentz, David y Brian Hockaday
2009 "Tikal timbers and temples: Ancient Maya Agroforestry and the End of Time". *Journal of Archaeological Science* 36(7):1342-1353

Lentz, David, y Ruth Dickau

2005 *Seeds of Central America and Southern Mexico: The Economic Species*. New York: The New York Botanical Garden.

McAnany, Patricia

1995 *Living with the Ancestors: Kinship and Kinship in Ancient Maya Society*. Austin: University of Texas Press.

Marken, Damien

2007 “Levantando el Mapa de La Corona y sus Monumentos: Temporada del 2006”. En *Proyecto Arqueológico El Perú-Waka’: Informe No. 4, Temporada 2006*, editado por H. Escobedo y D. Freidel,. Southern Methodist University.

2009 “Expanding más allá del Centro: Reconocimientos y Mapeo en La Corona, 2008”. En *Proyecto Arqueológico La Corona: Informe Final, Temporada 2008*, editado por M. Canuto y T. Barrientos, pp. 47-56. Yale University.

2010 “Programa de Mapeo PRALC 2009: Trabajos en la Zona Este y Oeste de La Corona y el sitio La Cariba” En *Proyecto Arqueológico La Corona: Informe Final Temporada 2009*, editado por M. Canuto y T. Barrientos, pp. 25-38. Manuscrito entregado al Instituto de Antropología e Historia (IDAEH), Guatemala.

Marken, Damien y Stanley Guenter

2007 “Monumentos y Reconocimiento en La Corona: 2006”. En *Proyecto Arqueológico El Perú-Waka’: Informe No. 4, Temporada 2006*, editado por H. Escobedo y D. Freidel, pp. 479-490. Southern Methodist University.

Martin, Alexander y William Barkley

1961 *Seed Identification Manual*. Berkeley: University of California Press

Martin, Simon

1996 “Calakmul y el enigma del glifo ‘Cabeza de Serpiente’” *Arqueología mexicana* 3(18):42-45.

2004 “Pregunta Epigráficas acerca de los Escalones de Dzibanché”. En *Los Cautivos de Dzibanché*, editado por E. Nalda, pp. 105-115. México: Consejo Nacional para la Cultura y las Artes, Instituto Nacional de Antropología e Historia.

2005a “Caracol Altar 21 Revisited”. *PARI Journal* 6(1):1-9.

2005b “Of Snakes and Bats: Shifting Identities at Calakmul”. *The PARI Journal* 6(2):5-15.

www.mesoweb.com/pari/publications/journal/602/SnakesBats_e.pdf.

2008 “Wives and Daughters on the Dallas Altar”. *Mesoweb*.

<http://www.mesoweb.com/articles/Martin/Wives&Daughters.pdf>.

Martin, Simon y Nikolai Grube

1995 “Maya Superstates”. *Archaeology* 48(6):41-46.

2008 *Chronicle of the Maya Kings and Queens*. 2a edición. Londres: Thames and Hudson.

Mathews, Peter

1988 *Notes on the Inscriptions of 'Site Q'*. Manuscrito, Departamento de Arqueología, Universidad de Calgary, Alberta, Canadá.

McNeil, Cameron , Jeffrey Hurst y Robert Sharer

2006 “The Use and Representation of Cacao During the Classic Period at Copan, Honduras”. En *Chocolate in Mesoamerica*, editado por C. McNeil, pp. 224- 253. Gainesville: University Press of Florida.

Ministerio de Cultura y Deportes

2009 Reglamento para Desarrollar Proyectos de Investigación Arqueológica. Consejo Técnico de Arqueología, IDEAH, Ministerio de Cultura y Deportes, Guatemala.

Moholy-Nagy, Hattula

1997 “Middens, Construction Fill, and Offerings: Evidence for the Organization of Classic Period Craft Production at Tikal, Guatemala”. *Journal of Field Archaeology* 24 (3): 293-313

Morehart, Christopher

2005 “Plants and Caves in Ancient Maya Society”. En *Reconstructing Maya Ritual and Cosmology in the Cave Context*, editado por K. Prufer y J. Brady, 167-185. Boulder: University of Colorado Press.

Nalda, Enrique

2000 “Dzibanché: Un Primer Acercamiento a Su Complejidad”. En *Guardianes del Tiempo*, editado por A. Velasquez Morlet, pp. 37-71. Chetumal y México: Universidad de Quintana Roo e Instituto Nacional de Antropología e Historia.

2004 *Los Cautivos de Dzibanché*. México: Consejo Nacional para la Cultura y las Artes, Instituto Nacional de Antropología e Historia.

Padilla, Liliana

2010 “Operación CR 20 y CR21: Excavaciones en el Palacio de La Corona”. En *Proyecto Arqueológico La Corona: Informe Final Temporada 2009*, editado por M. Canuto y T. Barrientos, pp. 39-72. Informe entregado al Instituto de Antropología e Historia (IDAEH), Guatemala.

2011 “Operación CR 20: Excavaciones en el Palacio de La Corona”. En *Proyecto Arqueológico La Corona: Informe Final Temporada 2010*, editado por M. Canuto y T. Barrientos, pp. 151-172. Informe entregado al Instituto de Antropología e Historia (IDAEH), Guatemala.

Patterson, Erin

2011 “Análisis Preliminar de los Restos Óseos Humanos de La Corona. En *Proyecto Regional Arqueológico La Corona: Informe Final Temporada 2010*, editado por T. Barrientos, M. Canuto, y M.J. Acuña, pp. 375-384. Informe entregado a la Dirección General de Patrimonio Cultural y Natural, Guatemala.

Paris, Caroline

2011 “Excavaciones en la Plataforma 4C-11 de El Achiotal. En *Proyecto Arqueológico La Corona, Informe Final, Temporada 2010*, editado por T. Barrientos, M. Canuto y M. J. Acuña, pp. 83-96. Informe presentado a la Dirección General del Patrimonio Cultural y Natural, Guatemala.

Parrish, K.

1997 “Mayaquest Team Finds Lost City In Guatemala * L.U. Teacher, colleagues feel excitement turn into defection with signs site was Ravaged by Looters”. En *The Morning Call*, Allentown, PA.

Pearsall, Deborah M.

2000 *Paleoethnobotany: A Handbook of Procedures*, 2da. edición. New York: Academic Press

Pike, Richard, Ian Evans y Tomislav Hengl

2009 “Chapter 1 Geomorphometry: A Brief Guide”. En *Geomorphometry: Concepts, Software, Applications*, editado por H. Tomislav y R. Hannes, pp. 3-30. Developments in Soil Science, Volumen 33. Amsterdam: Elsevier.

Ringle, William

1985 “Notes on Two Tablets of unknown Provenance”. En *Fifth Palenque Round Table, 1983*, editado por V. Fields. San Francisco: Pre-Columbian Art Research Institute, pp. 151-158.

Robichaux, Hubert R., y Candace Pruett

2005 “Las inscripciones de Oxpemul”. En *Los Investigadores de la Cultura Maya* 13 (1): 29-43. Campeche: Universidad Autónoma de Campeche.

Sanders, William

1989 “Household, Lineage, and the State in 8th-Century Copan”. En *House of the Bacabs, Copan: A Study of the Iconography, Epigraphy, and Social Context of a Maya Elite Structure*, editado por D. Webster, pp. 89-105. Dumbarton Oaks, Washington, D.C.

Saturno, William

2009 “Centering the Kingdom, Centering the King: Maya Creation and Legitimization at San Bartolo”. En *The Art of Urbanism: How Mesoamerican Kingdoms Represented Themselves in Architecture and Imagery*, editado por W. Fash y L. Lopez Lujan, pp. 111-134. Washington, D.C.: Dumbarton Oaks Library and Collection

- Saturno, William., Thomas Sever, Daniel Irwin, Burgess Howell y Thomas Garrison
 2007 “Putting Us on the Map: Remote Sensing Investigation of the Ancient Maya Landscape”. En *Remote Sensing in Archaeology*, editado por J. Wiseman y F. El-Baz, pp. 137-160. Interdisciplinary Contributions to Archaeology. Nueva York: Springer.
- Sharer, Robert
 1993 “The Social Organization of the Late Classic Maya: Problems of Definition and Approaches”. En *Lowland Maya Civilization in the Eighth Century A.D.*, editado por J. A. Sabloff y J. S. Henderson, pp. 91-110. Dumbarton Oaks, Washington, D.C.
 2003 “Tikal and the Copan Dynastic Founding”. En *Changing Perspectives on Tikal and the Development of Ancient Maya Civilization*, editado por J. A. Sabloff. The School of American Research, Santa Fe.
- Sharer, Robert y Charles Golden
 2004 “Kingship and Polity: Conceptualizing the Maya Body Politic”. En *Continuities and Changes in Maya Archaeology: Perspectives at the Millennium*, editado por C. W. Golden y G. Borgstede, pp. 23-50. Routledge, London.
- Schuster, Angela
 1997 “Search for Site Q”. *Archaeology* 50(5):42-45.
- Smith, A. T.
 2003 *The Political Landscape: Constellations of Authority in Early Complex Polities*. University of California Press, Berkeley.
- Šprajc, I.
 2002-2004 “Maya Sites and Monuments in SE Campeche, Mexico”. *Journal of Field Archaeology* 29(3/4):385-407.
 2008 *Reconocimiento arqueológico en el sureste del estado de Campeche, México: 1996-2005*. BAR International Series 1742, Oxford: ArchaeoPress.
- Šprajc, Ivan, William J. Folan, y Raymundo González.
 2005 “Las ruinas de Oxpepul, Campeche: su redescubrimiento después de 70 años de olvido”. En *Los Investigadores de la Cultura Maya* 13 (1): 19-27. Campeche: Universidad Autónoma de Campeche.
- Stuart, David
 2000 “‘The Arrival of Strangers’: Teotihuacan and Tollan in Classic Maya History”. En *Mesoamerica’s Classic Heritage: From Teotihuacan to the Aztecs*, editado por D. Carrasco, L. Jones y S. Sessions, pp. 465-514. University Press of Colorado, Boulder.

Stuart, David

2001 La Ruinas de La Corona, Petén, y la Identificación del 'Sitio Q', Ponencia presentada en el XV Simposio de Investigaciones Arqueológicas en Guatemala, Guatemala.

Stuart, David, Simon Martin y Stephen Houston

2008 "Three Panels from La Corona?"

http://www.mayavase.com/corona/La_Corona.html

Taube, Karl

2010 "Where earth and sky meet: The sea and the sky in ancient and contemporary Maya cosmology". En *Fiery Pool: The Maya and the Mythic Sea*, editado por D. Finamore y S. Houston, pp. 202-219. New Haven: Peabody Essex Museum y Yale University Press.

Taube, Karl, William Saturno, David Stuart y Heather Hurst

2010 "The Murals of San Bartolo, El Petén, Guatemala. Part 2: The West Wall". *Ancient Mesoamerica* 10. Boundary End Archaeology Research Center.

Tokovinine, Alexandre.

2007 "Of Snake Kings and Cannibals: a Fresh Look at the Naranjo Hieroglyphic Stairway". *PARI Journal* 7(4):15-22.

Turner, B.L. II, y Charles Miksicek

1984 "Economic Plant Species Associated with Prehistoric Agriculture in the Maya Lowlands". *Economic Botany* 38:179-193.

Valdés, Juan Antonio

1986 "Uaxactún: recientes investigaciones". *Mexicon* 8(6):125-128.

1989 "El Grupo H de Uaxactún: evidencias de un centro de poder durante el Preclásico". En *Memorias del Segundo Coloquio Internacional de Mayistas, I*, editado por A. Breton, pp. 603-624. Mexico: Universidad Nacional Autónoma de México, Instituto de Investigaciones Filológicas.

Velásquez López, Antolín

2011 "Operación CR32: Excavaciones en la Estructura 13Q-2". En *Proyecto Arqueológico La Corona: Informe Final Temporada 2010*, editado por M. Canuto y T. Barrientos, pp.173-194. Informe entregado a la Dirección General de Patrimonio Cultural y Natural, Guatemala.

Velásquez, Erick

2004 "Los Escalones Jeroglíficos de Dzibanché". En *Los Cautivos de Dzibanché*, editado por E. Nalda, pp. 79-103. México: Consejo Nacional para la Cultura y las Artes, Instituto Nacional de Antropología e Historia.

2005 The Captives of Dzibanche. *PARI Journal* 6(2):1-4.

2008 “Los Posibles Alcances Territoriales de la Influencia Política de Dzibanché durante el Clásico Temprano: Nuevas Alternativas para Interpretar las Menciones Históricas sobre la Entidad Política de Kan”. En *El Territorio Maya: Memoria de la Quinta Mesa Redonda de Palenque*, editado por R. Liendo, pp. 323-352. México: Instituto Nacional de Antropología e Historia.

Watson, Patty Jo

1976 “In Pursuit of Prehistoric Subsistence: A Comparative Account of Some Contemporary Flotation Techniques”. *Midcontinental Journal of Archaeology* 1: 77-100.

Weber, Max.

1978 *Economy and Society*. University of California Press, Berkeley.

Weiss, Andrew

2001 *Topographic Position and Landform Analysis*. Poster académico presentado en la ESRI User Conference, San Diego, California.